01 - 81-218

MITSUBISHI DENKI GIHO 三菱電機技報

Vol.45 October 1971 電気加工/省力化機器特集

10

三菱ダイアックス放電加工機 DM-250N-DE-I50T-F-N形 DIAX

昭和46年 第45巻 第10号

三菱電機技報



電気加工特集/省力化機器特集

目 次

電気加工特集論文		_
電気加工特集号によせて		1220
電気加工の現状と将来・・・・・・・・・・・・・・・・・・・・・・・・・・・・・・・・・・・・		1230
欧米における電気加工	久 慈 陽 一・古 池 一 成・葉石雄一郎…1	1233
超大形放電加工機の実用結果	·····神山欣也·吉本 修··1	1236
放電加工の応用・・・・・・・・・・・・・・・・・・・・・・・・・・・・・・・・・・・・	······ 久 慈 陽 一 · 真 鍋 明 · 平 松 万 彦 · 足 尾 栄 司 · · 1	1244
ダイアックス放電加工機シリーズ	························· 佐 藤 囯 彦・大矢広太郎···1	1248
放電加工における最近の技術的進歩	······小林和彦·高橋義博·石川倫康·高木 茂···1	1259
ダイヤシンカ電解加工機シリーズ	高橋義博…1	1273
硝酸ソーダ水溶液による電解加工	荒 井 伸 治・葉石雄一郎…1	1280
レーザ加工・・・・・・・・・・・・・・・・・・・・・・・・・・・・・・・・・・・・	········ 植口隆一·宮沢生行·吉田寿夫·奥田淹夫···1	1298
ブラズマ電子ビーム溶接機の特性上山 善司・坂 元	正,安永政司,田中利夫,奥村 謙,井藤治彦…1	1304
省力化機器特集論文		
省力化の投資限界	高田真蔵…1	1315
物流における省力化		318
コンピュータによる設計手配の省力化	······	322
自動製図		327
ディスパッチングセンタ	・・・・・・・・・・・・・・・・・・・・・・・・・・・・・・・・・・・・	1331
加工・組立自動化の動向		1337
大形工作機械の数値制御装置桑 原 晴 義・玉 井	明·是田規之·弘中一光·金子敏夫·佐藤 毅···1	
NC 工作機械群の計算機制御清 木 f	i 夫・長 井 孝・佐 藤 源 司・山 田 進・坂 ロ 恒 夫…1	1347
コンベヤ搬送制御システム	·······佐竹幸雄·中野宣政·水野公元···1	1351
工業用マニピュレータによるハンドリング自動化	津田栄→…1	1361
組立自動化の問題点		1366
《技術解説》		_
三次元レーダについて(その1) 一原理と実施例の全般的解	说一 玉 真 哲 雄…1	373
新製品紹介		
新要品稿が 航空機用燃料ブースタボンブ・新形航空機用アクチュエータの開発・		388
加全級用監督ノーステポンタ・新形肌空級用ナクナュエータの用来・	里時ろファ河中委直	
ニュースフラッシュ	1	390
空気分離装置用 遠心圧縮機駆動用 14,500 kW 同期電動機完成・線材 エレベータ集中監視方式 [METAS]・大林組大阪本社ビル向け ダブル		
特許と新案	1313&1	371
ミシンの油回収装置・ボンブの制御装置・車両の天井送風装置・扇風		
<ハイライト>	ダイアックス放電加工機機械工業デザイン賞の最高賞を受賞 ダイアックス放電加工機アメリカへ本格進出-	
	······ダイアックス放電加工機——アメリカへ本格進出・	-

表紙

表紙 1 三菱ダイアックス放電加工機 DM-250 N-DE-150 T-F-N 形

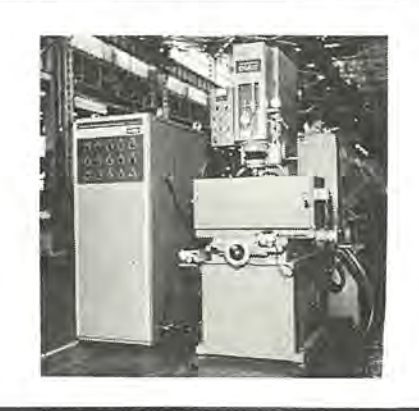
この放電加工機はダイアックスを代表する標準機種で、機械本体 DM-250 N 形は 46 年 7 月,日刊工業新聞社主催の第 1 回機械工業デザインコンテストで,は えある通産大臣賞・日刊工業新聞社賞を受賞した。機能・意匠ともにわが国を代表する放電加工機である。

一方,電源 DE-150 T-F-N 形は従来のトランジスタ電源の回路方式を全面的に改良し、新しいスイッチング回路を採用して、出力の増大、仕上げ速度の向上、質通加工速度の増加、バルス幅・休止幅・重畳電圧の連続調整回路など新機能をとり入れ、デザインも一新した高性能トランジスタ電源である。

表紙 2 三菱電解加工機ダイヤシンカ MC-100 V-100 A 形

表紙 3 大形自動整理ヤード

表紙 4 三菱工作機械 数値制御装置 MELDAS シリーズ



SPECIALLY COLLECTED PAPERS (1)-

MITSUBISHI DENKI GIHO



SPECIAL EDITION: (1) ELECTRICAL MACHINING

(2) LABOR SAVING SYSTEMS

CONTENTS

On a Special Number of Electrical Machining Present State and Future of Electrical Machining	. FIOH J ZZ9
EDM and ECM in Europe and America	
Results of Applying Giant EDM to Die Making	
Application of Electrical Discharge Machining	
Series of DIAX Electrical Discharge Machine	
Recent Advances in Electrical Discharge Machining	
Series of DIASINKER Electrochemical Machine	
Electrochemical Machining with NaNO ₃ Solution	
Application of Lasers to Drilling and Cutting	hida • T. Okuda • 1298
Characteristics of the Plasma Electron Beam Welder	1 IT Tes 4504
1. Ceyama • 1. Sakamoto • S. Tasunaga • 1. Tanaka • 1. O	Rumura eri. 1101504
SPECIALLY COLLECTED PAPERS (2)	
Limit of Investment for Labor Saving	S. Takada1315
Labor Saving Operation in Physical Distribution	
Labor Saving in Custom Order Treatment at Designing Section with Computers T. Kuroda · T.	Sakai · S. Fujita1322
Autodrafting	R, Kato1327
Dispatching Center	
Recent Trends of Automated Manufacturing	
Numerical Controllers for Large Machine Tools	31 100 gallani
	laneko • T. Sato 1342
Computer Control of Numerically Controlled Machine Tools	
T. Shimizu · T. Nagai · M. Sato · S. Yamada	· T. Sakaguchi ··· 1347
Conveyer Contorl System	
Automated Materials Handling with Industrial Robots	
Problems for Automatic Assembly	T. Iwasa1366
TECHNICAL EXPLANATION—	
Three-Dimensional Radors (I) —Exhaustive Review of Principle and Apprication————————————————————————————————————	T Tamama 1979
The billional reador (1) - Exhaustive Review of Thicipie and Application-	1, Tamama/-1015
NEW PRODUCTS-	1388
NEWS FLASH	1390
ALTER VICE ALLEGATOR	
PATENT AND UTILITY MODEL	1313&1371
HIGH LIGHTDIAX Electrical Discharge Machine	
—Awarded with the Highest Prize on Design of th	e Machine Industry—
DIAX Electrical Discharge Machine -Full Scale Advance into the	

COVER:

Mitsubishi DIAX Discharging Machine Type DM-250 N-DE-150 T-F-N

An electric discharge machine illustrated is a standard type of apparatus representing DIAX. The main assembly type DM-250 N was accepted as a winner in a contest No. 1 on the design of mechanical industry held by the Nikkan Kogyo Shinbun (Daily Industrial Newspaper) in July, 1971, having the honor of gaining the prize of the Minister of International Trade and Industry as well as the sponsor, the abovementioned newspaper company. Both the function and artistic design are worthy of the name of a representative discharge machine in Japan.

On the other hand, regarding the power supply, the conventional transistor device has been improved fully of its circuit system, a new switching circuit is utilized to enlarge the output, improve the finishing speed, increase the through hall machining rate and employ continuously adjustable circuits for the pulse width, pause time and superimposing voltages. Thus type DE-150 T-F-N power supply has been produced as a newly designed and highly efficient unit,

HIGH-LIGHT

ダイアックス放電加工機 一機械工業デザイン賞の最高賞を受賞—

日刊工業新聞社が創立 25 周年記念事業の一環として、 ことしから説定した「機械工業 デザイン賞」の第1回は、51 社 70 点の応募製品のなかから、当社の DM-250 N 形 放電加工機が最高賞である通商産業大臣賞・日刊工業新聞社賞を受賞した。

審査にあたっては械機・電機および工業 デザイン界の第一線で活躍する権威者 16 議が審査委員となり、とくに最終段階では審査委員団が各社におもむき実際の使用状況を審査し、単に外観上のデザインだけでなく、デザインが機能向上にどう役立っているか、機能的デザインの面からも厳重な審査が行なわれ、単純な美的デザインに代わって、機能"とくに人間と機械の結びつき"が重視され、人間工学的に追求した美しさが問われた。

そして DM-250 N 形 放電加工機は、 従来の工作機械の イメージ を破る思いきった デザイン と、 世界最高水準にある性能が共に高い評価を受けたものである。

ダイアックス 放電加工機は、つねに技術独創性で業界のトップの座を占めてきたが、今回の受賞は新しい時代にふさわしい金属加工機械として名実ともに裏付けられたといえよう。

なおこの表彰式は、7月23日 π-μ・オータニで多くの来賓の出席を得て盛大に行なわれたが、当社からは進藤社長、松田常務ほかが出席した。



外山貿易振興局長から通産大臣賞を受ける進藤社長



DM-250 N 形 放電加工機







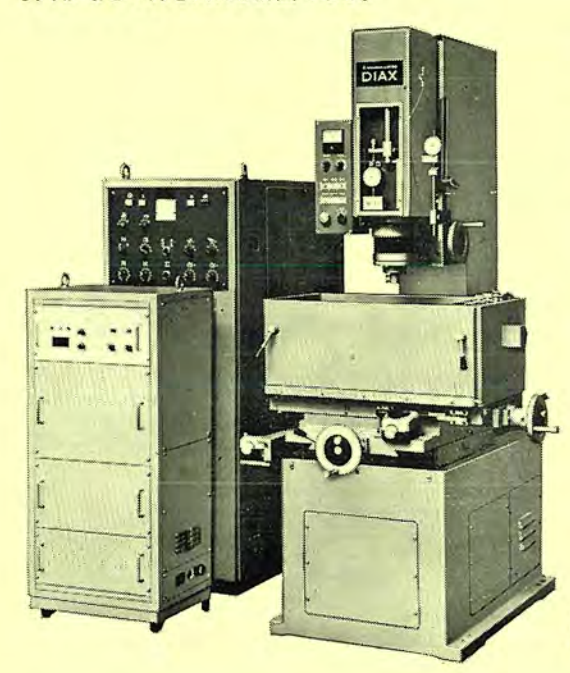
ダイアックス放電加工機 一アメリカへ本格進出一

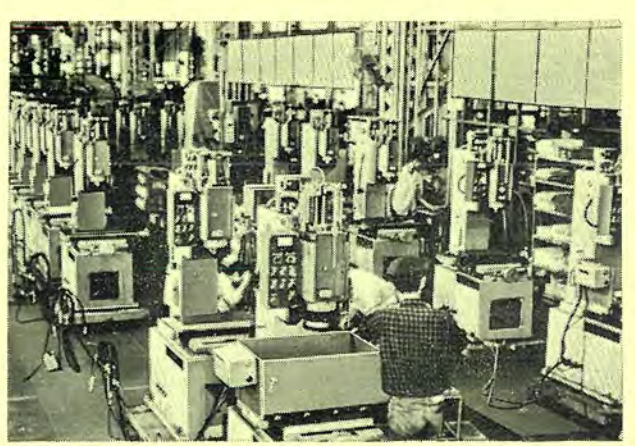
当社は放電加工機の量産体制確立に伴い、アメリカ において ミッピシ・インターナショナル 社 (略称 MIC, 三菱商事(株)の現地法人、ニューヨーク 市) と契約し、わが国で初めて国産技術による放電加工機をアメリカ 市場へ本格輸出することになった。

初年度分として、オプチマイザ つき DM-250 N 形 放電加工機数十台の輸出契約交渉を進めている。

ダイアックス 放電加工機の アメリカ 市場進出は、油圧 サーボ による電極送り、トランジスタ による電極無消耗化、 放電加工の適応制 御装置である オプチマイザ、多電極分割加工など幾多の革新技術の開発に相ついで成功した技術的独創性と、すぐれた量産化体制 が高く評価されたことにある。すでに オプチマイザ つき DM-250 N 形 放電加工機は、 4月から月産 30 台の量産化体制をとって いる。

ミッピシ・インターナショナル 社は、すでに アメリカ における放電加工の技術者を結集した放電加工機の大手専門販売商社である ED MR 社をはじめ、各地の代理店を通じて精力的な販売活動を展開しており、 とくに ニューヨーク、シカゴ、ロサンゼルス、サンフランシスコ、シアトル などで力を入れる計画である。





続々と量産される DM-250 N 形放電加工機

三菱ダイアックス放電加工機 DM-250 N-3 TF-OP 形

「三菱電機技報」アブストラクト

UDC 621.9.018.3:621.9.047.7

電気加工の現状と将来 斉藤長男

三菱電機技報Vol. 45·No. 10·P1230~1232

電気加工は現物合せ特性をもつ加工法であり、それに着目すれば用途はひる

電気加工の過去の問題点は、現在大部分が改善されており、過去の電気加工 の常識では信じがたいような進展をしている.

新しい傾向と新しい技術思想として、大形化と電極製作、機械設計の新しい 傾向、多能化とシステム化、ワイヤカッテング、変動パルス幅電流による放電 加工、加工技術の新しい方式、電解加工機の大形化などの諸問題にふれた。

UDC 621.9.047.7

ダイアックス放電加工機シリーズ 佐藤國彦・大矢広太郎

三菱電機技報Vol. 45·No. 10·P1248~1258

放電加工機は近年、一般金型加工分野から部品加工分野まで広範囲にわたっ て省力化の最有力手段として、飛躍的発展をしている。これらの発展は、放電 加工技術・機械性能・電源性能といった3要素の向上に負うところが多い。 三 菱ダイアックス放電加工機の機械系・電源系は多目的用途に応じるため、機械 電源の組合せが自由にできるようにワイドセレクション化されている。

本文では、機械系については放電加工機が具備すべき特質の論説を中心にダ イアックス機械シリーズの紹介を行ない、続いて電源系については、制御方式 を中心にダイアックス電源(>リーズの紹介を行なう.

UDC 621.9.018.3: 621.9.047.7

欧米における雷気加工 久慈陽一·古池一成·葉石雄一郎

三菱電機技報Vol. 45·No.10·P1233~1235

アメリカおよびヨーロッパにおける最近の放電加工、電解加工の技術動向を 機観し、次いで、1971年SMEショーにダイアックス放電加工機を出品するた め、波米して見聞したアメリカにおける電気加工の現状、および東欧に輸出し た三菱ダイヤシンカ電解加工機の利用状況を報告している.

UDC 621.9.047.7

超大形放電加工機の実用結果 神山欣也·吉本 修

三菱電機技報Vol. 45·No. 10·P1236~1243

三菱自動車 名古屋自動車製作所では、プレス金型製作に放電加工を適用し、 プレス金型 表面形状仕上げ工数の低減,リードタイムの短縮、品質の向上を計る べく放電加工機の導入をはかった、導入以来1年間に約50型に適用し、上記目 プレスに代わる本格的省力化機械であると言える。加工機は三菱電機製で、機 械系については若干の不具合を残しているが、ほ×完成している。一方電極製 作技術、特に電鋳技術は、放電加工が複雑形状、シャープ エッジ部の加工に適 均一化、日程短縮の点で、さらに一歩開発 を進めていく必要がある。

UDC 621.9.047.7

放電加工における最近の技術的進歩 小林和彦・高橋義博・石川倫康・高木 茂 三菱電機技報Vol.45-No.10-P1259~1272

放電加工は、ソリッドステート化された電源の出現により、加工特性が一段 と向上し、ついで適応制御システムを導入することにより、無人運転が実現さ れ、加工能率の大幅な向上がなされた。自動化・省力化ということが、時勢 の流れでもあることから、さらにいっそうの高度な制御技術を採り入れ、今回、 NC放電加工機が開発された。一方、放電加工特性そのものを向上させるため の技術開発も行なわれ、安定加工のもとに良好な仕上げ面あらさの得られる高電 圧重畳回路や、加工速度を数倍に増加させることのできる分割加工法は、その よい例である。こうでは、 前述の放電加工の技術的進歩を紹介すると ともに, 放電加工現象等の 調査結果も合わせて報告する。

的を遊成しつ。ある。本加工機は、プレス型を対象とし、ダイスポッティング している関係で、電鋳殻の

UDC 621.9.018.3

ダイヤシンカ電解加工機シリーズ 梶田 勲・高橋義博 三菱電機技報Vol.45·No.10·P1273~1279

電解加工は従来難切削材に対する高速加工性の観点から、加工技術の技術革 新として認められてきたが、その加工精度は十分でなく不満があった。最近新 しい方式により著しい加工制度の向上がみられたがこれには装置として、ディジ タル加工深さ位置決め装置、極間距離制御装置、高圧気体混入の開発、加工技 術として特殊電解液の開発によるところが大きい、本文は最近の電解加工機の 設計上の主眼点である剛性・防食・加工液供給装置・ろ過装置・高圧気体混入 装置・ディジタル加工深さ位置決め装置・極間距離制御装置など、主として、精 度向上に関連あるものにつ いての設計の主旨とMC-100V形電解加工 機の機械構造について述べ

UDC 621.9.047.7

放電加工の応用 久慈陽一・真鍋 明・平松萬彦・足尾栄司 三菱電機技報Vol. 45·No. 10·P1244~1247

放電加工電極の製作法を概観した後、トランジスタ電源の加工領域を拡大し たF回路によるプラスチックモールド型、鉄対鉄の加工、パーティングライン 合わせなどの加工例を紹介し、次いで、放電加工プロセスのシステム的考察を 述べている.

放電加工機を使って工場の生産性を向上させるためには、金型加工の場合に 例をとるならば、金型設計の段階から電極設計、放電加工と一連の放電加工機 利用技術の確立が必要であることを強調している.

UDC 621.9.018.3

硝酸ソーダ水溶液による電解加工 荒井伸治・葉石雄一郎

三菱電機技報Vol. 45· No. 10·P1280~1297

高圧気体混入方式で、硝酸ソーダ水溶液を用いる電解加工は、従来の電解加 工にみられない精度の向上と, 加工手段の簡易化をもたらし, 電解加工の応用 範囲を広めている。

硝酸ソーダ系水溶液において、極間げきと電流密度の関係を求めると、酸化 不動態膜によるとみられる被加工物表面の抵抗Rが概念として導かれ、また電 流密度と溶出速度の関係より、電流密度Jo以下では溶出がないことが観測され る. R. Jaの存在が、積分効果を小とする。

よる均一な液の流動が、加工の安定性を保 方高圧気体混入方式に 工の分野でも, 反転法が使用でき, 電解加 証する.この結果、金型加 工の導入の経済的効果を大 きくした.

「三菱電機技報」アブストラクト

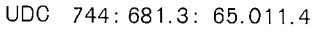
UDC 621.375.826: 621.95

レーザ加工

樋口隆一・宮沢生行・吉田寿夫・奥田滝夫

三菱電機技報 Vol. 45· No. 10· P1298~ 1303

レーザ出力が飛躍的に増大するとともに、レーザ加工の重要性がますます認識されるようになった。簡単にいえば、レーザ加工は非接触で微小な熱加工である。本文では当所で行なったルビーレーザおよび炭酸ガスレーザによる穴あけ・切断のいくつかの結果とレーザ加工一般の特色を述べる。使用したルビーレーザ(最大出力エネルギー:3.5 J)は微小な穴あけに適し、金属に対しては径100~350μの穴を0.5m s の短時間であける。炭酸ガスレーザは切断に適し、出力80 w で厚さ 1 mmの鋼板を1.3m/m in の速度で切断する。



コンピュータによる設計手配の省力化

黒田紀典・酒井亜男・藤田界三

三菱電機技報 Vol. 45· No. 10· P1322~ 1326

生産量の急激な増加と人手不足に対処するためには、設計の自動化、省力化は必然的に要求される問題である。これらの問題を解決する手段として、コンピュータが設計のあらゆる段階で利用されている。従来の設計でのコンピュータ利用はおもに機能設計計算が主流であったが、最近では営業・設計・生産を含めて問題をシステム的にとらえ、機械化する方向に進みつつある。設計手配業務の自動化は機能設計の自動化とともに今後の重要な課題であろう。本文では設計事務処理、手配業務の機械化の現状を紹介している。



UDC 621.791.72

プラズマ電子ビーム溶接機の特性

上山善司・坂元 正・安永政司・田中利夫・奥村 謙・井藤治彦 三菱電機技報 Vol. 45·No. 10·P1304~1312

自動車の部品などを量産するのに使用される電子ビーム溶接機では、溶接作業室を排気するのに要する時間を可能な限り短縮することが要求される。だから、溶接継手の特性と電子ビーム源の寿命とに悪影響がない限り、溶接作業室を低真空にして使用するのが経済的である。

プラズマ電子ビーム溶接機では、溶接作業室の空気圧を 1×10 - (Torr) にして使用しても、電子ビーム源の寿命は、従来の電子ビーム溶接機にくらべて10倍程度長いから、溶接作業室の排気ポンプは油回転ポンプだけですむ。 なお、プラズマ電子ビーム溶接機で溶 接された継手はすぐれた特性を示している。

UDC 744.4: 681.322

自動製図

加藤礼二

三菱電機技報 Vol. 45·No. 10·P1327~ 1330

コンピュータによる自動製図は、設計製図時間の短縮、製図ミスの防止、省力化などの観点から注目を集め、急速に普及してきた。ここでは当社のすぐれた自動設計製図システムであるプリント配線板の自動設計製図、LSIマスク原図の自動製図の概要を紹介するとともに、自動製図の諸問題や今後の動向について概説し、ご参考に供する。



UDC 657.424: 65.011.4/.56: 658.78

省力化の投資限界

高田真蔵

三菱電機技報 Vol. 45·No. 10·P1315~1317

労働力の枯渇と賃金上昇を克服して生産性を高めるためには、適当な投資による機械化・自動化・コンピュータ化が絶対に必要な条件である。では、この投資額と労働力の節約とがどんなパラメータにあるかを考察してみたい。

UDC 658.78.011.56 ディスパッチングセンタ

柴田謹三

三菱電機技報 Vol. 45·No. 10·P1331~ 1336

物的流通合理化のにない手として,近年自動化倉庫の導入例が注目をあびているが,当社重電機製作所のような個別受注生産工場の生産ラインにおいて,物流と情報システムを一体化して,生産管理の合理化とマテリアルハンドリングの省力化をはかった例として,自動化倉庫と無人運搬車ならびにEDP機器を組合せて導入した,ディスパッチングセンタの概要についてのべたものである.



UDC 65.011.4/.56:658.78 物流における省力化 _{韓見忠平}

三菱電機技報 Vol. 45· No. 10· P1318~ 1321

近年物流管理が「第三の利潤源」として産業界で大きな話題となっている。特に電機業界では家電品が、十数年来年20%くらいのペースで伸びてきたため、増大する物流量を処理するため、物流間題に積極的にとりくんできた。こ、では、物流の現業部門に焦点を絞って保管・荷さばき・輸送の省力化の事例をまとめた。

UDC 658·52·011·56 加工・組立自動化の動向 菰原 智

三菱電機技報 Vol. 45·No. 10·P1337~1341

現在の激しい国際競争に打ち勝って優秀な製品を輸出するためには、どうしても合理的な生産を行なわなければならない。わが国経済の発展につれて賃金は上昇し、生産コストを下げるためには、自動化・省力化は、目下の急務となってきた。本文は当社のような組立産業における合理化・省力化の現状と将来の動向を検討した。加工・組立といった個々の自動化技術についてしらべ、また生産技術研究所で開発してきた機器を通じて、これらの現状と、計算機により制御される機械に移っていく将来の形を推察した。また個々の自動化技術の集積が多様化した製品の生産を無人工場で行なえるようになる将来の発展を予想して紹介してあ



「三菱電機技報」アブストラクト

UDC 621.9-52: 681.323

大形工作機械の数値制御装置 桑原晴義・玉井 明・是田規之・弘中一光・金子敏夫

三菱電機技報Vol, 45·No. 10·P1342~1346

最近の大形工作機械は、標準機としての性能とともに、ニーズの多様化に対応しうるような機能を備えた合理的な機械が要望されている。これらにこたえるため、工作機械側とNC側とが互いに計画当初より協力し合って、大形工作機械に特有なNC機能を付与した数値制御装置の開発をす、め、このたび三菱マシニングセンタ・ダイヤマチックシリーズ、MAFシリーズ、ブラノマチックシリーズなどの一連の大形工作機械と組合せかし篠」剛実績を得たので、ここにその大要を紹介している。



UDC 681.323: 621.9-52

NC工作機械群の計算機制御 清水恒夫・長井 孝,佐藤源司・山田 進,坂口恒夫

三菱電機技報Vol. 45·No. 10·P1347~1350

機械加工における省力化の有力な手段として群制御システムが注目を集めている。

評制御システムは、従来、数値制御装置による個別的な自動化に依存してきた機械工場に対して、計算機と工作機械群とをオンライン結合して集中化しよとする試みであり、その背景として数値制御技術の発展と普及、および、計算機の価格低下とその利用技術の進歩に負うところが大きい。

ここでは、群制御システムの動向を展望し、そのアウトラインを説明すると ともに、当社における活動状 / 祝を紹介している。

UDC 621.86.7

コンベヤ搬送制御システム 佐竹幸雄・中野宣政・水野公元

三菱電機技報Vol. 45·No. 10·P1351~1360

近年、製品コストの低減の"暗国大陸"とされている物流コストに抜本的な メスが入れられる傾向にあり、それと関連するマテ・ハンの自動化が大いに取 上げられている。

マテ・ハンの中で最も自動化に関係のあるコンベヤ搬送システムについて、 当社のこの分野の経験をもとに制御システムを中心に解説する、コンベヤ搬送 システムを構成する場合、機能面・コスト面の両面について最も適合したもの を選ばなければならない、当社では種々なレベルのシステムに適合できるハー ドウエアの開発と、それを に取組んでいる。

UDO 658.52.011.56: 621.86/.87

工業用マニピュレータによるハンドリング自動化 津田栄一

三菱電機技報Vol. 45·No. 10·P1361~1365

工業用ロボットと呼ばれるマニビュレータが生産ラインに適用されるようになったのは、最近のことである。生産ラインの自動化は、あらゆる分野で進められている。マテリアルズ ハンドリング は従来から合理化が進められ、各種の機械装置が導入されてきた。しかし完全に自動化するのは困難であった。それは人間の機能の柔軟性を必要とする面が多数あるからであろう。マニビュレータは、機構と制御の柔軟性に従来にない特長があり、マテリアルズハンドリング自動化の有力な手段のひとつとして脚光を浴びている。このマニビュレータの使用法およびマニビュレータの使用法およびマニビュレークので述べた。

UDC 621-52: 621-77 組立自動化の問題点 岩佐辰弥

三菱電機技報Vol.45·No.10·P1366~1370

最近、急速に必要性の高まりつつある組立自動化について、当社生産技術研究所で開発した自動組立機の例などを引用しながら、問題点を抽出し、その内容について報告するものである。組立自動化は、歴史的な後進性と宿命的なテーマの多様性をかかえた新技術分野で、問題点もKnow How的なものから、技術革新の必要と思われるものまでかかえ、問題を由種にしている。これらの個々の問題の解決が、組立自動化の進展の原動力になり、次にくる、無人化システムの重要なステップとして、今日の組立自動化技術が、明日への足掛かりとなる。



UDC 621.396.96.001

三次元レーダについて(その I) ----原理と実施例の全般的解説----

玉真哲雄

三菱電機技報Vol. 45·No. 10·P1373~1387

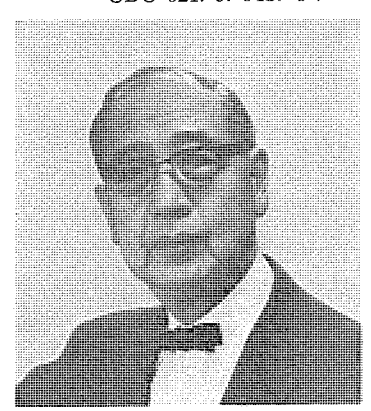
三次元レータについて全般的に解説する。

従来のレータは二次元的で距離と方位とを測定するものが大多数であったが、 これに加えて高度も連続して一度にわかるレータを三次元レーダという。 航空 機など飛ぶものを対象とする場合効果が大きいが、 技術的困難からその発達は 比較的近年のことに属し、決定版的方式の確立は今後の課題である。

世界各国で開発中の諸方式を分類・解説し、各方式の実施例を紹介し、総合的所見を述べる。わか国を含む6ヵ国、十余方式約15社40機種にわたりもうら的に解説し所見を記した。公 開の資料に現われる限りはお、むね説明をつくしたと思われる。

電気加工特集号によせて

東京大学 工学部 電気工学科 教授 鳳 誠 三 郎



ここに改めていうまでもなく、現在主流として広く用いられている通常の工作機械は、機械力を利用して加工を行なっている。たとえば、被加工体より硬度の高い材料で作られた工具を用いて、被加工体の一部を除去(切削加工)したり、被加工体に弾性限界をこえる変形を与えて、形状を変化させる方法(成形加工)などをあげることができる。しかし、時代の進展に伴って、加工される目的物として、新しい材料または形状の対象が登場する一方、従来と同様な物を生産するとしても、生産方式自体の合理化・省力化が要求される結果、機械的加工法だけにたよっていたのでは、技術的に困難となる場合に遭遇する事例が急激に増加してきた。このような一種の「壁」を突破するためには、旧来の機械的加工法から脱却した、新しい別の原理に基づく加工法が必要となり、いわゆる特殊加工法(Non-Traditional Machining Process)の発達が促進されるようになった。

この特殊加工法のなかには、電気的もしくは電子的現象を直接とり入れて加工を行なうものが、かなり多い。このように、電気・電子的現象を直接利用した加工法を、電気加工法 (Electrical Machining、略称 EM) と呼ぶのが適切であり便利でもあるので、近年わが国でこの名称が広く使われるようになった。これは新造語であるので、この言葉が現わす具体的な内容について、統一的な見解があるわけではないが、電気加工とよんでさしつかえないと思われる。代表的な加工法としては、表1のようなものをあげることができる。

少々極端ないい方であるが、機械加工法の基本原理は、人類が石器時代から利用していたのであって、石を砕き、それを用いて、本片や骨片を削って生活用品を作っていた行為も、機械加工の一種といえよう。このように、機械加工の歴史は人類文化の歴史とともにきわめて長いものであるが、これに比べ、電気加工法の歴史は長いものでも数十年、なかには数年まえから実用されるようになったものもある。したがって、これらの新しい加工法は、まさに発達の緒についたばかりであると考えるのが妥当であろう。したがってその内容は文字どおり日進月歩であって、その応用範囲・効果などについて、今日の知識で明日を推し測ることが困難な場合すらある。しかし、きわめて概括的に言えることは、機械的加工法と、電気加工法との関係は図1に示されるとおりであると思われる。図の大円は機械加工法、小円は電気加工法の分野を示すものであるが、電気加工法によるほうが、機械加工法よりも有利である範囲は、斜線を施した部分で示される。小円の他の部分は、機械的には不可能である

加工が、電気加工法によって初めて可能となった分野を示す。

すなわち、この両者は互いに関連しながら、加工可能な分野を次 第に拡大することによって、人類の文化に大きく貢献するであろう ことが期待される。工作が困難だからと言う理由で、素材の選択や 構造に制限が加えられていた時代はすでに過去のものとなりつつあ る。目的にもっとも適した素材、構造を選び、それを可能にするよ うな加工法を産み出さなければならない時代が訪れつつある。

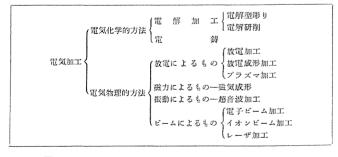
そして、その要求に対し、もっとも大きな可能性をもって答えう るものは、電気加工であると言っても過言ではないと思われる。

改めて述べるまでもなく、典型的な総合技術である電気加工法が 健全に発達し、正しく利用されるためには、いわゆる加工の専門家 だけでなく、機械・電気・電子・物理・化学・や金など多くの分野 の技術者の協力が是非とも必要である。多方面の技術者を擁してい ることでも、人後に落ちない三菱電機(株)が、わが国における電気 加工分野における代表的 メーカー の一つとして、海外からも注目され ているのは、理由のないことではあるまい。

また、社団法人電気加工学会が昭和42年に設立されて以来、他の研究団体とともに、わが国電気加工技術界の「シンクタンク」としてその活躍が期待されているのも、このようなバックグラウンドによるものではなかろうか。

(昭和46-5-3)

表 1 代表的な電気加工法の例





- A:機械加工法が適する分野
- B:機械加工法でも可能であるが電気加工法のほうが 有利である分野
- C:電気加工法でなければ加工しえない分野

図 1 機械加工法と電気加工法との関係

電気加工の現状と将来

斎藤長男*

Present State and Future of Electrical Machining

Nagoya Works Nagao SAITO

Electrical machining is a method having a characteristic of making the processed work conform to the actual object. When this point is taken into account its application is considered boundless. Problems encountered with the electrical machining in the past are almost settled. The processes have been developed to such an extent that it is hard to believe from a common sence of the technique in days bygone.

This article describes in reference to the electrical machining a new trend, a new technical concept, large sized machines, innovated electrodes, new design features, capability of meeting versatile operation, systematized work, wire cutting, discharge machining on variable pulse width currents, new types of machining and large sized electrochemical machining devices.

1. 電気加工機発展の背景

第二次大戦後に出現した新しい金属加工法の中で,電気加工ほど 広く使われるようになったものはない。これは加工形状・材料の硬 さに関係なく加工ができる電気加工本来の特質のほかに,作業合理 化・省力化・人件費の高騰・熟練者不足などの対応策として,大企 業・中小企業を問わず,広く深くその必要性が認識されるようになったからである。

また、電気加工の技術進歩は、おそらく機械工業の中では最も急速で、6~7年前の技術水準と今日のものとを比較すると、その工業的な価値は雲泥の相異があり、過去の電気加工の常識からは信じられないほどの驚異的な進展がなされている。

機械工業製品は90%以上が非切削加工で製作され、その生産性の向上は金型を母体とした加工法によるところが大きい。金型の生産力の増強は、電気加工機の増強以外にはないと言い切る人が多い。

わが国の電気加工機生産額は、昭和44年47億円, 45年53億円と工作機械の2%にも達していない。 設備台数もわが国6.000台, アメリカ19,000台で工作機械の一小部分にすぎない。

将来は工作機械分野の5~10%には電気加工が到達すると予測している人もある。金型加工以外の用途も今後は大きな分野となろう。電気加工の加工特性は、本質的には電極と加工物との現物合わせを特長とするものであるから、これに基づいた用途を機械加工に当てはめてゆけば、工作機械の分野としても大きく成長するであろう。

2. 電気加工の本質的傾向

電気加工の現状と将来を述べる前に、本質的な傾向を明らかにしておく必要がある。

2.1 放電加工の本質的傾向

- (1) 放電加工 は 電極と加工物を数 十 ミクロン の距離に対向させ、鉱油の中に浸漬して放電を発生させ加工をおこなう。加工された形状は、電極が消耗する場合も消耗しない場合も、電極形状と現物合わせされた関係にある。
 - (2) 現物合わせ精度は、0.01 mm 程度が容易に得られる。
- (3) 加工する相手金属がいかに固くとも、いかに複雑な形状であろうとも、電極さえ作ることができれば容易に加工できる。複雑

な形状も セグメント の組合わせ不要であり、直接加工により総合精度 を高めることができる。

- (4) 電極材料は、加工容易なグラファイト・銅・黄銅、または鋳鉄・鋼などを電極として用いることができる。特に、グラファイト・銅は、電極消耗を無視できる程度の低消耗条件下で加工することができる。 (これ以外に銀なども低消耗加工が可能)。
- (5) 加工精度(仕上げ面あらさ・クリアランス)・加工速度・電極消耗の3要素について互いに相反する傾向をもち、このうちの二要素を選定すれば、他の一つは自から定まる。すなわち、加工精度と加工速度を高めれば、電極消耗を大きな値に許容せざるを得ず、電極消耗を小さくすれば、加工精度か加工速度のいずれかを犠牲にせざるを得なくなる。
- (6) 加工された表面は、一度放電の熱によって溶融し急冷再凝固した状態で、加工物が鋼の場合は表層部(仕上げ面あらさの約2倍程度の厚み)が、焼入れ硬化された状態になっている。金型として用いた場合には、有利な場合も不利な場合もある。プラスチックモールド型などの場合はラッピングを必要とするため、表層部の硬化層除去の問題が起こるが、その他の金型は、耐摩耗性などがよくなり、一般的には有利である。
- (7) 加工能率を向上するためには、放電と放電との間隔を短い時間幅にとることが必要である (Duty Factor を高くとるという)。しかし極端に間隔を短くすると、放電は同じ個所に集中し、いわゆる ァーク こん(痕)を生ずる。 適当な間隔は時々刻々変化するので、その選定はある程度の経験を必要とする。時々刻々に変化する最適値を自動的に選定操作を行なうものが、適応制御である。

2.2 電解加工の本質的傾向

電気分解現象を利用して金属材料の加工をする方式であるが、つ ぎの特色をもつ。

- (1) 電解加工は電極と加工物とを 0.1 mm 前後の極間距離に対向させ、大量の電解液を極間に強制的に流し、数十~百 A/cm²程度の電流密度で通電加工をおとなう。加工された形状は電極形状に対し現物合わせされた関係にあるが、その加工精度は 0.1 mm 程度である。
- (2) 電気分解によって可溶性反応物を作るような電解液と加工材質との組合わせであれば、金属の硬さに関係なく加工できる。

表 3.1 放電加工の改善 Improvement on discharge machining.

要塑	改善された方式
 藻穴になり Duty Factor が大きい場合 アークこんが発生 へび状のカーボンの成長 ラ火災の原因 (無人運転危 険) 極側の放電状態などにより、バルス幅は適当に変え たほうが、アーク防止、電 極消耗減少の効果がある。 	制期段階 a. アーク防止装置 欠点:時間の軽温とともにアークに収れん b. 異常加工検出装置 欠点:安全なるも経済性不十分 現段器 a, b 適応制御装置 長所:高能率安全選転 (無人運転可能) c. 放電1同ごとの放置開始時の絶縁破壊状態を核 掛し、バルスを制御
 1人の作業者が多くの E. D. M. を操作すると安全側 をえらび能率が低下する。 	現段階 適応制御, N. C. +適応制剛 将来段階 群管理+適応制御
3. a. 加工条件の自動切機之 b. 電極の自動交換	 現政所 a. テープまたはカードに加工条件と主程をプログラム (N. G., E. D. M. の開発) b. ブログラムドテープによる自動交換 (N. C. E. D. M. の開発) 2 電極交換まで可能 将来解設 a. 最短加工時間にプログラムしたテーブの供給 b. 数十本の電極を選択使用し、フライス盤のマシニングセングに相当する加工を行なら
 放電加工面には加工硬化層があり、プラスチックモールド型など「みがき」が困難 	 規設階 (i) E. D. M. により (低消耗で) 5 μR max 表度まで仕上がる (2) 焼鈍してからみがきをかける (3) 化学反応で溶出させる (4) 機械的にハンドグラインダなどでみがく (5) 液体ホーニング
 金型の上型と下型とのパー テングラインの合わせ方 	現段階 F回路利用による加工法の開発が完成
6. 仕上げ面あらさ、電極消耗 を固定したまま加工速度を向 上させたい	現設階 分割電源方式が有利 2分割~12分割など開発済み
7. 分割電源のサーボ系のバラ ンスの改善	6分割でも90%以上に改善
8、 壁極製作の改善 a. 按意义用 b. 底付け型用 c. 微細加工用	 現設際 a. (1) 切削と研削 (2) グラブァイト電極によるダイ, バンチ加工法 b. (1) 切削と研削ならい加工 N.C. 加工による電極製作 (2) 爆圧成形, 放電成形 N.C. 加工による電極製作 (3) 電 襲 N.C. 加工による電極製作 (4) 溶 射 N.C. 加工による電極製作 c. (1) 組合わせ二次電極 N.C. 加工による電極製作 c. (1) 組合わせ二次電極 N.C. 加工による電極製作 (2) ワイヤカッティングによる電極部分加工得来段階 (3) 高速電鋳

表 3.2 電解加工の改善 Improvement on electrochemical machining.

要是	改善された方式
1. 加工精度の向上	初期設階 気体混入方式 現設階 酸素酸塩系加工液+気体混入方式
 加工液の温度変化・成分変化による比抵抗 (p) の変化に対する保償と繰返し加工精度の向上: 	電解液の冷却
3. 電極製作の簡易化	初期段階 仮定にもとづく設計と実物のトライアル 現設階 a. 反転注 b. 溶射法

- (3) 電極消耗は、理論上も実際上も生じない。
- (4) 加工送り込み速度は毎分数 ミリメートル が得られ、 きわめて 生産性が高い。
- (5) 残留応力は零,返りを生じない加工が得られ、加工表面は 母材の金属組織そのものが存在する。
- (6) 加工精度(仕上げ面あらさ・クリアランス)は、加工速度が高い低ど良好となる。この点放電加工の特性とは異なる。
- (7) 電解液の流れに割れを生ずる場合や、極間に キャピテーションを生ずる場合など、短絡を発生するおそれがある。
- (8) 電解液の温度・ 濃度の変化によって クリアランス が変動し、 精度維持に工夫を要する。
- (9) 電極製作は過去にくらべるとかなり容易にはなったが、加工液流通の穴やみぞの加工、形状の修正などややめんどうであり、一度製作した電極をくり返し使用するような反ぶく性の高い加工に応用するのが望ましい。

3. 電気加工機の改善の方向

電気加工機は進歩が早いと言われるが、それは2章に述べたように電気加工には本質的な長所と短所とが併存し、短所が認識され着なと改善されているからであると思う。短所のはっきりしないものは進歩も遅いと考えられる。また周辺技術としてエレクトロニクスおよび制御技術の進歩が著しいことも、電気加工の進歩を促進している大きい原因である。

電気加工に対する要望と改善された様子を表 3.1 (放電加工),表 3.2 (電解加工)に示す。

4 電気加工の新しい傾向と新しい技術思想

表 3. 1, 3. 2 に示したものは、多くはこの特集号あるいはすで $(c^{(1)}, c^2)$ 発行された文献に述べているが、それらとあまり重複しない 範囲で、新しい傾向、新しい技術思想に関して述べる。

4.1 放電加工に関するもの

4.1.1 大型化と電極製作

自動車の プレス型の放電加工は、すでに国内においても実用的に 試みられ成功をおさめている。また自動車業界から多くの超大形放 電加工機の受注をいただいている。この場合に最大の問題は電極製 作の迅速化にある。アメリカにおけるように グラファイト で大形電極が 容易に製作されれば問題はないが、材料の大きさ、切削加工を行な う工作機械、切削後の仕上げ加工の問題もあり、 わが国および ヨーロッパでは銅電鏡による電極製作が中心となる。

電鋳の各部の厚みは、電極側から見て突出している部分ほど薄くなる傾向にあり、この部分にも放電加工の荒加工に十分たえられる 1 mm 程度の厚みをつけようとすると、複雑な形状の場合は3週間程度を要することになり(他の部分は5~6 mm にも達し、薄い部分の数倍の厚みとなる)、迅速性に問題がある。短期間に済ませると薄い部分から破れるおそれがある。この場合、シアン化銅浴のように均一電着性のよいものであれば、むだな電着をしないので、比較的短期間に済むが、その毒性による公害との関連を生じやすい。その中間段階としてピロリン酸銅浴も用いられることがあるが、本質的にはシアン 化銅浴が有利であり、この毒性を無害化することが進められている。当社ではオゾンにより、炭酸ガスと窒素ガスに分解し二次公害のない方式を開発し、各分野に使用されはじめている。シアン化銅浴による電鉤電極製作は、均一電着性の特色により、電極製作

の迅速化を実現しつつある。

電極製作の問題の解決によって電気加工の経済性が認識され、今後は型合わせ装置、大形型彫盤なども次第に電気加工機に置きかわっていくようになると思われる。

4.1.2 機械設計の新傾向

ひと昔前までは設計は設計者の頭で考えたものが多く,実用上の 不便さが思わぬところに出てきたものである。最近は,性能の向上 はいうまでもないが,使いやすさ,保守のしやすさ,安全性,環境 周辺に対する無影響,無公害まで配慮されるようになってきた。

使いやすさについていえば、操作順序に絵文字表示のポタンを並べ、またたとえ誤操作があっても誤動作しないようになっている。メータ類の観察は目の高さあるいは直上から観察でき、ハンドル、押しポタン類の操作は人が移動せずに操作でき、加工物を出し入れするとびらは、アルミ材で軽くするなど人間工学的にも配慮を加えられている。保守のしやすさについていえば、フィルタは日本式のけいそう土の使用も、外国式の紙フィルタの使用も可能としている。使用済みの加工液中の沈殿で除去できるものは、チリ取りに沈殿させて棄却を容易にし、あわせてポンプ、フィルタの寿命を延長するなどである。また万が一の火災発生に対する安全装置を完備し、ポンプの騒音をなくするなどの考慮も払われている。

4.1.3 多能化とシステム化

放電加工機は加工状態の最適化制御として、適応制御が行なわれている。その基礎に立って、最終的に目標とする加工結果を得るための、最も経済的な加工条件選定の工程管理のプログラムを、テープコントロールすることは、放電加工の効用を高めるうえからもきわめて有効である。当社が開発した DM-500-EC 放電加工機は、この機能のほかに、電極の自動交換、テーブルの自動位置ぎめを可能とする。近い将来は、工作機械のマシニングセンタの機能も加え、切削加工による基準面の設定にはじまり、放電加工・電解加工などによる金型製作工程と、電極の自動製作、金型のみがき仕上げまでが、一元的に自動化されるようになると考えられる。

4.1.4 ワイヤカッティング放電加工

放電加工は電極を必要するのが一つの欠点とも考えられる。したがって、ワイヤ電極により プロファイル を加工するこの方式は、放電加工の欠点を改善するかに見えるが、加工速度の根本となる電流をわずかしか流せぬため(溶断)加工速度が極度に遅くなり、用途は特殊加工、特に電極製作などに限定されるように思われ、放電加工とは競合しないようである。

4.1.5 変動パルス幅電流による放電加工

従来は、同一パルス 幅電流による放電加工が、 均一な大きさの放電こんを得られるので、加工面がそろい(面がよくなることではない)また、電極消耗の点で有利であるといわれてきた。 しかし実際にはパルス 幅同一でも 放電と放電との間の休止時間割合が 長い時など、電極消耗が大きくなることや、極間を通る加工液の流速が大き

い場合には電極消耗が大きくなるものであり,また休止時間の割合が小さすぎるときはアーク こんを生ずる例が多い。 すなわち極間の放電状態により,パルス 幅は適当に変えたほうが,アーク こん防止,電極消耗を減少する効果のあることがわかった。この理由は,放電によって生ずる極間の金属拡散および イオン 濃度, ならびに加工液分解により生成する炭素物質などの濃度の影響によるものと考えられる。当社においては,放電1回ごとの放電開始時の絶縁破壊状態を検出し、パルスを制御している。絶縁破壊が行なわれやすいときはパルス 幅を短く,行なわれにくいときはパルス 幅を長くとる。そのためパルス 幅は常に変動しているが,良い結果が得られている。

4.1.6 加工技術の新しい方式

プラスチックモールド型・鍛造型・ダイカスト型などのように底付けの金型は、上型と下型とから成り立っている。金型として使用するには上下の金型が形状的(深さ・位置)に合っている必要がある。当社では、グラファイト・銅などで成形製品と同一形状物を製作し、電極の片面で加工後、電極面を加工面に導電性接着剤などで接着し、これを電極側の極性に切り変えて、相手方となる他方の型を加工し、上下金型が完全に合うまで加工をすることにより、理想的な金型を作る方式を確立した。

なおこのほかに、グラファイト電極により ダイ、ストッパ、パンチ 加工用電極を一挙に加工し、パンチ も放電加工で加工する方式が工業的に成功している。また、ダイセッタ に パンチ と ダイ をとり つけたまま抜型加工を行なう方法がわが国で普及しつつある。

4.2 電解加工に関するもの

電解加工機の精度が向上してきたため、ガラス 金型などは、電解加工を行なったままで使用できるようになったが、電解加工の欠点は高電流密度(例、 $30~\text{A/cm}^2\sim50~\text{A/cm}^2$)を必要とするため、多少大きめの型(例、 $30~\text{cm}\times30~\text{cm}$ で $27,000~\text{A}\sim45,000~\text{A}$)の加工では、30,000~A以上を必要とし、50,000~Aの電源も必要とする状勢となっている。今後は大型化にいかに対処するかが重要な課題となってくる。また バリ取りなどに対する応用は今後急速に発展しよう。

5. む す び

電気加工の現在の問題点とその改善されている現状,ならびに近い将来の予想について述べた。電気加工の現物合わせ特性に着目すれば,広大な用途を見つけることができると考えられる。電気加工は,大形化・精密化・直接化・省力化の方向に着々と進みつつある。(昭和46-8-9受付)

参考文献

- (1) 斎藤, 小林:電気加工学会誌 3, No.6 など他 20 編
- (2) 加藤, 片寄:三菱電機技報 43, No. 12
- (3) 斎藤, 小林:三菱電機技報 41, No. 10

欧米における電気加工

久慈陽一*·古池一成*·葉石雄一郎*

EDM and ECM in Europe and America

Nagoya Works Yoichi KUJI • Kazushige KOIKE • Yuichiro HAISHI

General review is made in this article on the technique of electric discharge machining and electrochemical machining in Europe and America, where, it is not exaggeration to say, the rate of the growth is on the rapid increase with the apparatus in question. Mitsubishi sent an engineer to the United States recently to take care of Diax discharge machining apparatus exhibited in SME show held in 1971. A report is made herein on the information obtained in regard to the present state of the electric machining in that country. He also made a visit to East Europe to find how Mitsubishi Diasinker electrochemical machining devices exported there were operating. Description is also made on his observation of the subject.

1. まえがき

欧米においても放電加工機・電解加工機は、金属加工の分野で最 も高い成長率を示しているといっても過言ではない。

ヨーロッパにおいては切削機械の成長率は年1%以下であるが、放電加工機・電解加工機は合わせて年約10%の割合で増加しているといわれる(1)。金型加工(銀造型・プレス型など)への放電加工機の浸透はヨーロッパにおいて特に著しく、また、電解加工は自動車工業に導入されつつあり、電解パリ取りの進出が目立つと報じられている(1)。

一方ァメリカにおいても、放電加工・電解加工は最も成長率の高い 金属加工機である。アメリカは航空宇宙産業の発展により、Space-age metal と呼ばれる一連の難切削材料が広く工業界に使われるように なり、 これらを加工する武器として、 放電加工・ 電解加工に代表 される non-traditional machining processes が台頭してきている (2)(3)。

放電加工はアメリカにおいても金型加工に広く使われており、ならいフライスにとって代わって発展しつつある。「今後、6年以内に鍛造型の70%が放電加工によって加工されるようになる」と Jay Tool & Die Co. の社長 Jim Compton は語っている⁽⁴⁾。

しかしながら、特に最近の用途の拡大は部品加工の分野にあるようである。 これに伴い放電加工のパルス 供給方式として、マルチリード方式が普及しており 50 分割の加工も行なわれている⁽⁵⁾。

アメリカ には放電加工機の MIL SPEC(®)があり、 軍関係の部品の加工を行なう場合には、この規格に準拠した放電加工機を使うように指示している。MIL SPEC では、電源の出力としては 20 A・30 A・40 A・60 A・80 A・100 A・150 A・200 A・300 A・400 A・500 Aが標準として指定されており、1台の電源で出力の 50 %ずつを2台の機械へ供給でき、100 %出力を1台の機械へ供給できるデュアル構成が望ましいとされている。 このように放電加工機が MIL SPEC に標準化されているのを見ると、アメリカの工業力の底力といったものを感じさせる。

アメリカ の放電加工機では,600 A 以上の大出力の電源も使われており,1,600 A,100 in³ per hour(約215 g/min)の大出力でダイキャスト 形の加工を行なっていることが報じられている⁽⁵⁾。

また、ある自動車関係の会社では、200 A ずつの8分割加工およ

び 400 A ずつの 4 分割加工を試みている。電源構成として 400 A の セットが 100 A ごとに分割できるようになっており、この 400 A セットを 4 台で 16 分割加工ができるようなものを製作している電源の メーカー もある。このように電流容量が大きく、分割できる構成をとっているのが最近の アメリカ の放電加工電源の傾向といえる。

各種金属の組合わせによる放電加工特性, すなわち, オーバーカット・ パルスエネルギー・仕上げ面あらさ・加工速度といったデータをコンピュータの メモリー に ファイル し, 種々の応用に適用しやすい形で整理し, より 有効に データ を活用する試みがなされている(7)。

電解型低り機に関しては操作を容易にし能率を上げるために自動化が試みられており、加工深さ設定にディジタルリードアウトを適用したもの、位置決め・割り出しに数値制御を導入したものなどが開発されている(1)。

1970 年 4 月 に デトロイト で行なわれた SME \mathfrak{d}_{3-} の際の コンフェランス には,放電加工よりも電解加工に関する報告が多く,欧米における電解加工の発展性,技術の若さを感じさせた $\mathfrak{c}^{(8)}$ 。

国際的な学会活動も活発に行なわれており、1970年10月にウイーンで ISEM (International Symposium for Electromachining) が開催され、世界各国から論文が発表された。 論文数は約50編で、Adaptive Control EDM, Wire Cutting EDM に関するものが注目を引いた。 当社からも A Method for Adaptive Control in EDM Process⁽⁰⁾と関する論文を発表し、多大な関心を集めた。

以下,筆者の一人がそれぞれアメリカ・東欧に出張して見聞した実 状を紹介する。

2. アメリカ

アメリカでは航空機産業および宇宙産業が発達しており、被削性の悪い耐熱合金を加工することが多く、EDM (放電加工機) および ECM (電解加工機) がかなり広く利用されている。もちろん EDM・ECM ほど多くはないが、EDG (放電研削)・ECP (電解研摩)・電解がり取りなども、それぞれその特質をうまく生かしてかなり活用

されている。その一例としてアメリカの最大航空機会社の一つである。 United Aircraft Corp. の Pratt & Whitny Aircraft Division では, EDM 98台,ECM 106台と日本では想像もつかないほど膨大な数 の電気加工機を利用していることを考えると,彼らがいかに電気加工機をうまく使いこなしているかがうかがえる。

2.1 EDM の適用分野

現在アメリカでの EDM 生産台数は年間 800~1,500 台 (2.08~3.90 Million \$) といわれ、 また 現在アメリカで実動している EDM の台数は約 15,000 台といわれている。

表 2.1 はこれらの EDM がどの分野で多く用いられているかを示すもので、これによると 10 年前には ほとんど 金型製作に用いられていたものが、今日では部品加工がその適用分野の主要部分を占めるようになっている。これは金型製作分野における EDM の使用台数が減少したことを意味するのではなく、部品加工分野における使用台数が急激に上昇してきたことを意味するものである。日本ではまだ EDM のほとんどが金型製作分野に限られており、ちょうど10 年前のアメリカの状態によく似ている。今後日本においても EDM の特質を再発見し、部品加工分野に多くの EDM が使用されるようになるであろう。

2.2 オプティマイザ

このように多くのEDM が1か所に集中され、しかも部品加工用として同じ条件で同じ形状の加工をくり返すという使い方が多くなると、できるだけ自動化された EDM が強く要望されるようになってくる。1971 年4 月に Phiradelphia で開かれた SME 主催の International Conference & Exposition に アダプティブコントロール 装置を取りつけた DM 250 N+90 TF+OP 3 形 EDM を出品したところ、非常に好評を博した。これも オプティマイザ という 自動化および無人化装置が、このような アメリカ 市場の ニーズ に一致したためであろう。 EDM も今後ますますこの自動化傾向が強くなり、 プログラムコントロール 装置、アダプティブコントロール 装置、数値制御による自動位置決め装置、自動電極交換装置、コンピュータを用いた群管理などが広く用いられるようになるものと予想される。

2.3 ヤードポンド法

アメリカではいまだに ヤードポンド法が広く採用されている。学校などで メートル 法を教えたりして、メートル法に切りかえようとの努力は見られるが、実際に切りかえられるのは 10 年後になるであろう といわれている。 したがって現状では機械に取りつける ゲージ 類はすべて ヤードポンド 法を採用しないと、使用上きわめて不便をきたすであろう。 とのような一般的な ディメンジョン ばかりでなく、EDM に関する独得な表現も日本と アメリカ では大きく違っている。

表 2. 2 は EDM の性能を現わす代表的なものの表現方法が、日本とアメリカでどのように異なっているかを示したものである。これによると加工速度を現わすのに日本では 1 分間当たりの加工された重量(g)を用いるのに対して、アメリカでは 1 時間当たりの加工された容積(in³)を用いている。またアメリカでは電極材質としてほとんど(80%以上)グラファイトが用いられているため、電極消耗比についても日本のように重量比で示すことができず、(グラファイトは加工液にひたると、加工液を吸着して重量が増えてしまう)、寸法比および体積比で示している。寸法比については測定する場所によって大きく異なるため、図 2. 2 に示すように 完全消耗比(End wear)・側面消耗比(Side wear)・角部消耗比(Corner wear) とそれぞれの消耗比を分けて示している(a)。

表 2.1 EDM の応用分野 Application of EDM.

			1960年	
金	353	102	NE	80 %
自	功 功	離	築	15 %
部	nn	加	E	5 %
			1970年	
部	nn	,tm	I	60 %
金	型	30	I	35 %
B	160 30	産	業	5.26



図 2.1 SME ショー (1971 年) に出品した ダイアックス 放電加工機 DIAX EDM at SME show, 1971.

表 2. 2 EDM に関する ディメンジョン Dimensions used at EDM.

	H 2	な アメリカ
面 粗 度	μR max	RMS
加工速度	g/min	in³/h
		寸 法 比
	The North Control of the	完全消耗比
電 橱 消 耗 比	重量 上	北 侧面消耗比
		角部消耗 比
		体 植 址
2 9 7 2 2 2	mm	inch

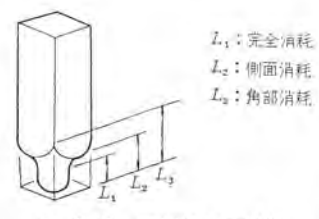


図 2.2 電極消耗の種類 Types of electrode wear.

さらに、この電極消耗比の算出方法にも大きな違いがあり、日本では電極消耗量(重量)を被加工物の加工量(重量)で割ってパーセントで示すのに対し、アメリカでは被加工物の加工量(寸法または容積)を電極消耗量(寸法または容積)で割った値で示している。

このように基本的な特性の表示方法およびディメンジョンが国によって異なることは、今後、国際的な交流が深まるにつれて非常に大きな支障となってくるであろう。1日も早くこれらが統一されんことを強く望むところである。

3. 東ヨーロッパにおける三菱電解加工機

東ヨーロッパへの当社放電電解加工機の輸出は、1966年春の東独ライブチヒでの工作機械国際見本市に MC-20 V 形電解加工機を出品して以来、着実にその地盤を築きつつある現状である。ことに電解加



図 3.1 電解加工した クランクシャフト 鍛造型 (ブルトーザ 用) Crank shaft forging die with ECM.

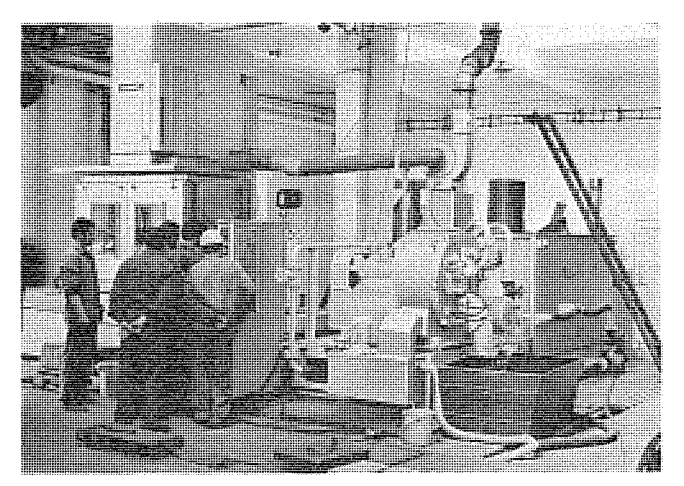


図 3.2 チェコスロバキァ クラドノ 製鋼所へ納入した MC-100 VB 形 (10,000 A) 電解加工機

Electrochemical machining device MC-100 VB (10,000 A) exported to Czechoslovakia.

工機においては前記 57プチヒ 見本市において全出展品目の中の最優秀と認められる 10 点の一つに選ばれて栄誉ある Gold Medal を受賞し、その後 5プロパキア に輸出された 5MC-20 VB、 5MC-100 VB 形 電解加工機はいずれも当社におけるそれぞれの Type 5MC-20 VB、 5MC-20 VB 5MC-20

ここでは チェコの 2 工場における実動状況と その評価について 簡単に報告する。

3. 1 Tona n. p. Pečky

Prahaより東約100km ほどのPečkyという町にある従業員数約1,000名の比較的こじんまりした規模の工具専門メーカーで、モンキーレンチ、スパナ、ペンチなどの生産を行なっている。ここに MC-20 VB 形電解加工機が納入されたのは1967年で、納入して約3年半を経過したが、現在は非常に順調に上記工具の鍛造型にフル実動している。ここを電解加工機の見学を目的として訪問する技術者は年間100名を越えると言われており、まさに三菱電解加工機の東欧における

名を越えると言われており、まさに三菱電解加工機の東欧におけるショールーム的な役割を演じており、東欧圏からの電解加工機の引合いの出発点はすべてことに帰するといっても過言ではない。

1970年の夏に筆者が訪問したときもペッチの鍛造型を約15分のサイクルで次々と生産していたが、数百種に及ぶ電極が工具だなに整然と整理されており、その使用状況には目を見はらされるものがあった。スパナやペッチの鍛造型に関しては従来のフライス加工に依存していた場合と比べて、3~5倍の生産能率の向上を得られたとのことで、今後これらの生産を中心に部品加工、タービッブレード加工の分野にも進出したい希望をもっており、現在2台めの電解加工機の導入

を計画中である。

Praha にある Motorlet という 航空機 エンジン 工場で 英国の Bermax 社製電解加工機を持っており、これを使ってどうしてもうまく加工のできなかった タービンブレード が、上記 Tona の当社電解加工機で実験したところ非常に良好な加工結果を得られたそうで、このことから チェコの ブレードメーカー の ほとんどが この結果を非常に重要視し、当社電解加工機の導入を検討しはじめている。

3. 2 SONP Kladno

Praha の北西 約 25 km の所にある チェコ 最大の製鉄 メーカーで,従業員数 約 20,000 名,操業以来 100 年をこえる 伝統のある工場で,戦前は鉄道用 レール を日本に輸出していた。 ここの鍛造工場に当社の MC-100 VB 形 電解加工機の 1 号機が 1970 年に納入された。使用目的は図 3. 1 に示すような クランクシャフト 鍛造型(ブルートーザ 用)を中心とした金型加工で,約 2 か月にわたる現地据付けおよび技術指導の後,この クランクシャフト 鍛造型に関しては電解加工だけで十分に ± 0.15 mm の要求精度を満足させて加工できることを確認した。

電解加工導入前はこの金型はならい フライスと グラインダ 仕上げによる手作業で製作されていたが、1型あたり仕上げ時間も含めるとほぼ 250 時間を要していたものであり、電解加工機により実に従来の1/10 以下の製作時間に短縮され、大きな利益を得ることができるようになった。据付け終了後の MC-100 VB 形 電解加工機を図 3.2 に示すが、本機は新しく開発された NC 深さ位置決め装置などを内蔵した最新鋭機であり、今後順調な 実動状況にはいれば Tona の MC-20 VB 以上に東欧圏需要家の大きな注目の的となろう。

東欧諸国における工場間の技術交流は、日本では考えられないほどよく浸透しており、これらの工場で高い評価を与えられるとそれが東欧諸国全体の評価とも言えるくらいであり、これらが大きな礎石となって、電解加工機の日本とソ連に次ぐ第3の市場として今後の発展が期待できる。

参考文献

- (1) IRON AGE METALWORKING INTERNATIONAL, DEC 1970
- (2) Non-traditional machining processes, published by ASTME (1967)
- (3) Producibility/machinability of space-age and conventional materials, published by ASTME (1968)
- (4) Material Engineering, Dec., 1970, page 15
- (5) Advance in electrical discharge machining, machinery and production engineering, 18, Feb., 1970, p. 242
- (6) MIL-E-80023 B, 22 September, 1970
- (7) Putting EDM into balance, American Machinist, Feb. 8, 1971, p. 47
- (8) SME TECHNICAL PARER, MR 70–193, 194, 197, 205, 207, 220, 248
- (9) N. Saito and K. Kobayashi: A Method for Adaptive Control in EDM Process, ISEM, PART 1, A 4.6

超大形放電加工機の実用結果

神山欣也*•吉本修*

Results of Applying Giant EDM to Die Making

Mitsubishi Motor Vehicle Co. Kinya KAMIYAMA • Osamu YOSHIMOTO

In the Nagoya factory of the Mitsubishi Motor Vehicle Co., EDM have been put in use for reducing the man-days of finishing the surface configuration of the press die, curtailing lead time and improving the quality. During one year after introducing the apparatus, fifty dies have been machined by this process with success in accomplishing the above objective. The EDM may be said full scale labor saving machining to replace the die spotting press. Though the apparatus have still a few weak points regarding the mechanical system, they are nearing the completion. On the other hand, further development is required for equalizing the copper plated shell thickness and reducing the making time of electrode because the discharge machining is suitable for working on complicated shapes and sharp edges.

1. まえがき

プレス 金型製作に、放電加工を適用し、プレス 金型表面形状仕上げ 工数低減と、ソードタイム の短縮を計るため、1967 年とろより 三菱電 機と協力し、プレス 金型に適用した場合の仕上がり状況・電極製作技 術・コスト 計算等を行ない、1970 年大形放電加工機を導入し実施に 踏み切った。

昭和45年4月より1年間に約50型に、EDM を適用し、上記目的を達成すべく機械および電極製作の完成をはかろうとしている。

最近の労働事情はきびしく、高卒訓練生にしても、従来のように $4\sim5$ 年かかって技術を 72.9- させるのでなく、基礎的技術と簡単な 19.5 様作により、 複雑な形状仕上げを行なえるようにする必要 がある。 また金型製作に占める機械工数と仕上げ工数の比率を、 現状の 19.5

三菱電機製 超大形放電加工機は、上記理由より ダイスポッティング プレス に代わる本格的省力化をねらった機械と言えるもので、完成の時点には、 型製作技術上 不可欠な機械になると判断される。 本文では、過去1年間の EDM 機使用実績および今後の課題等を述べ、プレス 金型への EDM 機の適用完成をはかることを目的としたい。

2. プレス金型の特質

自動車用 板金部品製作技術については、種々資料が出版されており、本文で述べるまでもないが、自工にて標準化されていることを記載し、参考としたい。

2.1 プレス金型の種類

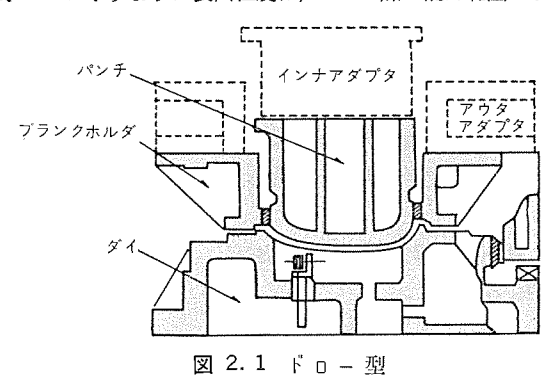
1 部品(ドア アウタパネル・クォータパネル・フェンダパネル)を製作するのに、型は最低 $3 \sim 4$ 種類必要である。たとえばドア アウタパネル であれば、ドロー型・トリム型・第1フォーム型・第2フォーム型が必要であり、複雑な部品となれば、 $6 \sim 8$ 型必要となるものもある。代表的な型のスケッチを図 $2.1 \sim$ 図 2.3 に示す。

放電加工面は、手仕上げを必要とする部分に適用すれば、効果があることより、基本形状 (パンチープランク、下型) に適用するのが 1 ステップ であるが、上型についても板厚を考慮すれば、十分適用可能となる。

2.2 表面粗度

各型各部位でとに表面粗度を定め、型製作を行なっている。トライを実施して グレードアップ を必要とする場合は、 プレス 製品のでき具合により判断して実施する。

表 2.1 に示すように表面粗度は、EDM 加工能力範囲にあるが、



Drawing die.

図 2.2 トリム型 Trimming die.

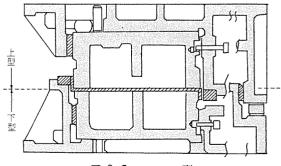


図 2.3 フォーム型 Forming die.

三菱電機技報 · Vol. 45 · No. 10 · 1971

表 2.1 表面相度仕上げ標準 Standard of surface roughness.

	上数	下 型	* 2 1
k n - W	バッチ 1.5~ 3 S フランタ 1.5~ 3 S	y 1 3∼5S	-
カット型	一 数 5~10 S 到 你 1.5~ 3 S	一 赦 5~10 S 到 部 1.5~ 3 S	5~10 S
フォーム側	MX 5~10 S III 76 1,5~ 3 S	一 般 5~10 S 刃 部 1.5~ 3 S	5~10 S

表 2.2 仕上げ作業比率 (1) Comparison of working time (1).

	型事後の ツールマ ーク取り	モデル合せ共合せ作業	みがき 作楽	組付け調整
仕上げ作第(%)	10	30	30	30
省力化の	EDM	EDM 10.%	EDM 15%	ハンドワーク 25%
方向ずけ	EDM	ダイスポット 20%	自動みがき 15%	省 力 化 5%

表 2.3 EDM 完成時の機械仕上げ作業比率 (2) Comparison of working time (2).

	機械作業	出土が作業
	50 %×0.1 5)	50 20
全 取 製 作	50 %×0.1 5	-20
	50 %×0.15 7.5	
	50 %×0.05 2.5	
合 計	70	30

加工能率が悪くなるので5~10 S に加工し、あと表面和度をアップする必要がある場合には、手仕上げを追加すれば十分である。要は、プレス金型への放電加工の適用個所は、ハンドワーク 仕上げを行なっている非定型な曲面形状部、すなわち複雑形状部、およびトリム、フォーム部であり、この部分の加工を機械化(省力化)する価値がある。

2.3 型製作作業内容

型製作作業内容を機械加工と仕上げ加工に区分すると、作業比率 は約50:50である。

仕上げ作業内容は、表 2.2 に示すように、型彫後の ツールマーク 取り作業、モデル 合わせ・共合わせ作業、みがき作業、組立調整作業に区分され、作業比率は概略 10:30:30:30 となる。

放電加工適用作業は、仕上げ作業中、 型彫後の $9-\mu 7-D$ 取り作業・モデル合わせ・共合わせ作業・みがき作業であり、おのおのの作業中、 $10\% \cdot 20\% \cdot 15\%$ EDM 方式に切換えた場合の機械加工: 仕上げ加工比率は、表 2.3 に示すように約 70:30 となり、プレス金型作業の機械化が大幅にはかれることになる。

3. 電極製作技術

3.1 電極材料

電極材料は、従来4-6 黄銅・銅・グラファイト・Ag-W・Cu-W 等が 川いられていたが、低消耗電源の開発に伴い、銅(電気鋼) および グラファイトに焦点が絞られてきた。

使用サイドよりの電極材料の具備すべき条件は、下記項目となる。

- (1) 放電加工の特性
- (a) 安定性
- (b) 電極消耗比
- (c) 加工速度

表 3.1 銅および グラファイト の比較 Characteristics of copper and graphite.

	放電加工における 特 性	材	質	機械加工 性	ひずみ	2	z	Þ
銅	臭	軍 型	辦辦	あまりない	薄板でみ発生			00dm
グラファイト	休止時間を長くし なければならない ので、加工時間が 2~3 倍長くなる	密度 1.6~1.8 例 HK-12 車 HED-11, 13 EDA-103東着	海電極 日立化成	し欠損	薄板で もひず み小	1,300-1	44/1	00dm²

表 3.2 電極 製作コスト比較 Comparison of electrode manufacturing costs.

-	近往	材 料 数 (千円/100 dm²)	加工費(バックテップ) (千円/100 dm²)	合計金額 (手円)	加比格
銷	电额法	250	250	500	1
372	機械加工	₩ 1,080	750	1,830	4
"	ラファイト	斑 800	500	1,300	3

※ 平面形状 100 dm2 厚み 200 mm とした

- (d) 仕上げ面あらさ
- (2) 電極製作上の特性
- (a) 価格と入手性
- (b) 機械的強度
- (c) 被加工性·成形性
- (d) 大きさの制限

特に放電安定性は、放電加工時間およびできばえに影響し、価格は金型製作コストに関係するので、大きな Factor である。

表 3.1 に電極材料として用いられる銅、および グラファイト の比較を示す。

3.2 雷極製作

電極材料は、現在銅および グラファイト に焦点を絞っているが、コストの点より銅を用いている。銅も切削により電極を製作する方法があるが、放電安定性は変わらないとの判定より、銅電鋳法を用いている。電銭法は、複雑な形状の細部にわたり精密な型を作れるとともに、経済的にも有利であり、製作コストを減ずることができるが、銅ブロックよりの製作に比べて、機械的に放電安定性がやや劣る。

銅・銅電鋳・グラファイト電極製作コスト比較を表3.2に示す。

型製作の場合、2章で述べたとおり カス 加工方向が同一であれば、製品形状は各型とも同一であり、1個の電極を2~3型に用いて、はじめてコストが Pay できると判断される。

4. 銅電鋳製作要領および考え方

放電加工を始めるにあたり、銅電鋳製作標準を作成し、製作を進 めてきた。代表的な銅電鋳電極を図 4.1 に示す。

4.1 銅電鋳製作要領

銅電鋳製作要領を表 4.1 に、銅電鋳加工例を表 4.2 に示す。

4.2 銅電鋳用モデル製作要領

到電鈎用モデル製作要領を表 4.3 に示す。

4.3 銅電鋳バックアップ要領

銅電鋳バックアップ要領を表4.4に示す。

5. 放電加工結果

昭和45年4月, 本加工機を導入して約1年間を経過し、その間



図 4.1 代表的な銅電鋳電極 Typical copper plating electrode.

表 4.1 銅電鋳製作要領 Copper plating process.

項目	要領	備一考
1 表面形状	1)支給弱電鋳モデル(ED/M と略称) に対して0.05-0.1 までのクリヤランス 2)形状に対して大きなうね り、おうとつなきこと 3)強末部、分割部ひずみな きこ	ED/M Materials =Resin or Plaster
2 表面钽度	1)5~10μHmax 2)ケガキ線(約0.2mm幅)が鮮 明に写し出されること	
3 銅電鋲厚み (除パックアップ側花)	1)厚み 平均厚み30~6.0mm 最低厚み20mm	
4 表面硬度	銅ストライクで得られる状態	
5 到電鋳パックアップ部 表面組度	バックアップおよびリード線 取付けのため製品形状側ほど なめらかでなくてよい	
6 3 31	等分に2あるいは4分割とする 10~13 1.5~2.0 PVC-1.0t	分割板固定に 接着材を用い ないこと
7 はく離作業	1) Resin対Resin程度ではく離 可能なこと 2) 複雑形状部Si Wax→ビニー ルペイント→銀銃処理 一般形状部 ビニールペイント→銀銃処理	引張り深さ =3kg/1cm²

表 4.2 銅電鋳加工例 Data of copper plating.

49.43.44	ing -r- trit	

1. 脱脂・洗浄・センシタイジング

脂 中性洗剤 (ライポン等) 1) 脱

エアかくはん

 2) タンニン酸処理
 0.5%溶液に常温 5~10分浸漬

 3) センシタイジング
 SnCl₂: 10 g/l, HCl: 40 cc/l (常温 5 分浸漬)

2. 銀鏡処理

· SREETER			
銀	液A 液	還元液B	液
Agl	√O3 72 g	グリオキザール	100 cc
NH	₄OH 62 cc	トリメチルアミン	25 cc
H ₂ () 4 <i>l</i>	水	4 L
 3. 銅ストライク	アメッキ		
浴 組 成	CuSO ₄ • 5 H ₂ O	100 g/ <i>l</i>	
	H2SO4	10 cc/ <i>l</i>	
液 温	常温	20∼25°C	
かくはん	なし		
電流密度	$0.5 \mathrm{A/dm^2}$		
メッキ時間	約 2.0 H		
4. 電 鋳			
浴 組 成	CuSO ₄ · 5 H ₂ O	225 g/l	
	H_2SO_4	60 g/ <i>l</i>	
	UBAC	$10 \mathbf{g}/l$	
電流密度	3~4 A/dm2		
湖 温	常温 20~25°	C	

に約50型の プレス 金型および FRP 用型に EDM を適用した。初期 の時点では、電極を2、4分割にしても、分割効率はアップしなか ったが、途中加工 テスト を三菱電機と協同で行なった。 その結果、

表 4.3 銅電鋳モデル製作要領 Modelling process for copper plate.

M D	作类要领	偷考
1 装面结度	網電鋳はほヾED/Mどおりできるの でうねりのなきこと	
2 表面钽度	装面粗度3~5 8 程度	と石井120 #220 ペーパ井120 #220
3 表面状態	表面に気ほう(プロホール)があると 離型困難となるので穴埋めを要す	
4 ベースホール	ベースホール穴明後、30¢部分は、 腐食されぬようビニールコートする こと	硫酸钠溶液で 腐食される
5 ホルグ処理	耐酸処理をほどこすこと	
6 せっこう部分の処理	せっこうは硫酸銅を吸収するので ビニールコートすること	せきこう崩壊 防止
7 アール部分	アール部分はO ^K をできる限りさけ ること O ^K + 0.5 ^R	正規アールよ り1~1.5°小さ くすること
8 ホルグ寸法	ワーク寸法より小さいほうが電鋳性 はよい。 銅電鋳必要部より30-50mmモデルを 大きく製作する	鋼電鋳端末部 ひずみ発生の おそれあり 電線取付けの ため

表 4. 4 銅電鋳 バックアップ 要領 Back up method for copper plate.

Dack up inclined for copper place.				
AL H	作業要領	備者		
1 #4 F	ED/Mにベースホールピンをそ う入しあらかじめ用意したブッ シュを入れ位置を写し取る	30¢ベース ホールピン		
2 底面决定方法	ワーク寸法およびスライドスト ロークより底面寸法を決める			
3	従来あるスポッティングモデル 製作方法に準する ガラスクロース層 6~7層 ただしケロシンおよび噴出・吸引 用ビニールパイプ穴をあけるこ と	ガラスクロース SW-553 レシンハニカム		
4 韭 準	X-Y方向 ベースホール Z方向 基準線			
5 電線の取付け	放電電流値は最大50 ampである 使用電流値は20-30 ampである			
6 分割壁除去	銅電鋳が分割の場合,バックアッ プ完了後「エンビ」を除去する			
7 表面あらさ	ED/Mで四、銅電鋳凸となるので除去			
8 保 証	スポッティングモデルに順する			

かくはん





図 5.2 放電加工中の ワーク Copper plating electrode. Work piece on discharge machining.

表 5.1 放電加工条件および加工結果(1) Machining condition and result (1).

項目	内	容
型材質	FC-30	
電極材質	銅電鈎	
加工液条件	噴出 100×150	ピッチ
電極個数	1	
適用型数	2	
表 面 積	1,440×770 r	nm
	(110 dm ²)	1
切削代	0.8~1.5 m	m

	比較	計	画	奖*	施
加工条件	#	加工時間	タップ	加工時間	タッブ
荒加	エ	7 5	5-10	170	3-10
中加	I	10	3-10	10	3-10
仕上げ	加工	5	2- 8	5	2- 8
合	計	90 h		185 h	

表 5.3 放電加工条件および加工結果(3) Machining condition and result (3).

項	I	内	容
型权	質	FC	30
電極	材質	網電	<i>9</i>
加工器	条件	質	出
電極	個 数	1	
適用	型数	2	2
表面	i積	2,000×1,	650 mm
		(240 d	m²)
切削	外!	0.5~0.	8 mm

比能	智	M	実	施
加工条件	加工時間	タップ	加工時間	タップ
荒加工	130	6-12- 9	100	6-12- 9
中加工	10	4-10-10	10.5	4-10-10
仕上げ加工	10	2- 7- 7	10	2-10-10
合 計	150 h		120.5 h	
		···		

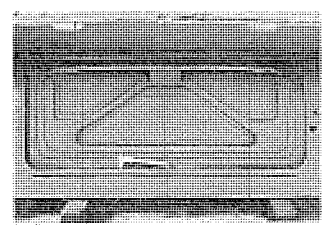


図 5.4 銅電鋳電極 (ドローダイと共用) Copper plating electrode.

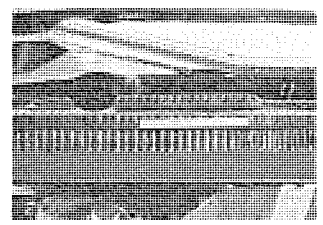


図 5.5 型彫完了 ワーク Work piece before EDM used.



図 5.8 EDM 完了金型 Die produced by EDM.



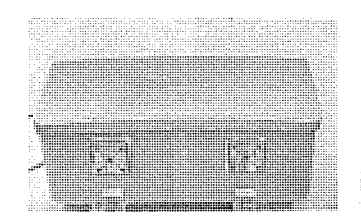
図 5.9 EDM 完了金型 Die produced by EDM.

分割効果の悪いことが確認され、サーボアダプティブコントロール 装置を追加

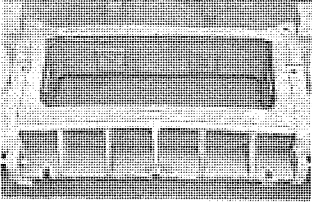
電極製作条件の満たされているものは、 理論加工時間の 1.0~1.2 倍程度で作業が完了するが、電極製作条件を満たしていないものに ついては、2.0~4.0 倍程度となり、プレス金型製作日程上、リードタイム の短縮でなく延長となり問題を引き起こす。下記に適用型のうち、 4型につき写真を示し参考としたい。

5.1 加工例

例 1 ギャラン GTO リヤリッドパネル



(a)



(b)

図 5.3 EDM 完了金型 Die and punch produced by EDM.

表 5.2 放電加工条件および加工結果(2) Machining condition and result (2).

項	E	内	容
型权	質	FC-25-	-SKS3
電極	材質	銅質	鈔
加工液	条件	噴	出
電極	個数		l
適用	型数	2	2
表面	i積	47 d	m²
切削	110	0.8~1.	2 mm

比較	計	回	猆	猫
加工条件	加工時間	タップ	加工時間	タッフ
荒加工	40	5-10	41	5-10
中加工	8	4-10	6.5	4-10 3-10
仕上げ加工	2	3-10 2- 8	4.5	2- 8
合 計	50 h		52 h	

表 5.4 放電加工条件および加工結果(4) Machining condition and result (4).

項目	内 容
型材質	S 50 C
電極材質	電気銅
加工液条件	ふりかけ
電極個数	4
適用型数	リブ 16カ所
表 面 積	3-5 dm²
切削代	中央部ポス孔あり

比較	悟	囲	奖	liu
加工条件	加工時間	タッブ	加工時間	タッブ
荒加工	0.5	3-10	1.0	3-10
中加工	0.5	2-10	0.5	2-10
仕上げ加工	0.5	1- 7	0.5	1- 7
合 計	1.5 h		2.0 h	

リブは寄せ加工をするので合計 6 h となる。

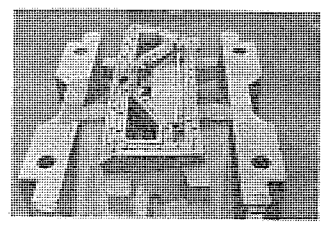


図 5.6 EDM 完了金型 Die produced by EDM.

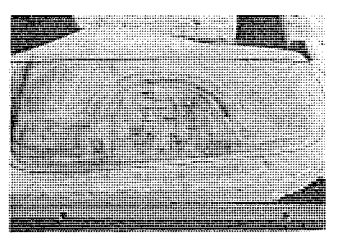


図 5.7 銅電鋳用 モデル (Nコート十石こう) Model for copper plating.

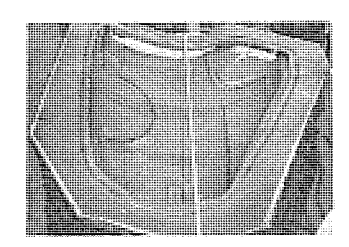


図 5.10 銅電鋳電極 Copper plating electrode.

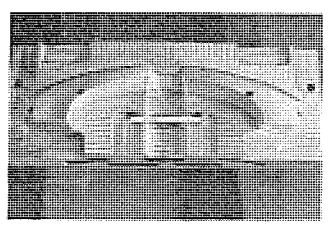


図 5.11 型彫完了 FRP 型 Work piece before EDM used.

加工条件および加工結果を表 5.1 に示す。 例 2 ギャラン GTO リヤリッドインナパネル

加工条件および加工結果を表 5.2 に示す。

例3 クォータパネル

加工条件および加工結果を表 5.3 に示す。

例4 テスト品 リブ加工

加工条件および加工結果を表 5.4 に示す。

5.2 加工面積と加工時間

加工面積に対する加工時間は、電源性能より理論的には簡単な式



図 5.12 EDM 完了FRP型 Die produced by EDM.

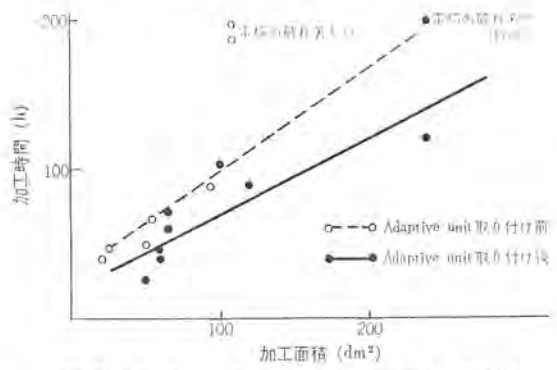


図 5.13 加工面積と加工時間の関係 Characteristics of working area vs. working time.

で表わされるように考えられるが、実作業においては、種々な ファクタが異なった状況を示すため、一概には言えない。関係する ファクタ としては下記項目がある。

- (1) 被加工物材料
- (2) 加工形状・加工深さ・電極面積・電極形状
- (3) 電極材料
- (4) 電源の諸要因 (加工電圧・加工電流)
- (5) 加工液
- (6) 機械装置の諸要因 (電極の送り機構方式,精度など)

特に製品形状が複雑,シャーブエッジを有する場合は、銅電鉄が極端 に薄い部分ができ、加工中、電極が破れるケースがある。電極が破 れると加工が進まず、型製作日程に大きな影響を与える。

代表的な型の加工時間実績と加工而積の関係を、図 5.13 に示す。

5.3 か(稼)動状況

本加工機は、加工にはいれば24時間 FULL か動を実施し、加工にはいって、放電安定を得るまでのロスタイムを可能なかぎり減少させている。操作者も加工初期の段階では、ポペレートするが、加工が安定すれば、1時間に5分程度加工状況をチェックするのみで、事実上無人化機械であると言える。

一例 ワークサイズ 2,500×1,550 mm

加工面積 95 dm²

機械か動時間 89.5 時間

操作時間 27.0 時間

6. 放電加工後の仕上げ(後加工に対する影響)

6.1 分割部・加工液噴出部および吸引部加工

加工表面積が多くなれば、放電加工時間を短縮するために、2分 割、あるいは4分割を行ない、かつ放電安定性をうるために、噴出 ・吸引口を設ける。



図 6.1 分割部,噴出,吸引未加工部研削作業 Hand finishing after EDM.



図 6.2 EDM 完了金型 Die produced by EDM.

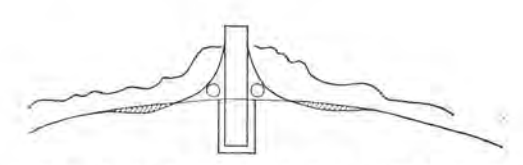


図 6.3 分割部に発生するくぼみ状況 Cutting section at the barrier separating two electrodes.

一般には簡単なように言われているが、加工而が硬化しているので仕上げにくい。

6.2 放電加工面の硬化性

放電加工而は急冷されているので、もちろん焼入れされた状態になっており、ヤスリ等では切削できない。したがって、エアグラインダ等を用いて放電加工されてない部分を切削する。放電加工面は、放電電圧・電流により異なるが、一般に変質層の厚みは、0.07~0.1程度と判定される。(顕微鏡写真による)。ドローダイのように、表面相度1.5Sを必要とする型については、表面硬化層を除去する必要があり、グラインダ # 60、DISC ペーパ にて作業を行なう必要を生じる。

6.3 分割部分のくぼみについて

放電加工されない分割部を、グラインダ にて研削した後、 問題になるのは分割部近辺のくぼみである。

銅電鋳電極としては、銅電鋳モデルに入り込むことになり、 考えられない現象であるが、 事実数型について見い出されており、 分割部分に発生する内部応力的な力により 局部的にひずみを発生させるのではないかと思われる。

局部的くぼみ部除去作業は、金型仕上げ作業中困難な作業であり、 放電加工効果を半減させ、(まったくなくしてしまうほど)型に悪影響を与える。スケッチを図 6.3 に示す。

6.4 放電加工面の機械作業性

ダイによっては、EDM 後機械加工を実施するものがあり、 その 場合の カッタ 異状摩耗に若干問題を生じている。 スケッチを図 6.4 に 示す。

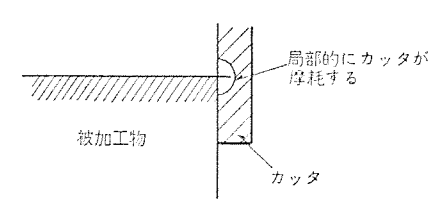


図 6.4 カッタ異状際耗状況 Abnormal wear of cutting edge.

7. 使用加工機の概要

DM 5000 Type 放電加工機については、 斉藤・青島・ 加藤らが プレス 技術 85 8巻 7号 (昭 45) に概略説明されているので、使用 サイド から見た加工機の条件および 1 年の 使用履歴等について しるしてみたい。

7.1 加工機について

7.1.1 ストレートサイド型 放電加工機

大形放電加工機 メーカー としては、アメリカ CINCINNATI、ヨーロッパでは、イタリア LAMATE、スイス AGIE 等あり、それぞれ独特の機構をもった放電加工機を製作しつつある。今回導入した DM 5000 Type は、ダイスポッティングプレス に代わる機械として設計された結果、電極と被加工物との位置合わせは機械的にはできず、被加工物・電極間で考えねばならない。 特に FRP 型で大ものの型になれば、放電加工機でないとできない作業、あるいは放電加工であれば、よりメリットの出る複雑形状、シャープエッジを有している作業で、できればストレートサイド型よりは、X・Y 方向移動式のほうが位置合わせが簡単になり、被加工物・電極の段取り工数の節減に役立つと考えられる。

7.1.2 自動放電加工形式の導入

加工面が平面以外の場合は、深さ設定が困難であり、事実上あまり役に立たない。今後の開発方針としては、下記2項目を希望したい。

- (1) パルス 幅一休止幅—TP セッティング の自動制御(Adaptive Control System の採用)
- (2) 曲面形状に対して深さ設定ができないので、放電加工面広さを電気的に感知し、自動的に作業をストップさせる。特に放電加工機は ダイスポット と異なり、加工液中で加工するから、 視的に チェックできず、その都度 スライド を上昇させ、液を タンクに戻し チェックする 必要がある。

加工を始めれば、安定するまでに $0.5\sim1.0$ 時間、加工条件の悪いものであると、 $1.0\sim3.0$ 時間かかることも考慮に入れると大きな $_{\rm Jur}$ が考えられる。

7.2 電源について

本加工機には、DE-120 T 電源 4 個が設置されている。 電源性能 を表 7.1 に示す。

プレス 金型表面積は、50~250 dm² 程度ある。今 仮に、 型表面積 200 dm² で、切削しろが 1.0 mm 均一にある場合の EDM 時間は

$$\frac{A \cdot t \cdot \rho}{60 \cdot n \cdot W \cdot \eta} = \frac{100 \times 200 \times 0.1 \times 7.8}{60 \times 4 \times 2} = 32.5(h)$$

ただし A:加工面積 (cm²)

表 7.1 DE-120 T 電源性能表 Specification of DE-120 T.

DE 120T 性 能		DE-120 T	4×DE-120 T
最大平均加工電流 最大加工速度(電極 納, グラファイト) 最良仕上げ面あらさ	Amp g/min µH max	約 50 約 2 6-8	約 200 約 8 6-8
電極消耗比(低消耗条件)	%	1以下	1以下

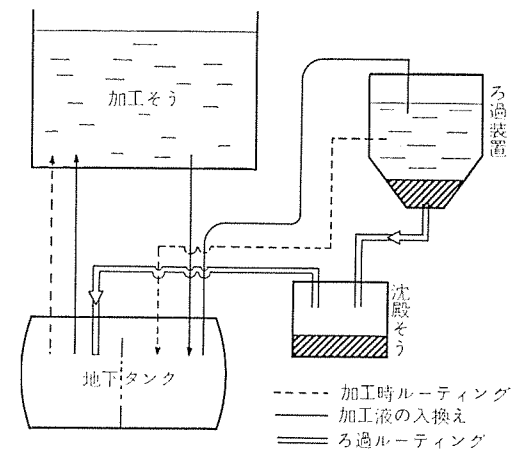


図 7.1 ろ 過 装 置 フローシステム Schematic drawing in plumbing of filter.

t: 切削しろ (cm)

ρ:被加工物の密度 (g/cm³)

n:電源台数

W:電源1台当たりの加工速度 (g/min)

η:分割効率 (η=1 と仮定)

加工初期,仕上げ加工・Duty-Factor・放電安定性・表面あらさおよび電極消耗を考えると,事実上 2g/1 電源の加工はむずかしく,理論値の $3\sim4$ 倍となっている。また型彫加工時間の短縮を計ろうとすれば,切削しろはさらに大きくなり,現有電源では,プレス型製作リードタイム内に放電加工を完了することは不可能と思われる。したがって加工電流をさらにアップさせ ($200\sim400$ A),荒加工は大電流を,仕上げ加工は微少電流を流せるような広範囲な性能を有する電源の開発が急がれる。

7.3 ろ過装置について

現状のろ過装置 フローシステム を図 7.1 に示す。 ろ過装置は自動化システム になっているので、チェック はあまり実施してないが、装置に付いている連成計は、いつも目づまりを起こしていることを示している。 エア 逆洗しても 1.0~2.0 時間でその状態となる。また沈殿そうに沈殿した スラッジ は、現状では手動的に取り除くようになっているが、 マグネット 方式か遠心分離方式かにして自動的に除去したほうが効率がよいと判断される。

7.4 塗装について

加工そう内部は、ケロシンが常時触れるので耐油性塗料を用いているが、他の部分が耐油性でないので、ケロシンで触れたりするとすぐケロシンを含みはがれてくる。

今後 EDM 機と名の付く機械は、すべて耐油性塗料を用いるべきだと思う。

8. 安全対策およびその効果

DM 5000 Type 放電加工機は,加工液として 第 3 石油類に属する 50000 を 17,000 1 保有しているため,下記安全装置を保有している。

8.1 安全対策

(a) タンク 容量は 15,000 l で地下埋設式である。

(b) 液面制御装置

一定位置より液面が下がった場合には、加工電源が切れる。加工 そう内の液温が一定値 (50° C) 以上に上昇した場合には、加工電源 が切れる。(検出はそう内4ヵ 所)

(c) 加工液冷却装置

る過装置を通った加工液温度が一定温度以上のときは、熱交換器 で冷却する。

(d) 加工粉たい(堆)積検出装置

何らかの原因で加工部周辺に加工粉がたい積すると, これが事故の原因となる場合があるので, たい積高さが一定高さ以上になった場合には加工電源が切れる。

(e) 排煙装置

加工によって発生する フューム は、排気 ダクト によって工場外に排 出している。フューム は予想より量が少ない。

(f) 炭酸 ガス 消火器の設置 (45 kg×3)

万一火災が発生した場合には、ボタン操作で消火できるよう機械周辺に CO₂ 消火器を設ける。CO₂ 消火器手動で操作一電源 OFF-ベル吹き鳴らし

(g) 大形粉まつ(沫)消火器の設置

消防法規定により、BC 消火器 100 kg 入り 1本

8.2 効果および過去1年間の実績

上記安全装置の作動状況および不具合時の対策を,表8.1 に示す。

8.3 その他

機械導入当初, ろ過装置下部に設けられている吸引用 ポップ 軸受 部より煙が発生した。

この事故の原因は、ポンプ空転により軸受部に熱を持ち、ケロシンが燃えかかったもので、煙発生後直ちに®ボタンを押すことにより、火を見ないですんだ。処置としては、吸引ポンプ部にプレッシャスイッチを設け、一定圧以下の場合は吸引ポンプ部電源を切ることにした。以後事故はない。

8.4 結 論

8.3節のように初期計画時には、考えられないような事故が起こ

表 8.1 安全装置の効果および不具合対策 Effect of safty device.

項	E	作動件数	効 果	対 策				
	Ь	2	有	バルブゆるみ締め直し				
	с		未確認					
	d	多り	特に大物型加工時多い	たい積粉除去				
	e	常時	加工時フュームよりケロシン 臭気が強い	現状より強力なほうがよい				
	f	2	導入時および 10 月テスト実施	テスト後補充				
	g	0						

るものであるが、全般的には安全な機械であるとの感じを持っている。

9. 放電加工による経済的メリット

「まえがき」にも記述したとおり、放電加工を型製作に用いることにより、 工数低減・リードタイム の短縮、 さらに精度向上をはかろうとしている。

9.1 工数低減

プレス 金型製作の従来方式と EDM 方式との プロセス 比較を図 9.1 に示す。 EDM 作業部のみを比較すれば,表 9.1 のごとく,工数的には $45 \, \mathrm{h}: 145 \, \mathrm{h}$ となり,一見低減したように見えるが, 電極製作費を考慮に入れると, $\mathring{\Gamma}$ ロー・カットダイ 2型に 1 電極を併用して,約 15 %の工数低減がはかれる程度である。

したがって電極製作費用の ダウン と 4 電源か動率効率の向上,電 鋳殻厚みの均一化をはかることにより, EDM 加工時間を短縮し, メリットを出すようにしたい。

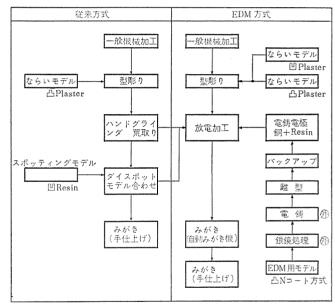


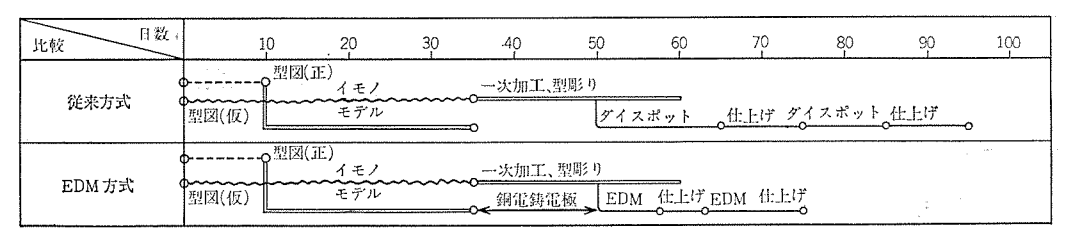
図 9.1 従来方式と EDM 方式との プロセス 比較 Comparison between EDM and conventional system.

表 9.1 従来方式と EDM 方式の工数比較 Machining time of comparison between EDM and conventional system.

	EDM 方 式	従 来 方 式
仕上げ工数 (h) みがき工数 (h)	27 h (M/C h 89.5 h) 18 h	109 36
合 計 (h)	45 h	145

例 ギャランクーベ クォータパネル カットダイ 型寸法 2,500×1,550 mm EDM 面積 95 dm²

表 9.2 従来方式と EDM 方式 リードタイム 比較 Total time comparison between EDM and conventional system.



9.2 リードタイムの短縮

従来方式と EDM 方式 リードタイム 比較を表 9.2 に示す。従来方式で鋳物完了後,一般機械加工一型彫加工完了までの間に,電極製作ができればよい。

ただし電鋳作業に,15~20 日間もかかれば,スポッティング 合わせー みがき作業短縮分を吸収してしまうことになり,リードタイムの短縮は 事実上不可能となる。

外国文献によれば、電鋳作業は約10日間で、厚み6.0 mm に仕上げるとのこと電鋳製作技術の向上発展が望まれる。

10. 今後の課題

10.1 電極製作

低消耗電極材料については、三電技報あるいは外国文献にも、銅 および グラファイト が最適としるされている。

現在、銅電鋳電極を用いているが、放電加工時の電鋳殻破れの防止、電鋳日数の短縮が大きな課題となっている。

特に電鋳溶液として硫酸銅を用いているので、 複雑形状・シャープ エッジ 部への メッキ 性が悪く、破れの大きな原因となっている。 電鋳 溶液の変更も一つの解決策である。

他の方法だと作業温度が高くなり、電鋳用 モデル の変形も テスト により は握する必要がある。

表 10.1 EDM 適用個所 Application of giant EDM.

型	EDM適用個所	災 施 扶 況
ドローダイ	バンチーブランク表面—— ダイ - 表面 -	昭 45.4より実施
カットダイ	下型 表面 上型 表面 刃合せ	昭 45.7より実施 メリット算出後実施
フォームダイ	下型 表面 上型 表面 曲げ間げき	テスト後実施
FRP 型	上型 下型 補強リブ	- 昭 46.3より実施

10.2 適用率の向上

表 10.1 に示すように適用個所は多岐にわたっており、表面形状のみでなく、カットダイ: 刃合わせ、フォームダイ: 曲線合わせに適用することにより、適用範囲はスポッティング作業の60%程度となり、適用率・か動率も飛躍的に向上するものと思われる。

10.3 加工機の完成

導入以来1年間 フォロー を実施し、不具合項目は 90 % 近く解消されている。残りの不具合項目については、1年点検実施時修正予定となっている。

電源・ろ過装置・機械本体については、7章にて記載済みである。

11. む す び

大形放電加工機を,プレス型表面仕上げに過去1年間用いてきた。 機械系については、まだ若干の不具合は残っているが、初期計画に 対して、ほぼ90%程度まで目的を達したと判断している。本加工 機を有効に活用できるかできないかは、電極製作にかかっており、 特に経済性・型彫能力の点より、銅電鉄技術に負うところが大きい。

銅電鋳技術のベター な点は、型製作モデル系列の利用ができることであり、一歩進んで、複雑形状・シャーヴェッジ 部に均一に電着でき、放電加工時 破れがなくなれば最適となる。 この方面の開発に全力を傾注したい。

最後に、三菱電機担当者(サービス・開発・営業)には、本加工機導入以来いろいろお世話願っており、今後とも大形放電加工機および電極製作に関して共に努力したいと思う。

参考文献

- (1) 倉藤, 鳳: 放電加工, not 社(昭36)
- (2) 三菱電機技報, 41, No. 12 (昭 42)
- (3) 元木:放電加工, 日刊工業(昭41)
- (4) CINCINNATI, Cavity Applications and Electrodes
- (5) Cutting with a spark, American Machinist, July 4 (1966)
- (6) EDM Makes it Big, American Machinist, June 20 (1966)
- (7) LAMATE, EDM Machine R. C. F/6,000

放電加工の応用

久 慈 陽 一*・真 鍋 明* 平 松 萬 彦*・足 尾 栄 司*

Application of Electrical Discharge Machining

Nagoya Works Yoichi KUJI • Akira MANABE Kazuhiko HIRAMATSU • Eiji ASHIO

This article first gives a brief description on the manufacture of electrodes for discharge machining. Then, it introduces examples of work such as on plastic mold, steel to steel machining and parting line matching by using a F circuit which is in the extension of the machining scope of transistor power supplys.

Finally it states a system consideration on the discharge machining processes. It is emphasized that to improve the productivity of factories with discharge machining apparatus necessitates firm establishment of applied technique in relation to the discharge machining involving the design of electrodes.

1. まえがき

最近の放電加工機の技術的進歩は実に著しいものがある。しかしながら、どのような機械装置であっても、その装置自体(ハートウェア)のみでは広く実用化され普及することは困難であって、 利用技術(ソフトウェア)が伴ってこそ工業技術として普遍的なものとなる。

放電加工機は多くの金属加工機の中でも、特に利用技術への依存度が高いものといえよう。ハードウェアの派手な進歩にくらべれば利用技術は地味な存在ではあるが、放電加工法の普及発展には実に重要であり、地道に技術開発が行なわれている。放電加工機を使う立場から見ると、機械は買ったが、さて、電極をどうやって作るかが最初につき当たる問題であり、現在の放電加工機では電極なくして加工はできないのである。

この電気加工特集号では放電加工機を作る立場からの解説が多いが、ここでは放電加工機を活用する側に立って、その利用技術と加工例について紹介し、読者の参考に供したい。

2. 電極製作法

2.1 切削・研削・手仕上げによる方法

グラファイト・銅・銀 タングステン・銅 タングステン といった,機械的加工性が比較的よく,かつ,放電加工性のよい材料を切削・研削によって加工し放電加工電極とするのが最も基本的な方法である。今後は グラファイト が最も多く 放電加工電極として 用いられるようになるのは必至である。 わが国では放電加工電極用の グラファイト の開発が欧米より遅れたせいもあって,銅に執着する傾向があったが,最近,わが国でも材質のよい グラファイト が製作されるようになってきている。欧米では 電極としては グラファイト が圧倒的に多く 用いられている。 放電加工の能率向上の最大の問題点は電極製作時間にあるが,グラファイト は切削性・研削性が非常によく,手仕上げも容易にできるので電極製作時間短縮のうえから最適である。

2.2 鍛造成形による方法

すでに元金型があって、その後、くり返し多数放電加工によって 鍛造型を製作する場合に適用できる方法である。元金型で銅材を鍛造して成形し、熱間鍛造の場合は鍛造後、一度冷却してスケールを酸 洗いで除去した後, 再加熱 200~500℃ で数回 コイニッグ して収縮を修正するとよい。しかしながら, 浅い単純な形状の場合にはよいが, 深い複雑形状の場合は精度上不十分である。スパナなどの工具の鍛造 型加工に適用されている。

2.3 銅電鋳による方法(1)

複雑な細かい模様が多い プラスチックモールド 金型、ガラス 金型、アルミダイカスト 金型、大面積の絞り 金型など幅広い用途がある。 ただし、現在広く行なわれている硫酸銅方式では 電着層の厚さは $2 \sim 3$ mm 程度であるので、荒加工に適用するのはむりであり、前加工後の放電仕上げ加工に適用する必要がある。 深いみぞや穴形状は シャープコーナ 部への電鋳が不十分であり、ある程度形状に制約を受ける。

今後は、シアン 化銅方式が 毒性の 解消技術を伴って使用されること により、前記の欠点が改善され、 発展が予想される。

図 2.1 に示す銅電鋳電極製作 フローチャート のごとく, 石こう, 木型, 樹脂型などを母型として, これに銅電鋳を施す。この間, 切削等の工作は要せず, 人手もあまり必要でない。電鋳時間が長いことが欠点ではあるが無人運転であるから経済的である。電極面積が大きいものも軽量ですむという利点がある。

2.4 溶射による方法

以前は銅溶射による電極は消耗が多く、あまり顧みられなかったが、特殊なプロセスを採用することにより電気銅とほとんど変わらない低消耗特性を発揮する銅溶射電極の製作が可能となった。

電鋳法に比較して 厚みの コントロール が容易でみぞ部などにも 短時

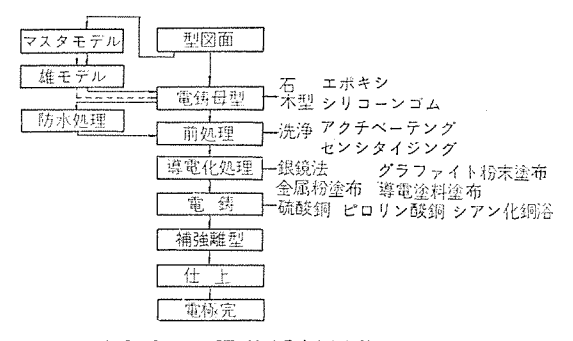


図 2.1 銅電鉄電極製作 フローチャート Copper electroforming process for EDM electrode.

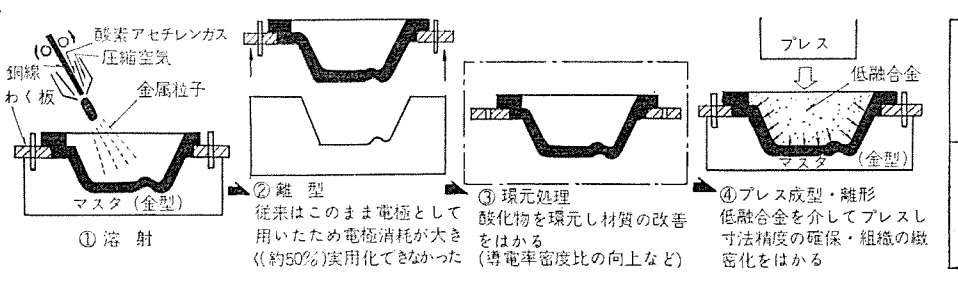


図 2.3 放電加工による 電極製作法 Electrode machining method by EDM.

図 2.2 溶射電極製作 フローチャート Copper spraying process for EDM electrode.

間に必要な厚さに付着させることができる。製作に当たっては金型が必要になるが、電鋳法よりも製作時間も短く放電荒加工も可能である。同じ型を繰り返し加工する鍛造型加工用電極の製作に適切である。図 2.2 に溶射電極製作フローチャートを示す。

2.5 その他の方法

(1) 放電加工による製作法

断面積のきわめて小さい異形状では電極製作そのものが非常に困難である。 たとえば 1 辺 0.5 mm の正三角形断面をもった電極を製作する場合は,図 2. 3 のごとく 3 枚の電極材(Ag-W または Cu-W)を組み合わせて,1 辺 0.5 mm の正三角形穴を造り,これをマスタ電極として,本番の電極を放電加工によって製作する方法がとられる。これは一般に,微細異形状の電極製作に有効である。

(2) 市販品を使用する方法

微細丸穴加工には市販の銅パイプ・銅タングステンパイプ・銅線・タングステン 線を利用すると便利である。

0.2 mm φ以下の微細丸穴加工には鋼線・タングステン線を使用する。 との場合の加工深さは通常、穴径の約10倍までである。

0.2 mm φ以上の丸穴加工には銅パイプ・銅タングステンパイプを使用する。 この場合の加工深さは穴径の 50 倍も可能 で あ る。 銅パイプは 0.2 mm φ 以上のものが市販されている。

3. 放電加工応用例

3.1 F 回路の適用

従来のトランジスタパルス 電源は、 単純な方形波電圧を加えるだけであったが、最近は高電圧を重畳する特殊波形を採用することによって、 放電加工性能の 改善が 図られるようになった(三菱 ダイアックス F 回路)。

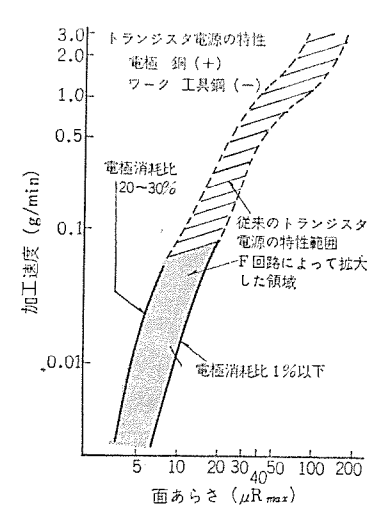


図 3.1 F回路付き トランジスタ 電源の加工速度—面あらさ曲線 Removal rate vs. surface roughness by transister power supply with F circuit.

ここでは、F 回路によって拡大された新しい応用例を紹介する。

2

1

(1) 従来、トランジスタ 電源では電極消耗比1~2%程度の低消耗条件では仕上げ面あらさは 15 μR max 程度が限度であり、鍛造型のように仕上げ面のあらさをそれほどきびしく要求されない場合には支障はないが、プラスチックモールド金型・ガラス金型のように仕上げ面を鏡面近くまでもってゆく場合には、放電加工後の手仕上げ時間が放電加工時間と同程度の長さを有し、この短縮が強く望まれていた。放電加工された金型表面は、仕上げ面あらさと同程度の硬化層が存在し、これはビッカース 硬度で900~1,000 にも達し、みがきに困難をきたす。放電加工の仕上げ面が細かければ、それに応じて硬化層の厚さも減少するので、みがき時間を大幅に短縮することができる。

F 回路は 図 3. 1 の特性曲線に見られるように 1.%前後の低電極消耗条件においても $5\sim 6\,\mu\mathrm{R}$ max の細かい仕上げ面が得られ、 ブラスチックモールド 金型の加工に威力を発揮する。 F 回路によって放電加工を行なえば手仕上げ時間を大幅に短縮できる。

図 3. 2, 3. 3 に プラスチックモールド 金型の加工例を示す。

(2) また、高電圧重畳によって、 従来の トランジスタ 電源では、 不安定傾向が強くて実用化されていなかった鉄対鉄の加工も、安定

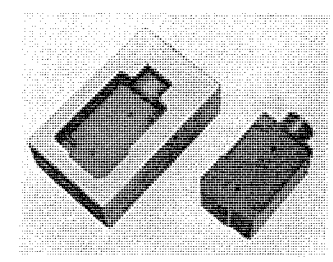


図 3. 2 無接点リミットスイッチケース
の モールド型(左)と銅電極
(F回路による加工)

Limit switch molding die and copper electrode (Electrical Discharge Machining by F circuit).

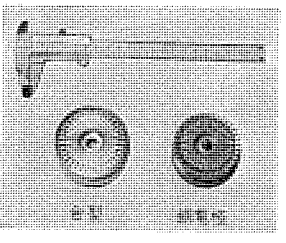


図 3. 3 ヴラスチックモールド型 (ダイモ) (F 回路による加工) Plastic molding machined by means of F circuit.

加工区分 条件項目	荒 加 エ	中加工	仕上げ加工
電源機種	DE-30 T-F	DE-30 T-F	DE-30 T-F
電 極	Cu	Cu	Cu
被加工物	SKD-11	SKD-11	SKD-11
電極々性	(+)	(+)	(+)
加工セッティング	2 ノッチ	2 ノッチ	1 ノッチ
電流微調	4 ノッチ	1 ノッチ	4 ノッチ
パルス幅	8 ノッチ	8 ノッチ	7→1 ノッチ
体 止 時 問	4 ノッチ	5 ノッチ	6 ノッチ
ギャップ調整	1 ノッチ	4 ノッチ	4 ノッチ
加工電圧	40 V	40 V	40 V
加工電流	7 A	4 A	2 A
加工液压	噴射 0.5 kg/cm ²	噴射 0.5 kg/cm ²	噴射 0.5 kg/cm ²
加工時間	2 時間 40 分	30 分	15 分
面あらさ	20 μR max	15 μR max	4 μR max
電極消耗比	1 %以下	1 %以下	2~3 %

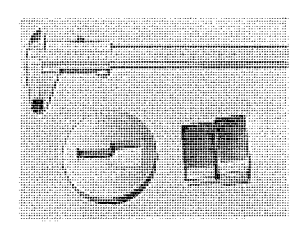
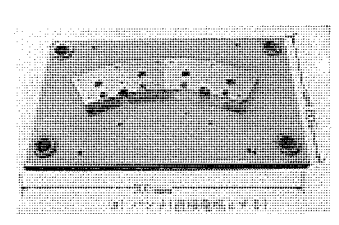


図 3.4 プレス 抜型 (ド回路による鉄対鉄の加工 左ダイ、右バンチ)
Punching die, steel to steel machining by means of F circuit.

条件項	l l	加二	工区分	進 部	刃	部
電	源	機	種	DE-30 T-F	DE-3	10 T-F
電	~~~~		極	SKD-11	SK	D-11
被	加	工	物	SKD-11	SK	D-11
電	極	t t	性	(+)	(-	+)
加工	セッ	ティン	グ	4 ノッチ	3 /	ッチ
電	流	徵	201	4 ノッチ	4 /	ッチ
バ	ル	ス	帽	6 ノッチ	1.7	ッチ
休	止	時	問	6 ノッチ	4 /	ッチ
ギ	ヤッ	プ調	整	4 ノッチ	4 /	'ッチ
加	I	電	圧	40 V	4	0 V
加	I	電	流	7 A		2 A
加	Ι.	液	圧	噴出 0.05 kg/cm ²	吸引 1	5 cm/Hg
tn	工	時	間	20 分	. 40) 分
面	あ	ら	さ	30 μR max	7 μ]	Rmax
電	極	消耗	比	12 %	1:	3 %

注) 放電しろ (片側) 1 mm



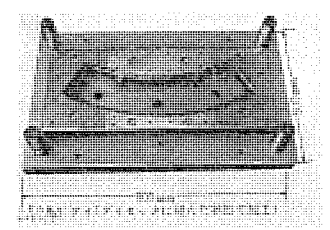


図 3.5 大形抜き型のパッチによる直接加工 (約70時間) (F回路による鉄対鉄の加工例) Large blanking die, steel to steel machining by means of F circuit.

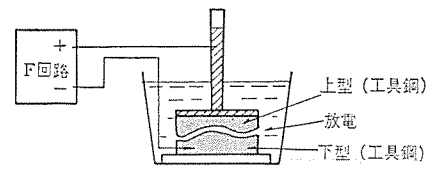


図 3.6 型合わせ加工(パーティングライン 合わせ) 方法 Parting line matching by EDM.

高能率に加工できるというメリットが生まれてきている。これは抜型を加工する場合、パッチで直接ダイを加工することが可能となり、大幅な工程短縮を行なうことができる。グラファイト・銀タングステン・銅タングステンなどをパッチ 先端に張り付けて電極とする場合にくらべれば、鉄電極での加工速度は遅いが、電極材料の経済性、電極製作の手間などを総合して考えると十分効果的な場合がある。

図3.4,3.5に抜型の鋼電極による加工例を示す。図3.4の抜型ではずイの裏側から加工し、最初、逃し部分を電流多く、クリアランスの大きい条件で彫り下げ、切刃部分に至ってから、電流少なくクリアランスの小さい条件として切刃部を仕上げている。

図3.5 は大形電動機の鉄心けい素鋼板の抜き型を ダイセッタ に組んだ状態で パッチ でダイ を直接加工したものである。

(3) 鉄対鉄の加工は プラスチックモールド型, ダイカスト型などの型合わせ (パーティングライン 合わせ) に活用することができる。パーティングラインが複雑な曲線をしている場合には,型合わせは大変やっかいな人手を要する作業である。これに対して上型と下型とをともに放電加工機に取付け,それらの間に放電を行なうことによって精密に型合わせを行なうことができる。図3.6 に型合わせの方法を示す。図

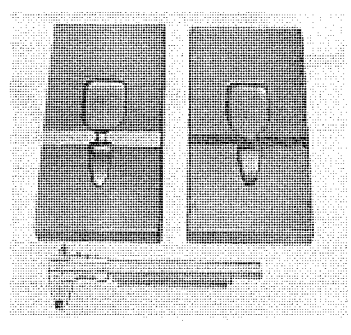


図 3.7 パーティングライン 合わせを行なった ヘアブラシ 柄 モールド 金型 Parting line matched molding dies by F circuit.

条件項	i E	Ju.	工区分	荒 加	ı.	仕上げ加工
電	源	機	租	DE-90 T-F		DE-90 T-F
偃			極	SKD-11		SKD-11
被	ħn	I	物	SKD-11		SKD-11
電	極		性	(+)		(+)
כוול	Cセッ	ティン	17	4 ノッチ		3 ノッチ
電	流	微	調	4 ノッチ		4 ノッチ
バ	ル	ス	幅	4 ノッチ		1 ノッチ
休	뱌	時	[6]	5 ノッチ		4 ノッチ
#	ヤッ	ブ 調	整	4 ノッチ		4 ノッチ
tin	工	電	圧	40 V		40 V
nt	I.	机	流	5 A		2 A
加	T.	液	圧	噴射 0.3 kg/ci	n^2	噴射 0.3 kg/cm ²
nt	工	時	間		1 時間	1 30 分
TI	あ	6	ŧ	20 μR max		7 μR max
電	極	消耗	比	11 %		18 %

(パーティングライン合わせの加工条件)

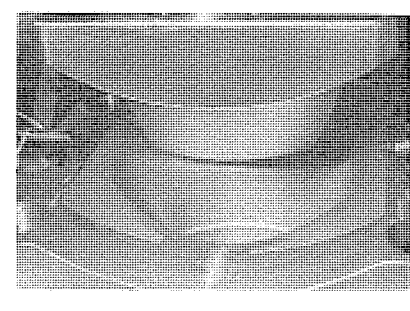


図 3.8 パーティングライン 合わせを行なうための上型と下型の セット 状況 Parting line matching.

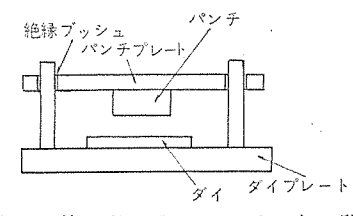


図 3.9 抜き型の ダイセッタ による加工説明図 Electrical Discharge Machining in die set.

3. 7 に パーティングライン 合わせを行なった金型と加工条件を、図 3. 8 に パーティングライン 合わせを行なうための上型と下型の セット 状況を示す。

3.2 放電加工プロセスのシステム的考察

放電加工によって金型を加工する場合、放電加工の メリット をより いっそう活用するために放電加工前後の工程を考えた合理的な使い方が重要になってくる。

(1) ダイセッタ による加工 (図 3.5・3.9・3.10参照)

抜き型加工は高精度を要求されるので機械の剛性が問題になるが、 機械精度をきびしく要求することは設計・工作上から限度がある。 ダイセッタ に組んだ状態で放電加工すれば、機械精度に関係なく高精 度の抜き型を加工できるとともに大幅な工数低減を行なうことがで きる。これは電極形状が高精度で転写されるという放電加工の本質 的特長を生かしたもので、パッチとダイのクリアランスが全周均一に加 工されることに大きなメリットがある。とくに大形のブランクダイ、トリ

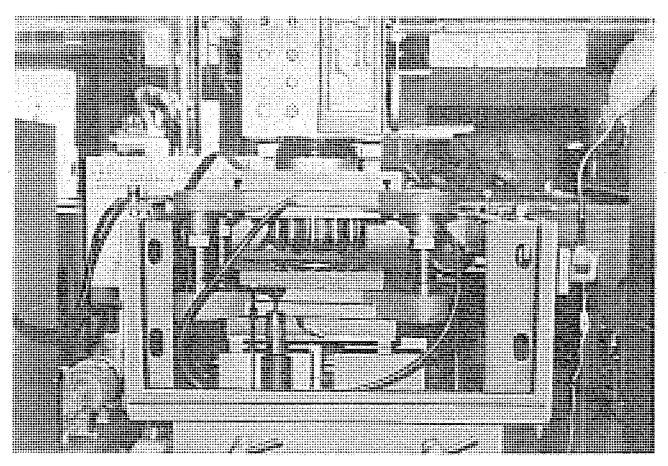


図 3.10 ダイセッタ に組み込んだ状態での抜型の放電加工状況 Electrical Discharge Machining in die set.

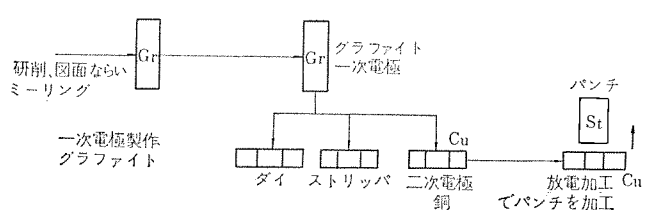


図 3.11 放電加工による パッチ と ダイ の 製作 EDM system for machining punch and die respectively.

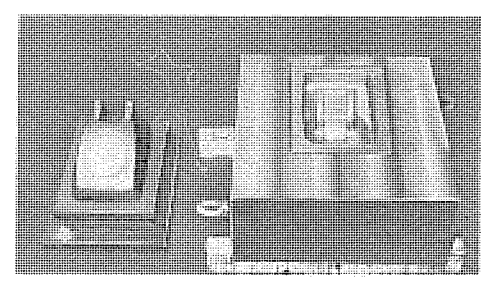


図 3. 12 銅電鋳電極による電話器の プラスチックモールド 金型加工例

Copper electroforming electrode and telephon plastic molding die.

ムダイなどの組み立てにおいては、従来、ジグボーラで ミクロンオーダの精度で取付け穴を加工し分割した型を組み合わせ、さらにやっかいなクリアランス調整に長時間を要している。ダイセッタに組んで直接加工することは、この調整時間が省けて大幅な工数低減が得られる。

電極材料として、パンチ 先端に放電加工性の良好な グラファイト・銀 タングステン・銅 タングステン などを張り付けてもよいが、 F回路の出現によって パンチ の鋼での直接加工も可能となった。

(2) 放電加工による パンチ の製作

上述のように、 ダイ の加工は放電加工によって省力化, 合理化することができるが、 残る パッチ の加工は抜き型の加工で最も人手のかかる作業となっている。

作業に時間のかかる パッチ の直接研削をやめて、 研削性良好な グラファイト で パッチ と同一形状の一次電極を作り、 図 3.11 に説明するように、 これで ダイ および二次電極を放電加工し、 さらに二次電極で パッチ の綱を放電加工すれば 大幅に省力化を進めることが 可能である。

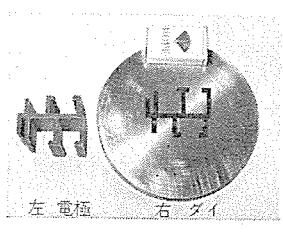


図 3.13 グラファイト 電極に よる アルミサッシ 押出型 ア プローチ 部分の放電加工 Alminum sash extruding die and graphite electrode.

電	源	機	種	DE-90 T+OP-3
電			極	グラファイト
被	加	I	物	SKD-11
洭	極	K	性	(+)
加口	こセック	ティン	17	6 ノッチ
バ	ル	ス	幅	10 ノッチ
休	止	時	間	4 ノッチ
加	工	T	圧	30 V
th	工	電	流	50 A
וול	工	時	閒	3 時間 20 分
面	あ	6	ż	100 μR max
電	極消	邦	比	1%以下

注) 前加工はなし

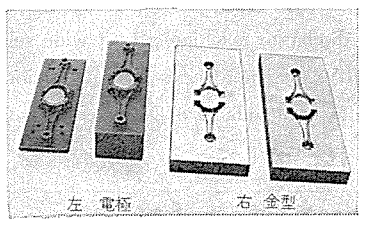


図 3.14 グラファイト 電極 に よる コネクティングロッド 報造型の加工 Connecting rod forging dies and graphite electrodes.

条件	項目	加二	:区分	第 1 条件	第 2 条件	第 3 条件	第 4 条件
使	用	Ħ	源	DE-90 T +OP-1	DE-90 T - -OP-1	DE-90 T +OP-1	DE-90 T +OP-1
電			極	グラファイト	グラファイト	グラファイト	グラファイト
被	加	工	彻	SKD-11	SKD-11	SKD-11	SKD-11
뜁	極	k	性	(+)	(+)	(+)	(+)
כות	[セッ	ティ	ング	4 ノッチ	3 ノッチ	2 ノッチ	1 ノッチ
パ	ル	ス	幅	10 ノッチ	9 ノッチ	9 ノッチ	8 ノッチ
休	北	時	間	4 ノッチ	4 ノッチ	5 ノッチ	6 ノッチ
ħn	工	Ħ	圧	30 V	30 V	30 V	30 V
加	エ	電	流	27 A	16 A	8 A	4 A
加	ır.	時	間	3 時間 20 分	1 時間 10 分	40 分	15 分
TOI	あ	6	ż	60 μR max	40 μR max	25 μR max	18 μR max
龍	極消	1 耗	比	1%以下	1%以下	1%以下	1%以下

注) 前加工なし

一次電極としての グラファイト の加工を行なうにあたっては、 研削 に数値制御を適用したり、または図面ならい シーリング (たとえば ラインマスタ) などを活用すれば、金型設計段階からの システム 化へと発展させることができる。

3.3 その他の加工例

電鋳電極による加工例を図 3. 12 に、 グラファイト 電極による加工 例を図 3. 13, 3. 14 に示す。

4. む す び

放電加工を最大限に活用するためには、電極製作法、被加工物の前加工、取付け取りはずし治具といったものを総合的に考えていかなければならない。今後、放電加工機自体は自動化・高性能化していくことは必至であるが、いかに高性能なものでも機械単体の導入のみでは工場の生産性は向上しない。型工場においては型設計の段階から、電極製作・放電加工と一連のソフトウェアを確立すべく努力が必要である。

参考文献

(1) 加藤, 片寄:電鋳電極による放電加工, 三菱電機技報, 43, No. 12 (昭 44)

ダイアックス放電加工機シリーズ

佐藤 國彦*・大矢 広太郎*

Series of DIAX Electrical Discharge Machine

Nagoya Works Kunihiko SATO · Kôtarô ÔYA

Electrical discharge machine have made development recently by leaps and bounds as the most powerful tools of labor saving over a wide range of field such as from die making to producing component parts. This progress owes greatly to the improvement of electrical discharge machining technique, mechanical performance and power source performance. The mechanical system and the power supply of Mitsubishi DIAX electrical discharge machine permit wide selection of their combination so as to meet multi purposes.

This article describes a DIAX machine series with discussion on characteristics considered essential in electrical discharge machine as a principle theme. Following this, it introduces a DIAX power source series with the control system as its nucleus of explanation regarding the power supply.

1. まえがき

放電加工機は近年飛躍的発展をとげ、金型・抜型等を中心に、通 常の機械加工部品に至るまで、幅広い省力化の最有力手段として注 目されている。放電加工機はもはや特殊加工分野としてでなく、工 作機械の一分野を形成している。

これらの発展は、時代の要請にこたえて放電加工の応用技術の開 発、機械性能の向上、さらに一番大きなウェイトを占めるのは、半導 体素子の利用に始った電源性能の向上といった3要素に負うところ が多い。

本文では顧客の広範な用途を考慮し、作業内容に応じて最も適し た機械、電源の組合せが可能になるよう、ワイドセレクション化された三 菱 ダイアックス 放電加工機について、放電加工機の特質の論説を中心 に、その機械系・電源系の機能と特性を紹介する。

2. ダイアックス放電加工機の機械系

2.1 放電加工機の機械系の特質

放電加工機と他の工作機械, たとえば、 旋盤・ミーリング 等を比較 した場合、本質的に相違する点をあげると次のようにたる。

- (a) 安定な加工を行なうためには、電極と被加工物間の間げき は、つねに微小な適正値 (0.004~0.04 mm) に保つ必要がある。そ のためには、 適正な感度をもつ極間距離制御用 サーボ 機構が必要で
- (b) 電極の下降速度は通常きわめて遅く、しかも、微小振幅の 上下運動を伴いながら下降するので、主軸のガイド部分の構造はス ティック、スリップ等の防止に対しては、十分考慮しなければならない。
- (c) 放電加工機は精密な加工を行なう場合が多いので、機械の 精度は十分高く、しかも剛性が強くなければならない。
- (d) 加工液は一般に鉱物性の絶縁油を用い、加工はその中の火 花放電にて行なわれるが、この油の引火性に対して特別に考慮を払 う必要がある。
- (e) 一般の切削加工と異なり、被加工物は加工によって敵細な 加工粉となり、加工液中に沈殿または懸濁する。これは放置すると 加工に悪影響をおよぼす。ろ過装置はこれらの除去を十分に行なう ことができるとともに、容易に清掃できるものがのぞましい。

以下、これらの特質を中心に、ダイアックス 放電加工機の シリーズ を 紹介する。

2,2 放電加工機のサーボ機構

放電加工を安定に行なうには極間間げきを常に一定に自動制御す る必要がある。一般の放電加工において極間間げきと平均加工電圧 の間には図 2.1 に示すような相間関係が存在する。 したがって平 均加工電圧が一定になるように極間間げきを制御する方法がとられ

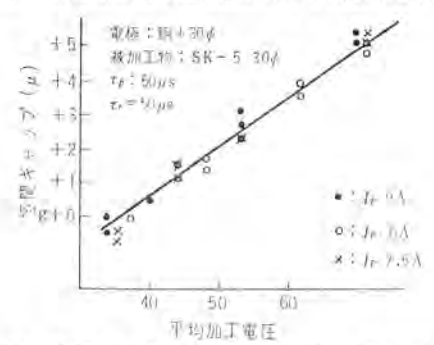
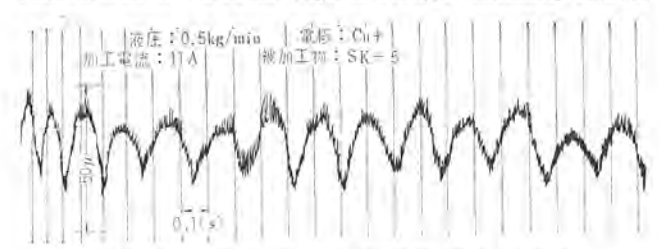


図 2.1 極間間げきと平均加工電圧との関係 Relation between electrode gap and average machining voltage.



放電加工中の極間間げきの変化 Variance of machining gap during electrical discharge machining.

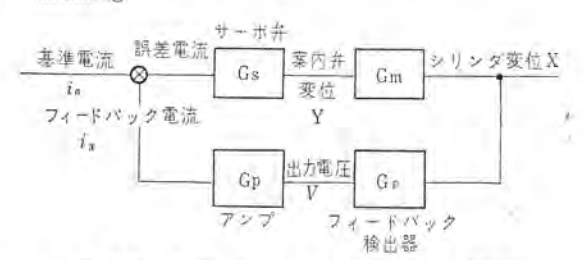


図 2.3 放電加工機のサーボ機構ブロック線図 Block diagram of servo mechanism of descharge,

ている。極間間げきに対する平均電圧の変化分は $6 \sim 7 \, \mathrm{V}/\mu$ ぐらい と考えてよい。

DM-250 N 形 放電加工機を例にとり、放電加工機の サーボ機構を説明する。図 2.2 には DM-250 N における、実際の安定加工中の極間間げきの変化を求めた測定値である。これによれば、第 2 高調波まで考えて $5\sim10$ Hz くらいの変化が見られ制御系の応答速度としては、この程度の周波数まで追従できることが要求されよう。図 2.3 に サーボ機構の ブロック 線図を示す。同図において、サーボバルブの伝達関数 G_s 、および案内弁変位より シリンダ 出力変位まで伝達関数 G_o 一巡伝達関数 G_L はそれぞれ

$$G_S = K_S/T_SS + 1 \cdots (2.1)$$

$$G_a = (1/A)/S\{(W\beta\nu/2gA^2)S^2 + (Wk_2^2/gA)S + 1\} \cdots (2.2)$$

$$G_L = K_S \cdot K_n \cdot K_D \cdot K_p / S(T_S S + 1) (S^2 / \omega_n^2 + 2\xi S / \omega_n + 1)$$

....(2, 3)

で近似できる。

ただし K_S : サーボバルブゲイン($4\,\mathrm{cm}^3/\mathrm{mm}\mathrm{A}\cdot\mathrm{s}$)

 T_S : サーボバルブ 時定数 (2.6×10⁻³s)

$$k_2 = \frac{\partial q}{\partial P_l} \begin{vmatrix} P_l = 0 \\ P_l = x_R \end{vmatrix}$$
 (1.6 cm³/kg·s)

A: シリンダ 有効面積 (60 cm²)

W:負荷重量 (20 kg)

β:作動油の圧縮率 (0.7×10-4cm²/kg)

$$\nu: \frac{1}{2} \times ($$
シリンダ 体積)

g: 重力加速度 (980 cm/s²)

 K_a : อบอร์หัง (1/60 cm⁻²)

K_D: 検出器 ゲイン (27 V/mm)

 K_p : アンプゲイン(0.27 mmA/V)

$$\omega_n : \sqrt{\frac{2gA^2}{W\beta_{\nu}}} \quad (2.7 \times 10^3 \text{rad/s})$$

 $\xi = \sqrt{Wk_2^2/2gA^2\beta\nu} = 0.1$

式 (2.3) にそれぞれ諸数値を入れて計算すると、

 $G_L=5/S(0.0026S+1)$ $(5\times10^{-5}S^2+\xi\times10^{-3}S+1)$ ………(2.4) となり、これをボード線図に表わすと図 2.4 となる。

このボード線図によると、 $\omega_C(120\pi)$ 近くで、サーボバルブによる一次遅れが表われ、 $\omega_n(600\pi)$ 近 く で シリンダ の共振点が 表われている。またこの系を閉じたときの系の時定数を実験により求めると、表 2.1 のようになった。

一巡伝達関数 $G_L(S)$ は近似的に

$$G_L(S) = K/S \qquad (2.5)$$

 $K = K_S \cdot K_a \cdot K_D \cdot K_p = 5 \text{ s}^{-1}$

で表わしてもさしつかえない。 この系を閉じた場合の系の時定数は T=1/K=0.2s,折点周波数 $\omega_n=1/T=1.6\pi$ rad となり,上記実験値 0.16 s に近い値を示した。 同様に油圧を下げた場合,(10 kg/cm²)の T=0.44 s(実験値 0.32 s)となった。

表 2.1 スチップ 応答により求めた系の時定数 Time constants of the loop given by step response.

供給油圧 (kg/cm²)	時 定 数 (s)	折点周波数 (sed/s)		
10	0.32	3.2		
20	0.24	4.6		
30	0.16	6.3		
40	0.16	6.3		

2.3 主軸案内

放電加工機の機械系で、主軸のすべり面は最も重要な部分で、機 械性能を左右するといっても過言でない。放電加工状態は、振幅数 0.2 mm 以下周波数 20 Hz 以下の微小な往復運動をくりかえして次 第に下降する。このような条件はしゅう(摺)動面にとって非常に過

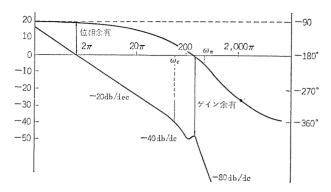


図 2. 4 放電加工機 サーボ 機構の ボード 線図 Bode diagram of EDM servo-mechanism.

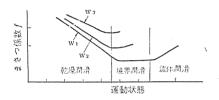


図 2.5 まさつ係数と運動状態の関係 Relation between coefficient of friction and moving-condition coefficient.

表 2.2 DM-250 N 形 放電加工機の精度規格 (社内規準)の抜粋 Selection of accuracy standards of EDM type DM-250 N.

番号	検査	事	Ŋį	測	淀	坊	法	100	定	ガ	法	3	許容差	測定促
4	主軸の上 下運動と テーブル 上面との 直角度 (1)		方向	設角置ク上下ジャーション	テート・ウェース たいまかけい あいま かいま かいま かいま かいま かいま かいま かいま かいま かいま か	ブルの てて、主 トイて、 当でて、 き さ せ た ス ス の た ス ス の で た れ て た た た た た た た た た た た た た た た た た	中央に直 () 上細ケ 軸 き よく 上 差 () 上 き よ と ま き よ と 海					로 a 메b	0. 02	
	Athen I	desta	ile.e.	定値と			r						0.02	
5	主轄の上 下運動の 真直度 (1)			置き, 直角定 定置し ークを を上下	テー: 規を到 たティ これに に移動	ブルの とて・ ストイ こ当で も	上面に 主軸に ン・主軸 て、主軸移	a:左 b:前				원 a	0.01	
		前後	方向	動距離 ンジケ 差を調	-90	の読み	の最大						0.01	
6	主軸頭の 上下運動 とテープ ル上面と の直角度			規を立 したこ を これの 場合と	てて、i ストィ に当て 位置に , 上約	記憶頭 イン、この に関い に関い に関い に関い に関い に関い に関い に関い に関い に関い	に定置 ケータ 軸頭の 締めた 置に固	<u>a:左</u> b:前				2. o[b	0.02	
		前後	方向	く締め テスト みの差	インジ	14-	タの読		$\overline{\mathbf{x}}$				0.02	

酷な状態である。すなわち一般のすべり面において,運動状態を示す無次元数 $G(\pm)$ とまさつ係数の関係は図 2.5 に示される。放電加工状態はこの図において境界潤滑から乾燥潤滑への遷移点近辺にあると推測される。この場合まさつ係数は不定となり スティックスリップ,最悪の場合は焼付け現象をおこす場合も発生する。一方潤滑油面が破断されるのですべり面が負抵抗特性を示す場合も生じる。そのため大きい荷重が極力かかることを避ければならない。Schlesingerによれば面圧は 4~6 kg/cm² 以内に負荷をとどめるべきであると報告されている。この荷重では 0.2~0.4 mm/min 程度まで スティックスリップを生じない。さらに不具合なことには放電加工は縦送であるため,必ず自重による モーメントにより,すべり面に局部荷重がかかり,すべり面のすみ(隅)部は異常な面圧増加になる。このような過酷な条件の下では数 mm/min 程度で スティックスリップを生じる。

このような状態を避けるには潤滑油の選択,給油方法の改善,偏 荷重の防止,すべり面の材質選択によって改善されるが,寿命・保

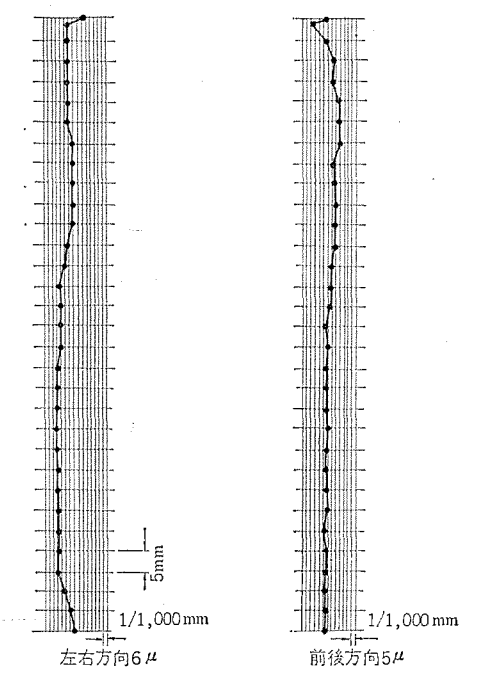


図 2.6 DM-250 N 形 放電加工機 主軸真直度の一例 Example of straightness of spindle, EDM type DM-250 N

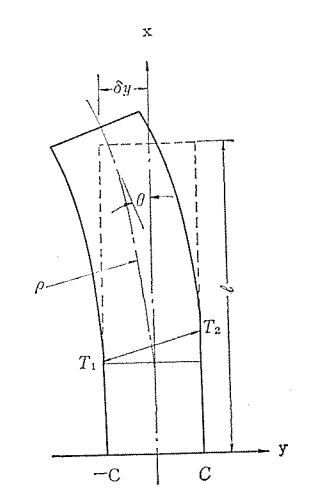


図 2.7 コラムの熱変形 Thermal deflection of column.

(注) $G=ZLSv/P_{\tau}$ Z: id

Z:油粘度, L:しゅう動面幅, S:ストローク v:振動数, Pr:面 圧 守・精度保持を考えた場合不完全である。

ダイアックス 放電加工機は、油圧制御下のころがり案内を全面的に採用した。これはこの分野において初めての試みであろうと考えられる。たとえば DM-250 N の場合は、高硬度の鋼球 (硬度 HRC 60~64) と焼入れ案内面(硬度 HRC 55~60) の組合せにより、運動状態にほぼ無関係に、常にまさつ係数を低位に保ち、スティックスリップの発生を皆無に押え、円滑な サーボ送りすなわち安定な放電加工状態を持続することを保証している。

2.4 機械精度

放電加工機の機械精度については現在,電気加工学会にて規格化をすすめているが,当社においては表 2.2 のような社内規準を作成し,それに従って厳格な検査を行なっている。また図 2.6 には DM-250 N の主軸精度の測定例を示す。

2.5 放電加工機の熱変形

他の一般機械と同様,放電加工機においても設置場所の周囲温度の変化に応じ,精度の変化を生じる。温度変化の影響の顕著なのはコラムの倒れである。コラムの倒れは主軸の倒れおよび心ずれとなって表われる。

今,実際の放電加工機においてその影響についてのべる。 3540 模式図を図 2.7 に示す。同図において, 354 の両側面 $(\pm C)$ の温度が T_1 . T_2 でその間の温度分布は 354 の軸方向 (x + m) に一定と考える。 これらの仮定条件では y の x 方向のひずみ δ_x は, α を 354 材の線膨張係数 (1/C) とすると,x のどの位置でも下式のとおり

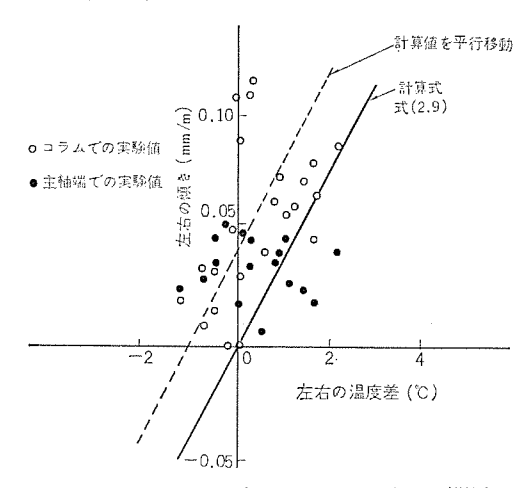


図 2.8 コラム 左右方向の傾きと温度差の関係 Relation between deflection of column (left to right) and temperature difference.

表 2.3 DM-300 の コラムの 変熱形 Theoretical thermal deflection of column, EDM type DM-300.

					前	後	方	向	左	右	方	向
餌	ŧ	変	化	θ	3.1×10⁻⁵/°C				3.	9×10-	⁵/°C	
た	ž	Ь	み	δ_y	1.5×10 ⁻² mm/°C			1.5	9×10-	2mm/	C.	

表 2.4 DM-300 の コラム の 倒 き 変 化 測 定 結 果 Actual thermal deflection of column, EDM type DM-300.

単位 mm/m

	L do a t PIC	左 右 方 向		前後方向		コラム倒き平均値 θ		
	加熱時間	ĤŰ	後	右	左	前	後	
	93 h 10 m	0	0	0	0			
Ì	168 h	0.024	-0.056	0.020	0.044	1))	
	312 h 15 m	-0.006	-0.003	0.008	0.023	2.85×10-5	2.83×10-5	
	404 h 5 m	-0.020	-0.061	0.036	0.040	J)	

となる。

$$\varepsilon_x = \frac{1}{2} \cdot \alpha \cdot (T_2 - T_1) \cdot \frac{y}{C}$$
 (2.6)

 ϵ_x は x に無関係であるから、コラム の変形曲線は円弧となり、 その山率半径 ρ は

$$\rho = y/\varepsilon_{sc}$$

$$= 2C/(T_2 - T_1) \cdot \alpha \quad \cdots \qquad (2.7)$$

コラム のたわみ (心ずれ) δ_ν は

$$\delta_{\eta} = l^2/2\rho$$

$$= (T_2 - T_1) \cdot \alpha \cdot l^2/4 C \cdots (2.8)$$

となる。x=l におけるたわみ角 θ は

$$\theta = (T_2 - T_1) \cdot \alpha \cdot l/2 C \cdots (2.9)$$

となる。

以上の計算式に諸元を代入して,DM-300 の場合の θ , δ_y を求めると表 2.3 となる。この計算式と実験値の対比例を図 2.8 に示す。一方,コラム の前後・左右の温度差を 1° C 以内に押えて,周囲温度を 0° C と 30° C にした場合の検討を,表 2.4 に示す。

これらの結果から明らかなように 30°C の室温変化があってもその変化が恒温的であれば熱変形は生じないと考えてよい。しかし周 阻温度が朝昼といったように徐々に変化する場合でも,各壁面の熱 容量差,風の流れ,太陽光線,その他熱源等による温度分布の不均 一性を避けることはできないため,高精度の加工を行なう場合は, 恒温室内での作業が望ましい。

一方,式 (2.6) にても明らかなように、相対する壁面温度差が同じであっても コラム 断面の対辺距離が大きい、高さの低い コラム のほうが熱変形が小さいことがわかる。ダイアックスシリーズ中、DM-250 Nは従来のものに比べ コラム の幅を広くしているのは、 この点を勘案している。

2.6 安全装置

(a) 放電加工機の安全性

放電加工機の安全運転は、一般の工作機械同様に操作機能上の安全性が要求されるのはもちろんであるが、そのうえに、放電加工機は可燃性の鉱物油が使われるため、特に火災に対する安全性が具備される必要がある。以下放電加工機の安全性を防火という点から述

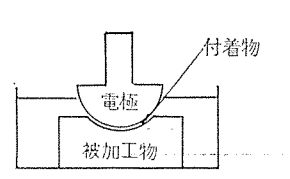


図 2.9 (a) カーボン 付着物の 発生

付着物の成長

図 2.9 (b) カーボン 付着物の 成長

Occurrence of carbon adherence.

Growth of adhered carbon

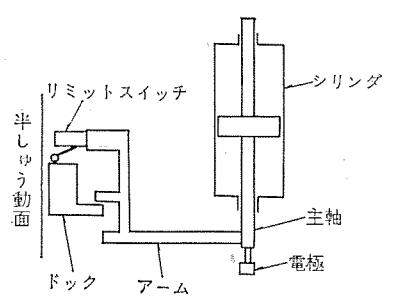


図 2.10 異常加工検出装置 Abnormal machining detector of EDM.

べる。

(b) 火災の3因子

防火を考えるにあたり、火災に関する本質を理解して、その対策を十分に考慮すれば、火災のおそれを少なくすることができる。すなわち、防火にあたってはよく知られている火災の3因子(火気・酸素・燃焼物)の共存を防げば、火災は発生しなくなる。したがって、次項以下に述べる放電加工機の安全装置はすべてこれら3因子の共存の防止を考慮している。

(c) 異常加工検出装置

放電加工中,極間の加工液の循環が悪いため,極間に加工液の分解によるカーボンの付着物が蓄積し,放電現象がその上端に集中することがある。この付着物はいったん発生すると成長を続けるため,サーボ機構により電極が上方に逃げ,ついには電極が液面上に出てしまう。その結果,放電火花が液面上にて行なわれるため加工液の気化成分が液面上に存在する場合,引火・燃焼に至る可能性がある。(図 2.9 参照)。

異常加工検出装置はとのカーボン付着物の成長を検出して、加工を停止し、被加工物の重大な損傷と火災に至ることを防ぐ装置である。 との装置の原理図を図 2.10 に示す。

主軸に連結された r-4 で,主軸案内面と平行にある別のしゅう 動面上に 半固定された r-4 を押しながら 通常の加工状態が続行する。 異常加工 ($b-\pi$) 発生) すると主軸の動きは上向きに移動を始めるが,加工電源は正常な状態を示したままである。上向きの量がある程度 (約 15-20 mm) 進むと,r-4 上の $15-\pi$ が off の状態となり加工が停止する。したがって加工面上の $b-\pi$ の成長は 15-20 mm までで押えられ,最初の加工面を液面下 30-50 mm 以下より始めれば,放電点は最悪の場合でも液面下で行なわれる。

(d) 液面制御装置

放電加工は加工そう内に加工液を十分をくわえてその中で行なわれる。加工液内で放電火花が発生しても、酸素の供給がないため火災は絶対に発生しない。一方被加工物の大小によって液面の高さをいろいろ調整するほうが操作上非常に便利である。この調整機構が液面制御装置である。液面が何らかの理由で加工中、低下し放電点が液面上に表われると加工油は燃え上がる。これを防止するため、液面制御装置内には フロートスイッチ が内蔵されており、加工中液面低下があるとただちに加工が停止されるようになっている。

(e) 液温監視

放電加工は加工液内における放電電流による金属の溶解のため、必然的に熱を発生する。この発生熱は加工液の温度を上昇させ、加工液を引火しやすくする。したがってこの温度上昇を監視するため、加工そう内には液温検出器が組みこまれており、もし液温が設定値より高くなったら加工を停止する。

2.7 機械構造例

以上述べたように、放電加工機は他の工作機械に比べ特別に考慮しなければならない諸点を有する。 実際の放電加工機の構造を ダイアックスシリーズ 中の代表例として DM-250 N について簡単に説明する。

(a) DM-250 N の概要

DM-250 N 形 放電加工機は、1,000 台 以上も生産実績(DM-250を含む)のある中級機で、単一機種では国内最多の生産実績を誇っている。同機の開発にあたっては加工性能面での信頼度を高める一方、操作性の向上に重点をおき テーブル の高さ、ハンドルの位置、間隔、前とびらの重さなどに細やかな配慮をしている。さらに量産機種の

ため、各部分のユニット化、部品の標準化を積極的に行なっている。 デザインの面でも特に考慮されている。たとえば、(1)機械のたて横 の線を特長づけ、たて方向に丸味を、横方向にはシャープな角をつけ、 それぞれが調和して柔かな感じを与える。(2)機械全体を明るい う リーン 色 (マンセル 10 G 5/2),操作パネルを黒で調和させている。(3) 作業の合理化をはかるため機械の右前位置の一か所からすべての操 作ができるよう、計測装置・送り装置・電気系装置を配置している。

(b) ヘッド および コラム 部分の構造

図 2. 11 は DM-250 N の ヘット 部分の構造を示す。 ヘット 部は コ ラムのスライド面にそって、手動ハンドルにより、その可動範囲内の任 意の位置に固定させることができる。油圧シリンダ⑩は ハウジンク ⑩中 央にあり、スピンドル (ピストンロッド 兼川) の下端は電極取付具®を保持 しており、上端部は板鰯が固定され、鰯には2個のボールベアリング⑦ が取付けられている。ボールペアリング⑦の外周は固定軸扇をはさみつ けられるよう軸⑧はわずかに偏心に加工されている。 シリンダ上下の フタ 内にはボールブッシュ 風がローリングコンタクトによってスピンドル 図をガ イドしている。スピッドルの材質は軸受鋼 (SUJ-2) を熱処置し表面硬 度は HRC 57~64. その真田度は 3 μ 以下、ボール の硬度は HRC 60 ~66程度である。スピッドルと同じ運動を行なう回り止め軸について

も同様に細心の注意が払われてい る。スピンドル下端にとりつけられ た電極は、油圧サーボ弁にて適正 な極間距離を維持するよう制御さ れている。

加工深さの設定はコラム前面に 固定されたリミットスイッチの、ダイヤ ルインジケータ 図, スピンドル に直結さ れたスケール ③, ホルダ, マイクロメータ へった 圏によって簡単に セットでき るようになっている。

へッド 左側面には 機械操作に必 要な プッシュボタン, 切換え スイッチ, 加工電圧計等を収めた操作盤が収 付けられている。

(c) テーブル、サドル および加工そう部分

テーブル,サドル部分は他の一般工作機械と何ら変わるところがない。 テーブルの X, Y 軸移動(前後・左右動)は送り ネジによって行なう。 移動距離はスケールおよび ハンドル部の マイクロカラー によって 2/100 mm まで読取ることができる。オプションとして速度計と棒ゲージの併用に よって 1/100 mm まで、または光学読取り顕微鏡によって、5/1,000 mm まで読取ることができる。図 2.12 は加工そう部分の構造を示

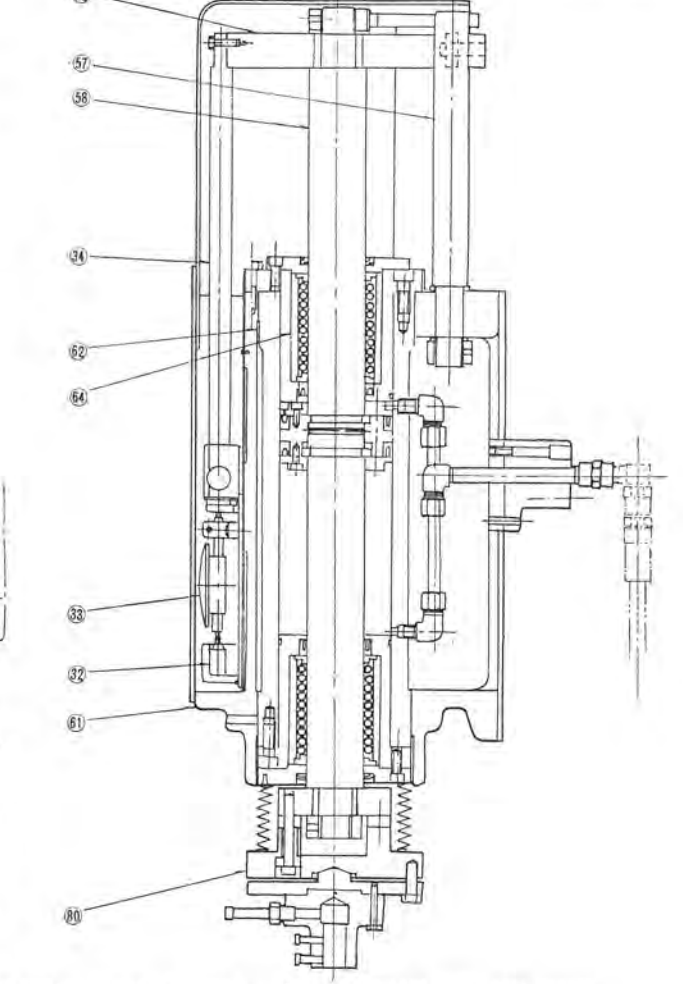


図 2.11 DM-250 N 形 放電加工機の ヘット 部分 Head of EDM type DM-250 N.

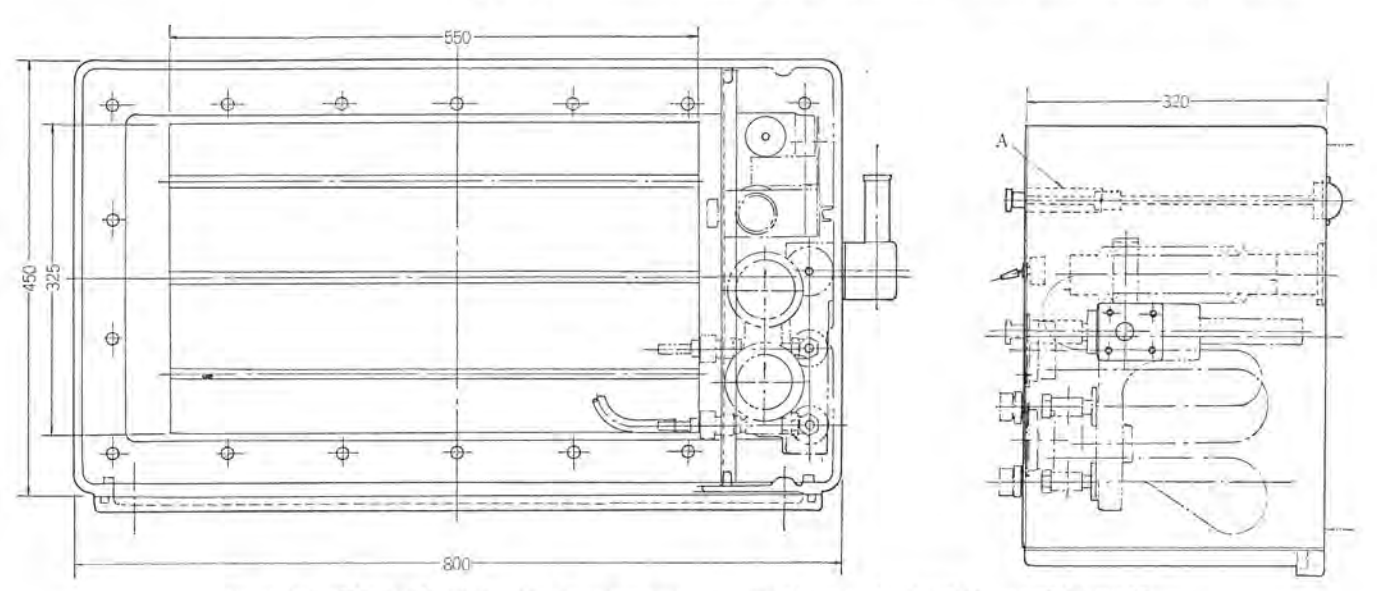


図 2.12 DM-250 N 形 放電加工機の加工そう Working tank of EDM type DM-250 N.

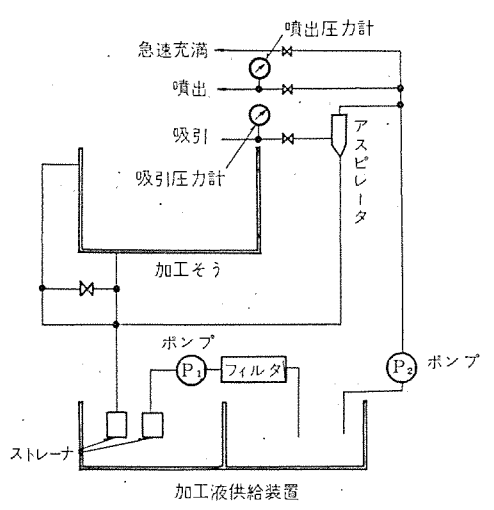


図 2.13 DM-250Nの加工液回路 Circuit diagram of dielectic fluid, EDM type DM-250N.

す。加工そう全体および前面の フタは アルミ 鋳物を採用し、フタとそう全体は カム 形式で簡単に着脱できる。加工そうの右上面には加工 液の切換え バルブ, フロート スイッチ, 排出 バルブ, 液面制御装置, サーモカップル, 加工液圧力計など加工操作に必要なものが コンパクト に取付けてある。

(d) 加工液関係

図 2.13 は加工液回路の ダイヤグラム である。DM-250 N の場合,加工液供給装置の タンク 容量は約 400 l であり, タンク 内部は沈殿そうとフィルタによってろ過された油をたくわえる貯蔵そうの二つに分れている。放電加工による加工粉は荒加工の場合は沈殿そうのみでも除去しうるが,仕上げ加工時の加工粉は油中に懸濁し,適当なろ過装置を必要とする。

すなわち加工そうより タンクへ戻った液は、 まず沈殿そうへ導かれ、ここで大きな加工粉を沈殿させる。 沈殿した加工粉は タンク の 底にある スラッジ 受け皿にたまり、スラッジ 受け皿ごと、簡単に取出せる。 その上澄みを ポンプ にて フィルタ に送りろ過を行ない、 貯蔵そうへたくわえた後、 これを加工そうへ送る。 したがって加工中には常に清浄な液が極間に供給される。

フィルタ には現在,活性白土 プリコート 式のろ過装置を使用している。 そのろ過精度は数 μ の加工粉までろ過可能であり,ろ過容量は DM -250 N の場合 30 l/\min である。

(e) 油圧回路について

図 2.14 に油圧回路 ダイヤグラムを示す。油圧ポップ は定吐出形ポップを油中に含浸させて騒音を防ぎ、騒音公害のないように考慮している。油温の上昇は油圧発生装置に組込まれている空冷 ラジェータ により一定におさえている。主 シリンダ は加工停止中、スピンドル が徐々

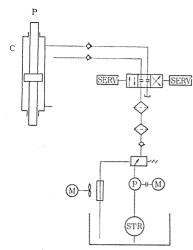


図 2.14 DM-250 N の油圧回路 Hydraulic circuit diagram of EDM type DM-250 N.

に落下しないように特殊の パッキンを使用し内部 リークを防ぎ、また シリンダ と サーボ 弁の間に パイロットチェックバルブを入れて スピンドル の自然 落下を防止している。また、サーボバルブは ゴミ の侵入に対し非常に弱いため、回路中に 2 段の フィルタを設け、ゴミによる サーボバルブ の誤動作を防いでいる。

2.8 三菱ダイアックス放電加工機シリーズ

(a) 標準 シリーズ

三菱 ダイアックス 放電加工機は, 被加工物の大きさにより小物部品加工用 DM-100 より自動車 プレス 型加工用 DM-5000 まで, シリーズ化されている。表 2.5 にこれら シリーズ 機種の一覧表を示す。また

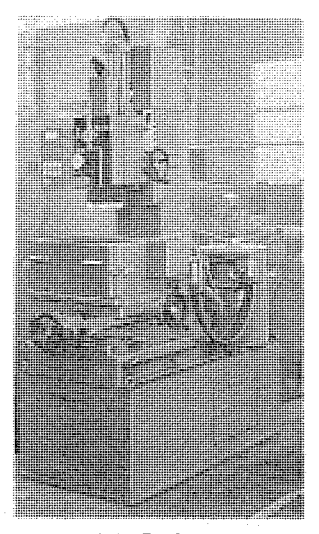


図 2.15 DM-100 N 形 放電加工機 DIAX EDM type DM-100 N.

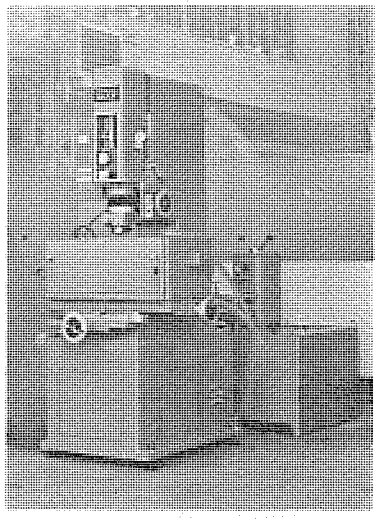


図 2.16 DM-250 N 形 放電加工機 DIAX EDM type DM-250 N.

表 2. 5 ダイアックス 放電加工機の仕様一覧表 Specification of DIAX EDM series.

潜 元 機	租	DM-100	DM-250 N	DM-300	DM~500	DM-600	DM-5000
加工そう外形寸法」	mm	500×350×220	800×450×320	1,000×650×430	1,400×650×430	2,000×1,500×950	2,900×2,400×1,100
テーブル 寸法 (幅×奥行) j	mm	340×330×200	550×325	650×500	800×600	1,600×1,200	2,500×2,000
テーブル移動行程(左右) 1	mm	150	280	300	500	2,000	3,000
テーブル移動行程(前後) 1	mm	100	200	250	400	100	
ヘッド移動行程」	mm	100	150	250	Annual Control	_	
主軸サーボ送り行程 1	mm	150	150	150	300	400	900
電極取付面寸法」	mm	160	160 [¢]	200	400×300	600×700	2,500×1,900
電極取付面とテーブル間との距離 1	mm	350~100	450~150	600~100	700~400	1,200~800	2,000~1,100
最大電極重量」	kg	20	50	100	200	2,000	10,000
機械本体重量1	kg	700	1,600	2,200	4,500	10,000	55,000
機械高さっ	mm	2,070(1,470)	2,020	2,040	2,800	3,950	6,305

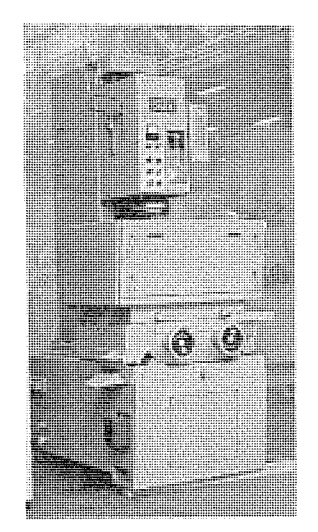


図 2.17 DM-300形 放電加工機 DIAX EDM type DM-300.

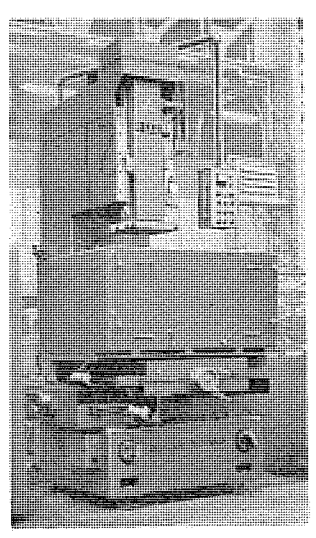


図 2. 18 DM-500 形 放電加工機 DIAX EDM type DM-500.

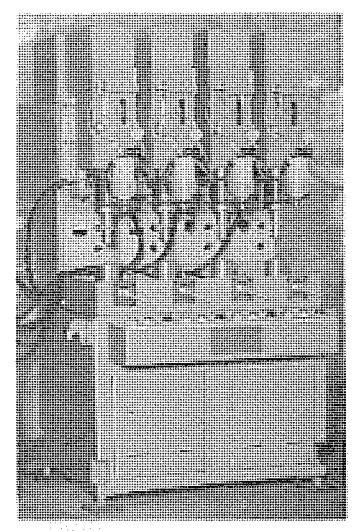


図 2.20 4軸へッド特殊放電加工機 DIAX special EDM with 4 head.

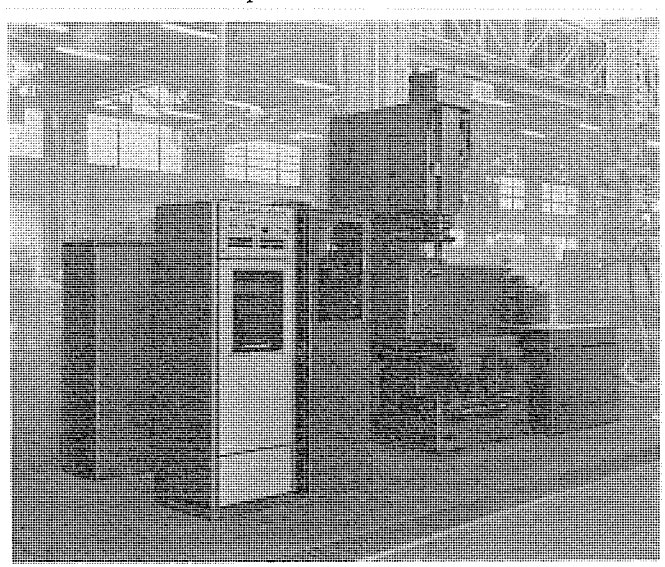


図 2.22 自動工具交換装置付き N/C 放電加工機 N/C EDM with automatic electrode changer.

図 2.15~2.19 にはそれぞれの外形写真を示す。

(b) 特殊放電加工機

放電加工機用電源の進歩および放電加工機の普及化につれ、一般

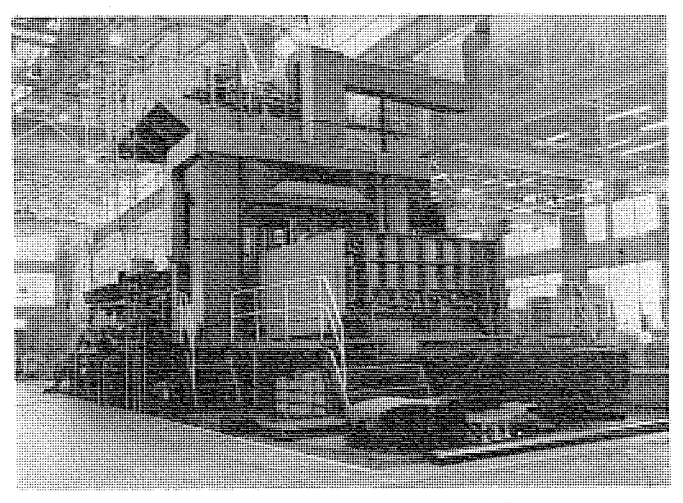


図 2.19 DM-5000 形 放電加工機 DIAX EDM type DM-5000.

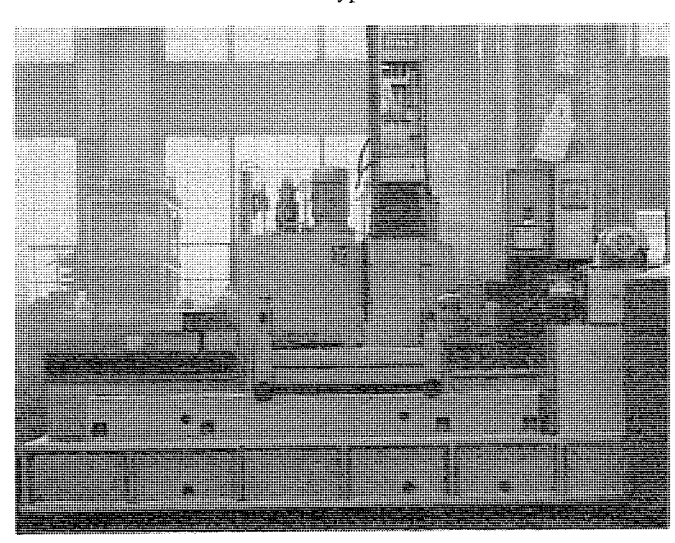


図 2.21 ロール 刻印用 放電加工機 DIAX special EDM for roll die.

の金型加工等の分野のみならず機械部品の加工分野に相当数の放電 加工機が用いられている。この場合前項の標準機にて十分使用でき る場合が大半であるが、使用効率を上げるため種々の特殊機が開発 されている。図 2.20~2.21 にはその代表例を示す。図 2.20 に は4軸の放電加工機で各軸はそれぞれ独立した電源・サーボ系・操作 系を有し、加工条件は荒加工から仕上げ加工に自動的に切換えがで きるようになっており、小物部品のマスプロ機である。図 2.21 は ロ -ル刻印用放電加工機で、模様付線材の引抜用ローラの加工に用いら れている。ロールの各角度割出し、各加工条件の切換えは自動的に切 換えられる。図 2.22 は昨昭和 45 年発表された完全自動機の DM-500 EC である。本機は加工状態の適応制御装置、加工条件のプログラ ミング 装置はもちろん、自動電極交換装置、テーブルの自動位置決め装 置を有しており、 初めにこれら最初の設定条件を テープ に読みこん でおけば,加工中おこりうる変動要素(電流・電圧の変動,極間の 炭化物や、加工粉の滞留化等による間げき状態の変化等)の最適制 御化が行なわれ、加工当初より最終工程まで、初めの電極および ワ -クの セッティングを除いて、まったく人手を借りずに加工が進行する。

3. ダイアックス放電加工機の電源系

3.1 放電加工機の電源の特質

放電加工は、一般工作機械の電源のように、電気 エネルギー を機械

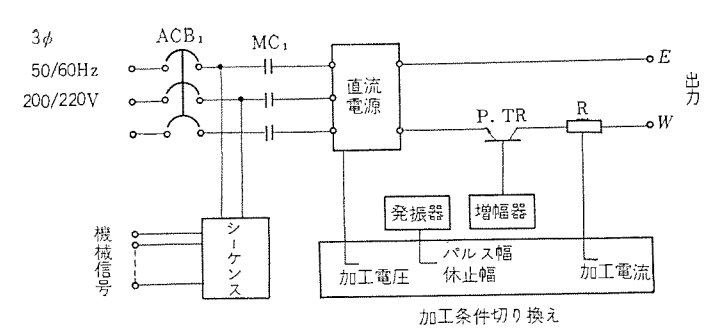


図 3.1 DE-90 T の プロック 図 Block diagram of type DE-90 T power supply.

表 3.1 DE-90 T 仕 様 書 Specification of type DE-90 T power supply unit.

1	電源入力 AC 3 ø 50/60 Hz 200/220 V 4.5 kVA
2	回 路 方 式 TP (トランジスタ回路) SF (コンデンサ回路)
3	最大加工電流 52 A
4	加工条件切換え (a) 電源切換え TP, SF (b) 放電安定入, 切 加工時間 10ノッチ 排出時間 10ノッチ (c) TP 電源 (d) SF 電源 加工セッティング 6ノッチ 加工セッティング 6ノッチ コンデンサ 6ノッチ 電圧切換え 60 V 80 V バルス幅 12ノッチ 休止時間 12ノッチ
5	加工性能 表 3.4 参照
6	電源盤の塗色,工作仕様は制御装置一覧表による。

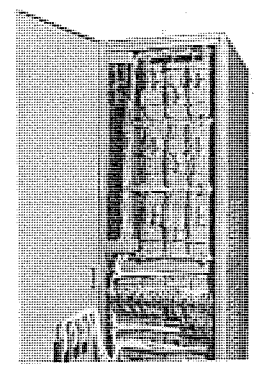
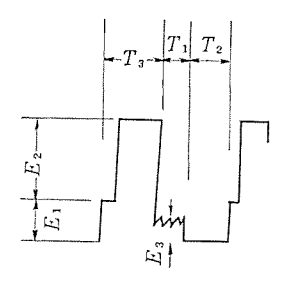


図 3.2 DE-90 TM の内部 Interior view of type DE-90 TM power supply.



E₁=電源電圧DC80V E₂=重量電圧 E₃=アーク電圧 T₁=パルス幅時間 T₂=休止幅時間 T₃=無負荷開放 電圧時間

図 3.3 F回路の ギャップ 電圧波形 Gap voltage wave form of F circuit.

表 3.2 F回路の最良面あらさ Roughness of F circuit.

1	電極消耗比1%以下の場合 電 極:銅 ワーク:銅	6~7 μR max
2	電極消耗比数%の場合 電 極:銅 ワーク:銅	3~4 μR max
3	鉄対鉄の加工 電極消耗比 10~20 %	約 10 µR max
4	超硬合金の加工 電 極:綱,Ag-W,Cu-W ワーク:超便	3~5 μR max

的力に変換して加工するのと違い,電気 エネルギーにより 直接,被加工物を加工する。したがって電気 エネルギーを制御する加工電源は,その放電加工機の加工性能を決める重大な要素となる。 また放電加工機の用途が拡大され,今日に至っているのも,加工性能に影響する電源の進歩によるところが大きく,それはひとえに,放電波形の基礎的解析,半導体 エレクトロニクス の背景によるところである。

加工電源を分類すると、回路方式としては 従属式と 独立式 パルス 電源に分れ、基本的には、パルス性放電を安定に持続して発生できる 回路が望ましく、トランジスタのスイッチングの特性を用いた独立式 パルス 電源が波形制御も容易なため多く用いられる。一方加工特性上から は、貫通穴加工特性とか底付穴加工特性を有しているかにより分類 される。

一方,放電加工機は作業合理化,省力化に適した機械として迎えられ,電源もしたがってそのような機能の付加や,重要な加工操作・加工技術をも,オートマチックに制御する方向に向っている。ここに三菱 ダイアックス 放電加工機電源の制御方式の特長をのべ,電源 シリーズ の紹介をする。

3.2 ダイアックス放電加工機電源の制御方式

電源は加工特性上から分類して、貫通穴加工特性として高周波重量 コンデンサ 形電源、底付穴加工特性として サイリスタ 形電源、両特性をもったトランジスタ 形電源とに分れる。 電源の設計には、(1)加工特性、(2)機能、(3) デザイン、(4)電気回路特性検討等の仕様の下に始まる。保守点検性・信頼性・フロアースペース等の考慮、 特に放電加工機の場合、高い周波数、高出力の パルス の発生、主回路制御回路の混合実装による コンパクト 化等の条件があり、実装方法については、高密度化、せまい フロアー における点検性、さらには ノイズ対策として、回路のユニット化による安定化、母線配線化、配線のシールド化、ツイスト、信号回路と主回路の分離、 浮遊容量の影響の減少化等を行なっている。DE-90 T の ブロック 回路図、仕様を図 3.1、表3.1 に示す。実装写真を図 3.2 に示す。

3.3 F 回路

従来のトランジスタ電源の特長に下回路を付加すると、(1)仕上げ加工領域の加工性能が低電極消耗条件で5~6μR max の仕上げ面まで得られる。(2)鉄対鉄の加工が安定・高能率に加工でき、従来の電源の数倍の加工速度が得られる。(3)下回路の場合、加工電流の細分化を行ない、細い加工電流の調整を可能にした。などの特長が付加される。この回路は主回路(80 V)に高い電圧(200~300 V)の電圧を同期して重畳し加工の安定をはかる。このときの極間の波形を図3.3に示す。表3.2に面粗度特性を表す。

3.4 オプテイマイザ

オプテイマイザの特長は、(1)定常 アークの前駆現象を検出して安定加工を行なう。(2)したがって熟練者が注意深く加工するときと同様に、加工条件を選択して加工を進められる。(3) オペレータが加工途中で監視・調整することが不要になり多数の機械を運転できる。(4)加工に個人差がなくなる。(5)夜間でも無人運転ができる。などである。

オプテイマイザ の機能には、(1)アダプティブコットロール、(2)プログラムコットロール がある。その機能の組合せにより四つの機種がある(表 3.3)。 図 3.4 は OP-1、図 3.5 は OP-3 を示す。

(a) アダプティブコントロール $^{(7)(8)(9)}$

との回路は加工間げきの状態を検出・判断し、間げきの絶縁回復 状態に応じて定常ァークにならない範囲で最も加工率の高い パルス条

表 3.3 オプティマイザ 機種名 Series of optimizer.

OP-1=(アダプテイプ+NC 式プログラム)
OP-2=(アダプテイプ+リミットスイッチ式プログラム)
OP-3=(アダプテイプ)
OP-4=(リミットスイッチ式プログラム)



図 3.4 OP-1 制御盤 OP-1 control panel.



図 3.5 OP-3 制御盤 OP-3 control panel.

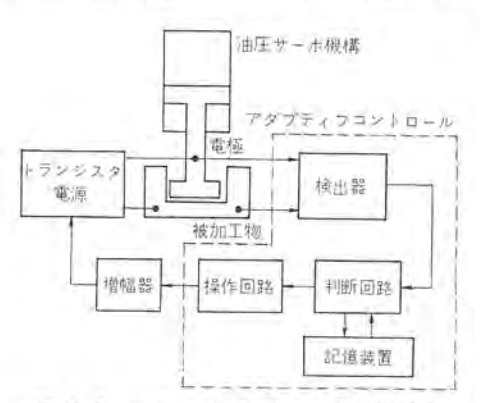


図 3.6 アダプティブコントロール 装置動作説明 Block diagram of adaptive control circuit.

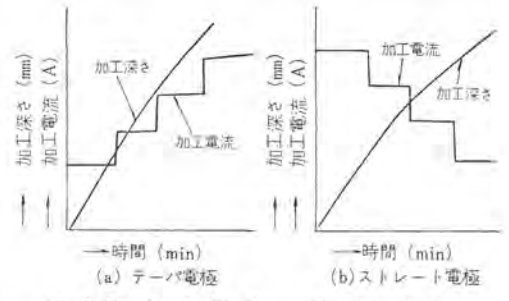


図 3.7 加工深さと電流の関係 Relation between working depth and working current.

件で、平均加工電流(すなわち デューティファクタ)を選び、安定な場合には平均加工電流が増加するように働らき、不安定な場合は加工電流を減少させ、再び安定状態に回復すれば、電流を増加するように働らく。ブロック 図を図 3.6,3.7 に示す。 したがってたとえば深穴加工の場合は、深く加工が進むに従い、平均加工電流をしぼる働らきをする。 との装置を働らかせる場合は、最初に電極消耗、面あらさ、クリアランス などから決められる パルス 条件を一度設定すれば、その プロセス が終わるまで、途中の監視調整が不要となる。

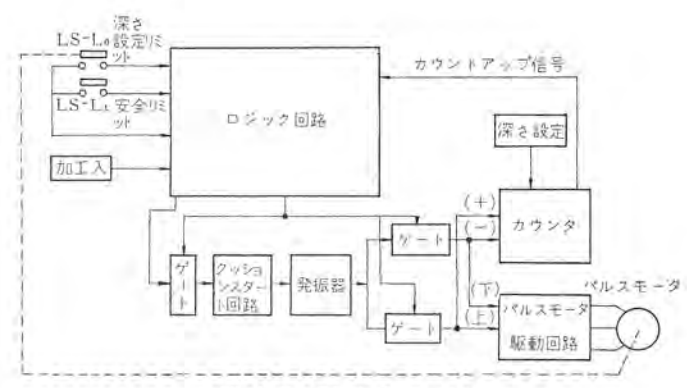


図 3.8 OP-1 ブロック 図 Block diagram of OP-1 control circuit.

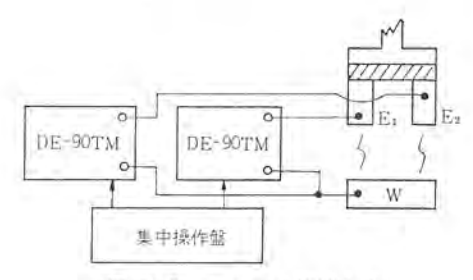


図 3.9 マルチリード接続方式 Multi lead connection.

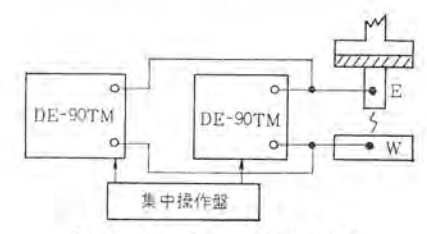


図 3.10 パワーアップ 接続方式 Power-up connection.

(b) プログラムコントロール

放電加工は荒・中・仕上げと加工段階に 応じて 放電 パルス 条件を 切換えていくものである。本装置では各段階を,電流 ピーク 値・パルス 幅・休止幅・放電安定装置の各条件を ブリセット (4 段まで可能) して,加工深さに応じて加工条件を自動的に切換え,加工途中の操作を なくした装置である。 この装置は深さ設定の方法により,(1)リミットスイッチ 式,(2)ディジタル 深さ設定式とがある。図 3.8 に(2)のブロック 図を示す。

3.5 マルチパワー方式

この方式は一つの特殊な電極送りサーボ機構を備えた機械本体に、 2台以上の加工電源を接続して加工を行なう方式である。つまり各電源の出力を電極とワークの間に接続して放電加工を行なうのであるが、電極を絶縁するときと絶縁せずに並列運転する場合とにより分類され、前者をマルチリード方式、後者をパワーアップ方式と呼び、総称してマルチパワー方式と呼ぶ。

(a) マルチリード 方式

これは 図3.9 に示されるように面積のほぼ等しい2 個以上の電極を絶縁して、おのおのの電極に互いに独立した電源の出力を接続して放電加工を行なう方式である。この場合の加工速度は、電源が2台のときは2倍、3台のときは3倍に近い加工速度が得られることを期待している。用途としては、(1)同一種類の加工を2個以上行なう必要のあるもの、(2)一つのワークピース上に2個以上の型を彫る必要のあるもの、(3)電極面積が比較的大きく、いくつかに分

割して加工したほうが良いもの、などに用いられる。

(b) パワーアップ 方式

Mark.

これは、主電源のパルス周波数に他の電源のそれを同期させて並列運転を行なう方式で、図3.10 に示す。各電源の出力電流が加算されて極間に供給される。1台の電源の出力は小さくても、比較的大きな加工電流が得られ最大加工速度が増加する。したがって大きな電極で荒加工する場合有効である。

マルチパワー方式の電源にはその他の機能として2台の機械のどちらにも接続して加工を行なうことができる。したがって2台の機械に複数の電源を接続することにより、いろいろの組合わせで電源を使用できる。その例を図3.11に示す。この図では電源切換盤によって各電源にマルチリード接続か、パワーアップ接続か、シングル接続か、の指示を出し、電源相互のインターロック、出力フィーダの切換え、機械本体と電源間の信号ケーブルの切換え等を行なう。

3.6 アダプティブ サーボ

この方式は電極を分割して、それぞれ独立した電源の出力を接続したマルチリード方式の場合に用いられる。 従来の方法は複数の電極の中の、平均加工電圧の低いものを常時検出して制御する方法なので、平均加工電圧の高い任うの他の電極の放電が遊ぶ場合があり、分割効率が低下する傾向が一般的に見られる。(図 3.12 参照)たとえば 2 分割 80 %、4 分割 60 %、6 分割 50 %に低下する。 このアダプティブ サーボ 制御方式では平均して 90 %は得られる。

これはサーボ系の制御パラメータを極間の状態により最適に制御するもので、基本的には、安定加工の場合は、すべての電極の加工が進むように、電極を送りこみ、加工ギャップを縮めるようにする。不安定加工の信号が入った場合は、安全サイドの加工電圧を選択検出して加工電圧を制御する。したがって極間の状態を監視し、常に安全で、一番加工電流が入る方向に加工電圧を制御する回路である。

表 3.4 ダイアックスシリーズ化 電源リスト Specification and characteristics of Mitsubishi DIAX EDM power supply unit.

		標	準形トラ	ンジスタ	電源	F 回説 ジスタ	トラン 電源		マハ	レチパワー	- 方式トラ	ンジスタ	電源		スプリットタ イ フ	. #	イリスタ旨	置源
		DE-30T	DE-901	DE- 180T	DE-300T	DE 30TF	DE- 90TF	DE- 30TM	DE- 60TM	DE- 90TM	DE- 120TM	DE- 180TM	DE- 300SM	DE- 500SM	DE-120T -SL		DE-300 S-9T	DE-500 S-9T
最大加 電極+銅グラ g/m	ラファイト	0.7~0.8	2.5~3	4.5~5	9~10	0.7~0.8	2.5~3	0.7~0.8	1.3~1.5	1.8~2	2.5~3	4.5~5	9~10	14~15	2.5~3 (12本リ ードを 合計し た場合)	5~5.5	9~10	14~15
最良面あらさ	μR max	0.8~3	0.8~3	0.8~3	0.8~3	0.8~3	0.8~3	0.8~3	0.8~3	0.8~3	0.8~3	0.8~3	100~120	100~120	6~8	2~3	0.8~3	0.8~3
()内は低消耗条件	μC, L, A	0.2~0.8	0.2~0.8	0.2~0.8	0.2~0.8	(1.3~)	0.2~0.8 (1.3~ 1.5)	1 !	0.2~0.8	0.2~0.8	0.2~0.8	0.2~0.8	25~30	25~30	1.5~2	0.5~0.8	0.2~0.8	0.2~0.8
電極消費	毛比%	1以下	1 以下	1 以下	1 以下	1 以下	1 以下	1 以下	1 以下	1 以下	1 以下	1以下	1 以下	1以下	1以下	1 以下	1以下	1以下
最大平均加	工電流	18	52	74	120	18	52	18	27	37	60	74	120	200	60	80	120	200
電 源	入 力	2	4.5	7	12	2	4,5	2	3	4.5	6	7	20	32	6	15	20	32
外 形 (幅×奥行> mm		600×725 ×1,600	600× 1,025 ×1,600	600× 1,200 ×1,600	600×1,300 ×2,010	600×725 ×1,600	550×800 ×1,600	600×850 × 1,675	500×850 ×1,675	600× 1,000 ×1,675	685× 1,000 ×1,805	600× 1,200 ×1,600	抵抗箱 550×1,	₹2,350	710×825× 1,550	電源箱 700×650 ×1,800 抵抗箱 700×400 ×1,325	抵抗箱 550×1,0	×2,350
加工:	適 性	ज्यात	費通穴 加工 底付穴 加工	1	関通穴加工 底付穴加工 (特に数な 造型な大 を初な大 物の高 速加工)	貫通穴加 底付穴加 底消耗仕 工 鉄対鉄の	北上げ加			・またはシ底付穴加	· ングル使 I工	л	マルチバ ステム 荒加工専	·H	スリット和穴加工、 が能機被12 が高数2 では対対数2	底付穴 専用 モールド 型加工に 最適	底付穴加 貫通穴加 大物の高 に向く	江

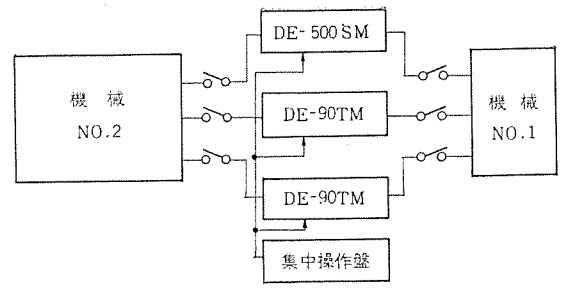


図 3.11 マルチパワー 方式切換 Multi power system.

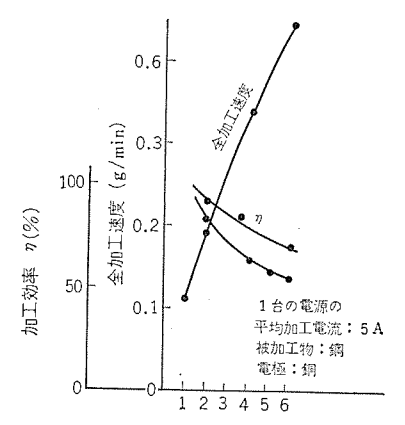


図 3.12 分割数と加工効率 n との関係 Relation between split nos. and machining efficiency.

図 3.13 に ブロック 図を示す。

3.7 ダイアックス電源シリーズ

ダイアックス 電源 シリーズ の中には,高周波重置 コンデンサ 電源 DE-24 H, サイリスタ 電源 シリーズ として DE-150 S, 300 S, 500 S がある。トランジスタ 電源としては,標準形トランジスタ 電源タイプ として DE-30 T, 90 T, 180 T, 300 T があり,それに F 回路を付加した電源として DE-30 TF, 90 TF, 180 TF, 300 TF がある。 また マルチパワー 方式 の電源としては DE-30 TM, 60 TM, 90 TM, 120 TM 等がある。また マルチパワー 方式に F 回路を付加したものに DF-90 TMF,120 T MF 等がある。また マルチパワー 方式の加工量のの多いものに DE-300 SM, 500 SM がある。また,F 回路を従来の DE-30 T, 90 T に付加できるように アダプタ形式にしたものに F アダプタ等がある。表 3. 4 に シリーズ 電源の代表的な性能表を示す。

4. お す び

放電加工機は,加工技術の開発,機械性能の向上,さらに電源性能の進歩に伴い,従来の工作機械の分野にまで進出してきた。

本文では、これらの機械・電源について本質的に具備しなければ

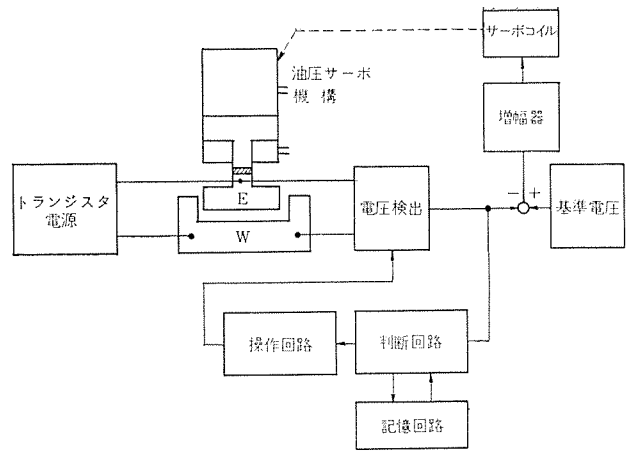


図 3.13 ァダプティブサーボコントロール Block diagram of adaptive servo-control circuit.

ならない種々な条件,ならびに新らしい制御方式等について述べた。 これらの条件は機械・電源とも,発展度が進むにつれ,さらに高度 化,厳密化してきている。たとえば,機械精度の向上・専用機化・ 群管理 システム・NC 化, 最終的には完全無人化まで進むものと思わ れる。これらの発展は,研究者・使用者・製作者一丸となって初め て成し遂げられるもので,今後ますます諸賢のご協力をお願いする 次第である。

参考文献

- (1) 斉藤,小林:電極分割方式による実験,精機学会関西地方講演会資料(昭43)
- (2) 電気・油圧 サーボ 機構の簡易設計法, 東京精密測器(株)発行 資料
- (3) 完全装置の完備した三菱 ダイアックス 放電加工機, 三菱電機 カタログ
- (4) 青島,小林:超大形放電加工機 DM-5000,三菱電機技報 45, No. 2 (昭 46)
- (5) 斉藤, 小林:第52回電気加工研究会資料
- (6) 吉田:工作機械の熱による変形(1), (2), 機械の研究 16, No. 2, No. 3
- (7) 斎藤, 久慈, 小林:電気加工の適応制御, 精機学会 シンポジウム(昭 44-7)
- (8) 斎藤,小林:放電加工による適応制御の一手法,電気加工学会誌 3, No. 6
- (9) 斎藤, 小林: 放電加工における適応制御, 三菱電機技報 **44**, No. 12 (昭 **45**)

放電加工における最近の技術的進歩

小林和彦*·高橋義博* 石川倫康*·高木 茂*

Recent Advances in Electrical Discharge Machining

Nagoya Works

Kazuhiko KOBAYASHI • Yoshihiro TAKAHASHI Noriyasu ISHIKAWA • Shigeru TAKAGI

Electrical discharge machining has made great improvement in machining characteristics by the advent of electric power supply in solid state. Then introduction of adoptive control system to it has brought about unmanned operation, resulting in sharp improvement of the working efficiency. Since the automatic operation for labor saving is the trend of the time, further improvement has been worked out by much higher technique in the control and NC discharge machining has been developed. On the other hand development has been made to improve the discharge machining characteristic itself. A high voltage superimposed circuit to obtain better finishing surface roughness under stable work and a multilead system to increase the machining rate several times are good examples.

Herein in introduced technical advance in electrical discharge machining and also is reported on the result of study made on the phenomena of this machining.

1. まえがき

All Property

放電加工法は、そのうぶ声をあげて以来すでに二十数年、現在この加工法の工業的重要性は、金属加工においてますます大きくなり、とくに金型加工の分野において確固たる地位を占めるに至っている。このように著しく発展した理由として、絶えまない技術的進歩によるところが大きいが、とりわけ放電加工用電源のソリッドステート化によって、加工特性が一段と向上したことは、それ以後の進歩を加速度的に促進させたという点で、その意義は大きい。トランジスタ電源を用いて行なった、放電加工特性についての実験結果の詳細を、すでに本誌 41 No. 10・1967 で報告している。

放電加工法が広く工業界に利用されるようになってくると,複雑な形状のものを能率よく加工するというような要求がでてきて,自動化・省力化が強く望まれるようになった。その結果開発されたのが,時々刻々変化する加工状態に対処して,それに応じた加工条件を自動的に設定することのできる放電加工の適応制御で,これにより無人運転が可能になり,加工能率の大幅な向上が実現されるようになった。さらに,このような自動化をいっそう進めたのが,NC放電加工機で,これは1970年秋の国際工作機械見本市で発表,大きな反響を呼んだ。

一方、その間加工特性そのものを向上させるための開発も行なわれ、きわめて安定な加工のもとに、良好な仕上げ面あらさの得られる高電圧重畳放電回路や、加工速度を数倍に増加させることのできる分割加工法等は、その良い例である。

以上のような次第で、最近の放電加工の技術的進歩には著しいものがあり、いわば技術革新だと言っても過言ではないかと思う。今後もさらにいっそうの発展が期待できそうである。

ここでは、前述したような技術的進歩について順を追って紹介するとともに、最近の比較的新しい放電加工の諸現象と加工特性についても報告したいと思う。

2. 放電加工諸現象と加工特性

2.1 放電による気体の発生量と加工特性の関係

放電加工の電極消耗機構として、熱的な因子が支配的であると言われている(1)(2)。 すなわち、 放電点の電力密度が非常に高く (10°~10°W/cm²), その結果電極点がきわめて高い温度になるので、電極材料の一部の蒸発・溶融と、さらに加工液の爆発的な気化にともなう衝撃圧力が電極消耗機構の主たる要因であるという説明である。 放電加工に用いられる加工液は、一般に灯油 (ケロシン) のよう な絶縁性液体が主であるから、これが放電熱によって熱分解され、炭化

放電加工に用いられる加工液は、一般に灯油(牙ロシン)のような袒縁性液体が主であるから、これが放電熱によって熱分解され、炭化水素系の気体に変わる。この気化現象が急激であると、上述の衝撃圧力が発生し、電極消耗機構の一要因となる。したがって、気体の発生量は当然、電極の消耗量と密接な関係にあると考えられよう。

ところで、加工液の熱分解に関する調査については、非定常放電 (unsteady electrical discharge) を用いた熱分解によるケロシンの気体発生量についての非常に詳しい報告(3)があり、さらにまた、高速度カメラで写真撮影を行なうことにより、放電時に発生する気ほう(泡)(gas bubble)の成長と崩壊を観察した研究(3)(4)等である。前者は、熱分解により気体を生成することを主目的としたもので、放電加工における気体発生とは少し趣きを異にし、また後者は単発放電による観察が中心なので、実際の連続放電加工における気体発生の調査についてはまだ明らかにされていない。そのようなわけで、筆者等はその関係を究明するために、種々な実験条件の下で実際に放電加工を行ない、発生する気体量を計測した。その結果より、電気条件と電極材料に対する気体発生量の関係を求め、さらに加工特性との関係をも明らかにした。

2.1.1 実験方法および装置

放電によって発生する気体を計量するための装置を図2.1 に示す。この装置の原理は、極間において放電加工により発生した気体をアスピレータで吸引し、収集 ピッに送って所定時間で発生した全気体量を計測する。電極および被加工物は、常時加工を安定に保つため、加工深さとともに加工形状が変化しないように、両方とも30

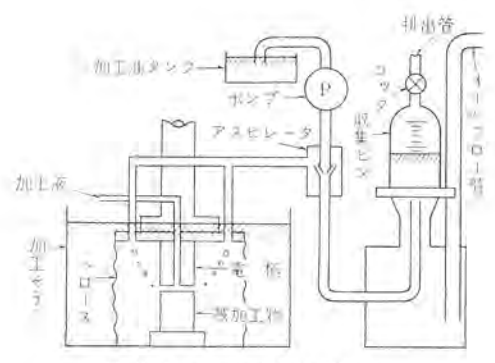


図 2.1 気体計量装置 Measuring apparatus of discharge gas yield.

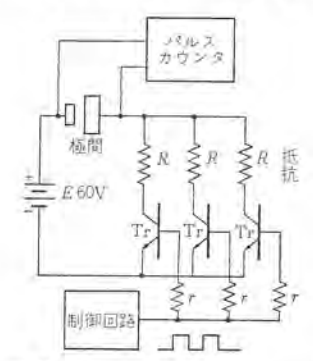


図 2.2 トランジスタバルス 発生回路 Transistor power supply.

表 2.1 加工油の性状表 Property of dielectric fluid.

14:	™ 15/4°C	0,873
75 and 100 a	初留°C	205
分割性状	格点°C	280
A	火 点 °C	81
反	芯	中 性
2' =	リ ン 点	37,2

mm 直径の円柱を用いて加工を行なった。 極間間げきの周囲を ベローズで囲み、気体が漏れ出ないような配慮がなされている。

放電回路は、図2.2で示すようなトランジスタスイッチング式放電回路で、方形波パルスを発生し、そのパルス幅を20~700 μs、放電電流ピーク値を26~50(A)の範囲で数段階に変えて実験を行なった。加工中の放電パルスは、パルスカウンタで計数し、その結果で全気体発生量を除することにより、単一パルス当たりの気体発生量を計算で求めた。

さらに、極間における消費 エネルギーと密接な関連をもつ r-2 電圧については、放電開始後所定時間を経過したときの r-2 電圧をいったん電気的に保持し、その電圧を ディジタルボルトメータ で測定した。放電開始後の経過時間に対する r-2 電圧と、 さらにその電圧の電極材料の種類に対する変化を求めた。 電極材料は銅、グラファイト、r ルミ および鋳鉄、被加工物は鋼 (SK-5) を用いた。なお、加工油は、通常の灯油(r_0 シン)に比べ比較的引火点の高い、第3石油類のものを使用したが、その性状を表 2.1 に示す。

2.1.2 実験結果と考察

パルス幅および放電電流を変化させた場合、単一放電パルス当たりの気体発生量がどのように変化するか、それらの関係を求めた実験結果を図2.3、2.4に示す。これらの結果より、単一放電パルス当たりの気体発生量は、非常に電気的条件に影響を受けていることがわかる。たとえば、図2.3、2.4の曲線のこう配より、パルス幅で

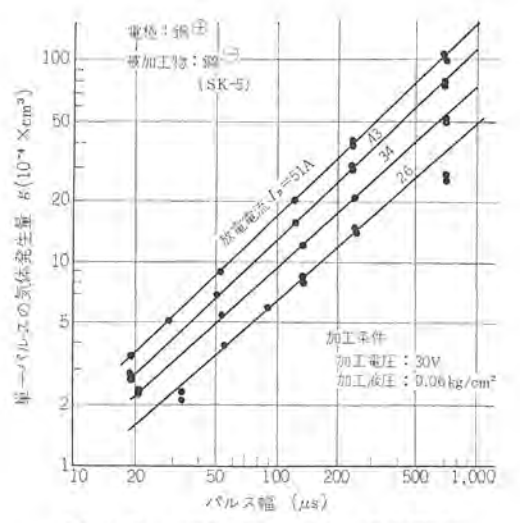


図 2.3 気体発生量とバルス幅の関係 Gas yield per single discharge as a function of discharging period.

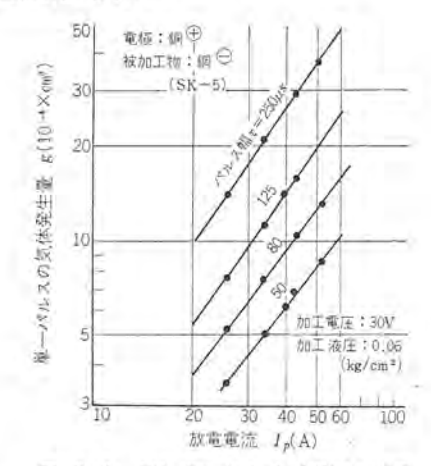


図 2. 4 気体発生量と放電電流の関係 Gas yield per single discharge as a function of discharging period.

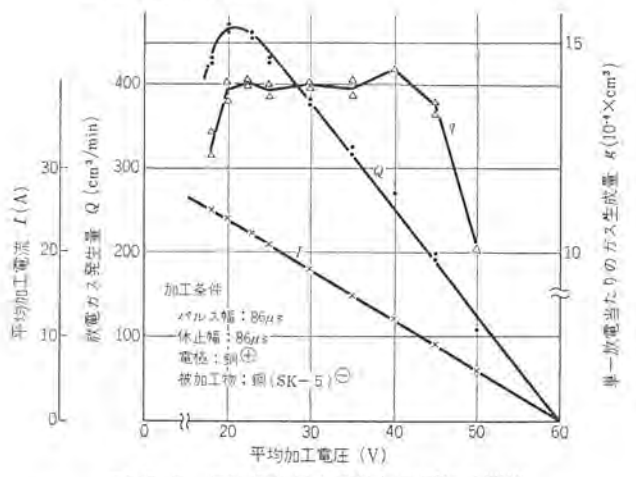


図 2.5 気体発生量と平均加工電圧の関係 Relation between gas yield and average working voltage.

に対しては、 放電電流 $\ell-9$ 値 I_p が一定であれば、気体の発生量 (大気圧の下で) はほぼ比例して増加しているが、 放電電流 $\ell-9$ 値 I_p に対しては、 ℓ に対しては、 ℓ に 幅 ℓ 一定の場合むしろ等比級数的に変化していることがわかる。図 2.5 は、平均加工電圧を変化させた場合の気体発生量を示し、 やはり加工条件によって相当大幅に変化していることがわかる。ここで、 単一放電当たりの気体発生量が、 加工電圧の変化に対して一定でなく、 電圧の高いところ (45 ℓ 以上) と低い

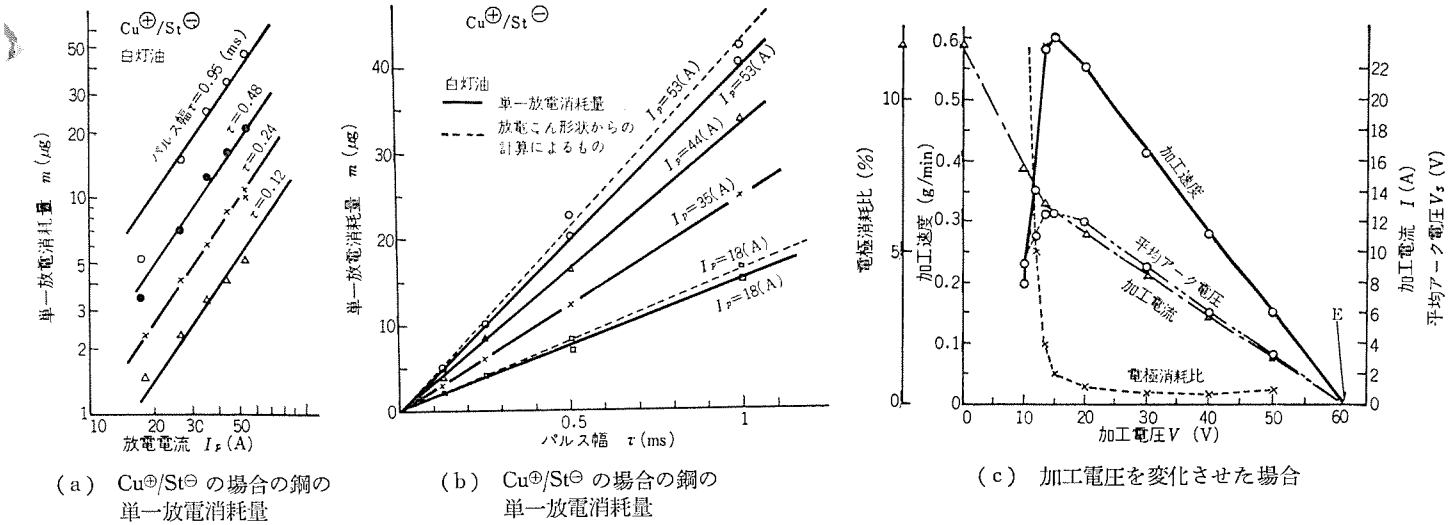


図 2.6 加工特性と電気条件との関係

Relations between machining characteristics and electrical conditions.

表 2. 2 電極材料に対する気体発生量(10⁻⁴×cm³) Gas yield for various electrode materials.

がルス幅	Gr ⊖	剝鉄 ①	Gr ⊕	Al ⊕	Cu ⊕
19 μs	4.36	4.04	4.18	2,02	3.54
30 μs	6.98	6.31	6.29	5.65	5.32
52 μs	11.4	10.3		9.50	8.81
86 µs		16.7	16.5	15.3	14.0
125 μs	23.5	23.5	23.5	21.1	19.9

加工条件 放電電流 51 A,平均加工電流 17~18 A,被加工物鋼 (SK-5)

ところ (20 V 以下) で減少しているのは、加工が若干不安定になり、 短絡等が発生して加工に寄与しない無効 パルス が存在している か ら であろうと思われる。

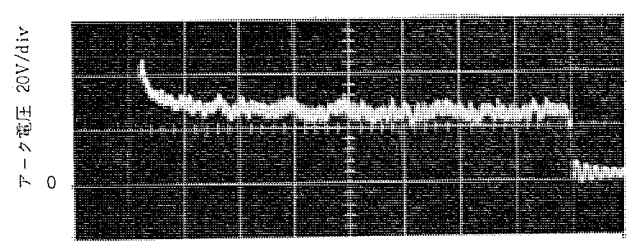
いずれにせよ,気体発生量は電気条件と密接な関係にあることが明らかになったが,これらの関係は,ちょうど筆者等が以前に実験結果として報告した加工特性と電気条件との関係(5),たとえば図2.6(a),(b),(c)ときわめて類似したところがあり,このことから気体発生量と加工速度とは,同じような放電加工のメカニズムに起因していると見たほうがよさそうである。すなわち,気体の発生は,当然のことながら,放電熱の作用によると考えられるから,比較的パルス幅の長い方形波パルスを用いる場合には,加工機構も熱的作用によるところが非常に大きいと推察されよう。

$$p = \int_0^x e_g \cdot I_p dt$$

で与えられる。ここで e_g は,極間における放電電圧 (V) (図 2.7 (a)) で,電極材料が同一ならば放電中はほぼ一定電圧を示す。したがって e_g を一定電圧とすれば,上式は

$$p = (I_p \cdot \tau)e_q$$

となり、 I_p と τ の積で消費電力が決定されることになる。前述した でとく、気体発生量が \mathcal{L}_p にほぼ比例するということから、 \mathcal{L}_p には、極間におけるある放電状態を単に時間的に増減 させることだとみなすことができそうである。しかしながら放電電 流 \mathcal{L}_p の値に対しては、気体発生量が I_p に対して等比級数的に変化 しているので、この値が大きくなるにしたがって、上記消費電力の極 間における放電熱作用に及ぼす効果が増大していくものと思われる。



パルス幅 30µsec/div

図 2.7(a) 極間における放電電圧波形 Oscillogram of discharge gap voltage.

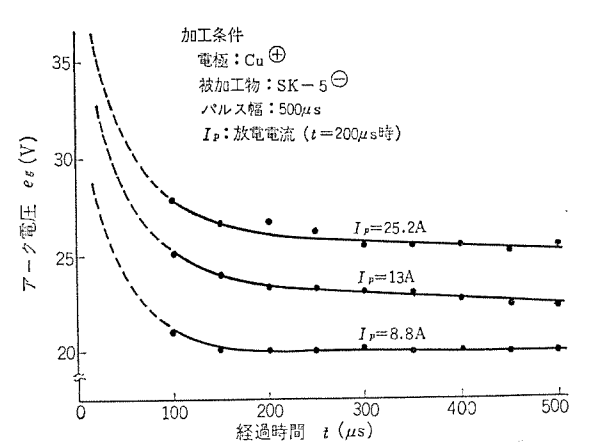


図 2.7(b) アーク電圧の時間的変化 Arc voltage as a function of time.

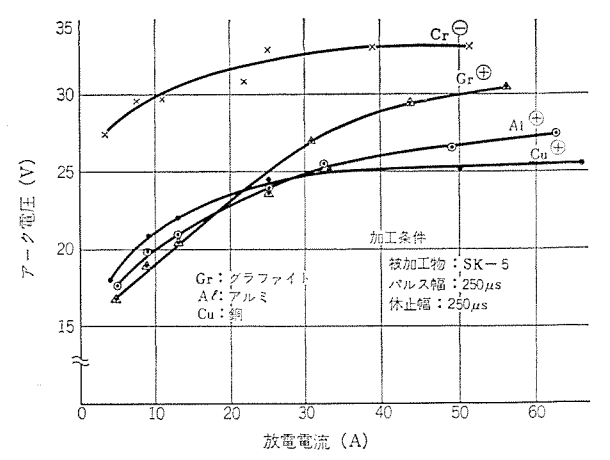


図 2.8 種々な電極材料に対する アーク電圧(放電開始後 200 μs) Arc voltage for various electrode materials.

気体発生量は、また電極材料によっても変化する。電極材料をいろいろ変えた場合の気体発生量を表 2.2 に示す。 パルス 幅の比較的 短い領域では、 Gr^{\odot} 、 約鉄 $^{\odot}$ 、 Gr^{\odot} 、 Λl^{\odot} 、 Cu^{\odot} の順で、気体発生量が大きくなっている。 パルス 幅が長い領域では、 ときどき安定加工が得られない状態が生ずるので、必ずしも上記順位が成立していない。

電極材料の種類が異なると、気体発生量が変化する一要因として、放電中のT-2電圧 e_q の違いが考えられ、その違いによって消費電力を異なるという見方ができそうである。そこで、極間におけるT-2電圧を種々な条件のもとで測定してみると、 \mathbf{Z} 2.7(b)、 \mathbf{Z} 2.8 のような結果が得られる。これらの結果よりつぎのようなことが判明した。

- (1) アーク電圧は時間の経過とともに、なだらかに降下している。
- (2) 放電電流 ビーク 値が増加すると、アーク電圧はわずかに上昇する。
- (3) 電極材料によって、また極性によって r-2 電圧は変化する。

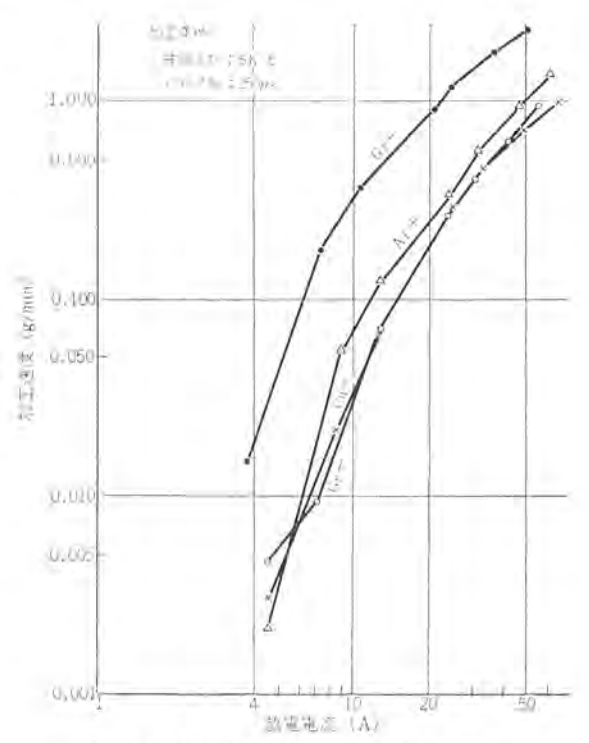


図 2.9 種々な遺極材料に対する加工速度 Removal rate for various electrode materials.

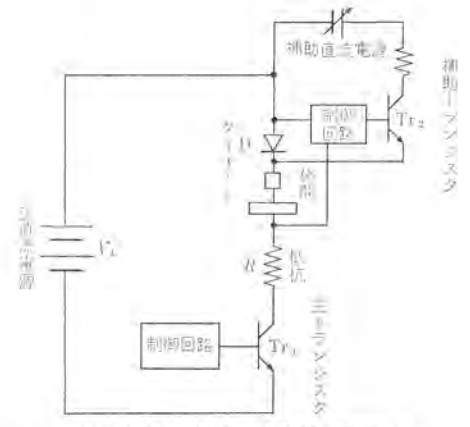


図 2.10 高電圧重疊用放電回路 Electrical discharge circuit for superposing high voltage,

(4) とくに グラファイト(陰極) 対 綱(陽極) の場合は、アーク電圧が非常に高く、上記組み合わせの逆の場合に比べ約1.5 倍である。図2.8 よりわかるように、アーク電圧の高い性うからの順位が、そのまま、上記気体発生量における順位になっており、このことからアーク電圧をgが変化して単一パルスの消費電力が変わることが、気体発生量の電極材料の種類に対する違いとなって現われると見てよさそうである。(ただし両者は厳密な意味での比例関係にあるわけではない)。図2.9 に、種々な電極材料に対する加工速度の関係を示す。AI®電極の加工速度が若干大きめに出ているが、気体発生量の場合と同じような特性が得られている。

2.2 放電ギャップと加工特性

放電加工は、あるギャッうをおいて電極を対向させ、その間で放電させることにより加工を行なうものであるから、放電ギャップの大きさは、放電加工特性に何らかの影響を及ぼすということが当然考えられる。 放電ギャップが異なると、極間に与えられた放電エネルギーの、両電極に対する配分率や、放電こん(痕)を生成するのに作用する爆発力をの他の力の大きさが変わってくるはずで、その結果加工速度や電極消耗比等の加工特性が変化してくる。 Zingerman and Kaplan⁽⁶⁾⁽⁷⁾ や Hockenberry⁽⁸⁾ 氏等は、放電ギャップを変化させた場合、クレータ (Crater) の大きさがどのように変化するかを実験的に求めており、とくに Hockenberry 氏は、グラファイト 対鋼の組み合わせにおいて、単一放電当たりの除去量は、放電ギャップの増加とともに急激に減少すると指摘している。

ところで放電加工においては、加工を安定に維持するということが最も重要で、加工の安定度を欠いては、いかなる放電現象も実用には供せないと言えよう。そのために放電 ギャップを一定に コントロールする サーボ 機構はもちろんのこと、電気条件や、電極材料の選定に種々な工夫が施されてきた。加工の安定度を悪化させる要因としては、極間におけるひん繁な短絡で、これが発生すると極間間げきを一定に コントロール することができず、その結果加工特性、とりわけ加工速度を著しく低下させる。そこで、この短絡現象をできる限り少なくするためには、放電 ギャップを広く保つこと、すなわち広いギャップからでも極間の絶縁液を絶縁破壊させるような方法を用いることが必要である。

筆者等は、放電ギャップを広く保って放電を行なわせるために、極間への印加電圧を増大させて実験を行なってみた。印加電圧を変化させると、放電開始時のギャップも変化するので、この関係を利用して、放電ギャップに対する加工特性の変化を求めた。さらに印加電圧に対する放電ギャップの関係も明らかにした。

2.2.1 実験方法

極間に放電電流を流すための放電回路は、図 2.10 に示すようなトランジスタ 式 スイッチング 回路で、方形波の パルス が極間に与えられる。図 2.10 において、放電電流は主直流電源(電圧 V_1)と抵抗 R によって決められ、 V_1/R で求められる。一方、放電開始電圧の制御 方法は、主トランジスタ Tr_1 が ON になり、極間にまだ放電が発生していないときには、補助トランジスタ Tr_2 を ON にして、ダイオード D に 逆電圧を印加することにより、極間に主直流電源電圧以上の高電圧を印加する方法である。

この回路の特長としては、極間に放電が発生すると、瞬時に高電 圧印加を停止するので、放電電流はその高電圧印加によって影響を 受けない条件下において、他の条件を一定にして放電開始電圧だけ を変えた場合の加工特性を求めることができる。放電開始電圧は、 80 V から 300 V くらいまで変化できるようになっている。 電極材 として銅, グラファイトおよび鍋, 被加工材料としては鋼 (SK-5) を用いて, 放電開始電圧を変えながら実際に放電加工を行ない, その結果より加工速度・電極消耗比, さらに クリアランスを求めた。

その他に放電開始電圧に対する放電ギャップの大きさを、連続放電の場合と単発放電の場合とについて求めた。連続放電の場合の放電ギャップの測定法は、まずある加工条件のもとで加工を行ない、つぎに条件を瞬時に変えてその際に移動する電極の位置の変化分をもって、あるギャップの大きさからの増加分(あるいは減少分)として求める方法である。変化分は1/1,000 mm まで測定可能なメータを用いて測定した。一方、単発放電の場合はまずあらかじめ陽極と陰極を接触させることにより、ギャップの零点を求め、つぎに電極をいったん離してからゆっくり近づけながら放電の開始点を求めた。

2.2.2 放電ギャップと加工条件との関係

放電開始電圧を高くすれば、当然のことながら加工液の絶縁破壊を生する放電 ギャップは大きくなる。 その両者の関係を求めた 実験結果を図 2. 11, 2. 12 に示す。 図 2. 11 は連続放電の場合、図 2. 12 は単一放電の場合である。連続放電の場合は、 パルス 幅 50 μ s、 休止時間幅 50 μ s, 放電電流 ℓ - ℓ 0 値 9 A の電気加工条件の下における放電 ギャップ、 $g_0(\mu)$ を基準にして、それからの変化分を表示している。

図2.11, 2.12より放電ギャップは、放電開始電圧とともに増加していることがわかる。増加率は、連続放電の場合電気条件によっ

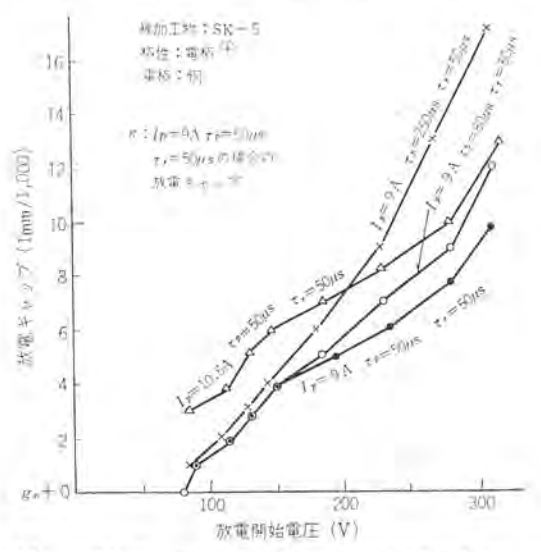


図 2.11 連続放電における放電 キャップ と放電開始電圧との関係 Dependence of spark gap on initiation voltage.

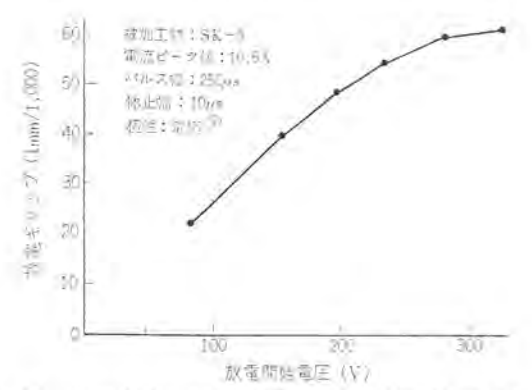


図 2.12 単一放電における放電 ギャップと放電開始電圧との関係 Dependence of spark gap on initiation voltage.

て異なるが、ほぼ 0.05 μ /V くらいになっている。放電電流 ピーク 値が大きく、また パルス 幅が長いほど、大きくなる傾向のようである。一方、単一放電の場合は、連続放電の場合に比べ、放電 キャップ は数倍大きく、放電開始電圧に対する増加率も 0.17 μ /V くらいに増大している。ところで、電気条件によって放電 キャップ が異なる理由の一つとして、つぎのように説明できそうである。この実験のように方形波 パルス を用い、平均加工電圧を一定にして連続放電加工を行なう場合、図 2.13 を参考にして、次式が成立する。

$$V_{\eta e} = \frac{E_0 \cdot \tau_N + e_g(\tau_{0N} - \tau_N)}{T} = \frac{(E_0 - e_g)\tau_N + e_g \cdot \tau_N}{T} \dots (2.1)$$

いま、平均加工電圧を、開放電圧のり%に設定するものとすれば、

$$V_m = \eta \cdot \frac{E_0 \tau_{0N}}{T}$$
....(2.2)

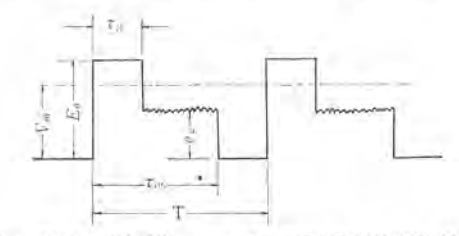
式(2.1), 式(2.2)より

$$V_m = \frac{\eta E_0(E_0 - e_g)}{\eta E_0 - e_g} \cdot \frac{\tau_N}{T} \qquad (2.3)$$

$$\tau_N = \frac{E_0 - \eta \, e_g}{\eta \, (E_0 - e_g)} \tau_{0N} \qquad (2.4)$$

式 (2.3) より、平均加工電圧 V_m は、無負荷電圧印加時間 τ_N に比例することがわかる。しかるに、極間における放電 \dagger も加工電圧と比例関係にあるということは楽知のとおり $^{(1)(2)}$ なので、放電 \dagger キャップは、また無負荷電圧印加時間と比例関係にあると見なすことができそうである。

無負荷電圧印加時間 τ_N は、式 (2.4) より $K_{\rm LLZ}$ 幅 $\tau_{\rm DN}$ に 比例しているが、その関係を実際に求めてみると、図 2.14 のようになり、



V:: 平均加工電圧(V)

TN: 無負荷電圧印加時間 (s) 70N: バルス幅 (s)

E₀: 無負荷電圧 (V) v₀: アーク電圧 (V)

T: 州即(s)

図 2.13 パルス波形の電気条件 Electrical parameters of pulse wave form.

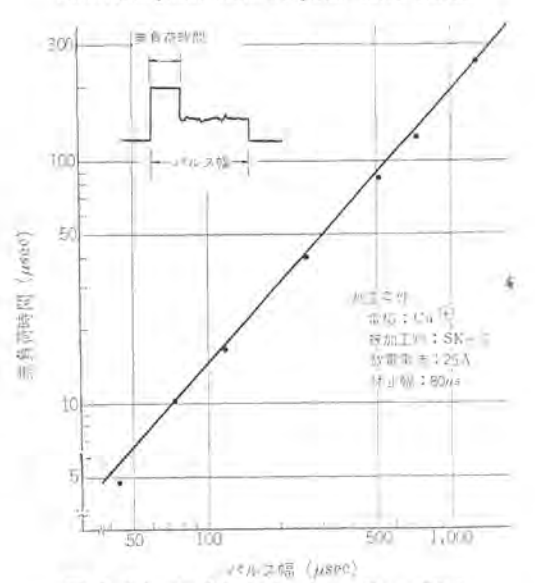


図 2.14 無負荷時間と パルス 幅との関係 Dependence of open circuit voltage on ON-time.

ほぼ両者は比例関係にあることがわかる。したがって、通常の連続 放電加工のように比較的パルス幅の短い条件を用いる場合は、放電 ギャップはかなり狭くなるものと思われる。一方、単一放電の場合は、

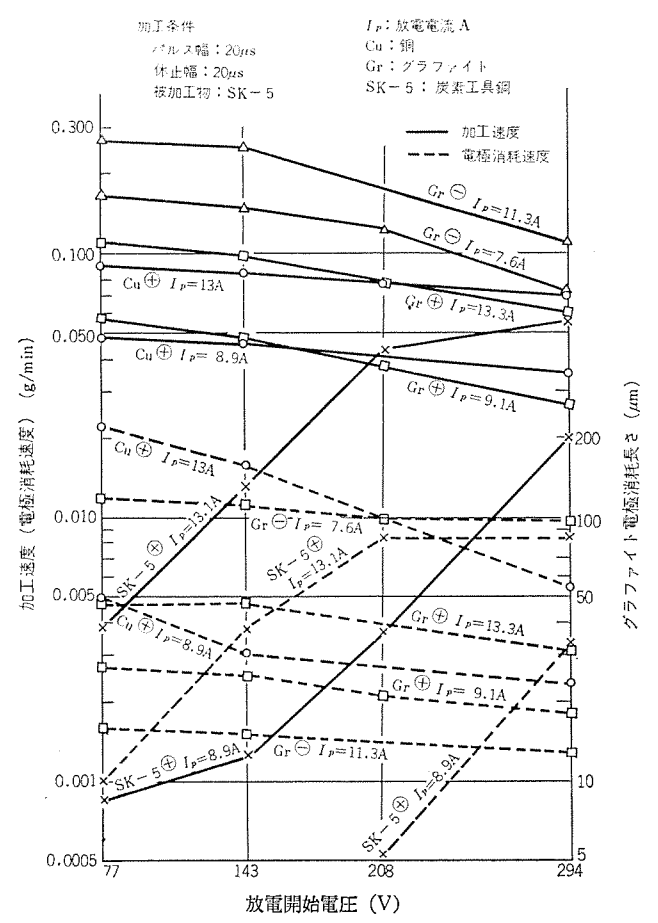


図 2.15 放電開始電圧を変化させた場合の加工速度 (電極消耗速度)

Removal rate as a function of spark initiation voltage for various electrode materials,

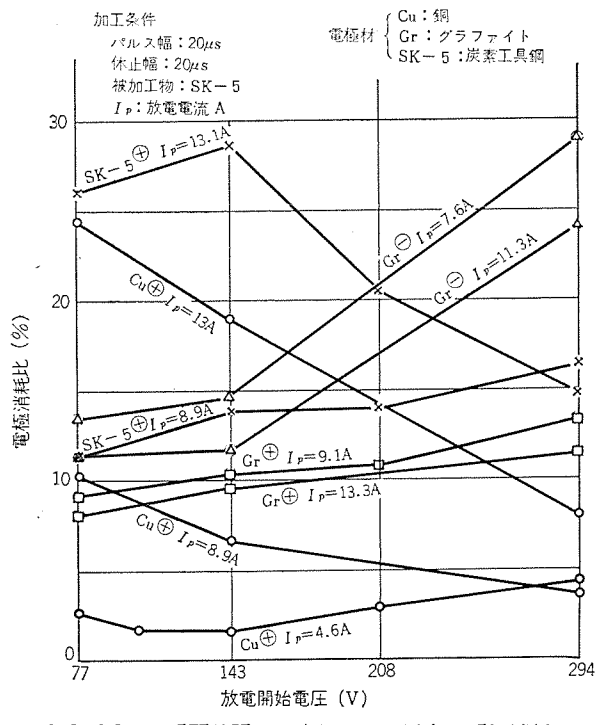


図 2.16 放電開始電圧を変化させた場合の電極消耗比 Electrode wear ratio as a function spark initiation voltage.

放電開始する ギャップのうちの最大値を求めるので、無負荷電圧印加時間とは無関係になり、連続放電の場合に比べ相当に大きくなることが予想されよう。

2.2.3 放電開始電圧と加工特性との関係

(1) 加工速度(電極消耗速度)

放電開始電圧を変化させた場合の、加工速度についての実験結果を図 2.15 に示す。これより、加工速度は、鋼対鋼加工の場合を除いて、放電開始電圧の増大とともに減少する傾向にあるようである。そのこう配は、 放電電流 ピーク 値が大きくなるにしたがって小さくなっている。この理由としては、放電電流が大きくなると一般に放電 ギャップが大きくなる傾向があるので、放電開始電圧によって変化する放電 ギャップ 値が相対的に小さくなるからであろうと思われる。

一方、鋼を電極として加工を行なう場合は、放電開始電圧の増加とともに加工速度が増大している。これは、放電開始電圧が高くなるとともに、加工の安定度が著しく改善されることによって加工速度が増加する効果が非常に大きいので、Cu や グラファイト のように、放電開始電圧の増加とともに加工速度が減少する傾向が消失してしまうためであろうと思われる。加工速度が放電開始電圧とともに減少する理由としては、放電 ギャップの増大とともに、単発放電こんの大きさが小さくなるということがあげられ、これについては、2、3の報告(***の(***)のでいる。第者等の行なった単一放電による実験結果からも、同じような結果が得られている。

(2) 電極消耗比

図 2. 12 に示された f-9 より,鋼(被加工物)に対する電極消耗比を求めてみると,図 2. 16 のようになる。 Cu 電極の場合,放電電流 $\ell-9$ 値の比較的大きいときは, 放電開始電圧の増加とともに減少する傾向にあるが, 放電電流 $\ell-9$ 値が小さいときには, 逆に増加する傾向に変わるようである。 f-10 が、 電極の場合も, Cu 電極とほぼ同一傾向にあるが,全体的に見れば,放電開始電圧の増加とともに,電極消耗比はわずかであるが増加している。 したがって,電極消耗比だけを考えるならば, 放電電流 $\ell-0$ 値を極端に小さくして,放電開始電圧をあまり高く選定するということは得策ではないようである。

Cu 電極に関しては,放電電流 ℓ -ク値が比較的小さい(I_p =5(A)以下)場合,電極消耗比が極小点を示すような,適当な放電開始電

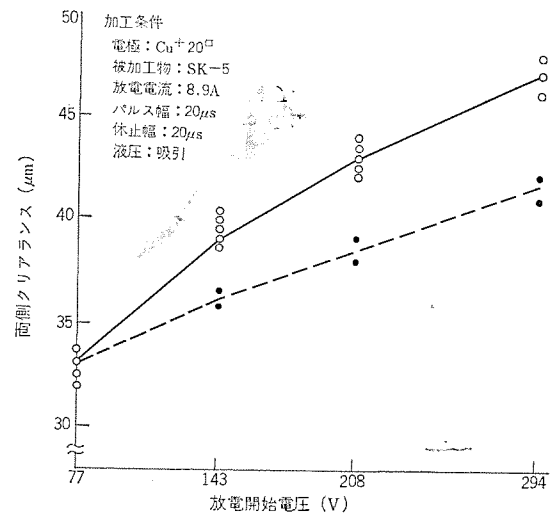


図 2.17 両側 クリアラレス と放電開始電圧との関係 Clearance on both sides as a function of spark initiation voltage.

圧が存在し、大体 100~150 V の範囲にあるようである。

(3) クリアランス、仕上げ面あらさ

放電開始電圧を変化させて求めた クリアランス を示すと、 図 2.17 の実線のようになっている。これより、クリアランス は放電開始電圧の 増加とともに増加していることがわかる。その増加率は、片側 クリアランス で表わして $0.05\mu/V$ くらいであり、放電 #+ $\mu\nu$ の増加率(図 2.11 を参照)とほぼ一致している。この値は、加工特性全体から 見て、それほど大きな値ではないが、仕上げ加工領域においてある 程度の影響はあると思われる。

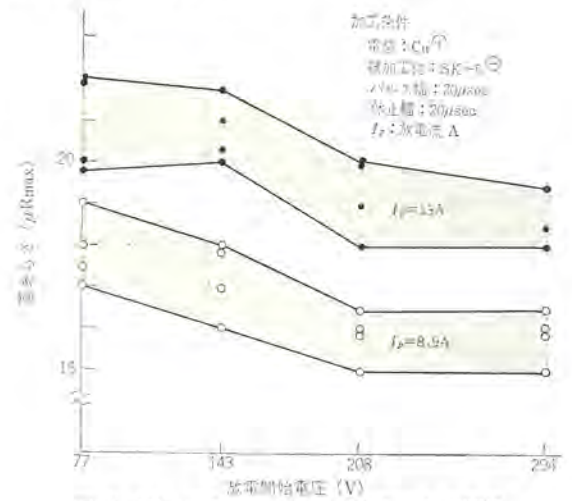
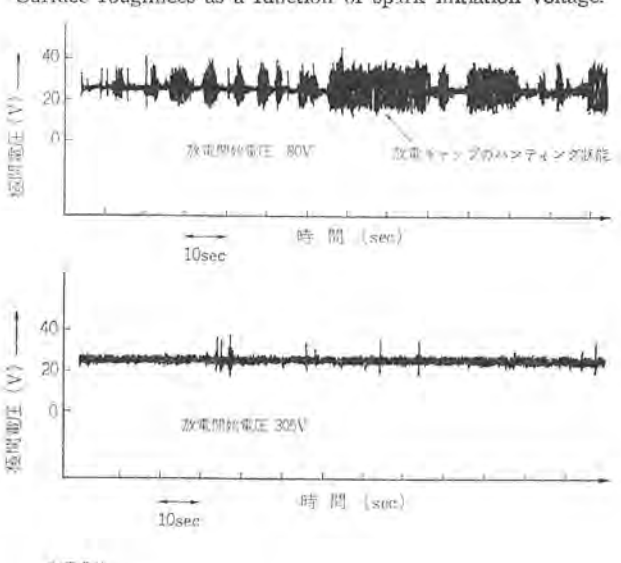


図 2.18 面あらさと放電開始電圧との関係 Surface roughness as a function of spark initiation voltage.



加工条件 電棒材料: SK-5[®] お加工物: SK-5 [©] パルス幅: 8psec 平均電光: 2A

図 2.19 放電開始電圧の違いによる加工の安定度の比較 Influence of spark initiation voltage on stabilization of machining.





図 2.20 高電圧重畳した場合としない場合の加工時間の比較 Comparison of machining time in the cases of high voltage and no voltage superpose.

図 2.17 の破線は、放電開始電圧を最も低く (80 V) して、いったん放電加工による貫通加工を行ない、その後放電開始電圧を高くして、再度すでに加工された側面で放電を行なわせ、それによりどの程度 クリアランス が増加するかを調べたものである。これによると、クリアランス の増加率は、実線の場合のほぼ 1/2 になっており、放電開始電圧だけを増大させたために生ずる クリアランス の増加分として はこの程度の値であろうと推察される。実際の加工では、破線で示される クリアランス よりも大きい領域でも、加工粉の排出の方法等により側面で二次放電が発生する場合が多く、そのため図 2.17 で示すような値になるものと思われる。

図 2.18 は、放電開始電圧を変えた場合の仕上げ面あらさの変化を求めた結果である。仕上げ面あらさは、放電開始電圧の増大とともに、良好になっていくことがわかる。

2.3 高電圧重量方式 (F回路) の応用について

板電パルスに高電圧を重量させることにより、放電開始電圧を変 化させた場合の加工特性についてはすでに述べたが、この方式の特 長を実際の加工に応用すると、かなり面白い応用が考えられそうで ある。すなわち、放電開始電圧を高くすれば、加工の安定度が著し く改善されるので、通常安定加工が得られないような種類の加工に はとくに効果的である。

図 2. 19 は、鋼対鋼の加工において、高電圧を重畳した場合と、そうでなかった場合との加工の安定度を比較したものであるが、高電圧を重畳すると、放電 ギャップの ハンティング がなくなり、加工が非常に安定になることがわかる。図 2. 20 はそのような状況で実際に加工してみた一例であるが、高電圧を重畳するかしないかによって、加工時間に相当の開きがあることがわかる。

この方式は、また仕上げ加工に用いるとかなり効果的である。一般に仕上げ加工においては、放電 ギャップが狭いので、加工物の排出がむずかしくなって、そのために安定加工が得にくいという問題がある。 とくに Cu および グラファイト 電極を用いた 低電極消耗加工の場合は、良好な 仕上げ面あらさを得るために 放電電流 ビーク 値を非常に小さくするので(5)、まずます ギャップが狭くなり加工がかなりむずかしくなるという欠点がある。

そこで、これに高電圧重量方式を応用すれば、上記のような問題が解決されるわけで、この方式の十分な効果が得られる。しかしながら、放電開始電圧を高くすると、前節で述べたデータより、加工速度が若干低下するので、すべての場合に高電圧を重量することはかえって無意味であろう。なお、この方式の応用については、別章で詳述されているので、参照してもらいたいと思う。

2.4 結論

放電加工における気体発生量と電気条件との関係、さらに放電開始電圧を変化させた場合の放電加工特性についての実験結果をひととおり述べた。以上を総括するとつぎのようになる。

まず気体発生量に関する実験では,

- (1) 放電加工における気体発生量は、電気的条件と密接な関係があり、パルス幅にほぼ正比例し、放電電流ピーク値に対しては等比級数的に変化しているようである。またこの傾向は、加工速度と電気的条件との関係に非常によく類似している。
- (2) 電極材料に対する気体発生量の変化は、極間におけるアーク電圧の変化と同じような傾向を持っている。
- (3) アーク電圧は、放電後の時間、放電電流 ピーク値、電極材料 および極性によって変化する。

つぎに、放電開始電圧と加工特性の関係については、

- (4) 放電 ギャップは、放電開始電圧とともに増加し、その増加率 は連続放電の場合 0.05 μ /V、単一放電の場合 0.17 μ /V のようである。
- (5) 放電加工後の クリアランス は、放電開始電圧とともに増加し、その増加率は、 $0.05\,\mu/V$ くらいである。
- (6) 加工速度および電極消耗速度は、放電開始電圧の増大とと もに減少する傾向にある。
- (7) 電極消耗比は、放電電流が比較的高い場合、放電開始電圧の増加とともに、減少するが、電流が低い場合は、逆に増加するようになる。
- (8) 放電開始電圧を高くすると、加工の安定度が非常に良好になる。したがって鋼対鋼のような比較的難加工性の材料の組み合わせでも、かなり安定した加工が行なわれ、加工速度が増加する。

3. 分割加工による放電加工

単発放電の繰り返しで加工の行なわれる放電加工においては、単 発放電のエネルギーを増加させると加工速度は増加するが、それと同 時に仕上げ面あらさも増加するという性質があり、良好な仕上げ而 あらさを得ようとする目的には必ずしも合わなくなる(4)。

実際の加工では、仕上げ面あらさを良好な状態に保ったままで、 加工速度だけを増加するのが望ましく、当社においてすでに数年前 に、この目的を速成する分割加工方式が開発されている⁽⁰⁾⁽¹⁰⁾。

ところが、一般に電極の分割数が増加すると加工効率が落ち、所期の結果が得られないことが多く、この欠点を除くために、最近当社は、極間間げきの制御に一種の適応制御を導入する新サーボ方式(アダプティブサーボ方式)を開発し、好結果を得た。とくに、この方式は、自動車ボディーの金型製作のための超大形放電加工機 DM-5000にも採用され、現在非常な好成績を収めている(…)。

3.1 新サーボ方式の特長

図3.1 に、一般的な分割加工方式の原理図を示す。一つの電極を複数個の小電極(図3.1ではn個) に絶縁分割し、そのおのおのに、互いに独立した電源を接続して加工を行なう。分割された比較的小面積の電極で加工するのとほぼ同一の時間で、全体の電極面

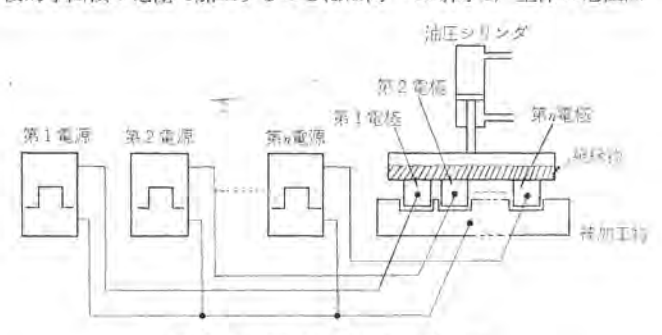


図 3.1 電極分割方式の原型図 Drawing showing principle of split electrode system.

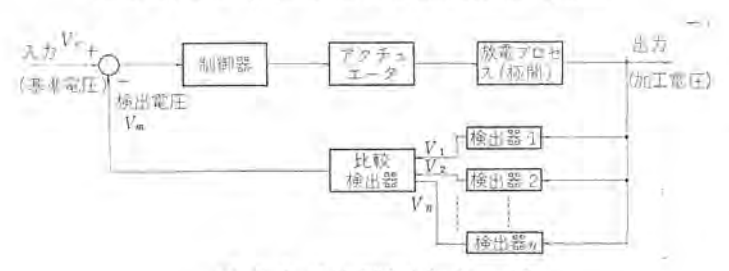


図 3.2 制御回路基本ブロック図 Block diagram of control circuit.

積が加工できるので、加工時間としては、分割しない場合の時間と 比較して、おおむね 1/(分割数) に短縮される。

図 3.2 は、各電極の極間間げきの制御機構についての基本ブロック線図である。すなわち、n 個の加工電圧 V_1, V_2, \dots, V_n を比較検出器において比較し、それらの電圧のうちで極間間げきの制御に最も適当な電圧を検出して、その検出電圧 (V_m) が基準電圧 (V_σ) と等しくなるように、極間間げきを制御する。

さて、各電極の極間間げきを制御するのに適当な比較検出器の出力としては、n個の加工電圧のうち、最も高い電圧(最も広い極間間げきに対応)の2種が考えられる。最も高い電圧で極間間げきを制御する場合には、各電極の極間間げきは、制御された最も広い極間間げきよりも狭くなり、放電はすべての極間において発生し、高効率な加工が可能になる。しかしながら、電極面積が不均一であったりすると、電極面積の大きい電極においては、深さ方向の加工速度は遅くなるので、ついにはその電極で短絡が発生し、加工不能に陥る危険性がある。この最も高い電圧で極間間げきを制御する制御方式では、短絡の現象を回避するのは不可能であり、実用上問題となる。

一方、最も低い電圧で極間間げきを制御する場合には、各電極の極間間げきは、制御された最も狭い極間間げきよりも広くなり、放電を発生しない極間が現われることがある。いったん放電の発生しない状態が現われた極間では、加工液中のチップ等が清浄化され、絶縁耐力が増し、ますます放電が発生しにくくなるという極間の性質から、このようなアンパランスはいよいよ増長し、加工効率を極端に悪くするという欠点がある。しかしながら、この最も低い電圧で極間間げきを制御する制御方式では、短絡が発生して加工ができなくなるというような危険性はまったくない、というような特長を持っている。

上記のように、2種の制御方式にはそれぞれ長所と短所があり。ただ一方のみを採用したのでは、短絡の発生または加工効率の低下といった問題があり、必ずしも満足のいくものではない。そとで、両者の長所のみを採り入れ、短絡の発生もなく安全に、しかも高効率の加工を可能にするために開発されたのが、適応制御を導入した新サーボ方式(アダプティブサーボ方式)である。すなわち、図3.2に示す比較検出器において、n 個の加工電圧 V_1 , V_2 ,、 V_n のうち最も高い加工電圧と最も低い加工電圧を検出し、さらに短絡等の発生も電気的に検出し、それらの検出信号に基づいて、ある演算を行ない、極間における、時々刻々変化する放電状態に最も適応した信号を得ることにより、極間間げきを制御する方式である。つぎに、新サーボ方式の動作原理を説明する。

3.2 新サーボ方式の構成

まず,分割加工方式を採用した電源 (DE-120 T-SL, 図 3.3 に示す) の構成を図 3.4 に示し、また、図 3.5 には新サーボ 方式の構成図を示す。

まず、放電状態が、各電極ごとに設けられた検出回路によって、 極間電圧をもとに検出される。それらの出力の一方は、最低加工電 圧検出回路の入力になり、他方は、判別回路を通して最高加工電圧 検出回路に接続される。最低加工電圧検出回路では、上記極間電圧 のうちから最も低い加工電圧が検出されるようになっている。一方、 判別回路においては、放電が行なわれていれば入力に対応した出力 が得られ、放電が行なわれていなければ出力が出ないようになって いるので、放電が行なわれている極間のうちの最も高い加工電圧が 最高加工電圧検出回路で選別される。

これらの最高加工電圧と最低加工電圧とをもとにして、演算回路 において、ある数式に基づいた演算が行なわれ、最適な極間間げき に側御する信号が得られる。この信号をもとにして、操作回路によ り サーボ 回路が駆動されて、最も加工能率が高くなるような極間の 制御が行なわれるようになっている。なお、極間における短絡等の 不安定な状態も同時に短絡検出回路によって検出され、このような 状態が発生した場合には、上記演算回路において、それを防止する



図 3.3 DE-120 T-SL 形電源 DE-120 T-SL type power supply.

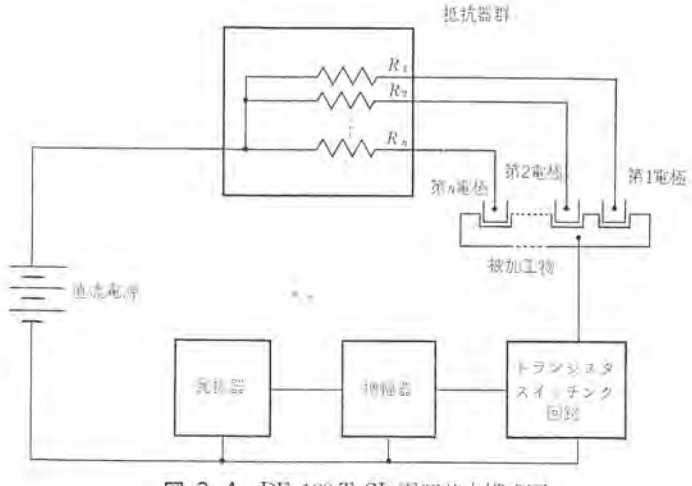
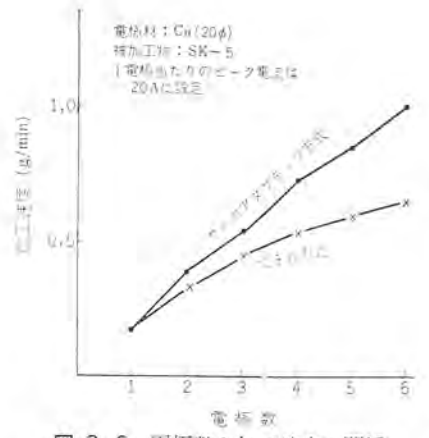


図 3.4 DE-120 T-SL 電源基本構成図 Block diagram of DE-120 T-SL,



-1

図 3.6 電極数と加工速度の関係 Relation between split electrode number and machining rate.

ような信号も出せるようになっている。

以上のように、極間間げきが複数個の電極の中で最も低い加工電 圧をもとに制御される従来の方式と異なり、極間間げきの状態に応 じて、最適な加工電圧が選定されるので、それにより最良の極間間 げきが決定され、高能率な加工が可能になる。

3.3 応用例

DE-120 T-SL 電源に内蔵されている新サーボ 方式を使って行なった加工結果を,図 3.6,3.7 に示す。

図3.6における加工結果では、新サーボ方式を用いた場合と、従来の方式で加工を行なった場合とを対比させて示している。従来の方式の場合には、極間間げきの制御は、多数個の電極のうちで最も低い加工電圧を基準にして行なっている。この結果より明白なように、従来のサーボ方式においては、加工効率が悪く、6分割の時において1電極の場合の3.5倍程度しか加工速度が増加しないような加工においても、新サーボ方式を用いれば、約5.5倍にもなりその効果は著しい。

つぎに、図3.7は押しボタンのプラスチックモールド型の加工結果である。深さ3mm加工するのに、分割しない場合には約300分かかっているのに対し、3分割のときには約130分、6分割のときには約55分に短縮されている。分割しないときの加工時間を1とすれば、3分割のときには約1/23、6分割時には約1/5.5となっており、図3.6の結果よりも加工効率は多少低下している。しかしながら、分割しないときに比べれば相当の効果があることがわかる。

従来の方式においては、分割数を増加していくと加工効率が極端 に落ちるので、分割した意味のなくなることがあるが、一方、新サーボ方式においては、その欠点が大幅に改良され、分割数が増加しても加工効率はあまり低下しないことがわかった。

なお、分割加工方式を採用した DE-120 T-SL 電源は、 2組の独立した直流電源を内蔵しており、1台の電源で2台の機械を動作さ

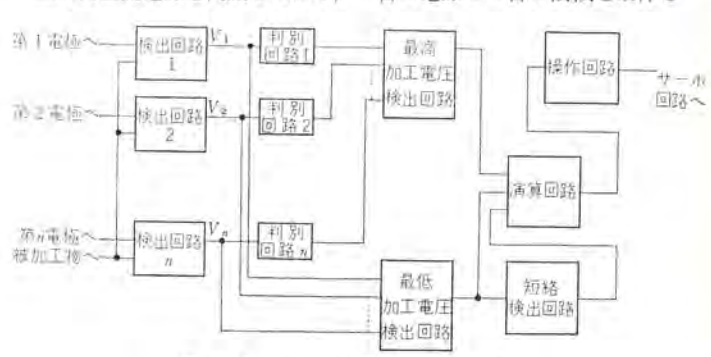


図 3.5 新サーボ回路のブロック図 Block diagram of new serve system

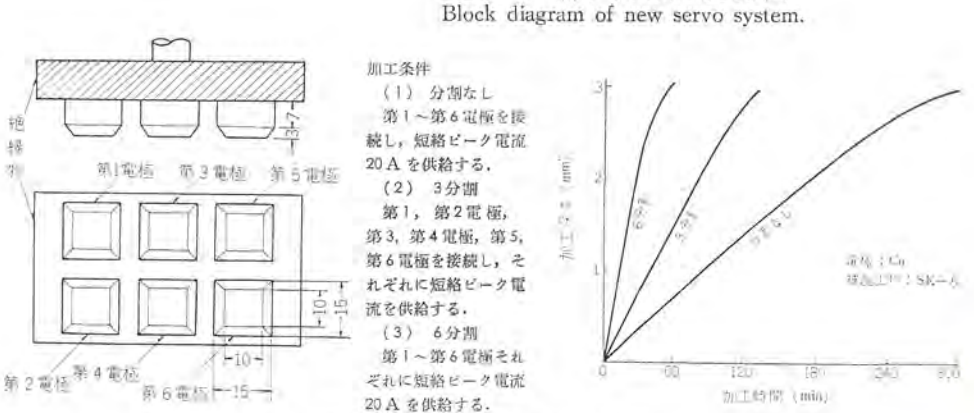


図 3.7 分割数と加工速度の関係 Relation between split electrode number and machining rate.

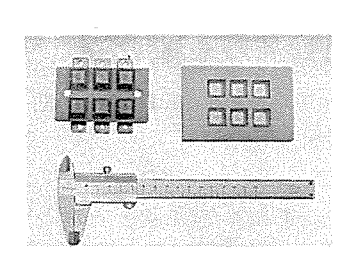


図 3.8 押しボタンの プラスチック モールド型 Plastic molding die for push button.

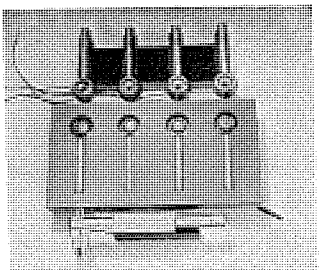


図 3.9 コネクティングロッド 鍛造型 Forging die for connecting rod.

せる機能も持ち合わせていることを最後に付け加えておきたい。

4. 適応制御放電加工機(12)

半導体の技術的進歩に伴い、制御技術は大幅な進展を見せ、各方面で無人化・省力化のための新製品が続々開発されている。そのうえ人手不足、とりわけ熟練作業者の確保の困難な時代に直面し、その要求はますます多くなってきている。

放電加工機は、元来省力化のための型彫機として注目され、しかも、半導体の技術を導入した電源方式に切り換わった今では、型彫機の主流となって、著しい成長を続けている。

しかしながら、電源の進歩にもかかわらず、複雑な形状の加工の場合には、加工の進行状態に応じて、最適な加工条件に オペレータ が調整する必要があった。したがって、無人状態で、安定に、しかも高能率に加工することは不可能であり、また加工能率は オペレータ の経験と勘にたよっていたのは、いなめない事実であった。

このような背景のもとにおいては、高能率に、しかも安定に無人 運転のできる放電加工機の出現が望まれるのは、当然のことであり、 その要求に応えるべく開発されたのが適応制御装置(オプティマイザ) である。

この適応制御装置は、無人運転が可能になるのみならず、加工能率の大幅な向上が望めるために、金型工場の合理化・省力化に大いに貢献している。特に、複雑な形状、ならびに大形大面積の加工、とりわけ グラファイト 電極を用いて 底付型の加工を 行なう場合には、非常な偉力を発揮するので、今ではなくてはならぬものになっている。

適応制御装置の原理および f_{+-} ト を、図 4. 1, 4. 2 にそれぞれ示す。

検出回路で放電状態が検出され、判断回路で安定か否か判断され、 その結果をもとに操作回路で、放電状態が安定になるように加工電流を制御する。放電状態が安定な場合に加工電流を増加させる方法は、熟練作業者が行なう試行錯誤法を採り入れ、最適な値を求めている。また、当社の加工電流を制御する方式は、加工速度を除く他の加工特性にほとんど影響を与えないといわれる(5)休止時間を変化させることにより、加工電流を制御している。

適応制御装置を使用した加工結果を、従来の方式と比較して、図 4.3, 4.4 に示す。 これらの f-g から、手動で行なった最適な場合とほとんど違わないことがわかるが、手動の場合には、通常個人差があるが、適応制御装置を用いた場合には、個人差はなく、常に図 4.3, 4.4 に示されたような結果が得られる。

自動車 ボディー 金型製作用 超大形放電加工機 DM-5000 にも, 適応 制御装置ならびに分割加工方式を採用し, その効果を大いに発揮し

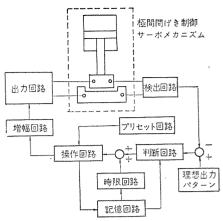


図 4.1 放電加工の適応制御方式の jog 線図 Block diagram of a method for adaptive control in EDM process.

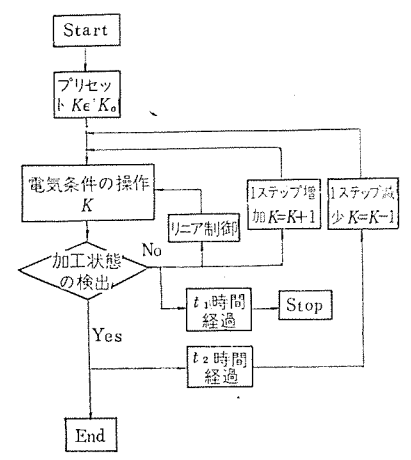


図 4.2 放電加工適応制御方式のフローチャート Chart for operation principle of adaptive control.

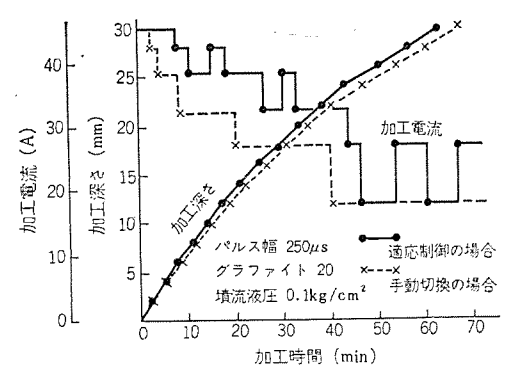


図 4.3 適応制御を行なった場合の実験結果 Curves showing penetration depth and discharge current vs. machining time, with and without adaptive control device.

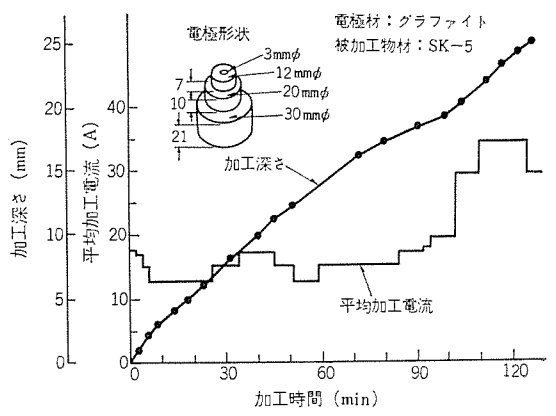


図 4.4 加工面積が深さで変化する場合の結果 Stepped hole machining with adaptive control device.

ていることを最後に付け加えておく⁽¹¹⁾。

なお, 適応制御装置の詳細な説明については, 本誌 **44** No. 12 1970 を参照されたい。

5. NC (数値制御) 放電加工機

本放電加工機 DM-500 EC は,加工状態の適応制御装置,加工条件のプログラミング装置,電極自動交換装置,テーブル自動位置決め装置が備えられている。そのため,加工中の電圧・電流の変動,加工粉・加工液の滞留化による加工間げきの変化等の変動要素に対して適応制御できるのみならず,最終目的に達するまでの加工条件(パルス幅・電流 ピーク値)、電極選択,ワーク位置決め,加工深さ設定のプログラム制御を行ない,加工開始より,加工終了までまったく人手を借りずに,最適な加工条件で加工を行なうことができる。一方,上記装置の組み合わせにより,従来困難だった寄せ加工,ならい加工,組み合わせ加工などの加工法も可能になった。

5.1 NC 放電加工機 (DM-500 EC) の概要

DM-500 EC 形放電加工機は、機械本体、補機関係(加工液供給 装置・油圧発生装置)、NC 装置 (MELDAS-4200) とその指令を受 けて実際に リレー、その他を駆動するための強電盤 (2台)、放電加 工機用電源盤 (DE-90 T) とで構成されている。その シーケンスチャート を図 5.2 で示す。

5.1.1 機械本体および補機関係

機械本体および補機関係は、三菱 ダイアックス DM-500 形放電加工機を母体とし、電極自動交換装置、テーブル自動位置決め装置、深き自動位置決め装置を装備させたものである。

5.1.2 強電制御盤

NC 装置からの指令は、論理分析して、機械本体や強電盤を動かす信号に変換し分配する。機械本体では、X,Y,Z軸の位置決めや、加工液・油圧系を駆動する。一方、電源盤においては、パルス幅・休止幅・放電電流ピーク値等の電気的加工条件を選定する信号を送る。また、これらの完了信号を受けてNC 装置に返す。このように強電盤は、NC 装置と機械本体および電源盤の仲介 シーケンス 回路を内蔵しているが、このほかに、最適制御装置(オプチマイザ)、カウンタ(Z軸の加工深さ設定値をカウントし、表示する装置)、および放電安定装置(放電加工中に生ずる加工物を排除するため主軸を定期的に

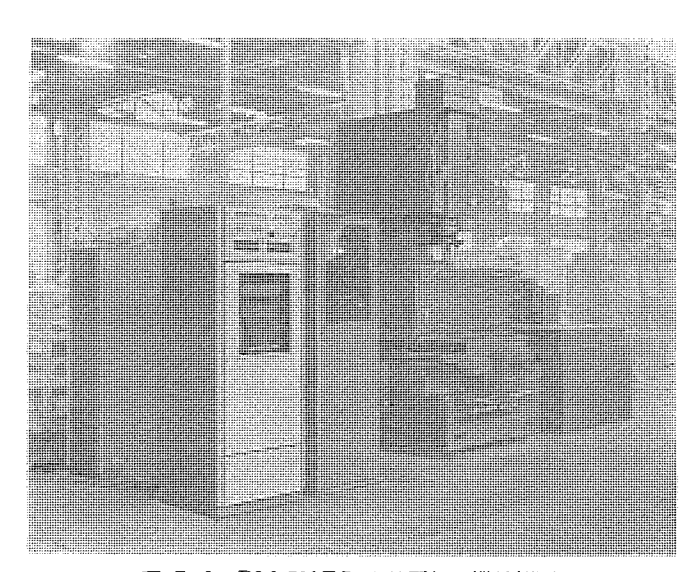


図 5.1 DM-500EC形 放電加工機外観図 Exterior view of EDM, type DM-500EC.

引上げる装置)を内蔵している。

5.1.3 電極交換装置

電極交換装置は荒・仕上げ電極の交換のように、異種の2個の電極を自動交換する シーケンス 回路や、現在電極は何を選択しているかを記憶する装置を内蔵している。 この記憶装置は、つぎの データが読み込まれるまでは電源を切っても記憶が保持されるようになっている。また、この電極交換装置は、テープ指令・手動ボタン指令どちらでも駆動可能である。

5.1.4 数值制御装置

プログラムテープ にしたがって、 演算制御、レジスタ、 パルス 発振器等を

表 5.1 おもな仕様 Main specifications.

Main spec	ancations.
機械本体 加工そう外形寸法 加工そう内形寸法 被加工体寸法 テープル寸法 テープル移動行程 電極取付け面寸法 電極取付け面とテーブル面との距離	1,200(額)×760(奧行)×530(高) mm 950(額)×740(奧行)×500(高) mm 850(額)×640(奧行)×400(高) mm 800(額)×600(奧行) mm 470(左右)×370(前後) mm 180 фmm 700~400 mm
自動電極交換表置 電極交換数 電極交換方式 電極固定方式 ターレット駆動 電極取付け精度	2 組 水平ターレット式 油圧式 カービック 150Φ 使用 油圧式 揺動モータ (クランプシリンダ付き) 平行度 3 秒以下 角度のずれ 3 秒以下 心ずれ 5 μ以下
加工深さ自動設定およびテーブル自動位 置ぎめ 加工深さ設定段数 テーブル送り速度 テーブル駆動電動機 位置検出機構 位置を必繰返し精度	制限なし 1,000 mm/min 5 mm/min 三菱低慣性モータ FKR-13P 390 W 3,000 rpm レゾルバ 1.5 K ±0.01 mm 以下
数値制御装置 位置決め速度 M コード Sコード Tコード 位置指令方式 主テーブリーダ 制御練数 入力設定単位 最大指令値	MELDAS-4200 X 翰 1,000 mm/min (DC モータ) Y 翰 1,000 mm/min (DC モータ) Z 翰 150 mm/min (バルスモータ) 機枝操作に使用 加工条件選択に使用 電極選択に使用 増分方式 (インクレメンタル) 光電式 3 翰 (同時一軸) 0.01 mm ±9,999.99 mm

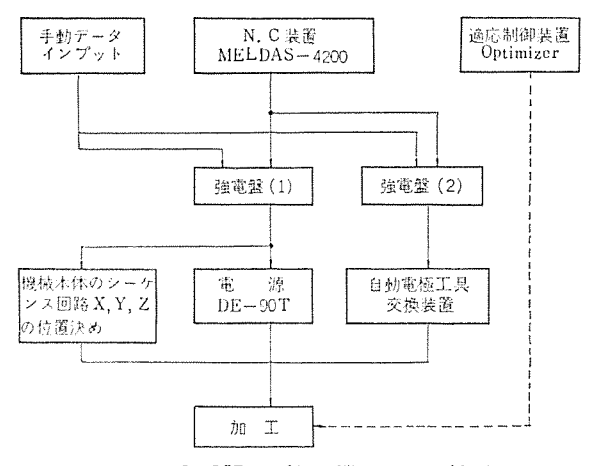


図 5.2 NC 放電加工機の ブロック 線図 Block diagram of N/C EDM.

経て、機械操作、テーブル 位置決め、加工条件切換え、電極交換指令等を出す装置で、当社 MELDAS-4200 を使用している。

5.2 NC 放電加工機の原理と構成

DM-500 EC 形放電加工機は,通常の放電加工機の アイドルタイル を加工状態の適応制御装置,加工条件の プログラミング装置,電極自動交換装置, テーブル 自動位置決め装置によって省力化した機械である。つぎに,本機の原理と構成を述べる。

5. 2. 1 適応制御装置

放電加工に作業者の監視や調整を必要とするのは、加工間げきの 状態が、電圧・電流の変動や、加工粉・加工液の滞留化等により、 不測の変化をするためである。そこで、これら不測の変化により加 工間げきが変化しても安定な加工を行なうよう、機械に最適化機能 をもたせて、無人運転を可能にしたものが、適応制御装置である。

独立 パルス 回路において, 1 分間当たりの加工量を W(gr/min),パルス の電流 ℓ -ク 値を I_P , f_2 - f_3 - f_3 - f_4 - f_5 - f_5 - f_5 - f_5 - f_5 - f_6 - f_7 - f_8 - f_9 - $f_$

$W = 60 \times a \times I_P \times b \times D$

で与えられる。 すなわち,加工速度は テューティファクタ(全加工時間 に対する通電時間の比)に比例する。 一般に,方形波 パルス で加工 を行なう場合,面あらさ・電極消耗比・クリアランス 等の条件より決定 した パルス 幅・電流 ピーク 値で加工をし,加工中に安定な範囲内で能率の高い D を選定する操作を作業者は行なうのである。すなわち,間げき状態が悪化すれば D を小さくし,良好な場合には D を大きくして加工能率を上げるようにしている。この作業者の操作する最適な D の選定を行なうのが,適応制御装置である。

5. 2. 2 加工条件の切換え (プログラム コントロール) 装置

放電加工を行なう場合,加工面あらさ・電極消耗比・加工速度・ クリアランスの所望値をうるため、電流ピーク値・パルス幅等の加工条件 を選定するが、作業者は、加工深さの進行にしたがって経験的な判 断のもとに、この加工条件の切換えを行なっている。

これにつき、二次元状態と仮定して解析を加えると、つぎのよう になる。

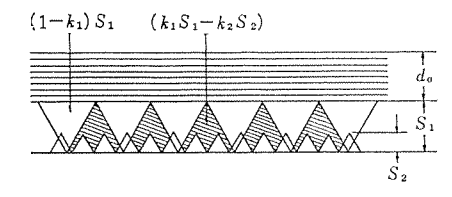


図 5.3 多段加工時の面あらさと除去量 Relation between surface roughness and removal rate in multi-steps machining.

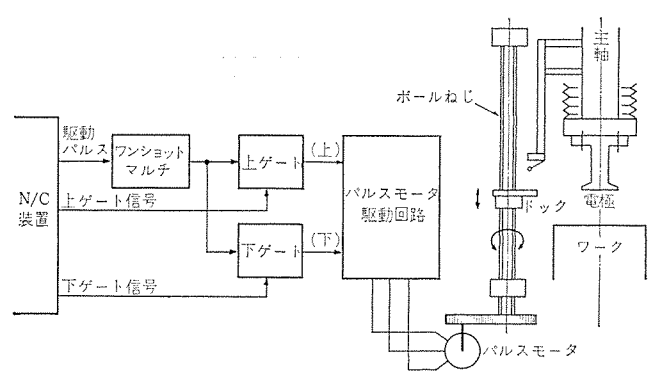


図 5.4 加工条件切換え装置原理図 Drawing showing principle of machining condition changing unit.

加工速度を W_i (g/min), 面あらさ $S_i R_{\max}$, 面あらさ S_i 部分の 面積比を K_i ,9-9 加工開始面より面あらさ S_1 の上部までの深さを d_0 とすると,各加工条件での加工時間 T_i は,

$$T_1 = d_0/w_1 + (1 - K_1)S/W_1$$

$$T_2 = (K_1 S_1 - K_2 S_2)/W_2$$

となり、最終加工に至るまでの加工時間 T_n は、

$$T_n = \sum_{i=1}^{n} T_i = T_1 + \sum_{i=1}^{n} (K_i S_i - K_{i+1} \cdot S_{i+1}) / W_{i+1}$$

で表わされる。

いま,かりに面あらさを $S_{l-1}=2S_l=4S_{l+1}$ のように前工程のあらさを半分にするような条件で,l 番目の加工をやめ,(l+1) 番目の加工で補おうとする。すなわち,加工段数を1 段減らしたときの総加工時間 T_n' と通常加工時間 T_n との差は,つぎのようになる。

ここで、加工速度 W_i と面あらさ SR_{\max} との関係は、

$$W_l = AI_P{}^B au_l$$

= $AI_P{}^B CS^{2.6}$
= $aS^{2.6}$

A, B: 定数, $I_P:$ 放電電流

$$(:: S = \frac{1}{C} \tau^{0.38}, C: 定 数, \tau: パルス 幅)$$

(∵
$$a=AI_P{}^BC$$
 とおく)

よって, 式(5.1)は,

$$\begin{split} T_n - T_n' &= T_t (1 - W_t / W_{t+1}) \\ &= T_t \{1 - aS_t^{2.6} / a(S_{t+1})^{2.6}\} \\ &= T_t \{1 - a(2S_{t+1})^{2.6} / a(S_{t+1})^{2.6}\} \\ &= T_t (1 - 2^{2.6}) < 0 \end{split}$$

よって、加工時間は加工段数を減らすと増大する。言いかえれば、加工条件の細分化をできるだけ多くすることが、全加工時間を短縮することになる。この作業を加工深さをパラメータとして、加工条件をテープにより無限段階に切換えを可能にしたのが、加工条件切換え装置である。

加工条件切換え装置の構造は、図 5.4 で示す。動作としては、NC テープ に プリセット された信号を パルスモータが受け、テープ の設定値だけ ドック を下降して リミットスイッチ を待つ。一方、リミットスイッチ は、テープ に設定された加工条件で加工を続ける電極とともに下降し、ドックを たたき、リミットスイッチ の信号を NC 装置に返す。NC 装置は、この信号を受けると、次の加工条件と加工深さを テープ より読み取り、パルスモータ および電源盤に指令を送る。このように、加工条件切換え装置は、作業者の加工条件切換え作業を完全に代役することができる。

この装置に類するものは、当社 DIAX 放電加工機の OP-1, OP-4 のように、一部市販されているが、機械的装置や手動式入力方式のため設定段数は 3~4 段が限度で、テープのように無限段とはいかない。実用的にはこの程度で十分な場合も多いが、最適切換え段数を追求して完全な加工条件切換え作業をおこなうには、テープコントロールが必要である。

5. 2. 3 電極自動交換装置 (Electrode Changer)

放電加工では、荒加工と仕上げ加工のときでは、放電加工間げきが異なるため、電極を2~3種類作り、交換する必要がある。また、同一形状で多数個取りする場合や、最終仕上げ面精度がきびしい場合、電極消耗が問題となり、電極を交換する必要がある。電極を交

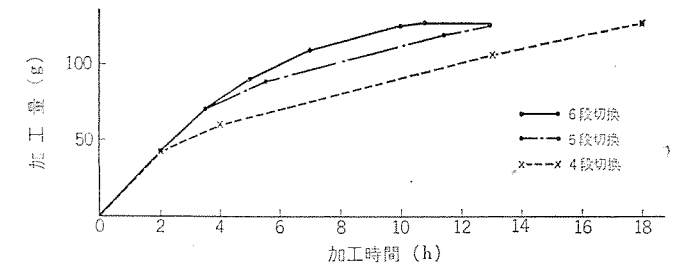
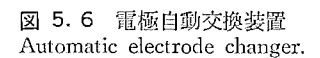
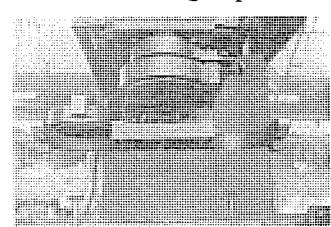


図 5.5 加工段数による加工時間の相違 Machining time as a function of machining step.





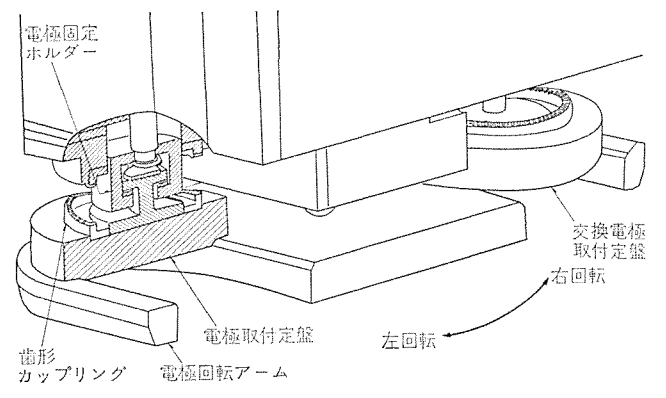


図 5.7 自動電極交換装置の原理図 Drawing showing principle of automatic electrode changer.

換する場合,交換精度は製品の良否につながるため,きびしい精度が 要求される。このため放電加工を行なう作業者は,電極交換作業に 多大な時間を費やしている。精度良く,迅速に電極を自動交換する 装置は,放電加工機の無人化にとっては,必要不可欠の装置である。

電極交換装置は、電極数が2個で、主軸後方の機械本体に回転軸を有し、水平に揺動するアームがあり、その両端に電極取付け板(T1 および T2)がそれぞれ載せられている。NC 装置からの信号により、アームは回転し、T1 (または T2)を主軸の下に運び、油圧操作により、円周上に精度よく歯形を並べた雌雄1対の特殊カップリングを介し、主軸の中心に装着される。電極取付け板が装着されるとアームは回転し、初めの状態に戻り次の加工指令を待つ。この電極自動交換装置の外観写真を図5.6構造図を図5.7に示す。電極交換の指令による動作は、電極の固定位置の検出装置が装備されているので、どの位置から指令を送っても誤りなく電極の交換が行なえるようになっている。また、電極装着時の取付け精度は、製品のばらつきや良否に影響があり、非常にきびしいものが要求される。本電極自動交換装置の取付け交換精度の測定結果を図5.8に示す。このように、電極交換精度が良く、自動的にしかも迅速に行なう電極自動交換装置は、放電加工機の省力化には必要欠くべからざるものである。

5.2.4 テーブル自動位置決め装置

多数個取りをおこなうためのテーブル位置ぎめ作業,寄せ加工などには、テーブル座標指示目盛バーヴージ (Bar gauge) と インジケータ (Indicator) 光学式 目盛読取り顕微鏡などを使用し、精度のばらつきは、作業者の熟練度に負うところが多く、作業者は多大の時間を費やしていた。これを自動化したものがこのテーブル自動位置決め装置であ

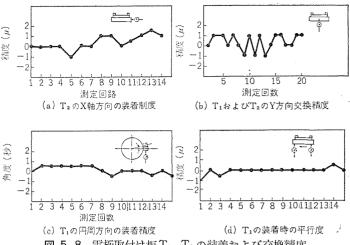


図 5.8 電極取付け板 T₁, T₂ の装着および交換精度 Interchanging accuracy of electrode mounting plate.

表 5.2 コード対応表 Comparison table of codes.

機能	7		۴	_	7	-	۴	内	容
		0		プログ	ラム	停止			
		1		オプシ	ョナ	ル停止			
		2		プログ	ラム:	完了			
		3		加工開	á				
M		4		加工終	7				
		5		微少放	ť				
		6		ジェッ	ト哦!	EE3			
		7		加工液	ζ.		************		
		8		原点読	み取	り(Z軸))		
	Ì	1		電極選	尺 (Γ1)			
T		2		電極選:	尺 (Γ2)			
		3		電極戾	ـــــــــــــــــــــــــــــــــــــ				
	Ī	1		電源選	兄 ('	TP)	***************************************		
		2		電源選	尺 (5	SF)			
	11	~ 2	2	バルス	高ノ	ッチ選択	(1~12	2)	
	31	~ 4	2	休止福.)ッ:	チ選択(1~12)		
	51	~ 5	6	加工セ	ッテ	ィングノ	ッチ選択	(1~6)
S		60		放電安勢	定切				
	61	~ 6	57	放電安勢	さ・カ	加工ノッ	チ選択((1~7)	
	70	~ 7	6	放電安5	ë • i	排出ノッ	チ選択((1~7)	
	80	~ 8	19	加工調整	進ノ	ッチ選択	(1~10))	
	90	~ 5	95	SF = >	デン	/ サ切換タ	モノッチ	選択 (1~	~6)

る。これは市阪の $NC_{\tau-J\nu}$ と何ら変わるところはないが,放電加工機に使用することにより,多数個取りの自動位置決め作業,寄せ加工が容易になり,これは,製品の安定化や省力化につながる。しかも,電極自動交換装置と組み合わせることにより,簡単な形状の電極で複雑な加工のできる組み合わせ加工も可能となった。

5. 2. 5 NC 装置

表 5.3 三菱マーク加工の プログラムシート Program sheet of three-diamond mark machining.

/	N	G	Х	Y	Z	F	S	Т	M	ΕВ	REMARKS
	101							1		ΕВ	電極 Ti
1									5	ΕВ	抜き型用 乙軸設定
1							55			EΒ	加工セッテ ィング 5
1							18			EΒ	バルス幅 8
									3	EВ	加工開始
									0	ΕВ	加工中
							,,,,,,,,,,,,,,,,,,,,,,,,,,,,,,,,,,,,,,,		4	ЕВ	加工終了
	102							2		ΕВ	電極 T2
		,1	-866			999				ΕВ	位置決め B点
		1		500		999				EΒ	位置決め B点
							***************************************		3	EΒ	加工開始
									0	EΒ	加工中
									4	EΒ	加工終了
	103							1		ΕВ	電極 Ti
		1		- 2 500		999				EΒ	位置決め C点
		1	-866			999				EΒ	位置決め C点
									3	EΒ	加工開始
									0	ΕB	加工中
									4	ΕВ	加工終了
	104							2		ΕВ	電極 T2
		1		+1000		999				EΒ	位置決め D点
									3	ΕВ	加工開始
									0	EΒ	中工机
									4	EΒ	加工終了
	105							1		ЕВ	電極 T1
		1	1732			999				EΒ	位置決め E点
		1		- -2000		999				EB	位置決め E点
									3	EΒ	加工開始
									0	EВ	加工中
									4	EΒ	加工終了

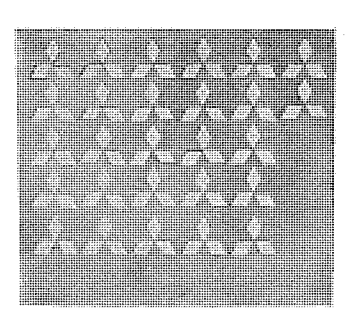


図 5.9 三角電極による三菱 マークの組合せ加工 Sample of three-diamond mark by two triangular-electrodes.

5.3 特 長

- (1) 加工および機械操作を テープ に プログラム することによっ て オペレータ の習熟度に関係なく、 安定な製品精度の加工ができる。
- (2) 加工技術を テープ 化することによって、 リフトウェア の有効な 活用ができる。
- (3) NC 化することにより、ほとんど自動運転をすることができるので、相当に省力化が期待できる。
 - (4) 単純電極によるX, Y, Z3軸制御による異形穴加工を行

なうことができる。(組み合わせ加工, 放電ならい加工)

- (5) 電極形状が複雑で、加工途中に加工条件を多段階切換えて 加工を行なうものに適する。
 - (6) 同一種類の加工を多数行なう多数個取りに適する。
- (7) 1本の電極で売加工を行なったのち、仕上げ加工として τ -ブル を NC により非常に ゆっくり 動かし 水平方向に送り込んで加工するか、あるいは X 、 Y軸を数 μ ~ 数十 μ 動かして Z 軸方向に加工するいわゆる寄せ加工ができる。

以上のような特長を持った DM-500 EC 形放電加工機は、工業界が、情報の ディジタル 的な取扱いおよび省力化の方向に前進しつつある背景から生まれたと言える。今後は、本機のように個々の放電加工機がそれぞれ単独に NC 装置が使用される ケース のみならず、それと並行して、放電加工機の群管理ならびに NC に代表される情報のディジタル 的な取扱いが増加、普及すると考えられる。

6. む す び

比較的最近の放電加工現象ならびに加工特性、そして最近の放電加工技術について、以上ひととおり述べた。半導体技術と制御技術の進歩により、放電加工技術が著しく進歩しつつあることがわかったと思う。また、新しい電源等が開発されると、それによってさらに新しい放電現象や加工特性が生まれ、用途が一段と拡大するようになる。今後、放電加工も、情報化時代に直面して、その方面にいっそう歩を進めることになろう。実用的で信頼度の高い放電加工技術を確立すべく、なおいっそうの努力を惜しまないつもりである。

参考文献

- (1) 鳳, 倉藤: 放電加工, コロナ社 (昭36)
- (2) 元木: 放電応用装置, 日刊工業 (昭 41)
- (3) B. A. Krasyuk Ed.: Electrospark Machining of Metals,3, Consultants Bureau, New York (1965)
- (4) Hockenberry and Williams: Low-Voltage Discharges employed in EDM, IEEE Trans., IGA-3, No. 4 (1967)
- (5) 斉藤, 小林: 放電加工の加工原理と加工特性, 三菱電機技報41, No. 10 (昭 42)
- (6) Zingerman and Kaplan: Soviet Physics Trans, 3, No. 2 (1958)
- (7) Zingerman and Kaplan: Soviet Physics Trans., 4, No. 7 (1960)
- (8) Hockenberry: The Role of the Dielectric Fluid in Electrical Discharge Machining, Society of Automotive Engineers, Inc.
- (9) 斉藤,小林:第52回電気加工研究会資料(昭43)
- (10) 斉藤, 小林:電極分割方式による実験,精機学会関西地方講 演会資料(昭43)
- (11) 青島,小林:超大形放電加工機 DM-5000,三菱電機 技報 45, No. 2 (昭 46)
- (12) 斉藤, 小林: 放電加工における適応制御, 三菱電機技報 44,No. 12 (昭 45)
- (13) 斉藤, 佐藤: 応用機械工学 128, No. 2 (昭 46)
- (14) 斉藤, 小林, 伊東:第62回電気加工研究会資料(昭46)

ダイヤシンカ電解加工機シリーズ

梶田 動*・高橋義博*

Series of DIASINKER Electrochemical Machine

Nagoya Works Isao KAJITA · Yoshihiro TAKAHASHI

Electrochemical machining has been recognized as improvement to the machining technique from the viewpoint of high speed machinability for cutting work considered very difficult in the past. Its accuracy in machining, however, was not satisfactory and much complaint was made to the device. Under the circumstances, a new system is introduced with considerable improvement on the drawback experienced with the old unit. The improvement owes greatly to the development of a depth positioning device of digital machining, control equipment of electrode distance, mixing of high pressure gas and finding of special electrolyte for the operation.

In this article are described principal items of the design on the latest electrochemical machine; i. e. rigidity, anticorrosion, electrolyte feeder, filter, high pressure gas mixer, digital machining depth positioning apparatus and electrode distance control equipment. These are all related to the accuracy improvement and the description covers the main points of the design and the mechanical construction of type MC-100 V electrochemical machine.

1. まえがき

電気加工機は技術革新にともなう難切削材の出現と、熟練工および人手不足に悩む産業界において、省力化の旗手として最近急速に 注目をあびている。

なかでも電解加工機は精度においては放電加工機に一歩譲るとしても、その驚異的な加工速度、良好な仕上げ面、消耗しない電極、変質のない加工面については他の追従を許さない。

当社では10年前に、国産電解加工機第1号機を製作して以来70余台を生産した。そのうち20余台は輸出し海外で好評を博している。

初期の電解加工機は、電解液に食塩水を用いて鍛造型などの売加工に使用される程度であった。最近極間距離制御装置、ディジタル加工深さ位置決め装置の開発、特殊電解液の開発、加工技術の進歩により加工精度が著しく向上し、応用分野も鍛造型・サッシ 押出し型、ガラス 金型などの型加工から航空機常品・機械部品・タービンブレード などの部品加工と多岐にわたっている。

以下三菱電解加工機の概要と設計の主限点、特に精度向上に重点 をおいて述べる。

2. 電解加工機の特性

電解加工は工具と被加工物の間げきを一定に保ち、かなりの流速 (約 $10 \, \text{m/s}$) の電解液を流すことにより、高い電流密度 ($20 \sim 100 \, \text{A/cm}^2$) で金属を溶出するものである。

電解加工機は、電解液の極間における反力に対抗する剛性と高濃度の電解液に対する防食が設計上最も重要な点であり、この機械の設計において考慮すべき諸点を列挙すると次のとおりである。

- (1) 高圧の電解液を使用するため、大きな加工反力を生ずる。 また極間において液のはくり、 キャビテーション などで振動を発生しや すいので剛性の高い堅ろうな構造であること。
- (2) 電解液には高濃度の食塩水, 硝酸ソーダ溶液のように腐食性の強い液を使用するので, 電解液回路の配管はもちろん, 機械本体も耐食構造であること。

- (3) 加工の送り速度は一定でなければならず、そのうえ速度は 0.3~5 mm/min と低速であるため、低速における主軸の送りが円滑で スティックスリップ のない駆動機構であること。
- (4) 加工には大電流を使用するため、大容量の直流電源を必要 とし、さらにこれを導びく電流通路により、連続かつ安定に電流を 供給することを必要とする。
- (5) 大電流を流すため、大量の熱を発生するので、熱が機械に 伝わらないようにするとともに、機械の構造も熱ひずみの影響を受 けにくいようにすること。
- (6) 電解液中に溶出した鉄は、水酸化第2鉄として蓄積されて くるので、これの除去機構をもつこと。
- (7) 加工において陰極より発生する水素ガスを希釈し、常に水 素濃度を爆発範囲以下に保つこと。
 - (8) 高圧で大容量の電解液を連続かつ安定に供給できること。
- (9) 加工中に万一短絡事故が発生しても、電極あるいは被加工 物に損傷を生じないようにするとともに、電気回路も保護するよう に、短絡を検出して瞬時に加工電流をしゃ断する短絡保護装置を持 っているとと。
- (10) 加工部分への被加工物の搬入搬出が容易であるとともに、 加工中における電解液の飛まつ(沫)を防止できる構造であること。
- (11) 加工開始点および終了点の プログラム ができるとともに、現 在位置の記憶機構を持っていること。
- (12) 電解液の見かけの比抵抗は温度・濃度で変化するが、この 比抵抗の変化が加工精度に影響をおよばさない制御方式を必要とす る。

3. 機械、電源シリーズ

電解加工機の応用分野の拡大にともないユーザの要求 は多岐にわたるようになる。これに応ずるため、機械系・電源系・加工液供給系の3ブロックに分け、各ブロックを標準化し、これの組合わせでユーザの要求を満足するようにしている。 表 3.1~3.3 に機械、電源加工液供給系の仕様を、図 3.1~3.3 に MC-20 V、MC-50 V、MC-100 V 形電解加工機の外観を示す。

表 3.1 ダイヤシンカ 電解加工機の機械仕様 Specification of machine units of ECM DIASINKER.

形名	MC-10 V	MC-20 V	MC-50 V	MC-100 V
電極送りストローク mm	200	200	300	350
電極送り速度 mm/min	0.3~3	0.3~5	0.3~5	0.3~5
電極送り側御方式	定電流電	密度方式(C	OC 付属にて定問	げき送り方式)
加工そう内寸法 mm (左右×奥行)	850×900	750×5 5 0	1,050×850	1,500×940
テーブル寸法 mm	600×400	600×400	850×600	1,400×800
テーブル 移 動 距 離 (左右×前後) mm	なし	280×200	300×250(1,200)	500×250(1,700)
電極取付け面寸法 mm	200×200	370×300	500×400	500×400
テーブルと電極取付け 面の面間距離(最大) mm	500	470	650	1,150

注) 注印は、重量物の加工そうへのつり入れ可能とするため、左方に加工そうが 大きく移動可、テーブル移動距離())内に移動距離を示す。

表 3. 2 ダイヤシンカ 電解加工機の電源仕様 Specification of power supply units of ECM DIASINKER.

Opecification	or por	or oupp.	.y ann.	01 1301.12		
形名	CE-10 A	CE-20 A	CE-25 A	CE-50 A	CE-100A	CE-200A
最大出力電流 A	1,000	2,000	2,500	5,000	10,000	20,000
出力電圧 V		4~	-12		4~	~18
出力電圧変動 V			±5 %	以内		
入力電圧A		220/200 ±	:10% 以内		440/400 ±	-10%以内
入力周波数 Hz			60	<i>j</i> 50		
電源入力 kVA	30	45	55	130	270	530

表 3.3 ダイヤシンカ 電解加工機の加工液供給装置仕様 Specification of electrolyte supply units of ECM DIASINKER.

仕	- Al	Lí 		形	_	名	I	П	Ш	IV	V
電角	驿 液	流	盘	15	kg/c	m²	40	90	260	400	800
	l/m	in		5	kg/c	m²	60	160	340	500	1,000
程	解	液	そ	5	容	乱	1	1	2	4	8
標準	的な	c TE	源と	Ø	組合	゙せ	CE-10 A	CE-20 A	CE-50 A	CE-100A	CE-200A

注) 電解液そう容量は遠心分離機付きの場合の容量を示す。

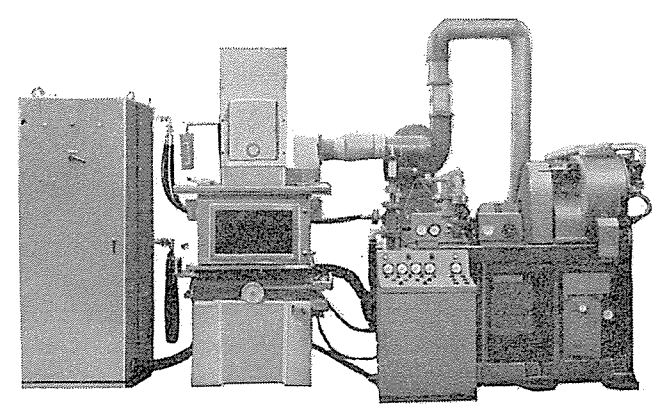


図 3.1 ダイヤシッカ 電解加工機 MC-20 V ECM DIASINKER type MC-20 V

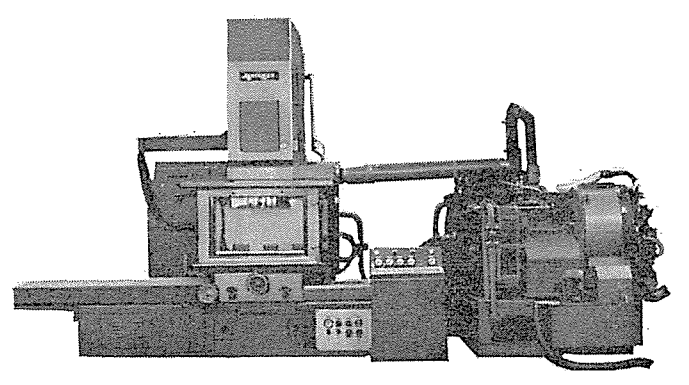


図 3.2 ダイヤシンカ 電解加工機 MC-50 V ECM DIASINKER type MC-50 V.

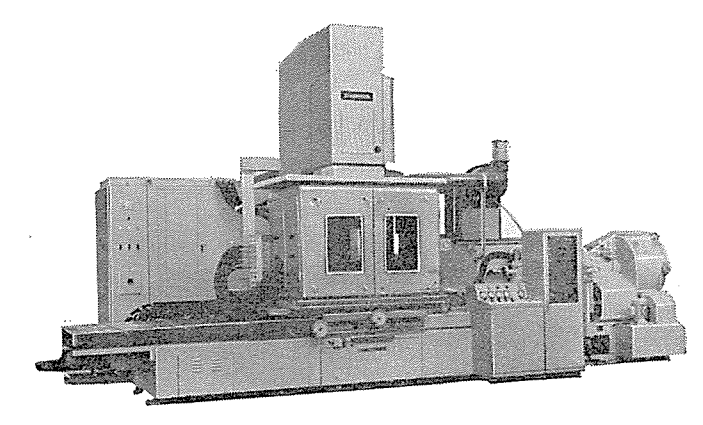


図 3.3 ダイヤシンカ 電解加工機 MC-100 V ECM DIASINKER type MC-100 V

4. MC-100 V の機械構造

4.1 機械本体

図 3.3 に MC-100 V 形 電解加工機の外観を示す。 機械は C_{35} 694 の 97 形の機械である。機械本体は電極送り機構を有する 97 にいたささえる 356 実際に加工する部分を収納する加工を 97 の 97 で 97 に移動させる 97 で構成される。

(1) ヘッド

へッドの側面図を図 4. 1, 平面図を図 4. 2 に示す。主軸②は直接加工反力を受ける部分であり、高い剛性で精度を維持するよう箱形構造にしてある。しゅう動面は当社独得のころがり接触による ナローガイド 方式を採用している。主軸駆動は直流電動機を用いた定速送りである。直流電動機の動力は ギャボックス を介し ボール ねじに伝えられる。 ころがり接触の主軸しゅう動面と、高精度の ボール ねじによ

り、スティックスリップなどの不規則運動のない完全な定速送りを保証している。 ギャボックス 内には トルクリミッタ を設け、誤動作などにより、電極が被加工物に衝突しても、機械自体に一定力以上かからないようにするとともに、電極も保護するようになっている。

電極取付け定盤は電極を取りつけるとともに、電極に対して電解液と電流を供給するものである。主軸への取付けは セラミック の絶縁素子を介しており、機械本体とは絶縁し、電流による発熱から生ずる熱ひずみの影響が機械本体におよばぬようにしゃ断し、加工精度を向上させている。

コラム の剛性は加工精度と加工の安定性に最も影響を与える。剛性は $2,500 \, \mathrm{kg}$ の加工反力に対し、主軸の傾斜角は $1.5 \times 10^{-4} \mathrm{rad}$ である。

(2) 加工そう

加工そうは高級 ステンレス 鋼を用いて、防食構造としており、換気

①上ぶた 液通管③ ボールねじ⑤ ヘッド⑥ 総縁板⑥ 電極取付定盤⑨

図 4.1 ダイヤシンカ 電解加工機 MC-100 V ヘッド 側面図 Side view of head of ECM DIASINKER type MC-100 V.

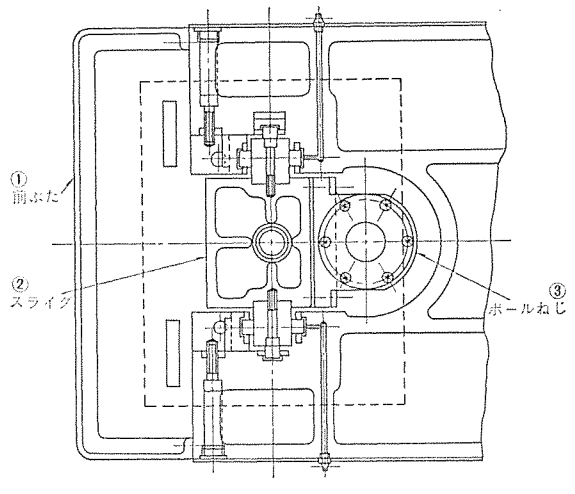
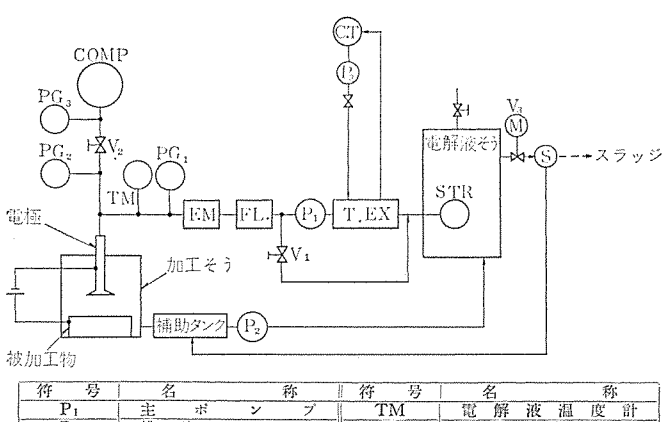


図 4.2 ダイヤシンカ 電解加工機 MC-100 V ヘッド 平面図 Plan of head of ECM DIASINKER type MC-100 V.

l



 符号
 名
 称

 P1
 主
 ボ ン ブ
 TM
 電解液温度計

 P2
 排出ポンプ
 V1
 流量調整パルブ

 P3
 冷却水ポンプ
 V2
 気体圧力調整パルブ

 FL
 フ ル タ
 V3
 波 供給 パルブ

 FM
 流量計
 計 STR ストレーナ

 PG1
 電解液圧力計
 C.T. クーリングタワー

 PG2
 気体二次圧力計
 T.EX
 素 交換器

 PG3
 気体一次圧力計
 COMP
 空 圧縮機

図 4.3 ダイヤシンカ 電解加工機 MC-100 V 電解液および ガス 回路 Flow chart of electrolyte and gas of ECM DIASINKER type MC-100 V.

と液もれ防止という相反する二つの特性を満足させている。

換気は加工によって陰極から発生する水素 ガス (7 1/1,000 A) を爆発濃度範囲以下に希釈するためで、加工そう下部周囲に設けた吸気口より新鮮な空気を吸入し、加工そう上部に設けた排出口より排気ファンにより外部に排出する、排気ファンは水素 ガス 濃度を爆発範囲(4~75%)下限の 1/10 以下にする能力を持たせている。排気の状態は、排気 ダクトの途中に設けた羽根で空気の流れを検出し、常に監視している。 吸気口には内側に カバーを取り付け液の飛まつ(沫)防止を行なっている。また加工そうには後側に ウイークポイント を設け、万一爆発した場合、作業者を保護するようにしている。このように水素 ガス の安全対策には万全を期している。

(3) サドル 部分

サドル 部分は テーブル の前後、左右移動を行なら部分である。

駆動機構は前後,左右とも送りねじを用いている,しゅう動面は ころがり接触なので軽快な動きをする。操作は前後が手動 ハンドル, 左右が手動と電動の併用になっている。送りねじ部にはバックラッシュの調整機構を備え,また完全なクランプ機構を持っており,正確な 位置決めとクランピングが容易である。

テーブルは被加工物を取り付けるとともに、これに電流を供給する もので、 セラミック の絶縁素子を介して受けざらに固定し、機械本体 とは絶縁して、電流による熱ひずみの影響を機械本体に与えないよ うにしている。

また テーブル には, スリット を設けて熱応力によるひずみを分散させ, 大きな テーブル においても機械精度が低下しないようにしている。

テーブル は電動で左に大きく移動するようになっている。これは大きな被加工物を テーブル に取り付ける場合, ヘッド 部分の障害をさけるためで, これにより重量物の撤入・撤出を容易にし, いっそう操作性をよくしている。

4.2 電解液供給およびろ過装置

(1) 液回路

図 4.3 に電解液および f_{12} の回路を示す。 電解液そうは電解液をたくわえる g_{22} 0 である。 電解液は z_1 1 しーナ から熱交換器に入り,主ポップに入る。主ポップ出口で 2 方向に分割された電解液は,一方は z_1 1 を通って電極に入り加工極間に供給される。一方は z_1 2 を通って熱交換器の吸込側に返される。流量調整は z_1 3 で行なう。 これにより主 ポップ にむりな負荷をかけることなく,広範囲の流量調整を z_1 4 に行なうことができる。

極間を通過し加工反応物を含んだ電解液は、いったん 補助 900 にためられ、排出 $#00^{1}$ P_{0} により電解液そうに戻される。一方ろ過回路は電解液そう底部から落差を利用して遠心分離機に液を送り込む。 ろ液は補助 900 にためられ、排出 $#00^{1}$ P_{0} で液そうに戻される。違心分離機で除去された加工反応物は、半固体状となって外部に取り出される。

(2) 配管

電解液として腐食性の強い食塩木および硝酸ソーダ溶液を使用している。また電解液は加工により温度が上昇し、さらに一部は高圧となるため、ステンレス鋼や通常の合成樹脂の配管は適切でない。

われわれはこれらの対策として鋼材に ライニング を施すことを採用 し、成功した。

(3) 主ポップ

主ポップには多段式うず巻きポップを用いている。羽根車, ケーシング軸などは各種電解液に対して十分な耐食性を持った材料を用いて

いる。また グランドパッキン 部は ステライト の スリーブ と炭素繊維の パッキンの組合わせで、ストーブ の消耗は ほとんどなく、 長い寿命を 持っている。

(4) ろ過装置

自動排出形の達心分離機を使用している。ろ過はろ液を連続供給で行ない、分離した加工反応物は自動的に排出するようになっている。遠心分離機のろ過能力は電解加工に支障のない鉄濃度(5 Fe-g/l)において、加工によって電解液に溶出する鉄と同じ量の鉄を排出することを基準としている。

(5) 高圧気体混入装置

電解液に高圧気体を混入すると加工精度が向上する(1)(四(3)。 混入 気体には空気圧縮機で製造した圧縮空気を用い、電解液への混入は 圧力調整弁で電解液圧力より 0.5~1.0 kg/cm² 程度高い圧力で 行な う。

(6) 電解液冷却装置

電解電流による電解液の温度上昇は電解液の比抵抗を変化させ、 通常加工精度に影響を与える。これに対し、後述のごとく GOC 装 置で補正しているが、電解液に硝酸 ソータ 溶液を使用する場合は、 液温が 50°C 以上になると電流効率が悪くなるので冷却する必要が ある⁽⁴⁾。冷却は主ポップ 吸込側に設けた熱交換器と クーリッグタワーの 組合わせで行なっている。

5. 電源回路

電源装置に要求される条件には種々あるが、おもなものを列挙してみると次のようである。

- (1) 大電流を安定かつ連続的に調整・供給できること
- (2) 極間印加電圧を一定値に保つこと
- (3) 電極送り込み速度を一定に保つてと
- (4) 短絡に対する保護を必要とする
- (5) 過電流に対する保護をすること
- (6) 防食性を持つこと

これらの条件中で(1)大電流の連続供給については、近年 大電流シリコン整流素子の応用により、経済的で効率のよい直 流大電流電源の製作が容易になってきた。また(6)項につい ては電解加工機用電源としては重要項目であるが詳細説明は 省略して、とこでは基本方式ともいえる定電圧・定速送り側 御回路の必要な理由と回路方式について概要を紹介する。

電解加工機による製品の寸法精度は極間距離によってほと んど決定されるが、その理論式は次式で表わされる。

電極と被加工物の間げきを(g)、電解液の見かけの比抵抗 e(p)、加工電積を(S)、加工電流を(I)、加工電圧(極間 印加電圧)を(V)、電流密度を(J)とすれば

$$g = \frac{1}{\rho} \cdot \frac{V}{I/S} = \frac{1}{\rho} \cdot \frac{V}{J}$$
(5.1)

ここで J=I|S であるが、ファラディの法則により、J は電極送り速度 との間に次式のような関係がある。

溶解速度を (vs), 比例定数を (K): (使用する電解液により決定できる), とすれば

$$v_S = KJ$$
(5.2)

電極送り込み速度を (vm) とすれば、定常加工状態では

$$v_S = v_m \cdots \cdots (5.3)$$

したがって、式(5.2)と(5.3)より

$$J = v_m/K$$
(5.4)

となる。

式 (5.1) と (5.4) の関係から、電解液の見かけの比抵抗 ρ を一定と仮定 (実際は電解液の種類・温度・濃度等により変化する、詳細は7章を参照)すると極間電圧 (V) と電極送り込み速度 (v_n) を一定に制御すれば、極間距離 (g) つまり寸法精度は一定になるわけである。

5.1 定電圧制御回路

定電圧自動制御回路を図 5.1 に示す。 希望する極間電圧 (加工電圧) を VR_{100} にて設定する、これを基準電圧と称する。次に電極・被加工物間の加工電圧を 7-6 にかってする、これを検出電圧と称する。この基準電圧と検出電圧を比較し、その差電圧を増幅器にて増幅し、点弧回路から増幅器出力に応じた点弧 1 ルスを 1 でもる。 1 できるだけ基準電圧に一致するように自動制御されるわけである。

電極と被加工物との対向面積が変わった場合、このように定電圧 制御されているので、電流は自動的に増減し、電流密度が一定にな るように制御される。

可飽和リアクトルは一般論からいえばサイリスタに比べて, 応答速度がおそく定電流的動作をするから, 定電圧制御には不利な一面がある。しかし電解加工機のようにしばしば短絡を起こす危険のある使い方をする場合には, むしろ好ましい。すなわち励磁電流以上の電流は等アンペアターシの原理にもとづき, 絶対に流れない性質がある。したがって定電圧電源として使用した場合でも, 過大短絡電流が流

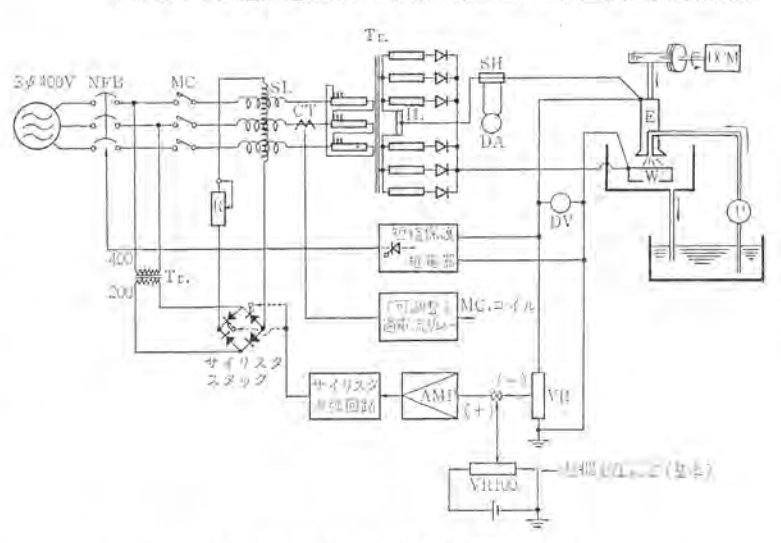


図 5.1 定電圧自動制劃基本同路 Fundamental circuit of constant voltage automatic control.

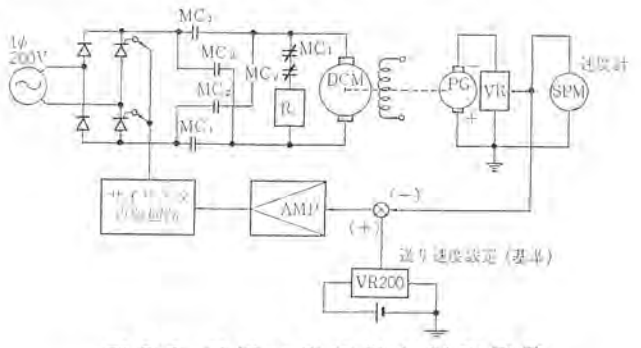


図 5.2 電極の定速送り制御回路 Constant speed feeding control circuit for electrode.

れる心配がない。また電解加工電源としては応答速度は、加工現象 からみれば十分満足できるものであり、加工面積の変化に対する電 流増減の応答速度は十分追従できるものである。

5.2 定速送り制御回路

図 5.2 に電極・定速送り制御回路の ブロック 図を示す。速度発電 機 PG の出力電圧と設定速度電圧とを比較し、その差電圧を増幅器 にて増幅し、 これに比例した点弧 パルス を点弧回路にて発生させて サイリスタに加える。 サイリスタ は点弧 パルスにより 電機子電圧を位相制 御して、直流電動機の速度を制御している。 この ループ によって電 動機速度が設定速度に一致するよう自動制御されているのである。

5.3 短絡保護回路

電解加工機では微少間げきにて加工を行なうため、極間への異物 の混入、電解液の キャビテーション などの原因で極間が短絡し、短絡個 所にジュール熱を発生して電極あるいは被加工物に損傷を起とす。現 在の短絡保護回路はおもに次の事項を検出している。

- (1) 加工電圧の変化分 (dv/dt) の検出
- (2) 低電圧の検出
- (3) 加工電圧波形の上限 ピーク・下限 ピーク 値の変化の検出

以上のような波形検出をし、より早く主回路をしゃ断して、電極 を保護するのであるが、 より高速化を計るため半導体 リレー 回路を 用いている。

5.4 過雷流保護回路

過電流保護回路は電源が定電圧・定速送りであるため、面積の大 きな電極を, 早く送った場合, 加工電流が定格値以上になることが しばしば起こりらるので過電流 リレーによって、 主回路電流を検出 し、限時特性を持たせて電源をしゃ断している。

これらの保護回路により、 シリコン 整流器、 可飽和 リアクトル、 主変 圧器を過負荷から保護している。

6. ディジタル加工深さ位置決め装置

この位置決め装置は、5けた可逆カウンタを装備したディジタル自動 深さ設定装置で、主軸の送りを ディジタル に プログラム し、加工開始点 から加工終了点までを、自動制御する装置である。その外観は機械 部分を図 6.1 に、制御装置は図 6.2 に示す。

6.1 機能

この装置のおもな機能は次のとおり である。

- (1) 主軸の送り量を ディジタル に プ ログラム 制御ができる
- (2) 加工中の位置, つまり現在値 表示ができる
- (3) 深さ設定の最少目盛単位は 0.01 mm
- (4) 電極と被加工物の初期 ギャップ を指定できる
- (5) 短絡現象等により加工が中断 した場合, その位置を記憶して再度そ の位置から再加工開始ができる。(加 工側面に段ができない)
- (6) 同一加工物を多数個加工する 場合は、繰り返し指令を与えれば、1 工程でとに加工深さを設定する必要も

なく,また累積誤差は1工程でとに修正される。

6.2 構造および動作

主軸付近の リミットスイッチ の配置および構造を 図 6.3 に示す。ま

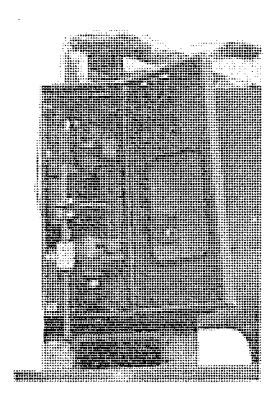


図 6.1 ディジタル 加工深さ 設定装置 (機械系) Digital working depth setting device.

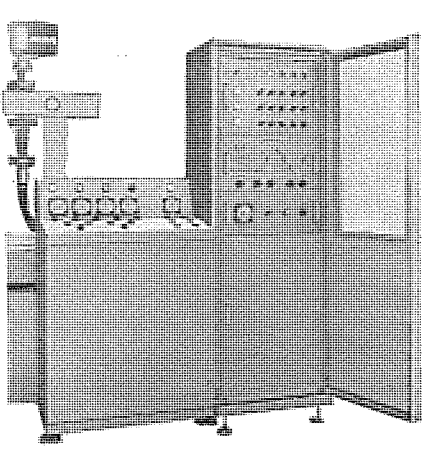
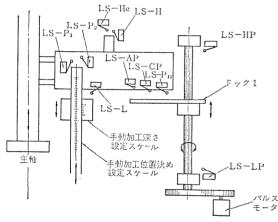


図 6.2 ディジタル加工深さ制御盤 Digital working depth setting panel.



ッチの説明

LS-HP バルスモータ(ドック1)上限 LS-LP パルスモータ(ドック1)下限 LP-P11

主軸速度切換え、主ポンプ作動 LS-CP 自動位置決めリミットスイッチ LS-AP 主軸衝突防止

LS-He 主軸上限(非常用) LS-H 主軸上限(常用) LS-P: 手動位置決め時の 主軸速度切換え, 主ポンプ作動 LS-P2 手動位置決め時の加工 ON

手動位置決め時の加工終了

図 6.3 主軸付近のリミットスイッチ配置 Disposition of limit switches around main shaft.

LS-L

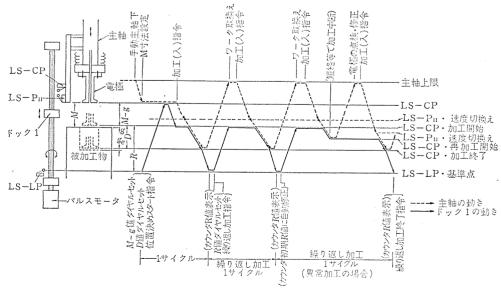


図 6.4 主軸(電極)と位置決めの関連動作図 Chart of operational relationships between main shaft (electroad) and positioning.

た主軸と位置決めの関連動作を図 6.4 に、この装置の ブロック 回路 図を図 6.5 に示す。 この装置の操作および動作は次のとおりである。

位置決め スタートボタン を押すと、電気 パルスモータ により リミットスイッチ 指令 ドック(ドック1) は上昇し、LS-CP を押して停止する。 数秒後 M-g タイヤル 値を読み込み、その寸法だけ ドック1 は下降して停止する。 この点が加工開始点となる。

加工"入"指令を出すと、主軸は下降し、LS-P₁₁、ON にて加工速度に切換わり、LS-CP、ON で実際の加工に入る。加工中はドック1により LS-CP を ON、OFF させながら主軸送り スピードに比例して下降し、現在位置を表示する。主軸が D ダイヤル 値に達すると、加工終了の信号が出て主軸は上限 LS-H まで上昇一次の工程を待機する。またドック1 は カウンタ とともに下降、加算して下限 (LS-LP)点で停止する。このとき カウンタは、R 値(加工開始点からの距離)を表示している。

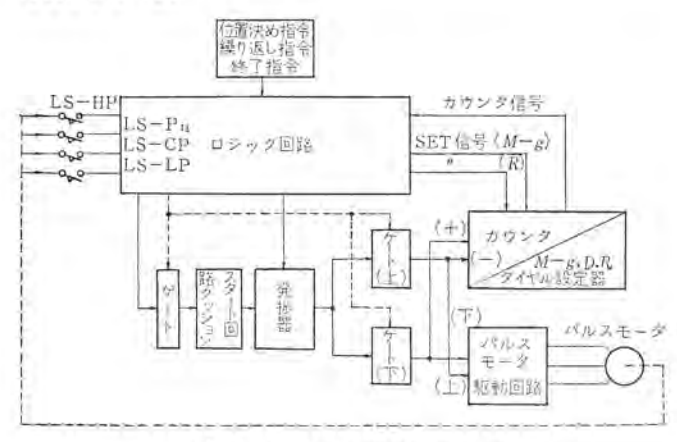


図 6.5 ディジタル 位置決め制御回路 Digital positioning control circuit.

表 6.1 繰り返し位置決め精度試験結果 Test results of repeated positioning accuracy.

斑 位 [mm]

試験回数	D_{SET}	R-D	R_{SET}	D: (凯海)	加工速度 mm/min
3	5.00	145.00	150.00	0	2
2	5.00	145.00	150.00	1-0.002	2
3	5.00	145.01	150.00	+0.002	2
4	5.00	145.01	150.00	-0.016	2
-5	5.00	145.00	150.00	+-0.002	2
6	5.00	145.00	150.00	-0.014	2
7	5.00	145.01	150.00	-0.014	2
8	5.00	145,00	150,00	-0.006	2
9	5.00	145.00	150.00	-0.008	2
10	5.00	144.99	150.00	-0.008	1
11	5.00	145,00	150,00	-0.004	1
12	5.00	144.99	150.00	-0.008	1.4%
13	5.00	145.00	150.00	-0.016	T T
14	5,00	145.00	150,00	-0.010	1



カウンタ R 値を ダイヤルセット して、 繰り返し加工指令を出すと、 R 値を読み込み後、 R 寸法だけ Fック1 は上昇し、000.00 表示になる と停止する、 C の点が繰り返し加工開始点となる。

以後前記の動作を繰り返して下限 (LS-LP) 点に戻る。下限点では初回 セット した R値に カウンタを リセット する指令を出すので、累積 誤差を防止できるわけである。

以上との装置の機能・動作を簡単に説明したが、繰り返し位置決め精度の試験結果を表 6.1 に示す。 電解加工機での仕上がり精度は 5/100 mm 程度であるので、この試験結果で十分満足できるものである。

7. 極間距離制御装置 (GOC)

5 章でも述べたように、電解加工では、式 (5.1) より、加工電圧 (V)、電極送り速度 (v_m)、電解液の見かけの比抵抗 (p) を一定に 制御すれば、極間距離 (g) つまり寸法精度は一定になる。

しかし電解液の温度・濃度を一定にするととは、実際的にはもろもろの困難をともなう。すなわち加工電流による温度上昇、蒸発による濃度変化、不純物の混入による成分変化、電解液の補充による温度・濃度変化など多くの要因によって、その状態は変化し、大量の電解液の状態を長時間にわたって、一定に維持することは困難である。

電解液の見かけの比抵抗 (p) は温度によるものだけを見ても図7.1 に示すごとくに変化する。加工中は普通 $25^{\circ}\mathbb{C} \sim 60^{\circ}\mathbb{C}$ ぐらいの温度変化はありうるから、温度変化によるだけでも (g) は大きく変化することになる。

この制御装置によれば、電解液の見かけの比抵抗を直接検出して V/p が、常に一定になるように側御される。一例を示せば加工を始める際に電解液温度が 30℃、濃度 20 %であったとすると、その状態で最適な極間間げきになるように、加工電圧・加工速度を設定すれば、その後の電解液の温度変化などによる p の変化があっても、

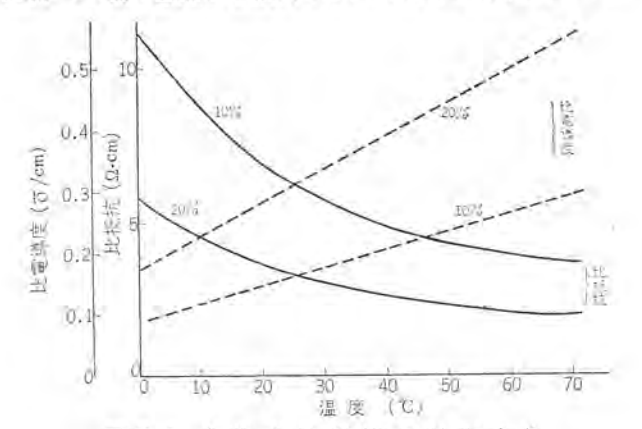


図 7.1 食塩木比抵抗の温度変化 Variation of specific resistance of brine for temperature.

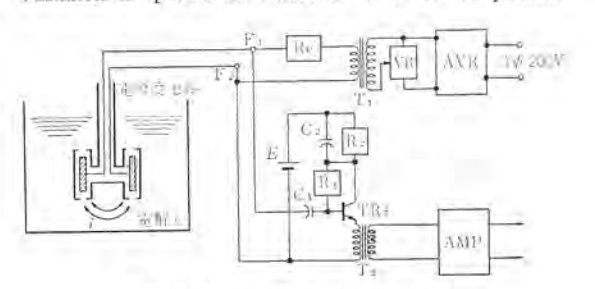


図 7.2 比抵抗検出回路 Detection circuit of specific resistance.

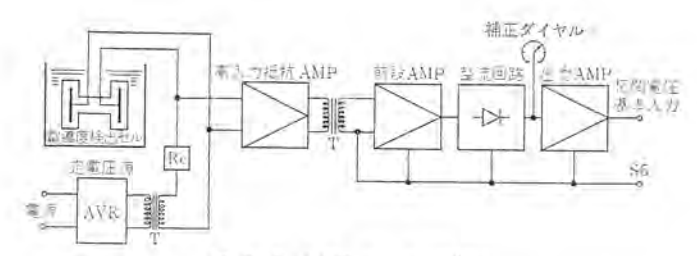


図 7.3 GOC ブロック 回路図 Block diagram of the GOC.

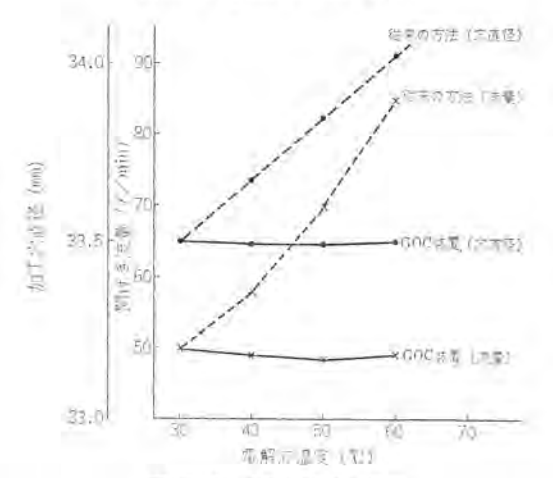


図 7.4 GOC 装置の効果 Effect of the GOC.

最適間げきを与えるように、IC 演算问路によって変数が変化される ので、製品のばらつきは少なくなるわけである。

7.1 検出装置および回路

電解液比抵抗の検出には図7.2 に示すごとく、ガラスの円筒ケース中に、2個の円筒状の白金電極が、一定間げきを隔てて取付けてあり、2電極間のインピーダンスが電解液比抵抗に比例する現象を利用して、比抵抗の測定をするものである。

電極間の電解液抵抗を (r), 電解液比抵抗を (p) とすると

$$r=K\rho$$
(7.1)

となる。ここで K は電極の形状、電極間距離等で決まる定数で、セルコンスタント と呼ばれる。

2電極間に定電流電源を接続すれば、電極間電圧(e)は

$$e = K \rho i \cdots (7.2)$$

となり、電解液の見かけの比抵抗に比例する。したがってこの電極間に高入力インピーダンスの増幅器を接続して、電極電圧を検出すれば、式 (7.2) より、電解液の見かけの比抵抗を検出することができる。

この装置の ブロック 回路図を図 7.3 に示す。電導度 セルへの供給 電流は、直流であると電気分解をおこして電極の溶出が起こるので、 交流電源を AVR を通して定電圧にし、トランス にて降圧した交流を 供給している。

電導度 セルの極間電圧は、高入力 インビーダンス 交流増幅器にて増幅

し、トランス結合した後、次段の増幅器へ結合される。

この高入力 インピーダンス 交流増幅器は、エミッタフォロア により、電導 度検川の極間抵抗に比べて、十分に大きなインピーダンス を持ち、電極 間電圧をこの回路に接続しても電圧変動はない。

セル極間電圧は、前段増幅、整流、出力増幅され、その電圧を図 5.1 の極間電圧設定基準に入力として与え、V/pを一定に制御するものである。

なお、補正 gイヤル は、電解液の種類、電極形状によって、 Jッチを選定し、それぞれの補正 h-Jを利用して、 V/p 特性を修正する gイヤル である。

7.2 GOC 装置の効果

丸電極を用いて、丸穴を加工した場合について、加工された穴の 直径の変化を、GOC 装置を用いたときと従来の方式による場合と の比較を図7.4 に示す。

30 C ~ ρ=5.6 Ω · cm

60°C € p=3.8 Ω ⋅cm

と大きく変化しているのに対し、GOC 装置を用いれば、加工された穴の径は、0.01 mm の変化にとどまっていることがわかる。

8. む す び

以上三菱電解加工機 ダイヤシンカ の加工精度の向上を主として, 機 械構造, 電源制御回路について述べた。今後は加工技術の発展に伴 って応用分野が広がり, 大容量化・自動化が進むであろう。 大容量 化については通電方法と熱ひずみについて対策を講じなければなら ない。

自動化については機械の性質上完全無人化はむずかしく,自動制 出し装置などが,すでに開発したGOC装置,ディジタル加工深さ位置 決め装置のほかに加わり,これらの組合わせで半自動化を行なう方 向に進む。被加工物の取付け・取りはずしは今のところ人手で行な うので十分であると考える。

一方電解加工によって生ずる加工反応物の処理が電解加工機発展の障害となりつつある。当社の電解加工機は遠心分離機の採用により反応物の小容積化を計り、その処置を簡便にしてはいるが、昨今問題になっている廃棄物処理として加工反応物の資源化について、なお研究を進めているところである。

参考文献

- (1) 前田, 斉藤, 荒井, 伊藤, 杉江:三菱電機技報 37, No. 8, 35 (昭 38)
- (2) 前田, 斉藤, 荒井: 三菱電機技報 39, No. 9, 75 (昭 40)
- (3) 前田, 斉藤, 荒井: 精密機械 31, No. 11, 70 (昭 40)
- (4) 荒井,薬石:最近の電解加工の応用,三菱電機技報 45, No. 10 (昭 46)

硝酸ソーダ水溶液による電解加工

荒 井 伸 治*·葉石 雄一郎*

Electrochemical Machining with NaNO₃ Solution

Nagoya Works Shinji ARAI • Yuichiro HAISHI

Electro-chemical machining with Na NO₃ solution by a high pressure gas mixing method has elevated the accuracy, simplified the process and widened the scope of application to an extent never attained in the past. When the relation between the electrode gap and the current density is sought for with this solution, surface resistance R of the workpiece seemingly caused by oxidized passive state is made known as a concept. Also it is observed, from the relation of the current density with the velocity of dissolution, that the dissolution does not occur at the current density below J_0 . The presence of R and J_0 reduces the integration effect. On the other hand, the flow of uniform liquid due to the compressed gas mixture assures the stability of the machining. As a result, even in the field of die machining the reversal method can be used and economic effect is enlarged by the use of the electro-chemical machining.

1. まえがき

電解加工機が出現して以来, すでに13年の年月が経過し, その間に,電解加工の応用分野は着々と広まりつつある。とくに,最近工業の発達とともに種々の目的から数多く出現してきた,難切削性の材料を加工する場合には,電解加工は,不可欠の加工法として中心的な役割を占めるに至っている。

現在ではさらに電解加工法の高速性と、電極の無消耗性を最大限に利用すると、部品加工や成形加工として、 ミーリング加工やボーリング加工に代換えして用いて、大きな経済的利益が得られることが判明し、電解加工は単に難切削性材料の加工に限らず、広範な応用分野で利用されつつある。

このように ミーリング加工、ボーリング加工に代換えできる電解加工法となり得た大きな理由の一つに、積分効果(1)の少ない電解加工が実現されるようになったという技術的な成果があげられる。すなわち、電解液として、これまで一般的に用いられていた食塩水から、硝酸ソーダ液などの酸素酸塩に切換え、これに高圧気体混入方式を併用することによって、電極より微小定間げきだけ大きい相似形状に、加工できるようになった。これによって、電極の形状を、加工深さによって異なる間げきに設計するという、これまでの電解加工にみられた電極形状設計・製作の繁雑さは、いっさい不要となり、きわめて簡易になった。また電極自体を電解加工で製作する反転法の使用も、従来適用が不可能であった一般金型加工にも可能となった。

電解液に、食塩水を用いる電解加工については、すでに報告(2)(3)(4) したので、本論では、 酸素酸塩水溶液とくに硝酸 ソーダ 水溶液による電解加工について、 特性・精度・応用例について述べる。

2. 各種電解液による電解加工

電解加工の開発当初,食塩水をはじめとする各種電解液についてその使用の可否が検討⁽²⁾されたが,電流量に対する溶出量が最大で,しかも入手容易な食塩水が選定された。また,他の電解液は,実用的な加工において,電極軸の横方向の振動に起因すると考えられる短絡が多いために,実用できなかった。当社では,近年電極軸の剛性の高い電解加工機が開発され,電極横振動が小となり,また横振動の起因である液流動の不均一を,高圧気体混入方式で解決することにより,他の酸素酸塩による加工の可能性が見出されてきた。

酸素酸塩による加工においては、被加工物表面に生成されるとみられる酸化膜による不動態化現象により、積分効果が小になることが期待でき、高精度の電解加工が得られるものと思う。

そこで、各種電解液について、円筒状電極(図 2.1)の電極で加工し、その加工形状(断面形状)を測定した結果を述べる。

実験条件

電 極 外径 30 φmm・内径 16 φmm 材料:黄銅

被加工物 図 2.1(b)の構造で、合わせ目が中心となるよ

うに加工する。材料:軟鋼 (SS 41)

電解液 NaCl, KNO₂, KNO₃, NaClO₃, NaNO₃, Na₂CO₃

水溶液について、5・10・15・20% の各濃度の液

電解加工条件 電圧 $10\,\mathrm{V}$, 液圧力 $10\,\mathrm{kg/cm^2}$, 液温 $30{\sim}40^\circ\mathrm{C}$ 加工時の観測は次のとおりである。

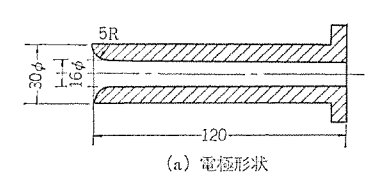
(1) NaCl 水溶液

5 %濃度でも 1.5 mm/(分) 以上の加工送りが可能であり、加工深さも 30 mm 以上短絡させずに加工可能である。 加工面は、微光沢を帯びる。

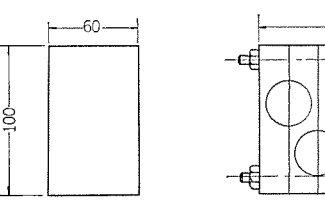
(2) KNO₂ 水溶液

短絡がおきやすく、速い加工は濃度を濃くしないとむずかしい。30%溶液で0.8 mm/(分)が、短絡のおきない限界の速さである。加工面は暗緑色となり、被加工物の非加工面の電極近傍に、海綿状かっ色膜が生ずる。

(3) KNO₃ 水溶液







(b) 試験片形状

図 2.1 電極および試験片

Electrode and workpiece.

濃度 15 %以上で 1 mm/(分) の加工が可能である。加工面は暗緑 色であるが、非加工面のかっ色膜は生じない。

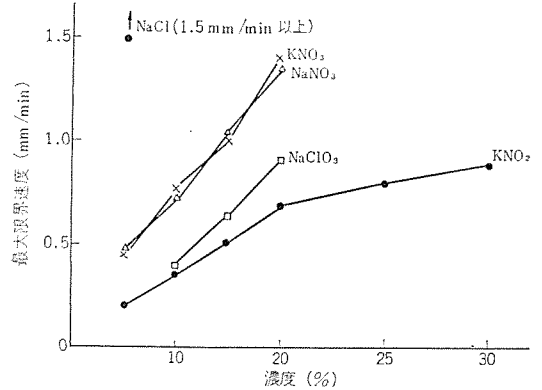
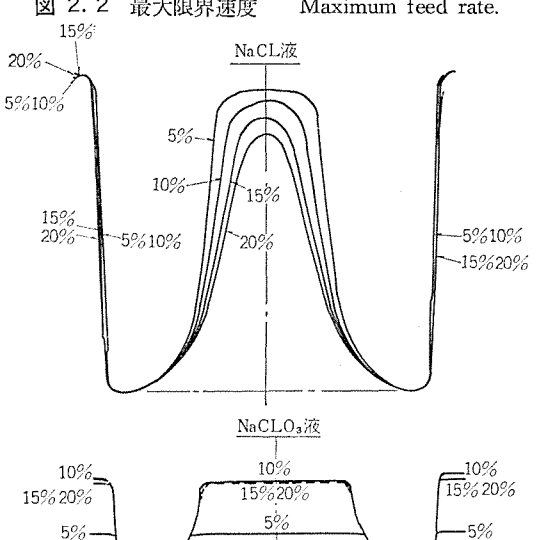
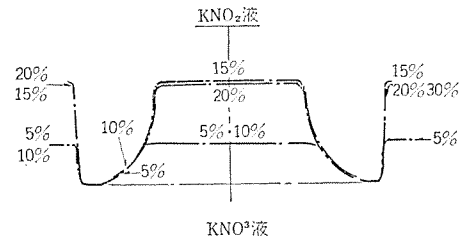
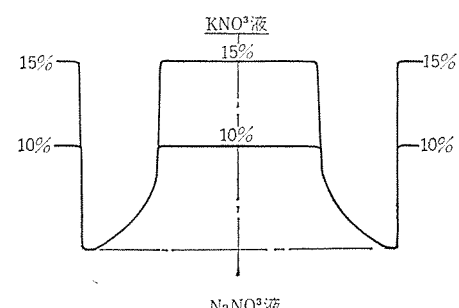


図 2.2 最大限界速度 Maximum feed rate.







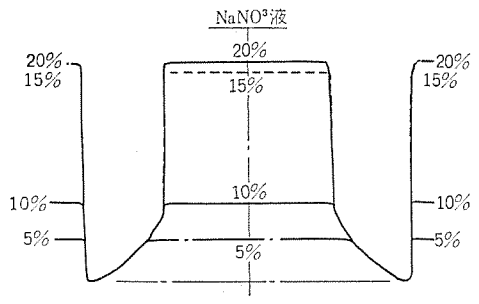


図 2.3 各種電解液による加工断面形状 Cross section of hole made with various electrolytes.

(4) NaClO₃ 水溶液

食塩水ほど速い加工はできない。加工面は,金属光沢面を呈すが 側面に条こん(痕)がつきやすい。

(5) NaNO₃ 水溶液

KNO3液による加工と酷似である。

(6) Na₂CO₃液

加工不能であった。

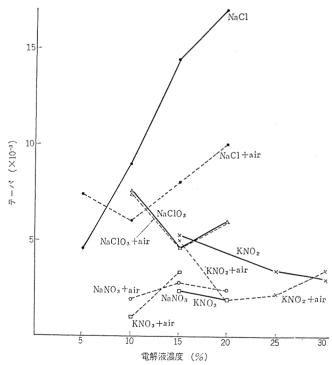
短絡の生じないとみられる最大限界速度を、図2.2に示す。

つぎに、被加工物を解体し、加工形状の断面を投影機で観測した 断面図を図 2.3 に示す。 食塩水では、すりばち状の加工形状とな るのに対し、他の酸素酸塩では、垂直に近い側面となっているのが 観測される。底面より 4 mm 上の位置と, 9 mm 上の位置で計測し た加工孔の直径より求めた テーパの値を、図 2.4 に示す。これらよ り, (大) NaCl, NaClO₃, KNO₂, KNO₃, NaNO₃(小)の順に, 積 分効果が小さく表われているのがわかる。

なお、食塩水を用いた場合、側面における クリアランス g。は、 積分 効果の影響で、次式で表わされる(3)。

$$g_s = g_t \sqrt{1 + 2l/g_t}$$
 (2.1) g_s : 側面間げき g_t : 底面間げき

1: 底面からの高さ (図 2.5 参照)



底より高さ 4mm, 9mm のところの径より計算

図 2.4 各種電解液による加工のテーパ Taper value of machined hole with various electrolytes.

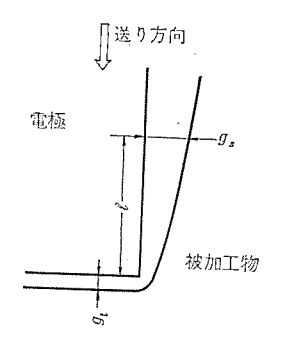


図 2.5 側面間げきの生成 Side gap.

円筒電極で加工する場合、とくに発生水素 fiz の影響をうけにく い内側面において、上式がよく一致することが報告されている。

したがって、酸素酸塩水溶液においては、食塩水とは様子の異なった側方間げきの生成が見られるといえる。また、電解液濃度の影響をうけにくい点も注目すべきである。

3. 硝酸ソーダ水溶液による加工特性

3.1 溶解現象

電解加工の溶解は、一般的には次のように理解されている。

- (1) 極間げき (g) に対し、印加された電圧に応じて電流が流れる。そのときの電流密度は (J) とする。(g-J) 関係)
- (2) 流れた電流密度 (J) に応じ、溶解がおこる。その溶解速度 $\varepsilon(f)$ とする。(J-f) 関係)
- (3) 上述の2関係より、間げき(g)に対し、溶解速度(f)が 定まり、加工精度もおのずから決定される。

したがって溶解現象は、g-J 関係および J-f 関係を求めることが基礎となると考えられる。

g-J関係は、もっとも簡単には次の $t-\Delta$ の法則が成立すると考えられる。

$$g = \frac{E - E_0}{\rho J}$$
(3.1)

E: 印加電圧 (V)

 E_0 : 分解電圧 $(E-E_0)$ は t-L の法則に従う電圧 を示す。(V)

ρ: 見かけの比抵抗 (Ω·cm)

J:電流密度 (A/em²)

ことでpは、液中に含まれる気体による π イドなどの影響をうけて、電解液の純比抵抗 p_0 とは異なる値となる。これまでの食塩水の電解加工では、pは次式で示される(n)。

$$\rho = \rho_0 + k_Q^{Q_g}$$
(3. 2)

pq:液の純比抵抗 (Ω·cm)

Qa: 気体流量 (l/min)

Qe: 電解液流量 (l/min)

k:定 数÷18

なお電解液温および濃度の変化は、poに影響を与える。食塩水による加工において、式(3.1)がよく実験と合致することが報告されている(3)。 しかし硝酸 y-ダ 水溶液の加工では、酸化性が強いので式(3.1)と一致しないことが予想される。

J-fの関係は、ファラデーの法則より次式が導かれる(a)。

$$f = 60\alpha \cdot \frac{K}{d} \cdot J(\text{cm/min}) \cdot \cdot \cdot \cdot \cdot \cdot (3.3)$$

α:電流効率

K:電解当量 (g/A·s)

d:密度 (g/cm3)

ここで、Kは、各金属について溶出する原子価数に応じて、表3.1の値が理論値として求められている。αは、電気量のうち金属の溶出反応に用いられる割合を示すものである。食塩水による加工では、鉄加工において2価溶出と考えて、αは0.98以上になっている(**)。 硝酸ソーダ 水溶液を使用する場合には、不動態膜の影響によって3 価溶出もおこるととが予想される。

表 3, 1 電気化学当量表 Electrolytic equivalent value.

1. 19	将加加数	$K(\approx 10^{-3} \text{g/A} \cdot \text{s})$		
	2	0,289		
Fe	3	0.193		
Ni	2	0.304		
Co	2	0,260		
	3	0.180		
Cr	6	0.089		

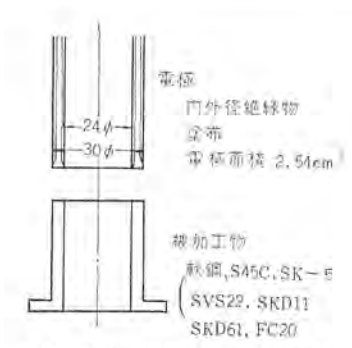


図 3.1 電極および被加工物 Electrode and workpiece.

3.2 極間げきgと電流密度Jの関係

3.2.1 実験

図 3.1 に示す薄肉円筒電極と、同じ形状の被加工物で、中心を合わせて加工を行なう。この形状では、側面の加工がないので、底面だけの電流によって加工できる。また薄肉であるので、加工中に電解液の温度上昇や、加工中に発生する水素ガスによる影響は無視できる。まず、送り速度1 mm/min 程度で、気体混入法によって加工を行ない、電極面と被加工物面を平行にする。しかるのちに、接触感知装置(2 V 1 A 程度の電源を極間に接続し、極間が、短絡によって接触したとき電圧が0 Vになるのを検出する)によって、間げき0の電極位置を出す。この精度は、0.01 mm 以内である。次に所要の間げきだけ、電極を被加工物からはなし、電源(1,000 A 容量の三相全波整流直流電源)を投入し、そのときの電流の瞬時値を電磁 おログラムにより計測する。他の実験条件は次のとおりである。実験条件

被加工物材料 軟鋼,機械構造用炭素鋼(S 45 C),炭素工具 鋼(SK-5)、マルテンサイト系 ステンレス 鋼(SUS 22),耐 摩不変形用工具鋼(SKD-11),熱間成形 用工 具 綱 (SKD-61), 鉢鉄 (FC 20)

電 極 黄銅

電解液 20%硝酸 y-或水溶液,液温 20°C・40°C

電 圧 10 V, 電解液圧 14 kg/cm2

各種材料についての極間げきgと電流密度Jの関係を \mathbb{Z} 3.2 に示す。それぞれの曲線は、式(3.1)で示される関係 $(20^{\circ}\mathbb{C})$ の場合を点線で \mathbb{Z} 3.2 に併記した)と大きく異なっている。

3.2.2 検討

式 (3.1) と実験値との相違を、被加工物表面に生ずるとみられる 薄い酸化膜の抵抗 $R(\Omega \cdot \text{cm}^2)$ があるものと仮定し式 (3.1) を変形 すると次式になる。

$$E - E_0 = R\left(\frac{1}{S} + \rho \frac{g}{1}\right) I - \cdots (3.4)$$

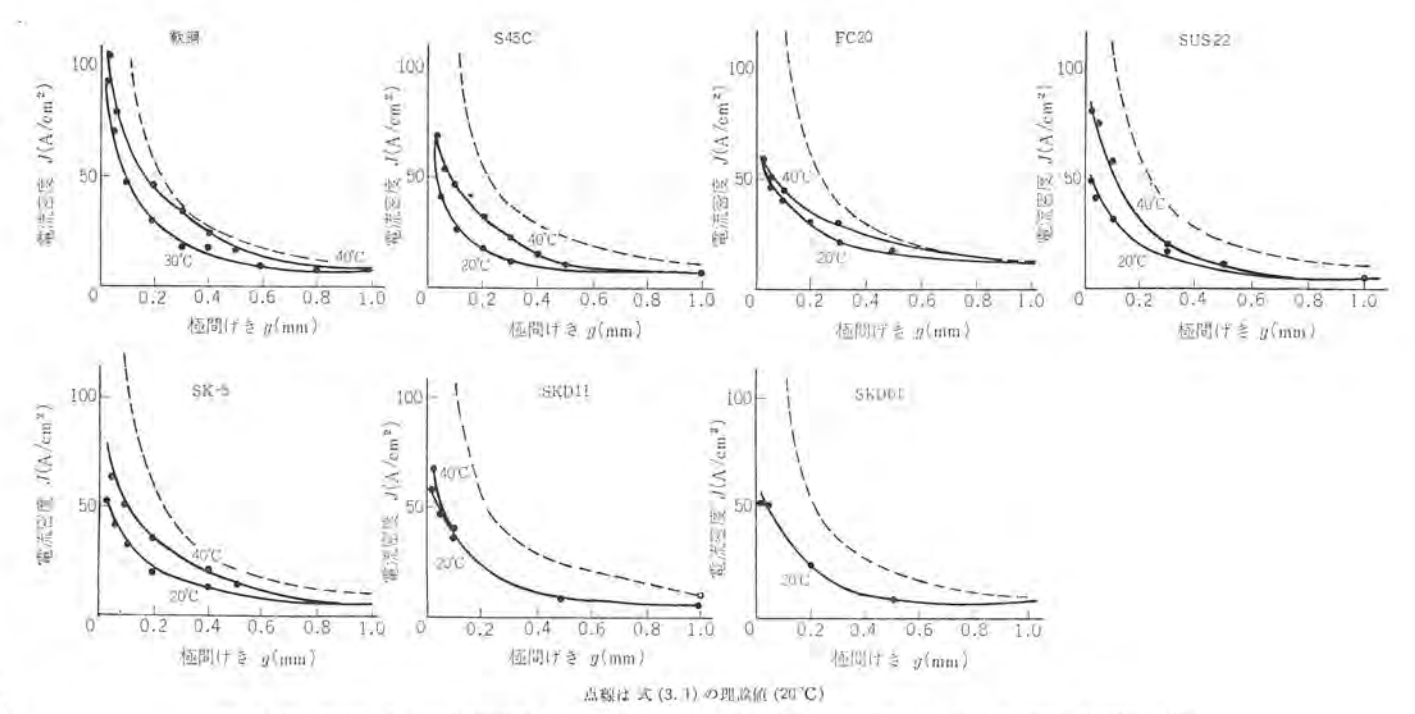


図 3.2 極間げき g と電流密度 J の関係

Relation between gap (g) and current density (J).

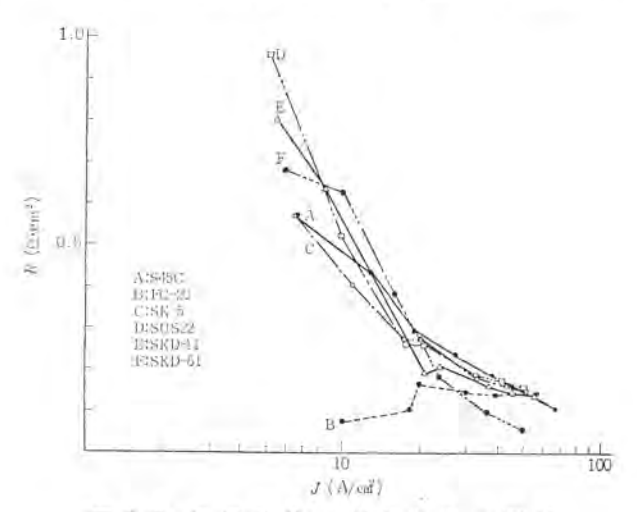


図3.3 膜抵抗Rと電流密度の関係 Relation between film resistance and current density.

$$g = \frac{E - E_0}{\rho J} - \frac{R}{\rho} \qquad (3.5)$$

また

h

$$R = \frac{E - E_0}{J} - \rho g \qquad (3.6)$$

式 (3.6) により、Jおよびgの実測値をあてはめてRを計算し、その結果を図 3.3 に示す。FC-20 を除いて他の SS 41、S 45 C、SK-5、SUS 22、SKD-41、SKD-41 などの材料については、電流密度が小さくなるほど、膜抵抗Rは大きい。この膜抵抗値Rは、Jに関する次の近似実験式で表わすことができる。

$$R = \frac{A}{J^B}$$
 (A, B 定数) ······(3.7)

表 3.2 R の近似実験式 Experimental formule of R.

制度	29°C	40 °C
W 94	$R = \frac{1.4}{J_{-9.52}} (30^{\circ} \text{C})$	$R = \frac{0.32}{J}_{0.36}$
S45 C	$R=rac{3.0}{J^{0.79}}$	$R = \frac{2.7}{J^{-0.70}}$
FC-20	R=0.14	R=0.14
SUS 22	$R = \frac{1.8}{J^{0.07}}$	$R = \frac{1.8}{J^{1.0}}$
SK-5	R = 1.9	$R = \frac{1.5}{J^{0.07}}$
SKD-11	$R = \frac{1.7}{J^{-\alpha,n\gamma}}$	$R = \frac{3.4}{J^{-9.02}}$
SKD-61	$R = \frac{4.4}{J^{0.87}}$	

ど液温が高くなることと考え合わせると、加工穴の外周輪郭精度は、 (1)群→(4)群の材料の順に高精度が得られると考えられる。

3.3 電流密度 J と溶解速度 f の関係

3.3.1 実験

定電圧電源による定速送りの加工において、定常状態になったのちの電流値と、送り速度を計測し、Jとfの関係を求める。電極および被加工物は、3.2節の実験とまったく同じ条件とした。他の実験条件は次のとおりである。

実験条件

加工電圧 10 V 定電圧

加工液 20%硝酸ソーダ水溶液,液温20℃

液压力 14 kg/cm²

送り速度 0.3~2 mm/min の間で、それぞれ電流(間げき) が定常値になるのをまってから測定する。

各種材料についての測定結果を図3.4に示す。

なお,加工面積の影響があるか否かを調べるため、電極形状の外径を30 φmm 一定とし、内径を10 φmm・16 φmm・24 φmm と変え

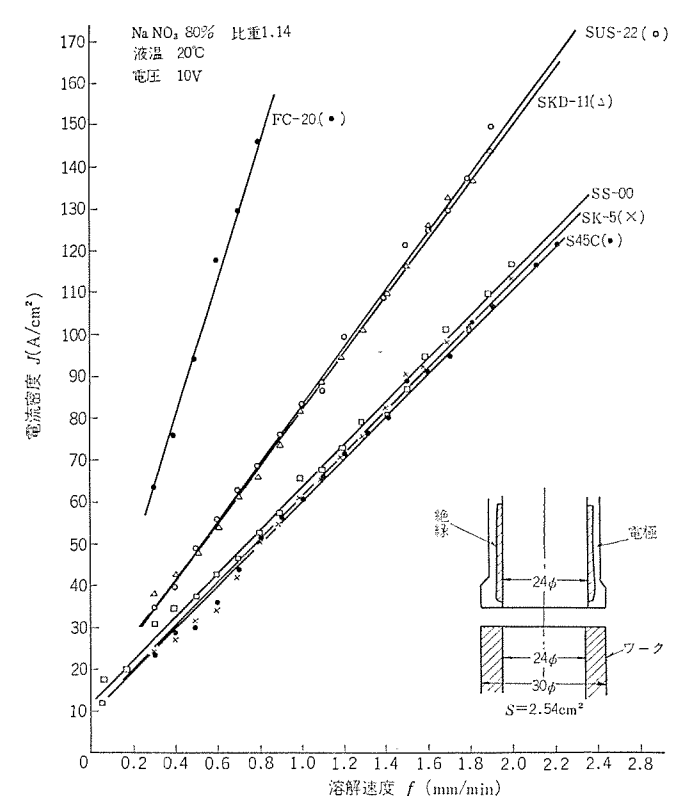
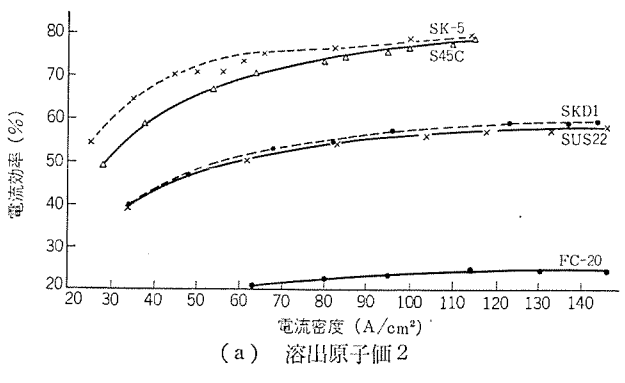


図 3.4 電流密度Jと溶解速度fの関係 Relation between J and f.



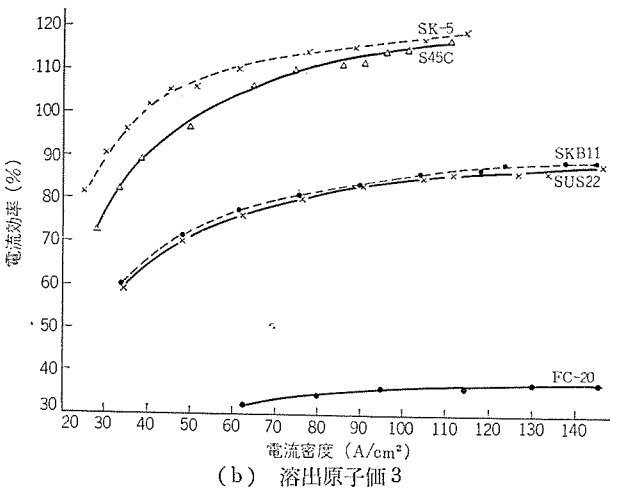


図 3.5 電流密度と電流効率の関係 Relation between current density and current efficiency.

て実験したが、Jとf の関係は図 3.4 とまったく同じであった。また、液圧を5 kg/cm² \cdot 10 kg/cm² に変化させた場合も、Jとf の関係は同一となり、液圧も、この範囲では影響しないことが確か

表 3.3 β , J_0 および α' の値 Values of β , J_0 and α' .

	β(×10 ⁴ A•s/cm ³)		7 (4 (
	β(×10.4.8/cm.)	2 価溶出	3 価 溶 出	$J_0(\mathrm{A/cm^2})$
軟 鋼	2.9	0.882	1.328	14
S 45C	3.1	0.860	1.290	9
FC-20	9.8	0.272	0.410	13
SUS 22	4.1	0.642	0.967	14
SK-5	3.1	0.864	1.300	10
SKD-11	4.1	0.656	0,998	14

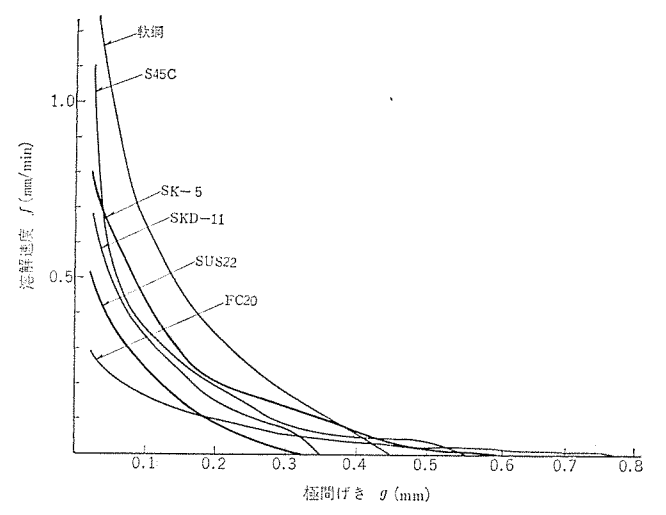


図 3.6 極間げき g と溶解速度 f の関係 (液温 20℃) Relation between g and f.

められた。

3.3.2 検 討

式 (3.3) をあてはめて、 α の値を計算すると、 2 価溶出・ 3 価溶出の両理論値に対し、 α は図 3.5 に示すようになる。 $SK-5 \cdot S \cdot S \cdot S \cdot C$ などの材料は、 2 価溶出と 3 価溶出の中間の値を示す。 $SKD-11 \cdot SUS 22 \cdot 軟鋼 \cdot FC-20$ などは、 3 価溶出と考えても、 90 %以下の電流効率である。

いずれの材料も、電流密度の低いほど電流効率は低くなっている。 この現象は文献⁽⁶⁾⁽⁷⁾にも報告されている。

一方,電流密度 J と溶解速度 f の関係は,図 3.5 にみるように 原点を通らない直線で近似できる。この近似式は次式で表わされる。

$$J=J_0+\beta f$$
 (J_0 , β は定数) ………(3.8)

 J_0 , β の値は表 3.3 に示す。

 J_0 の存在は、不動態膜の硝툫現象と関連のあるものと考えられ、その物理的意味はわからないが、この J_0 が存在するために、 J_0 以下では溶解速度は零となり、積分効果をしゃ断する結果をもたらすことになる。

 β が高電流密度領域では一定 (J-f 関係が直線) であることは、高電流密度領域では、電流密度によらない一定の電流効率 α' になっていることを示す。

$$f = 60\alpha' \cdot \frac{K}{d} \cdot (J - J_0) \cdots (3.9)$$

$$\alpha' = \frac{\alpha \cdot \beta}{60K} \qquad (3.10)$$

α'の値を表 3.3 に示す。

3.4 極間げき g と溶出速度 f の関係

3.2節の極間げきgと電流密度J関係,および3.3節の電流密度Jと溶出速度fの関係で,Jをパラメータとして取り扱えば,gとfの関係をうる。これを図3.6に示す。

表 3.4 gu の値 (液温 20°C) Values of gu

	ga (mm)		
4次 393	0.45 (30°C)		
S 45 C	0.60		
FC-20	0.80		
SUS 22	0.33		
SK-5	0.60		
SKD-11	0.36		

一方,式 (3.5) および式 (3.8) より,g と J の間に次の関係式を うる。

$$g = \frac{1}{\rho} \left(\frac{E - E_0}{J_0 + \beta f} - \frac{A}{(J_0 + \beta f)^B} \right)$$
 (3.11)

図 3.6 からも明らかなとおり、ある間げき g_a 以上では、溶出速度が零となる。 したがって、積分効果は、この間げき g_a でしゃ断されることになる。 すなわち、 g_a 以上に間げきは広がらないことを意味する。 g_a の値を表 3.4 に示す。 また g_a は、 $J=J_0$ の場合の間げきで、次式で示される。

$$g_a = \frac{1}{\rho} \left(\frac{E - E_0}{J_0} - \frac{A}{J_0^B} \right) \dots (3.12)$$

 J_0 , B が大きく、A の小なる材料および加工条件ほど g_a は小となる。

軟鋼・SUS 22・SKD-11 などが、 g_α の値が小さく、積分効果の小なる加工ができる。一般に液温は高い低うが、積分効果が小である。 底面間げきの過渡現象、側面間げきの形成、斜面での間げき、各種形状での間げきは、極間げきg と溶出速度f の関係より、積分効果の結果として求められることになる。

被加工物材料によって、 J_0 , A, B の値が異なり、積分効果の少ない材料と、大きい材料がある。材料の選定が自由な場合には、積分効果の少ない材料を選定することが有利であるし、また、材料がきまっている場合には、液温など他の加工条件で、積分効果の小なる条件を使うことが有利である。

4. 硝酸ソーダ水溶液による加工における 高圧気体混入方式

硝酸 ソーダ 水溶液を電解加工に使用することは、 以前より試みられてきた(8)。しかし、 短絡の危険性が大きく、 あまり使用されなかったことが報告されている(7)。 また、 塩素酸 ソーダ 水溶液が、とくに形状精度を高くするのに有利なことが、 J. P. Haare(9)等によって報告されたが、 それを型彫りに使う場合に短絡が多いことが問題であるとも報告されている。

一方、高圧気体をあらかじめ液流中に混入することが、電解液噴 出口付近の キャビテーション やはく離を防止し、均一な流動状態をうる 効果があり、電解加工に有用なことが、判明している⁽²⁾⁽³⁾。このほ か、高圧気体混入方式の電解加工は、底面精度の向上、側面精度の 向上などにも効果がある。

高圧気体混入方式を、 硝酸 ソーダ 水溶液の電解加工に適用した結果、 短絡の多発の主原因である液流の不均一性がなくなり、 安定かつ速い型彫りができることが判明した。 それらのいくつかの加工例 や加工データは、5 章以下で述べる。

硝酸 ソーダ 水溶液の電解加工における、 高圧気体混入方式の有用性を確認するために、 図 4.1 に示す長方形状の穴あけ加工を、高圧気体混入を行なう場合と、混入しない場合に得られる、短絡せずに加工できる最高の送り速度を求めた。

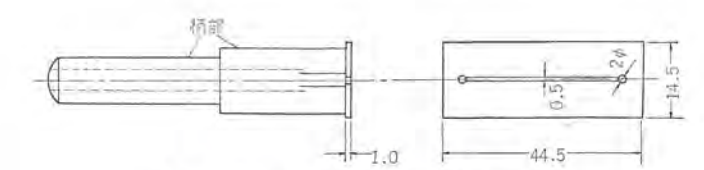
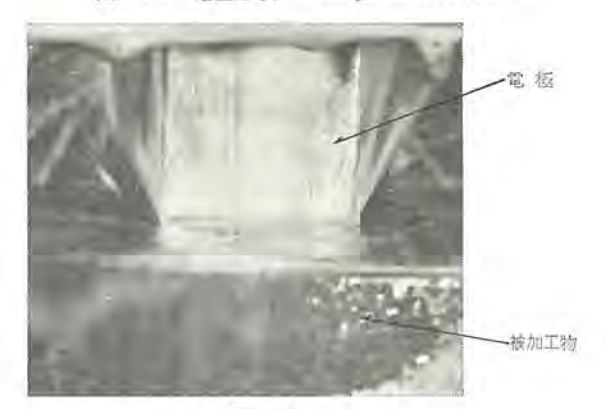
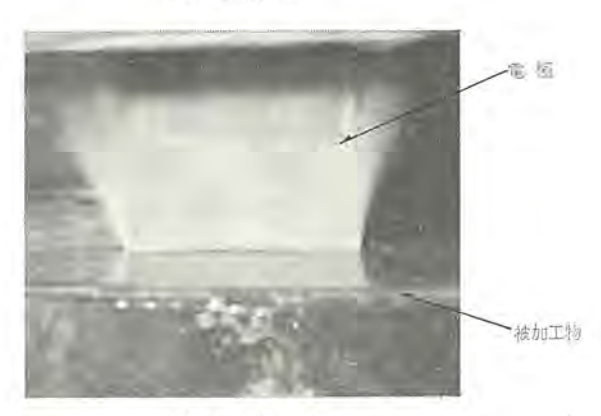


図 4.1 電極形状 Shape of electrode.



(a) 電解液単独



(b) 高圧気体混入方式

図 4.2 電解液膜の状況 Flowing film from clearance between electrode and workpiece. 他の実験条件は次のとおりである。

加工方式 定電圧定電流密度方式

電解液 硝酸 y-ダ 20 %水溶液, 液温 30°C

液圧力 14 kg/cm², 気体圧力 16 kg/cm² および 0

加工電圧 10 V

加工電流 570 A (気体非混入), 940 A (気体混入)

その結果,高圧気体混入方式では、2.1 mm/min の加工送り速度で安定に加工できたのに対し、気体非混入の方式では、1.3 mm/min の加工しかできなかった。

また、液の最外周での流動状態を、高圧気体混入方式と、非混入 の両者について、図 4.2 に示す。電極と被加工物の外周間げきか ら出る液の膜が、気体非混入の場合には割れており、流れの不均一 を示し、高圧気体混入の場合には、液膜が連続し、流れの均一なこ とを示しているのがわかる。

高圧気体混入方式の開発当初には、気体に炭酸ガスを用いポッペから供給していたため、消費量がはげしく、ポッペの調達の手間と費用が問題とされたが、現在では圧縮空気によって、十分その効果が得られることが確かめられ、気体の供給源には圧縮機が用いられる。 これによって電解加工機のランニッグコストは、大幅に引下げられた。

5. 電解加工における加工精度

電解加工における加工精度は、その加工内容により主として次の



加工電圧:10V, 加工電流: 1,600 A 加工時間:2 min. ワーク材質:SKD-11

図 5.1 夕小 金型加工例 Sample of ceramic tile.

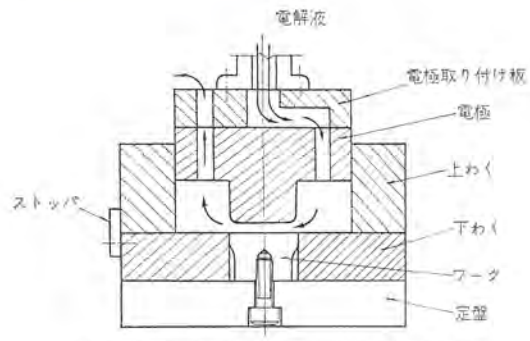


図 5.2 タイル 金型加工用電極および治具 Electrode and jig for ceramic tile die.

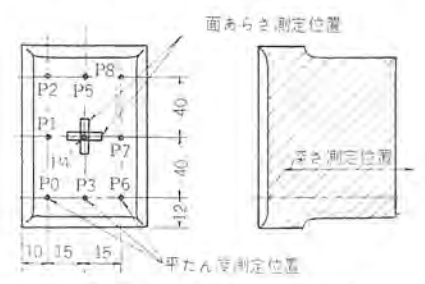


図 5.3 加工精度測定個所 Measuring point of accuracy.

表 5. 1 タイル 金型加工における Pたん度 Flatness of ceramic tile die.

ワークNo. 測定位置	1	2	3	d	\$
Po	0	Q	Ö	0	0
Pı	+0.012	+0.008	+0,016	+0.010	+0.010
P ₂	+0.004	+0.002	+0.006	0	+0.004
Pa	-0.008	-0.010	-0.010	-0.012	-0.014
Pı	+0.018	+0.014	+0.018	+0.016	+0.016
P ₅	-0.002	-0.004	-0.006	+0.002	-0.608
Pa	0	+0.002	-0.004	0	+0.002
P ₇	-1-0.006	+0.006	+0.002	-1-0.004	+0.010
Ps	+0.004	0	+0.006	-0.002	+0.006

表 5.2 タイル 金型加工における加工深さ Depth of ceramic tile die.

ソーク No. 測定位置	1	2	3	4	5.
P ₀	30.42	30.41	30.43	30.41	30,42
P ₂	30.42	30.41	30.42	30.40	30.42
P4	30,39	30.39	30.40	30.38	30,39
P ₆	30.42	30.42	30.43	30.41	30.41
Ps	30,40	30.41	30.41	30.41	30,42

3種類の精度がそれぞれ単独に、またこれらのいくつかが組合わされて取扱われ、問題にされる。

(1) 加工底面の平たん度と深さのばらつき 例: タービンブレードプロファイル、タイル 金型など

(2) 二次元形状(貫通穴加工)の オーバカット, 真直度とそのばら つき

例: 抜型, 部品加工など

(3) 三次元形状の オーバカット とそのばらつき

例: 鍛造型, ダイキャスト 金型など

この章では、 硝酸 ソーダ 水溶液 と高圧気体 (圧縮空気) 混入方式 を組合わせた新しい電解加工法により、これらの加工精度がどのよ うに改良されたかを、従来の食塩水と比較して説明する。

5.1 加工底面の平たん度と深さのばらつき

ここで述べる平たん度や加工深さのばらつきは、タービンブレードの 成形加工やタイル 金型の加工では、これがそのまま製品寸法のばら つきとなって現われ、また鍛造型やダイキ+スト 金型など底付け型の 加工においても、彫込み深さを左右する最も重要な精度である。

ことでは 9イル 金型の加工を例にとって、 どのような平たん度の もとにどの程度のばらつき精度が得られているかを測定した結果を 説明し、食塩水を使用した場合と比較してみる。

5.1.1 タイル会型の加工方式と加工条件

電解加工後のサップルを図 5.1 に、加工に使用した電極と治具の 概略構造を図 5.2 に示す。 タービップレード のプロファイル加工やここに 示す例のように、形状が比較的なだらかで同一形状を多数 個繰返し て加工し、加工後の製品面に電解液噴出穴(または スリット)の跡を突起として残したくない場合は、この図に示すような電解液を電極の 横側から強制流通させる方式をよく用い、これを側流方式と称して、最も一般的に用いられている電極中央部の丸穴またはスリットから電解液を噴出させる噴流方式と区別している。

加工はこの治具を用い 図 5.1 に併記した加工条件を適用した。 金型に要求される加工深さが 0.6 mm であったので、実際の電極送 り込み深さは底面間げきを 0.15 mm 見込んで ワーク 上表面より 0.45 mm に定めた。

5.1.2 加工精度

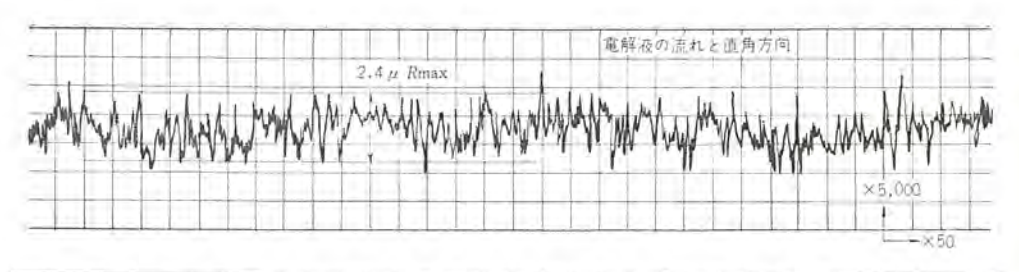
加工精度は図 5.3 に示すように、加工面上の定点 Po を基準とした加工面の平たん度と、加工面上の数点における加工深さおよび金型中央部における互いに直角な 2 方向の面あらさを 5 個の金型について計測した。平たん度の測定には最小目盛 2/1,000 mm の ダイヤルインジケータを、加工深さの測定には最小目盛 1/100 mm の マイクロメータを、面あらさの測定には万能表面形状測定器(東京精密)を用いた。

平たん度と加工深さの測定結果をまとめて表 5.1, 5.2 に示す。 この結果より加工底面の平たん度は ± 0.02 mm 以内に、また加工 深さの ばらつきは目標値に対して ± 0.03 mm 以内に収まっている ことがわかった。

食塩水を電解液として同じようなばらつき精度を調べた結果では、 "電解加工技術"(ロ)を引用すれば± 0.05 mm となっており、硝酸ソーラ 水溶液の使用により、一段と加工精度が向上されたことが理解できる。

また加工面あらさは、図 5.4 に示すとおりで電解液の流れの方向に関係なく、 $3\mu R_{max}$ 以内の良好な加工面を得ることができたが、食塩水では、ここで用いた金型材料とよく類似した組成の S KD-1 に対して、"電解加工の加工原理と加工特性"(1)では $^{20}\mu R_{max}$ 以上の面あらさになることを示しており、面あらさの点でも格段の向上が見られる。

以上の結果 タイル 金型の加工に関して、食塩水を電解液とした従来の加工法では、面あらさや平たん度が悪いために電解加工後、研



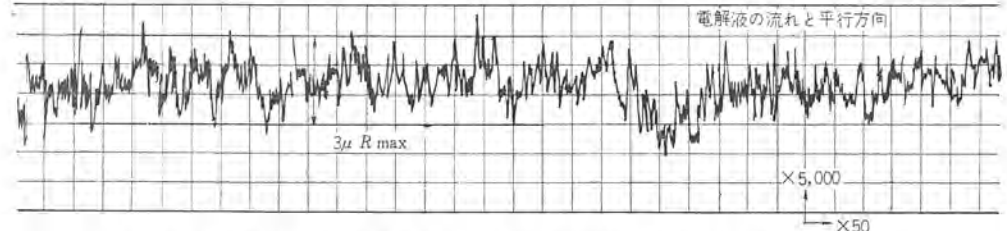


図 5.4 タイル 金型の加工面あらさ

Surface roughness of die for ceramic tile.

BS



加工電圧: 12.5 V 加工電流: 600 A 加工時間(穴1個あたり): 25 min ワーク材質: SKD-11

図 5.5 タイル 金型用 ライナ 加工例 Sample of liner for ceramic tile die.

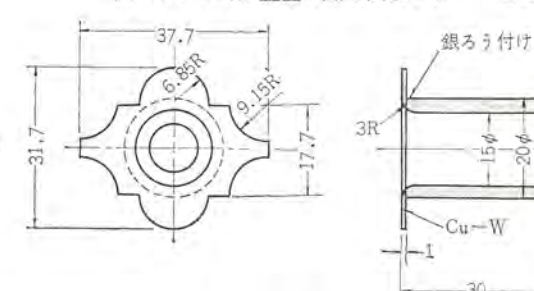


図 5.6 タイル 金型 ライナ 加工用電極 Electrode for the liner.

摩加工などの予備仕上げ工程を経た後 ハフ 仕上げを行なっていたが、 硝酸ソーダ水溶液の適用により、電解加工後直接 バン 仕上げ加工に移 ることが可能となり、大幅な工数低減を実現することができたと同 時に、寸法的にもばらつきの少ない高い品質を保証できるようにな った。

5.2 二次元 形状加工における加工精度とそのばらつき

抜型や部品加工における貫通穴の加工では、上述の低面方向の寸 法精度よりも電極側面方向のオーバカットとそのばらつきが重要な因 子となる。ここではタイル 金型用ライナ と類似の加工を行ない、その 精度を測定した結果を食塩水と比較して説明する。

5.2.1 タイル金型用ライナの加工方式と加工条件

電解加工後のサップルを図 5.5 に、加工に使用した電極を図 5.6 に示す。

ワーク に対する電極の位置決めは、最初の1個はワーク上表面のケガキ線と電極を一致させる方法で行ない、他の穴は順次ビッチ間距離寸法だけワークテーブルを移動させて1個ずつ加工を行なった。

この種の加工においては、加工終了直前に ワーク 中央部に残る突起と電極とが短絡し、電極損傷を起こすので完全な貫通加工を行なうことは実用上むずかしく、したがって貫通前の 0.2 mm で加工を終了させ裏面を研削除去して穴を貫通させる方法が一般的に用いられている。

5. 2. 2 加工精度

図 5.7 に示したように、 $A \sim D4$ 個所の対辺距離を穴の入口側および出口側について インサイトマイクロメータ を使用して測定した。 その結果をまとめて表 5.3 に示す。

このデータから目標とした加工穴寸法に対する誤差を求め、ヒスト グラムを作成すると図 5.8 のようになり、0.03 mm をはずれる度数 は4で全体の3%であり、二次元形状加工における寸法のばらつき

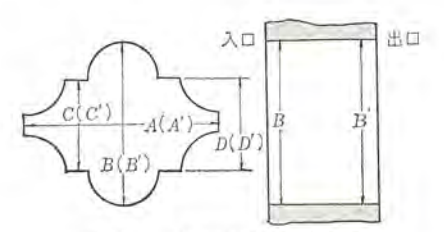


図 5.7 加工穴寸法測定個所 Measurement of worked hole.

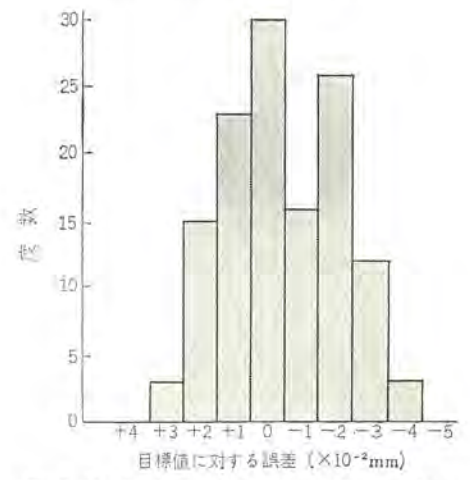


図 5.8 目標寸法に対する誤差の ヒストグラム Hystogram of error aginst the command.

は ± 0.03 mm と考えてよい。 また加工穴の τ -パ はほぼ 2/1,000 以 内で入口側が大きくなる傾向をもっていることがわかった。

これと同じような角穴の貫通加工における食塩水を電解液とした場合のばらつきを調べた結果では(1), ばらつきは ±0.05 mm になることが示されているが、これは加工された穴の同一測定位置におけるばらつきを示したもので、今回のように全測定値に対するばらつきを求めると ±0.10 mm 程度になり、硝酸ソーダ 水溶液を使用することによって非常に高い精度の加工が可能となったことがわかる。

硝酸ソーダ 水溶液による加工穴と電極を断面投影機で10倍に拡大 し、これらを重ね合わせて電極に対するオーバカットを観察すると図 5.9のようになる。

重ね合わせによるずれがあるので実際の加工時のオーバカットの状態を忠実に再現しているとはいえないが、片側オーバカットの値はだいたい0.16±0.04と考えられる。上に引用した食塩水の場合では、片側オーバカットが大体0.23 mm 程度になっており、硝酸ソーダ水溶液では

表 5.3 タイル 金型用 ライナ における加工穴寸法測定結果 Measured value of accuracy on tile die liner.

加工穴 No.	A	A'	テーパ	В	Β'	テーバ	С	C'	テーパ	D	D'	テーバ
1	38.03	37.98	2 1000	32.02	31.99	1.2	18.02	17.98	1.6 1000	18.03	17.98	2 1000
2	38.01	37.97	1.6 1000	32.02	31.98	1.6 1000	18.00	17.97	1.2 1000	18.00	17.96	1.6 1000
3	38.01	37.99	0.8	32.01	32,00	0.4 1000	18.02	17.99	1.2 1000	18.01	17.99	0.8 1000
4	38.00	37.96	1.6 1000	32.01	31.97	1.6	18.00	17.96	1.6	18.00	17.96	1.6 1000
5	38.02	37.97	2 1000	32.02	31.99	1.2 1000	18.03	17.97	2.4 1000	18.02	17.98	1.6 1000
6	38.01	37.98	1.2 1000	32.00	31.99	0.4 1000	18.02	17.97	2 1000	18.01	17.97	1.6 1000
7	38.00	37.97	1.2 1000	32.01	31.99	0.8 1000	18.01	17.98	1.2 1000	18,01	17.98	1,2 1000
8	38.00	37.99	0.4 1000	32.00	32.00	<u>0</u> 1000	18.00	17.98	0,8 1000	18.00	17.98	0.8 1000
9	37.99	37.98	0.4 1000	32.00	31.99	0.4 1000	18.01	17.98	1.2 1000	18.00	17.98	0.8 1000
10	38.00	37.98	0.8	32.00	32.00	0 1000	18.01	17.98	1.2 1000	18.00	17.98	0.8 1000
11	38.00	37.97	1.2 1000	32.01	32.00	0.4 1000	18.01	17.98	1,2 1000	18.01	17.99	0.8 1000
12	38.01	37.98	1.2 1000	32,02	32.00	0.8 1000	18.02	17.99	1.2 1000	18.02	17.98	1.6 1000
13	38.00	37.98	0.8 1000	32.02	32.00	0.8 1000	18.00	17.98	0.8 1000	18.01	17.99	0.8 1000
14	38.00	37.97	1.2	32.01	32.00	0.4 1000	18.00	17,99	0.4 1000	18.01	17.99	0.8 1000
15	38.00	37.98	0.8 1000	32.02	32.00	0.8 1000	18.01	17.98	1.2 1000	18.02	17.98	1.6 1000
16	38.01	37.98	1.2 1000	32.01	31.99	0.8 1000	18.01	17.97	1.6	18.02	17.98	1.6 1000
平均值	38.006	37.977	1.16 1000	32.011	31.992	0.76 1000	18.011	17.978	1.32 1000	18.011	17.979	1.28 1000
目 擦 値	38	.00		32	.00		18	.00		18	.00	

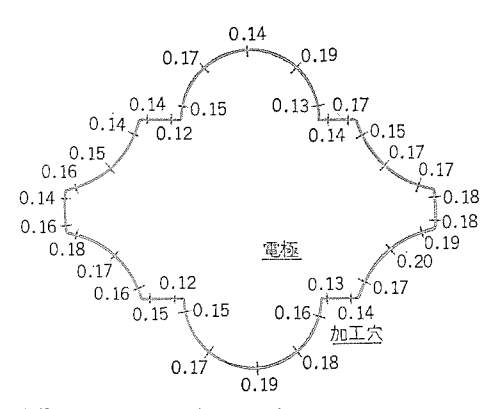


図 5.9 タイル 金型用 ライナ 加工における オーバカット Overcut in machining on the liner

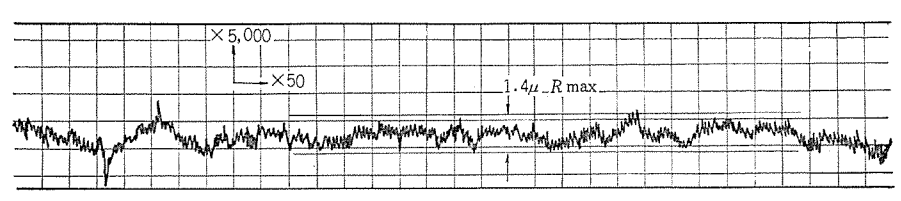


図 5.10 加工穴側面の面あらさ Surface roughness on the side of hole.

オーバカットの絶対値そのものが食塩水に比べてより小さな値となるため、そのばらつきも同じように少なくなってくるものと理解できる。また加工穴側面の面あらさは図 5.10 に示したようになり、前項で示した底面における面あらさと同等のものが得られることがわかった。

硝酸ソーダ 水溶液を使用した場合の食塩水に対する利点は, 上述のように加工精度が大幅に改良されることのほかに,電極製作技術のうえにも次のような見逃がすことのできない利点がある。すなわち図 5.11(a)に示すように食塩水で貫通穴加工をする場合は,電極側面からの 浮遊電流による 加工穴側面への余剰 オーバカット を防ぐために,電極側面に必ず絶縁処理を施す必要があったが, 硝酸ソーダ水溶液では図 5.11(b)のように シャンク部分を電極板の寸法から片側 1 mm 以上逃がしておくだけで,この部分への絶縁処理はまっ

たく不要であり、電極製作時間が短縮されるとともに加工途中での絶縁のはく(剝)離による加工不良を生じたり、それに伴って絶縁処理をやり直すなどのトラブルがまったく解除されて電極の保守も容易となり、この種の貫通穴加工が高い加工精度のもとに非常に簡単に行なえるようになった。

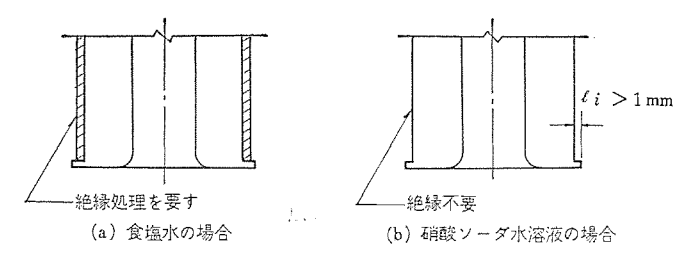


図 5.11 電解液による電極の相違 Difference in the construction of electrode.

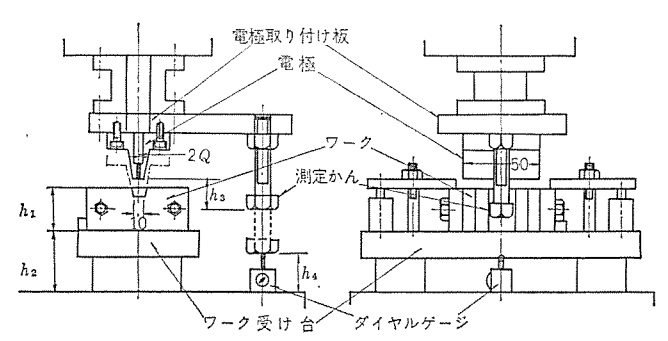


図 5.12 テーパ 穴精度測定用電極 ジグ Electrode and jig for experiment on the accuracy in tapered hole.

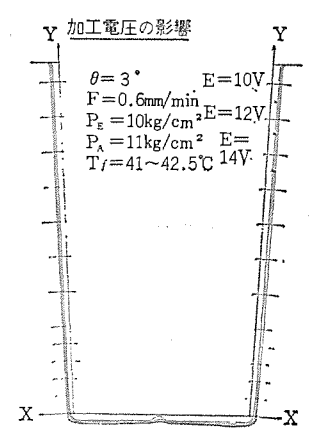


図 5.13 テーパ穴加工における オーバカット Overcut of the tapered hole.

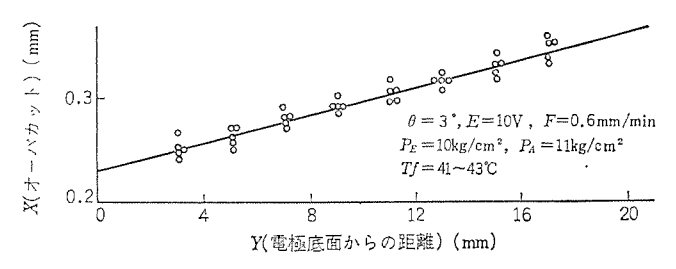


図 15.14 同一加工条件における オーバカット のばらつき Overcut differences in the same machining conditions.

5.3 三次元 形状加工におけるオーバカットとそのばらつき

鍛造型やダイキャスト金型など底付きのキャビティ加工においては、前項で述べた二次元形状はほとんどなく、抜きこう(勾)配をもった傾斜面や円柱面(または球面)で代表される曲面の組合わせとなり、加工精度の解析やオーバカット量の究明もかなり複雑でむずかしくなる。したがって、電極設計にあたっても被加工形状をこう配のある傾斜面や円柱面・球面などの比較的単純な形状で局部的に区分けし、それぞれの部分に加工条件から定まるオーバカット量を見込んで電極形状の修正を行ない、それらの合成として必要な電極形状を定めている現状である。

この項では上述のような電極設計の基礎となるこう配をもった傾斜面に対して、加工条件が オーバカット 量にどのような影響をもつかを調べた結果を中心に、三次元形状加工における オーバカット とそのばらつきを説明する。

5.3.1 傾斜面加工における側方オーバカットとそのばらつき

三次元形状の キャビティ加工は,その用途が鍛造型・ダイキャスト型・プラスチックモールド型・プレス 絞り型など非常に広範囲に及ぶため,それらが有する抜きこう配の角度も多岐にわたり一様ではない。したがって以下に述べる実験では,従来から高い加工精度をうることがはなはだむずかしいとされていた比較的小さな角度の傾斜面数種について,加工条件により電極形状に対して加工穴がどのように広がるかを調べてみた。

実験に使用した電極と 9-9 および ジグ の構成を図 5.12 に示す。電極は底面の寸法を 50 mm×10 mm の長方形に統一し、 その中央 部に スリットを設けたもので、側面は上方に向ってあらかじめ任意に 定めた角度で広がっているものを数種用意した。

ワークの材質には鍛造型に最も広く使用されている SKT-4 種を選び、厚さ 10 mm の平板状のものを数枚重ね合わせた構造とし、加工後分解すれば容易に加工穴の断面を投影機で拡大して測定できるようにした。

加工は電極底面が 9-2 上表面よりほぼ 20 mm 入り込んだ位置で停止させ、そのつど電極底面と一定距離 に あ る 加工深さ測定かん (桿)の先端と ワークテーブル 面の間の寸法を ダイヤルゲージ で計測し、 実際に電極底面が 9-2 上表面からどれだけ入った位置で加工 が 終了したかを算出できるようにくふうした。

オーバカット 量は加工後の 9-2 を分解して中央部に位置していた ピース をとり出し、その断面を投影機で 10 倍に拡大して、これに別に 測定して 10 倍に拡大しておいた電極の断面図を重ね合わ せ て、これらの すき間を 2/100 mm 程度と考えられる。拡大図の一例を図 5. 13 に示す。

(1) 同一条件によるばらつき

最初に同一条件で数回の繰返し加工を行ない,オーバカットのばらつきがどの程度になるかを調べた。加工条件は下記に示すとおりで加工終了時における電解液の温度だけは,厳密に一定に押えることはむずかしく 2° C の相違があった。

傾斜角 $\theta=3^\circ$ 電解液 $20~\rm{Wt}~\%~\rm{NaNO}_3~$ 水溶液 (比重 1.14) 加工電圧 $E=10~\rm{V}$ 加工速度 $F=0.6~\rm{mm/min}$ 電解液圧力 $P_e=10~\rm{kg/cm}^2$ 空気混入圧力 $P_a=11~\rm{kg/cm}^2$

断面投影図から電極側面をY軸,これに垂直な方向をX軸として,電極側面と底面の交点を零とした X-Y 座標系で,t-/パカット 量を求めて整理すると図 5.14 のような結果が得られた。

この図より明らかなように、同一条件で繰返し加工を行なった場合の π -パカット のばらつきは、この種の π -パ 穴加工 に 関しては \pm 0.02 mm 程度まで得られる。

(2) 加工条件因子の及ぼす影響

加工終了時の液温 T₁=41~43°C

次に オーバカット に影響をもつ 加工条件因子を 個々に取り上げて、 それらを変化させた場合 オーバカット がどのように変わるかを調べ て みた。加工条件をまとめて表 5.4 に示す。 またうえと同様に X-Y

表 5.4 デーパ 穴加工における加工条件 Machining condition of tapered hole.

加工条件	加工電圧を変 化させた場合	加工速度を変 化させた場合	空気混入圧力 を変化させた 場合	液温(最終値) を変化させた 場合	傾斜角を変化 させた場合	
倾 納 角 θ(°)	3	3	3	3	0, 2, 3, 4, 6	
加 工 電 圧 E(V)	9, 10, 12, 14	10	10	10	10.	
加工进度 F(mm/min)	0.6	0.4, 0.6, 0.8, 1.2	0.6	0.6	0.6	
空気混入圧力 Pa(kg/cm ²)	11	11	0, 10.5, 11 11.5, 12	11	11	
液温(最終値) ("C)	41~42.5	41~42.5	41~42.5	35, 42, 50, 60	41-43	
電解液压力 PE(kg/cm ²)	10	10	- 10	10	10	
電 解 液	20	Wt % NaN	〇3 水溶液(」	t版 1,14~1,1	5)	

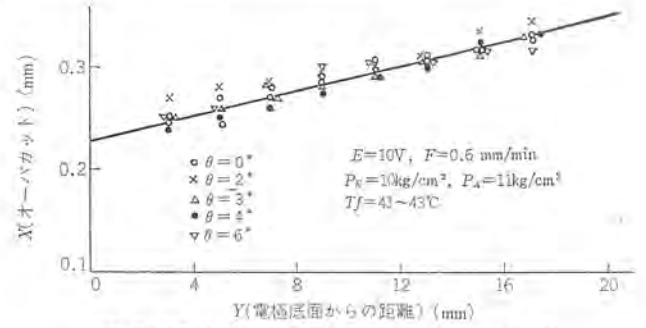


図 5.15 (a) 傾斜角による オーバカット の相選 Overcut on the inclined surface.

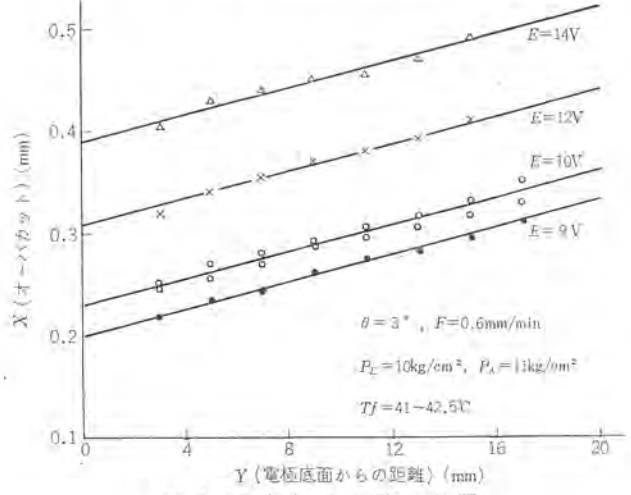


図 5.15 (b) 加工電圧の影響 Influence of work voltage.

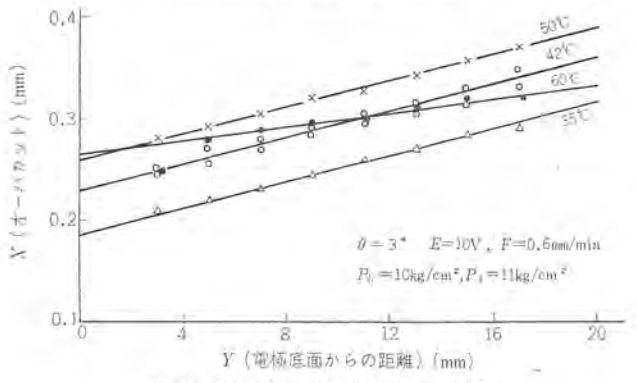


図 5.15 (d) 電解液温度の影響 Effect of temperature of the electrolyte.

座標系で オーパカット 量を求め、 各因子ごとの影響を個々に整理する と図 5.15(a)~(e)のようになる。

これらの図を要約して次のことが確認できる。

- (a) 加工穴の傾斜面の形状はすべて直線で近似できる。
- (b) t-バカット量は同一加工条件であれば電極の傾斜角 θ が異なってもほとんど変わらず、 ± 0.03 mm 以内のばらつきで同じ値となる(図 5. 15 (a))。
- (c) 加工電圧,気体混入差圧 (=空気混入圧力 P_a -電解液圧力 P_a) および電解液温度が変化した場合は,液温 50° C 以下の範囲においては,t-//0からは電圧と温度に比例し、混入差圧に逆比例して大きくなる。また電極面と加工穴側面のなす角度 (α) は,加工条件の変化にかかわらず一定で次の値をとる (図 5.15(b)(c)(d))。

 $\tan \alpha = 0.13/20 = 6.5 \times 10^{-3}, \ \alpha = 0^{\circ}22'$

(d) しかし液温が 60° C まで上昇すると上述の傾向とはまった く異なり、電極面と加工穴側面のなす角度 (α) は極端に小さくなり、 両者はほとんど平行に近くなる。

 $\tan \alpha = 0.07/20 = 3.5 \times 10^{-3}, \ \alpha = 0^{\circ}12'$

したがって温度を変化させていった場合、温度と t–i/カット(または α) の関係は 50°C と 60°C の間で不連続になることが推察できる(図 5.15(d))。

(e) 加工速度を変化させた場合は、オーバカットは速度の上昇とともに小さくなるが、それと同時に電極面と加工穴側面とのなす角度(a)も漸減し、速度を大きくするほど電極面と近似した加工穴をうることができる(図 5. 15 (e))。またαは速度により次の値となる。

F=0.4 mm/min $\tan \alpha = 0.16/20 = 9.0 \times 10^{-3}$, $\alpha = 0^{\circ}31'$ F=0.6 mm/min $\tan \alpha = 0.13/20 = 6.5 \times 10^{-3}$, $\alpha = 0^{\circ}22'$

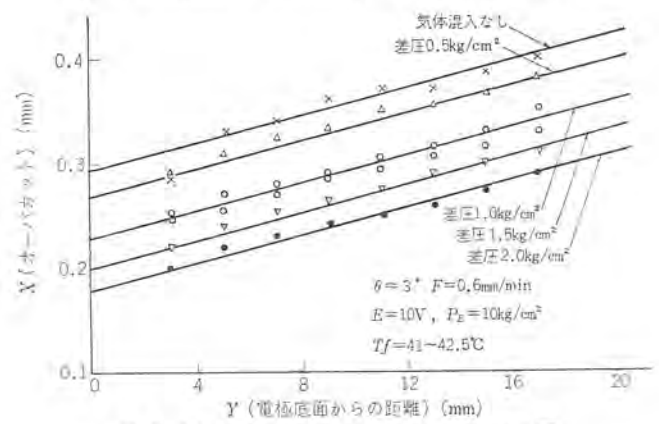


図 5.15 (c) 気体混入差圧の影響 Effect of pressure difference due to mixing of air.

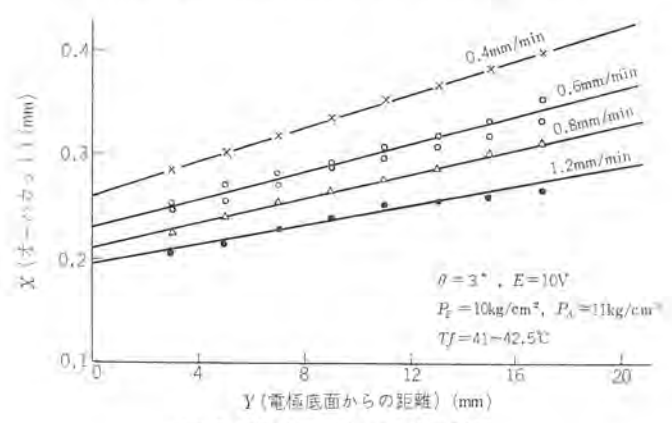


図 5.15 (e) 加工速度の影響 Effect of machining speed.

F=0.8 mm/min $\tan \alpha = 0.115/20 = 5.75 \times 10^{-3}$, $\alpha = 0^{\circ}20'$ F=1.2 mm/min $\tan \alpha = 0.09/20 = 4.5 \times 10^{-3}$, $\alpha = 0^{\circ}16'$

(3) 食塩木との比較

電解液に食塩水を使用して傾斜面に対する オーバカット を求めた 結果では、次のことが明らかとなっている(1)。

- (a) 加工穴側面の形状は二次曲線となり直線で近似できない。
- (b) オーバカット量は同一条件で加工しても、傾斜角が異なれば違った値となる。

これを上述の硝酸 ソーダ 水溶液を使用した場合と比較すれば、実際の金型加工を考えた場合、硝酸 ソーダ 水溶液を使用したほうが次の点ではるかに有利であることがわかる。

- (i) 修正された電極の側面形状が平面となり、食塩水のような 曲面であることを要求されないので電極製作が非常に容易である。
- (ii) 傾斜角の大小にかかわらずほぼ一定のオーバカットとなるため、修正量を求めるための電極設計の手間を大幅に省略でき、設計 ミスを少なくできる。
- (iii) 金型に要求される精度があまりきびしくない場合は(± 0.15 mm 程度),型形状から一定のオーバカット値のみ相似形に縮小した電極を製作し、これで十分に要求精度を満足させることも可能であり、このような場合は、電極の設計・製作がさらに容易となる。

5.3.2 円柱面加工におけるオーバカット

鍛造型加工時に最も多く見受けられるのが円柱面または円錐面で、 これと前項の傾斜面の組み合わせでほとんどの鍛造型の形状を決定 できるといっても過言ではない。

この項ではカウンタギヤの鍛造型を食塩水と硝酸ソーダ水溶液のふたとおりの電解液で加工し、精度比較を行なった例を述べる。

加工 サンブル を図 5, 16(a)(b) に示す。 被加工物の材質は前項 と同じ SKT-4 種で熱処理後のものである。 また加工条件は図に併記したとおりである。

両者の オーバカット を比較するために、加工穴上表面における形状を転写してこれを重ね合わせ、電極と比較すると図 5.17 のようになった。ただし食塩水による キャピティ は入口部での角のだれが大きく、そのままでは転写できなかったので、上表面を約1 mm 削除しずいの影響のない部分で測定した。 この結果から次のことがいまる。

- (1) 食塩水による加工形状は電極形状から著しくかけ離れたものとなっており、電解液の流れの影響を受けてオーバカットの局部的な相違が非常に大きい。(最大 2.4 mm,最小 0.6 mm),また加工条件より電極底面における加工間げきは 0.45 mm 程度と推定できるが、これが上表部に近づくに従って大きくなっていることを示しており、断面形状も完全な円形ではなくて上方にいくに従って円からかけ離れて大きなオーバカットを生じていることになる。このことから、最終的に要求される金型形状を満足させるための電極形状の決定ははなけだむずかしいといえる。
- (2) 一方、硝酸 ツーダ 水溶液では、加工形状は電極形状とほとんど相似形でオーバカットもだいたい 0.3~0.4 mm で一定しており、前述の傾斜面の場合と同様、円柱面の加工においても金型形状とほぼ相似形の電極で、十分高い精度の加工を実現できる。

以上鍛造型用材料を中心にいろいろな 角度から 硝酸ツーダ 水溶液と、高圧気体混入方式を組み合わせた新しい電解加工法の加工精度を説明してきたが、3 章で述べたように被加工材料がここに述べた結果も傾向は類似しているが、定量的には異なると考えられ、それぞれの材料に対する精度を定量的に は握することは、今後の課題と





加工程圧: 10 V 加工速度: 1.5 mm/min 加工程流: 4,500 A 加工時間: 22 min

加工管圧:10 V 加工速度:0.7 mm/min 加工電流:4,800 A 加工時間:46 min

(a) 食塩水による加工穴

(b) 硝酸 y-ダ水溶液による加工穴

図 5.16 電解液による三次元 キャヒティの相違 Difference between NaCl and NaNO₃ in ECMed 3-dimensional cavity.

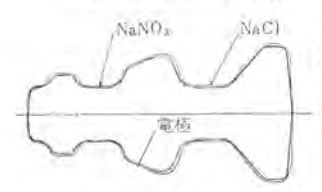


図 5.17 電解液による 円柱面 オーバカット の相違 Overcut difference depending on the electrolyte.

して残されている。

6. 電解加工を利用した新しい電極製作法

前章で述べたように 硝酸ソーダ 水溶液と 高圧気体混入方式の組み合わせにより、電極の形状は加工対象物とほとんど相似形といってもよいほど近似したものでよいことが明らかになった。しかし実際に鍛造型やダイキャスト金型など複雑な三次元形状を加工するために必要な電極を製作するには、やはりならい フライス 加工と手仕上げに頼る必要があり、金型を製作するのとほとんど同程度の製作時間を要する場合もあり、そのために電解加工を導入するメリットが失なわれてしまう例も少なくない。

しかし硝酸ソーダ水溶液の積分効果が小さいという特性を利用し、 電極の製作段階にも電解加工を使用することが可能となり、従前の 電極製作法に比べてはるかに短時間に高精度の電極を製作できるこ とが明らかとなった。

この章では、この新しい電極製作法と、これにより非常に効果的 な加工が可能となった応用例について説明する。

6.1 ロールダイス加工における電極製作法と製品加工精度

6.1.1 加工対象物

加工対象物は図6.1 に示したような半円柱状のワークの円周上にみぞを成形するもので、継目無パプを製作するためのロール工具である。みぞの断面形状は半円に近い形状で、この円の曲率が入口側から出口側に向って徐々に変化して小さくなっている。従来は専用板を使用して荒加工を行ない、その後ならい研削盤で仕上げを行なっていたものであるが、非常に長時間を要し、しかも材質が高硬度のためカッタの寿命が煌いなど問題が多く、電解加工の導入が検討されるようになったものである。

6.1.2 電極製作法

最初は従来の電極製作とまったく同様にあらかじめ加工条件を設定し、これによる オーバカットを計算して電極寸法の修正を行ない、ならい フライス加工と手仕上げで電極を製作することを試みた。しかしながら次のような理由により、この方法で製作された電極では十分な精度を保って製品加工を行なうことがほとんど不可能であることが判明した。

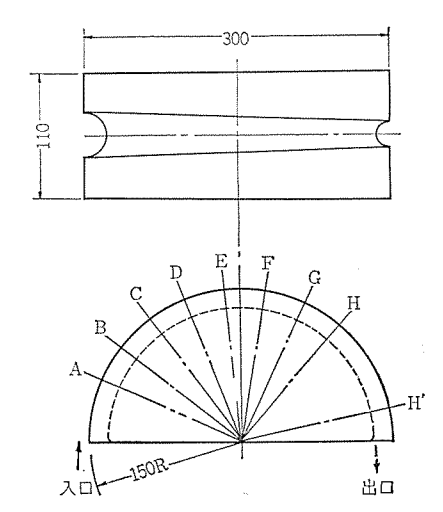


図 6.1 ロールダイス 概略図 Pipe reducing roll.

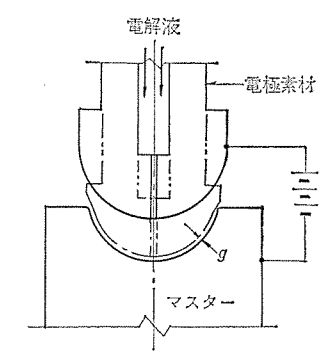


図 6.2 電極製作時の構成 Machining of electrode by ECM.

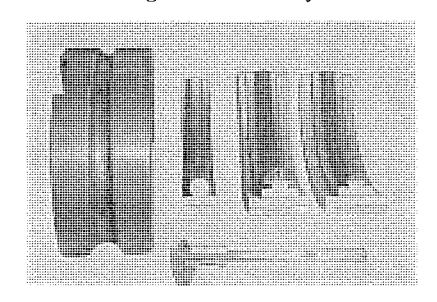


図 6.3 マスタと電極素材および転写後の電極 Master and electrode machined by ECM.

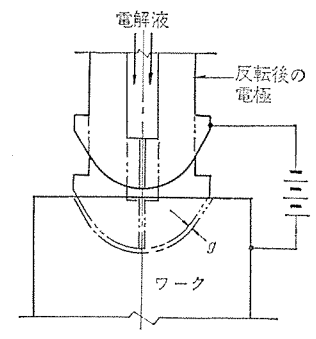


図 6.4 製品加工時の構成 Machining of work piece.

- (2) 電極の断面形状を単独で設計寸法に一致させることは可能 であるが、これらを連続した場合電極中心の断面間のずれ、曲率中 心の断面間のずれが生じて、この誤差が製品にも現われる。

表 6.1 ロールダイス 用電極製作時の加工条件 Machining condition in making electrode for roll die.

t	11 工	条	件	入	Д	側	出	П	Ø
電	解消	友 種	類	N	IaNO3 s	ol	N	aNO3 s	ol
福	度,	比	Æ	2	22°C, 1.	14	2	2°C, 1.1	4
bn	Т.	罷	Æ		10.5 V			10.5 V	
nt	I.	電	流		5,100 A			3,100 A	
bn	工	速	度	0.	.8 mm/m	in	0.8	mm/m	in
電	解消	友 流	骶		160 <i>l/</i> mii	า	1	40 <i>l</i> /mir	1
電	解語	茰 圧	カ		14 kg/cm	2	1	4 kg/cm	2
戾	体 混	入 圧	カカ		15 kg/cm	2	1	5 kg/cm	2
bu	π	梁	さ		26.1 mm	ı		15 mm	
tm	I	時	[11]		33 min			19 min	
被	加工	物材	質		SUS 22			SUS 22	

表 6.2 ロールダイス 製品加工時の加工条件 Machining condition of roll die.

Ŋ	H I	粂	件	入	Д	砌	圕	Д	砌
電	解	友 頹	類	N	aNO3 s	ol	N	aNO3 s	ol
温	度,	比	重	2	2°C, 1.1	4	2	2°C, 1.	14
DO	\mathbb{T}	冠	Æ		10.5 V			10.5 V	
bn	工	时	流		4,000 A			3,000 A	
nt	I	速	度	1.	0 mm/m	in	1.	0 mm/m	in
電	解音	皮 流	胀		140 <i>l</i> /mir	ı	1	40 <i>[/</i> mi	n
	解剂	友 圧	カ		4 kg/cm	2	1	4 kg/cm	2
気	体 混	入 H	三力		15 kg/cm	2	1	5 kg/cm	12
bn	JT.	深	さ		26 mm			15 mm	
DII	TI.	瞱	間		26 min			15 min	
被	加工	物核	1 質		SKD-61			SKD-61	

したがってこの製品に関しては同一形状の繰返し加工が多く,今までに製作された製品そのものがモデルとして使用できる点に 着目し、これから電極を転写することを考えて、次のような電極製作法を試みた。 すなわち図 6.2 に示すように既存の製品あるいは、柔らかい材料で作ったモデルをマスタにし、これにあらかじめみぞ寸法の最も大い部分より約1 mm 大きな半円の断面をもった円環の一部の形状に旋盤加工された電極素材を対向させ、図のようにマスタを陰極、電極素材を陽極として電解加工を行ない、電極素材面にマスタの逆形状を転写させた。

電極素材の材質には、できるだけ積分効果が小さく、かつ耐食性のある 13% Cr 系 $_{ZFUUZ}$ 鋼を使用した。また加工は次の観点から加工部分を入口側と出口側の二つの部分に分割し、2 工程で製品 1 個の加工を完成させる方式を採用した。

- (1) 加工深さを短くでき加工時間を短縮することができる。
- (2) 加工開始時の安定性を向上できる。
- (3) 電流密度を高くとれるので、加工精度を向上できる。

6.1.3 製品加工

上述のようにして完成された電極を用いて、次に製品加工を行なった。 すなわち図 6.4 に示したように電極製作時とは逆に電極を陰極、ワークを陽極とする通常の極性に戻し、表 6.2 に示した加工条件を適用した。なおこのように電極製作時に極性を逆転して電極を陽極として第1段階で製作し、第2段階でさらに極性を通常に戻して製品加工を行なう一連の工程を"反転法"(特許出願中)と称することにした。

電解加工後の製品をマスタと比較して図6.5に示す。

6.1.4 加工精度

上述のように加工された製品に対して、加工精度は次の3項目について測定された。



図 6.5 マスタと電解加工後の ロールダイス Master and pipe reducing roll machined by ECM.

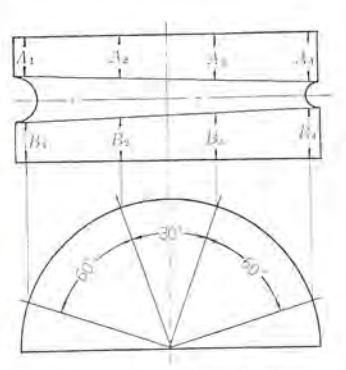


図 6.6 みぞ中心のずれ測定個 所 Deviation of centerline.

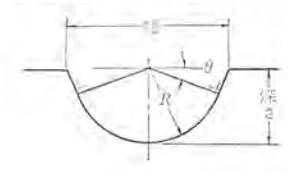


図 6.7 みぞの断面形状 Cross section of the groove.



図 6.8 ロールダイス 加 エ 工 程 の 比 較 Comparison of machining process between ECM and conventional method.

(1) みぞ中心と製品中心のずれ

この製品において最もきびしく要求されたのはこの精度で、要求 公差は $\pm 0.02 \,\mathrm{mm}$ であった。

測定は図 6.6 に示した位置について製品端面より みぞ上端部までの寸法 $A_1 \sim A_1$ および $B_1 \sim B_3$ を $\Lambda \cap \Gamma \cap U$ を用いて測定した。その結果を表 6.3 に示す。

表 6.3 より、製品中心に対する みぞ中心のずれば最大 0.015 mm となっており、十分要求精度を満足させることができた。

(2) みぞの幅寸法と深さ寸法

任意の断面における みぞの形状は 図 6.7 のようになっており、 上表面における幅寸法を図 6.1 に示した A~H" 断面について ノギス を用いて測定し、マスタ との比較を行なった。 測定結果を表 6.4 に 示す。 同様にみぞの深さ寸法は、各測定断面について スリットの跡の 突起を除去し、デブスマイクロ を使って測定した。 マスタ と比較して測 定結果を表 6.5 に示す。

要求公差は幅寸法に対しては $^{+0.20}_{-0.10}$ 深さ寸法に対しては $^{+0.01}_{-0.14}$ であったが,表 6. 4,6. 5 から得られた結果では幅 $^{+0.10}_{-0.20}$ 深さ $^{+0.07}_{-0.14}$ となっており,深さに対しては十分に要求を満たすことができた。幅寸法はやや小であるが,手仕上げしろとして適当である。なおみぞ中央突起も $^{10.20}_{-0.10}$ 1

表 6,3 みぞ中心のずれ測定結果 Measured value of deviation of center line.

測 定 位 置	聚 岛 No. 1	製 品 No. 2		
Aı	40.65	40.65		
Bi	40.62	40.65		
A2	44.05	44.00		
Be	44.05	44.00		
As	45.08	45.05		
Ba	45.05	45.04		
A4	45.91	45.90		
B ₄	45.92	45.92		

表 6.4 みぞ幅寸法測定結果 Measured value of width of the groove.

測定 斯面	A	В	С	D	Е	F	G	Н	H'
マスター	28,00	26.00	24.50	23.20	22.00	20.85	19.90	19.00	19.45
製品	27.85	26.10	1000	23.00			19.90	19,05	19.25
No. 1	(-0.15)	(+0.10)	(土0)	(-0.20)	(-0.20)	(±0)	(土0)	(+0,05)	(-0,20
製品	27.90	26.05	24.45	23.00	21.85	20.75	19.85	19,00	19.25
No. 2	(-0.10)	(+0.05)	(-0.05)	(-0.20)	(-0.15)	(-0.10)	(-0.05)	(±0)	(-0.20)

() 内はマスタとの誤遊を示す。

表 6.5 みぞの深さ寸法測定結果 Measured value of depth of the groove.

測定 斯面	A	В	С	D	Е	F	G	Н	H'
マスタ	12.56	11.77	11.01	10.40	9.88	9.38	8.95	8,56	8,65
W19)	12.60	11.72	10.95	10.33	sale for the	9.27	8.97	8.62	8.70
No. 1	(+0.04)	(-0.05)	(-0.06)	(-0.07)	(-0.03)	(-0.11)	(+0.02)	(+0.06)	(+0.05)
製品	12.63	11.70		10.33	200	9.24	8.96	8.60	8,68
No. 2	(+0.07)	(-0.07)	(-0.09)	(-0.07)	(-0.01)	(-0.14)	(+0,01)	(+0.04)	(+0.03

^() 内はマスタとの誤差を示す。

6.1.5 反転法による電極製作の特長と欠点

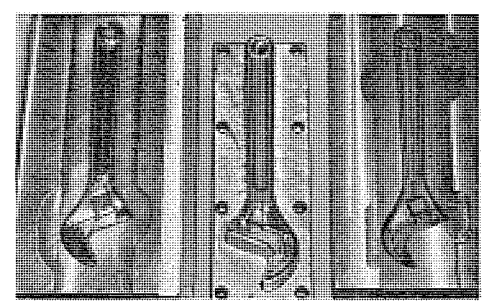
ことで今回の製品加工について反転法で電極を製作した場合と従 来のならい フライス による電極製作法との工程を比較すると 図 6.8 のようになり、従来に比べて実質的に約1/4 に電極製作時間を短縮 できた。

この図から反転法の特長は次のように要約できる。

- (1) 電極設計段階で加工間げきの計算などを省けるため、設計 製図に要する時間を削減できる。
- (2) 既存の製品を マスタ に使用でき、工程を短縮できると同時 に使用者側にとっても従来のような電極製作のむずかしさを感じさ せず、手軽に取扱える安心感を持てる。
- (3) 電極製作時と製品加工時の間げきの誤差が特殊な場合を除いて少ないため、マスタの精度が十分要求公差内にあれば、電解加工後の製品もマスタと近似したものとなり、容易に要求精度を満足でき、かつ電極修正に要する時間を大幅に削減できる。
- (4) 製品加工に際して、マスタとワークを基準面を合わせて交換するだけで位置決めを行なえるので、高い位置決め精度を容易にうることができる。



図 6.9 モンキレンチ 鍛造型用電極素材 Electrode material for the spanner.



左:マスタ,中央:電極,右:電解後の型

図 6.10 モンキレンチ 鍛造型加工例 Machining sample of the spanner forging die.

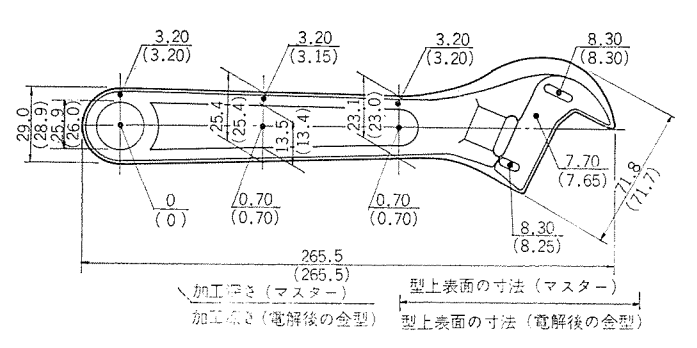


図 6.11 モンキレンチ 鍛造型精度測定結果 Measurement of the accuracy on spanner forging die.

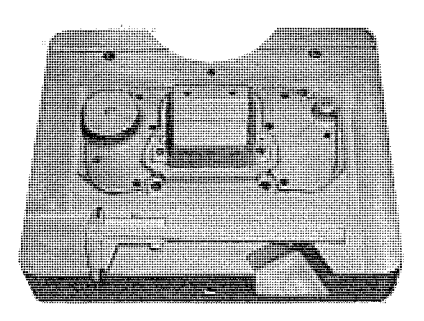


図 6. 12 電解加工後の自動車部品 ダイキャスト 型 Diecasting die made by ECM.

一方欠点としては

まったく新規の製品を加工する場合はマスタそのものを電鋳法や従来のならい加工などで製作する必要があり、同一形状の製品を繰返し生産する必要のない単一物の金型加工ではメリットが少ないことがあげられ、今後の課題として解決をはかる心要がある。

6.2 反転法による三次元金型の加工

前述のように既存の製品がそのままマスタとして使用でき、これから容易に電極を製作できることが、これまでもタービンブレードや部品加工ではいろいろ実証されたが、三次元形状の複雑な底付け型に対して同じようにこの方法を適用できるか否かは次の点で疑問があった。

- (1) 傾斜角の小さい抜きこう配面は最も積分効果の影響を受け やすく、マスタの精度をそのまま製品に再現できないのではないか。
 - (2) 同じ理由で背圧を受ける内側部の再現性はどうか。

表 6.6 モンキレンチ 鍛造型の加工条件 Machining condition for spanner forging die.

Ŋ	口工 条 台	华	電極製作時	金型加工時
T	解 液 租	類	NaNO3 sol	NaNO3 sol
温	度,比	重	25°C, 1.14	27°C, 1.14
) In	工 電	Œ	10.5 V	10.5 V
thi	工 電	湉	2,500 A	2,700 A
加	工. 速	度	0.5 mm/min	0.6 mm/min
電	解 液 流	盘	260 <i>l</i> /min	230 <i>l</i> /min
땑	解液压	カ	14 kg/cm ²	14 kg/cm ²
戾	休 混 入 圧	力	15 kg/cm ²	15 kg/cm ²
tm	工 深	ż	9 mm	8.15 mm
tm	工 時	間	18 min	14 min
被	加工物材	質	SS 41	SKT-4

表 6.7 自動車部品 ダイキャスト 型の加工条件 Machining condition for diecasting die.

ħ	n I	条 作	4:	電極製作時	金型 加工 時
電	解液	夏 租	類	NaNO3 sol	NaNO3 sol
温	廋,	比	A	27°C, 1.14	30°C, 1.14
bit	工.	電	Æ	10 V	10 V
Jπ	I.	慣	流	10,000 A	11,000 A
加	I	速	度	0.8~0.5 mm/min	1.0~0.5 mm/min
電	解消	复 流	盘	340 <i>l</i> /min	350 l /min
電	解音	复 圧	カ	14 kg/cm ²	14 kg/cm ²
汊	体 混	入 圧	カ	15 kg/cm ²	15 kg/cm ²
加	I	深	ŧ	35 mm	42 mm
加	I	時	[11]	80 min	90 min
被	加工	物材	質	SS 41	SKD-61

しかし以下に示す応用例により、十分高い能率のもとに実用的な 金型加工を行なうととが確認できた。

6. 2. 1 モンキーレンチ鍛造型の加工

加工にあたって使用した電極素材を図 6.9 に、マスターと反転後の電極および最終的な電解後の金型を図 6.10 に示す。

電極素材の材質には軟鋼材 SS 41 を用い,形状は図のように二次元的にのみ その形状を 73.9- の投影形状に 一致させて 75.7 加工を行なった。これは電極製作時と最終的な金型加工時の加工面積をほぼ等しくし,両者の電流密度などの加工条件をできるだけ等しくする目的によるものである。

電極製作時は前述のように電極素材を陽極、マスターを陰極とする 逆極性で加工を行ない、金型加工時は反転後の電極を陰極、金型素 材を陽極とする通常の極性に戻し、電解液はいずれの場合も電極に 設けた スリット から噴出させた。 それぞれの加工条件をまとめて 表 6.6 に示す。

加工後の金型寸法を 73.9- との比較で 測定した 結果を 図 6.11 に示す。この図から明らかなように 73.9- とこれから転写された電極で加工された金型との誤差は最大で 10.10 mm となっており,実用的に十分使用可能な金型であることが確認された。

従来はこの金型はならい彫刻機で荒加工された後グラインダによる 手仕上げで加工が行なわれており、金型1個あたり約9時間を要していたが、電解加工により位置決めなどの段取り時間を含めても金型1個あたり約30分に短縮され、電極製作時間を含めても十分経済的に有利であり、さらに金型の消耗が激しいだけに長期的にみると驚異的な工数低減を得られることが認められた。

6.2.2 自動車部品ダイキャスト型の加工

最終的な電解加工後の金型を図 6.12 に示す。電極の製作にはこの図とほとんど同じ形状のマスタ金型を用意し、これから反転法で電解加工により成形されたものを用いた。電極製作時および金型加工時の加工条件を表 6.7 に示す。

金型の精度は図 6.13 に示したように金型と マスタ に端面を基準

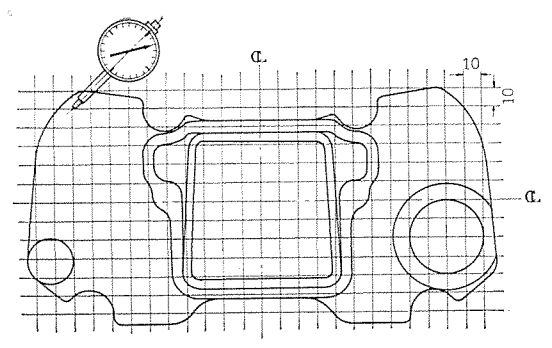


図 6.13 加工精度測定法 Measuring method of machining speed.

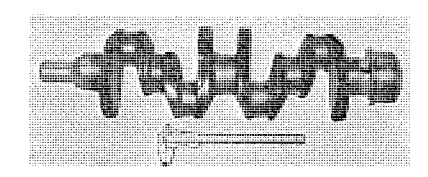
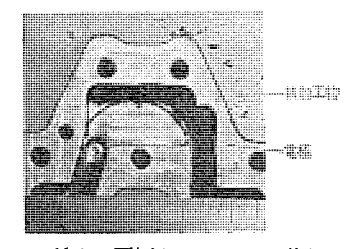


図 6.14 クランクシャフト 鍛造型製作用電極 Electrodes for crank shaft forging die.



(a)



(b) 電極をはめこんだ状態図 6.15 加工された型 Machined die.

にして 10 mm 間隔で X-Y-Z 方向に f が非線を入れ,その交点の 2 29- に対する電解加工後の 金型の 誤差を求める 方法により測定した。その結果では加工底面では $\pm 0.04 \text{ mm}$ の精度を得られることが確認できたが, こう配をもった側面では 229 に対して金型が片側 $0.4\sim0.5 \text{ mm}$ 小さくなっていることがわかった。

これは電極製作段階ではこの部分に対し背圧のかかる時間が加工終了前の数 mm の間だけであるのに対し、実際の金型加工時では加工開始時点から終了に至るまで全過程で背圧を受けることになるため、それぞれの場合に生ずる オーバカット の差がそのまま型の精度に現われたものである。解決の方法としては背圧の影響を受ける部分についてのみ、反転後の電極を修正するのが最も簡便で、本金型に関しても最終的にその部分について前述の誤差の差だけ修正を施し、十分な精度をもった金型加工を完成することができた。

以上2種類の金型加工例から実際の三次元形状の ‡+ビティ加工に おいて反転法は鍛造型などのように型の消耗が激しく,同一の金型 を複数個製作する必要のある場合は,既存の金型そのものからこれ を マスタ として非常に簡単な手段で複雑な形状の電極を容易に製作 でき、電解加工導入の メリット が大きく現われてくることがわかった。

表 6.8 クランクシャフト 鍛造型の加工条件 Machining condition for crank shaft forging die.

分割部分 加工条件	No. 1	No. 2	No. 3	No. 4	No. 5	No. 6			
電解液種類		NaNO3 sol							
温度,比重	46°C, 1.14	43°C, 1.14	43°C, 1.14	34°C, 1.14	37°C, 1.14	34°C, 1.14			
加工電圧	10	9	9.5	10	10	10			
加工電流	3,400	8,000	7,800	7,900	8,000	3,600			
加工速度 mm/min	0.7	1.0~0.8	1.0~0.8	1.0~0.8	1.0~0.8	0.7			
電解液流量			_	_	_	_			
電解液压力 kg/cm²	13	13	13	13	13	13			
気体混入圧力 kg/cm²	14	14	14	14	14	14			
加工深さ	32	7 0	70	70	70	49.3			
加工時間分	46	73	73	73	73	70			
被加工物材質			SK	T-4					

一方,まったく新規の金型を製作するには,反転法を適用するには マスター そのものを製作することから出発せねばならないが,電鋳法 などを マスター の製作にとり入れることにより,十分な効果を得られ るものと考えられ,今後十分な検討を進めてゆく予定である。

6.3 各種の応用例

6.3.1 クランクシャフト鍛造型の加工

ブルトーザ 用 4 気筒 クランクシャフト (全長 約 1,100 mm) の鍛造型の加工例を示す。加工は、6 ヵ 所に分割して、順次加工する方式をとった。電極は、鍛造品そのものを素材として用い、型寸法 よ り 片側 0.7 mm 均一に 小になる 寸法に、ならい フライス 加工に よって 切削し、仕上げられている。図 6.14 に電極の全容を示す。電極に設けられた液噴出用の スリット 穴は、銅板電極を用いて放電加工で製作された。

電解加工は、硝酸 ソーダ 水溶液を用い、 高圧気体混入方式を用いて行なわれ、特別の液流制御用の治具は用いない。加工条件および加工時間は、表 6.8 に、それぞれの分割部分について示す。 片面の型加工に要した総加工時間は、電極・被加工物の取付けとりはずしを含めた時間である。図 6.15 に電解加工後の状況を示す。 従来のならい フライス加工+手仕上げの方式に比較して、電解加工導入によって、加工時間は約 1/3 になる。

この種の大型鍛造型加工では、電極のスリット部分に対応して残る型のもり上がりを、ハンドグラインダで削りおとす程度で、後の手仕上げをほとんど必要とせずに、鍛造型として使用できる。加工精度も図面寸法に対し、±0.2 mm 以内には容易に加工できることが確かめられ、チェコスロバキア最大の製鉄所である、クラドノ製鋼所では、MC100 V-100 A 形電解加工機による実用生産が、行なわれている。

6.3.2 アルミサッシ押出型への応用

アルミサッシ 押出型は、数多くの型を必要とするために、電解加工機の導入が、早くから進められ、その経済的な成果が大きいことが認められている。

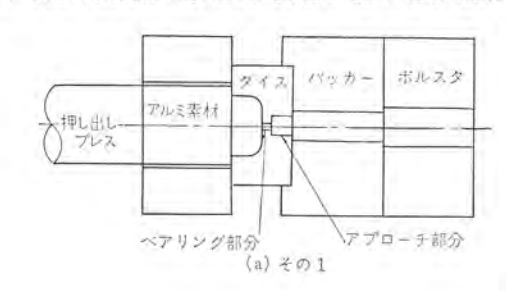
アルミサッシ 押出型の構成は、図 6.16 に示すようになっている。(a)のほうは形状が比較的単純で、一つの ダイス で成形できるものであり、(b)は形状が複雑で、ダイス が二つ以上の部分から組み合わされて作られるものの例である。マンドレル は一体に作られる場合と、(b)の左図に示す斜線部のスパイダと外輪より組み合わせて作られる場合の 2種がある。

マンドレル の異形穴、バッカーの異形穴、 ダイス の裏穴および ダイス の アプローチ 部分が、電解加工により加工される。 ダイスペアリング 部分は、

通常放電加工による。

図 6.17にマンドレルの加工例を示す。1本の電極で穴1個ずつを 順次に加工し、加工時間はマンドレル全体で4時間であった。加工精 度は±0.07 mm で、要求公差を十分満足させるものになっている。 従来の機械加工に比べ電極製作時間も含めて、1/2.5 に短縮できた。

図 6.18 に バッカー の加工例を示す。 この場合も マンドレル の加工と同様、従来の機械加工方式よりも大幅に加工時間が短縮される。



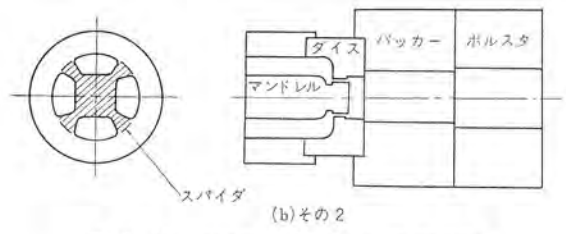


図 6.16 アルミサッシ 押出し ダイス の構成 Construction of the alminum sash die.



加工時間4時間 加工深き 110 mm 図 6.17 マンドレル の加工例 Machining sample of the mandrel.



加工時間45分 加工深さ 105 mm 図 6.18 バッカーの 加 工 例 Machining sample of the backer.

要求公差は ± 0.2 mm であるが、加工物は ± 0.1 mm に加工でき十分である。

図 6. 19 に ダイス の裏穴加工の例を示す。

ダイスのアプローチ部分の加工は、従来は放電加工によって製作されていたが、電極製作に、電解加工をうまく活用する方式を用いることによって、現在では、電解加工によって加工される。図 6.20 に加工工程を示す。図 6.21 に工程それぞれの状況を示す。図 6.22 に加工例を示す。この加工では、電極製作工程の加工時間がかなり長いので、単一物の加工では放電加工が有利であるが、同じ形状のアプローチを3個以上(通常のアルミサッシダイスは1型に3個以上あり、しかも型を数面同時に加工する例が多い)生産する場合、電解加工が有利である。なお、アプローチに必要なテーパ状の逃げは、加工条件を深さによって切換えることによって得られる。

6.3.3 タービンロータへのブレードの直接加工

蒸気タービッ 圧縮機を高速回転とし、小形高能率化を目ざす努力が、各タービッメーカーで行なわれているが、この場合、植入式タービッブレードでは、根本に起こる応力集中に耐えられず、切損を引き起こすため、円板状素材にブレードを直接加工する必要がある。この種の加工は、機械加工では、切削時間と工具消耗の面から不可能に近く、電解加工の適用が大きな成果をもたらす。図 6.23 に加工要領を示す説明図、表 6.9 に加工条件を示す。図 6.24 に加工されたロータの



加工時間 50 分 加工深さ 25 mm

図 6.19 ダイス 裏 穴 加 工 例 Machining sample of the forming of die.

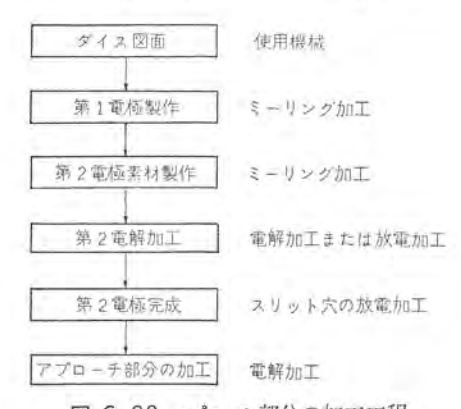


図 6.20 アプローチ 部分の加工工程 Machining process.



(a) 第1電極



(b) 第2電極



(c) 電解加工後 の第2電極



(d) 完成した電極 (スリット 加工は放電加工)



加工時間11分 加工深さ 24 mm

W

図 6. 22 完成された アプローチ 部 分の加工例 Machined die.

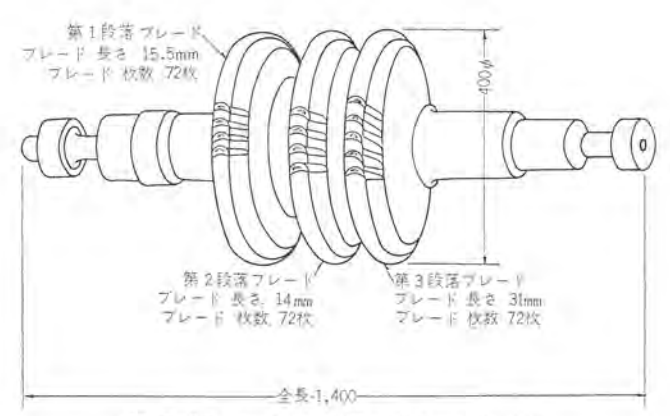


図 6.23 タービンロータ 用一体 ブレード 加工例 Machining sample of turbine rotor.

表 6.9 タービンロータ 用 ブレード 加工条件 Machining condition.

条 件	第1,第2段落 ブレード	第3段落プレード	第1~第3段落 ポケット
惟 辨 液 秿 類	NaNO3 sol	NaNO3 sol	NaNO3 sol
温度°C,比重g/cm³	31°C, 1.13	31°C, 1.13	29°C, 1.13
加工電圧 V	10.5	10	10.4
加工電流A	1,800	800	190
加工速度mm/min	3.0	2,5	1.55
電解液流量 I/min	50	55	42
電 解 液 压 力 kg/cm²	14	14	14.2
気体混入圧力 kg/cm ²	14.2	15	15
加工 菜 き mm	16	32	3,5
加工時間/1行程 min	5	13	2.5
加工 時 間/total min	360	936	180

総加工時間約 25 h



図 6.24 タービンブレード 一体加工例 Machined rotor.

全容を示す。全加工時間は25時間であった。

ブレードプロファイル の精度は ±0.1 mm 以内で、繰返し精度も高く、電極の消耗はまったくない。

7. む す び

本論文では、次の事項が述べられている。

(1) NaCl, KNO₂, KNO₃, NaClO₃, NaNO₃ などの各種電解 液について, 垂直側面間げきを計測した結果, NaNO₃ が, もっと も積分効果が小となることがわかった。 (2) NaNO₃ 水溶液について、間げきの生成の機構を調べるために、極間げきgと電流密度Jの関係。および電流密度Jと溶出速度fの関係を別々に求めた。

g-J 関係を整理するために、酸化膜抵抗R の概念を導入し、その膜抵抗R が、 $R=\frac{A}{J^B}$ (A,B) は材料・温度によって定まる定数)の実験近似式で表わされることを求めた。

J-f 関係から、ある電流密度 J_0 以下では、溶出速度が零となっているのが観測された。

(3) g-J, J-f の両関係から、g-f 関係が求められ、ここから積分効果 しゃ断間げき g_a が次式で求められる。

$$g_a \! = \! \frac{1}{\rho} \! \left(\! \frac{E \! - \! E_0}{J_0} \! - \! R \! \right) \! = \! \frac{1}{\rho} \! \left(\! \frac{E \! - \! E_0}{J_0} \! - \! \frac{A}{J_0{}^B} \! \right)$$

 J_0 が大きく、R の大きくなるほど g_a は小となる。軟鋼・SUS 22・SKD-11 などの材料では、 g_a がとくに小さい。 また液温の影響も大きい。

- (4) 高圧気体混入方式では、流れの均一性を得やすく、硝酸ソ -ダ 水溶液を用いる間げきの小なる電解加工で、 とくに短絡に移行 しない安定な加工ができる。
- (5) 平たん度、二次元形状のオーバカット、三次元形状のオーバカットを実測し、食塩水に比較して硝酸ソーダ水溶液では、精度が向上することが確かめられた。
- (6) 硝酸ソーダ 水溶液の採用により、 金型加工の分野にも反転 法が利用できるようになり、電極製作は容易となった。

参考文献

- (1) 古池:電解加工の加工技術,三菱電機技報 41, No. 10 (昭 42)
- (2) 前田, 斉藤, 荒井: 電解加工, 三菱電機技報 36, No. 9(昭 37)
- (3) 前田, 斉藤, 荒井: 電解加工の研究第1報, 精密機械 31, No. 11 (昭40)
- (4) 前田,斉藤,葉石:電解加工の加工原理と加工特性,三菱電 機技報 41, No. 10 (昭 42)
- (5) 前田, 斉藤, 荒井, 伊藤, 杉江:電解加工機, 三菱電機技報 37, No. 8 (昭38)
- (6) 近森, 伊東:電解加工における電極現象 第4報, 機械研究 所報 25, No. 1 (昭 46)
- (7) 近森, 伊東:電解加工における電極現象 第3報, 機械研究 所報 24, No. 1 (昭 45)
- (8) Electrochemical Machining, American Machinist, October 23 (1967)
- (9) James P. Haare et al.: An Investigation of the Difference between NaCl and NaClO₃ as Electrolytes in Electrochemical Machining, Electrochemical Science, 116, No. 2 (1969)
- (10) James W. Throop et al.: Sodium Chlorate for E. C. M. Caving Sinking, The Tool Manufacturing Engineer, Jan. (1968)

レーザ加工

樋口隆一*·宮沢生行* 吉田寿夫*·奥田滝夫**

Application of Lasers to Drilling and Cutting

Central Research Laboratory

Takaichi HIGUCHI • Takayuki MIYAZAWA • Hisao YOSHIDA

Manufacturing Development Laboratory Takio OKUDA

With recent development of high power lasers, the importance of laser machining has been recognized by leaps and bounds. In a few words, it is a minute thermal process with no mechanical contact of any tools. This article reports a number of results in drilling and cutting by our ruby laser and carbon dioxide laser and also describes general features of laser machining. The ruby laser used has the maximum output energy of 3.5 J and is usefull for drilling extremely small holes. In working on metal, a hole of $100 \sim 350 \,\mu$ in diameter is drilled in such short time as 0.5 ms. The carbon dioxide laser is usefull for cutting. For instance, a steel plate of 1 mm thickness can be cut at a speed of 1.3 m/min with laser power of 80 W.

1. まえがき

 ν -ザの開発当初から、その用途の一つとして加工が注目されていたが、近年 ν -ザの出力が飛躍的に増大するにつれて、 ν -ザ加工の重要さがますます認識されるようになった。 ν -ザ加工は熱加工であるが、従来の熱加工に比べてきわだった特長がある。それはきわめて短時間で微小加工が可能であるということである。

レーザピーム は コヒーレント な性質のために、微小体積に エネルギー を集中できるので微小加工が可能である。また、加工するときに機械的な接触が不要であるから ドリル、 カッター のように摩滅しない。 堅くてドリル を使えない物質に対しても レーザ 加工は有効である。これらがおもな特長である。

当所では、ルビーレーザ および炭酸 ガスレーザ (以下 CO₂ レーザ と呼ぶ) による加工を研究してきた。ルビーレーザ は パルス 発振であることおよび波長が短いことから微小な穴あけに有効である。 CO₂ レーザ は 連続発振であるから切断に有効である。 との論文ではそれらの レーザ による加工のいくつかの結果・特色を述べる。レーザ 加工の解析は、まだ完全に行なわれていない。ここでは限界温度の概念を導入して、レーザ 加工のいくつかの結果を定性的には握できた。 なお、レーザ 加工という用語は レーザ による穴あけ・切断を意味するものとする。今回は レーザ による溶接は取り扱わない。

2. レーザビームとレーザ加工

レーザビーム は広がり 角が小さいので、レンズ で絞ると小さい スポット になる。 広がり 角が数 mrad であるから数十~数百 μ の径の スポット になり、そとに集中する レーザビーム の強度は $10^5 \sim 10^8 \, \mathrm{W/cm^2}$ の大き い値である。 金属を例にとると吸収係数が大きいので(約 $10^6 / \mathrm{cm}$)レーザビーム は表面のきわめて薄い層で吸収され、層の内部の \mathbf{x} \mathbf{z} 本ルギー 密度は $10^{10} \sim 10^{13} \, \mathrm{W/cm^3}$ にもなる。 このように 微小体積に 膨大な

エネルギー を集中できるので瞬時に融解・沸とうが起こり、容易に 加工できる。

基本 ϵ - Γ で発振しているとき、レンズの焦点を原点、光軸を z 軸、光軸からの距離を r とする円柱座標で考えれば、軸対称であるからレーザビームの強度分布 I(r,z) は焦点付近で次のように表わされる⁽¹⁾。

$$I(r, z) = \frac{2P}{\pi w^2} \exp\left[-2\left(\frac{r}{w}\right)^2\right] \cdots (2.1)$$

$$\subset \subset \subset P: 2\pi \int_0^\infty I(r, z) r dr$$

$$w^2: w_0^2 \Big\{ 1 + \Big(rac{\lambda z}{\pi w_0^2} \Big)^2 \Big\}$$

 w_0 : 焦点での スポットサイズ (強度が中心強度の e^{-2} になる半径)

λ: ν--ザ 波長

レンズ の焦点距離を f, レーザビーム の 広がり角 (半頂角) を θ とすれば $w_0 = f\theta$ である。

式 (2.1) より

$$\frac{r}{w_0} = \frac{1}{\sqrt{2}} \left\{ 1 + \left(\frac{\lambda z}{\pi w_0^2} \right)^2 \right\}^{\frac{1}{2}} \left[\ln \frac{2P}{\pi w_0^2 I \left\{ 1 + \left(\frac{\lambda z}{\pi w_0^2} \right)^2 \right\}} \right]^{\frac{1}{2}} \cdots (2.2)$$

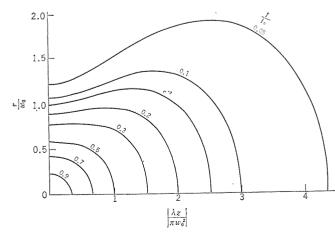


図 2.1 焦点付近のレーザビームの強度分布 Intensity distribution of laser beam in the vicinity of focal point.

 $I_0 = \frac{2P}{\pi w_0^2}$ は焦点での レーザビーム の中心の強度である。 これより 光 軸を含む平面内の強度分布を求めると図 2.1 になる。

物体の表面に一様な熱流束を与えたとき表面温度は次のように表 わされる⁽²⁾。

$$T = \frac{2F_0 \left(\frac{kt}{\pi}\right)^{\frac{1}{2}}}{K(\pi)^{\frac{1}{2}}} \qquad (2.3)$$

ててに T: 表面温度

 F_0 : 熱流東密度

K: 熱伝導率

k:熱拡散率

t:時 間

$$T = AIt^{\frac{1}{2}}$$
.....(2.4)

これより限界温度 T_c に対応する限界強度 I_c が決まる。

図 2.1 より物体表面を焦点に置いたとき、 $\frac{I_C}{I_0}$ が小さいと(加工しやすい物質を意味する)径が大きい中太りの穴があくことがわかる。また、焦点ずれによる穴径の変化がわかる。しかし、実際の穴は図 2.1 から予想されるより深い。これは壁での反射をくり返してレーザビームが奥深く進むライトパイプ効果によるものである。このように、不完全ではあるが図 2.1 はレーザビームとレーザによりあけられた穴の形状との関係を表わしている。

3. ルビーレーザによる穴あけ

3.1 ルビーレーザ

使用したルビーレーザの性能は次のとおりである。

波 長

0.69 u

出力 エネルギー

3.5 J (最大)

ピーク出力

6.5 kW (最大)

バルス 継続時間

 $0.5 \, \mathrm{ms}$

発振繰り返し 広がり角 0.5 pps 5 mrad

加工機は本体、冷却系、架台、試料台および電源から成り、本体



図 3.1 レーザ加工機本体 Head of laser hole driller.

には ν ビーレーザ,集光 ν ンズ および位置決め・焦点合わせ用の顕微鏡 が組み込まれている。電源を除く主要部を 図 3.1 に示す。 これにより位置決め± 5μ , 焦点合わせ± 50μ の精度で加工できる。金属 に照射すると図 3.2 のように火花を出しながら加工される。

3.2 穴の径

物体表面を焦点に置いたときの出力 xネルギーと穴の径との関係を図 3.3 に示す。同図の計算値は式 (2,2) で z=0 とおき、 I_C の値として $Al: 1.2 \times 10^6 \, \text{W/cm}^3$ 、 $Cu: 3.2 \times 10^6 \, \text{W/cm}^3$ をとったものである。実験値とほぼ一致している。

出力 エネルギーを一定にして、物体を焦点からずらせたときの穴の 径の変化を図3.4 に示す。焦点からのずれとともに穴の径は大き くなり、前後のずれにほぼ対称である。



図 3.2 加工中の金属 Metal under drilling with ruby laser.

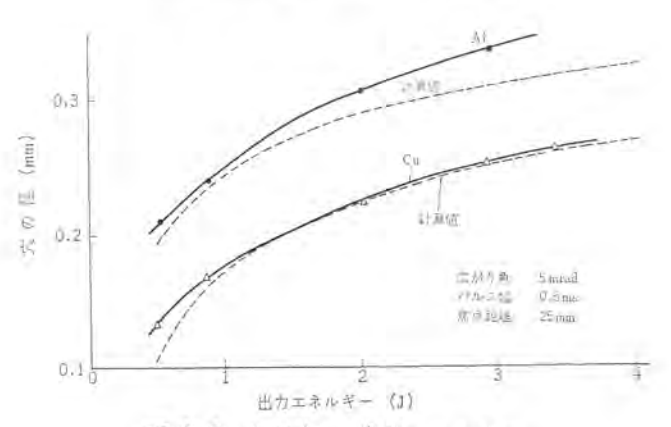


図 3.3 穴の径と出力エネルギー Diameter of hole vs. output energy.

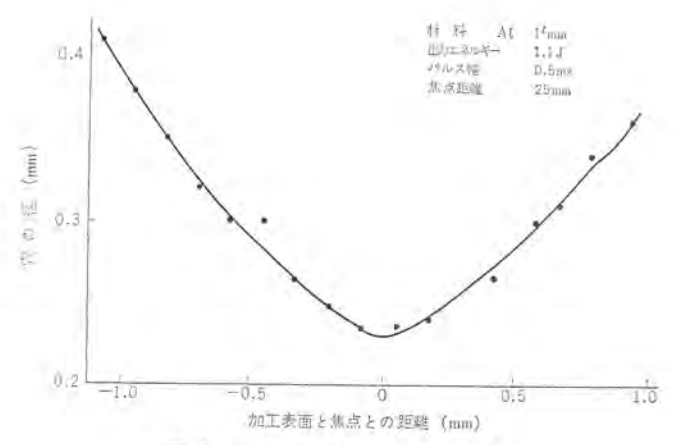


図 3.4 穴の径と焦点ずれ Diameter of hole vs. shift of focal point.



図 3.5 穴の断面と焦点ずれ (Al l.6J・印は焦点) Section of hole vs. shift of focal point.

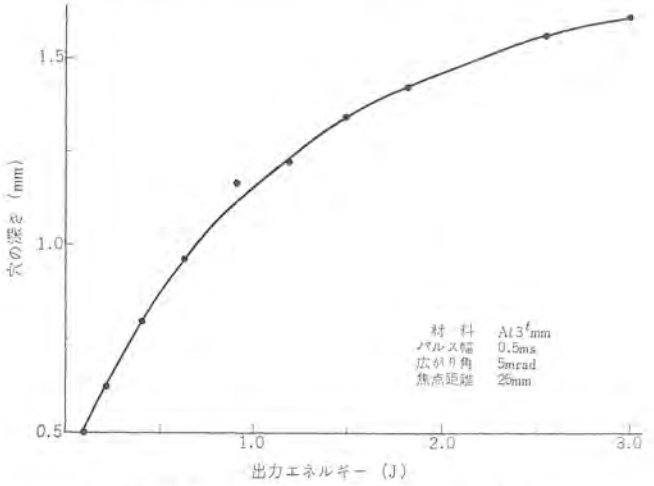


図 3.6 穴の深さと出力エネルギー Depth of hole vs. output energy.

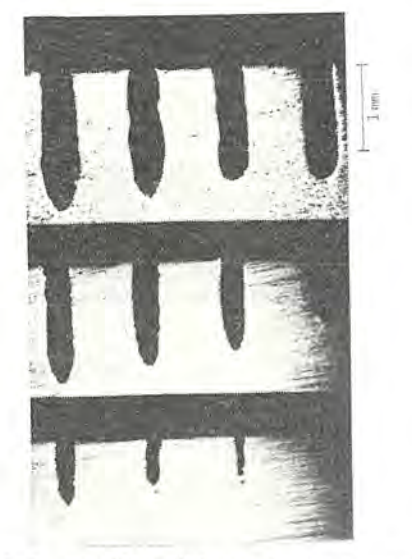


図 3.7 穴の断面と出力 エネルギー (A1 左上から右下へ 3.0, 2.5, 2.1, 1.8, 1.5, 1.2, 0.9, 0.6, 0.4, 0.2 J) Section of hole vs. output energy.

3.3 穴の深さ

穴の深さは レンズ の焦点距離および焦点の位置によって異なる。 図3.5 は焦点位置による穴の深さの変化を示すものである。 物体 の表面よりやや内部に焦点を合わせたとき最も深い穴があき、その ときの焦点と表面との距離は物質によって異なる。加工しやすい物

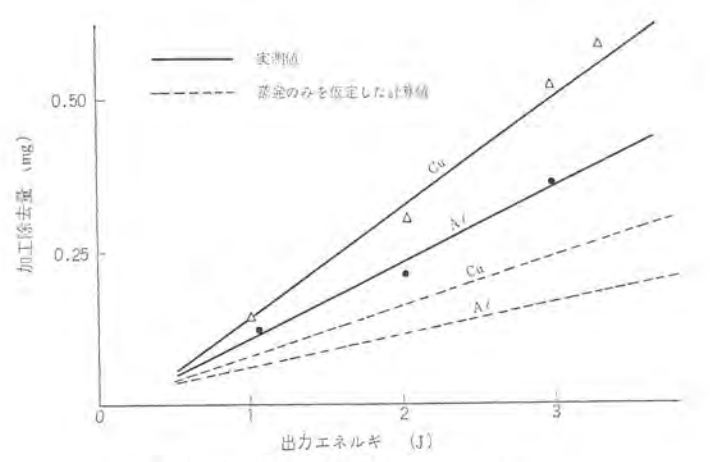


図 3.8 加工除去量と出力 エネルギー Removed mass vs. output energy.

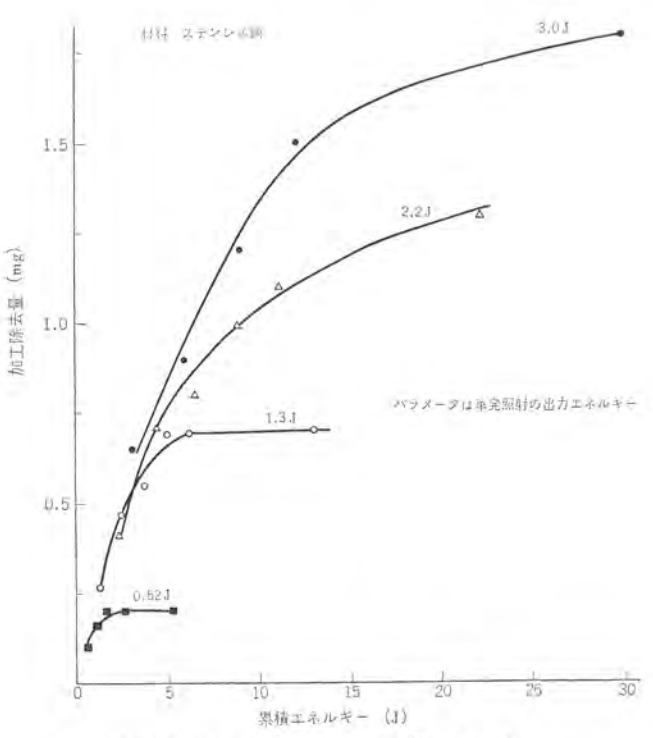


図 3.9 加工除去量と累積エネルギー Removed mass vs. accumulated energy of many shots.

質ほどその距離は大きくなる。また、同図を詳しく見ると穴の形状は円筒ではなく、くびれ・中太りになっているものがある。加工しやすい物質ほど顕著に現われて、くびれが数個できることがある。これはレーザビームが壁により反射されて進むライトパイプ効果によるもので、レーザによる穴あけに特長的なものである。

図 3. 6 は出力 xネルギーと穴の深さの関係を示すものである。 出力 xネルギーを増すと穴の深さは飽和する。図 3. 7 は出力 xネルギーを変えたときの穴の断面を示す。

3.4 加工除去量(3)

穴あけ加工は物体の一部を除去することであり,加工の前後で重量が異なる。この重量差を加工除去量と呼ぶ。出力エネルギーと加工除去量の関係を図3.8に示す。点線は物質がすべて蒸発によってのみ除去されると仮定したときの計算値である。実測値のほうがはるかに大きいということは、物質が単に蒸発によって除去されるだけではなく液体の状態のまま飛び出す過程があることを示している。図3.8よりこの液体の割り合いが50~60%を占めることがわかる。

図3.9 には繰り返し照射したときの加工除去量を示す。パラメータは単発照射の出力エネルギーであり、横軸はそれに照射回数をかけて得られる累積エネルギーである。これから小さい出力エネルギーのレーザで無射回数を増して累積エネルギーを大きくしても、それと等しい出力エネルギーのレーザと同等の加工ができないこと、したがって厚い板の穴あけには出力エネルギーのレーザが必要なことがわかる。

4. CO₂レーザによる切断

4.1 CO2 レーザ

使用した CO2 レーザの性能は次のとおりである。

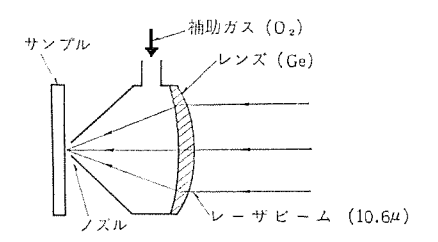


図 4.1 レンズホルダ

Lens holder.

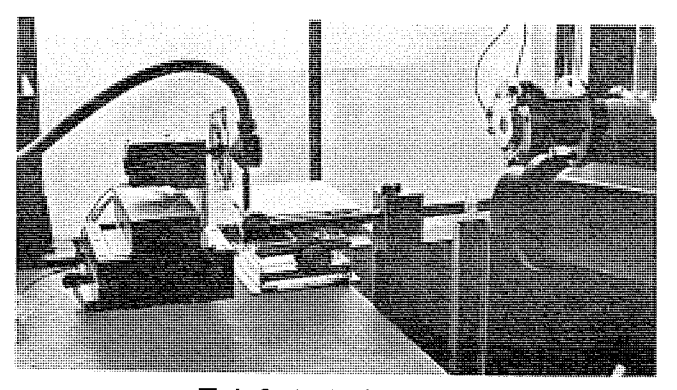


図 4.2 切断中の鋼板 Steel plate under cutting with CO₂ laser.

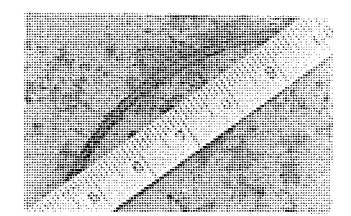


図 4.3 鋼 板 (四さ1 mm) Steel plate cut with CO₂ laser.

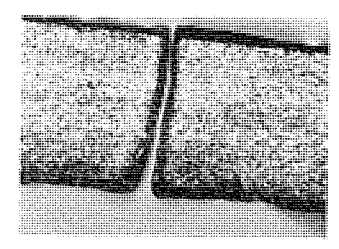


図 4.4 切断みぞの断面 (ステンレス鋼 厚き lmm) Section of kerf of stainless steel cut with CO_2 laser.



図 4.5 ドラッグライン (鋼板 厚さ 1 mm)
Drag line.

波 長 10.6 μ

出 力 120 W (最大)

効率 10%

広がり角 3 mrad

波長が 10.6 μ であるから光学 パラス は使えないので、レンズ 材料として ゲルマニウム を使用した。ゲルマニウム は屈折率が大きいので、反射損失を防ぐために両面に反射防止膜をつけた。レンズの性能は次のとおりである。

焦点距離 30 mm

透過率 99%

最小 スポット 径 0.18 mm

CO₂ レーザで加工するとき補助 ガスを使用するので図 4.1 のような レンズホルダ を使用した。ホルダの先端に ノズル があり,レーザビーム とともに補助 ガス が噴出する。 補助 ガス は蒸発物による レンズ 面のよごれの防止,物体の燃焼の防止,レンズの空冷あるいは加工の促進などの目的に用いられる。

4.2 鋼板の切断(4)

金属は熱伝導率が大きいために、ルビーレーザと違って連続発振である CO₂ レーザによる加工は不可能に近かった。 しかし、酸素を補助 ガスにしてその燃焼熱を利用することにより鋼板の切断が可能に なった。

レーザビームの照射により物質の温度を沸点まで上げれば 沸とう して加工される。ところが連続発振の CO_2 レーザ で鉄を沸点 (約 3,000 $^{\circ}$ C) まで上げるのはその熱伝導率のため困難である。100 W の出力で照射してもこん (痕) 跡すら見られない。いっぽう,ガス 切断法では鋼板を酸素 rセチレン 炎で子熱して酸素を Jズル より吹きつけて 燃焼熱を利用して切断する。 予熱を レーザ で行なえばきわめて狭い切りしろで切断可能になる。

図 4.1 の $_{
uu$ uu u uu uu uu uu u uu u

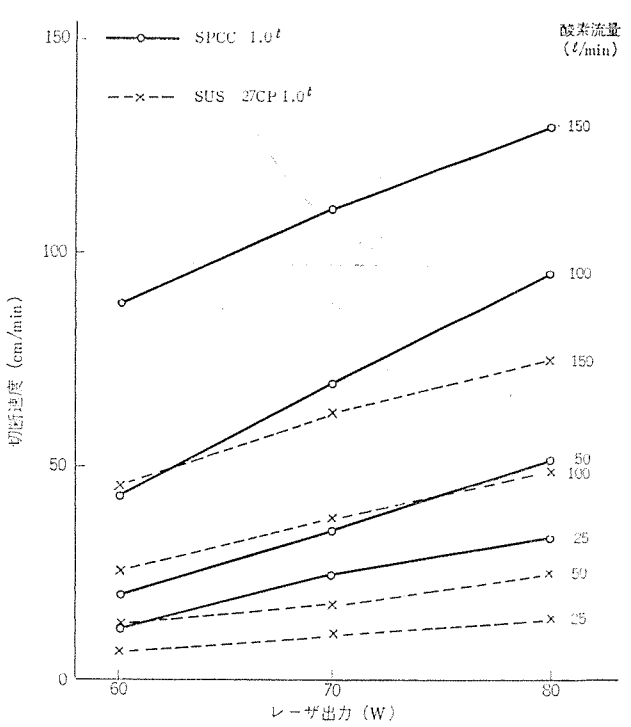


図 4.6 鋼板の切断速度とレーザ出力 Cutting speed of steel plate vs. output power.

あり、図 4.4 は厚さ 1 mm の ステンレス 綱板 (SUS 27 CP) の切断み ぞの断面である。図 4.5 は切断みぞの表面である。ガス 切断に特長的な 『ラッグライン が現われている。

図 4.6 は酸素流量を パラメータ にしたときの切断速度と レーザ 出力の関係である。酸素流量とともに切断速度が大きくなり、得られた最大の切断速度は レーザ 出力 80 W、酸素流量 150 I/min のとき冷間 圧延網板で 130 cm/min、ステンレス 網板で 75 cm/min である。 レーザ



図 4.7 石 英 管 Quartz tube cut with CO₂ laser.

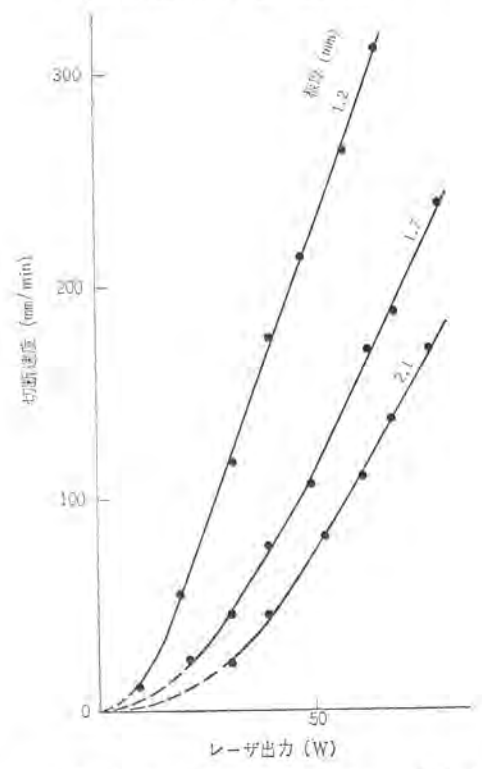


図 4.8 石英板の切断速度とし-ザ出力 Cutting speed of quartz plate vs. output power.

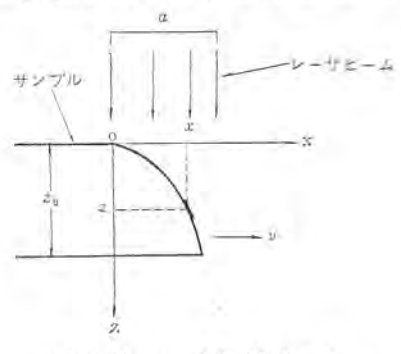


図 4.9 レーザ 切断のモデル Geometry employed in analysis.

出力が50 W 以下では切断できなかった。 これは レーザ 出力が小さく, また酸素による冷却効果もあって燃焼温度まで達しないためと思われる。

酸素流量の増加とともに切断みぞ幅は狭くなり最小0.1 mm になる。切断みぞ幅は切断速度にはほとんど関係しない。酸素流量の増加とともに切断みぞが狭くなるのは酸素の運動 エ礼ギーにより酸化物をはね飛ばすこと、冷却効果によって実質的に照射点の面積が小さくなるからである。赤外放射温度計による温度測定の結果、酸素流量の増加とともに赤外放射が減少し、冷却効果を確かめることができた。

スラッグをX線回折により分析するとほとんどがFe₃O₄であった とれより次の化学反応が起きていることがわかる。

$$3\ Fe + 2\ O_2 = Fe_3O_4 + 266.9\ kcal \ \cdots \cdots (4.\ 1)$$

式 (4.1) より冷間圧延鋼板を 130 cm/min で切断するとき 230 W の酸化熱が発生していることになり、これは ν -ザ 出力の 3 倍である。また、式 (4.1) より理論的に必要な酸素量と実際に消費した酸素量の比、すなわち酸素の効率は 0.4%になる。酸素の効率は酸素流量の増加とともに減少する。

4.3 絶縁物の切断

絶縁物は熱伝導率が小さいので容易に切断され、今後、有望な応 用が期待される。しかし、物質によっては切り口の炭化が著しくな るのですべての物質に有効だというわけではない。

4.3.1 石英の切断

石英および ガラス は可視光には透明であるが、 波長 10.6 μ では吸収係数が大きい。レーザで切断すると融点以上になるから切り口はなめらかであり、カッターで切断するのと違って事後の熱処理を必要としない。図 4.7 は切断した石英管の サンプルである。

石英板についてレーザ出力と切断速度の関係を求めると図4.8 になる。レーザ出力が小さいとき切断速度はレーザ出力の2乗に比例し、レーザ出力が大きくなると関係は直線的になり、直線の傾きは板厚に反比例する。2乗に比例する範囲は板厚とともに広くなる。

簡単のため二次元で考え、レーザビームの強さは一様で幅 a であるとする。 図 4.9 のように座標をとり 微小要素を考えると、 光軸 と 微小要素のなす角を考慮に入れて、式 (2.4) より

$$T_{C} = AI \frac{dx}{\sqrt{(dx)^{2} + (dx)^{2}}} t^{\frac{1}{2}} \dots (4.2)$$

切断速度をvとすると、dx=vdtであり、これを式(4.2) に代人してxについて解くことができる。

$$z \stackrel{\cdot}{=} \frac{2AIvt^{\frac{3}{2}}}{3T_c}$$
 (4.3)

板厚を z_0 とすると $t=\frac{a}{v}$ のとき $z=z_0$ となるから、

$$v = \left(\frac{2AI}{3T_{c}z_{0}}\right)^{2}a^{3}$$
 (4.4)

となり、切断速度はレーザ出力の2乗に比例する。

レーザ出力が増し、レーザビームに対する吸収層の厚さが板厚に比べて無視できなくなると、面熱源を仮定した式(2.3)は適用できない。この場合、熱伝導より短時間に吸収によって温度が上昇するので、除去される重量したがって切断速度はレーザ出力に比例する。図4.8で直線の傾きが板厚に反比例すること、およびレーザ出力の2乗に比例する範囲が板厚とともに広くなるのはこのためである。

ガラスの場合は予熱・徐冷をしなければ熱衝撃に耐えられなくなりひび割れが起こる。しかし、完全に切断するのではなく レーザで



図 4.10 ABS 樹脂 板 (厚き 2 mm) ABS resin cut with CO₂ laser.

表 4.1 種々の材料の切断速度 (レーザ出力 100 W F.機算)
Summary of cutting speeds of several materials.

材	料	厚 mm	切 斯 速 度 m/min
新 叫	紙	0.09	140
ノート 川	紙	0.09	140
ポリエステ	10	0.03	340
+ 1 0	3.	0.1	63
A B	S	2.0	1.9
7 9 9	- Air	3.0	1.4
冷問压延	34	1.0	1.6
ステンレス	94	1.0	0.94
石	英	1.2	0.50

表面に浅いみぞをつけて、後で力を加えて割ると簡単に切り離すことができる。 従来の ガラス 切りと同じである。 セラミック もひび割れ が起こりやすいが、ガラスと同じ要領で切断することができる。

4.3.2 その他の絶縁物

紙はきわめて容易に切断されるが、燃焼を防ぐために図4.1に示したノズルから窒素を吹きつけながら切断する。切り口はまったくなめらかであるが、紙の厚さ・組成によっては切り口が炭化するものもある。

繊維では合成繊維に有効である。切り口が溶けて固まるので、刃物で切るのと違ってほつれることがない。切り口の炭化は起こらない。

合成樹脂では アクリル、ABS 系に有効である。 図 4.10 は ABS 樹脂の切断 サンブル である。塩化 ビニル、エボキシ 系は炭化が激しく有効でない。これらは切断するとき刺激臭を出す。

いくつかの材料について レーザ 出力 100 W に換算したときの切断 速度を表 4.1 に示す。切断幅は 0.1~0.2 mm である。

5. to す び

ルピーレーザ および CO_2 レーザ による加工について述べてきた。光を使うから微小な加工はできるが深い穴をあけられないなどの欠点はある。 しかし,多くの利点を考慮すると レーザ 加工は新しい加工法として従来にない応用が期待される。ルピーレーザ は微小な穴あけに適しており,最適の条件では 500 級の穴あける 可能である。 CO_2 レーザ は切断に適しており,任意の形に切り抜くことが可能である。また,限界温度の概念により複雑な加工特性のいくつかを説明できた。

現在、20 J の f_{52} レーザ および 1 kW の CO_2 レーザ を試作中である。 これらが完成すると加工の能力が飛躍的に向上し、溶接を始め 用途が拡大する。

参考文献

- D. C. Sinclair, W. E. Bell: Gas Laser Technology, 75 (1969)
 - (2) H. S. Carslaw, J. C. Jaeger: Conduction of Heat in Solids, 75 (1959)
 - (3) 斉藤, 宮沢: 昭和45年度 精機学会春季大会前刷集283
 - (4) 桶口, 谷口: 昭和 45 年度 精機学会秋季大会前刷集 365

プラズマ電子ビーム溶接機の特性

上山 善司*·坂元 正*·安永 政司* 田中 利夫**·奥村 謙**·井藤 治彦**

Characteristics of the Plasma Electron Beam Welder

Central Research Laboratory Yoshiji UEYAMA • Tadashi SAKAMOTO • Seiji YASUNAGA

Nagoya Works Toshio TANAKA • Yuzuru OKUMURA • Haruhiko ITO

It is necessary to minimize the time required for evacuating the welding chamber of the electron beam welder to improve the productivity with the apparatus; particularly in case it is used for mass production of such works as the parts of automobiles. Then in view of economy the operating pressure in the chamber shall be made as low degree of vacuum as possible provided that no undesirable effects result in on the characteristics of the welded joint and on the life of the electron beam source.

The life of the cathode of plasma electron beam gun is ten times longer than that of the conventional gun even if the residual gas pressure in the chamber of the set becomes in the order of 10^{-2} Torr. It makes an oil rotary pump good enough for the evacuation of the chamber. The joints welded with the plasma electron beam welder are found to have excellent characteristics.

1. まえがき

自動車の部品などを量産するのに使用される電子 ビーム溶接機では、生産性を向上するために、溶接結果に悪影響がでない範囲で溶接作業室を低真空にして、溶接作業室を真空に排気する時間の短縮をはかることと、電子銃の陰極部の寿命を長くすることが必要である。そこで当社では、低真空で使用できて、陰極部の寿命が長いプラズマ電子銃を開発して、これを電子 ビーム源として組込んだプラズマ電子 ビーム 溶接機を完成させた(1)。

この報告は、プラズマ電子 ビーム 溶接機が、低真空形電子 ビーム 溶接機として、溶接作業室を油回転 ポップ だけで排気して使用できることなど、プラズマ電子 ビーム 溶接機の特性と、完成した プラズマ電子 ビーム 溶接機の溶接性能の一端を示すものである。

2. プラズマ電子ビーム溶接機の仕様(3)

図 2. 1 は、完成した プラズマ 電子 ビーム 溶接機の外観である。 この プラズマ 電子 ビーム 溶接機のおもな仕様を示す。

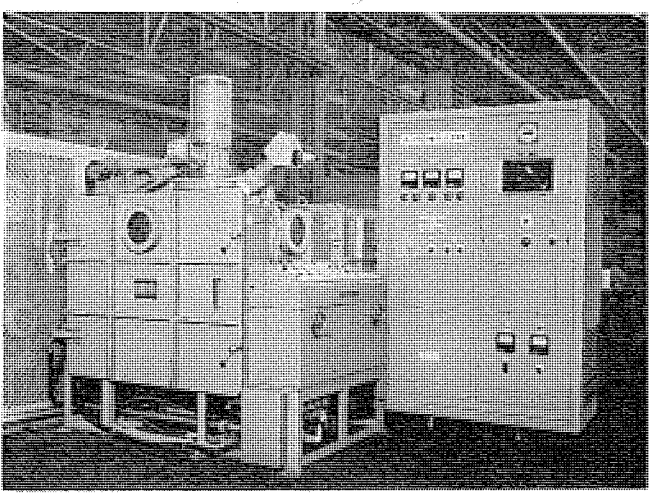


図 2.1 プラズマ電子ビーム溶接機の外観 Exterior view of a plasma electron beam welder.

(1) 電子 ビーム 系 (プラズマ 電子銃)

電子 ビーム 加速電圧

25~40 kV

電子 ビーム 電流

0∼250 mA

使用 ガス

ヘリウム

(2) 溶接作業室

溶接室寸法

幅1m×高さ0.8m×奥行1m

溶接室真空度

 $10^{-3} \sim 10^{-1} (Torr)$

3. プラズマ電子銃の特性

従来から市販されている電子 $\it E-L$ 溶接機の電子 $\it E-L$ 源である熱 陰極電子銃は, $\it 1 \times 10^{-4}$ (Torr) 程度の高真空で動作させても, 陰極 部の寿命が $\it 10$ 時間程度であるとされている。 しかし, $\it j = 5$ 元マ 電子 銃は, 動作 $\it f = 5$ 元 $\it i = 10^{-1}$ (Torr) で, しかも陰極部の寿命は $\it 10$ 倍程 度長いから,電子 $\it i = 10^{-1}$ 名 に 適した電子銃である。 この章では, $\it j = 3$ 元 電子銃の動作 $\it i = 10^{-1}$ 電子 $\it i$

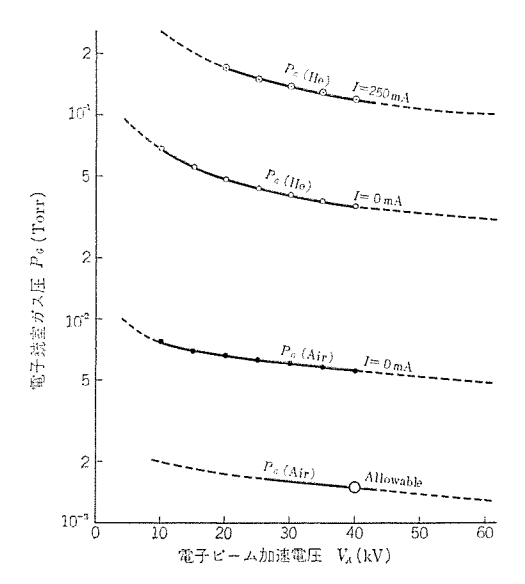


図 3.1 プラズマ電子銃の動作ガス圧 Operating pressure of the plasma electron beam gun.

てその特性を示す。

3.1 動作ガス圧

プラズマ 電子銃は、ヘリウム ガス によって動作させていて、 電子銃室 に供給する ガス の量を調節すると、出力電子 ビーム 電流は、 $0\sim100$ % の全域で自由に増減させることができる。 図 3.1 に、プラズマ 電子銃の動作 ガス 圧を示している。ヘリウム ガス で プラズマ 電子銃を動作させると、電子 ビーム 加速電圧が 40 (kV) のとき、 電子銃室の ガス 圧を 1.2×10^{-1} (Torr) にすると、電子 ビーム 電流が 250(mA) になることがわかる。

プラズマ 電子銃は、ヘリウム ガス のほかに、 水素・窒素・アルゴン や空気でも動作する(³)。 したがって、電子銃室に空気が漏えい(洩)すると、電子銃室にヘリウム ガス を供給しないでも電子 ビーム を発生することがある。 図 3.1 に、電子銃室の許容空気圧を示してある。 電子 ビーム 加速電圧が 40 kV のとき、 電子銃室 の空気圧が 5.5×10-3 (Torr) 以上になると、空気によってプラズマ電子銃が動作することになるので、電子銃室の許容空気圧は 1.5×10-3 (Torr) と している。

3.2 電子ビーム電力の制御性

普通の使用状態では、電子 ビーム 加速電圧を固定して、電子 ビーム 電流を増減することによって電子 ビーム 電力を制御する。

プラズマ電子銃の電子 ビーム 加速電源は、電子 ビーム 加速電圧と電子 ビーム 電流とがそれぞれ独立の帰還制御回路で安定化してあって、しかも電子 ビーム 電流があらかじめ設定された値を越えて流れると 電子 ビーム 加速電圧は自動的にさがるように設計してある。

3.2.1 制御系の周波数応答

3.2.2 電子ビーム電流の安定度

プラズマ電子銃の出力電子 ビーム 電流は、電子銃室の ガス 圧できまるから、電子 ビーム 溶接時に被溶接物から放出される不純 ガス や金属蒸気が電子銃室に入ると、電子 ビーム 電流が変動するおそれがある。図 3.2 は、電子 ビーム電流が一定に保たれるような条件のもとで、SUS 27 板上に電子 ビーム を走らせて電子 ビーム 溶接をしたとき、プラズマ電子銃の出力電子 ビーム 電流が変動するようすを記録した ものである。 溶接開始時と溶接終了時に、電子 ビーム 電流が±3%程度変動しているが、溶接中は制御系の働きで十分補償されているために、設定値どおりの電子 ビーム 電流が流れている。

実際の溶接に際しては,電子 ピーム 電流を プロクラム 制御して, 溶接開始時には電子 ピーム 電流を徐々に増加し, 溶接終了時には電子 ピーム 電流を徐々に減少させるので,被溶接物から発生する不純 ガスや金属蒸気の影響で電子 ピーム 電流が変動することはほとんどないといってよい。

3.3 陰極部の寿命

図3.3は、プラズマ電子銃の陰極部の断面図である。 この 図からもわかるように、プラズマ電子銃の陰極部は、熱陰極電子銃の陰極部にくらべて構造が簡単で、部品はすべて旋盤加工によって製作されているから、寸法精度が高く互換性にすぐれている。

3.3.1 ウエネルト電極の形状

プラズマ 電子銃が安定に動作し、 効率よく電子 $E-\Delta$ 電流が得られるのは、 ウェネルト 電極の形状がつぎの条件を満たしている期間である。表 3.1 に ウェネルト 電極の設計例を示してある (3)(4)。

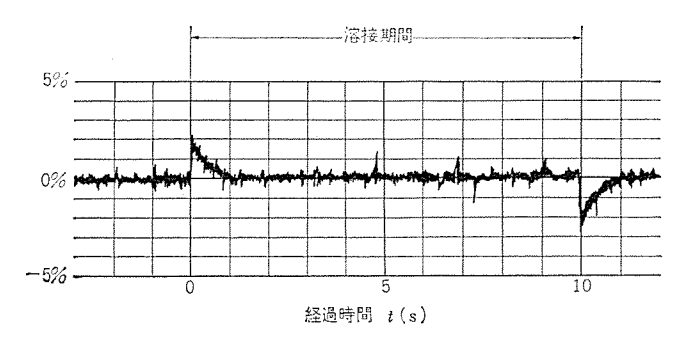


図 3.2 電子 ビーム 溶接時に起こる電子 ビーム 電流の変動 Fluctuation of the electron beam current during an electron beam welding operation.

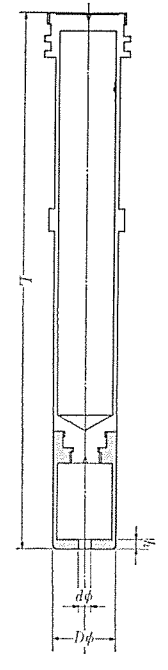


図 3.3 プラズマ電子銃の陰極部 Cathode of the plasma electron beam gun.

表 3.1 ウェネルト電極の形状(設計例) Design examples of the Wehnelt electrode.

	D(mm)	d(mm)	h(mm)	d D	$d^{3}/D^{2}h$
Stauffer によって設計さ	25	7.1	3.2	0.284	0.179
れたウエネルト電極の形状	38	7.9	2.8	0.208	0.120
**************************************	30	7.0	3.85	0.233	0.100
著者が設計したウエネルト	40	9.0	4.50	0.225	0.104
電極の形状	. 50	11.0	5.00	0.220	0.107

$$0.2 \le \frac{d}{D} \le 0.3 \cdot \dots (3.1)$$

$$0.1 \le \frac{d^3}{D^3 h} \le 0.2 \dots (3.2)$$

3.3.2 ウエネルト電極の消耗

プラズマ 電子銃の ウェネルト 電極は、運転中に逆流してくる高速の① イオン が衝突するときに生じる スパッタリング (Sputtering) 切 現象のために徐々に消耗し、電子 ビーム 放出孔の直径 d が大きくなるとともに、面板の厚さ h が減少する。ウェネルト電極各部の消耗速度は、プラズマ電子銃の電子 ビーム 加速電圧、電子 ビーム 電流などで変わるが、実際に鋼材の溶接に使用したウェネルト電極の消耗度を実測した結果をつぎに示す。

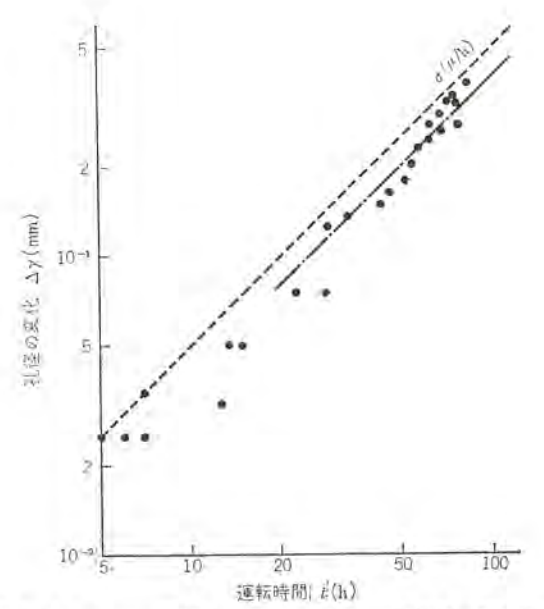


図 3.4 ウエネルト 電極の電子 ビーム 放出孔の半径の経時変化 Variation of the aperture with operation.

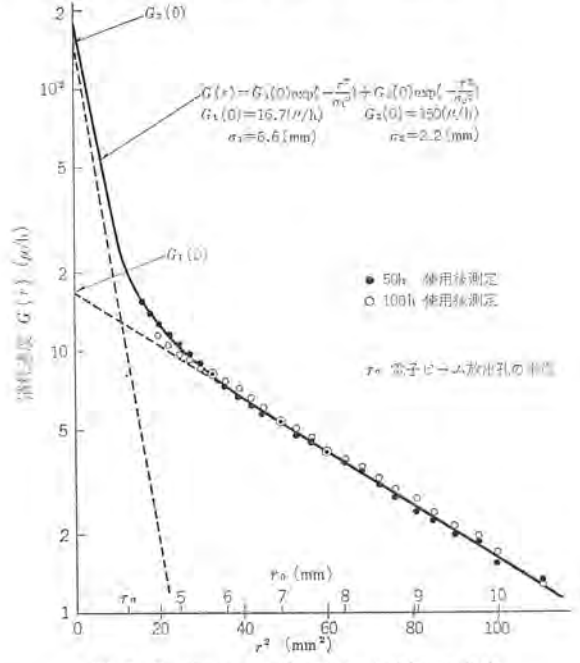


図 3.5 ウエネルト 電極面板の消耗速度分布 Distribution of the consumption rate over the face plate of the Wehnelt electrode.

(1) 電子 ビーム 放出孔の半径の変化

図3.4は、ウェネルト電極の電子 ビーム 放出孔の半径が使用時間とともに大きくなるようすを示している。使用開始直後には消耗速度が若干 バラッキを示しているが、使用時間が50時間を越えると消耗速度の パラッキ が少なくなり、3.5~5.0(µ/b) になっている。

(2) 面板の厚さの変化

図 3. 5 は、ウェネルト 電極の面板各部の消耗速度を示している。50 時間使用後と 100 時間使用後に測定した平均消耗速度 $G(\mathbf{r})$ は、まったく同じ値を示し、ウェネルト電極の中心軸から 5.0 (\mathbf{mm}) の点での消耗速度は $10(\mu/\mathbf{h})$ であることがわかる。

(3) ウエネルト 電極の取換え

ウエネルト 電極の各部が消耗して、 その形状が 式 (3.1) およ び 式 (3.2) を満たさなくなれば、 ウエネルト 電極を取換える 必要がある。 表 3.1 に ※印で示す ウエネルト 電極は、100 時間使用するとその形状 が式(3.2)を満たきなくなる。

ウエネルト 電極を取換えるときは、図3.3 に 示す 陰極部を ユニット にして 電脱する。 消耗するのは ウエネルト 電極だけであるが、 予備の 陰極部 ユニット をあらかじめ組立てておけば、ウエネルト 電極を交換する作業は、陰極部ユニットの 着脱だけでよいので、 所要時間は非常に 短くてすむ。

4. プラズマ電子ビーム溶接機の特性

電子 ビーム 溶接に関する最近の研究によれば、10-2(Torr) 程度の低真空中で溶接した継手と 10-4(Torr) 程度の高真空中で溶接した継手の特性は、ほとんど差がないことが明らかになってきた(0)(7)。 だから、自動車の部品などを量産するのに使用される電子 ビーム 浴接機では、溶接作業室の真空度を 10-2(Torr) 程度にして使用すれば、溶接作業室を真空に排気する時間が短くなり、生産性を高めることができる。

従来から市販されている電子ビーム溶接機では、電子ビーム源が熱 陰極電子銃であるために、溶接作業室を10⁻³(Torr)程度にすることが困難であったが、プラズマ電子ビーム溶接機では、これが可能である。この章では、溶接作業室を油回転ポンプだけで排気する場合について、各部の真空度と排気時間を検討する。

4.1 溶接作業室の排気

電子ビーム 溶接機では、生産性向上の観点から、溶接作業室を真空に排気する時間が長くなることは許されない。所定の時間内に、電子ビーム電力の減衰が起こらない程度の真空に排気する必要がある。

4.1.1 排気時間

溶接作業室の容積と真空配管内の容積の和を $V_0(1)$, 真空排気ポップの 760 (Torr) での排気速度を $S_0(1/s)$ とすると、溶接作業室の真空度が p_0 (Torr) になるまで排気する時間 $t_0(s)$ は次式で与えられる $^{(8)}$ 。

$$\frac{S_0}{V_0}l_0 = \int_{\eta_0}^{\eta_0} \frac{dP}{s(p) \cdot p}$$
 (4.1)

$$s(p_0) \gg \frac{qA}{S_0p_0}$$
(4.3)

ここで、s(p): 規格化排気速度 (= $S(p)/S_0$)

S(p): ガス 圧 p(Torr) における排気速度 (l/s)

Co: 真空配管の分子流に対する コンダクタンス (1/s)

q:壁面の単位面積当たりの ガス 放出量

(Torr l/s·cm2)

A:溶接作業室の壁面の面積 (cm²)

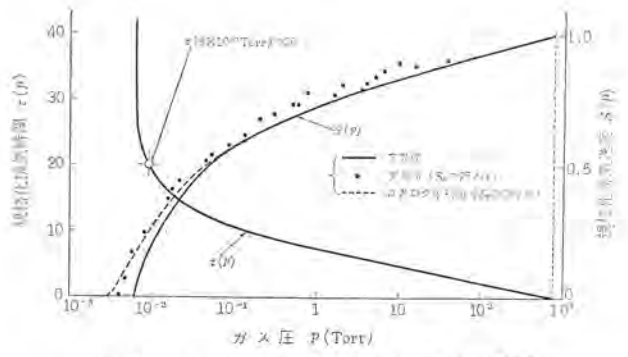


図 4.1 溶接作業室を排気するに要する時間 Time required for evacuating the welding chamber.

図 4.1 化,油回転 ポッテの規格化排気速度 s(p) と、式(4.1) の 右辺の積分結果を規格化排気時間 $\tau(p)$ として示してある。溶接作業室を油回転 ポッテで排気するとき、溶接作業室の真空度は 1×10^{-3} (Torr) にするのが適当であることがわかる。 このとき、 規格化排気時間 $\tau(p_0)=20$ であるから、式 (4.1) から、溶接作業室の排気時間は次式で計算することができる。

$$t_0 = 20 \times \frac{V_0}{S_0}$$
(4.4)

4.1.2 電子ビーム電力の減衰

溶接作業室の $f_{\rm A}$ 圧が0(Torr) のとき被溶接物の溶接個所に入る電子 $E_{\rm B}$ 電子 $E_{\rm B}$ 電子 $E_{\rm B}$ で、(KW) とすると、溶接作業室の $f_{\rm A}$ 圧が $p_{\rm W}$ (Torr) のときに被溶接物の溶接個所に入る電力 W(kW) は次式で与えられる(0)。

$$W = W_0 \exp \left[-\frac{l}{V_A} \times \sum \gamma p_{W} \right]$$
(4.5)

ここで、 Va:電子 ビーム 加速電圧 (kV)

1: 電子の走行距離 (cm)

pw:溶接作業室の ガス 圧 (Torr)

γ: ガスの種類できまる定数

 l/V_0 =1.0 のとき、 W/W_0 ≥0.9 とするためには、 $\Sigma \gamma p_w$ ≤0.154 にする必要がある。 γ (He) \doteqdot 0.90、 γ (Air) =9.6、 p_w (Air) =1×10 $^{-2}$ (Torr) であるから、 p_w (He) \le 5.0×10 $^{-2}$ (Torr) にすればよい。

4.2 真空排気装置

プラズマ電子 ビーム 溶接機の電子銃室および溶接作業室の空気圧および ヘリウム ガス 圧を, それぞれすでに説明した値にするためには, どのような排気 ポップ が必要であるかについて検討する。

4.2.1 電子銃室の排気ポンプ

3. 2. 1 項でのべたように、電子ビーム電力を制御する系統の周波数応答を考慮すると、電子銃室を排気する系の排気速度は S_{60} =70 (l/s) にする必要がある。 しかも、 溶接作業室から流入する空気を排気して、電子銃室の空気圧を 1.5×10^{-8} (Torr) 以下にしなければならない。

(1) ヘリウム ガス の排気

電子銃の陽極部の \land リウム ガス に対する コンダクタンス を $C_A(He)$ (I/s) とすると、電子銃室を排気する真空 ポンプ は、 次式で与えられる排気速度 $S_G(I/s)$ を持つ必要がある。

$$S_G = S_{GG} - \left[1 - \frac{p_W(He)}{p_G(He)}\right] \times C_A(He) \cdots (4.6)$$

 $C_4(\text{He}) = 25(l/s)$ とすると、 $S_G = 55(l/s)$ となる。

(3) 空気の排気

電子銃の陽極部の空気に対する コンダクタンス を $C_A(Air)$ (1/s) とすると、電子銃室を排気する真空 ポンブ は、 次式で与えられる排気速度 $S_G(1/s)$ を持つ必要がある。

$$S_G \ge \begin{bmatrix} p_W(Air) \\ p_G(Air) \end{bmatrix} - 1 \times C_A(Air) \cdots (4.7)$$

- (3) 真空 ポップ の排気速度
- (1) および (2) の結果から、電子銃室の排気 ポップ は、 $\Sigma P_G = 1.22$ (Torr) において、 $S_G = 55$ (1/s) の排気速度を持つ必要がある。

4. 2. 2 溶接作業室の排気ポンプ

溶接作業室を排気する真空 ポップは、 所定時間内に溶接作業室の空気圧を 1×10-2 (Torr) にまで排気するとともに、電子銃室から、

表 4.1 ブラズマ 電子 ビーム 溶接機の真空系の設計 Design of vacuum system for the plasma electron beam welder

	p(Air) (×10⁻⁵ Torr)	p(He) (×10 ⁻² Torr)	S (1/s)	Σρ (×10-2 Torr)	排 気ボンブ	前 考
世子統領	≤0.15	12,0	55	≤12.2	ルーツボンブ	
治療作業室	≤1.0°	≤5.0	≥35**	≤6.0	油回転	$W'W_0 \ge 0.7$

- * 排気所要時間は、 $t_0 = \frac{V_0}{S_0} \times 20$ で与えられる。
- → S0=70 (1/s) に削当する。

溶接作業室に流入する ヘリウム ガス を排気して、溶接作業室の ヘリウム ガス 圧を 5.0×10⁻²(Torr) にするだけの排気速度を持たなければ ならない。

(1) へりりゅ ガス の排気

溶接作業室を排気する真空 ボガ は、次式で与えられる排気速度 Su (1/s) を持つ必要がある。

$$S_W \ge \left[\frac{p_G(\text{He})}{p_W(\text{He})} - 1\right] \times C_d(\text{He}) \cdots (4.8)$$

CA(He)=25(1/s) とすると、Sw≥35(1/s) となる。

(2) 空気の排気

溶接作業室を 760(Torr) から排気して、所定時間 $\mathfrak{s}(s)$ で空気圧 $\mathfrak{e}_{1\times 10^{-9}}$ (Torr) にするためには、溶接作業室を排気する真空ポンプは、 760(Torr) での排気速度 $S_{\mathfrak{o}}$ ($\mathfrak{l}(s)$) が次式を満足しなければならない。

$$S_0 \ge 20 \frac{V_0}{t_0}$$
(4.9)

(3) 真空ボッラの排気速度

溶接作業室の排気 ポップ は、 $\sum p_W = 6.0 \times 10^{-2}$ (Torr) において、 $S_W \ge 35$ (l/s) の排気速度を持つ必要がある。図 4.1 から、 6.0×10^{-2} (Torr) における 規格化排気速度 がs(p) = 0.52 である から、760 (Torr) での排気速度は $S_0 \ge 70$ (l/s) である必要がある。 なお、式(4.9) できまる排気速度が 70(l/s) 以上であるときは、溶接作業室を排気する真空ポップの排気速度は式(4.9) できまる。

4. 2. 3 まとめ

表 4. 1 に、電子銃室および溶接作業室の排気について、これまでに検討した結果をまとめてある。この表からもわかるように、 ブラズマ 電子 ビーム 溶接機では、電子銃室を排気する真空 ポンプ は ルーツ (roots) ボンプ、溶接作業室を排気する真空 ポンプ は油回転 ポンプ がそれぞれ適当である。

5. プラズマ電子ビーム溶接機の溶接性能

との章では、完成した プラズマ 電子 ビーム 溶接機の溶接性能として、 鉄・鋼・アルミニウム 系の合金と チタン について、溶け込みのようすと、 継手性能の試験結果の一端とを示す。

5.1 各種材料における溶け込み性能

図 5.1 は、厚き 12.5(mm) の板上に得られた ビード(bead) の断面 写真を示している。溶接条件は、いずれもつぎのとおりで、それぞ れ溶け込み深さが 12.5(mm) になるときの溶接速度を示してある。

- (1) 電子 ビーム 加速電圧 VA=30 (kV)
- (2) 電子ビーム 電流

 $I_B = 250 \; (mA)$

(3) 溶接作業室真空度

 $p_W \le 1 \times 10^{-2} (Torr)$

ビーム 断面の形状は、わん(椀)部と脚部とからなり、いわゆる ワイ

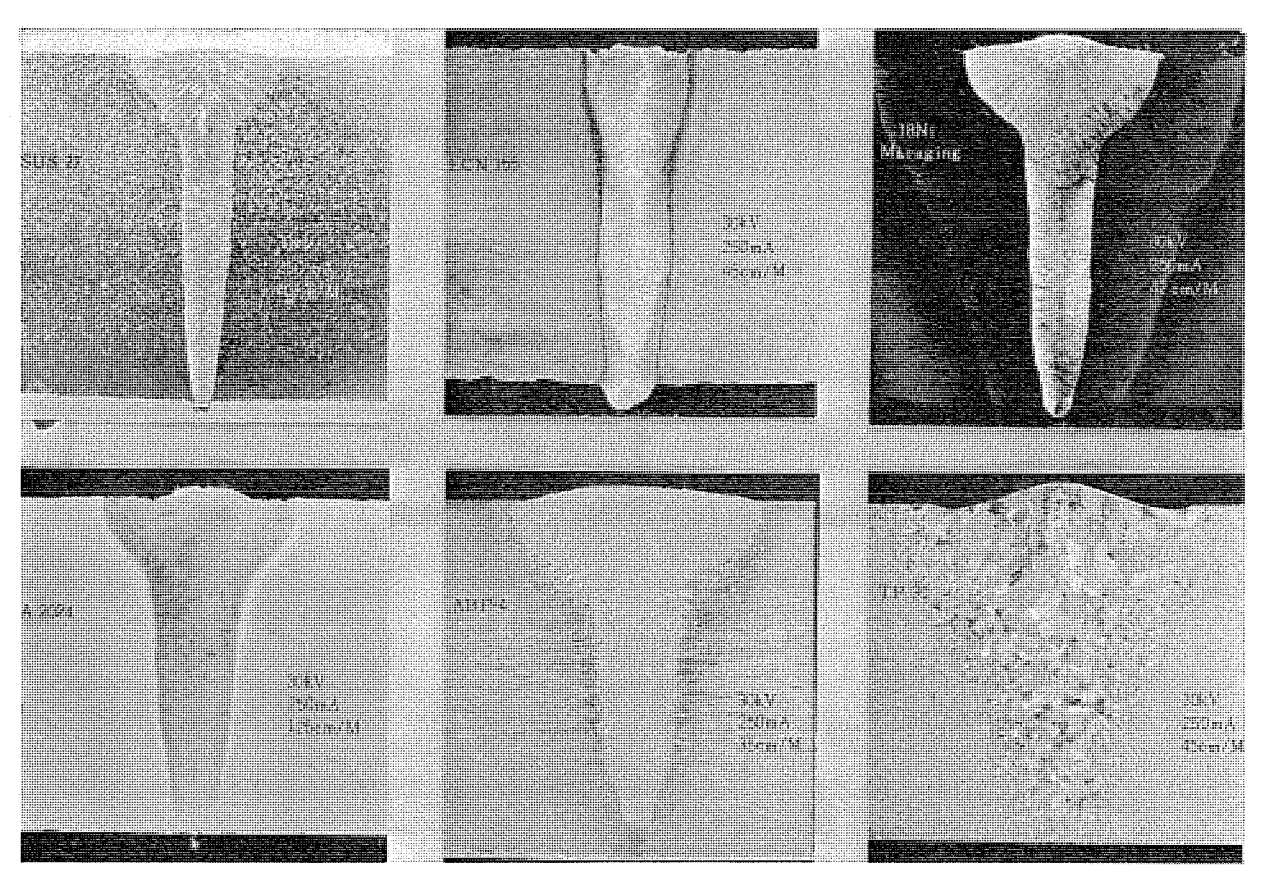


図 5.1 各種材料における ビード の断面

Cross-section of the bead on plate of various materials.

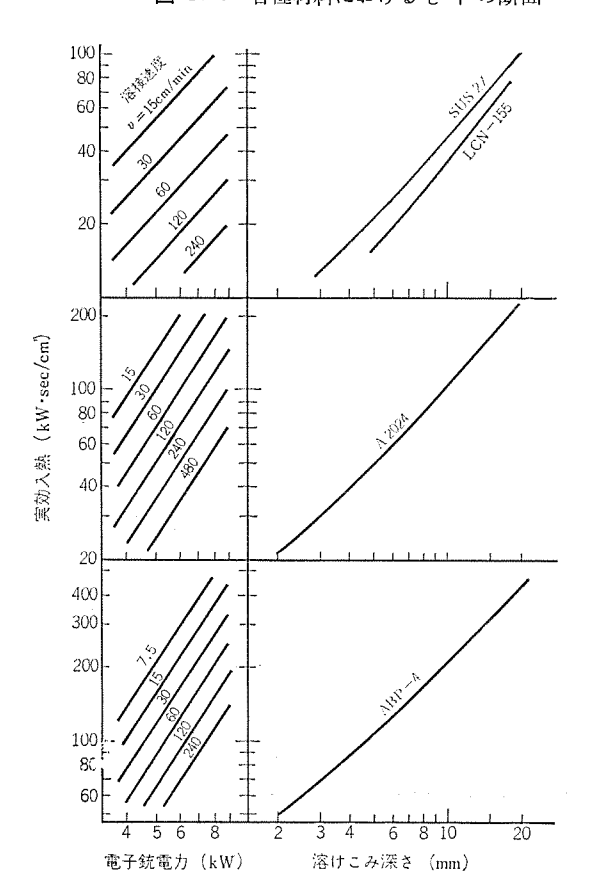


図 5.2 プラズマ 電子 ビーム 溶接機の溶接性能 Performance of the plasma electron beam welder.

マカップ (wine cup) 状で、従来の電子 ビーム 溶接機で得られる ビード の断面形状とくらべると、わん部が若干大きくなっている。これは、 低真空中溶接であることと、プラズマ 電子 ビーム 溶接機の電子 ビーム の

表 5.1 供試材の化学成分 Chemical composition of tested materials.

材料			化	学	成	分	%		
17 47	С	Si	Mn	Cr	Ni	Мо	w	Со	Al
SUS 27	0.07	0.76	1.15	18,24	8.85	_		_	
LCN 155	0.11	0.50	1.53	21.38	19.75	3.06	2.48	19.43	Nb+Ta 1.04
TP 35	0.043		_				Fe <0.007	N 0.081	O 0.0039
ABP 4			0.83		4.87		Fe 3.27	Cu 81.26	9.57

性質とによるものである。

なお、比較的に清浄度の低い材料または継手に深い溶け込みの溶接を行なうとき、ビード断面の形状がワインカップ状になる条件にすると、スパッタ(Sputter)の発生が抑止されて、ビード表面をきわめて平滑にするととができる。

図 5.2 は、電子 ビーム加速電圧が 30(kV) のとき、各種材料の厚板上に得た ビードの深さと溶接条件の関係を実験的に求め、その結果を整理したものである。実際の溶接では、被溶接物の形状・寸法などが溶接結果に影響を及ぼすので、実物 サンプル を溶接して、溶接条件をきめる必要がある。

5.2 各種材料の継手性能

プラズマ電子 ビーム 溶接機で溶接された継手の性能を示す。表 5.1 に、試験した材料とその化学成分を示してある。継手性能の試験項目は、引張試験・衝撃試験・疲れ試験・かたさ試験などで、あわせて、溶融部の顕微鏡組織観察をおこなった。

5.2.1 試験片の作業

図 5.3 に、試験片作製の要領を示してある。幅 200(mm)×長さ 350(mm)×厚さ 12.5(mm) の板材において、 溶け込み深さ が 12.5

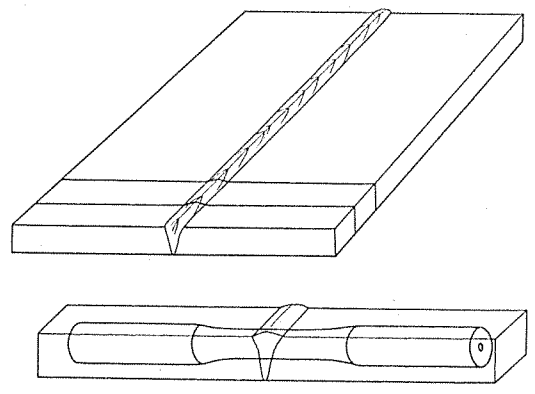


図 5.3 試験片の作製 Preparation of test pieces.

表 5.2 引張試験の結果 Results of tension test.

材料	印	材	ブラズ-	マ電子ビーム	公溶接料	ł	
$egin{pmatrix} \mathcal{A} & \hat{\mathbf{M}} & \hat{\mathbf{M}} \\ T.S: 引張強さ \\ E: 伸び \end{pmatrix}$	引張強さ kg/mm ²	伸び %	溶接条件*	引張強さ kg/mm²	伸び %	酸斯位置	
SUS 27 T. S≧52 kg/mm²	66.4 66.8 66.7	62.2 61.8 62.0	V=30 kV IB=250 mA υ=400 mm/M	63.2 62.9 62.9 63.1	40,4 40,4 42,6 40,6	ச் – ஈடிம்	
E≥50%	x=66.6	62.0		63.0	40.8		
TP 35 T. S≧35 kg/mm² E≧23 %	35.7 35.7 35.9 35.8	36.6 35.4 35.4 35.8	30 kV 250 mA 450 mm/M	37.2 37.4 37.9 37.3	26.0 24.4 24.5 23.9 24.7	D: 43	
ABP 4 T. S≥63 kg/mm ² E≥10%	78.4 78.1 78.6 78.4	28.2 28.0 28.0 28.1	30 kV 250 mA 350 mm/M	77.0 77.2 77.0 76.5	18.3 16.7 18.4 16.2	13 材	
LCN 155 T. S≥75 kg/mm ² E(3.540)≥20 %	79.5 79.2 79.5 79.4	36.0 35.2 35.4 35.5	30 kV 250 mA 450 mm/M	80.2 78.8 79.9 79.4 79.6	28.5 30.0 26.5 28.5 28.4	ሮ ዩփ心	

^{*} V:電子ビーム加速電圧 IB:電子ビーム電流 v:溶接速度

(mm) になる条件で、 板幅の中央部に長手方向に ビードを走らせ、 溶融個所が試験片の中央部になるように加工した。いずれも、後熱 処理を加えないで試験に供した。

5.2.2 引張試験

(1) 試験片

試験片は、JIS の引張試験片の規格に基づく 4 号試験片に相当するもので、各部の寸法はつぎのとおりである。

平行部の直径

 $D=7.5 \phi \text{ (mm)}$

平行部の長さ

 $P=60 \phi \text{ (mm)}$

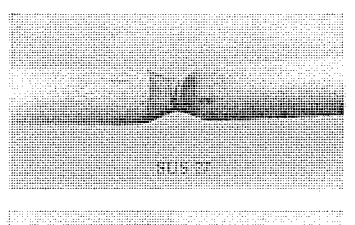
標点距離

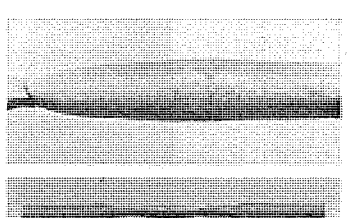
 $L=50 \phi \text{ (mm)}$

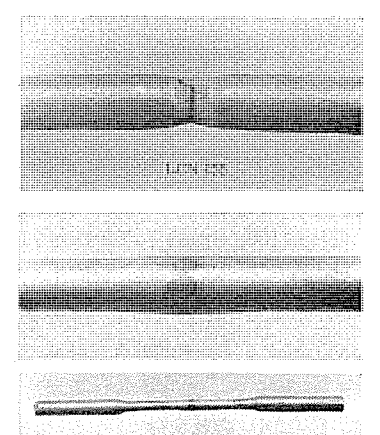
(2) 試験結果

表 5.2 に試験結果をまとめ、図 5.4 に引張試験によって破断した位置と溶融個所が変形したようすを示している。

プラズマ電子 ビーム 溶接機で溶接された継手と母材の特性をくらべると、いずれも継手効率は95%以上で、伸び率は60%前後を示す。溶融個所の変形のようすと破断位置とは材料によって異なり、図5.3によれば、SUS27とLCN155では溶融個所がくびれて破断し、TP35とABP4では溶融個所はほとんど変形せず、母材の部分が破断している。







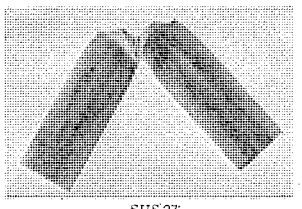
TP 35

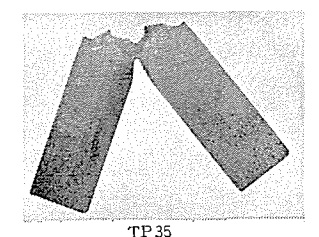
ABP 4

図 5.4 引張試験による破断のようす Fractured pieces in tension test.

表 5.3 衝撃試験の結果 Results of charpy impact test.

r, r, r						
材料	衝	寮	值 kg·m/cm²			
171 171	£):	材	プラズマ電子ビーム溶接	籾		
	36.1		34.9			
	35.9		37.4			
SUS 27	33.6 36.9		37.4			
	36.9		37.4			
	35.1		36.8			
	28.7		21,2	•		
	27.8		21,2			
TP 35	28.7		22.2			
11 00	30.1 29.1		23.3			
	28.9		22.1			
	5.3		1.5			
	5.0		1.5			
ABP 4	4.3		1.5			
	5.3		1.3			
	4.9		1.5			
	10.8		11.5			
	10.8		11.6			
LCN 155	10.8		10.5			
LOIT (33	10.7 10.4		10.3			
	10.7		11.0			





SUS 27







LCN 155

ABP 4

図 5.5 衝撃試験による破断のようす Fractured pieces in charpy impact test.

5.2.3 衝擊試験

(1) 試験片

試験片は, JIS の衝撃試験片の規格に基づく3号試験片を用いた。

なお, 溶融 個所の中央に切欠きをいれている。

(2) 試験結果

表 5.3 に試験結果をまとめ、図 5.5 に衝撃試験による破断のようすを示している。

ブラズマ電子 ビーム 溶接機で溶接された維手を 母材の特性とくらべると、SUS 27 と LCN 155 では衝撃抵抗が 100 %を示し、TP 35 で 75 %、ABP 4 で 30 %になっている。 なお、SUS 27、LCN 155 および TP 35 では溶融個所の中央で破断しているのに対して、ABP 4 は溶融部と非溶融部の境界で破断している。

5.2.4 疲れ試験

小野式回転曲げ疲れ試験機を使って、SUS 27 および TP 35 について試験した。

(1) 試験片

引張試験片と同様の形状とし、各部の寸法はつぎ のとおり。

平行部の直径 $D=7.5 \phi \text{ (mm)}$ 平行部の長さ P=35 (mm)

(2) 試験結果

表 5.4 に試験結果をまとめてある。

プラズマ電子 ビーム 溶接機で溶接された維手を 母材 の特性とくらべると、 SUS 27 では疲れ強さ は 100% であるのに対し、 TP 35 では若干小さくなっている。 なお、 SUS 27 は母材部で破断したのに対して、 TP 35 は溶融個所が破断した。

5.2.5 かたさ試験

ビッカース かたさ試験機を使い、SUS 27 および TP 35 について、500(g) の荷重で試験した。

図 5.6 に試験結果を示す。SUS 27 では、熱影響 部 (溶融部の周辺で非溶融部分) のかたさが若干高

表 5.4 疲れ試験の結果 Results of fatigue test.

日 村		プラズマ電子ビーム溶接材		
材 料	緩 れ 強 さ kg/mm ² (107 サイクル)	疲れ難さ kg/mm ² (10 ⁷ サイタル)	被斯位置	
SUS 27	22	24	05 材 部	
TP 35	25	22	浴雕侧所	

7.5 φ (mm) 小野式 回転曲げ疲れ試験機

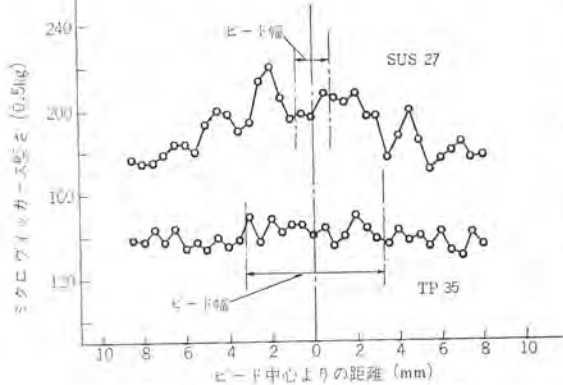
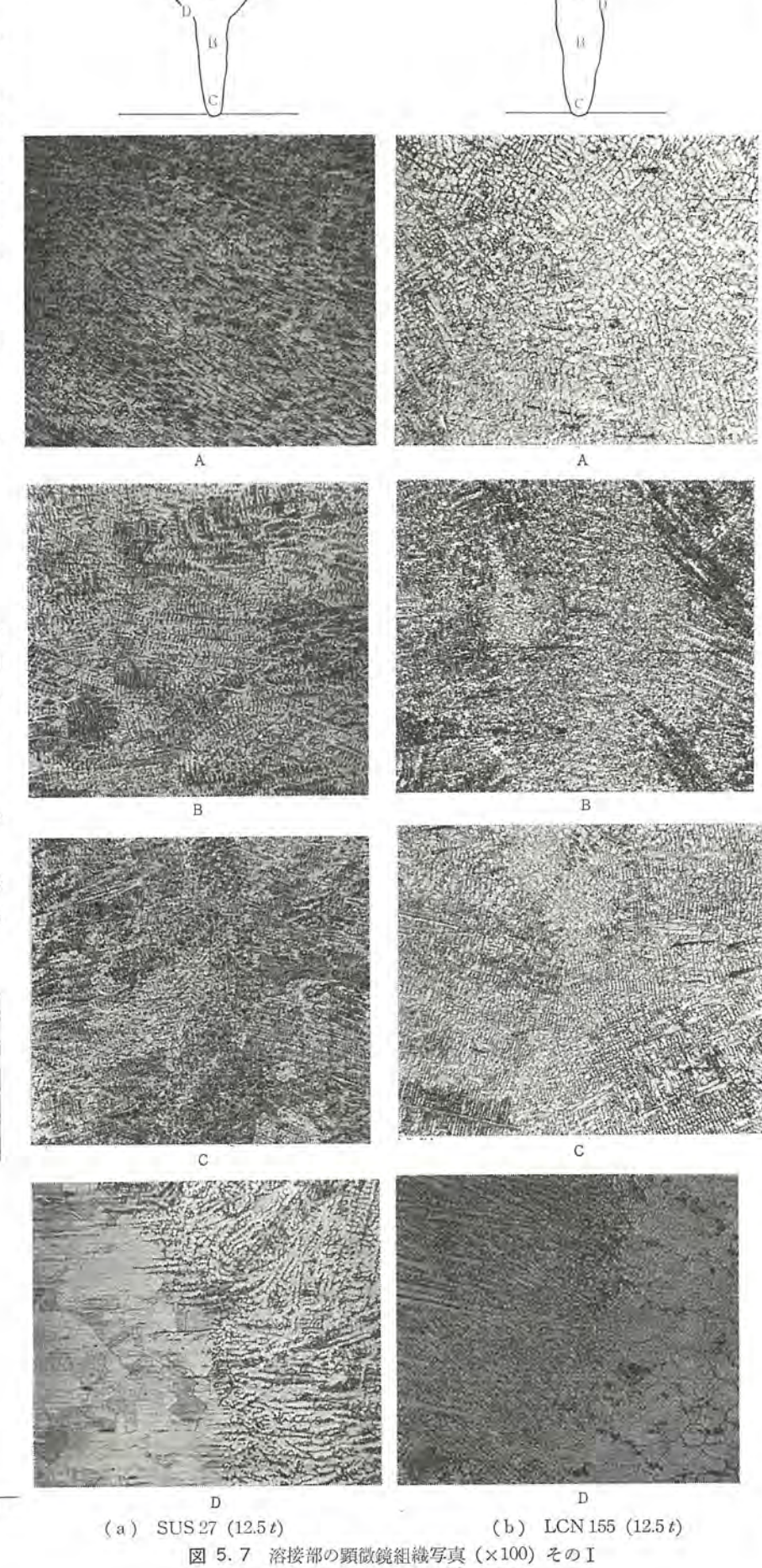


図 5.6 溶接部断面のかたさ分布 Hardness distribution of weldment.



Micro-structure of weldments.

D (c) TP 35 (12.5t) (d) ABP 4 (12.5t) 図 5.7 溶接部の顕微鏡組織写真 (×100) そのII Micro-structure of weldments.

くなり、TP 35 ではかたさの変化は認められない。

5.2.6 顕微鏡組織

図5.7の(a)~(d)に各材料の溶融部の顕微鏡 組織写真を示す。SUS 27 と LCN 155では、熱影響 部の範囲が狭く、結晶粒の粗大化の程度がすくない のに対して、TP 35 と ABP 4 では熱影響部の 範囲 が若干広く、結晶粒もやや大きくなっている。

6. 自動車用歯車の溶接例

自動車の部品は多量生産品の典形的な例であり、 それだけに、自動化・省力化・高速化を中心とする 生産性向上策がきびしく追求されている。なかでも、 駆動機構関係の部品工作には早くから電子 ビーム 溶 接の適用が検討されている。

自動車の部品は、プラズマ電子 ビーム 溶接機にとって、その特長を十分に発揮することのできる格好の対象と言うことができるので、トランスミッション ギヤ を 例にとって、プラズマ電子 ビーム 溶接機による溶接例を示す。

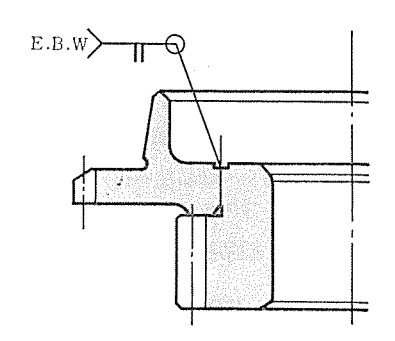
図 6.1 は、トランスミッションギャの例で、2 枚の歯車をそれぞれ別々に切削加工したあと、これらが最終工程で電子 ビーム 溶接により一体化され、溶接後に浸炭・焼入れされて完成する。

図 6.2 は、継手部に幅 2.2(mm)、深さ 0.5(mm) のみぞをもった歯車の例で、みぞ縁を溶かすことなく 4.0(mm) の溶け込みを得ている。

プラズマ電子 ビーム 溶接機で溶接した樹車の内径 および歯形の変形・変寸について検討した結果、浸炭・焼入れによる変形・変寸よりも小さい値を示した。なお、内径変化は、2 校の歯車の シメ しろや継手厚比など、継手設計によって左右されるので、実際に適用する場合には実物サンプルを溶接して、十分に検討する必要がある。



図 6.1 自動車用歯車の溶接例 Example of welded gear.



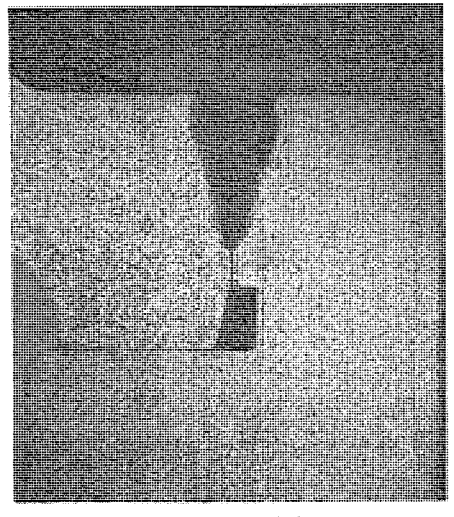


図 6.2 自動車用歯車の断面 Cross-section of welded gear.

まえにのべたような自動車用トランスミッション ギャの溶接では、溶接速度は 1,500 (mm/min) 以上で、タクトタイム (tact time) は 30 秒以下という高速溶接ができる。しかも、2 枚の歯車はそれぞれ別々に切削加工されるので、一体加工のためのにげしろが不要で、生産性向上だけでなく、部品の コンパクト 化・軽量化にも役立つ。

なお、プラズマ電子 ビーム 溶接機によって得られる溶接 ビードは、従来の電子 ビーム 溶接機で得られる溶接 ビードにくらべて、スパッタがほとんどなく、ビード表面が平滑であるため、溶接後に加工や清掃をする必要はまったくない。

7. む す び

プラズマ 電子 ビーム 溶接機の特性および溶接性能の一端について のべた。

プラズマ電子 ビーム 溶接機の電子 ビーム 源である プラズマ電子銃は、従来の電子 ビーム 溶接機の電子 ビーム 源である熱陰極電子銃にくらべて、 低真空で動作させても陰極部の寿命が 10 倍も 長いので、プラズマ電子 ビーム 溶接機では、溶接作業室の 空気圧を 1×10-2(Torr) にして使用することができる。 したがって、溶接作業室を油回転 ポップ だけで排気して、排気時間の短縮をはかることができ、自動車の部品などの多量生産を目的として使用する電子 ビーム 溶接機として適した特性をもっている。

他方、プラズマ電子 ビーム 溶接機の電子 ビーム の直径は、従来の電子 ビーム 溶接機の電子 ビーム にくらべて若干太いために、ビード 断面の形 状はわん部と脚部からなりわん部が若干大きい。 その結果、スパッタ がすくなく、ビード 表面が平滑になるという特長がある。

プラズマ 電子 ビーム 溶接機で溶接した継手の性能は、 継手の材料・形状・寸法・などに左右されるが、この報告に載せた例に関する限りでは、95%以上の継手効率が得られるなど 継手の機械的性質 は良好であるといえる。

参考文献

- (1) 上山ほか:三菱電機技報, 44, No. 10, 1,295 (昭 45)
- (2) 上山:溶接技術, 19, No. 3, 47 (昭 46)
- (3) Ueyama, T. et. al: Mitsubishi Denki Labolatory Report, 12, No. 2 (1971)
- (4) Morley, J. R. et. al: Proceeding of the Electron Beam Symposium-Sixth Annual Meeting, 66 (1964)
- (5) Kaminsky, M.: Atomic and Ionic Impact Phenomena on Metal Surfaces, Springer, Berlin, (1966).
- (6) Meyer, W. E. et. al: Schweitzen und Schneiden Jahrgang 20, Heft 6, 261 (1968)
- (7) 橋本ほか:溶接学会誌, 38, No, 10, 1,097 (昭 44)
- (8) 中川ほか: 真空装置(日刊工業新聞社, 真空技術講座 5 昭 40)
- (9) Meyer, W. E. et. al: Welding and Metal Fablication, 38, No. 3, 119 (1970)



特許と新案

ミシンの油回収装置

考案者 森 田 稔・山 野 稔 夫

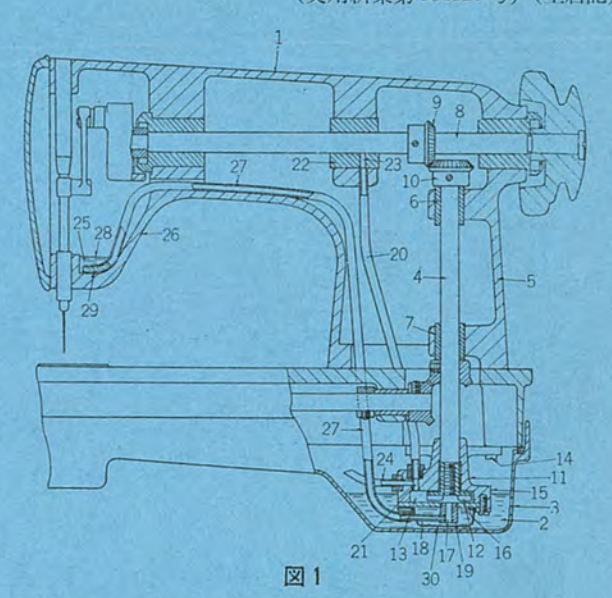
この考案は、ミシンアームの底部に設けられた油タンク内の潤滑油に 浸漬され、上軸の回転とともにアーム内の各給油部を強制的に潤滑 する従来周知の油ポンプを利用して、アーム内の廃油だめの油を油タンクに回収しようとするものである。

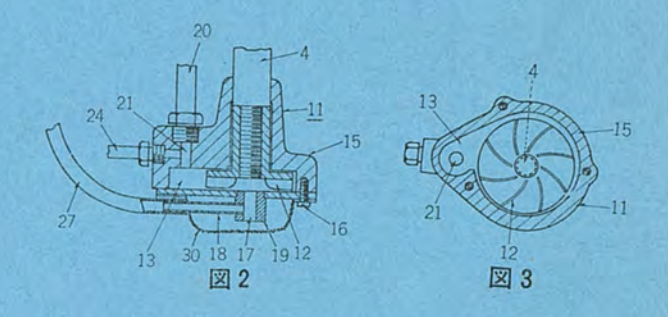
図において、(1)は底部に潤滑油(2)を集蔵する油タンク(3)を 設けた ミシンアーム, (4) はこの ミシンアーム (1) の脚部 (5) 内におい て, 軸受(6)(7)により回転自在に支承された縦軸で, この縦軸 (4)はかさ歯車(9)(10)を介して上軸(8)により駆動されるように なされている。(11)は上記縦軸(4)によって駆動される油ポップで、 この油ポップ(11)は上記縦軸(4)の下垂端に定着されたうず巻形羽 根車(12)と、この羽根車を収納したうず形室(13)を有する ケーシング (15)とにより構成されている。そうして、上記うず形室(13)の底部 を閉鎖するふた板(16)には主吸入口(17)と、この主吸入口に連通す る副吸入管(16)とを有する ブッシュ(19)が定着されている。(20)は一 端を上記油ポップ(11)の吐出口(21)に、また他端をミシンアーム内の給 油部, たとえば上記上軸(8)を支承する軸受(22)の給油口(23)にそ れぞれ接続された給油管、(24)は上記油ポップ(11)の吐出口(21)に一 端を接続し、他端を他の給油部に接続した給油管、(25)は上記 => ンア-ム (1)の自由端あご部(26)の底部に設けられた廃油だめ、(27) はこの廃油だめ(25)に集蔵された廃油(28)に一端を浸漬し、他端を 上記油ポップ(11)の副吸入管(18)に接続した廃油回収用の送油管で、 この送油管(27)の廃油だめ側には フイルタ用の フェルト(29) がそう入さ れている。 (30)は上記油 ポンプ(11)の底部をおおう フイルタ 用の金網 である。

この考案は上記のように構成されているので、油ポップ(11)の回転に伴い負圧になった主吸入口(17)に連通している送油管(27)は、フイルタ用のフェルト(29)を介して廃油だめ(25)の廃油(28)を吸引し、主吸入口(17)から再び給油管(20)(24)に送出されるものである。

この考案は、上述したように、油ポンプ(11)の吸入口(17)の負圧を 利用して廃油だめ(25)の油を回収するようにしたから、油ポンプ(11) の効率を阻害するようなことがない。また、従来のように、廃油だめの油を回収するために、給油用ポンプの他に別個に回収用ポンプを設けたものと比較して著しく安価に提供しうるばかりでなく、この考案の回収装置はきわめて簡単に構成されているので、ミシンへの装着がすこぶる容易である効果もある。

(実用新案第864310号)(上居記)





ポンプの制御装置

考案者加来政博

この考案は、送水管路を介し一地点から需要地点へポップにより送水する場合に、需要端における圧力を需要流量にかかわらず、一定に保持するようにポップを制御する装置に関するものである。

図1において、送水管路中の オリフィス(5)の前後の差圧を差圧発 振器(6)により検出して、流量の2乗に比例した信号を得、変換器 (8)を介して関数発生器(10)に導入する。関数発生器(10)は図3に示すごとく、需要端の液体圧力を一定値とした場合における流量と、ポンプの適正回転数との関係に入力一出力特性が調整されている。上記関数発生器(10)の出力と、ポンプ回転数に比例した信号を導出するパイロット発電機(18)の出力とを、偏差増幅器(19)により比較して差

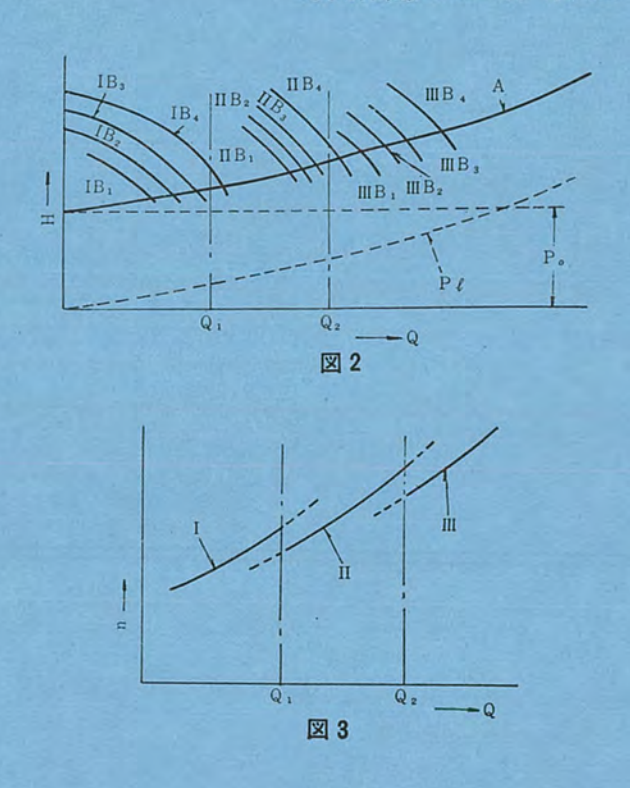
電圧を求め、この差電圧が零となるよう液体抵抗器(12)の値を調整 して、ポップ駆動用電動機(11)の回転数を制御するものである。

なお、図 3 における(I)(II)(II)はおのおの図 1 における関数発生器(10_1)(10_2)(10_3)の入力一出力特性を示すものであり、おのおのポップが 1 台、 2 台、 3 台運転の場合を示すものである。

この考案によれば従来方式に比べ、送水管の水圧を検出する圧力 検出機構が不要でポップの制御系が簡単となり、制御安定度も増す。 また関数発生器を適当に調整すれば、ポップがキャビテーションを起こす

不安定域で運転されることを防止できる。 互いに複数の ポップを並 列運転する場合に、 各ポップ は関数発生器からの同一信号により、 この回転数が制御され自動的にせん(揃)速されるので別にせん速装 置を要しない等の利点を有するものである。

(実用新案第860806号) (伊藤記)

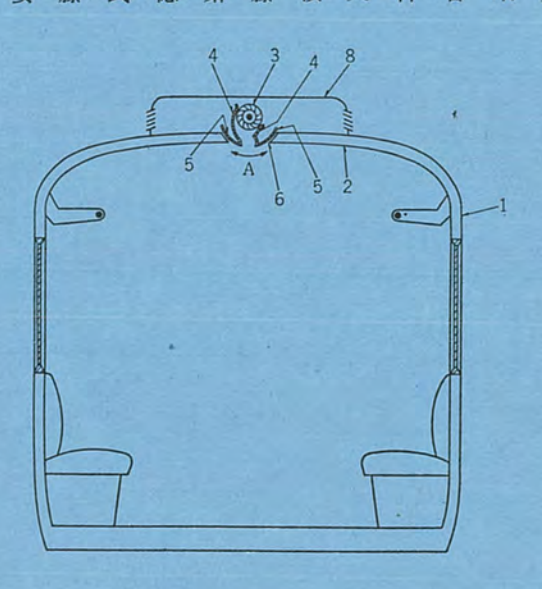


車両の天井送風装置

考案者 安藤武徳・斎藤禎夫・神谷昭美

この考案は、鉄道車両あるいは乗合自動車等の天井に設ける換気 用送風装置に関するものである。

図に示す実施例について説明すると、(3)は横断流送風機で、車両(1)の天井面(2)の上部に車両(1)の長手方向に連続的または千島状に配置したものの一つである。(6)は送風 スリットで、送風機(3)の配設部に対応させて天井面(2)に車両(1)の長手方向に連続または千島状に設けてある。そして送風機(3)のケーシング(4)の吐出端部を スリット(6)に臨ませ、さらにこの吐出端部に円弧状の フィン(5)を設けて、このフィン(5)と スリット(6)の両縁との間に、フィン(5)を設けて、このフィン(5)と スリット(6)の両縁との間に、フィン(5)の円弧に沿ったケーシング(4)の弧回動に必要な最小限のすき間を形成してある。このように構成すると、従来の軸流形送風機を使用した場合と比較して、騒音の低減、小形化、送風の均一化、駆動モートル数の削減、送風の静圧の増大、および室内の居住性の向上の点ですぐれた効果が得られる。(実用新案第914393号)(村松記)



省力化の投資限界

高田眞蔵*

Limit of Investment for Labor Saving

Head Office Sinzo TAKADA

To overcome the difficulty arising by the rise of wages and shortage of lavor and elevate the productivity in industries, mechanization, automatization and full utilization of computer technique in the working processes by the adequate investment are indispensable means. But it causes the increase of proper amount of new investment. There must be a scale to measure the amount of money and deliberate corelation between the effect of improving the productivity and of the increase of the investment. In other words, it is nesessary to find out what amount of money is worthwhile to spend to save the labor of how many persons. In this article is discussed what parameters exist in this solution represented by an equation.

1. まえがき

労働力の枯渇,労働賃金の上昇に対応して、これらを克服して生産性を高め利益を確保するためには、労働力を機械力に置き換えることが効果的である。しかもこれを個々の作業の機械化だけでなく、システムとしてフローに乗るような機械化が最も大きな効果を期待できる。受注一設計製図一工程一部品製作一検査一組立一塗装一試験一包装一発送一倉庫保管一納入等,個々の分野での合理化はもちろん、トータルシステムとしての合理化、すなわち最小の工数で、かつ最小のインペントリーで、所要のときに信頼性の高い製品を供給することが合理化の目的とも言える。これらを満足させる機械化、コンピュータ化には多額の資金が必要である。別の表現をすれば、1人当たりの生産性を高め、少ない人間で大きい生産を上げるためには、適切な投資が必要となってくる。また、近来作業に従事する従業員の人間性の尊重や、公害防止のための直接には利益につながらない資金の回収やコストアップも、合理化投資によって吸収されなければならない。

それなら少ない人間で生産性を上げた効果と、これに伴う投資との関連性を示すスケールができないか、言いかえれば、何人の従業員に見合う投資額はいくらなのか、これを取り上げて述べてみたい。

2. 労働力の動向

2.1 労働力の枯渇

労働力が将来どうなるかを考える場合に、まず第一に日本の労働人口がどう推移するのか、新規労働力の供給源となる、中学卒・高校卒・大学卒の年度別推移がどうなるのか、これらの労働力がどういう分野に流れる傾向があるのか、これら労働力を得るための前提になる傾向と、賃金の上昇とを考えに入れて、資金に適切な機械化・自動化を進めなくてはならない。

労働人口を15歳から64歳までとした労働人口の将来推計を表 2.1で見てみると、人口の延び率は今後は非常に小さくなり、将来 1億2,000万余りを頂上として減少時代を迎えるようになる。これ は14歳までの労働力予備軍とも言える人口が現在を頂上として、 これから減少時代に入ることを示している。

労働人口そのものも、 増加の延び率は小さく、 昭和70年を頂上 として減少時代にはいる。これに反して65歳以上の老齢者数は、毎 年増加していき、昭和70年には現在の2倍以上にもなる。

2.2 労働力の内容の変化

次に表 2、2で中卒・高卒・大卒の推移を見てみると、表 2、2のように 36年~40年の平均で、約50%であった中卒が、50年では 15.7%と非常な勢いで減少してしまい、高卒は 41%であったものが、50年で 58.9%と大幅な増加をしてくる。大卒は 9.7%であったものが、50年には 25.4%と新規学卒の 1/4以上は大学卒ということになる。労働力の中心は、高校卒、もしくは大学卒ということは、彼等が従事する知的・肉体的業務の内容も、それなりに高度であることが望ましく、いわゆる単純肉体労働的な分野での求人難は、ますますひどくなることが予測される。このような新規学卒が投入される分野も従来の比率のままではなく、生活程度の向上にともなって労働環境のいかんが選択のための大きな条件の一つとなってきている。

表 2.1 将来推計人口 Estimated population of future.

(単位 干人,カッコ内は総人口100としての%)

昭和	H-	0 ~ 14	15 ~ 64	65 以上
30	89,276	29,798	54,730	4,748
	(100)	(33,4)	(61.3)	(5.3)
40	98,403	24,767	67,453	6,183
	(100)	(25,2)	(68.5)	(6.3)
45	103,327	23,810 (23.0)	72,162 (69.8)	7,355 (7.1)
50.	108,635 (100)	24,620 (22,7)	75,259 (69.3)	8,756 (8,1)
55	113,265 (100)	25,087 (22,2)	77,882 (68.8)	10,296
60 116,458 (100)		24,335	80,617	11,506
		(20.9)	(69.2)	(9.9)
65	118,619	22,722	82,825	13,072
	(100)	(19.2)	(69.8)	(11.0)
70	120,225 (100)	21,545 (17.9)	83,357 (69.3)	15,323 (12.9)
75	121,353	21,362	82,363	17,628
	(100)	(17.6)	(67.9)	(14,5)
80	121,698	21,484	80,724	19,493
	(100)	(17.7)	(66.3)	(16.0)
85	120,817	21,124	78,291	21,402
	(100)	(17.5)	(64.8)	(17.7)
90	119 015	20,226	74,941 (63.0)	23,848 (20.0)

資料:厚生省人口問題研究所(男女年齢別将来推計人口)

表 2.2 学歷別新規学卒就職者

New employees classified according to educational course.

(単位 万人,カッコ内%)

·			(2)412 ////	77 7 -1 3/07
	計	中 学	高校	短大・大
31~35 年平均	125(100)	78(62.5)	38(30.4)	9(7.1)
36~40 年平均	132(100)	65(49.2)	54(41.0)	13(9.7)
41年3月卒	149(100)	52(34.9)	82(55)	15(10.1)
42年3月卒	146(100)	45(30.5)	84(57.5)	17(11.9)
43 年 3 月 卒	148(100)	40(27.4)	86(58.3)	21(14.3)
44 年 3 月 卒	143(100)	35(24.6)	84 (58.4)	24(17)
45年3月卒	136(100)	31(23)	76(56.1)	28(20.9)
46年3月卒	135(100)	28(20.7)	77 (57.2)	30(22)
47年3月卒	129(100)	24(18.7)	72(56.1)	32(24.2)
48年3月卒	125(100)	22(17.2)	71 (57.0)	34(25.8)
49年3月卒	122(100)	21(16.9)	71(58.3)	30(24.8)
50年3月卒	117(100)	18(15.7)	69(58.9)	30(25.4)

注) 高校は全日制 短大,大学は(高専を含む)昼間制 資料:文部省学校基本調查 勞働省職業安定局推計

3. 投資との関連

3.1 賃金の上昇

労働力の枯渇や質的労働力の変化と、もら一つの大きな条件は賃 金の上昇である。G. N. P. の伸びに比例して、 国民所得も毎年増加 している。特に賃金所得者の毎年の上昇率はめざましいものがある。 これが生産性の上昇に見合う範囲である場合には問題ないが、賃金 上昇のほうが生産性の上昇を上回る場合には, いわゆる コストの上 昇の源泉となり、コストインフレ の現象となってくる。また、これを防 ぐための投資が不適当に大きくなると、この投資のための金利や債 却が過大となり、 逆に コスト 上昇の原因ともなるので適正なる投資 は非常にたいせつなことであり、特に省力化のための投資には、こ の経済性の検討が必要かくべからざる前提条件である。 表 3.1 に 見られるように、 G. N. P. は、1969 年に西独をぬいて自由世界 第 2位となったが、人口1人当たりの所得で見ると表3.2のように 人口千万人以上の自由世界の国の中でまだ第8位である。表3.3 に主要な国の G. N. P. (国民総生産を言い、個人消費支出・民間設 備投資・財政支出・輸出の総計を言う)の伸びを示す数値を示して あるが、1960年には、英国や ドイツの 2/3 もなく、米国の 1/12 しか なかった G. N. P. が 1970 年には英国や ドイツ を追い抜き, 1975 年に は英国の3倍, ドイツの2倍, アメリカの1/3という大きな値となる ことが予測されている。

表 3.4 に賃金上昇率の伸びを示しているが、上昇率は毎年上昇を続け、45 年度には、平均上昇率 18.5% にもなっている。5 か年の平均上昇率は14% になっている。 この上昇率は、これから先、何年ぐらい続くのか、上昇率は先で低下するのか、これから5 年先まで、10 年先までの上昇率はいくらに考えたらよいのか、と言うことは、経済計算を行なり場合には、大きな前提条件となってくる。

3.2 省力化に対応する投資額

省力化,すなわち労働力の節約を機械化によって行なう場合,これに必要な資金は対象とする設備に支払われる。設備は経済耐用年数があらかじめ決められると,毎年の債却費,金利,運転による経費増が節約した労働力の人件費(人件費の毎年の上昇率を加味した年費用)の総額と見合う値でなければならない。労働力の入手は,場所により大きな相異がある。大都市周辺は非常に困難ではあるが,

表 3.1 G.N.P.の順位 Ranking of G.N.P.

(1969 年経済企画庁調査)

1	*			[3]	9,314 億ドル
2	B			水	1,659
3	Di			独	1,526
4	フ	ラ	ν	ス	1,306
5	英			[38]	1,096
6	1	梦	ŋ	ア	823
. 7	カ	-))-	Ý	723

表 3.2 人口 1,000 万人以上の国の人口 1 人当たり 所得 Income per capita of countries having population of more than ten million.

(1969 年経企調查)

				1968	1969
米			国	3,543 ドル	3,787 ドル
カ	J	-	¥	2,396	2,606
ř.	/	· · · · · · · · · · · · · · · · · · ·	ッ	1,745	1,986
フ	ラ	ン	ス	1,928	1,964
豪			州	1,767	1,908
オ	ラ	ン	ÿ.	1,607	1,744
英			国	1,445	1,509
日			本	1,126	1,285

表 3.3 各国のG.N.P.の伸び Growth of G.N.P. in each country.

			1960 年 億ドル	1965 年 億ドル	1970年 億ドル	1975 年 億ドル	伸率/年	人当り G. N. P.
米		E	5,040	6,850	9,910	13,900	7.0	6,245
カ	ナ	¥	340	480	720	1,040	7.3	4,397
英		国	720	1,000	1,130	1,480	5.6	2,626
日		本	430	880	1,970	4,400	17.4	3,981
西		独	740	1,130	1,670	2,280	6.4	3,857

表 3.4 人件費の上昇率 Rise rate of personnel expenses.

	対前年上昇率	额
41 年	10.4 %	3,273 円
42 年	12.1	4,214
43 年	13.5	5,213
44 年	15.7	6,768
45 年	18.5	8,983

地方都市の周辺工場の場合には、困難の度合いが少ないが、まれにはあまり困難でない所もある。労働力の入手の困難度を考えに入れずに、画一的に人件費の節約に見合う投資によって機械化を進めるのは考えものである。困難な場所は、機械化に要する資金効率は0でもよいが、さほど困難でない場所は資金効率を期待して差をつけたほうがよい。この計算で投資効率0の場合と10%の場合とが表にあるのは、この差を考えてみるためである。もちろん、個々の投資計算は、年費用法によって正確に計算せねばならないが、大体の見当をつけるために、人件費の節約に見合う投資額はいかほどになるかは次の式で示すことができる。

$$A = \frac{TW \times K_2}{K_3 + K_4 + K_5 + Q + CR}$$

A: 投資限界額

TW:総合人件費 (人件主費+人件副費+人件雑費)

≑1.2×人件主費(月給+ポーナス)

K₂: 定率増加費用の等価系数K₃: 処分価格を含む資本回収系数

 K_4 : 固定資産税簡易系数 K_5 : 損害保険簡易系数

Q:機械化による運転増加費用

表 3.5 省力投資の限界表 Table of limitation of investment for labor saving.

(単位 万円)

CR		CR=0%				CR=10%			
TW^{n}	3 年	5 年	7 年	10 年	3 年	5 年	7年	10 年	
50 万 円	118	182	235	302	98	142	177	220	
60 万 円	142	219	283	363	118	171	213	264	
70 万 円	165	255	330	423	137	199	248	307	
80 万 円	189	291	377	484	157	228	284	351	
90 万 円	213	328	424	544	176	256	319	395	
100 万円	236	364	471	605	196	285	355	439	
120 万円	283	437	565	726	235	342	426	527	
150 万 円	354	546	707	907	294	427	532	659	
200 万 円	472	728	942	1,209	392	570	710	879	

表 3.6 定率増加の等価系数 Equivalent factor of increase at fixed rates.

定率増加	12 %	15 %
3	1.1178	1,1480
5	1,2357	1.3093
7	1.3804	1,4984
10	1.6060	1.8218
15	2.0412	2.4929

表 3.7 処分価格を含む資本回収年数 Number of years to recover capital including depreciation value.

死 残 個 /	5 %	10 %	15 %	20 %
3	0.387	0.3719	0.35679	1.1993
5	0.2556	0.24742	0.2392	1.4365
7	0.2001	0.19487	0.1896	1.7222
10	0.1596	0.15648	0.1533	2.2595

表 3.8 固定資産税の簡易系数 Simple factor for fixed asset tax.

n 法定償却年	3	5	7	11
1	0.014	0,014	0.014	0.014
3	0.00819	0.00974	0.01066	0.01167
5		0.00739	0.00855	0.01
7			0.00718	0.00877
10				0.00751

表 3.9 損害保険の簡易系数 Simple factor for damage insurance.

N	保険料 n	1,000 円に付き 3 円					
	1	0.003					
法定償却年数	3	0.0025					
11 年	5	0.00214					
11 345	7	0.00188					
	10	0.00161					

CR: 投資効率 0, 10%, 金利 i=10%

(1) 投資限界額 A

表 3.5 は総合人件費の節約額に見合う投資額で、総合人件費の 節約 120 万円に見合う投資額は、この設備が7年使えるものとすれ ば、565 万かけてもよい。ただし、投資効率 10% を考えると 426 万が限界投資額となる。

1,500 万円の人件費の節約が期待され、その設備は 10 年使える場合には、CR=0 のときは、9,070 万の投資が限界であると、1 けたふやして読めばよい。

(2) 総合人件費 TW

月給と ボーナス を加えた人件主費 W に, さらに人件副費と雑費を加えたもので, $TW = W \times 1.2$ この数値は工場により,多少の変動がある。

(3) 定率増加費用の等価系数 K₂

人件費の上昇率の等価系数である。この表の場合,経済耐用年3年5年の場合には年率15%,10年の場合は12%と仮定してみたこの数値に等価な値は表3.6のようになる。

(4) 処分価格を含む資本回収系数 K₈

設備には、いずれも経済耐用年数があり償却をせねばならない。 表 3.7 は、経済耐用年数が過ぎた後の残価、すなわち、処分価格 を 5 %、10%、15%、20% としたとき、償却のためにいくら資本を 回収せねばならぬかを示したものである。

(5) 固定資産税の簡易系数 K4(表3.8)

(6) 損害保険率 K₅

損害保険は、 $0.001\sim0.009$ まで料率がかなり広範囲 で あ る が、1,000 円につき 3 円 と考えた場合の簡易系数 K_5 は表 3.9 のようになる。

(7) 機械化による運転増加費用 Q

機械化や コンピュータ 化するために,運転費用の増加が起こる。 これは正確に は握を要する費用で,この計算の場合は,一般機械類と考えて, $Q=0.1 \times A$ 設備費用の 10% 程度と仮定した。

(8) 投資効率 CR

0% のときと10% の場合を表にしたのであるが、 人手に不足のないときには、 CR=20% を考えねばならぬ場合もある。

また、労働力の枯渇入手難がますますきつくなれば、CR=-10% あるいは、-20% までは考えてみてもよいという時代になるかもしれない。

4. む す び

この省力化の投資限界表はあくまでだいたいの目安であって,個個の投資条件に対しては正確な経済計算をせねばならない。機械化によって床面積が大幅に増加するような場合には,床面積費用の計算も必要である。人手の余裕のあるような場合には,有利な省力化の投資であっても着工の時期をずらすとか CR (投資利益率)を大きく取るなどの考慮が必要であろう。しかし全般的には労働力の極度の不足と賃金上昇の重圧は,今後ますますはなはだしくなるので、CR=0 だけでなく CR=-10% あるいは -20% でも省力化を進めなくてはならなくなるかもしれない。

物流における省力化

樽 見 忠 平*

Labor Saving Operation in Physical Distribution

Head Office Chuhei TARUMI

Control of Physical Distribution has become the subject of talk recently as the third source of profit margin in the industrial circles. In the electrical manufacturing industry in particular the outturn of electric home appliances has been growing at the rate of 20 per-cent for these ten years. To cope with the trend of increasing volumes to be handled in the circulation of materials, a positive policy has been adopted by all the parties concerned. Herein is discussed the labor saving in the storage, disposal of goods and transport of products with the field of taking care of Physical Distribution set as the center of topic.

1. まえがき

物流管理 (Physical Distribution) という言葉が話題になってからまだ日が浅いが、ここ数年の間に産業界では物流がブームのようになっている。電機業界でも十年来成長を遂げた家電品を中心に、各社とも物流問題に取り組んでいる。

このように物流問題が脚光を浴びるようになったのは、産業界における競争が生産性競争・新製品開発競争を経て、収益力競争に突入し、従来顧みられなかった物流面合理化によって大幅なコスト削減が期待されるからである。一方、社会情勢も労働事情の悪化、交通渋滞等の要因により、従来とかく人海戦術に頼りがちであった倉庫・輸送業務も合理化を迫られている。これら倉庫輸送における作業の省力化は欧米でも盛んであるが、欧米では黒人・後進国等の外

国労働者に依存するという逃げ道があり、省力化への要請もあまり 急を要きないようである。日本では労働力の絶対量不足にありなが ら、欧米のように外国労働者が期待できないため、倉庫輸送等の低 位技能労力の省力化は緊急を要する課題として取り組まねばならな い。

物流合理化といっても、単なる物流面だけの合理化では、大きな 効果は期待できない。生産から販売に至るトータルシステムの一貫とし て物流を位置づけ、システムの中に物流を組み込むことによって、は じめてシステム 利益と サービスアップ が期待できるといえよう。

2. 当社の物流システム

当社では物流問題に早くから注目し、プロジェクト活動を通じて物流 に取り組んできたが、44年に物流推進本部を設立し本格的な活動を

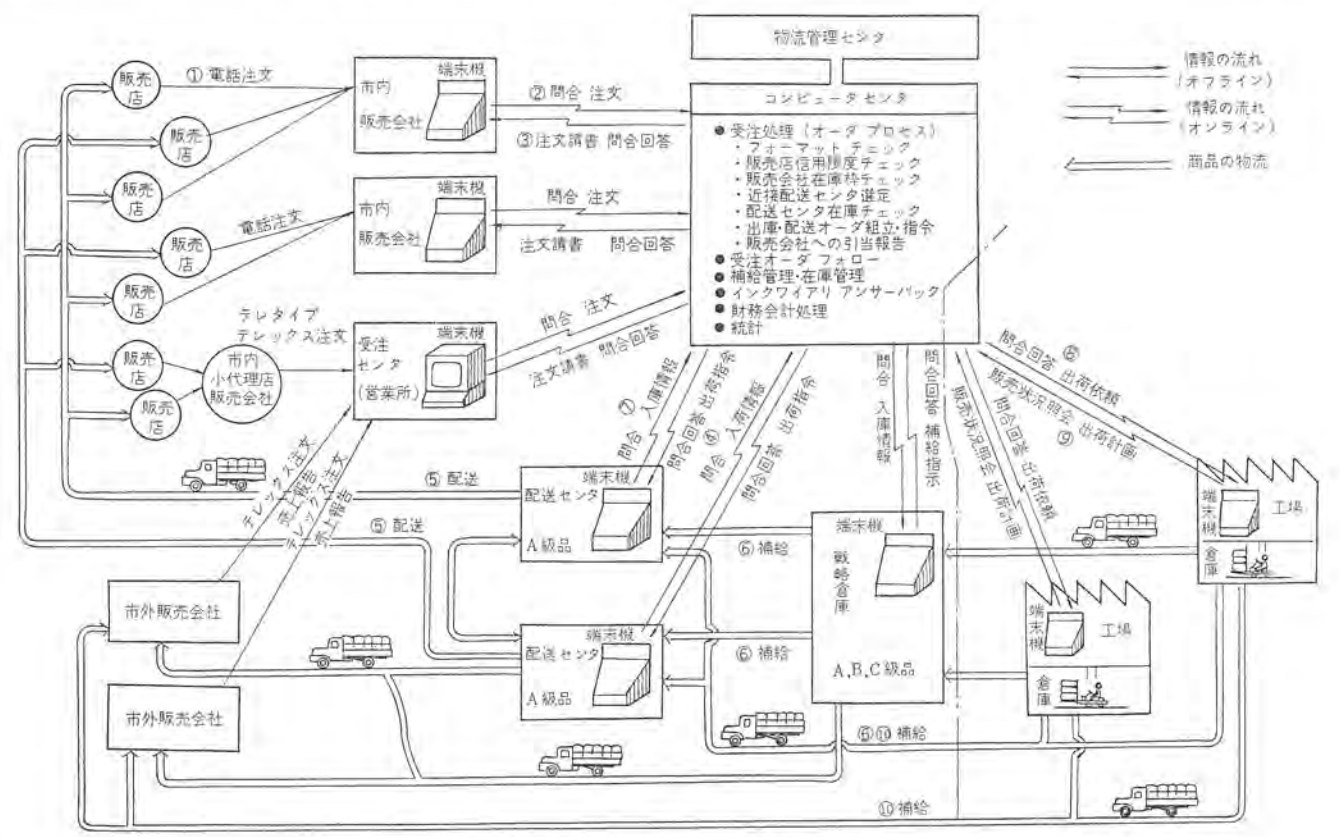


図 2.1 オンラインシステム

On-line system.

開始した。当社が現在取り組んでいる物流関係業務は、量産品を中心に一部受注品に及んでいるが、ここでは焦点を家電品の物流に絞って述べることにする。

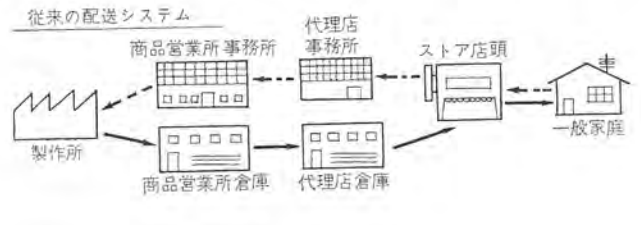
(1) 情報 システム (オンライン コンピュータ システム)

市場での販売動向をいちはやくは握し、その情報を工場に伝達するためにコンピュータを中心として販売会社・営業所・配送センタ・製作所間を通信回線で結ぶオンラインリアルタイムコンピュータシステムを47年から実施する。このシステムを導入する目的は、市場での販売動向をいちはやくは握して生産を調整し、各地域の在庫を一元的に管理すると同時に販売会社の事務処理をする(図 2.1 参照)。

このもステムが完成すると販売会社はさん下の販売店の注文を電話で受け、端末装置から注文をインプットすることにより、販売店は3~4時間で配送 センタ からの配送 サービス を受けることができる。

(2) 配送 システム

家電品の流通ルートとしてメーカー、販売会社、販売店、顧客の流通段階を経ているが、従来はこのルートを商取り引き情報と物が同じように流れていた。現在実施しているシステムは図2.2に示すように、情報を流す商的ルートと物を流す物的ルートを分離して、物流面からみた最も経済的な配送システムを行なっている。現在の配送システムの特長は営業所と販売会社の倉庫を配送センタとして集約することにあるが、東京・大阪・名古屋の大都市では市内に数個所の配送センタを設置し、少なくとも1日2回の配送サービスができる立地条件をもとに配置している(図2.3)。



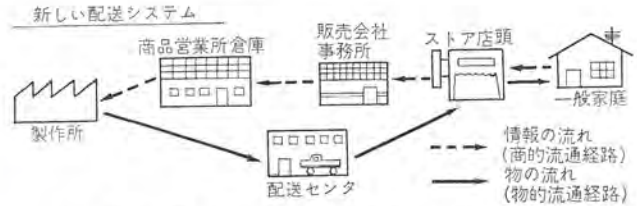


図 2.2 商的流通経路と物的流通経路 Commercial cerculation route and material circulation route.



図 2.3 座間配送 センタ Zama distribution center.

3. 情報システムによる省力化

オンライン コンピュータ システム の導入によって従来の伝票作成、計算機インプット、伝票送達等ばらばらにしていた事務処理作業、中継作成が

すべて不要になる。

(1) 在庫 チェック 業務

従来は販売会社からの注文を電話で受けて、営業所の機種ごとの 担当者が前日末の在庫表をチェックしたうえ受注票を作成し、さらに フレクソライタで テープ を作成し、配送 センタ へ データ 伝送装置で倉出し 伝票を送達していたが、オンライン システム の実施によって、在庫 チェック業務、データ 中継業務の人員が省力となる。

(2) 販売関連事務処理

販売会社では、注文を端末からインブットすると、在庫の引当てを始め販売店ごとの売上げ計上・請求書作成業務等の在庫・売上げ・請求関連の事務処理が一元的になされるため、これら業務の事務処理に要していた各販売会社の要員が省力化され、この人員をセールス要員の増強に転用できる。また販売会社の仕入れ担当者は在庫台帳をチェックし、発注点を切ったものを捜し出し発注量を決めて補充を行なっていたが、これらが省かれ簡単な商品では自動的な補給が、重要な商品では補給制告がオンラインコンピュータから一定ルールのもとで打ち出される。

4. 工場倉庫・配送センタの省力化

倉庫荷さばき業務は目立たない業務としてあまり改善されていない分野であり、ほとんど設備らしいものもなくもっぱら人手による人海戦術に頼っていた。今後はマテハン設備の投入をすれば大幅な省力化が期待できる。

(1) 立体自動倉庫

わが国特有の土地価格の異常な高騰のため、空間の有効利用を目ざして立体倉庫が登場したが、クレーンの自動運転ができる全自動システムの採用によって荷役作業者の省力化がなされる。当社の立体自動倉庫は製品用として、現在3ヵ所で工場倉庫としてか動している。現存の立体倉庫は構造上パレットを使用しているため、製品寸法が大幅に変動するものについては積載効率が低下するおそれがあるので、比較的寸法の変わらない製品および小物製品の工場倉庫にしか採用

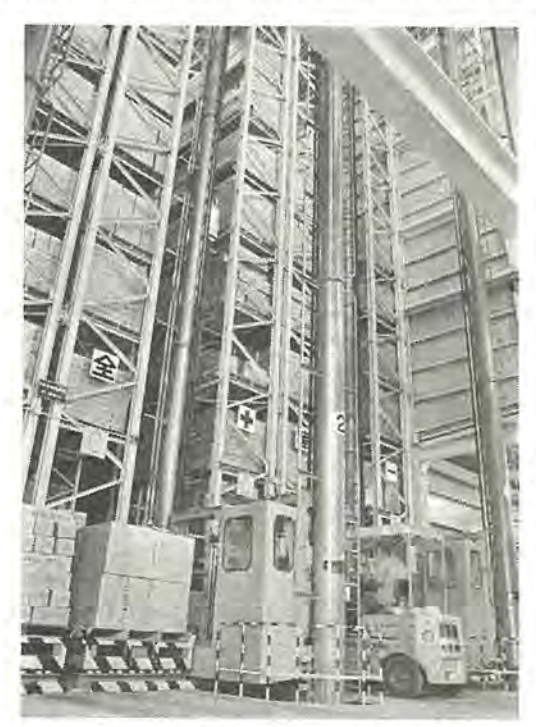


図 4.1 立体自動倉庫 (大船製作所) Vertical automatic warehouse.

できない。

配送 センタ では ピーク 時の出荷に対応できないことと ピックアップ 方式でしか利用できない宿命を持つので、採用は当分考えられない。また小形 コンピュータ (MELCOM-83) と連動させた オンライン 方式の採用によって、倉庫台帳管理業務の合理化・省力化を検討している。さらに生産 ライン と立体倉庫を結ぶ運搬に無人索引車の採用と、クレーン のか動率を上げるため 入出庫待ちの ストックコンペヤ の採用も 計画中である。こうした周辺装置との手ぎわ良い組み合わせこそ、このシステムの機能を十分に発揮させる要提である(図 4.1)。この方式はさらに事務用 コンピュータ との連動まで進むであろう。

(2) 自動 コンベヤ

倉庫業務は従来から陽の当たらない業務として老人・女子に依存し、運搬手段も台車か、せいぜい手動ホイーラ程度の設備しかなかったが、近年の人手不足と配送 センタ の機動性に対応して、マテハン 設備が投入されるようになってきた。小物品の搬送はベルトコンベヤ 等の自動 コンベヤ を採用し、 大物品には フォークリフト の採用が一般化してきた。

当社の配送 センタでは近年まではベルトコンベヤ と ホイーラの併用方式を採用してきたが、 とと数年間に新規に着工する配送 センタの小物 搬送は、自動 コンベヤ を全面的に採用している。当社で使用しているコンベヤ は、 搬送しながら任意の 場所で自由に荷物を ストック できるストックコンベヤ (ラピスタン APC コンベヤ) であり、レイアウト も最大 マテハン 距離が 5 m 以内におさまるように 10 m 間隔にコンベヤ を設置し、流れはすべて一方方向になっている(図 4・2、4・3 参照)。また入 出庫の激しい配送 センタ であるから、 入出庫作業が同時に処理されるよう配慮している。従来はベルトコンベヤを使っていたためベルトのスピードに合わせた人員が必要で、特にピーク時に多くの人員を必要

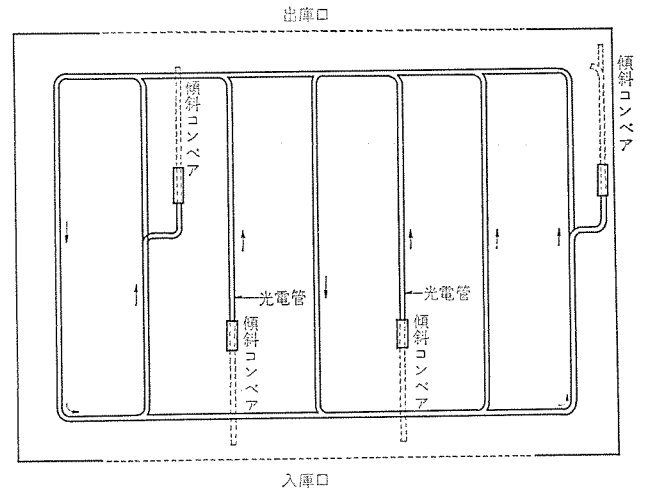


図 4.2 座間配送 センタ コンベヤ レイアウト Conveyer layout of Zama distribution center.

とする反面, ピーク 時外には人員 アイドル が出る状態で、効率の良い人の か動が期待できなかった。ストックコンベヤ の採用によって入出庫の暇のときに コンベヤ 上に製品を ストック しておいて、 ピーク 時に ストック した製品を処理すれば荷さばき人員に アイドル を生じることなく 平均的な か動ができ、大幅な省力化となった。

(3) 出庫 プラットホーム

配送サービスを効率よく行なうには配送車の回転効率を上げることであり、そのためには配送センタ内での積込み時間の短縮がどうしても必要である。従来の営業所倉庫や中央倉庫は、保管効率に重点を置いて入出庫の効率にあまり配慮していないため、プラットホームも短く、入出庫用積置きスペースも少ない状態でトラックの回転を上げるには、人海戦術で積込み時間を短縮するしかなかった。新しい配送センタは多くの車が同時に接車できるように建物外周の70%以上をプラットホームとしてとり、プラットホームの内側には広い積置きスペースがあり、入出庫の際の車への積み込み、積み降ろしは運転手と助手の2人で短時間で処理できるようになっている。また、トラックへの積み込みが数分間でできるように、配送製品をあらかじめ積付けできるコンテナ台車も計画中である。

(4) パレットレス 方式

倉庫内の荷さばきを効率良く行なうには、ユニットロード化することがたいせつであるが、一般にユニットロードの方法としてパレット方式が採用されている。パレット方式は、パレットに荷物を積付けしたあとのユニットロードとしての取り扱いは便利だが、パレットへの荷物の積付け作業、パレットからの荷物の積み降ろし作業、パレット自身の保管運搬等にかなりの時間を要する。当社で採用しているパレットレス方式はクランプ式フォークリフトを使って、木わくこん包製品を一度に8台以上も横から押えて持ち上げ運搬する方法である。この方式の採用によって大幅な省力化はもちろん、パレットに起因する積載効率の低下(パレット間のロス、パレットと品物の積載ロス、パレットそのものの重量・容積)がなくなって、積載効率が大幅によくなり、合わせてパレット不要による節約等多くのメリットがある。パレットレス方式はまだ一部の木わく製品しか実施していないが、こん包設計を変更して段ボールこん包の大型製品にはすべて適用できるようにしたいと思っている(図4.4参照)。

(5) エアシュータ

荷さばき業務を効率良く行なうには、荷さばき方法を合理的に行

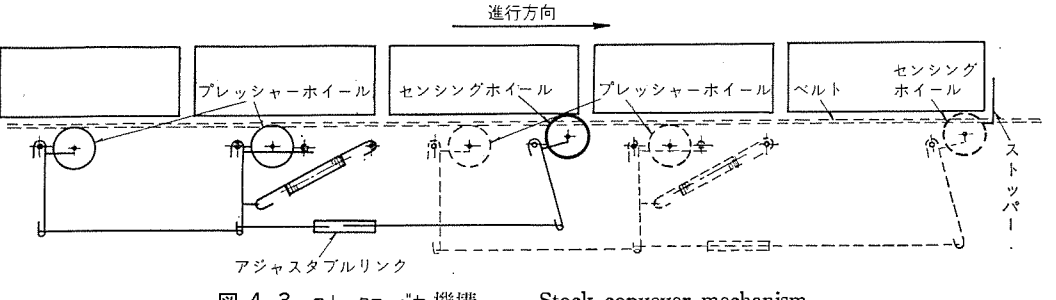


図 4.3 ストックコンベヤ 機構

Stock conveyer mechanism.

なうことが第1であるが、そのためには業務指示をする情報である伝票をタイミング良く供給する システムがなければならない。一般に倉庫の現業部門と伝票処理をする事務所とは距離が離れているのが普通である。従来は当社の配送センタでは、事務所にある事務



図 4.4 クランプ 式 フォークリフト Forklift.

機械から 刻々 アウトプット される出庫伝票が 一定量まとまった時点で、 現業部門へ人手で運搬していたが、どうしても伝票が間欠的な動き をするため現業部門も間欠的作業になりがちであり、作業遅れと作業 アイドル が発生していた。 これらの欠点を解決するため、 事務所 と現業部門間を エアシュータ でつなぎ、 伝票送達を随時行なえるよう にした。エアシュータ 採用の効果は伝票運搬の人手削減はもちろん、荷 さばき作業の連続化が可能となり、かなりの合理化をはかれた。

5. 輸送業務の省力化

輸送業務は保管荷さばき業務と並んで物流業務のうち大きなウェイトを占めるもので、昨今の交通事情の悪化、人手不足の情勢からして輸送業務の効率の良い運営いかんが、物流 コストへ大きな影響を与えるといえよう。

(1) 共同保管・共同配送

従来当社の物流ルートとしては工場から営業所倉庫へ、営業所倉庫から販売会社倉庫へ、販売会社倉庫から販売店への3段階への輸送を行なっていた。現在の配送システムでは営業所倉庫と販売会社倉庫を集約化したため、配送センタによる共同配送によって営業所と販売会社間の輸送がなくなり、また各販売会社が個々に行なっていたため発生していた交錯輸送がなくなり、効率の良い販売店配送ができるようになったが、共同配送による輸送人員・管理人員の省力化ははかり知れないものがある。一方、配送センタによる共同保管によって、従来の営業所と販売会社のおのおのの在庫を合わせたよりも少ない在庫で運営できるため、倉庫現業作業者の削減はもちろん、販売会社での在庫管理人員も不要となった(図5.1)。

(2) 配送車 ワンマン 運行

トラックの輸送は運転手と助手の2人で行なうのが当然のこととされていたが、昨今の人手不足と人件費高騰によって助手なしのワンマン運行の実施いかんが輸送費削減の決め手としてクローズアップされてきた。当社でも工場配送センタ間輸送のように、輸送の両端に荷さばき設備・人員の整っているところではワンマン運行を実施しつつあるが、配送センタの配送先である電器販売店のように、設備人員



図 5.1 自動 コンベヤ Automatic conveyer.

の整っていないところでは助手の廃止は困難であった。

配送車が ワンマン 化できないのは、冷蔵庫、ルームクーラ、カラーテレビのような大形製品をトラック荷台から地上におろす作業が1人では困難であるからである。大形製品を機械力でおろすためには クレーン 車を使うとか、種々の方法が考えられるが、当社で試験的に実施しているものにトラックの荷台の1部が油圧で地面に昇降する パワーゲート方式がある。その他階段の重量物を積んでの昇降などを含めて、いろいろと簡便な設備を検討中であり、これらの設備がか動するようになれば ワンマン 運行が可能となるであろう。

(3) 配送専用車

配送車が積んでいく荷物は、小さな乾電池から大きな冷蔵庫に至るまで、種々な大きさの製品があり、配送順序に従ってトラックの後ろから順番に製品が取り出せるような積付け方法をしており、現状で順番を考えながら運転手と助手が積付けしているためかなりの時間を要している。配送順序を考えずに積付けできるためには、トラックの荷台に積んである品物をどこからでも取り出せるような開口部の広いトラックの開発が必要である。当社の配送はほとんどアルミのバン車を使用しており、従来はバン車のどの面も開閉できるような車を採用したいと思っている。

6. 今後の課題

物流管理が話題になってからまだ日も浅いこともあり、一般に倉庫・輸送関係の業務を合理化するための機械化が遅れているが、国内のメーカーによるマテハン関係の設備が、欧米に比べてかなり遅れているのが大きな原因ともいえる。 本格的な配送 センタとしては、最近になって大形スーパ等が手がけているが、 それも納入業者の犠性をもとにした変則的な配送 センタであり、 今後は入庫・仕分け・輸送機能を持った本格的な配送 センタが少しずつ出現すると思われる。当社のような家電品配送 センタでは、 現状では大きさの違う、品種の多い製品をピックするのに人手に頼らざるを得ない状態であり、 これら少量多品種のピック機能を持った設備の出現を望む次第である。

コンピュータによる設計手配の省力化

黒田 紀典*·酒井 亜男*·藤田 昇三*

Labor Saving in Custom Order Treatment at Designing Section with Computers

Nagasaki Works

Toshinori KURODA • Tsuguo SAKAI • Shozo FUJITA

To cope with the rapid increase of production and the shortage of labor, automatic operation in the designing process is an indispensable requirement for labor saving. Computers are now in full use in every step of the design procedures as a means to solve the problems. The computer has been made use of so far to take care chiefly of calculation in functional design. However, the latest trend is to mechanize the work by treating the matter as a system involving the sales, design and production. To turn the treatment of design processes to automatic operation is an imminent task and as important as automatic operation of the functional design. This article describes the present state of the subject referred to.

1. まえがき

最近の生産量の急激な増加と人手不足に対処し、確固たる品質を維持向上するためには、生産性の向上と省力化はわれわれメーカーに常に要求される問題である。特に設計について言えば事務処理、手配業務のために、本来の仕事である製品設計・開発設計時間が圧迫されるようなことがあってはならない。製品の開発が完了した時点で顧客の要求を満足させながら、標準化・単一化を推し進め、機能設計・生産設計を可能な限り機械化し、最終的には完全に設計の手を離れるシステムの実現へ努力していく必要がある。このことは量産工場だけでなく、受注生産工場においてもしかりである。

設計省力化の強力な武器の一つにコンピュータがある。従来のコンピュータはどちらかと言えば、計算道具すなわち機能設計計算が中心であったが、最近は営業・設計・生産を含めシステム的に問題をとらえ機械化する方向に進んでいる。特にオーダメイド生産においては機能設計と生産手配業務は密接なつながりがあり、両者を同一レベルで機械化しないと実際の省力効果は上がらない。最近省力化の要請にもとづいて、コンピュータによるオーダ処理システムが、標準化が進んだ機種でいくつか開発されてきた。これらの中の代表例として舶用始動器盤(Group Starter Panel;以下 GSP とよぶ)システムを中心に、コンピュータによる設計手配システムを紹介しよう。

2. 設計手配プログラムの現状

2.1 機械化のレベル

設計のどく一部分の計算、製図計算から、GSP システムのように工作手配までを含んだものまで、いろいろな段階の プロクラム があるが、オーダ処理面から言えば、次の7段階の レベル に分けて考えることができる。

- (1) 部分設計計算, 特性計算
- (2) 機能設計, 構造設計計算
- (3) 製図計算,作図機による自動製図
- (4) 摘要表作成
- (5) 部品一覧表, 購入品注文書作成
- (6) 作業時間および手順表作成
- (7) 作業日程指示表作成

2.2 オーダ処理プログラム方式

設計段階のオーダ処理 プログラム 方式として、一定の方式は困難で、各機種の特質に応じて、プログラム および ファイル 設計が行なわれている。 プログラム 開発時間から見れば不利であるが、処理効率から見ればむだがなく、プログラム も コンパクト にできる利点がある。 盤関係では製品・部品の変化がはげしく、その変化に追随できる柔軟性と、いかに短期間の間に システム を作り上げるかという スピードが強く 要求される。 これらの機種別の設計 サプシステム からの アウトプット には次のようなものがあり、カード 類は生産管理 システム をはじめ他の システムへの インプット に用いられている。

- (1) 設計書
- (2) 摘要表
- (3) 図面
 - (4) 部品表
 - (5) 作業手順表
 - (6) 払出しカード: 部品表の内容をパッチしたもの
 - (7) 作業カード: 作業手順表の内容を バンチ したもの
 - (8) 購入品 カード: 注文書作成に用いられる
- (9) MIカード: 繰り返し製作される部品は、それを製作するのに必要な材料、作業情報を部品コードをキーとして磁気テープにつ

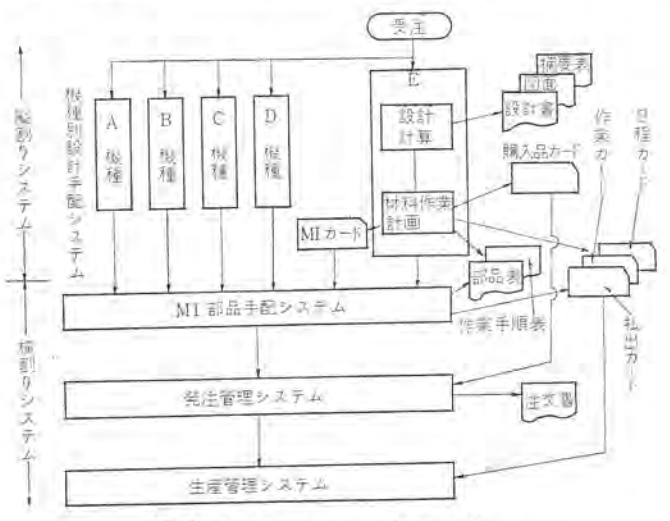


図 2. 1 システムフロー System flow.

ァイリングしている。これを MI(Manufacturing Information) ファイル といっているが、これらの部品を製作手配する場合は、部品名と製作 個数、日程をパラメータとして与え、部品表・手順表に展開している。

(10) 日程 カード: 各作業の日程を指示した カード

2.3 コンピュータシステムフロー

図 2.1 にコレピュータによる一般的な オーダ 処理 システム の流れを示す。設計計算や特定 オーダ の材料作業計画のように、設計を中心とした システム は、機種ごとの縦割り システム にならざるを得ない。GS P システム もその一つであるが、オーダメイド 生産工場ではいくつかの機種別設計手配 システム が並列に動いている。 これらの システム は工場全体の生産管理システム の前段階に位置づけられる。これに対して発注在庫管理・生産管理のように 各機種共通 システム は横割り システムともいえる。従来技術部門は縦割り システム を事務部門は横削り システムを中心にした EDPS 化を別個に推進していた。両方の方式にはそれぞれ長所短所があるが、それらをいかに結びつけるかが問題である。 設計手配 システム には当然マニュアル 展開 システム も数多く存在するが、それらと調和したものでなければならない。そこで機種別設計 下配 システム は生産管理 システムの インプット と考え、マニュアルシステムともスムーズ に調和させるため、以後のシステムへの連結はすべてカードベース で行なっている。

3. GSP 設計業務とシステム開発の経緯

期用始動器である GSP は、こと数年来の船舶大形化・自動化により、従来の ON-OFF 制御から、多くの電動機の イーンターロック 回路 等ますます複雑化してきている。コンピュータ 使用を前提として、徹底した標準化を行ない、省力化と短納期化を計った。 当初は モータリスト、ユニットリスト (ユニット 関係部品一覧表)、部品細目表、 摘要表の作成だけの機械化であったが、プロジェクトの進行に伴って、 板金作業計画書、プロッタによる外形図、注文書作成と システム はだんだんと発展してきた。

3.1 GSP オーダ処理フロー

一般的なオーダ処則フローを図3.1 に示す。

3. 2 GSP 標準化

GSP の設計は他の多くの制御盤と同様、まず客先の仕様要求からスタートする。この客先仕様はおもに回路・電動機容量・しゃ断容量が主である、この内の回路決定に非常に手間取っていた。従来は回路の標準も明白でなく、客先との仕様の打合せも一部あいまいな点があったので、設計業務の EDPS 化の最初の仕事として回路図の標準化から始められた。

(1) シーケンス の標準化

従来使用されたあらゆる シーケンス を集録し、それらの中から舶用 集合始動器盤の標準回路として最もふさわしく、かつはん用性のあ るものを約 100 種類選んだ。さらにこれらの標準回路を回路の特性 に従ってコード化し、系統的に分類した。このコードの分類法は次の ようなものである。このコード化により EDPS の導入が容易になっ た。

(2) 部品の標準化

シーケンスコード 対応に部品登録を行ない標準 ユニットリスト を作成したので、シーケンスコード と モータ 容量により、 その ユニット で使用される必要部品を ファイル より取り出すことが可能となった。

(3) 板金の標準化

シーケンスコード とモータ 容量に対応して板金部品の整理を行ないファ



図 3.1 GSP オーダ処理フロー Treatment flow of GSP order.

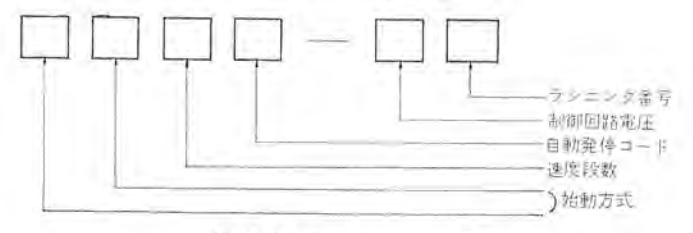


図 3.2 シーケンスコード 体系 Sequence code system.

イルを作成した。一方フレーム 関係は GSP の型式や フレーム 寸法など の仕様に対応して標準化を行ない,一覧表を作成した。この場合も 簡単な コード でファイル より抜き出せるようにした。

以上のように従来の図面の 集約化を行ない 単純なコードにより、 すべて選び出せるようにしたことで機械化も可能となった。

4. GSP プログラム概略

GSP システム は最初からトータルシステム を計画したわけでなく、要請に応じて設計の各段階の プログラム が個々に開発された。それらは サプシステム として十分に使用された後、トータルシステム に編入されて行なった。 したがって各 サプシステム は単独に使用することもできるし、全体を GSPトータルシステム として linkage して使用することもできる。全体の プログラム 構成を図 4.1 に、 システムフローチャート を図 4.2 に示す。以下各 サプシステム の概要とおもな アウトブット について説明する。

4.1 インプット (Initialization Phase)

(1) ファイルエントリシステム

客先仕様インブットデータをオーダ番号をキャワードとして、コンピュータのディスク装置に記憶しておき、必要に応じて種々のアウトブットを出すファイルエントリ方式を採っている。ディスク上のデータは変更修正が可能であり、データを更新しながら仕様変更に対処していくことができる。

(2) 会話形式

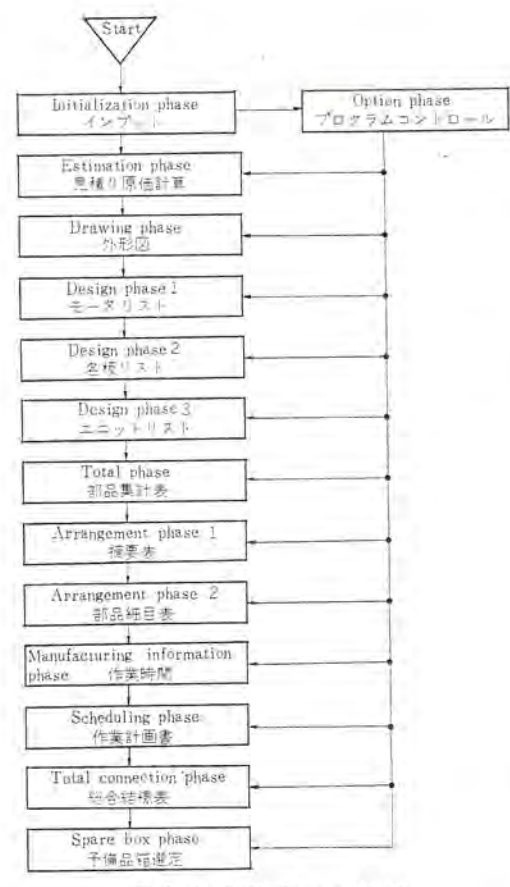


図 4.1 GSP プログラム 構成 GSP program composition.

- /ンプットデータ の チェック は プログラム で可能なかぎ り行なっているが、エラーコントロール として次の三つ の レベル を指定できる。

- (a) レベル1: エラー があれば 計算を中止す ス
- (b) レベル2: エラー があれば コンピュータ から タイプライタ に 質問形式 の メッセージ が タイプ される。 オペレータが これに答えることにより計算は 続行さ れる。
- (c) レベル3: エラー があれば コンピュータ は最も標準的なものとみなして処理する。 ただしその 旨 アウトプット する。
- 4.2 プログラム コントロール (Option Phase) 計算経路を コットロール する フェイズ で、 要求され た フェイズ のみ計算し アウトプット する。

4.3 見積り原価計算 (Estimation Phase)

各 ユニット の スペック を インプット することにより、 ユニット でとの材料費、加工費を算出し、さらに予備品、フレーム の原価を計算する。 との プログラム により見積りが正確になったと同時に応答処理も早くなった。

4.4 外形図 (Drawing Phase)

外形図はユニットの組み合わせと、各種のフレームタイプによりその変化が多様で、オーダの都度新図を書いていた。それをプロッタにより自動作図するようになり、相当な省力になった。図 4.3 に外形図のサンプルを示す。

4.5 モータリスト (Design Phase 1)

GSP の各ユニットの一覧表で、基本設計書とも言える。 ユニット ご

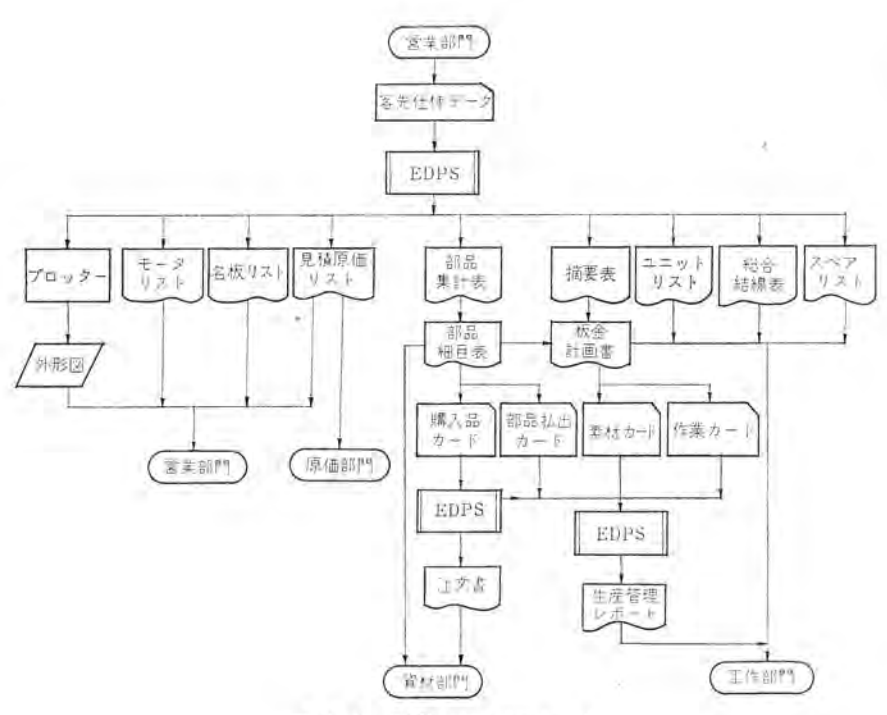


図 4.2 GSP システムフローチャート GSP system flow chart.

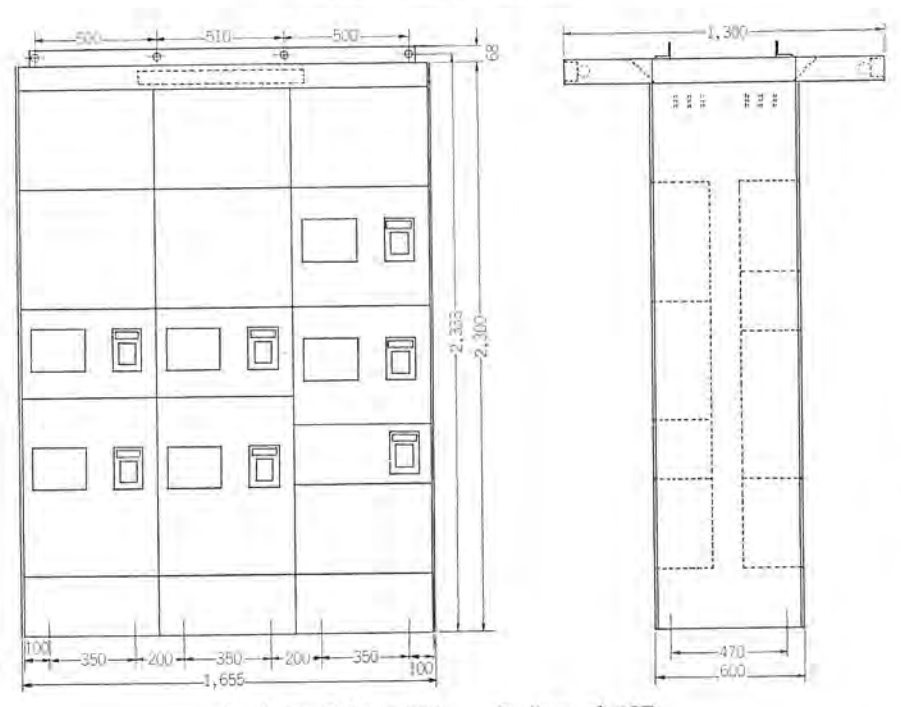


図 4.3 GSP 外形図

Outlines of GSP

とのモータ容量・電流・起動方式・結線図・メータなど主項目の一覧 表であり、 とのリストはとのまま客先に提出され承認を得るのに使 用されている。

4.6 名板リスト (Design Phase 2)

GSP ユニットの図面番号・用途名・電流など基本仕様をアウトブット したもので、客先に提出される。また名板注文の際使用される。

4.7 ユニットリスト (Design Phase 3)

ユニット に関する諸情報をさらに詳しく アウトブット したものである。 ユニット の容量・電圧・電流のほかにその ユニット で使用される部品名 ・仕様・数量などを ユニット ごとに アウトブット する。 この リスト は工 作用に使用される。

40	TIT	LE		•••••	DWG-N	10	MA	RK	SU JO	С	HINBAN		
2 FR	AME	MITATE			C7291 C7291	166		J	6 6	P P	GUN-1 1-3		
3 UE-		SITA-WAH	(U		CD790	054		J J	12 72	P P	1 · 2		
5 SO	KUMITA:	TEZU COVER			CC130	000		j	6	P	ĜUN-1 GUN-5		
7 CO'	VER (T	ANSIBAN	NSITU, BOSEN NSITU, BOSEN	SITU)	C7291	175		j	6	P	GUN-2		
9 UR <i>i</i>	A DOOR			5110)	C6943 C6943	365		j	6	P	GUN-2 GUN-1		
.1 SIK	IRI ITA		20		CD908 CD908	356		7	30 6	Р	1 · 4 1 · 3		
2 SUI 3 UNI	CHOKU T SASA	DUCT AE (SIK	IRIITA YO)	. •	CC041 CD908			7	6 6		1 1-2		
.4 HIN		(-//	,,,,,,,,,,,,,,,,,,,,,,,,,,,,,,,,,,,,,,,		CD790	036		J J	30 72		1		
KIKAKU HYOSHO C	NIK			SOJI	KOSI-25301 JN HIDARI KA BETSU MIDOR	RA R.S.T					IBAN KOKUIN 440V 601		************
HANGE	•••••				and the street	* .		•••••			HAIF	U HIKAE	
CUSTOMER		GSP	(TYPE SB23T	······································	***************************************				DRAWN APPRÓ	M,ARITA M.SAKAI		CHECK CHIEF	M.ARITA
DAISU MACHINE N	0	1	l					•	DATE ORDER		••••		
IOK I			10-25		図 4.4	摘要表	Table	of applica	ition.		, \$4 m	PAGE(1/)
	ROHIN	SAIMOK	о нүо			ORDER 5-MI	1-0297-01		СНЕСК	D BY S.FUJ	ITA		
ANFU	OTEI)	SIZAI	1	CHU 6	·TANI ·ZAI	IKU, SIKI				•HA	ARAIDASI. HAI	RAIDASI. N
BHO ☆ZU UN ☆MEN	在 会	SURYO	会 HI 会	NMEI	TEIKAKU		☆ ,SI.HIMC ☆ JI KU	J,HYOBAN. J	FUKU. SIZ BAN	AI CODE, HA	RAIDASI. RYO	1 140 SYMBOL	
Ž.	於	4	☆ MSO-100	440 <u>.</u> V 6	0.Hz NK EIBU 80.00A	 JN	ά×	0131	01	00204104	4.00)	(1)
於 於 於	育 古 古		tir				र्घर	0131	04	00215711 00215713 00350567	4.00 4.00))	******
र्क रू क	か 合 か	5	会 MSO-50 会 合	440.V.60 HEATER).Hz NK EIBU 48.00A	N	☆× ☆ ☆	0132 0132 0132	01 02 03	00203504 00215513 00215515	5.00 15.00 5.00)))	(2)
k k	+25+	2							01	00350555 00203111 00215109	2.00)	(3)
	\$ \$ \$		京 古				章 章	0133 0133	03 04	00215111 00350511	2.00 2.00)	************
合合合合	含 含 含 合	2	会 MSO-50 位 位 位	HEATER			☆ ☆ ☆	0134 0134 0134	02 03 04	00203504 00215513 00215515 00350553	6.00 2.00 2.00))	(4)
\$ \$ \$	† †	1	☆ MSO-35 ☆		D.Hz NK EIBU 30.00A		☆×	0135 0135	01 02 03	00203351 00215409	1.00		(5)
** ** **	* * * * * * * * * * * * * * * * * * *		下 次 次 全				含含含含含含含含含含含含	0135 0135	04	00215411 00350543			
安安会会会会会会会会会	会会会会会会会会会		表表表表表表表表表表表表				会 食 食 食			·			
ANGE	<u> </u>		Š.	•••••		DRAWN H CHECK S	. AKASHI .FUJITA	***********	*******		TOMER HINE		
_		•	9.14*		-de	APPRO I.	UTO 5- 9-30			DAI: ORD	SU	G,S.P. 1	~/
••••					図 4.5	部品細目到	長 D	etails of _J	parts.				
AME SE	REI	ON	UNIT		NAME USE	REMO-CO	TINU NC		NA . US			***************************************	
ESEL ENG ST NO. C JANTITY				•••••••	DIESEL ENG LIST NO. C				DIE	SEL ENGINE T NO. CD1: ANTITY	. ,		
AME					I NAME		,		I NA				
SE IESEL ENG IST NO. C UANTITY					DIESEL ENG LIST NO. C				LIS	E SEL ENGINE ST NO. CD1: ANTITY			
AME			****************	***************************************	I NAME	SILICON	STACK	***********	, NA		NEON LAMP		
SE IESEL ENG	SINF RF	MO-CON	······	***************************************	USE DIESEL ENG	INE REMO	:		US		REMO.CON	*************	
IST NO. (LIST NO. C				LIS	SEL ENGINE ST NO. CD1: ANTITY			

図 4.6 予備品用 エフ

Identification card of spare part.

4,8 部品集計表 (Total Phase)

使用される部品のうち、ノーヒューズブレーカ・コンタクタ・制御回路部品を全コニットについて集計したもので、工作で部品を集めるときに使用する。

4.9 摘要表 (Arrangement Phase 1)

摘要表は従来設計で手書きされていたが、図面の標準化により、 各図面はマスタファイルから抜き出せるようになった。 摘要表にはすべての図面がリストアップされなければならないが、GSP のようにユニットが多いパネルでは、各ユニットの図面を集計する必要がある。図4.4 に摘要表のサンプルを示す。

4.10 部品細目表 (Arrangement Phase 2)

従来は設計で必要な部品を手書きで細目表に記入していた。倉庫品細目表は工程部門へ流れて資材コードが追記され、それを キーパンチ して生産管理用インプットデータが作成されていた。また購入部品細目表は購買部門に送られ注文書が作成されていた。GSP システムでは細目表作成とともにてれらの処理をすべてコンピュータで行なうものである。図 4.2 の フローチャート にあるように、部品細目表と同時に払出しカード・購入品カードがパンチアウトされ、これらのカードは生産管理用のデータおよび注文書作成用データとして使用される。図 4.5 に部品細目表のサンブルを示す。

4. 11 作業時間 (Manufacturing Information Phase)

板金加工時間を,各作業手順ごとに算出する。 これらの データ は 作業計画書に アウトプット される。

4.12 作業計画書 (Scheduling Phase)

板金加工についての、作業名・作業手順・作業 グルーブ・作業標準 時間などを作業計画書として アウトブット する。 計画書の内容は別に 作業 カード・日程 カード として パンチアウト され、生産管理 システム に連 結される。

4.13 総合結線表 (Total Connection Phase)

ユニット内の配線はシーケンスにより行なわれるが、ユニット間の配線については、ユニット数が多いため、その配線ルートを決めるのに時間がかかっていた。このプログラムでは各ユニット間および外部中継端子との総合的な結線表をアウトプットする。

4.14 予備品表作成 (Spare Box Phase)

舶用電機品には必ず予備品が必要である。これらの予備品を収納

する箱の大きさは、各予備品の体積を加算することによって選ばれる。このフェイズでは箱の選定と同時に、予備品箱摘要表・予備品額 日表を アウトラット する。また従来細目表からマニュアルでタイプされていた エフ(各予備品に添付する名札)も同時に作成する。図 4.6 にコンピュータで作成した エフ の例を示す。

5. 省力効果と今後の展望

以上のように GSP の一連の設計手配の EDPS 化により、設計部門だけでも大幅な省力効果を上げることができた。設計部門以外にも、工程・資材・計算部門に対して波及効果が大きい。しかし GS P システム はまだ完全でなく、仕様変更や、標準外仕様に対して アウトプット の訂正処理に手間がかかっている。したがって今後の課題は客先との標準 シーケンス の設定である。客先との仕様打合せに際しては、GSP システム の インブット 用紙に パラメータ を記入していく形式が即想的で、大幅な スピードアップ になると同時に仕様変更も減少するだろう。

6. to t U

設計手配の省力化の例としてコンピュータによる オーダ処理システムを 紹介したが、GSPシステムも舶用始動器盤という特定の機種の設計処 理システムにすぎず、工場全体から見れば小さな サブシステム である。 もともと設計はサブシステムの集合体とも考えられ、ハイアラーキ(階層 性)という面から見ても中間的な断片である。しかし最上層の政策 決定から最下層の NC 工作機械までを含めた、生産の トータルシステム の流れに調和したサブシステムであれば、十分効果を発揮できるであ ろうし、これらのサブシステムの集合がやがてはトータルシステムとして 融合されていくものと確信する。また最近話題になっている自動設 計(CAD)は人間の創造性と計算機の超人性を結びつけた。manmachine システムであるが、今後 CAD 的な考え方をいかに現実の設 計システムに適用していくかが、非常に重要な問題であると思う。最 後に GSP システム の開発に尽力された関係者各位に深く感謝する次 第であり、GSP システム がきっかけとなり他機種の類似 システム が次 次と開発されているが、やがてこれらがトータルシステムへ発展してい くと信ずるものである。

自 動 製 図

加藤礼。二*

Autodrafting

Head Office Reiji KATO

Autodrafting by means of computers is now drawing attention of circles from the viewpoint of reducing the time for providing design drawings, prevention of draft errors and saving labor. It has rapidly come in prevallence.

This article introduces the outline of the autodrafting and of drawing of pattern on printed circuit boards which are in the excellent system of the Mitsubishi Electric Corporation, and also automatic working on the formation of the LSI mask original drawing. In addition, description is made on a variety of problems concerning the autodrafting and outlook on the future trend in this matter.

1. まえがき

最近コンピュータの周辺機器は、目ざましい発展をしつつある。その中でも自動作図機(Plotter)や自動製図機(Drafter)は Graphic Display 装置とともに、図形情報処理機器として注目を集め、各社その活用に熱心である。これらの機器は、コンピュータによる自動設計(CAD; Computer Aided Design) システムを実現するにも不可欠なものであり、設計・製図時間の短縮、ミス発生の防止、省力化などの観点から、急速に広く活用さればじめた。

ここに当社のすぐれた自動設計・製図システムを紹介するとともに、 自動製図の諸問題と今後の動向について概説する。

なお、ことに紹介する自動設計・製図 システム の詳細とその手法に ついての参考文献を末尾に掲げた。

2. プリント配線板の自動設計・製図システム

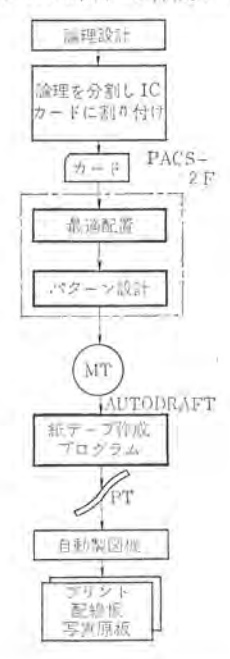
集積回路と積載するカードやカードコネクタ間の接続を与えるボードはコンピュータをはじめ通信機器・制御機器に数多く使用されている。これらのプリント配線板の設計量は年々増大する傾向にあるので、当社ではコンピュータを使った自動設計・製図システムを開発し、数年前より全社的に利用している。この種のことは各社でも、程度の差こそあるが実用されている。しかしながら、当社のシステムは手法の独自性と高速性に特長があり、そのすぐれた性能については、内外から高い評価を受けている。

システム の概略を図 2. 1 に示す。このシステムの利用者は次のデータを入力情報として与えれば、PACS-2 F プログラム が積載集積回路の最適配置決定を行なった後、集積回路、その他の積載部品およびカードコネクタ 相互間の最適 パターン を決定する。

- (1) 表題カード: 名称, 設計者名, 日付など
- (2) コントロールカード: 最適配置に対する種々のオプションの指示
- (3) 実装情報 カード: プリント 配線盤上の配置領域, 格子座標, パターン 領域, 集積回路の ピン 数と ピン 間隔など
 - (4) 入出力端子実装情報カード: カードコネクタの位置、個数など
- (5) 接続情報 カード: 集積回路端子, 部品(集中定数部品) 取付け穴, コネクタ 端子などの相互間の接続関係
- (6) 個別部品取付け穴指定 カード: 集中定数部品の取付け穴の の座標を指定する
- (7) 配線 ルート 指定 カード: 電源・接地線などは電気的性質を 考慮して設計者が指定できる

(8) 優先順配線の指定カード: 配線率や電気的性能を高める ために、配線の順序指定を自由に指示できるようにしたもの

PACS-2F の結果はいったん磁気 テーブ にとり、 AUTODRAFT と呼ばれる自動製図機の入り紙テーブ 作成 ブログラム で紙 テーブ に変換



太ワクは電子計算機による 部分を示す。

図 2.1 プリント 配線板の自動設計製図手順 Process of automatic design and drawing of printed wiring base plate.



図 2.2 自動製図機 (武藤工業社製) と制御装置 (MELDAS) Automatic drafters and control equipment.

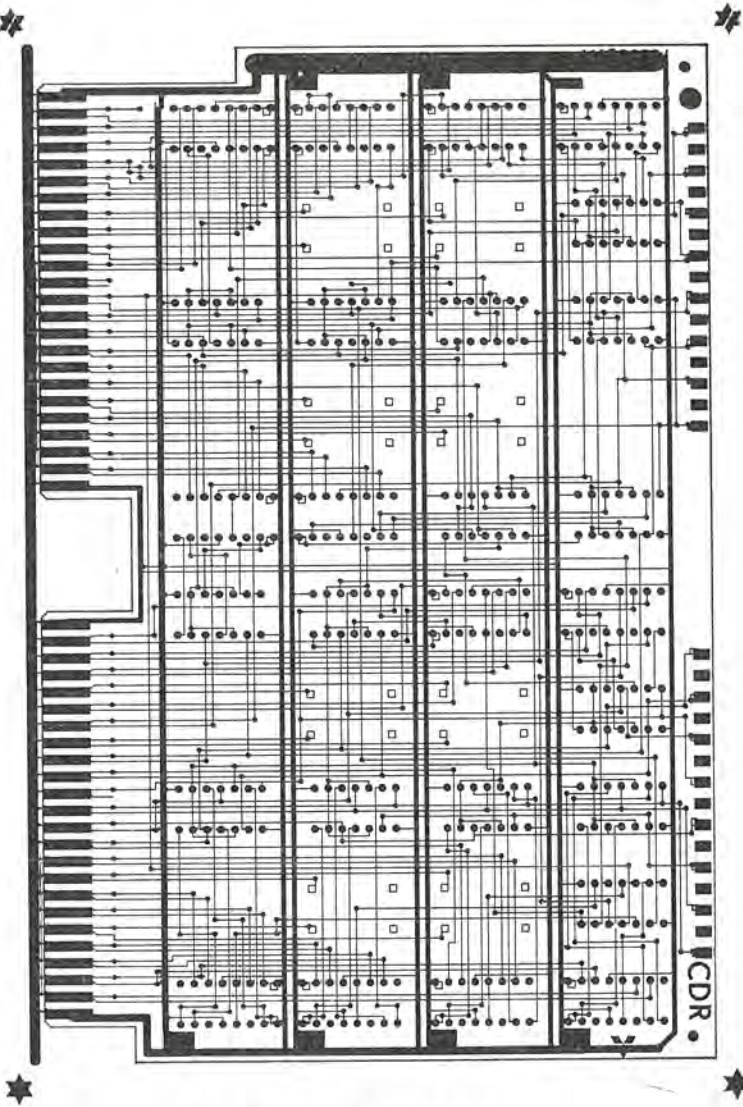


図 2.3 ブリント配線板自動作図例 Example of automatic drawing of printed wiring base plate.

する。使用製図機は武藤工業のものを、制御装置には当社の MEL-DAS-4200 を付けた システム と MELDAS-5200 を付けた システム の計 2 台の自動製図機が実動している。(図 2.2 参照)

自動製図された実例を図2.3に示す。

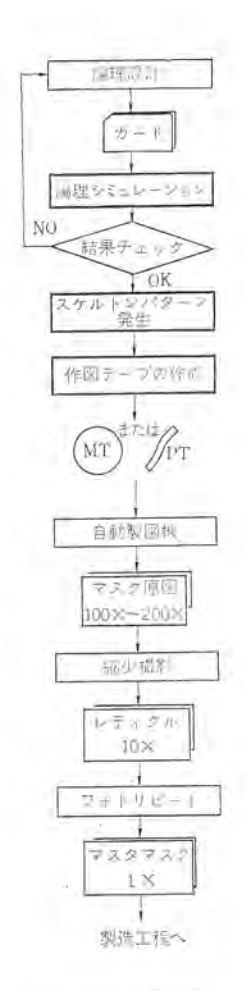
3. LSI マスク原図の自動作図

現在半導体工業において、IC は次第に LSI 化されつつあり、それに伴い設計作業は複雑化する傾向にある。従来の人手による設計作業では、もはや設計の限界を越えるまでになってきた。また半導体工業の生産競争の激化に伴い、納期の短縮、生産性向上(省力化)、品質向上が要求されるとともに、製造技術の向上とあいまって高精度のマスク原図が必要になってきた。

当社ではそれに対処すべく,数年前より CAD の思想を採り入れ 電子計算機を用いた自動設計・製図 システムを開発してきた。その結 果、次のような効果を得ることができた。

- (1) 設計時間の短縮と省力化
- (2) 設計ミス, 照査ミスの発生防止
- (3) 設計ミスの発見,修正,結果の確認の最適化,迅速化
- (4) 設計品質の向上

LSI マスク 原図の自動設計・製図 システム の概略を図 3.1 に示す。



太ワクは電子計算機によ る部分を示す。

図 3.1 LSIマスク作成手順 Process of forming LSI mask.

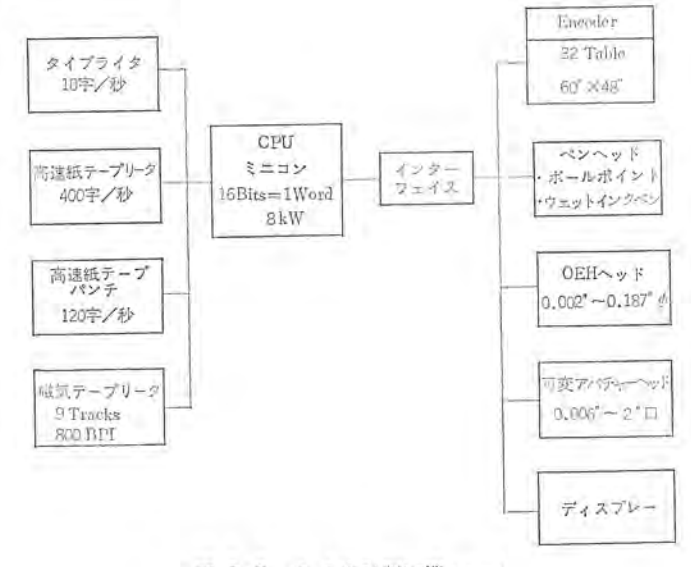


図 3.2 ガーバ自動製図機 システム GERBER automatic drafter system.

論理設計が完了すると論理式をカードにせん(穿)孔し、論理が正しいかどうか計算機で シミュレーション する。 シミュレーション の レベル も ワード 単位、ビット 単位などあるが、 論理が正しければ LSI マスクパターン を論理式をもとに計算機に自動発生させるとともに、集積密度を高めるために パターン の最適化を行なう。 そうしてできた パターン は、

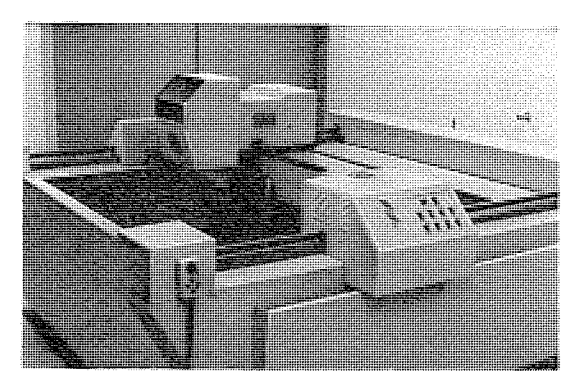


図 3.3 自動製図機 (GERBER 製) Automatic drafter (made by GERBER).

自動製図機の入力 テープ に変換する。 自動製図機には超精密自動製図機(米国 GERBER 社製)を使用し、プリントパターン 同様、 フォトヘッド で写真 フィルム 上に 作図していく。 図 3.2 には自動製図機 システム を、図 3.3 には自動製図機を示す。また作図例を図 3.4, 3.5 に示す。

4. 自動製図に伴う諸問題

現在、自動製図が行なわれているものは、比較的 コンピュータ 化の容易なものや、標準化やパターン化、またはそれに類する分類・整理がかなりできているものに限られていて、自動製図の本格的な実現にはまだ数多くの問題点が残とされている。

以下に現在におけるおもな問題点を列挙する。

4.1 ソフトウエア上の問題点

(1) 図形判断を必要とする作図は、そのプログラムの作成がかなりむずかしい。 そこで コンピュータ による自動製図の成功のポイントを図形判断要素を極力減らすことに求めなければならないが、そのためには作図対象を十分調査分析し、作図手順の確立、作図論理の定式化などはもちろん、さらにそれらの前提となる作図要素のパターン化・標準化、作図方式の標準化など、基本的な問題が解決していることが必要である。

なお、次のことは人間にとってはそうむずかしいと言うほどのことではないが、 自動製図の ソフトウェア 技術としては、むずかしい問題の例である。

- (a) 図面の大きさおよび図形の用紙上における作図 位置の割付けと,作図倍率の決定
- (b) 図・寸法線・文字などの相互の重なりを調べる 方法
 - (c) 図面としての美的評価
 - (d) 実用できる図面かどうかの判断
- (e) 透視図・断面図を作図するはん(汎) 用 プログラム や, Hidden Line の消去のためのアルゴリズム と プログラム 化
- (f) 特殊作図たとえば図 4.1 のように, 任意の形状の中につける ハッチング など
 - (g) 図形情報の コンピュータ への インプット の方法
- (2) 文字(漢字・かたかな・ひらがななど) と パター っ 作図 ルーチン が完備されていない。

必要に応じて作ることは可能であるが、 文字数や パターン 数が多いと計算機 メモリー を占有するので、その作り 方の技術の良し悪しが、使い方の便・不便および計算時

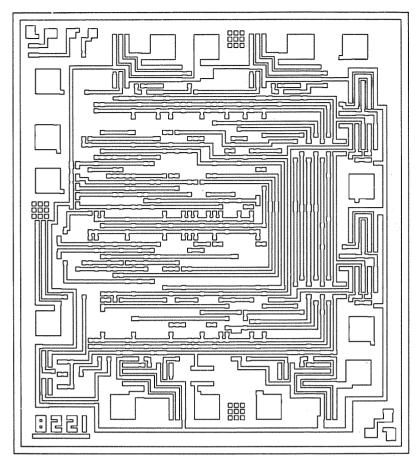


図 3.4 LSI マスク 原図自動製図例 (Al 配線) Example of automatic working of LSI mask original drawing.

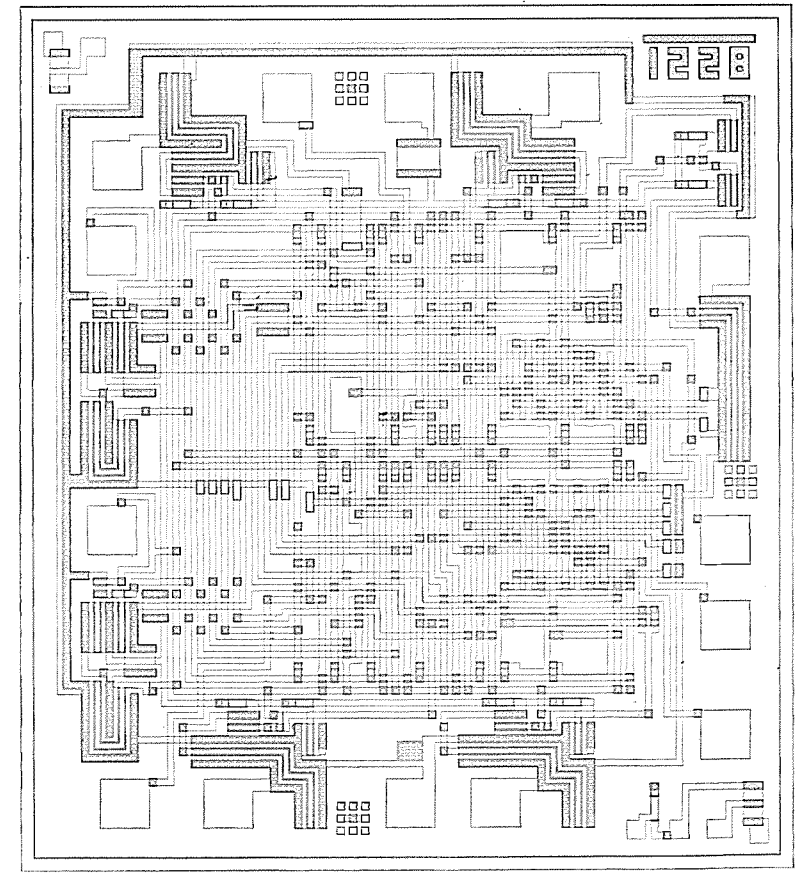


図 3.5 LSI マスクの原図自動製図例(重ね合わせ図) Example of automatic working of LSI mask original drawing.





図 4.1 特殊製図例 Example of special drawing.

間と関係して問題となる。

4.2 ハードウエア上の問題点

(1) 紙 テープ 入力の製図機では紙 テープの パンチミス リードミス が トラブル のなかでは多い。

磁気 テーブインブットの製図機は購入時の価格は高いが、磁気テーブから紙 テープ への変換費用を考えると、 長期的にはかえって安くなる。

(2) 作図 ヘッドに鉛筆が使用できないために、でき上った図面 の手直しをするのに不便である。

わずかな修正にも、インプットデータを直して再度コンピュータにかけるようでは、実際的でないし、経済的でもない。ボールペンとかインクの修正液が使えるものもあるが、はたしてどれほど便利か。また、特殊用紙(たとえば武藤工業のユニベーパなど)を使用すれば容易に修正はできるが、用紙の価格が高いなど問題がある。

- (3) ウェットペンやボールペンは、長時間使用しないと乾いてインクが出ないことが起こる。したがって、複数個のペンを使う製図では各ペンを適当に交互に使用するようにプログラムをする必要がある。
- (4) ウェットペン、ボールペン などの インク の切れ、かすれを防止する ための ハードウェア 上の対策はない。

ソフトウェアで工夫をすれば根本的解決にはならないが、多少の効果 は即位できる。

(5) 作図機 (plotter) は高速化される傾向にあるが、その作図 速度に追従して作図可能な ペン (インク の質) と紙質の研究が遅れている。

感熱紙を使う方法も考えられている。米国では作図機器の速度的 問題から、COM (Computer Output Microfilm) を利用していると ころもある。

- (6) フォトヘッドでフィルム に精密作図する場合、ラング や製図機駅 動機構の タイムラグ により、均一線が作図できない場合が起こったり する。ハードウェア、ソフトウェアで対策を講じている。
- (7) 文字の作図は比較的時間がかかる。 印字 ヘッドを持っているものもあるが、字数に限りがあるばかりか文字の大きさが固定されてしまっているなど、満足しうるものとは言いがたい。

5. 自動製図機の新しい傾向

最近までの作図機器は、そのほとんどがデージタル制御による作図 機構を使用しているため、直線補間・円弧補間・曲線補間・文字な どの作図は

- (1) ハートウェァで自動的に行なえるようにしておく。
- (2) コンピュータソフトウエアで事前に有効線分の集合に分解しておく。

のいずれかの方法、またはそれらの併用された方法で行なっている。 したがって(1)の方式のものは、価格は高いが、入力デーブは情報 量が少なくてすむために短くてすむが、(2)の方式のものは入力テ ーラが長くなり、コンピュータ経費も高価につくなど一長一短があったしかし、最近では作図機器にミニコンピュータを内蔵させ、ミニコンピュータのソフトで処理する方式(ストアートブログラム 方式という)が出現してきた。この方式によると文字や作図の補間ルーチンを自由に作り変えることができるほか、ミニコンピュータとしても使えるなど、能力や融通性を飛躍的に向上させることができる。ミニコンピュータは 8kW程度のメモリーのものが使用されている。このような変化に伴い、入力も紙テーブから磁気テーブに変わる傾向にある。

6. むすび

作図機器の最大の欠点は、たとえそれが ON-LINE システムであっ ても、Graphic Display のように対話的に使用できないことである。 作図機器によって作図されるものは、ことに紹介したプリント配線板 パターンやLSIマスクパターンのような一部のものを除いて、美的である かどうかという評価がたいせつな要素になる。そして、それは多くの 場合, 図形的判断を伴うものである。しかし現在の Digital Computer の ソフトウェア 技術は、コンピュータ が図形情報の処理に適していないこ ととも関連して、図形的判断に関しては遅れている。ソフトウェア技術 もおくれているうえ、対話的にも使用できない作図機器による自動 作図は、その対象の作図手順・作図論理・作図パターシなどを十分に 分析・整理・標準化したものによってのみ、実現が期待されるよう に思われる。すなわち、図面を構成している線の粗密さや図形が単 純か否かということで、自動製図の難易を論ずることはできない。 盲の作図機器には、そうしたことはたいした問題ではなく、作図手 順の確立、作図論理の定式化、作図パターンの標準化ができることに そが重要な事柄なのである。

なお、図形判断を伴う自動設計・製図システムとしては、Graphic Display を介した対話形システムが望ましい。また、高度な作図精度を要求しないものについてはCOMも将来利用されるようになろう以上、当社の自動製図の代表的実例を、概説と自動製図の問題点、動向について述べてきたが、われわれの身近には分析・整理・標準化の努力をすれば、機械化への道が案外に開けるものが多くあるように思われる。

最後に、資料の提供に協力された鎌倉製作所整備課の野田氏、北 伊丹製作所集積回路部の木下氏に謝意を表する。

参考文献

- (1) 三上, 田淵, 杉本:三菱電機技報, 43, No. 10, 1,406 (昭 44)
- (2) 三上、田淵、杉本: IC 計算機用 プリント 板の自動設計方式、 IE 43 信学全大、S 2-4
- (3) 三上、田淵、加藤:計算機による部品の配置設計、昭 44 電学全大、3229
- (4) 三上, 田淵: 計算機による プリント 配線経路の決定, 昭 42 信 学全大, 974
- (5) 三上, 田淵: A Computer Program for Optical Routing of Printed Circuit Conductors, Proc. IFIP Congress, 68 (1968)
- (6) 浅川, 土屋, 中山, 加藤, 木下低か: LSI マスク 原図作成 CAD システム, 昭 45 電学全大, 2650

ディスパッチングセンタ

柴田謹三

Dispatching Center

Kobe Works Kinzo SHIBATA

Examples of automatic warehousing introduced as the means of rationalizing physical distribution are now drawing attention. On a production line of a plant such as that in the heavy electric machine works of Mitsubishi Electric where each machine is to be built according to an individual customer's order, physical distribution and an information system are integrated for the purpose of rationalizing the production control and saving the labor of material handling by utilizing automatic warehousing, driverless trailors, EDP apparatus and so on. Introduction of this technique is outlined in this paper.

1. まえがき

一般に個別受注生産工場における生産方式は、多品種少量生産ということが宿命的にさけられないところであるが、このような工場においては、生産規模の拡大とともに、取り扱う製品・部品の種類は、量産工場と比較にならないほど多様化してきている。

これを生産管理上の情報量という面からみると、取り扱う部品の種類が多くなればなるほど、これに付随する情報量は品種の数に比例して増大してきている。これがために情報管理 システム はますます複雑化し、これは同時にこれを運営管理している要員の増員化の傾向に結びついてきている。

こうしたことを前提において、 生産 ライン における物の動きと、 これに関する情報の管理に焦点を合わせ、 自動倉庫 システム と EDP 機器を組合わせた、マテリアル ハンドリング の機械化による省力と、情報 管理の合理化を行なったのが ディスパッチングセンタ である。

ディスパッチングセンタ は、昭和 45 年 5 月に実動以来すでに 1 年有余になるが、個別受注生産工場の生産 ライン における動流 システム の合理化の一例として以下にその概要を述べる。

2. 配電制御盤の生産ライン

当社神戸製作所で製作している電力,工業用各種配電制御盤の生産 ラインは、図 2.1 に示すごとく,配電制御盤の箱体を加工する メインライン と,盤面または盤内取り付け器具,部品を製作する部品工場の サブライン より構成されている。

図2.1でみるように、メインラインは板金(鋼板の切断・抜き・曲げ・溶接)、塗装、組立、試験、荷造りこん(梱)包、発送のラインよりなっているが、組立段階においては、盤面・盤内取り付け・収納機器として、各種開閉制御機器・継電器・計測器のほかに、種々雑多な部品が搬入、取り付けられるが、これらの器具・部品をいか

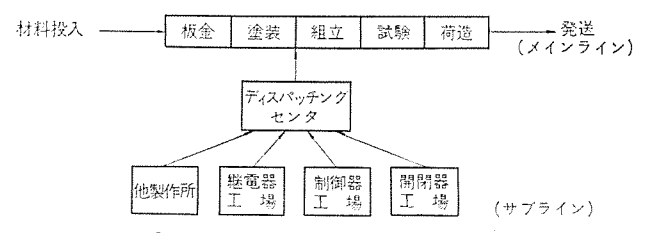


図 2.1 配 電 制 御 盤 の 生 産 ライ っ Manufacturing process of switchboads and switchgear.

にうまく、もれなく取りそろえるかが、 組立 ライン の最重要点となっている。

ディスパッチングセンタ はこの メインライン と サブライン の中間に 部品倉庫をおき、両者にまたがる工程管理の センタ とすると 同時に、部品の集約、仕分け配分、供給などの問題を、情報面と物流の設備面から機械化して省力化・合理化をはかったものである。

したがって、ディスパッチングセンタ の機能は、オーダメイド 部品の前工場からの受入れ・仕分け・運搬・保管・払い出しなどの現品管理機能と同時に、配電制御盤の受注から出荷までの日程計画、手順計画、進ちょく(抄)管理、ストック品の在庫管理など、いわゆる工程管理機能をあわせもっており、組織上は工程管理部門に所属している。

3. ディスパッチングセンタの概要

3.1 建屋と設備

ディスパッチングセンタ は配電制御盤組立工場に隣接して建設され、延 面積 $1,600 \, \mathrm{m}^2$ 、高さ $20 \, \mathrm{m}$ の高層建屋よりなっている。

部品工場からの器具・部品類の受入れ、荷さばき場は1階にあるが、払い出し側 フロア は3層になっており、それぞれ組立工場の1、2、3階と同一レベルに合わせて、お互いの工場間を直接連絡できる

表 3. 1 ディスパッチングセンタ の設備機器の諸元 Specification of various items of dispatching center.

	たな当り私	腹載荷重	500 kg, 1,000 kg		
高層棚	たな数	500 kg	1,944 マス		
	1/2 /2 /2	1,000 kg	594 マス		
	定格荷重	×台数	500 kg×3 台,1,000 kg×1 台		
	昇 降	速度	最高 20 m/min		
スタッキング	走 行	速度	最高 80 m/min		
クレーン	操作	方 式	手動運転(A 方式) 自動運転(C1 方式) 遠隔集中自動運転(C2 方式)		
	自 重		580 kg		
無人けん引車	逃	度	4 km/h		
	けん引総	1	2,000 kg		
	トウバス!	フイヤ	VSF 2 mm/mm ²		
	80 腳カード	カード	80 欄標準カード		
	読取り部	読取り速度	20 けた/秒		
		けた数	80 けた		
	バッジカード	カード	プラスチック積層板		
データコレクタ	読取り部	読取り速度	20 けた/砂		
	100 -W) HP	けた数	12 けた		
	マニュアル	設定方法	文字盤スライド式 固定/可変選択自由		
	設 定 部	読取り速度	20 けた/秒		
	15. NC 110	けた数	15 けた		

構造とした。これは部品払い出しの際のマテリアルハンドリング面で、同一フロアレベル上でのフローライン化に考慮を払ったためである。

ディスパッチングセンタの設備は、高層だな(棚)とスタッキングクレーン、無人けん引車、データコレクタおよびたな番管理だななどからなるが、そのおもな仕様を表3.1に示す。図3.1はこうした設備・機器がどのように配置されているかの概念図を示し、図3.2はディスパッチングセンタにおける部品の受入れから払い出しに至る一連のマテリアルハンドリングフローを示す。

以下図 3.2 の マテリアル ハンドリングフロー に したがって, 各設備・機器の特長を述べる。

3.2 器具・部品の受入れ

ディスパッチングセンタへの器具部品類の搬入は、図3.2 に示すように 工場間を定期的に巡回しているトレーラによる連搬、重量物・大物部 品などを運ぶフォークリフトによる運搬、および社外から搬入される部 品のトラックによる運搬の3種類の運搬方式が行なわれている。

ディスパッチングセンタ の受入れ担当者は、 こうした到着部品を製造番号別に仕分けをして、 所定の コンテナ に収納する。 ディスパッチングセンタは、 一般の自動倉庫にみられる品種別保管はとらず、 組立工場側に払い出す工事の製造番号単位に保管・管理する システム をとっている。

製造番号車位に部品を収納したコンテナは、製造番号とたなのロケーション番号と照合したうえで、ローディングステーションに セット され、せん (穿) 孔したロケーションカード を遠隔集中操作盤のカードリーダ に入れることにより、指示されたたなにスタッキングクレーンで自動的に格納される。図3.3 は遠隔集中操作盤による運転作業を示す。

部品を格納するたなのたな番号管理は本システムの運営上、時間の経過とともに格納する部品の種類・数量がたえず変化するため、あいているたなはいつでも自由に使える フリーロケーションシステムを とっている。一般に フリーロケーション 方式は、フィックスドロケーション 方式にくらべ、たなの使用効率はよいが、たな番の管理が複雑・高度になる。ディスパッチングセンタではこのたな番の管理にふたとおりの方法を併用している。

コンテナが高層だなに格納されるとただちに、いつ、どの工事の、 どの部品を、何個、どこのたなに格納したかを示す情報を、集中管 理室に設置してある データコレクタ により、 中央の計算機室へ 電送する。

データコレクタ は、 スタッキングクレーン 制 御 川 の プラスチック 製 ロケーション カード をそのまま読みとれる リーダ 部をもち、 そのほかに 部品や材料 などの情報を盛込んだ 80 欄 カードを読みとる カードリーダ と、 日付け

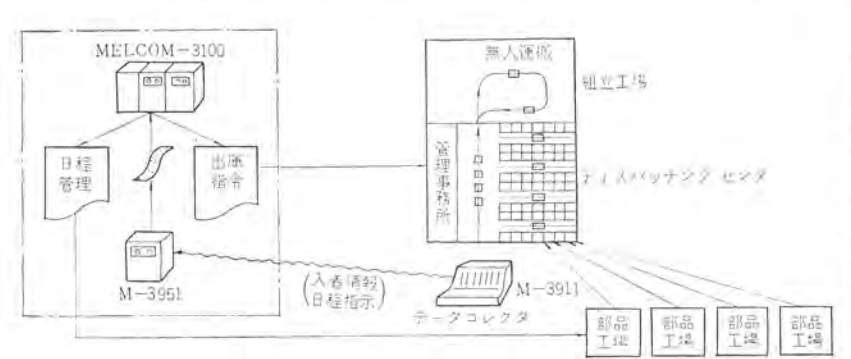


図 3.1 設備配置概念図 Configuration diagram of installation of equipment.



図 3.3 遠隔集中操作盤 (C₂ 方式) Centralized remote control console desk.

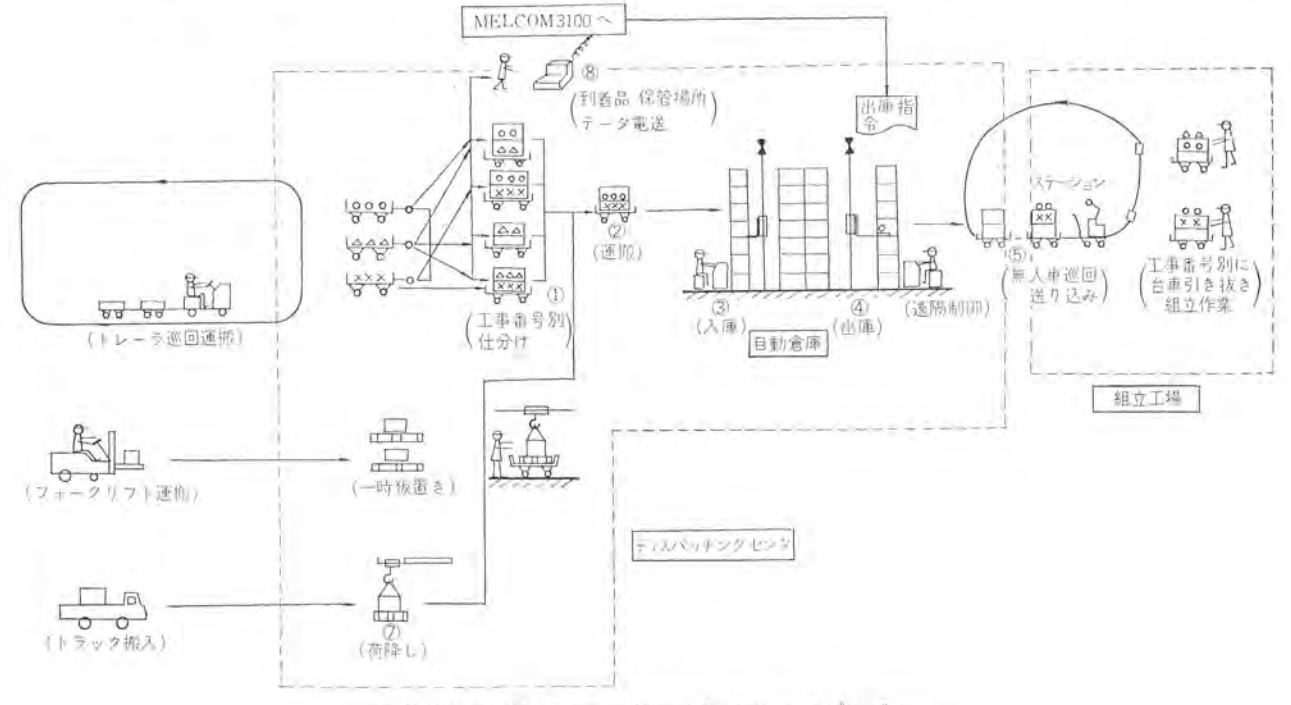


図 3.2 ディスパッチングセンタ における マテリアル ハンドリングフロー Material handling flow in dispatching center.

や入着部品数量など、たえず数値の変動する情報は、送信者が任意 に セットできる、マニュアルキイより構成されている。 図 3.4 は データ 電送作業の例を示す。

こうして電送された情報をもとに、計算機の部品ファイルの中では、 製造番号・部品名・保管 ロケーション のお互いの関係付けがされて、 ファイルメインテナンス されている。これらの部品入着情報は、 あとでの べる 口程管理 システム の インプット 情報として、 重要な役割りを果して いる。

一方 ディスパッチングセンタ 集中管理室には、どの工事のどの部品が、どのたなに保管されているかが一目でわかるよう、図3.5 に示すようなカードペアを設置して、ロケーションカードと部品カードを一諸にして常時保管管理している。これはあきだなの検索を容易に行なうためと、中央の計算機の部品ファイルに記録されている情報がなんらかの原因により誤まった情報として記録されていた場合のチェック、ならびに緊急時の入出庫作業用として用意されている。

3.3 スタッキングクレーンと運転操作方式

一般に自動倉庫のスタッキングクレーンには人間が機上で運転する手動方式と、数台のクレーンを同時に無人運転する遠隔集中自動方式と、この中間をゆく半自動または自動方式がある。また機能別分類により、ピッキング形式とフォーク操作形式があるが、そのいずれを選択するかは、取り扱う品物の特性、荷姿、システム全体としての経済性などから決定される。ディスパッチングセンタの例では、たな番管理方式としてフリーロケーション方式を前提とした、製造番号別部品管理システムをとっていることと、ハンドリングの省力化という見地から、フォーク操作方式のスタッキングクレーンによる、自動運転方式(C1、C2方式)を採用した。

ディスパッチングセンタ は組立工場の生産 ライン に直結しているため、も



図 3,4 データコレクタ Data collector.



図 3.5 たな番管理用 カードベア Kard-veyer.

し スタッキングクレーン が長時間故障した場合は、生産 ライン の工程に重 大な支障をきたすおそれがある。

こうした不測の事故を未然に防ぐとともに、万一故障の起きたときには、ただちに即応体制のとれるよう、クレーンの運転操作方式については、遠隔集中自動運転 (C_2 方式) のほかに、クレーン 1 台ごとに独立して運転できる自動運転方式 (C_1 方式)、および人間の機上操作による手動運転方式 (A 方式)を採用し、3 段構えの Λ_{00} 0 Γ_{00} 0 $\Gamma_{$

図3.6は C₁ 方式による自動運転操作を示すが、この方式での運転指令は、入出庫のモード選択とロケーション番号を、クレーン 本体に装置されている自動設定盤上にマニュアル で ブリセット することにより行なわれ、起動 ボタン を押せば クレーン は自動的に入出庫作業を行なう。

自動設定盤への運転指令は クレーン の運転 1 サイクル ごとにその 都度行なう。 この運転方式は クレーン への運転指示と、 入出庫の荷さばき作業を同一作業員で実施できるため、緊急時や他の スタッキングクレーン が故障または保守点検しているときの入出庫作業に 使用される。

3.4 部品の払い出し

組立工場への部品の払い出し日程が最終的に確認決定されると、 ディスパッチングセンタの管理事務所にあるデータコレクタにより、どの工事 の部品を、何月何日、どのワークステーションに払い出すかという情報 として中央の計算機室へ電送される。



図 3.6 自動設定盤(C₁方式) Command console for automatic control.



図 3.7 無人けん引車 Driverless trailor.

組立工場への部品の払い出し日の前日になると、計算機室では、 部品送り込み指示リスト と クレーンオペレータ 用の スタッキングクレーン 運転 指示リスト を発行して、ディスパッチングセンタ へ送付する。

クレーンのオペレータは運転指示リストにより所定のロケーションカードを 選択し、遠隔集中操作盤のカードリーダにそう入してクレーンの自動運 転を行なう。

出庫された コンテナ は、出庫口に セット されている台車上に自動的 にローディングされる。

ディスパッチングセンタ の各 フロア には無人けん引車が配置されており、各 フロア の台車上に 出庫された コンテナ は、 部品送り込み 指示 リスト に記載されている。 送り先の ワークステーションコード 順に整列させて無人けん引車に接続する。 無人けん引車の行き先き ボタン を所定の送り先き ステーション に セット して起動 ボタン を押すと、無人けん引車は指示された ワークステーション まで自走し、 目的地点に到着すると自動停止して警笛を鳴らす。 組立工場側の各 ワークステーション の作業者は該当する コンテナ 台車をはずし、同時に無人けん引車の起動 ボタン をリセット すると、ふたたび無人けん引車は次の目的地点へ向って自走する。

無人けん引車の進路には、VSF2mm/mmⁿのトウパスワイヤが、通路にそって埋設してあり、無人けん引車はこのトウパスワイヤからの発信磁界を検知、追跡しながら自走する構造となっている。

図3.7は無人けん引車によるコンテナ台車の運搬状況を示す。

4. 情報システムと EDP 機器

当社ではすでに昭和44年来, SIGMA 計画 (Single Information Systems for General Management Activities) の名のもとに、経営情報 システム の確立と、機械化を目指して全社的に推進中であるが、本情報 システム も SIGMA 計画の一環として、取り上げられたものである。

配電制御盤の受注から出荷までの生産 サイクルは、図4.1のようなパターンで表わされる。SIGMA 計画の中ではこうした仕事の流れを、生産管理面から図4.2に示すように六つの局面にわけ、これを次のようによんでいる。

4.1 PHASE-1 大日程管理システム

図 4. 2 に示すように、大日程管理 システム は、配電制御艦の受注 から出荷までの 12 点の主要日程(チェックポイント)の指示、および変 更・訂正を行なう システム である。 12 点の チェックポイント は製造番号 ごとに、受注会議の席上決められ、コンピュータ の大日程 ファイル に イ シプット される。

もしなんらかの理由でチェックポイントの日程が変更された場合には、 大日程を管理しているディスパッチングセンタの管理事務所から、データコ レクタを利用して計算機室に変更情報が送信される。計算機室では、 各端末機から送られてきた情報をもとにして、大日程ファイルのデイ リーメインテナンス処理を行なっている。

4. 2 PHASE-2 工作情報システム

設計部門から出図された設計情報を、生産準備部門で工作情報に変換するシステムである。

ディスパッチングセンタ に送り込まれる予定の部品の情報は、この段階で コンピュータ の部品 ファイル に インプット され記憶される。 Phase-4 の進ちょく管理は主としてこの部品 ファイル の中の情報を中心 にして 行なわれる。

もし設計部門から器具・部品の追加、訂正、取り消しなどの情報が発合され、緊急の手配を必要とする場合には、生産準備部門の事務所に設置してある システムタイプライタ により、即刻製造現場に対して変更指示をするとともに、同時に作成されたせん孔紙 テープが計算機室に送られ、部品 ファイルの デイリーファイル メインテナンス 処理が行なわれる。

4.3 PHASE-3 部品入出庫管理システム

部品工場か他製作所から搬入された器具・部品を デイスパッチングセンタ で受入れ、仕分け・保管・払出しするまでの管理 システム が、図3.4 は受入れた部品の入着情報を データコレクタ により、 電送している状況を示す。

計算機室ではディスパッチングセンタ その他の工場から送られてくる部品の発送、入着情報をもとに部品ファイルの消し込みを行なう。

大日程ファイルの中のある製造番号の工事が、組立着工日前になると、部品ファイルとつき合わせて情報検索を行ない、組立工場への部品送り込みリストと、スタッキングクレーン運転指示リストとして印刷されディスパッチングセンタ に送られる。ディスパッチングセンタ での処理は 3.2 節で述べたとおりである。 表 4.1 に スタッキングクレーン 運転指示リストの例を示す。

4. 4 PHASE-4 部品進ちょく管理システム

配電制御盤の組立作業の前工程である, 部品工場に対する部品の 予告・督促を行なう システム である。

との システム では部品工場側が ディスパッチングセンタ への部品の送り込みの準備体制をととのえるため、組立着エ日が 2、3週間先までの予定の工事に使用する部品の工期予告を行なうととができるように

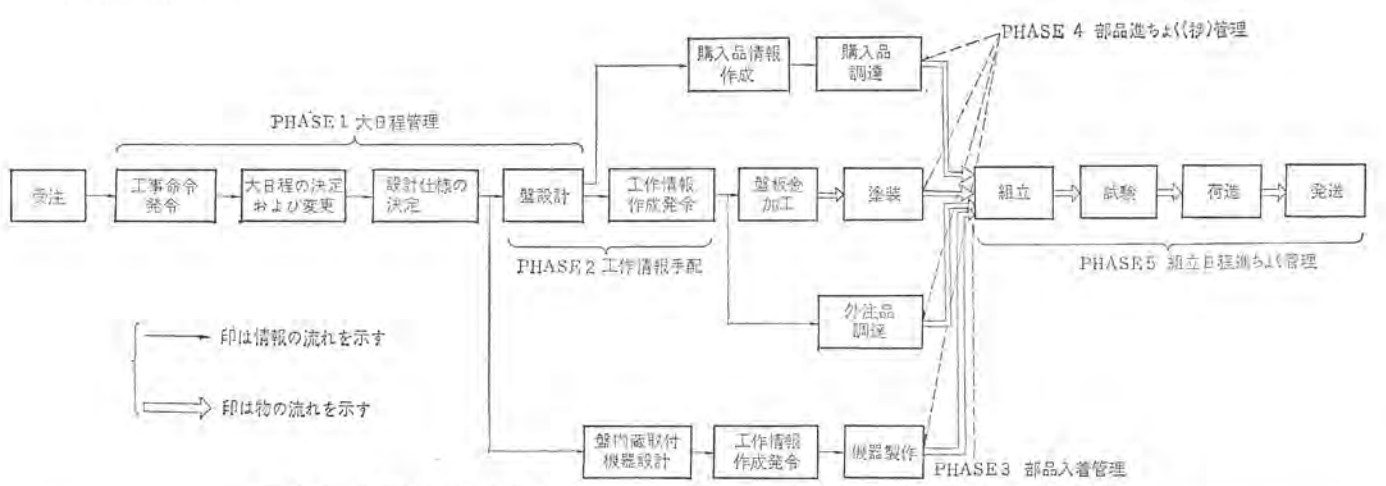


図 4.1 配電制御艦の生産サイクル

Production cycle of switchboad and switchgear.

なっている。また組立作業が開始されているにもかかわらず、未入 の部品がある場合は督促リストを定期的に発行して、 前工場の進ち ょく管理を行なう。

4.5 PHASE-5 組立日程管理システム

この PHASE は組立着工日の決定から、出荷までの日程進ちょく 管理 システム である。 組立着工日は 12 点の チェックポイット の一つであ

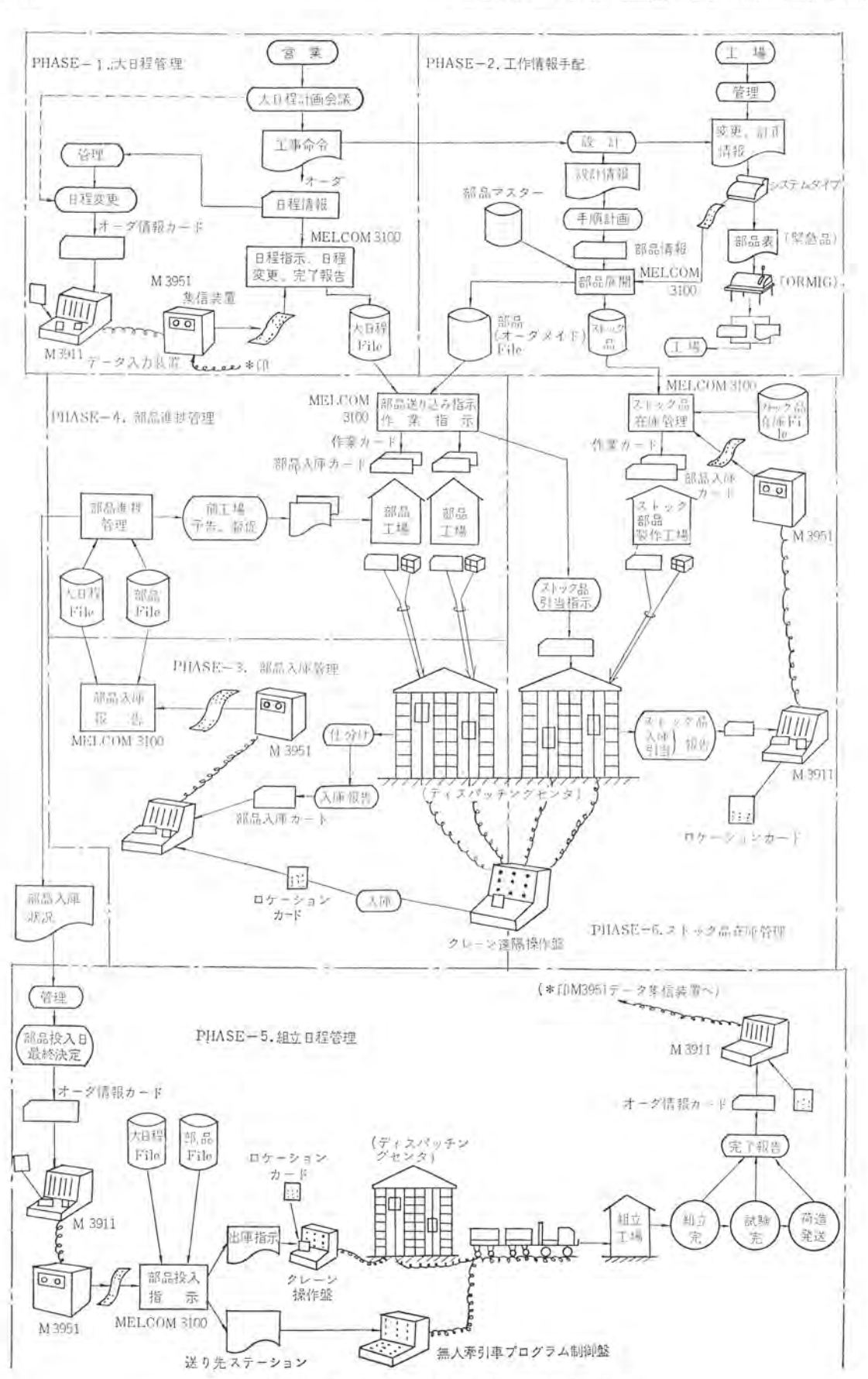


図 4.2 ディスパッチングセンタ を中心とした生産管理 システムフロー Information control system of dispatching center.

(スタッカクレーン 運転指示 リスト) STACKER-CRANE OPERATION LIST

OPERATION DATE 44-11-18

(リスト作成日) DATE 44-11-17

ORDER	(送り先) ASSY-SHOP FLOOR-STATION	CRANE			TION	
A 12345	1-01	1	10-01-01	10-02-03	10-01-02	10-01-03
			10-14-12	11-27-10		
		2	20-01-01	20-11-05	21-13-01	21-13-0
		3	31-05-12			
		4	40-11-03	40-12-03	40-12-04	
B 12345	1-04	1	11-26-01	11-26-02		
2 100 10		2	20-04-02	20-04-03	20-04-04	21-01-0
			21-02-01	21-03-01		
		3	30-20-12	31-13-01	31-10-10	
C 11111	2-02	4	40-07-05	40-08-05	40-08-06	41-08-0
D 10000	2-05	2	21-11-11	21-20-19		
D Toure		3	30-01-10	30-01-11	30-01-12	
		4	40-03-05	40-03-06	41-25-11	
A 10000	3-03	1	10-15-09	10-15-10	10-15-11	
11 10000	7.5	2	20-20-02	21-20-03	21-20-04	
		3	31-11-11			
		4	40-01-01	40-01-02	40-01-03	
B 10000	3-08	1	11-05-11	11-05-12		
20.0000		3	30-01-11			
		4	40-17-07	40-18-07	41-18-07	41-18-0
C 10000	3-09	1	10-09-12			
		2	20-19-03	20-19-04		
		3	31-11-01	31-12-01		
		4	40-03-03	40-04-03	40-05-03	44-06-0

るが、これは配電制御盤の組立作業の場合、組立着工目の適否は、 組立工場の フロアスペース の回転率と 組立作業能率に 大きな 影響を与えるからである。

組立着工予定日の一定期日前になると自動的にコンピュータにより、該当工事の部品の入着状況を示すリストが作成され、ディスパッチングセンタに送付される。組立作業の責任者と工事進ちょく者両者により、組立スケジュール、および部品入着状況から判断して、予定どおり組立着工するか、あるいは日程変更するかの最終取り決めを行なう。この結果をもとにして、部品送り込み日、作業班、送り込み先ワークステーションなどの情報をデータコレクタを使って計算機室へ電送する。着工日がくれば、PHASE-3で述べた方法により、部品は組立工場へ払い出される。

組立以降の大日程のチェックポイントの完了報告は同様にデータコレクタ によりディリーに行なわれる。

なお、データコレクタを利用して部品の入着状況、たなへの保管状況 などを任意に問合わせることのできるトランズアクション 処理もこの シ ステム では可能である。

4.6 ストック品在庫管理システム

ディスパッチングセンタには、オーダメイド 部品のほかに、共通部品として使用可能なストック品が1,000 品種あまり保管されているが、PHASE -6 は、こうしたストック品の発注・受入れ・引き当て・在庫調整などを行なう在庫管理システムである。

現品ストック品関係については、半固定式の現品だなに品種別に保管して、コンピュータからのストック品の引き当て指示表に従って、人が巡回しながらマニュアルピッキングを行なっている。

以上の六つの PHASE を通じての EDP システム の特長を列挙すると、

- (1) 個別受注生産工場では、日程・仕様の変更はどうしても避けられないという前提にたって、日程変更・訂正の手続きには弾力性をもたせたシステムとしたこと。
- (2) ただしこの処理に タイムラグ を生じないよう、日程変更には データコレクタ、仕様変更には システムタイプライタ などを導入し、情報処理の迅速化をはかったこと。
- (3) 組立スペースの回転率向上をれらいとして、着工日管理の原 即をうち出したこと。
- (4) 計算機室にある データバンク ともいうべき部品 ファイル の中の情報を任意に引出し、問合わせができる システム としたこと。
- (5) 物の動きに関する情報の信頼度を高めるため、データ収集機器を工場現場に配置するとともに、保管部品のロケーション管理を徹底する システム としたこと。

などである。

5. む す び

ディスパッチングセンタ は実動後すでに1年余になるが、実際にシステムを運営してみて、設備面ではクレーンの運転、たな番管理、仕分けっていなどを総合したトータルシステムとしてみると、まだ省力化の余地は残こされている。

エレクトロニクス 技術の進歩とともに ミニコンピュータ による 計算機制御 の応用など、今後の課題として取り組んでゆきたい。

最後にディスパッチングセンタの計画・実施にあたりご指導、ご協力を いただいた、社内外の関係各位に深く謝意を表する。

参考文献

(1) 佐竹, 中野, 伊藤:三菱電機技報 44, 1,327 (昭 45)

加工・組立自動化の動向

蘊原 智*

Recent Trends of Automated Manufacturing

Manufacturing Development Laboratory

Satoru HAGIHARA

To meet the present keen international competition and to export excellent products, rational production must be worked on by any means. Considerable rise of wages following the economical growth of the country makes it necessary to take up automatic operation and labor saving to cut down the cost. This paper covers various subjects in reference to the above; discussion is made on the present state of rationalization and labor saving and future trend in the manufacturing industry such as Mitsubishi Electric. Introduction is made on the study of individual automated technique involving machining and assembling, and through the machines developed by the Manufacturing Development Laboratory, observation is made on the present conditions and estimated future that all apparatus would be computer controlled. And it is introduced that in the future the unmanned factory which produces divers products would be realized by integrating indivisual automated technique. Thus estimated goals would be reached by human knowledge.

1. まえがき

わが国の経済成長のスピードは、世界史に類例をみない高いもので あり、過去10年の国民総生産の年間平均成長率は12%という西欧 先進国の2~2.5倍の値を示した。一方工業生産は、昭和40年の不 況をくぐり抜けて以後増加のピッチを上げ、この5年間にほぼ倍増 している。輸出の増加は、昭和39年を転機として、工業生産のスピ - ドを追い越し、最近のスピードの原因を分析した結果はつぎのよう に言われている(1)。まず工業の技術的進歩があり、その生産力が強 化され, この生産力の増加につれて海外輸出が工業生産の拡大を リ ードしている。この間に国民的消費は、はじめ低いペースでのちに着 々と増えているが、そのピッチがおそい。 このような経済的・社会 的環境の中で、当社のような組立産業がいかに生産の合理化を進め るかが多くの問題を含んでいる。 この10年間に当社の企業規模は 拡大につぐ拡大をつづけ、また企業間競争はし(機)烈なものとなっ てきた。単に国内のみならず、わが国経済の高度成長に対する国際 的圧力による資本・貿易の自由化が促進されて、国際的なものとな ってきた。一方、企業規模の拡大は、若年労働力の需要集中を招い たが、人口構成上これらの供給層は縮少しており、さらに高学歴化 が重なって、労働力不足は深刻な問題となった。また、経済規模の 拡大と労働力不足は、賃金の上昇となって現れ、企業を取り巻く環 境は、まことにきびしいものになった。

このような中で、生産性の向上とコストの低減を図って、企業問 競争に打ち勝つには、従来の生産形態では行詰りが生じてくるのは 切らかで、生産の自動化・省力化が急務となってきた。これらは従 来から進められていたが、大部分は、部品加工の段階までであり、 しかも機械化しやすいもの、多量に生産されるものに限られていた。 自動化・省力化は、このような範囲を越えて、生産のあらゆる部門 にわたって要請されるに至った。

当社においては、昭和41年ごろから各事業部・製作所で生産の 自動化・省力化が推進されはじめ、さらに昭和42年に至って、全 社的に積極的に取り組まれることになった。

すなわち、受注・生産計画・設計・材料手配・部品加工・組立・マテリアルズ ハンドリング・試験調整・倉入れ、 および 出荷といった生産システム 全般において、それぞれ個別の自動化はもちろんのこと、生産管理や倉庫の自動化・省力化が計画された。このうち、生産管理

や設計、あるいは倉庫の自動化は、電子計算機を主役として進められ、また部品加工では、自動化プレスラインや数値制御工作機の導入が図られた。しかし、従来、人間の制や経験、器用さや繊細な感覚、寸法の大小や数量の多少にかかわらず対処できる フレキシビリティなどに頼ってきた作業、すなわち、組立・マテリアルズハンドリング および試験調整などの自動化・省力化は、まったく遅れており、独自に新らしい装置を開発する必要が生じてきた。

このような全社的な動きに対して、昭和43年8月、中央研究所に自動化機械の開発グループが構成され、昭和44年には、材料加工の技術部門もあわせて生産機器研究部が新設されて、中央研究所に初めて生産技術の研究開発部門が生れた。 さらに翌昭和45年8月、この研究部を中心に生産技術研究所が発足した。新研究所は、本社管理部門および、各事業部・製作所と協力して、自動化・省力化機器の開発・製造、および加工技術の開発・応用を行ない、生産性の向上、コストの低減、利益の増大に寄与することを基本任務としている。

研究所における自動化・省力化機器の開発担当部門は、グループが 初めて編成されて以来、組立、マテリアルズ ハンドリング および試験調整 の自動化・省力化を中心に新しい装置の開発と製造を進め、各事業 部・製作所の生産性の向上、コストの低減に寄与してきた。

本文は生産技術研究所で開発・製造された装置のうち、代表的な ものを二、三あげながら、自動化の現状と将来の生産工場の動向に ついて記してみる。

2. 加工の近代化

素材を加工変形して部品を製作する作業を分類すると、下記のように実に多種多様の方法がある。

付着加工 - 溶接加工 (ア-ク 溶接・抵抗溶接・圧接・ロー 付け) - 盛金加工 (加熱盛金・電着・溶射)

変形加工――溶解加工(鋳造・ダイカスト) ――焼結加工

> 一塑性加工(鍛造・圧延・引抜き・冷間鍛造・ブレス ・転造)

除去加工――切削加工(旋削・中ぐり・平削り・フライス・ブローチ) ―と(低)石・と粒加工(研削・ホーン・ラップ) 一特殊加工(化学研摩・電解加工・放電加工・レーザ 加工・電子 ビーム 加工) ことでは個々の加工法の技術的研究問題や,今後の合理化の傾向 はそれぞれの専門家にまかせて,工場の無人化・省力化への観点か らながめてみる。

2.1 溶接加工

アーク溶接機や抵抗溶接機の取り扱いは、従来、熟練した作業者によって行なわれてきたが、これらの装置の自動化・半自動化が急速に進んでいる。その自動化率は昭和43年に抵抗溶接機で60%を越え、アーク溶接機で40%近い値を示している(3)。 自動車産業や造船工場におけるこの種の要求が高く、最近では溶接線の自動検出や、溶接部の状態の判別を行ない、溶接条件を制御するという高級なものまでが考えられている。量産品の溶接については、大形の専用機を作ることによって繰返し作業は、プログラムで行なえる機械が多く開発された。しかし自動溶接の場合は溶接部の位置が機械加工部品ほど高い精度でないために、NCの応用ではうまく行かないのが欠点である。したがって上に述べたような検出器や運動制御装置との組み合わせによる方式が考えられており、当研究所でも磁気テープによるプレイバック方式、機械的・光学的な溶接線方向の検出器を用いた自動溶接機の開発を進めている。

2.2 溶解加工

鋳造工場の近代化はすでに実現されつつあり、従来の人力による作業のほとんどが無人化されている⁽³⁾。 鍛造工場でもトランスファの 鍛造機が並び、 むずかしい ハンドリング の一部が人力に依存するのが 現状である。 プラスチック 成形加工・ダイキャストマシン などでは、 従来手作業を必要とした製品の取り出しなどが、ハンドリング 装置につぎつぎ とおきかえられ、1人で数台の機械を操作するような状態になっている。

2.3 塑性加工

打抜き、折曲げ等の板材の プレス 加工は、トランスファブレス の発達によって著しく高速化された。材料の供給取り出し作業も自動化され、フープ 材の供給によってプレス の自動化が実現した。パイプ 加工や、電気製品の コイル 成形などに見られる線材の折れ曲げ加工も、プログラム 制御や、NC 装置を応用し自動制御加工(4)機ができている。

2.4 機械加工

切削加工の領域は、急速な NC 化が進み、一方では化学加工・放電加工などの特殊加工の分野では、新しい加工技術が進歩している。今後はレーザ・電子 ビーム・超音波・マイクロ 波などの新 しい 物理加工 法が発達する可能性が秘められている。

2.5 NC 工作機械

旋盤・ミーリング・ボール 盤などの数値制御化,いわゆる NC 化はめざましい。米国とわが国の NC 機械の売上台数を比べると、米国では、昭和 40 年に年間 2,000 台を越えたが、わが国では 41 年に 90 台、以後毎年倍増している。台数の点では、米国に接近したが、単体の価額の点ではまだまだ大きく開いている。米国では、5 軸制御 NC 機が実用化されており、マシニングセンタの 工具交換を制御して数倍の生産性を上げるような機械がすでにある。これらははん用、工作機の数倍の生産性をもち、10人、20人という作業者を1人の作業者に置きかえている。

2.6 NC の群管理システム

英国の モーリンス 社が開発した システム 24 は, タバコ 製造機や包装機の部品製作のための機械加工 ライン (5) で, 6 台の NC マシン で, 1 日 に 2 万個の部品の製作が可能である。その省力性能については,作業時間で従来の工作に比べ 1/50, 1 個の 12トは 1/5, 熟練作業者

は 320 人から 16 人に減少し、ラインの全人数も 363 人から 48 人に減少している。ライン全体は オンライン 計算機によって工程計画がたてられ、日程計画の カード が作られると、オンライン制御の計算機によって、NC 工作機群が運転されるととになる。

てのような計算機に直結した NC 工作機群は、製品の工場帯留時間を極度に減少させてくれるためにも大いに効果が出る。 米国 ウエスチングハウス 社の会長 バーナム氏は、つぎのような例を述べている (6)。 W 社の Charlotte の新 タービン 工場では、テーブ 制御の機械、 ラジコンの クレーン、 計算機に直結した記録 システム などによって、15 年前の機械で同じ製品を作っている Lester の工場に比べて、 生産性では25 %高い能率を出し、 在庫量では35 %少ない成果を上げた。 このように在庫を減らすためには、製品がもっと早く工場を通過するように、モダンな、巧妙な、高価な システム、運転、セットアップ、待ち時間やマテハンを減少する設備など、新しい最適な設備に投資する必要がある。

3. 組立自動化の現状と将来

3.1 組立自動化の要求

部品加工の自動化は、NC工作機や自動盤、塑性加工機械の発達によって急速に合理化されたが、組立の自動化は最近その緒についた段階である。部品加工に比べると、組立作業は次のような特長があり、自動化を遅らせてきた原因である⁽⁷⁾。

- (1) 取り扱う部品点数が多く、工程のあとのほうにあり、製品設計の変更の影響をうけやすい。
 - (2) 種類が多く1機種当たりの生産が少ない。
- (3) 組立作業に、とまかな感覚や器用さが要求され、人間の視覚や、触覚の助けをかりて組立作業を行なってきた。
 - (4) 機械の メカニスム が動作手順から考えてかなり複雑になる。
- (5) 一般に力は必要としないが、紙や ju 布などの形の定まらない、やわらかな物まで扱うことが多い。
- (6) 部品の誤差が集積され、部品精度が自動化の成否を左右する。

以上のごとく組立の自動化は部品加工に比べて困難な点が多く, 一面では人手による組立のほうが融通性があり,生産設備の投資効 果の点で問題があったが,賃金上昇と生産性の向上の二面から急速 な発展を要求されるようになった。

3.2 自動組立機の実例

自動組立機の例としてよく紹介されるものに、アメリカの ギルマン 社が作った、パーカの ボールペン や キャップ の組立機や、 オランダ の フィリップス 社が開発した テレビ 用 プリント 基板への部品自動そう入機がある。そのほか、ウエスチングハウス 社の サーキットブレーカ 消弧装置組立機など、いずれも 10 年以上昔に完成したものである。

当研究所でも過去数年、社内用に多くの自動組立機の開発をして きたが、それらの名前を列挙すると下記のようなものがある。

- (a) 変圧器 ワッシャ への自動 カルタ はり付け機
- (b) 電磁接触器の全自動組立機
- (c) テレビ 用 プリント 基板への ピン 端子自動そう入機
- (d) テレビ 用 プリント 基板への抵抗自動そう入機
- (e) テレビ 用 コイルボビン の組立機
- (f) テレビ 用高周波 コイル の巻線処理機
- (g) 斜交布自動はり合わせ機械

これらの機械は、NC 制御装置を用いた自動位置決めで、多数

の部品を組付けるものが多いのが特長である。また部品点数の多い組立機としては、電磁接触器の組立があり、4台のインデクスマシンを並べた総組立の ライン であるのが特長である。 現在計画を進められているものは、積算電力計・ブレーカ・ディストリビュータなど、月産数万台以上のもので、部品点数の多いものがいくつかある。

3.3 組立自動化の条件

自動組立機は、いずれも多量に生産する量産品が、多量の同型品 を一つに組立てる作業の場合に自動化がしやすいのであって、組立 自動化のための適当な条件は現在ではほぼつぎのようにいわれているの。

- (1) 部品として最低4個以上を組立てるもの
- (2) 年間生産台数50万以上のもの
- (3) 銀行作業に8人以上の人手を要しているもの

このような作業を完全自動化する前の段階で、ジグ化・動力化・ 羋自動化を試み、人間の手作業による部分を含んだ半自動機でも、 生産効率が上がれば設備費用の点を考えると、はるかに有利を場合 が多い。

3.4 自動組立機設計上の要点

自動組立機は専用機であるため、生産販売をするメーカは少なく、いずれもオーダメイドの形となるため、多くの企業は社内にその開発生産の能力をもっている(8)。しかも自動機のコストはそれを使って製造する製品のコストに直接影響するため自動機の開発製造に使える費用はおのずから制限されており、合理的な設計を計画して行かなければならない。また自動組立機は製品の設計変更に弱いため、早期に陳腐化するリスクがつねにつきまとっている。

したがって専用機でありながらも、モデルチェンジ に適応できる フレキンブル なはん用機の特性も要求される。この矛盾する二つの要請を解決する方法の一つとして、自動組立機の標準化が進められている (**)。シチズン 時計が、SYNECTON の商品名で出しているの が一例である。これらは自動組立機の主要な構成要素を標準化して、これらの中から適当な種類を選んで組み合わせることによって、自動組立機とするもので、はん用機の組み合わせで専用機を構成する方式である。現在当研究所でもこの点については インデクステーブル、アクチュエーク、センサ などの部品の標準化などを試みているが本質的には、計算機の応用による フレキシブル な組立機の開発が将来の目標に なると考えている。

3.5 自動組立機のための製品設計の改善

自動組立機の標準化をはかり、機械の開発にプレキンピリティをもたせると同時に、一方、製品の設計は自動組立機にかかりやすいものに改良されていく必要がある。その内容は、部品の整列送りをしやすくするための改善、分離をしやすくするための改善、供給組付けをしやすくするための改善、部品供給自由度の統一、部品精度と組立コストの調和などの点からなされている。これは精機学会自動組立専門委員会(10)(TD)が各社における実例を集めて公表しており、今後自動組立の設計に多くの示唆を与えるものである。

3.6 自動組立の動向

通館省が技術としての自動組立の重要性を考えて、行政施策の基礎資料を得るために行なった実態調査の結果(12)をみると、わが国のこの方面の投資が急速に増加することが予想される。過去3年間の実績では45年140億円と、前年度に比べ倍増しており、しかも多ステージの大形組立機への投資が急増している。この種の産業は輸送機器と、電気機械メーカがその85%を占めている。今後3年の傾

向としても 600 億円程度が予想されている。つぎに自動組立機を自 社製作か、メーカから購入するかについては、自社製作が購入の 2 倍 であり、今後もこの傾向がつづく集計となっている。組立機の性能 としては、組立部品数 3 ~ 6 個の機械が 50 % を占めているが、部 品数 16 個以上の大形機も 8 % あり、大形化の傾向は見られる。

当社製品の場合、月産10万個を越える機種には今後積極的に完全自動組立っての計画が進められるが、1万個程度のモデル数の多い機種の場合にいろいろな方式が考えられる。従来のタクトコンペトの手作業の方式を、フリーサイクル方式に改めたり、作業者の主体性を尊重した管理方式をもった Lanco方式、Igema 方式(いると組1立っての合理化が考えられる。3.5節に述べた設計の改善によりモデル数の統一をほかり、同形生産量を増して自動化へ進むことも考えられよう。自動組立機については、組立機の標準化を進める一方、計算機による制御の導入により機械のフレキシビリティを増すと同時に故障の判断から予測までも行なえるような方式が今後は開発されることが期待される。これによって組立って、の実働率の向上と無人化がいっそう促進されると考えられる。

4. 試験調整やハンドリングの自動化

4.1 試験調整の自動化

組立の自動化のつぎにくるものは、調整・試験作業の自動化である。 この種の作業は、人間の認識による判断をともなうため、一般に自動化しにくいが、最近は各種の試験機測定器が発達し、これらの測定値を電気的に読取り、記録・記憶することが容易になってきたため、自動化が急速に進んでいる。従来アナログ量で示された測定値も、容易にディジタル化され、計算機のメモリーへたくわえられるようになり、種々の記憶が行なわれ、あらかじめプログラムが組まれていれば、その場で計算処理し、答を試験成績書へ印字してくれることも可能である。このような能力は、主として計算機の発達によるもので、従来多くの人によって行なわれた調整試験の作業は、設備を投入するだけでほとんどの作業を自動化することができるようになった。

いままでに当研究所で開発した自動調整試験機の例をしるすと, つぎのようなものがある。

- (a) テレビ 川高周波 コイル 自動回調調整機
- (b) テレビ 用 フライバック トランス 自動 チェッカ
- (c) IC, トランジスタ の各種自動試験分類機
- (d) 科算電力計の自動減磁装置や自動試験調整機
- (c) 55x 川ブリント 回路基板の故障発見機

この種試験機の問題点は、計算機の導入活用が最も重要な点となる。とりあえずは、 調整試験 ライン に わってつ で小形計算機を導入 し測定記録・換算・記録作成という仕事を行なわせていき、 さらに 高度な作業、 フレキシブル な作業へと広げられていくことが子想 される。

4.2 ハンドリングの自動化

素材から、荷造りされた完成品まで、工場の生産 ラインを流れている品物について、ハンドリングはつねにつきまとっている。 当社には鉄鋼業や造船所のような大形な ハンドリングは少ないが、 家庭電器の工場でも ハンドリング のために多くの人手を要している。 コンペヤライン・無人 カー・ロボット などの各種の ハンドリング 機器が多数開発されているが、おのおのその所を得てはじめて能力を発揮するものであり、性能にマッチ した使用場所が問題となる。 逆にいえば、ある生産 ライン の特定個所に適した最良の ハンドリング 装置は、はん用の機器では

なかなか適当なものが得られない。当研究所でも、古くは原子力用マニピュレータを開発した技術を応用して、大容量は 1,000 kg の操作をする パワマニピュレータ から、小は数gの部品を持運ぶマニピュレータまで、各種の ハッドリッグ 装置を手がけてきた。これらの実例を示す。

- (a) 機械式原子力用 マスタスレイブ マニピュレータ
- (b) 電動式 パワマニピュレータ 容量 500 kg
- (c) 双動形電子制御 マスタスレイブ マニピュレータ
- (d) 油圧制御 パワーマニピュレータ 容量 100 kg
- (e) 変圧器鉄心自動積用 マニピュレータ
- (f) ノッチングプレス への ローダアンローダ
- (g) コンベヤライン 乗換え用 ハンドラ
- (h) 空気圧利用 シャフトハンドラ
- (i) 冷蔵庫板金 ライン への金具供給用 マニピュレータ
- (j) 自動組立機における各種部品供給用マニピュレータ

この種のマニピュレータは、いずれも動作を起こす動力源と、これを制御する制御装置からできており、単純な繰返し作業を行なっているが、将来は、種々の検出部をもって、その指令に従って動くか、計算機のような判断力のある指令に従って フレキシブル に動く 形態に移っていくことが考えられる。現在、当所で開発を進めているものには、計算機の指令で従来のブログラム形のマニピュレータを任意に指令変更できる形式のものと、NC 旋盤の加工 ラインで 材料のそう入と、仕上げ成品の取り出し、格納を種々の条件を判断してその指令で動くマニピュレータを開発している。これらは将来の無人工場の一環として重要な役割を演ずるだろう。

5. 工場の自動化・無人化への挑戦

当社のような組立を主体とする生産工場を一つのシステムとして見ると、図5.1のような生産システムが考えられる。この工場を省力化・無人化をしていくためには、個々の構成要素、一つずつの合理化を集めていく必要がある。すでに2,3,4章の各章に述べたように個々の構成要素は、計算機の導入によって着々と理想の方向へ進められていることが明らかである。そこで初めに標準品の多量生産をする場合の無人化について考えてみよう。

5.1 加工・組立・試験を含めたラインの自動化

設計の標準化がでてきている多量生産 ラインの合理化は、 現在すでに各種の機種で試みられている。たとえば標準電動機の製造工場などはその例であろう。一方から素材をそう入すれば、機械加工ラインを通って部品が組立 ライン に流れ、自動組立・試験をすませて包

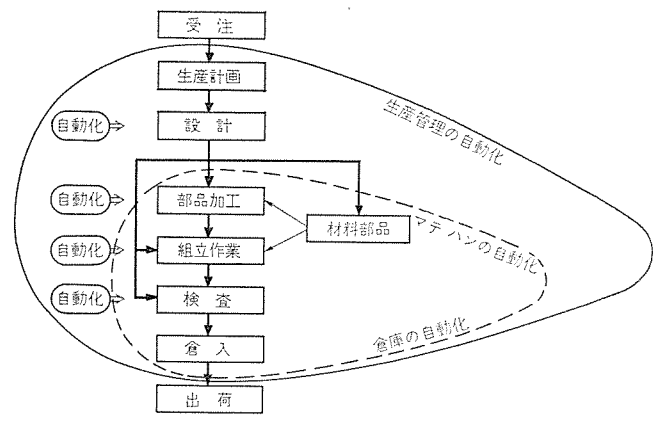


図 5.1 機械製造業の生産 システム Production system of machine manufacturer.

装出荷という形態をとり、おのおののライン間を結ぶハンドリングにも自動化ができ、しかも計算機の制御によって製造機械の運転を監視制御するならばまったく無人の工場も夢ではないことになる。しかし現実はまだまだこれにほど遠く、 実際には加工 ライン 一つにしても社内や社外での生産が混在し、 途中での ハンドリング も多くは人手にたよっている状態である。

昨年W社で自動車用 ランプの製造機を見ることができたが、この機械の特長は、つぎのような点にあった。従来この種の管球生産は、ガラス球・ガラス管・導入線・タングステンフィラメント・口金などの部品をいくつかの個別の機械で製作して、それを部分組立し、最後に組み合わせて総組立をし、試験をして完成となる。しかるにこの新しい機械は、個別の機能をもつ機械を集めて、一つの複合機の形にまとめあげてあり、おのおのの加工・組立機械は直線形の搬送装置で結ばれ、なおその間に部分的な機械のダウンをバックアップするため、途中工程の製品をストックするストックヤードを持っていた。個別に構成された機械間のハンドリングが皆無であり、素材を入れさえすれば完成品が出るという一つのプラントのような自動機であり、このような型こそ一つの無人工場の形だと考えられた。

5.2 多種少量生産の自動化

同一製品機種の中でも多くの種類をもち、複雑な仕様を要求される多種少量生産の工場は製造の立場からだけ考えれば、標準化を進めて同一形態の機種に集めてもらうことを望むが、顧客の立場にすればもっとも使用に適した性能を要求したくなる。このような要求に対し、モジュールプロダクションの方式や、さらに進んで Integreated Manufacturing System (IMS) という概念が計算機の応用につれて考えられるに至った。 IMS のシステムは図5.1 に示すシステムを内部でフィードバックしたクローズドシステムで、入力は製品のニードとコンセプトであり、出力が完成品である。このシステムは、多様な機能をプログラムの変更によって容易に実現できるプログラマブルな自動化と、セルフオプティマイジングによって自動化しうるポテンシャルをもつものである。

顧客の要望にあったオーダメイドの製品をレディメイドで生産するような自動化した工場の例とし、W 社の中形変圧器の新しい サウスボストン工場がある。この工場は モダンマニファクチャリング⁽¹⁵⁾ 誌の 1970 年度、トップテンプラント に選ばれた新鋭工場で、500 kVA から 5,000 kVAまでの変圧器を 500 人の従業員で 日に 20 台以上生産し、計算機によって管理運営されている。顧客の要求に対し、計算機によって変圧器の設計が行なわれる。製造のコントロールは、工場内に設けられた 24 の ターミナルから リアルタイム に情報を中央計算機に戻して工程管理を行ない、あらゆる機種が流れていても材料の供給から製品の完成までが監視されている。一方工場の中には独創的な多くの自動機が開発されて配列されており、その間を結ぶマテリアルハンドリングには、合理化と自動化が行なわれ、工場の南側から材料が入り、北側から完成品が積出されるというすばらしいものである。

計算機の応用が、製品設計の多様化に大きな影響をおよぼしつつあり、今後各種の加工組立の自動機が計算機の応用によって、フレキシビリティのあるものに変われば、いっそう無人化に近づくことが期待される。

6. む す び

今までに述べたことから結論としてつぎのことが言えよう。今後 の生産の形態は多量生産にしろ,多種少量生産にしる計算機を中心 とした システム になっていくだろう。 また,加工・組立・ハンドリング・試験調整など,個々の製造設備,機械装置の運転制御も計算機によって制御される フレキシブル な機能を持つものになるだろう。 これらの製造設備によって,部品の多様化がはかられる多種少量生産の可能な システム が発達すれば,多様化した顧客の要求に即応する生産工場の実現は可能になる。

現在の時点でこのような機能をもつ無人工場の実現はむずかしいかもしれないが、上述の自動化の機械装置、一つ一つについての開発能力をそろえ、十分な技術的蓄積ができたうえでは、新工場建設の機会をとらえて真に近代的な製造工場の完成を試みることができよう。このような工場実現のために努力することがわれわれ自動化機器の開発にたずさわる者にとって大きな理想である。

(昭和46-8-19受付)

参考文献

- (1) 大内ほか:日本経済図説, 第5版, 岩波新書 (昭45)
- (2) 吉岡:省力と自動化のための溶接機の動向,機械学誌,73-616,111 (昭45)
- (3) 千々岩:最近の鋳物工場の レイアウト,機械学誌, 73-614, 309 (昭 45)
- (4) 山崎ほか:三菱電機技報, 45, No. 4, 534 (昭 46)

- (5) 研野:省力化の世界の動向,未来研究, 4月号, 15 (昭 45)
- (6) D. C. Burnham : Productivity Improvement, PRODUC-TION, 81 (1970-8)
- (7) 谷口ほか:組立自動化とその体系, 機械学誌, 70-585, 1,423 (昭42)
- (8) J. J. BENS: Automatic Assembly, Machine Design, 193 (1969-3)
- (9) 春田:標準化された自動組立機,精密機械, 36-6,432(昭45)
- (10) 加藤:精密機器における自動組立のための製品設計の改善, 精密機械, 35-10, 678 (昭 44)
- (11) 谷口:自動組立のための製品設計改善例,精密機械,36-4, 298 (昭 45)
- (12) 自動組立技術の実績と成長性をさぐる, 省力 と 自動化, 99 (昭 46-8)
- (13) 深沢:ヨーロッパ における自動組立の動向, 精密機械, 36-9, 589 (昭 45)
- (14) デザインオートメーション の技術動向、日本電子工業振興協会、109 (昭 46)
- (15) A 1970 Top Ten Plant, Modern Manufacturing, 89 (1970 -5)

大形工作機械の数値制御装置

桑原 晴義*·玉井 明*·是田 規之* 弘中一光**·金子 敏夫*·佐藤 毅*

Numerical Controllers for Large Machine Tools

Mitsubishi Heavy Ind., Ltd., Hiroshima Machine Tool Works Haruyoshi KUWABARA - Akira TAMAI

Noriyuki KORETA

Mitsubishi Electric Corp., Manufacturing Development Laboratory

Kazumitsu HIRONAKA

Mitsubishi Electric Corp., Kamakura Works

Toshio KANEKO · Tsuyoshi SATO

Recent large machine tools are demanded to have rational operation combining the function of standard machines and that of responding the needs for multifarious objectives. To meet the requirement, cooperation was made from the very beginning between the side of machine tool manufacturers and that of NC. Thus efforts were kept on to work out large numerical controllers having NC function peculiar to large machine tools. Now information has been obtained on the working result in connection with the group of large machine tools such as Mitsubishi "machining center Diamatic series", "MAF series" and "Planomatic series". The article is a report on this matter.

1, まえがき

NC 工作機械の普及につれ、NC および工作機械ともに高性能で 多様性を備えたものが要求されるようになってきている。とくに, 大形工作機械では、あら削りの場合は精度が悪くとも強力切削でき るように高剛性、高速が要求され、精密加工には多少能率は悪くて も、精度のよい機械が要求される。また大量生産用としては、価格 は高くてもむしろ切削性能, すなわち高速, 高能率の NC 機械が設 まれている。このような要求の多様化に対処するため、標準機とし ての祖能とともに、モジュール構造によって使用目的に沿った機能の みを持たせ、不必要な機能を付与しない合理的な機械を生産するね らいで、三菱重工業広島精機では NC とも結合しらる一連の大形工 作機械を完成した。

NC と工作機械とが一つの系を構成させるには、NC 側と工作機 械側とともに、互いにその系の性能を支配している要素を理解する ことが肝要である。このたび三菱電機は三菱重工 広島精機製作所の 計画にそって、大形 NC工作機械として NC 機能にとくに必要な特 殊機能の開発をすすめるとともに、繰返し位置決め精度の向上対策 として、大形工作機特有の問題点を補償する新たな老案によるデュ アルフィードバックサーボ 方式 (DFB 方式) を開発し、高精度で安定確実 な作動をさせることに成功した。

これらの特殊機能を付与した大形NC工作機械として、 三菱 マシ ニングセンタ:ダイヤマチックシリーズ,三菱フライス・中ぐり複合工作機械:M AF シリーズ、三菱 ガントリ 形 プラノミラー:プラノマチックシリーズ などのか(除) 働実績を得たので、ことにその概要を紹介する。

2. 三菱マシニングセンタ

三菱マシニングセンタ:ダイヤマチックシリーズは、中・大形ワークを対象と して、高精度かつ広範囲の作業を カバー する強力・高能率の本格的 マシニングセンタである。

ダイヤマチックシリーズには10,12,15の各形式があり、それぞれ大き さに最適の構造と機能をもち、豊富な選択仕様を備えてユーザのワー クや加工の内容に対して最も適した仕様を選択できる体制をととの えている。

自動工具交換装置 (ATC) は テーバ No. 50 シャンク としては最大重 量 30 kg までの工具を迅速、確実に交換する。

各形式とも数値制御装置の選択により、位置決め直線切削加工用 の MPA 形と、連続切削加工用の MCA 形の2種がある。

2. 1 ダイヤマチック MPA および MCA-10

テーブルタイプ 横形主軸で、中形部品の加工に適する。全案内面に ロ -ラベアリング、送りにポールスクリューを採用し、すぐれた起動特性と耐 切削力を有している。主軸頭は両側に コラム を配した センタヘッド 形式 で、テーブルの近寄りによる据ぐり方式のため 7.5 kW の主軸出力い っぱいの強力切削が全回転域にわたって可能である。

テーブルは 1,000 kg の ワーク を積載することができ、90° ごとまた は5°でとの割削しには精度の高いことで定評のあるカービックかっプリ シグを用いている。

2.2 ダイヤマチック MPA および MCA-12

X 利 コラムトラベル 形を採用し、モジュール 構造によって選択仕様を豊 富に備えている。 案内面、 送りねじは 10 形と同様に全軸ころがり 面とし、連続切削を前提として設計しているので、NC 機として要 求される動特性や剛性がすぐれている。

主軸頭はマシニングセンタとしては他に例のない中ぐり主軸を有し、 工具レイアウトを容易にするとともに、短い工具が使用できることに よって、より強力切削を可能にする利点もある。オプションとして中 ぐり主軸を持たない高速形主軸頭 (25~2,500 rpm) もあり、いずれ も室温遺徙 オイルクーリング を採用して熱変位を僅少に押えている。な お主軸は回転中の自動変速も可能である。

ロータリテーブルは 0.001° 単位の任意角度位置決めができ、さらに、 直角、反転作業における位置決め精度をよりシピアに確保するため、 0° および 90° ごとの 4 位置では ノックピン そう人が併用できる。また 連続回転送りによる ロータリミーリング も可能で、 積載荷重は 8,000 kg まで許容される。

自動機としてより重要な切りくず(屑)処理についても十分に配慮 し、切りくずを切削個所から直接コンペヤ上に落とし、直ちに機外に 搬出する構造をとっている。

2.3 ダイヤマチック MPA および MCA-15

大形 フロア形 横中ぐり 盤を基調に したもので、ロータリテーブルを付加することでより 威力を発揮する。

各案内面は ハイト゚ロペアリュンタ を採用し, しゅう(摺)動抵抗の少ない

安定した運動が得られ、コラム送りはウォームラック、主軸頭送りはポールスクリューを採用して、おのおの十分な負荷能力と応答性を有する。 ダイヤマチックシリーズは数値制御装置および自動工具交換装置による 全自動機として、マン・マシンの有機的つながりを果たすべく各種表

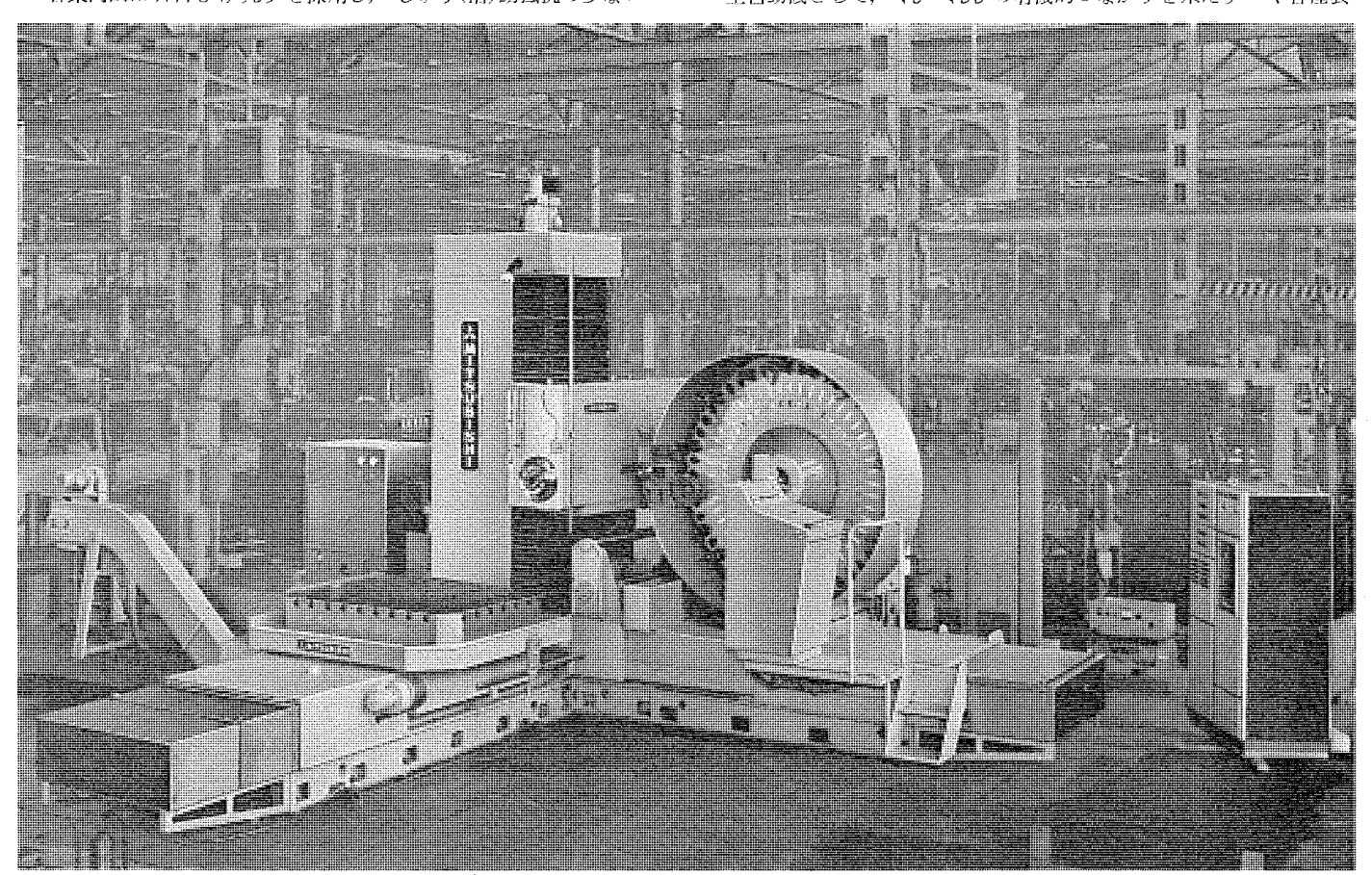


図 2.1 三菱 マシニングセンタ ダイヤマチック MPA-12

Mitsubishi machining center "Diamatic MPA-12".

表 2.1 三菱 マシニングセンタ ダイヤマチック シリーズ 仕様一覧表

List of the specification of Mitsubishi machining center Diamatic series.

() は選択仕様を示す

A	MPA MCA ⁻¹⁰	MPA MCA ⁻¹²	MPA MCA ⁻¹⁵
テーブル作業面積	800×710 (1,000×710)	1,600×1,250 (1,400×1,400 1,400×1,250 1,250×1,250	(2,000×2,000)
各軸移動量			
X 軸	テーブル 840	コラム 1,800	コラム 3,500
	(1,040)		(3,500 以上)
Y 梅	主軸頭 800	主軸頭 1,250	主軸頭 2,200
	(1,040)	(1,600)	(3,000)
Z 軸	テーブルサドル 630	中ぐり主軸 500	中ぐり主軸 1,000
W 特		テーブル 1,250	(テーブル 1,000)
B 帕	テーブル割出し 90°×4 (5°×72)	テーブル回転 360°	(テーブル回転 360°)
各軸の送り速度	5~999 mm/min	0.1~2,000 mm/min	5∼999 mm/min
各軸の早送り速度	4,800 mm/min	4,800 mm/min	4,800 mm/min
主軸径(フライス主軸)	100	180	200
主軸径(中ぐり主軸)	_	125	150
主軸端	JIS B-6101 No. 50	JIS B-6101 No. 50	JIS B-6101 No. 50
主軸回転数	36 S 40~2,400 rpm	41 S 12~1,250 rpm	21 S 10~1,200 rpm
	(30~1,800 rpm)	(41 S 25~2,500 rpm)	
主輸出力	7.5 kW	18 kW	18/22 kW
テーブル積載重量	1,000 kg	8,000 kg	(7,500 kg)
自動工具交換装置			
工具収納數	24 本	48 木	48 木
	(36 本)	(36 本)	(36 木)
工具の大きさ(最大)	200 ψ×500 L	250 ¢× 500 L	$300 \phi \times 500 \mathrm{L}$
工具の重量(最大)	30 kg	30 kg	30 kg
工具選択方式	ツールポット No. 方式	ツールボット No. 方式	ツールポット No. 方式
	(コードキー方式)	(コードキー方式)	(コードキー方式)
機械総重量(標準仕様 ATC 付き)	15,000 kg	41,000 kg	54,000 kg (テーブル含む)
適用 NC 装置	MELDAS 4200	MELDAS 4200	MELDAS 4200
	MELDAS 5220	MELDAS 5220	MELDAS 5220
	MELDAS 5240	MELDAS 5240	MELDAS 5240

示装置,警報を完備し,機械の状態を知ってトラブルシューティング, メンテナンスが容易であることも,モジュール構造のメリットとして生きている。

3. 三菱フライスおよび中ぐり複合工作機

三菱 フライス・中ぐり 複合工作機の MAF シリーズ は、剛性の高いへッドストック の繰り出しと、豊富な アタッチメント、ロータリテーブル の装着によって、大形 ワーク を高能率、かつ高精度に加工する床上形横 フライス・中ぐり複合工作機として、一貫した設計思想のもとに開発されたものである。

本シリーズ機には、MAF 200/135, 340/225 の形式があり、それぞれ大きさに最適の構造と機能をもち、標準機としての威力を発揮しているが、NC 装置、自動工具交換装置を装備することにより、複合工作機としての機能をさらに高め、大形マシニングセンタにもなりうる。

各形式とも, NC 装置の選択により, 位置決め, 直線切削, 連続切削が可能である。

以下,本シリーズ機の代表的特長を紹介する。

(1) 主軸方向に移動可能な ヘッドストック 移動形構造

クイル, 5ム 形構造に比較して, 断面寸法の大きい箱形構造で, きわめて剛性が高いので, 長い繰り出しとともに, 高精度, かつ強力重切削が可能である。 また, 広い前面 プレートには, クイル, 5ム構造

ではなし得ない大形 アタッチメント の装着が可能で、複合工作性を高めている。

(2) 大田力,高トルクによる重切削

主軸用直流電動機は、レオナード制御方式で、主軸を無段変速する表 3.1 三菱 フライス・中ぐり複合工作機 MAF シリーズ 標準機 仕様一覧表

List of standard specification of Mitsubishi horizontal boring and milling machine "MAF series".

形式	MAF 200/135	MAF 340/225
ミリング主軸径	200 mm	340 mm
ボーリング主軸径	135 mm	225 mm
ボーリング主軸端テーバ	JIS B-6101 No. 50	JIS B-6101 No. 60
主軸回転数 (無段変速)	4∼800 rpm	1~450 rpm
主軸出力	DC 30/37 kW	DC 75/90 kW
高速軸回転数	16~3,400 rpm	50~2,300 rpm
サフェーシング軸回転数	2~170 rpm	0.5~225 rpm
ヘッドストック断面寸法	535×710 mm	1,050×1,260 mm
各軸移動量		
X軸 (コラム)	6,000 mm	10,000 mm
Y軸 (サドル)	3,000 mm	5,000 mm
Z軸(ヘッドストック)	600 mm	1,300 mm
W軸(ボーリングスピンドル)	1,000 mm	1,800 mm
各軸送り速度		
切削送り速度 (無段変速)	1~3,000 mm/min	0.4~4,000 mm/min
早送り速度	4,000 mm/min	4,000 mm/min
機械重量	50 t	210 t
適用 NC 装置	MELDAS 3200	MELDAS 3200
	MELDAS 5240	MELDAS 5240

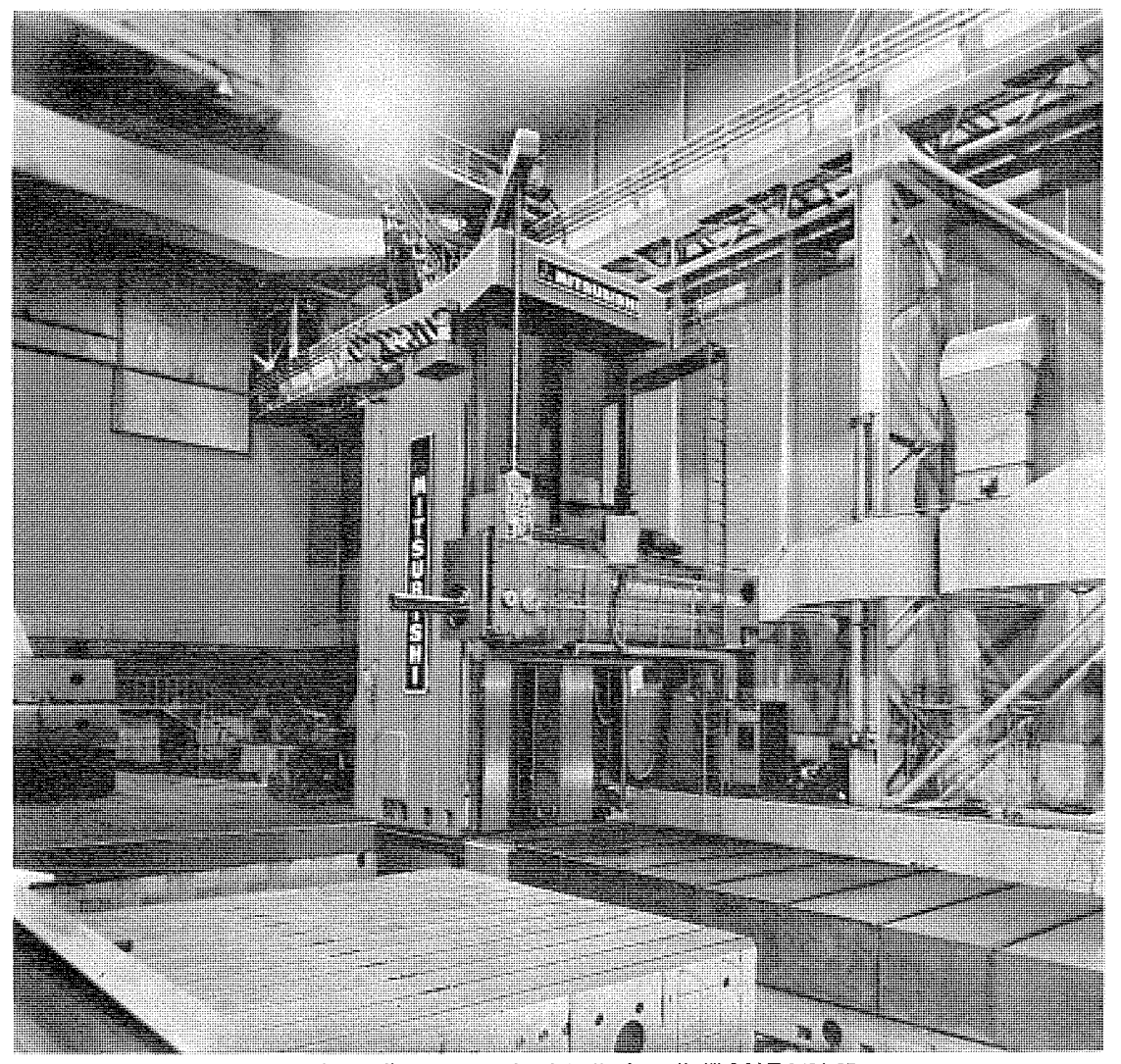


図 3.1 三菱フライス・中 ぐり 複合工作機 MAF 340/225 Mitsubishi horizontal boring and milling machine tools "MAF 340/225".

とともに、大出力、高 Fルク 特性により高速域・低速域とも、重切 削可能である。

(3) 熱変位の少ない主軸構造と潤滑方式の採用

主軸は発熱の少ない高精度な複列 ローラペアリング、および複列 アンギュラスラストペアリング の組み合わせに、ミスト 潤滑を行ない、また ヘッドストック 内部は、強制潤滑することにより、主軸温度上昇を押え、熱変位を少なくして高精度を維持している (MAF 340/225 は、標準装備として潤滑油冷却装置を備えている)。

(4) 各軸しゅう(摺)動面に静圧軸受の採用

コラムベースとベッド 間、サドルとコラム 間、および サドルと ヘッドストック 間の各しゅう動面に静圧軸受を用いて、一定の油膜の保持を図り、しゅう動抵抗の低減、摩耗防止、スティックスリップ防止、および振動吸収効果により高精度の維持と安定した円滑な運動を得ている。

(5) バックラッシ、ロストモーションの少ない送り駆動系

送り駆動系は、バックラッシ、および ロストモーション を最小限に押え、また最終駆動部にはしん (漆) 硫処型して耐摩耗性を高めた ウォームラック と ダブルウォーム を組み合わせて、送り精度と剛性を高めている。

(6) ヘッドストック、サドルの合理的 バランス 装置の採用

へッドストックが移動しても、ヘッドストック、サドル間、およびサドル、コラム間の荷重分布を常に一定にしている。またヘッドストック前面にアタッチメントを装着した場合でも重心位置の変化を適宜調整して、ヘッドストック繰出しによる変位を常に最小限に押え、高精度を確保している。

(7) 操作の集中化

作業者の疲労防止,操作時間の短縮,誤動作防止等のため,主要な操作,読取り装置をペンダントコントロールボックスに集中し,遠隔操作を可能ならしめている。

(8) 豊富な付属品

へッドストック の広い前面 プレート を使用して、各種の アタッチメント が 装着可能で、ロータリテーブル の使用と相まって、 複雑、多彩な複合工 作が高能率に行なえる。さらに、NC 装置、自動工具交換装置を具 備することによって、本シリーズ機の有する機能を存分に発揮することができる。

4. プラノマティックシリーズ

PLANOMATIC (ガットリー 形 プラノミラー) は 図 4.1 の写真のごとく平行に据付けた,2列のベッド上にブリッジを渡し,ブリッジ上には左右および上下移動を行なう フライスヘッド1 基もしくは2 基を備えたブリッジ 走行形式の複合工作機械である。ワーク は両ベッド 間の床定盤に固定しNCテープ指令に従って所定の加工を自動的に行なうものである。次に本機の優位点および問題点を述べると,本機は現在大形工作機械の代表機種である横中グリフライス盤,プラノミラーに匹敵する複合工作性を備えることも可能であるが,使用目的に沿った必要な性能のみを持たせ,不必要な機能は付与しないものを作り,ユーザの要求により低価格できわめて合理的な機械を提供できるフレキシビリティーに富んでいる。 また構造上ベッド延長,ダブルローディングといった多様性を持ち,価格面でもプラノミラーに比較して機械重量が $\frac{1}{2}$ ~ $\frac{1}{3}$ に軽減できるので,イニシアルコストがきわめて低廉である。

本機は ワーク 固定, 工具移動形式である性質上精度維持のためには, だ(蛇)行, 熱変形, 保守といった大きな問題点があるが研究開発および, 独創的な技術開発の成果が実り現在では, これらの問題点は大半が解決されている。とくに問題点の内だ行防止対策をとこ

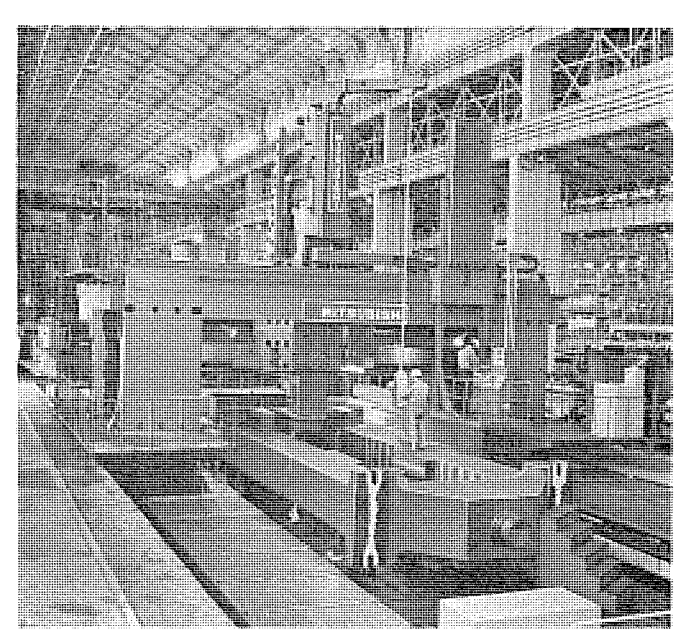


図 4.1 三菱 ガットリ 形 プラノミラ Mitsubishi gantry type plano miller.

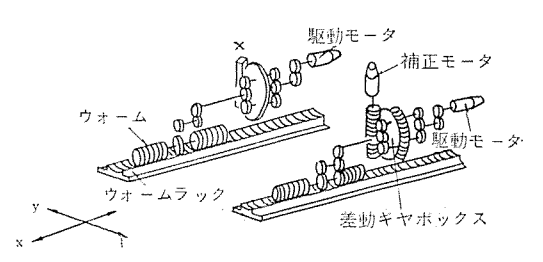


図 4.2 ブリッジフィード伝導図 Bridge feed transmission diagram.

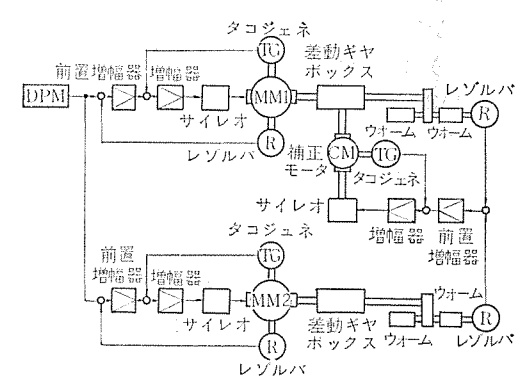


図 4.3 X軸送り ブロック 線図 Block diagram of X axis feed system.

で触れてみる。図 4. 2 はブリッジフィード 伝導図、図 4. 3 はそのブロック 線図である。指令により左右のコラム に独立に設置されたD C モータ が始動し、 ギヤボックス を経由してウォーム が ベッド 上に 平行に 取付けられた ウォームラック とかみ合って回転し、ブリッジ が移動する。ウォーム 端には レブルバ が取付けられて回転位相を検出しており、左右の回転位相差が生じると直ちに片側コラム に設置された補正 モータ が差動 ギヤボックス を介して、位相差だけ加減速し同期運転をさせる。 両ベッド に取付けられ た ウォームラック は、 特殊専用機で ピッチェラー 0.03 mm 以内に加工されており、ベッドの取付けは レーザ 測長器により、測定しながら左右ベッドの位相差 max 0.05 mm 以内で取付けられている。 左右 コラム のずれを実測した データは、 送り立上がり時 0.07 mm、安定速度域で 0.01 mm 以内で、 だ行を克服することができた。表 4. 1 にこの仕様をあげておく。

表 4. 1 三菱 ガントリ 形 ブラノミラー ブラノマティックシリーズ 仕様一覧表 List of specification of Mitsubishi gantry type plano miller "Planomatic series".

製 加田						
	3,000-11,000					
き mm	1,400	1,350	1,350			
		佐倉				
作的形式	9 4	9 4	9 16			
2); mm	450 th	600¤	700g			
₹% mm	160 4	200 ψ No. 60	260 φ No. 60 5~400			
JIS B 6101	No. 50					
服段) rpm	5~400	5~400				
A mm	1,200~1,500	1,500~2,000	2,000~2,500			
早 送 ()	4,800	4,800	4,800			
切削送り	1~2,400	1~2,400	1~2,400			
早送り	3,600	3,600	3,600			
切削送》	1~2,400	1~2,400	1~2,400			
早送り	3,600	3,600	3,600			
即削送り	1~2,400	1~2,400	1~2,400			
機 kW	37(50 HP)	75(100 HP)	110(150 HP			
ワンモータ ドライブ	50	50	50			
	30 (2 台)	30 (2 台)	20(2台)			
F A	10	30	30			
A	6	30	30			
	ボ mm JIS B 6101	注 mm 450 ^日 注 mm 450 ^日 程 mm 160 φ JIS B 6101 No. 50 施設) rpm 5~400 ニル mm 1,290~1,500 早 送 り 4,800 切削送り 1~2,400 早 送 り 3,600 切削送り 1~2,400 早 送 り 3,600 切削送り 1~2,400 セ 送 り 3,690 切削送り 1~2,400 セ 送 り 3,690 切削送り 1~2,400 セ 送 り 3,690 切削送り 1~2,400 セ ボーターデライブ ターデーター 50 フーモータードライブ フーモータードライブ フーモータードライブ フーモータードライブ オータードライブ よん 6	注 mm 450 ^ロ 600 ^ロ 注 mm 450 ^ロ 600 ^ロ 飛 mm 160 φ 200 φ JIS B 6101 No. 50 No. 60 腕段) rpm 5~400 5~400 ・ ル mm 1,200~1,500 1,500~2,000 早 遊 り 4,800 4,800 切削遊り 1~2,400 1~2,400 早 遊 り 3,600 3,600 切削遊り 1~2,400 1~2,400 早 遊 り 3,690 3,690 切削遊り 1~2,400 1~2,400 早 遊 り 3,690 3,600 切削遊り 1~2,400 1~2,400 早 遊 り 3,690 3,600 切削遊り 1~2,400 1~2,400 ヤ 遊 り 3,690 3,600 切削逆り 1~2,400 1~2,400 大 が 37(50 HP) 75(100 HP) プンモータ 50 50 フーモータ 50 50 フーモータ 30(2台) 30(2台) ド ル 10 30 ム 6 30			

5. 大形工作機械向け MELDAS NC の特色

MELDAS 数値制御装置は、上述のような大形工作機械の多様化 に応じうるよう多数の オブション を付加仕様として備えているととも に、サーボ 機構も大形工作機械に対応し うる デュアルフィードパックシステム を付加しうるようになっている。

従来 MELDAS 数値制御装置には、機械系を制御 ループ 内に含めた 閉 ループサーボ 方式と、 可動 テーブル を制御 ループ 外におく セミ 閉 ループサーボ 方式のふたとおりがあった。

セミ 閉ループ 方式の場合は 機械駆動系の 固有振動 パックラッシュ などの 諸要素の影響を受けることが少なく、安定な系を得やすいが、 制 御量と機械の移動量との差が生ずる。 閉ループサーボ 方式では サーボ系の特性が機械系の パックラッシュ、 固有振動数などの影響をうけて、安定な制御系を得るのに困難な場合も生ずる。この場合、機械の諸要素の量がわかっていれば、安定の度合を予測することができ、対策もとることができる。しかしながら、工作機械が大形になるに従い、機械系の諸要素の予測が困難となり、また パックラッシュ や ピッチ 誤差などがばらつき、 閉ループにした場合でも制御精度と安定性との相反する因子により、要求性能を出し得ないことがある。

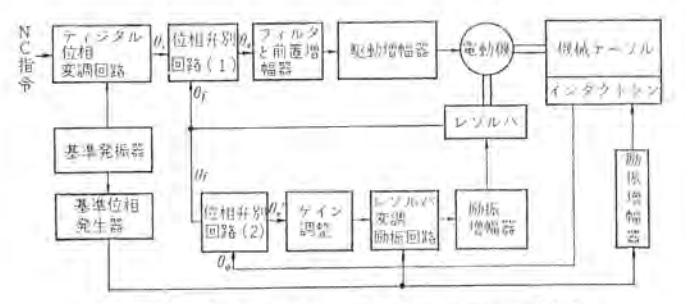


図 5.1 デュアルフィードバックサーボシステム ブロック 線図 Block diagram of dual field back servo system.

くに大形機械に威力を発揮している (特許申請中)。

図 5.1 において、位相弁別同路(1)、フィルタ、前置増幅器、駆動 地幅器、レブルバからなる系は、入力指令 θ_i と レブルバの田力 θ_f とを 位相弁別回路(1)で比較し、それらの誤差 θ_c を増幅して電動機を回わし、 $\theta_i = \theta_f$ 、すなわち $\theta_c = 0$ となるよう制御する θ_c では 成している。

デュアルフィードバックシステム では、この レブルバ の励振位相を インタクトシ の出力によって変調し、閉 ループ にしている点が特長である。 すなわち、レブルバ 出力 θ_f と インダクトシン 出力 θ_0 とを位相弁別回路(2) で比較し、その誤差位相 θ_0 だけ レブルバ 励振変調回路に与えて、レブルバ の励振位相をずらし、 θ_f と θ_0 との差を レブルバ に含ませて完全 閉 ループ の状態にしている。

とのようにして、 パックラッシュ や ピッチ 誤差などの機械的誤差を レ ゾルバ に移行し、セミ閉 ループ 系がみかけ上機械 テーブル を含む閉 ループ 系と等しく取り扱うことができる。

このデュアルフィードバックシステムの制御性能は次のとおりである。

(1) 制御安定時間: セミ閉 ループ の ザイン と、 デュアルフィード バック サーボ ループゲイン によって決まり、 60 ← 0 となる時間が必要。

- (2) 機械系許容誤差範囲:この誤差は機械固有の誤差と速度偏差との和で表わし、次の2種類がある。
 - (a) 指令単位 0.01 mm のとき、機械系誤差 0.8 mm 以下
 - (b) 指令単位 0.005 mm のとき、機械系誤差 0.4 mm 以下
- (3) 機械系誤差修正能力: セミ 閉 ループ 系に生ずる サーボ 誤差を 除き、 ±0.005 mm 以内
 - (4) デイン調整範囲:1~25 (機械に合わせて設定する)

6. to t V

MELDAS 4200, 5200 シリーズ TYPE 3 には、上述のように大形工作機械の多様化に応じうるよう多数の オブション を特殊仕様として備えているとともに、サーボ系としてもとくに大形工作機械に適したデュアルフィードバック サーボシステム を確立し、その特色を遺憾なく発揮している。これら一連の大形工作機械に適した数値制御装置の開発に当たっては、社内関係者はもちろんのこと、三菱重工業 広島精機製作所の関係者のかたがたの格別なるご指導とご協力をいただいた。ここに深く感謝の意を表する次第である。

NC 工作機械群の計算機制御

清水 恒夫*·長 井 孝* 佐藤 源司**·山 田 進**·坂口 恒夫**

Computer Control of Numerically Controlled Machine Tools

Head Office Tsuneo SHIMIZU • Takashi NAGAI

Nagoya Works

Motoji SATO · Susumu YAMADA · Tsuneo SAKAGUCHI

An integrated machine control system is drawing attention as a powerful means of saving labor in machining processes. This new control system is a trial to have a centralized system in machine shops through connecting machine tools directly with a computer system, whose operation have been relying on individual numerical control equipments. The advent of this system owes a great deal to the development and prevalence of numerical control technique, cost reduction of computer hardwares, and the progress in computer utilizations.

This article gives a view on the trend of the integrated machine control system and describes its outline together with the introduction of the activity of Mitsubishi.

1. まえがき

最近の労働力不足と、それに伴う飛躍的な NC 工作機械の普及は、機械工場に対して、

- (1) 従来,個別分散的に設置・運用されてきた NC 工作機械の 組織的な運用
 - (2) 発生する膨大な量の加工 プログラム データ の管理
 - (3) 省力化の促進

を迫りつつある。

一方,低価格のミニコンピュータの出現, オンライン リアルタイム 計算機制 御技術の進歩は,従来,比較的困難とされていた機械加工 プロセスへの計算機の応用を可能とし,その代表的な システム の一つとして, 群制御 システム が注目を集めている。

当社においても、数年前より、生産技術研究所・本社 システム技術部・鎌倉製作所・名古屋製作所を中心として検討を進めてきており、昨年10月、大阪において開催された第5回国際工作機械見本市にその試作システムを出品し、引き続き、活発な活動をおこなっている。

本論文では、内外の群制御 システム の動向を展望するとともに、当 社における活動状況を紹介する。

2. 展 望

2.1 システムの特長

一般に,機械加工の分野における特質として,

- (1) 工作機械 ユーザ の生産規模の差が大きく, その生産形態も 多様性に富んでいる。
 - (2) その大部分が多種少量 システム である。
- (3) NC 工作機械の機能, および, 種類 (メーカー・機種) が非常に多い。

等の点があげられ、このために、従来、他の分野に比較して自動化 が遅れているといわれてきた。

しかしながら,ミニョッピュータの出現は,特定の専門 メーカー に限定されていた"システム コッポーネット としての コッピュータ 利用"を一般化し,これまでに数多くの群制御 システム が発表されてきたが,これらは,

- (a) 工作機械 ューザ が, 自社設備の自動化を主目的として開発 した比較的専用化された システム。
- (b) 自社製工作機械の拡販を主目的として,工作機械 メーカー によって開発された システム。
- (c) 自社製制御装置(もしくは計算機)の拡販を主目的として、制御装置 y=h= (もしくは計算機 y=h=) によって開発された 比較的はん用的な $> 2,7 \le 6$ 。

という立場、開発目的、あるいは、得意とする技術分野等の相違のために、システム 規模・機能範囲・自動化の水準等の内容が、 各 システム 各様の パラエティ に富んでいるのが現状である。

2.2 システム機能

群制御 システム は、加工 データ を作成するための言語処理 システム と、 機械工場現場における加工 プロセス との中間に位置し、この両者を結合する生産 システム であるといえるが、 内外の各 システム を総合する と、基本的機能として、次の機能があげられる。

- (1) 1台の コンピュータ に複数台の工作機械が オンライン 結合され、コンピュータ により工作機械群を直接集中制御することができる。
- (2) NC 加工 プログラム データを、システム 内の記憶装置に一時記憶させることができる。したがって、加工時には、 現場側で紙 テープを収扱う必要がない。

さらに、付加的な機能として、次の機能があげられる。

- (3) 加工 プログラム の デバック 機能
- (4) 現場作業指示機能
- (5) 運転状況 モニタリング 機能
- (6) 他の関連機器の計算機制御
- (7) 管理情報の収集とその報告
- (8) 作業日程計画

なお、 言語処理 システム の出力である加工 プログラム の群制御 システム に対する入力方法としては

- (a) 紙 テープ等を媒体とする オフライン 方式
- (b) 言語処理機能を有する コンピュータ と通信回線等を介して 結合する オンライン 方式
- (c) 言語処理機能を群制御 システム 自身に持たせる方法 等の方法が用いられている。

^{*} 本社(鎌倉製作所駐在) ** 名古屋製作所

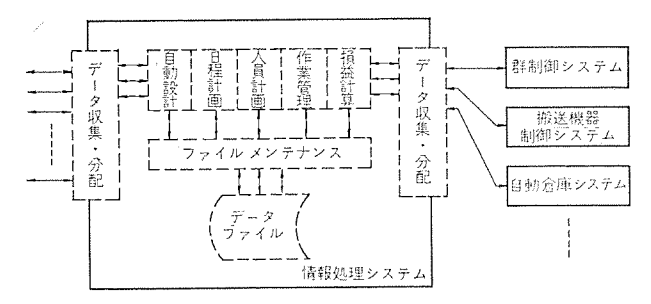


図 2.1 群管型システム構成 Blockdiagram of integrated manufacturing system.

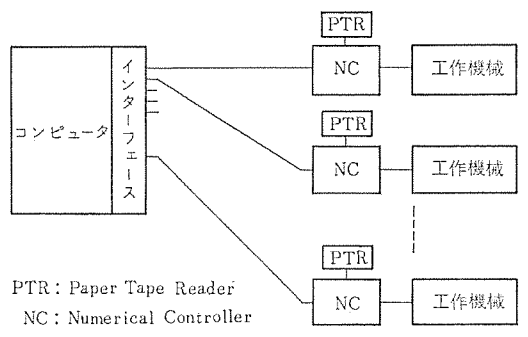


図 2.2 (a) CNC 結合方式 System configuration of CNC-type.

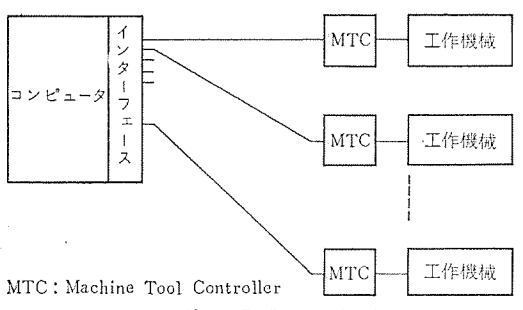


図 2.2 (b) DNC 結合方式 System configuration of DNC-type.

2.3 用語の定義

最初の群制御 システム が発表されてからまだ日も浅く, 群制御/群 管理に関連する用語も, 現状においてはきわめてあいまいな意味で 用いられている。

とこでは、JIS等による用語統一があるまでの暫定的な処置として、特に本論文に関連の深い用語の内容を明らかにしておく。

2.3.1 群制御/群管理システム

群制御システムの特長の一つとして、管理機能があげられることから、これを群管理システムと呼ぶこともある。

との2種類の用語を区別するために、次の定義をおとなう。

(1) 群制御 システム

複数台の工作機械群を、コンピュータにより直接集中制御することを 本来の目的とする システム を、 群制御 システム と称する。

ととで、若干の管理機能が含まれる場合にも、本来の目的が、工作機械の制御にある場合には、群制御 システム と称する。

(2) 群管理 システム

情報処理 システム の管理対象の一つとして、群制御 システム を サブシステム の形として含むような生産 システム 全体を群管理 システム と称するものとする。

群管理システムの場合には、単に、工作機械の群制御による加工 プロセスの自動化のみならず、コンベアライン・表面処理・検査・こん(梱)包・倉庫等の プロセスの計算機制御も含むことがある。

群制御 システム と 群管理 システム との関係を,図 2.1 に図示しておく。

2. 3. 2 CNC/DNC 結合方式

群制御 システム における コンピュータ と工作機械との間の結合の方法 として、二つの方法があり、それらに対して、次の定義をおこなう。

(1) CNC (Computer Numerical Control) 結合方式

図 2. 2 (a) に示されるように、 機械側には従来の NC 装置をそのまま残し、 コンピュータ と NC 装置を τ ンターフェース 装置を介して 結合する方式を、 CNC 結合方式と称することにする。

との場合, コンピュータ から NC 装置に転送される データ は,従来の紙 テープ・イメージ・データ であり, NC 装置付属の紙 テープ・リーダ を用いて,紙 テープ により運転することも可能であることから,BTR 方式 (Behind the Tape Reader) と定義している文献もある。

(2) DNC (Direct Numerical Control) 結合方式

従来のNC装置は、機能的に、演算制御部分と機械駆動部分に大別することができる。この演算制御部に相当する部分をコンピュータ側に集中化し、機械側には、駆動部を中心とする機械制御コニットMTC (Machine Tool Controller) のみを残して結合する方式を、DNC結合方式と称することにする。

DNC 結合方式の場合の構成を、図 2.2(b) に図示しておく。 二つの結合方式のおもな特長は、次のとおりである。

- (1) CNC 結合方式の場合
- (i) 既存生産 システム に対する導入が容易
- (ii) システム ダウン 時の バックアップ として紙 テープ による ローカル 運転が可能
 - (2) DNC 結合方式の場合
 - (i) ハードウェア の多重化による コスト ダウン
 - (ii) 現場 ハードウェア の縮小による信頼性の向上

3. 当社における動向

当社は、計算機および数値制御装置のメーカーという立場にあると同時に、工作機械ユーザという立場にあり、 群制御/群管理 システムの需要は大きく、昨年の国際工作機械見本市に試作 システム を出品し、その後も、 実際の生産 ライン における機械加工の自動化という実用化の段階の検討を進めており、昭和47年から昭和48年にかけて完成予定で、現在数件の実用化 システムの製作に着手しているので、これらのうちの一つの計画内容を以下に紹介する。

3.1 導入工場の特長

群制御システムの導入を予定されている機械工場は、小型電動機を比較的少量の単位でロット生産する典型的な多種少量生産工場であり、そのために、多種少量生産に適したNC工作機械の導入を早くから手がけており、現在14台の機械が実動しており、昭和50年度までにこの数倍の工作機械の導入が予定されている。

しかるに、過去2年半にわたる NC 工作機械の使用を通じて、機械台数が5台をこえると

- (1) 加工 テープ の作成およびその チェック
- (2) テープリータ の故障と紙 テープの摩耗・破損
- (3) 機械実動率

等の問題を積極的に解決していかねばならず、これまでにも自動 プログラミング の開発、マイラテープ の1 部使用等の処置を行なってきたが、今後の機械設置台数の増加に伴い、投資効果を上げるためには抜本的な対策として、単一機械による合理化という段階から、工場全体

の合理化へと拡大して問題解決に当たらねばその効果も小さいとい う結論に達し、群管理 システム の完成を最終目標として、その第一段 階として、14台の既設工作機械を対象とする群制御 システムが 導入 されることになった。

3.2 導入体制

3.2.1 加工ラインと対象機械

導入工場における加工 ライン を図 3.1 に図示する。 図 3.1 にお いて機械加工の部分は、 シャフト・ブラケット・フレーム の各加工 ライン で ある。

本工場では、 従来より類似加工部品別に加工 ライン が設置されて おり、いわゆる GT (グループ テクノロジー) の手法をあらためて採り入 れる必要はなく、群制御システムの導入にあたって工場内の職制等の 変更もなく、単に、レイアウトのみ変更すればよい状態にある。

3.2.2 制御対象機械

第一次計画において群制御 システム の制御対象となる工作機 械を 表 3.1 に示す。これらの機械はいずれも制御装置として MELDAS 4200 が付属しており、現在紙 デープにより運転されている。

3.2.3 加工部品

先にのべたように、加工部品は部品別に分類され ており、比較的まとめやすくはなっているが、大き さ・形状によりその種類はかなりの数になる。

3.3 システム概要説明

3.3.1 構成

第一次計画による群制御システムは、すでに設置さ れている導入工場全体のデータ処理用計算機 MEL-COM 3100 モデル 40 D と紙 テープを介して オフライン 的に階層結合され、その次のステップとして導入予定 の大型計算機 MELCOM 7000 との オンライン 化する という計画の下に、次の構成を採っている。

(1)	中央処理装置	1 元

(3) 補助記憶装置(磁気 ディスク 装置) 262 kW

1台

ここで、 群制御用 コンピュータ と NC 工作機械との 結合方式は、 既設 NC 装置をそのまま利用して CN

(6) 紙 テープ パッチ (110 文字/秒)

C 結合方式が採用されており、 バックァップ としての 紙 テープによるローカル運転も可能となっている。

3.3.2 処理形態

部品加工における総合的 な 処理 フローチャートを 図 3.2 に図示しておく。

3.4 群管理システムへの発展

前節までの説明における群制御システムは、最終的 に数十台の NC 工作機械の制御を含む群管理 システム 確立の第一段階として計画されている。

その次の ステップ として、以下の計画実施が予定さ れている。

- (1) 素材・工具の自動着脱
- (2) 自動搬送
- (3) 自動検測
- (4) シャフト, フレーム 加工 ライン への拡張

- (5) 自動倉庫
- (6) 電動機製造管理 システム との結合による トータル システム 化 図3.3に、最終目標とする群管理システムの構成を図示しておく。

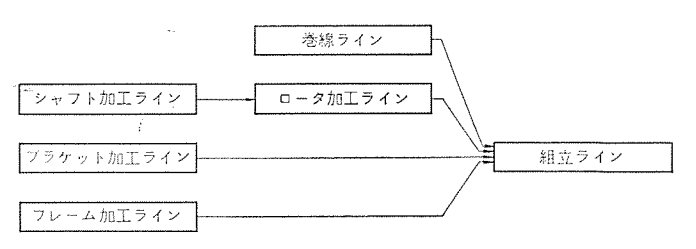


図 3.1 加工 ライン 流れ図

Flowchart of production.

表 3.1 制御対象機械/台数 リスト Controlled machine list.

加エライン	機 核 名	第一次設置予定台数
シャフト加 エラ イン	NC 旋盤/研 削 盤	3 台
ブラケット加工ライン	NC 旋盤/ポール盤	10 台
フレーム加工ライン	マシニング センタ	1台
合 計		14 台

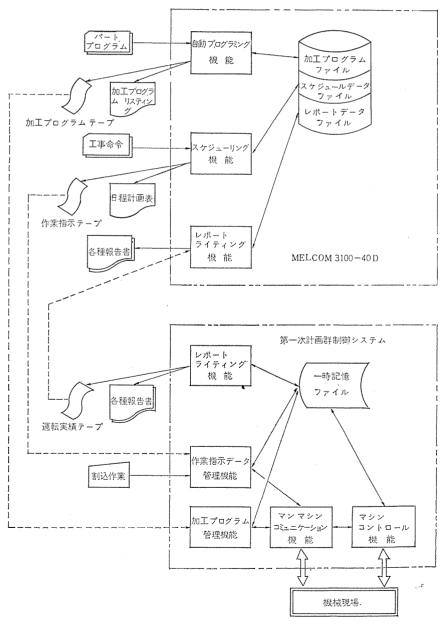


図3.2 処理流れ図

General Flowchart.

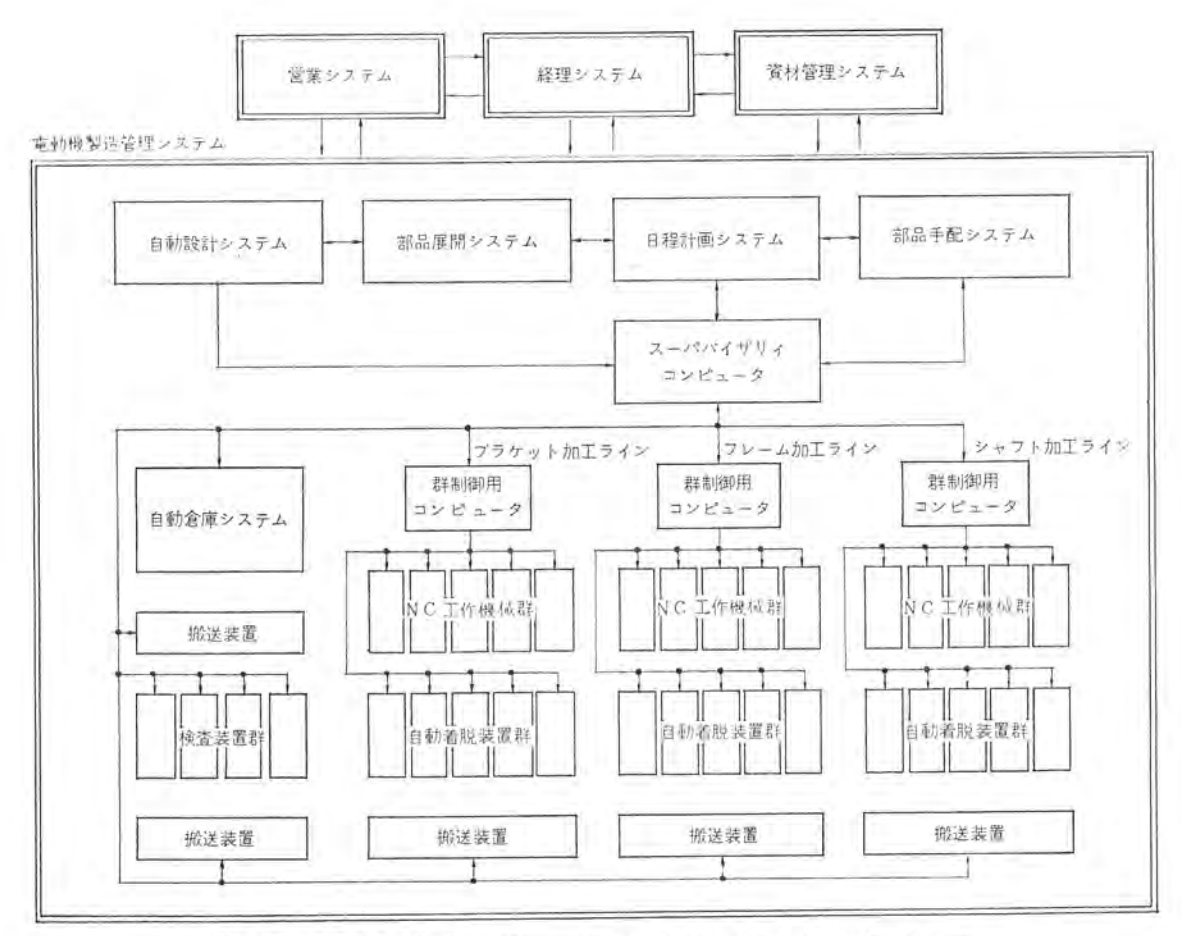


図 3.3 電動機製造管理 システム

Integrated motor-manufacturing system.

4. む す び

以上、内外の群制御/群管理システムの動向と当社における活動状況の概略をのべてきたが、実際に運用されているシステムも数少なく、また、これらのシステムについても運用後に多くの問題が発生していると聞いている。

しかしながら群制御/群管理 システム は今後の機械加工に おける 主流となることは明らかであり、当社においても、今後関連部門と 密接な連絡をとりつつ、あらゆる角度から詳細な検討を加え、多くの ユーザ から歓迎される システム の完成へ努力したいと考えている。

参考文献

- (1) P. G. Mesniaeff: Control Engng., 18, 3 (1971-3)
- (2) R. L. Hatschek: American Machinist, 114, 16 (1970-8)
- (3) 応用機械工学: '71 年版 NC 工作機械 ハンドブック, (昭 46) 大 河出版

コンベヤ搬送制御システム

佐竹幸雄*·中野宣政**·水野公元**

Conveyer Control System

Head Office Yukio SATAKE

Nagoya Works

Nobumasa NAKANO • Kimimoto MIZUNO

There has been a trend of making radical search into the unknown on the cost of materials circulation for the purpose of cutting down the expenditure in manufacturing. Consequently automated materials handling is drawing attention. Of various attempts to work out this device, the conveyer carrying system is most closely related to the automatization. In this paper is explained a conveyer control system as a theme of discussion based on the Company's experience on this field. In constructing the conveyer system the most appropriate selection is to be made from the viewpoint of the function and the cost. The Company is now positively wrestling with difficulty in the development of hardware adaptable to a system of various levels and also software technique making use of it.

1. まえがき

近年,製品 コストの低減の"暗国大陸"といわれる物流 コストに対する見直しが,各企業とぞって行なわれ,物流の合理化に成功したものが業界を制するものとされている。

物流 システム の中での マテリヤル ハンドリング の自動化の必要性は、 人件費の高騰と労働力の窮迫によるばかりでなく、大形計算機の導入等による情報処理の高速化がはかられているのに対し、 マテリアルフロー の渋滞が合理化の推進をはばんでおり、 抜本的な メス を入れる必要に迫られているからである。

マテハンの合理化の第一次として数年前よりいわゆる自動倉庫といわれる立体倉庫の スタッカクレーン を無人化したものが多く建設され、それらは将来トータルシステムの中のサブシステムとしての機能を発揮させることを前提として計画されたものであった。したがってこれまでのものの多くは、局所的な自動化でシステムデザインといってもある 港本的な パターン の応用ということでかたづいており、したがって制

御システムも標準化されやすいものであった。

しかしながら最近の傾向としては、合理化の第二次に突入しようとしているように思われる。すなわち立体倉庫の周辺の荷さばきが拠点的なものではなく、より前後の工程に深く入り込み融合されたシステムでなければならなくなってきた。order-oriented の色合が非常に濃いものであるため、そのシステムデザインは study しつくされたものでなければならず、ユーザとしても ハードウェア 受注獲得のために行なったメーカー のサービスによる 'システムデザイン'を信用するにはあまりにもリスクが大きすぎるものと思われる。

本文では第二次のマテハン合理化の主題である コンベヤ 撤送制御 システム について取上げてみたい。ことで対象としているのは中間製品 自動倉庫の前後の工程との接続を行なう コンベヤシステム, および配送センタ, 製品自動倉庫の配送仕分け コンベヤ 制御 システム についてである。

システムアプローチを行ならには、システムコンポーネントとしての搬送機械の現状をは握し、それらを個々にコントロールし、さらに総括的にコ

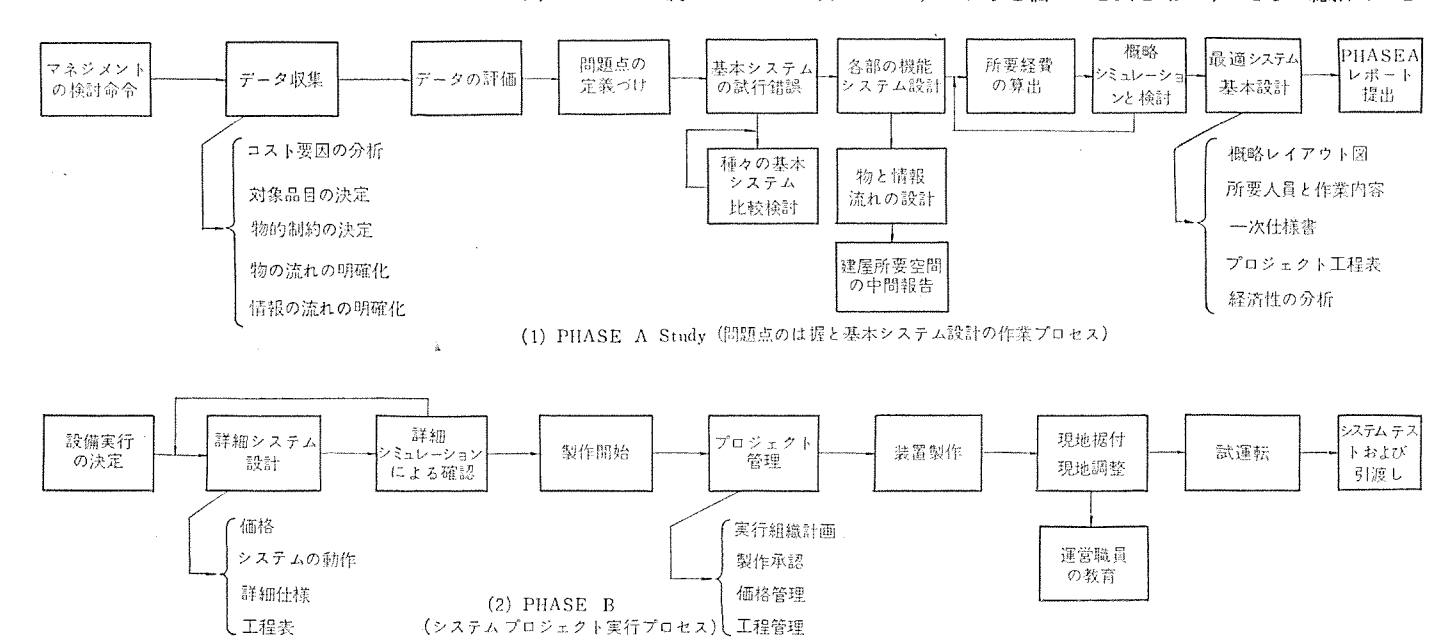


図 1.1 システムアプローチ の プロセス System approach procedure of phase A&B process.

ントロール する制御技術の実態に立脚し、いかに情報処理 システム と結合させるかを考え、全体としてむだのない実用的な システム を作り出さなければならない。

図 1.1 は システム アプローチ の プロセス をまとめたものである。 以下 の本文では当社のこの分野での経験をもとにして、制御 システム を中心に、搬送機械の機能も含めて解説したい。

2. 搬送機械の機能

この項では側御する立場から、コンペヤの種々な形式の機能を解説する。

搬送機械は言うまでもなく, (a)扱う品物の荷姿―大きさ・重さ・形状・安定度, (b)要求処理能力, (c)用途―移送・蓄積・仕分・合流, 等によってさまざまな機能をもつものが工夫され, 将来も様々な新しい形式のものが開発されるであろう。しかしてれらの機能は大略次の種類に分けられる。

2.1 連続搬送

ある場所から他の場所へ向って連続に品物を移送する手段で, コンベヤの形式としては、ベルト・スラット・ローラ・チェーン・パーチカル等がある。 これらの コンベヤ の形式と仕様を決定する場合つぎの事項について検討しなければならない。

(1) 品物の荷姿

扱う荷の底面の状態と荷の安定度, たとえば カートンボックス・ポリコンテナ・木製 パレット 等の コンベヤ との接触面の状態と荷くずれの 難 易について。

(2) 接合部の処理方法

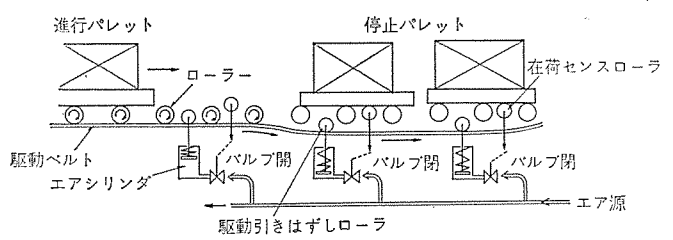
搬送する場合上流からの品物の受取り方、すなわちいくつかの ライッからの合流が行なわれ、それらが受継がれて連続搬送し下流のコンペヤに引継がれる。下流では仕分分岐・蓄積が行なわれるのが普通である。これらの上下流の接合部で、スムーズに荷の受渡しができるような形式のコンペヤを決定し、それらの能力から必然的に連続搬送スピードが決定される。

2.2 蓄積コンベヤ

全 システム として、遅滞なく円滑に物が流れるためには サブシステム



(1) グラビティフリーローラによる方法



(3) ベルト駆動ローラを用いた機械式アキュームレートコンベヤ

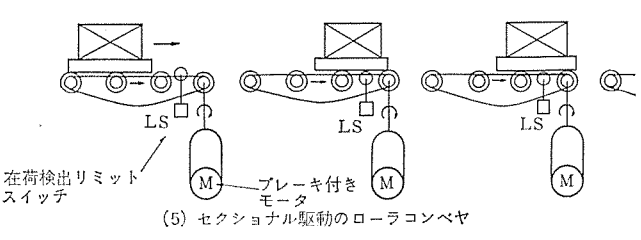
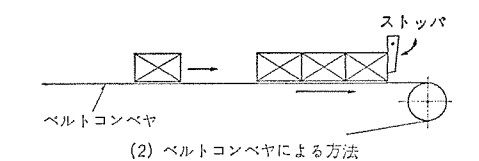


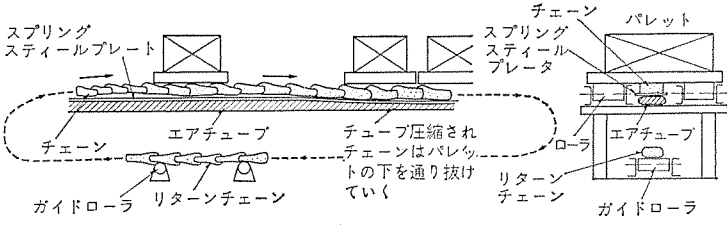
図 2.1 蓄積 コンベヤ の形式

間の接合をどうするかが重要である。言うまでもなく、直接結びつけるよう設計するのが良いが、両者の機械の作業機能が異なるので、当然両者間の処理能力の差、処理タイミングのずれ、多少のアクシデントによる上流ラインへの影響の防止、荷物の情報処理その他の人間作業を介入させる場合のサイバネーションの立場等から、接合部には十分に検討された必要にして十分なバッファを設けなければならない。このバッファの手段として蓄積(アキュームレート)コンペヤが用いられる。これに類するものは図2.1に示すような代表的な形式があるが、

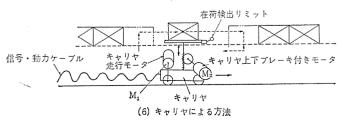
表 2.1 蓄積 コンベヤ の形式と特長 Characteristics of accumulating type conveyers.

項目	形 式	補 足 説 明	特 長	適 用
1	グ ラ ビ テ ィ フリーロ ー ラ	と 5 配による重力 自走暴走防止のプ レーキ取付け。	自走速度のむらが でる.プレーキに て波速するが最終 的に荷と荷の衝突 でとめる.	同一品の比較的活 性度が低く, 安定 なものの大量蓄積.
2	ベルトコンベヤ	先行品との衝突に より,底面とベル トはスリップさせ る。	機構的には最も簡単であるが、品物の破損のおそれあり、大量の蓄積は不可.	軽量物, 品物の底面とコンペヤとの 摩擦係数が小さい もの。
3	ベルト 駆 駒ローラコンベヤ	在荷センスローラ により駆動ベルト の結合開放を行な う。	シリンダ作動用エ ア源を必要とする. フリーローラによ る停止が難.	同一品形状, 重量 のもので慣性を小 さくするため, 低 速になる.
4	エアチェーンコンベヤ	空気圧により荷の 衝突を検知し, 駆 動チェーンを逃が す.		重量物で重量の均一なもの,被送スピードは簡実のショックの許容限界までしか上げられない。
5	セクショナル 駆動 コンベヤ	ローラコンベヤを 荷の幅に分割して 独立駆動とする。	コストが高い。 荷の大小重量の多 少に無関係。荷の 大小によりつめて 蓄積できない。	活性度が非常に高く, 荷のバラツキ があるもの。
6	+ + 4 +	キャリヤの往復選 転により荷を移動 させる。	荷の汚損は少ない。 キャリヤのデュー ティはきびしいが 品物の活性度は高 くない。	品物の幅方向は一 定なもの。活性度 が低いもの。1の グラビティの使用 できない品物。





(4) エアチューブを用いたエアチェーンコンベヤ

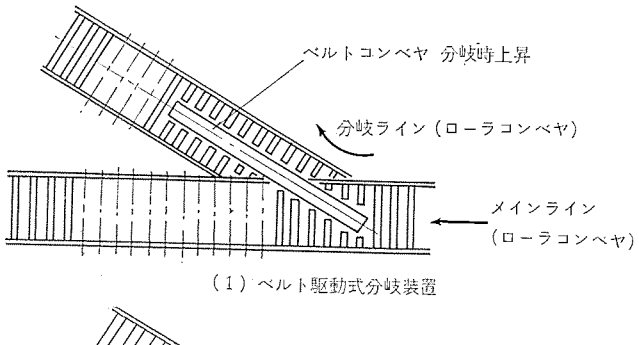


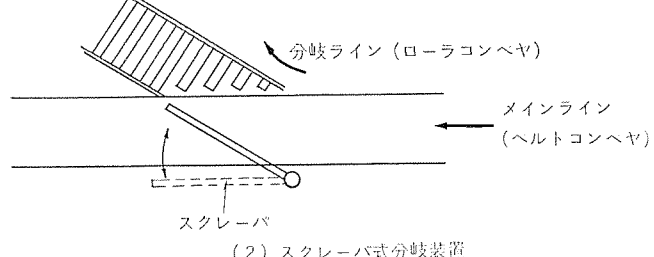
Types of accumulating conveyers.

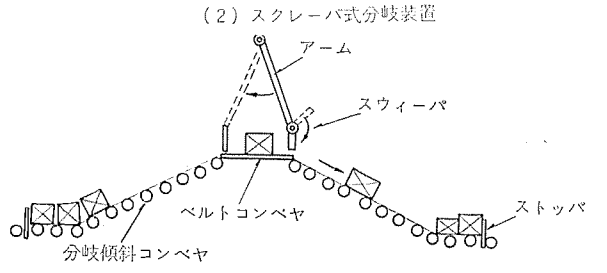
それぞれ一長一短がある。 システム 設計では図 1.1 に示したように その過程でいろいろな角度から形式を検討し、おのおのの能力を踏 まえたうえで シミュレーション を行ない、 必要十分な形式と サイズを決 定しなければならない。表 2.1 に図 2.1 で示した形式のそれぞれ の特長を掲げた。

2.3 分岐仕分コンベヤ

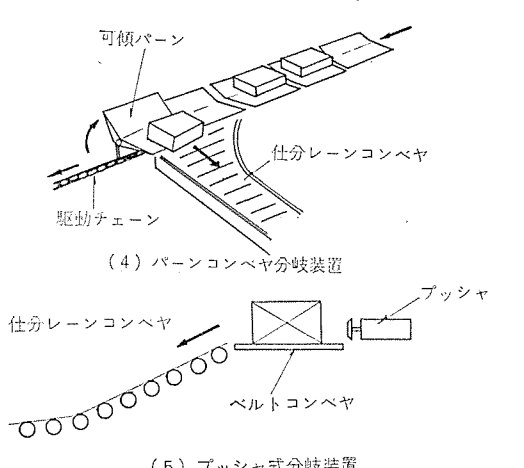
コンペヤシステムにおいて、最も重要部分である分岐仕分け システムに



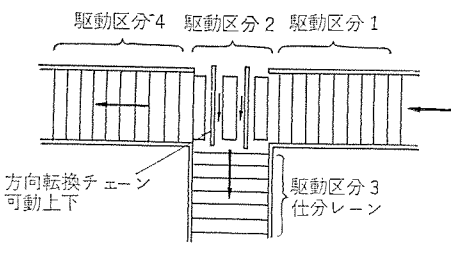




(3)スウィーパ式分岐装置



(5) プッシャ式分岐装置



(6) 転換チェーン式ローラコンベヤ分岐装置 図 2.2 分岐仕分 コンベヤ の形式 Types of sorting and diverging conveyers.

おいては、おのおのの荷の行先があるので、その機能には二つあり、 一つは荷の流れを トラッキング し、 それぞれの荷の行先情報を管理し

表 2.2 分岐仕分 コンベヤ 形式と特長 Characteristics of sorting and diverging type conveyers.

		n sorting and		
月日	形 式	箱 足 説 明	特 長	酒 川
1	ベルト駆動式	分岐時ベルトコン ベヤを上昇させて 方向変換する。	荷の進行方向が分 岐により 90° 転換 しない、荷の慣性 によりベルトコン ベヤに乗せにくい。	ラインスピード仕 荷の慣性による逸 脱を防止するため あまり上げられない。 カートンボックス コンテナ。
2	スクレーバ武	図のように荷の進 行方向を変えない 方法.	スクレーバ面の際 擦によりスムーズ に分岐されない。 スクレーバ面を ータで駆動したり, ローラにしたりす る方法もある。	軽量カートンポッ クス. 荷の転倒に より破損しないも の.
3	スウイーバ式	スクレーバ相当の ものが上部に取付 けられた方式.	ベルトコンベヤの 両側に仕分レーン を設けることがで きるのでスペース が小さくてよい.	2と同じ.
4	パーンコンベヤ式	これに類するもの としてスラットビ ースのグループを 荷の品で横成し分 皎点で傾斜するも の。 傾斜スラットの端 のゲートが開射 るものがある。	3と同様. ただし重量物の仕 分けが可能になる。 傾斜スラットの場 合,荷の送り込み を静止状態から移 動させるのでむず かしい。	重量カートンポッ クス. 荷の転倒の おそれがあるので 荷姿が不安定なも のは好ましくない.
5	ブッシャー式	図のように荷の進 行方向に対し直角 にブッシャで落と し込む.	ベル解かれているのの の際旅量物は不可・ 原旅量やかなくでする ためいようですでする ためいようできまりる がはまりまする。	軽量カートンポックスベルトコンベ ヤとの摩擦が小さ いもの. 荷の転倒 可能なもの.
6	転換チェーン式 ローラコンベヤ	転換チェーンは上 下に動き,一方向 回転する.	駆動区分を小さく 分け相互のインタ ーロック制御が必 要, 往復運転がないのでブッシルタイ ムが短い, 高価で ある.	バレットロード, コンテナロード等 の荷姿の不安定な もの.

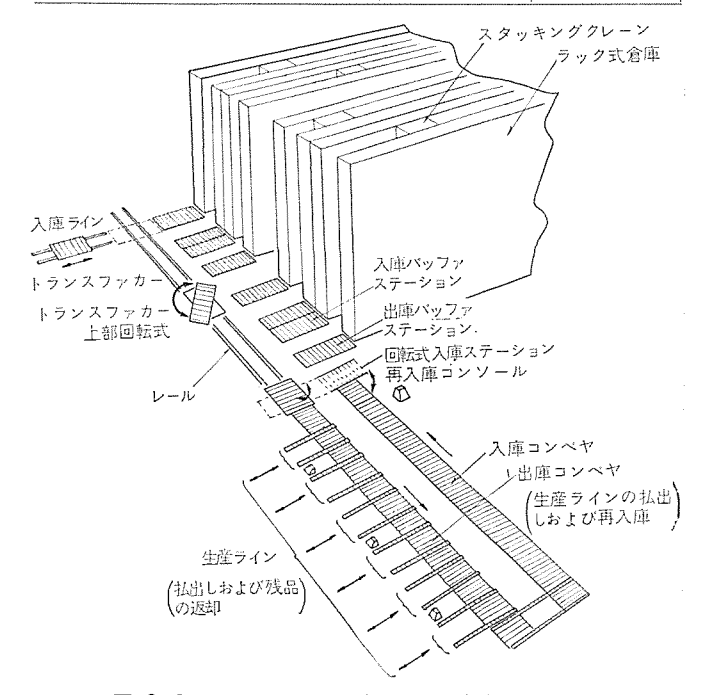


図 2.3 トランスファカー を利用した入出庫 システム 例 Example of store and retrieve conveyer system applied with transfer-cars.

適切な タイミッグで仕分動作指令を発生する制御部分と、今一つはその仕分指令をもとにして仕分動作を行なう手足となる機械部分に分けられる。前者は次項以降にゆずり、後者の代表例を図2.2 にそれぞれの特長を表2.2 に掲げる。

パレット、コンペヤの仕分機械として図 2.2(6)の方法は非常に高価になる。場合によっては図 2.3に示すようなトランスファカーの利用が行利なことがある。ただしトランスファカーは往復運転のため Duty Cycle に制約されるので、事前に十分 シミュレーション でその能力の確認を行なっておく必要がある。

3. 制御システムの分類

コンベヤシステム における制御の主たる目的は、 合流制御と分岐仕分制御である。前者は多くの場合は合流点での衝突を防止するためのインターロック 制御のみで情報のトラッキングは不要である。 しかし複雑な コンベヤシステム では前記の制御のほかに情報のマージも行なわなければならない場合がある。 たとえば複数レーン をもつ立体倉庫の川庫ステーションから逐時メインラインに合流され、 出荷場へ搬送され、そこで各配送先別に自動仕分されるような場合、 立体倉庫から出庫される時点で、 その荷はどこの出荷レーンに送られるか決定されているはずである。 したがって出庫ステーションからメインラインに払出されるとき、 その行先情報をすでに メインラインに乗って移動中の荷の行先情報の間にマージさせ情報のトラッキングが必要である。このように合流点で分岐仕分制御が始まっているものもあるが、多くの場合は分岐仕分レーンの前の移送ラインの関門で行先情報が与えられる。分

表 3.1 分岐仕分撤送機械とその制御方式 Sorting and diverging machines and applicable control systems.

○印:通常 △印:特例

項	10 700 12 14 14 WAYNELL D. 15	化分	方式	伽伽方式の具体的方法		
11	分機化分推送機械名	Escort	Mimic	制御方式の具体的方法		
1	ローテコンペヤ ベルト駆動式化分 図2.2(1)	Å	0	(a) Qテーブル方式 (MPMロ ジックのtコンピュータ) (b) 光学的マークリーダ方式 (カートンボックスにコード マータの印刷またほラベル扱 付け)		
2	ベルトコンベヤスクレー ※式仕式 スウイー ※式仕分 プラシャ式 作分 図2.2(2), (3), (5)	Δ	0 0	(a) Qテーブル方式 (MPMロ ジック or コンピュータ) (b) 移動距離監視方式 (マイク ロコントローラ MELMIC- 100) (c) 完学的マークリーダを用い る。(i)-bと同じ		
3	スーションペヤ 可能3タットコンペヤ 概斜スタットコンペヤ 図2,2(4)	α	Δ	(a) Qテーブル方式 (MPMロ ジックのアコンピュータ) (b) 移動距離監視方式 (マイク ロコントローラ MELMIC- 100) (c) 磁気エスコート方式 (MA G システム)		
4	ローラコンベヤ 転換チェーン式 図2.2(6)	Δ	0	(a) Qテーブル方式 (MPM ロジック or コンピュータ) (b) 光学的マークリーダを用いる。(1)-b と同じ		
5	トラシスファカー方式 図 2. 3		0	(a) コンピュータコントロール マイクロコントローラ (ME LMIC-100) ロジックコントロール困難		
6	ト ウ カ ー ト バワー&フリーコンベヤ ト ロ リ ー コンベヤ			(a) ピンセット方式 メカニカルピン,マグネット ピン (b) 磁気エスコート方式 (MA G システム)		

注) 光学的マークリーダ方式の類似の方式として、カラーコード方式、反射テープの吸付け位置による方法等がある。

岐仕分制御には任分情報がつきものであるが、この制御の方法として次の二つがある。

- (a) エスコート 方式 (Escort=護送する)
- (b) ミミック方式 (Mimic=模写する)

これは字句の示すとおりであるが、(a)は現物またはそのキャリヤに 行先情報が添付されている方法でいわゆる "名札付"である。

この方法は行先情報が現物に添付されているので、(b)のように 間接的な方法に比べて確実である。しかし適用する機械によってそ の採否が決まるので、必ずしもすべて適用できない。(b)は間接的 に シミュレート しながら行なう方法であるが、制御 ハードウェア の信頼度 の向上と システムが複雑化すれば、ますます採用される場合がふえる 傾向にある。

表3.1 に仕分機械とそれに適用される仕分間御方式についてまとめてみた。この表に掲げた具体的方法については次項で詳述する。

4. ミミック方式の制御システム

コンペヤシステム は、その規模は干差万別である。特に ミミック 力式の 場合は システムモデルを制御装置の中に作らなければならないので、必 然的にその規模も異なり標準化しにくいものである。

しかしすべてはん用性のある プログラマブルコントローラ としての コンピュータ(MELCOM-350/5, 30),マイクロコントローラ (MELMIC-100) を適用するには、コスト的に引合わない場合もかなりある。そこで当社では MELMIC-100 以下の システム に対し、ICカードベース で回路を標準化し、ハードウェア でのマイクロ プログラマブルモジュール (MPM) を整備した。かくして図 4.1 に示すような あ らゆる規模の システム を カバー することができる。ただし複雑なシステム になれば、コンベヤ 制御だけを担当するのではないので、一定尺度でシステム の難易を評価することができないので、図 4.1 は単なる概念図である。以下において制御システム の詳細を紹介する。

4.1 スタテック ロジック コントローラによるシステム

(1) キューレジスタ方式 (特許申請中)

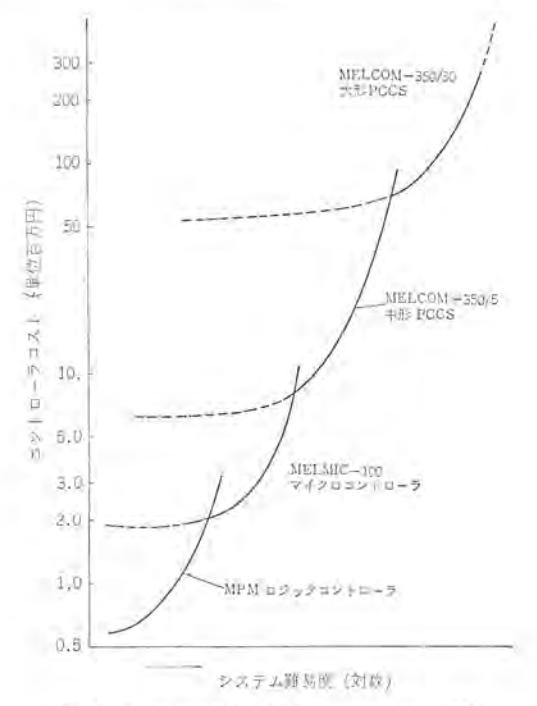


図 4.1 システム 難易度対 コントローラコスト 曲線 System complexity vs. controller cost curves.

いかなる コンベヤの仕分制御にも適応できる方式を当社にて開発し、多くの実績を持つ キューレジスタ 方式である。この方式の特長は情報の順列と仕分荷物との順列が完全に一対一に対応しているため、きわめて複雑な コンベヤラインの仕分けにも、機械的に何らむりな要求をもたせずに純電気的に処理できる点にある。以下図 4.2 の コンベヤラインに従って原理を述べる。

図 4.2 の コンベヤライン の PHA $1 \sim 3$ は,それぞれ荷物が仕分口 にさしかかったことを検出するための光電装置,または リミットスイッチ 類の検出器である。図 4.3 は コンベヤライン の荷物と レジスタ の対応 図を時間変化を入れて書いたものである。

図 4.3 で仕分口は $1 \sim 3$ の 3 ヵ 所とすると レジスタ に要求される 1 ワード の ビット は, 2 進に 22 ビット あればよい。また投入口より仕分口 1 の分岐点までの最大荷物積載数を 7 個とすると,そこに対応する レジスタ の容量は 7 ワード,仕分口 2 と 3 の間では 4 ワード の対応 図を表わしている。

まずはじめ T1 時間には コンベヤライン に A(2) なる荷物が投入さ

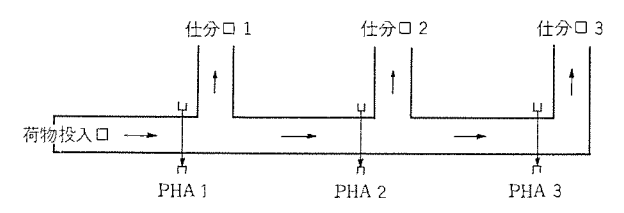


図 4.2 仕分 コンベヤライン 例 Example of sorting conveyer.

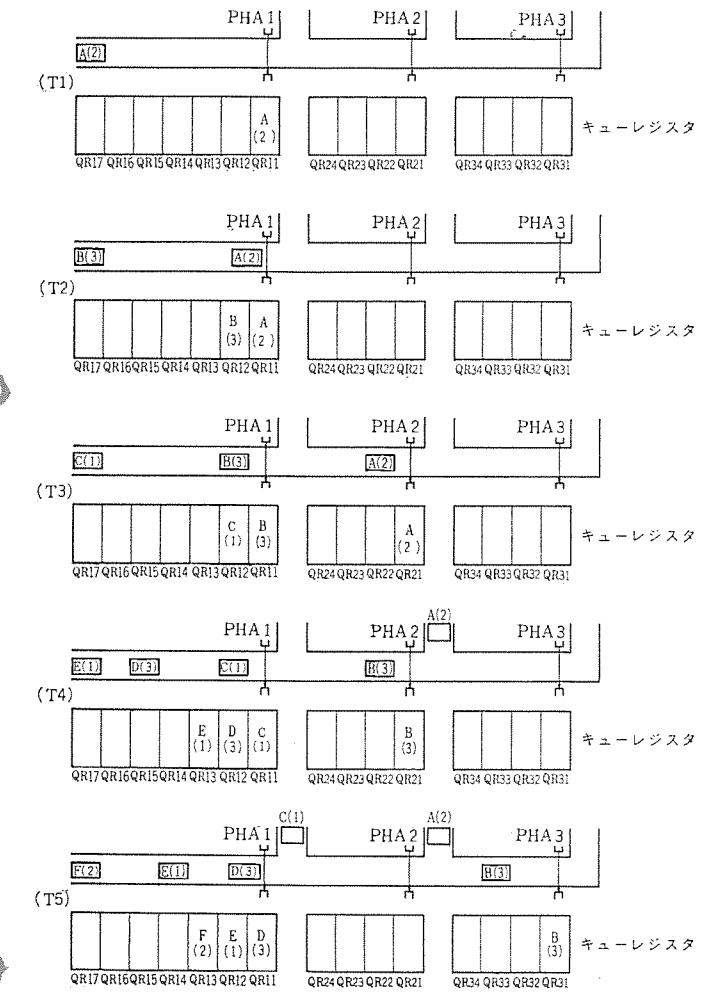


図 4.3 キューレジスタ, コンベヤライン 対応図 Conveyer line and its tracking register.

れると、ダイヤルまたはカードリーダ等でその荷物の仕分情報がキューレジスタ QR 11 に蓄積される。同様に T 2 時間には B(3)が QR 12 に蓄積される。そして A(2)の荷物が仕分口 1 の検出器 PHA 1 にかかると QR 11 の情報が仕分口 1 の情報であるかどうかを調べる。 この場合、情報に冗長度をもたせたパリティチェックとか情報空検出などをおこなって誤動作検出を行なう。 A(2)の行き先は仕分口 2 であるので QR 11 の情報は QR 21 に転送され、荷物は T 3 時間に仕分口1を通過して進む。以下 T 4 時間では A(2)なる荷物が PHA 2 に検出されると QR 21 の情報を判定し、仕分口 2 のコードと一致するので A(2)は払い出される。さらに、 B(3)の荷物は仕分口 1 を通過して仕分口 2 にむかって進む。以下 T 5 時間には図のごとくなる。以上述べたごとく、この方式のポイントはレジスタの奥から情報をつめていくというアイデアによる。

キューレジスタ 読込み方式

キューレジスタに情報を頭から読込ませるにはいろいろ方法があるが、当社ではもっとも簡単にそれが制御できる方法として、可逆 カウンタによる指定方法を用いている。イニシャルクリヤー された状態では、可逆カウンタは count 0 に出力が出されている。 情報が読込まれるときは CP1により、 可逆カウンタにより指定された場所に情報がセットされ次の タイミング で可逆 カウンタに CP2を加え、 count1に出力を出すので次の読込み パルス CP1 がきたときは、情報は QR12に読込まれる。そして CP2により可逆 カウンタを +1 し count1に出力を出す。

仕分口の検出器に荷物が到着したとき QR 11 の情報が判定 されイエス ならば、 取込み指令を出し CP 3 により QR 13 の情報を QR 12 へ、QR 12 の情報を QR 11 へ移動し、 可逆 カウンタ を -1 にする。また、J- ならば通過指令を出し、QR 11 の情報を次の U-ン に対応

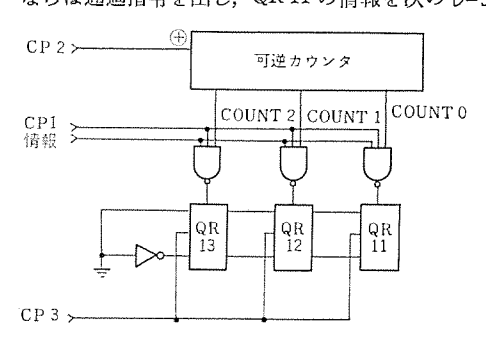


図 4.4 キューレジスタ 読込み方式 Method of a data entry to the register.

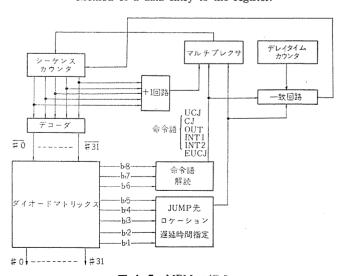


図 4.5 MPM の構成 MPM system block.

する キューレジスタ に転送し CP3 により QR11 の情報を クリヤー する。

(2) MPM (Micro Program Module) システム(特許申請中)

以上述べたどとくコンペヤの自動仕分等では仕分口の数の大小による シーケンス の相違, さらには時分割同時処理の必要性(おのおのの仕分口に ランダムに荷物がつってむ可能性が大)あるいは計算機とのインタフェイス, 自動倉庫 システム 等との連結などいろいろの シーケンス が考えられるので, 当社ではダイオードマトリックス による MPM(マイクロプログラム モジュール)システム を開発し, あらゆる客先の要望に迅速に応ずることができるようになった。

MPM の構成

シーケンスかウンタ は 5 Bit から成る フリップフロップ にて構成されており、デコーダ にて 2 進から 10 進に変換され $\sharp\,0$ ~ $\sharp\,31$ までの 32 ステップダイオード にて プログラム を可能にしている。 b_1 ~ b_5 は飛越先の ロケーション、または、ステップ を進める時間設定に使用され、 b_1 ~ b_8 は命令語の マシンコードを表わすものである。 b_6 ~ b_8 の命令語により以下に説明する命令群を実行するものである。

命令語

b₁~b₈の1語8ビット

Notice The Republic Market M

命令

(1) UCJ (Unconditional Jump) 無条件飛越



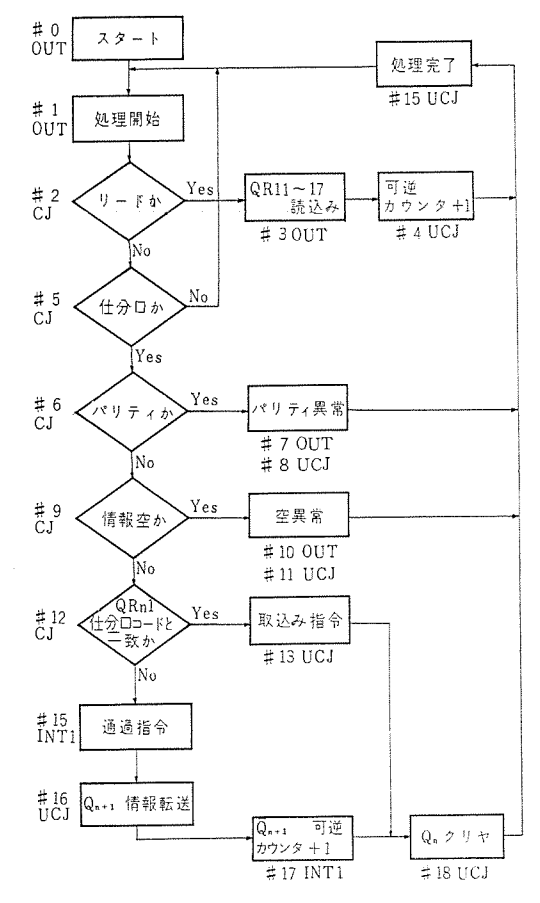


図 4.6 メイン フローチャート Main flow-chart.

動作

その動作 ステップ にきたならば、指定の飛越先の ロケーション に飛越する。

(2) CJ (Conditional Jump) 条件的飛越



動作

その動作 ステップ のとき条件の有無に より, シーケンスかウンタ を+1 して次ステップ に進むか, または Jump 先 $_{\Box}$ ケーション に飛越する。条件有のとき +1 か Jump かは選択可能。

(3) OUT (Out Trigger) 外部トリガー



動作

その動作 ステップ 時外部条件が構成されておれば、シーケッス カウッタを +1 して次 <math>ステップ に進む。 条件が構成されるまでその ステップ にて待機。

(4) INT 1 (Internal Trigger 1) 内部高速トリガー

動作

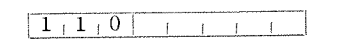
(5) INT 2 (Internal Trigger 2) 内部低速トリガー



動作

その動作 ステップ がきたならば、プログラム により 指定された時間 を y とすれば、y T 後次 ステップ に進む。T は システムクロック とは 異なる 低速 パルス 列。

(6) EUCJ (External Unconditional Jump) 外部無条件飛越



動作

その動作 ステップ がきたならば、 外部にて設定された ロケーション に無条件に飛越する。

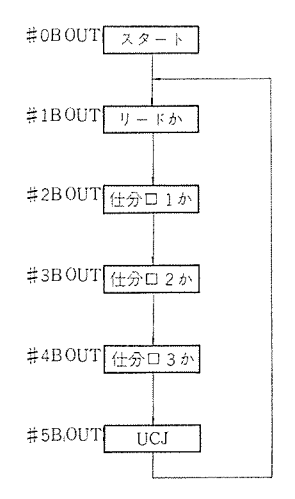


図 4.7 スキャニング フローチャート Scanning flow chart.

応用例

図 4.2 の コンベヤライン の自動仕分制御を MPM で構成した場合, 図 4.6, 4.7 の フローチャート となる。

図 4.2 の コンベヤライン では仕分口に荷物が ランダム に到着するので、図 4.6 の 70-5+-1 の シーケンス を時分割同時処理をする必要がある。 その場合 MPM システム ではもう一つの MPM を図 4.7 のごとく OUT にて スキャニング をさせておき、 たとえば、仕分口 1 の光電装置、または、 リミット が荷物を検出したならば、 $2 B で停止させ、図 4.6 の メインフローチャートを QR 11~QR 17 と QR 21~QR 24 の間で動作させる。 $3 B で スキャニング が停止した ならば、その処理は QR 21~QR 24 と QR 31~QR 34 の間で 図 4.6 の シーケンス が実行される。図 4.8 にその構成を示す。

以上述べたのは構成例のほんの一例であるが、この種の比較的簡単な シーケンス を構成するには最適である。 図 4.9 は MPM で構成した ロジック盤の一例の外観である。

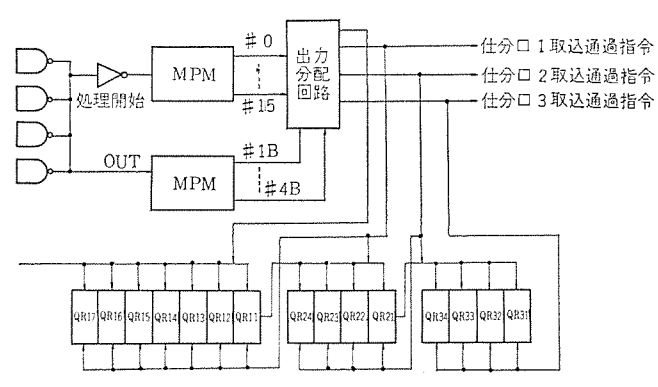


図 4.8 MPM による時間分割処理回路構成例 Time-sharing system block using MPM.

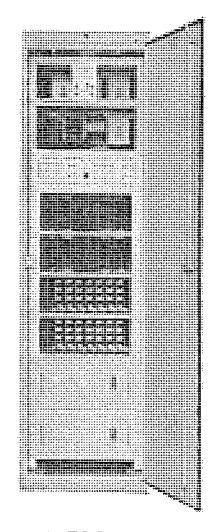


図 4.9 MPM による ロジック 盤例 Exterior view of MPM logic system

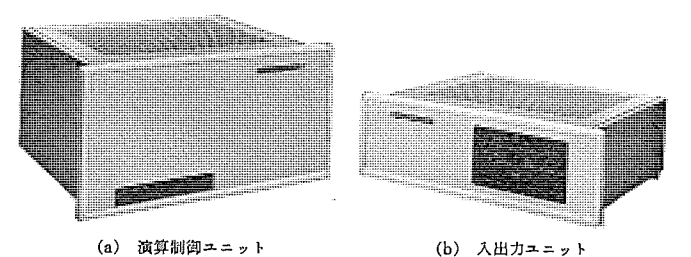


図 4.10 MELMIC-100 マイクロ コントローラ Type MELMIC-100 Micro controller.

4.2 マイクロコントローラによるシステム

仕分制御は、ワイヤードロジックにより十分最適に行なえるが、 対象コンベヤが複雑なものとか、後になって変更・増設したい場合が出てくる。この場合ロジックは大幅改造もしくは作りなおしを余儀なくされる。 ここで ミニコン 制御が考えられるが、 コンベヤ の自動仕分制御は、荷物のトラッキングと簡単な一致判別機能があれば十分で、 高速かつ強力な演算機能をもつミニコンを使用するのはその機能の 大半

表 4.1 MELMIC-100の仕様 Capability specification of MELMIC-100.

0	路	素	子	TTL/DTL 集積回路
御	御	手	顧	読出し専用内部プログラム記憶方式
命	令	稒	類	27 命令
サ	イクル	タイ	4	4 μs
語			長	16 ピット
×	モ	у		制御手順配述: 読出し専用メモリー 標準 256 語(1 語: 16 ビット+バリティビット) 最大 512 語まで拡張可能 資算用レジスタ: IC レジスタ アキュムレータ: 2 語 内部配憶用レジスタ: 6 語内蔵可能 状態記憶用レジスタ: 1 語 (注) 外部ユニット接続用としてほかに 23 語接続可能
捌	込み	機	能	1レベル(6原因) 割込み原因はさらに外部追加可能
缸			源	AC 100 V±10% (1 φ)
周	浬	条	伴	温度:0~50°C 相対湿度:95%以下
外	形	寸	法	約 480(W)×250(H)×370(D)mm(演算制御ユニット) 約 480(W)×150(H)×370(D)mm(入出力ユニット)

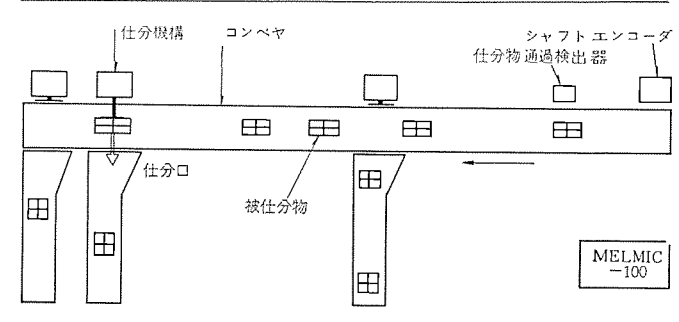


図 4.11 自動仕分 コンベヤ 概念図 (MELMIC-1の方式) System concept of automatic sorting conveyer

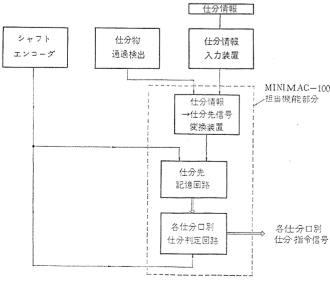


図 4.12 MELMIC-100 を用いた自動仕分 システム 制御機 能図 System configuration of automatic sorting applied with MELMIC-100.

を遊ばせることになり、システム・コスト両面で問題がある。

当社ではミニコン等の小形計算機も使えない小規模な制御 システムで、しかも ワイヤードロジック では複雑になり、オーダメードで ハードウエアを作るには経済性が成立たない システム との ギャップをうめるもの として、図 4.10 に示すマイクロコントローラ MELMIC-100 (M-100 と略称する)を開発した。その仕様は表 4.1 に示すとおりである。自動仕分制御においても同様で、M-100 を適用して経済的な システムを作ることができ、さらにコンピュータとのデータ交信も可能であり、コンピュータ 制御の ローカルコントローラ としても利用できる。

M-100 を応用した制御 システムは、4.1 節で述べた MPM ロジックで行なった Qレジスタ方式と同一内容の制御も可能であるが、今一つの制御方式として移動距離監視方式 (特許申請中)も可能である。この方式の概念を図4.11,4.12 に示す。

すなわちこの方式は品物の移動を投入口の仕分通過検出を悲点として、その移動位置を シャフトエレコーダ でとらえる方法である。 この方法での特長は、 コンペヤ の荷の移動検出を シャフトエレコーダ でとっているので機械取付けの検出器が最小限ですむことである。 一方採用上注意を要するのは、コンペヤ上での荷が スリップ しない用途でなけれ

ばならない、したがって仕分 メインラインの コンベヤ は ベルト とか スラット を使用したものが適する。ローラコンベヤ はさけるべきで、Q レジスタ 方式のほうが良い。

4.3 制御用コンピュータの利用

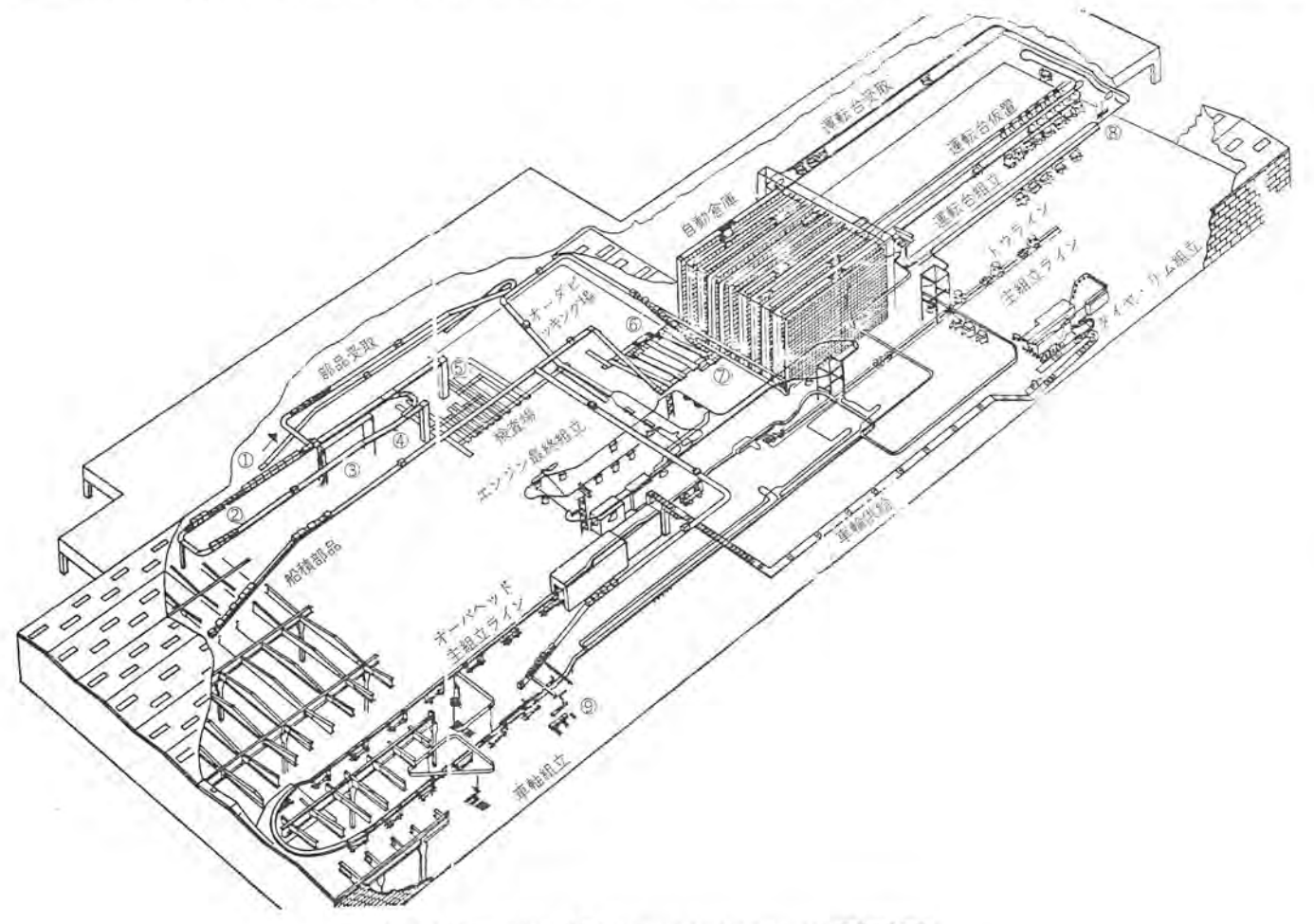
すでに述べたようにマテハンの合理化は第二次の段階に入り、配送 センタ とか中間自動倉庫の荷さばき コンペヤシステム は高度に なり、 大量の情報処理を必要とし、人間を有効に働かせるための オペレーションガイド を逐時リアルタイム に出す必要に迫られてきた。このような システム では、スタティック ロジック とか マイクロ コントローラ では手に負えなくなり、制御 コンピュータ の利用が必要欠くこと のできない場合が多い。

図 4.13 は、制御用 コンピュータ を用いた中間倉庫 システム の レイアウト の代表例である。

コンピュータシステムを計画する場合の重要なポイントを列記すると、

(1) Back-up System を十分考えること

大規模なコンペヤシステムでは全システムの機能停止は致命的である。 計画の段階でいろいろな レベル の故障を想定し、 それぞれについて、 その Back-up 運転と故障回復時の手順を考えておく必要がある。危



- 1. 補品をトレーラまたは鉄道よりフォークリフトにてコンベヤに移動する場所
- 2. チェイン駆動ローラコンベヤ
- 3. TV によるコンベヤライン撤送のモニタ場所
- 4. バレットに添付されたカードを計算機に入力する場所
- 5. 部品検査と計算機データとの照合場所
- 6. 8列のオーダビッキングライン
- 7. 計算機のオペレーティング場所
- 8. 部分的に仕上った運転台にオーダ別の強装をほどとす
- 9、 繰車台の主組立ラインへの撤送開始場所

図 4.13 コンピュータ制御される中間部品倉庫

Layout of computer controlled in-process automatic warehouse system,

険分散のためにあまりにもローカル制御に負担をかけすぎてもいけないし、またコンピュータに負担をかけすぎてもいけない。 システム 設計上非常にむずかしい点であるが、システムをシンプルにし信頼度を上げるには危険分散を過大評価しないことである。

(2) センサー の選定と故障 チェック

大規模なものでは リミットスイッチ, 荷の トラッキングセンサー 類の数は数 千個に達するものがある。

特に荷物のトラッキングに使用する センサー は直接荷物によって作動させるので、多くの荷物が対象であるから、同じ形式のものでも均一であるとは言えない。メカニカル なもの、 光学的なもの、 磁気的なもの等いろいろな形式が考えられるが、その使用環境も合わせて十分検討し適用を誤らないよう注意を要する。

また多くのセンサーの定期的なチェックでは、 故障の発見が遅れ品物の誤送による混乱をまぬがれない。 したがって コンピュータの トラッキングシステム において、品物の流れに矛盾するセンサーの動作を監視し、論理的に合わない現象に対し、すみやかに処理できるようなものにしなければならない。

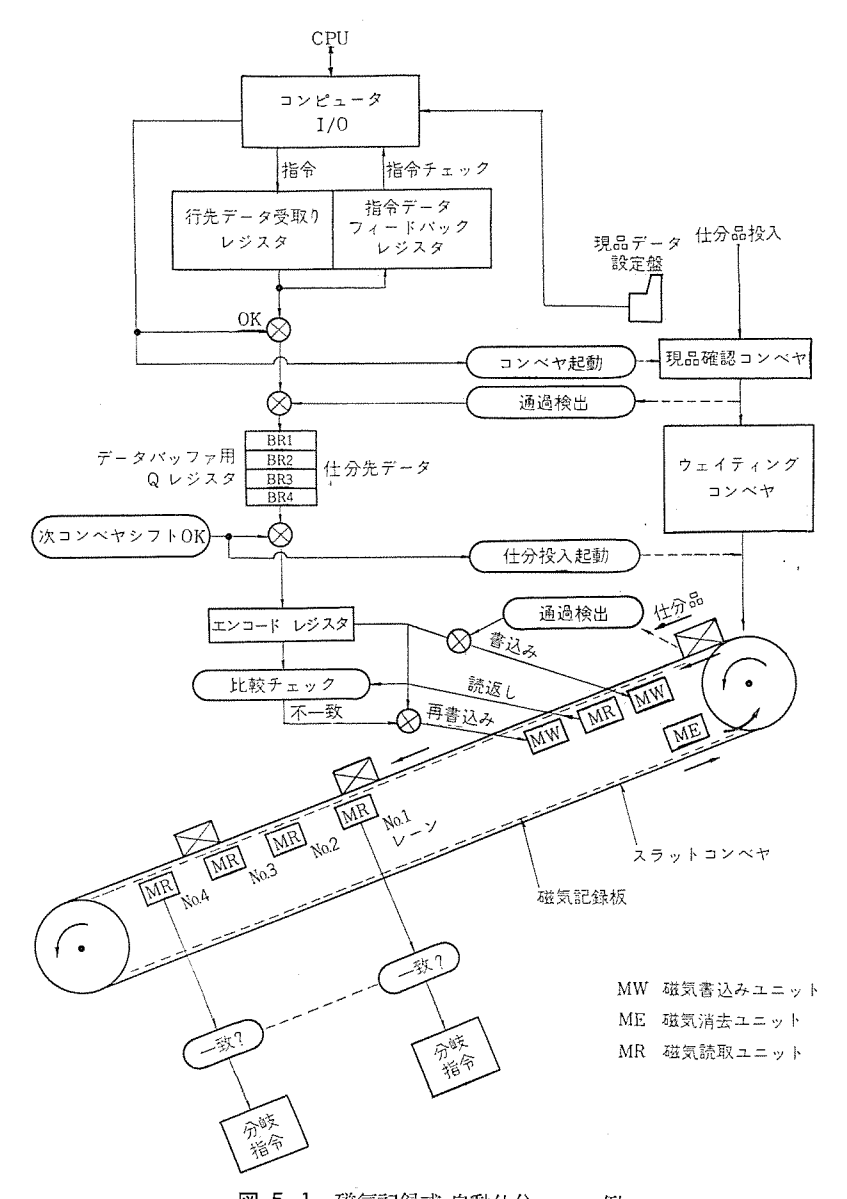
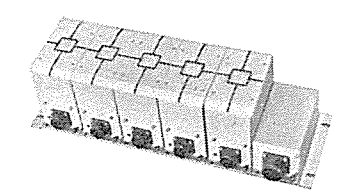


図 5.1 磁気記録式 自動仕分 ₺ステム 例 Example of automatic sorting system applied with magnetic memory escort.

5. エスコート方式の制御システム

エスコート 方式の適用機械についてはすでに表 3.1 に述べた。当社ではこの方式に属する制御 ユニット として、 磁気記録 読取り ユニット および光学的 マークリーダ の開発を行なった。 以下これらについて紹介する。



(1) 磁気読取装置



(2) 磁気書込装置 図 5.2 磁気記録式 書込み, 読取り装置 Magnetic writing and reading head.

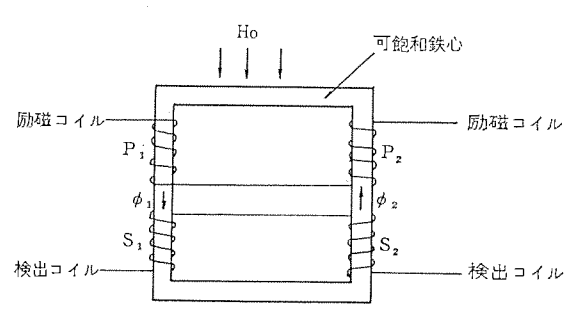


図 5.3 フラックスゲート 形 磁力検出 Flux sensor of flux-gate type.

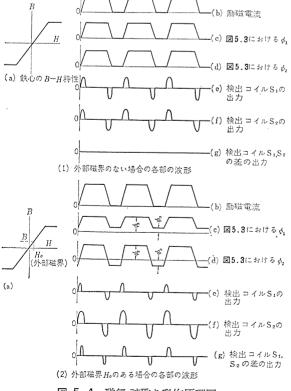


図 5.4 磁気 読取り動作原理図 Principle of magnetic sensing



(1) 被仕分カートンボックス



(2) 光学式マーク読取りユニット 図 5.5 光学式 マーク 読取り ユニット Optical mark reader.

5.1 磁気記録式 読取りユニット

図 5. 1 は スラットコンベヤ を用いた磁気記録式 エスコートシステム の例で、コンピュータ から直接仕分先 データ を受取る システム である。 との場合の特長は コンピュータ の シャットダウン、 停電等で進行中の品物の行先がなくならない点有利である。また書込んだ データ の チェック を行ない、書込み ユニット の故障語動作を防止することができる。

磁気記録読取装置の動作原理を説明すると、磁気書込みは直流磁界により磁気記録板を磁化する。 ある決められた コードに磁化された記録板に対向して読取装置を設置しておき、記録板の磁化方向を検知するのである。 この検知方式は図 5.3 に示す フラックスゲート形の磁力計の原理を応用したものである。 図 5.4 のように磁気 バランスを取っておき、記録板の磁力が外部に現われるとその均衡がくずれる。このようにして磁化方向を検出する方式である。

5.2 光学式マーク読取りユニット

図 5.5 に示すような カートンボックス に印刷されたり、 張り付けられた コードラベル を読み取る装置である。 このような ユニット の応用は、生産 ライン にさかのぼって コードラベル の付け方を検討する必要がある。図 5.6 は光学式 マーク 読取り ユニット とか 磁気記録式 読取り ユニットを応用した生産 ライン と直結した配送 センタシステム の一例である。

6. む す び

以上コンベヤ 搬送制御 システム について マテ ハン システム の一つとして

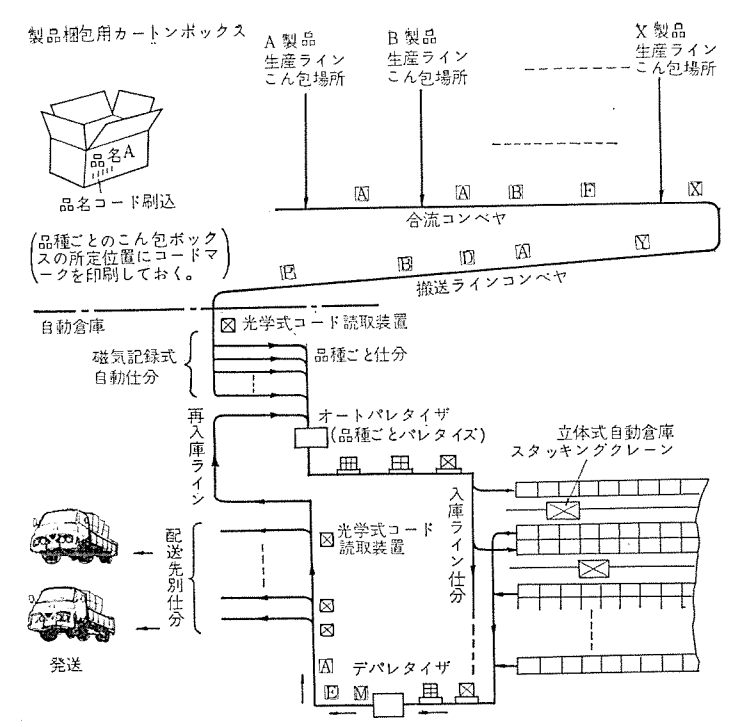


図 5.6 光学式 コード 読取り・磁気記録式読取り装置を応用した配送 センタ システム 例

Example of distribution center system applied with optical mark reader and magnetic memory reader.

記述した。言うまでもなくすぐれたシステムを構成するには、すぐれた や特長ある ハードウェア があってとそ成立つものである。 当社では システム から要求される ニーズ を速かに キャッチ し、今後とも マテハンシステム に応用できる特色ある ハードウェア を開発していくつもりである。

一方今後のコンペヤシステムはますます複雑化し、前後の工程に深く立入らなければ、本当の意味でのOrder-fit した システムを造り上げることができなくなってきている。これはユーザ・メーカー一体となって十分な システムスタデイ を行なったうえでの システムデザイン が必要である。

いずれか一方だけでのシステムデザインでは不十分であり、予期しなかった障害により、基本システムから作りなおさなければならない事態が発生し、非常なロスをまねく場合が起こりうる。 わが国のシステムスタディとデザインの実態を考えるとき、メーカー・ユーザともに大いに反省しなければならないと思われる。

われわれはこの分野にたずさわる1人として、顧客のよき相手と して成長すべくソフトウェアについても精進していくつもりである。

参考文献

(1) 佐竹, 中野, 伊藤: 自動倉庫 システム, 三菱電機技報 44, No. 10, 1,327 (昭 45)

工業用マニピュレータによるハンドリング自動化

津田栄一*

Automated Materials Handling with Industrial Robots

Manufacturing Development Laboratory

Eiichi TSUDA

It was not long ago when a manipulator called an Industrial robot came into use on the production line. To automatize the production line has been an attempt in every field of industry. Rationalization of the materials handling has been tried these years and a variety of apparatus have been introduced only to prove none of them are perfect. The reason is that there are too many aspects where versality in the human function is vital necessity. Under the circumstances, the manipulator has a feature of having the versatility never found with old devices for the same purposes, entering the limetight as a powerful means for automated materials handling. This article describes the present state of the manipulator as well as how to operate it.

1. まえがき

必要な物体が、必要なときに、必要な場所へ、確実に、しかも安価に到達することは、マテリアルズハンドリングの原則である。従来から、あらゆる生産ラインにおいて、物体の移動・包装・貯蔵といったマテリアルズハンドリングの合理化が進められてきている。これは、マテリアルズハンドリングが本質的に生産において、付加価値を増すものでないからであろう。しかしながら「必要な物体が、必要なときに、必要な場所へ、確実に安価に到達すること」は、生産ラインにおいて省くことのできない作業であることに変わりはない。

このようなマテリアルズハンドリングの合理化のため、プラントレイアウト・各種機械設備・システム運用法が適用され、成果を上げてきた。すなわち、これまでの考え方では、作業者が、これらプラントレイアウト、機械設備、あるいはシステム運用法などによって、どれだけ多くの作業を効率的に行なえるか、という観点で合理化が進められてきた。

しかし、昭和40年以降、わが国経済の急速な発展につれ、

- (1) 若年労働力減少の深刻化と労働年齢の老齢化
- (2) 人件費の高騰
- (3) 資本・貿易自由化に伴う競争の激化

など企業を取巻く環境はきびしさを増し、これを克服するには、従来の生産形態をより高度に合理化することが急務となった。すなわち、うえに述べた悪条件を克服し、生産物の質的向上と付加価値をより高めるため、生産の自動化・無人化が切実に要望されてきた。とくにマテリアルズハンドリングは、その主要目標のひとつとなった。

マテリアルズ ハンドリング 自動化のための方法としては(1),

- (a) 機械的整送装置
- (b) 工業用マニピュレータ (工業用 ロボット)
- (c) ネットワークコンベヤ
- (d) 無人けん(牽)引車
- (e) 自動選別装置
- (f) 自動包装装置
- (g) 自動 スタッキング 装置
- (h) 自動倉庫

などがある。 このうち工業用 マニピュレータ は工業用 ロボット とも呼ばれ、機構と制御の柔軟性に富んだ、 従来にない新しい自動 ハンドリング 装置として一大脚光を浴びている。

種々の生産 ラインで、人間にとって危険な作業環境や、不快な作業環境は、いくらでも現実に存在している。このような環境でのマテリアルズハンドリングは過酷なものである。さらにまた、一般にそのような環境でなくてもマテリアルズハンドリングは単純単調な作業である。このような作業は当然機械にやらせるべきものであり、また、先に述べた企業環境からも自動化は必す(須)となってきた。機械の持っている強靱性・再現性・正確性に加えて、機構と制御の柔軟性を持つ工業用マニピュレータ(工業用 ロボット)を人間に代わって、このような作業へ適用することが試みられ、実施されはじめてきた。

マテリアルズ ハンドリング 自動化のひとつの有力な手段である工業 用マニピュレータ についての現状と問題点について報告する。なお、この報告ではマテリアルズ ハンドリングのうち、その狭義の意味の「物体の移動」を中心に述べるので、以後、単に ハンドリング と呼ぶことにする。

2. ハンドリング自動化の問題点

2.1 作業の多様性

生産 ライン, とくにわれわれの企業のような アッセンブル 工業では, 資材受入れ・加工・組立て・検査・出荷といった各工程内および工程間での ハンドリング の内容は, 移動・保管・取出し・選別・供給・位置決め・整列・方向変換・分離などに分類される(空)。通常の作業では, これらのうちの単独動作はもちろんのこと, 組み合わされた作業が数多く要求される。これらの作業は同一物体ばかりでなく, たとえば, 組立工程のような場合には, 多くの種類の物体を ハンドリング する必要が生じる。

このように多様性のある ハンドリングをそのまま自動化することは 効率が悪いばかりでなく、経済的にも引合わないことが多い。した がって、従来の ハンドリング 合理化以上に自動化の場合には、 各作業 工程の連続化、工程の省略、 工程内の ハンドリング の削減などを考え ねばならない。 すなわち基本的には、 ハンドリング を必要最小限にと どめた生産様式にするとともに、 自動化しやすい ハンドリング の作業 標準を確立する必要がある。

ハンドリングの作業分類による自動化装置としては、表 2.1 に示すものがあげられる。これからわかるように工業用マニピュレータは、他の専用装置にくらべ機能の柔軟性が大きく、ハンドリングのはん用装置としての可能性が大きい。しかしながら、実際には任意の場所に、任意の姿勢をした物体をハンドリングするほどの柔軟性を持った装置

表 2.1 ハンドリング 自動化装置の機能 Function of automated handling equipment.

サ 配 かンドリング	インデ ックス 装 置	ホッパ	エスケーブメント	マガジンバレットコンテナ	ショー	コンベア	マニビ ュレー タ
保管	-	0		0		Q	
移動	0	0			0	0	0
整 送		0		0			0
方向転換		0			0	0	0
分離		7.77	0			0	Q
供給			O		0		0
位置決め	0						0
取出し							0
クランプ							Q
アンクランブ							0

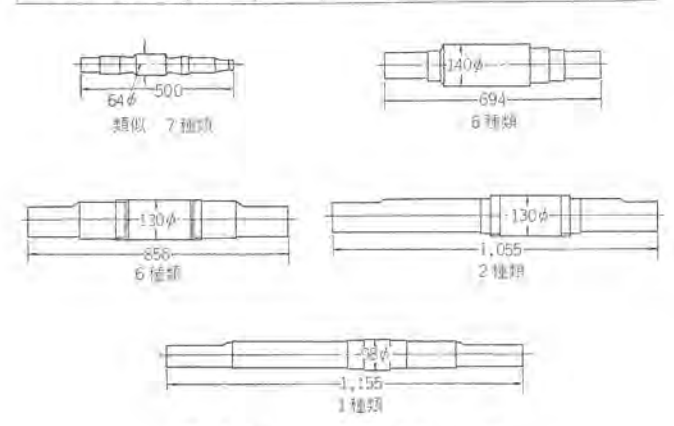


図 2.1 ワークハンドリング の多様性 Variety of work handling.

の実用化は、現在の技術水準では、まだむずかしい。したがって先 に述べたように自動化のための作業標準が望まれ、また、自動 ハン ドリングのための前準備が効率的に行なわれねばならない。

2.2 対象物の多様性

各生産工程内あるいは工程間における ハンドリング 対象物は、その作業の多様性よりも、さらに多種多様になる。 材質・形状・寸法などの違いによる種類は膨大な数になる。 このように多様な対象物を工業用マニピュレータで自動 ハンドリング するには、1) 対象物を連続体にする、2) 対象物の形状の修正、3) 補助具の活用などを適用する必要がある。

(1) 連続体にする

紙・布・線状物体など柔軟な物体は、いうまでもなく、針状の物体などは機関銃の弾帯のように連続体とし、ハンドリングを容易にするとともに、組立て工程の場合などは、必要な作業が行なわれる寸前まで連続体にしておくのが望ましい。

(2) 形状の修正

ハンドリングの中の重要な作業のひとつに、位置決めがある。対象物には、単に加工や組立てのためのつい(衝)立てを設けるだけではなく、工業用マニピュレータが チャック するときの基準位置を設けて、位置決めが容易に行なえるようにする必要がある。

(3) 補助具の活用

マガジン、パレット、コンテナなどを用いて ハンドリング 自動化の効率を高めることが必要である。この際、形状・寸法の異なった物体を同時に ハンドリング する場合、 対象物の基準をそろえておくことが必要である。 図 2.1 は、 同一加工 ライン で切削される シャフト の一例であるが、これを自動 ハンドリング するためには、 長さ方向の中心あるいは端部を基準として、あらかじめ パレット に格納できるようにする必要がある。

2.3 ロットの大きさ

生産物のロットの大きさに対応して、ハンドリングの専用機を用いるか、工業用マニピュレータを用いるかが決まる。アッセンブル工業では、本質的に多品種少量生産であることが多い。 たとえば、テレビ受像機は量産品の代表例であるが、46年5月現在、当社で生産されている機種は、カラーおよび白黒と合わせて25機種に及んでいる。このように、たとえ量産の場合であっても、顧客の階層・好み・目的などによって多種類のものとなり、ハンドリング自動化に専用機的なものを導入するのを困難なものとしている。

多機種少量生産にこそ、工業用マニピュレータが、その機能の柔軟性によって、大いに適用しうるものといえる。しかし、より効率化をはかるために、作業と対象物の標準化は重要な課題となる。もちろん標準化にも限度があり、そのため クループテクノロージ を ハンドリング作業にも適用することが必要になる。

3. 工業用マニピュレータ (工業用ロボット) の機能

3.1 機能

従来, 人間の行なっていた ハンドリング 作業を機械に行なわせるために機能として, 次のような要求目標をあげることができる。

- (1) 人間の手の動きと同じ器用さを持つてと
- (2) 人間の手の機能よりも大きい負荷容量と作動範囲を持つこと
 - (3) 操作の確実性と精度を高めるため感覚機能を持つこと
- (4) 人間が指令を与えるだけで、自動的に決められた ハコドリン うを行なうこと

すなわち、機能的にはん用性と柔軟性を要求するものであり、機 構的にも、制御にも柔軟性が必要である。

3.2 機 構

機構として要求されるのは、動作の柔軟性と人間と比べた場合の 機能の拡大である。そのため従来のハンドリング装置と異なった、自 由度の大きい機構が要求される。また、加工・組立てなどの機械装 置との協調も必要で、比較的人間の腕や手に近い形状になる。

(1) 運動の自由度

人間の手と同じ器用さを持たせるためには、人間の腕や手の形状 に近いものが考えやすい。

人間の手の運動自由度を人間工学的に解析した結果、最小限7自由度あればよいとされ⁽³⁾、放射性物質の遠隔操作のためのマスタスレイプマニピュレータが開発された。この自由度については図3.1 に示す。

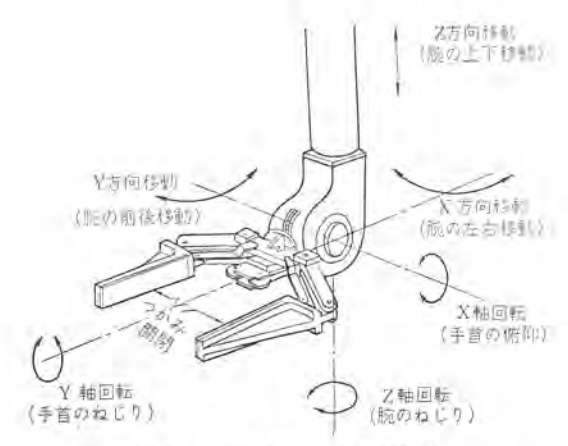


図 3.1 マニピュレータの7自由度 Seven degrees of freedom of manipulator

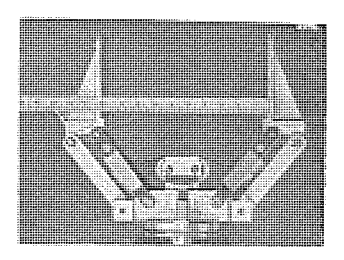
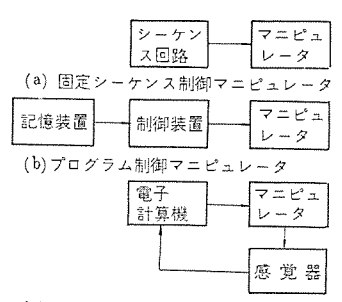


図 3.2 平行移動形トング Parallel moving tongs of manipulator.



図 3.3 簡易形トング Tongs with simple mechanism.



(c) 適応制御マニピュレータ

図 3.4 マニピュレータ の制御方式 Control system of manipulator.

ち, 自身の動作を修正し, 正しい動作を維持する制御機能を持つ必要がある。しかし, このような特性をもつものは, まだ研究途上にあり, 当面技術の進歩を待たねばならない。

(1) シーケンス 制御

動作順序は固定か半固定であり、もっとも単純な制御形式である。いわゆる オートローダ などがこれに属する。ハンドリング対象物は、あらかじめ決められた場所で、決められた姿勢に待機させておく必要がある。通

常の ハンドリングでは、 この程度のものでも、かなり自動化の効用は 大きく、量産 ライン によく用いられる。

(2) プログラム 制御

ハンドリング 対象物や順序の変化に対応して、容易にプログラムを変更して命令を与えることができるものである。命令を随時変更できる点に機能の はん用性があり、 多品種少量生産 ライン に適合するものといえる。現在、工業用ロボットと称されているものの多くは、この形式に属するものである。

命令の記憶方式としては、ピュポード、スイッチ、磁気記憶装置などが 用いられる。これは、位置決め点数、位置決め法とも関連し、運動 の経路が点から点への制御であるか、連続経路の制御が必要である かによっても使い分けられる。

命令の与え方としては、記憶装置に プログラム を直接入力させるものと、 プレーバック 方式で、位置目標値を作業者が マニピュレータ を手にとって記憶させるものとがある。複雑な連続経路の命令を与える方法として後者の利点は大きい。

このプログラム 制御によるものやシーケンス 制御による マニピュレータ を適用する場合には、感覚機能を代行させる補助装置を適切に設けることが必要で、状況の変化に対応した情報を人間に報知させることが重要である。

(3) 適応制御

与えられた基本プログラムに従ってマニピュレータを制御するとき、状況の変化に対応して、基本プログラムを逐次自己修正し、その状況にもっとも適した状態になるよう制御するものである。

このような機能を発揮するためには、状況の変化を感知するための感覚器、感知した情報を認識して判断を下し、マニピュレータをフィードバック制御する電子計算機が必要になる。

機能的にははん用性と柔軟性の大きい装置となり、いわゆる ロボットの概念に近づいてくる。情報の取扱い量が非常に多く、記憶容量の大きい電子計算機を必要とし、現在開発途上にある。実用化にはいましばらく時間がかかりそうである。

3.4 作業性能

作業可能な空間は,原則的には三次元であるが,用途によっては 二次元だけで十分な場合もかなり多い。

腕の到達範囲としては、最大 1 m ぐらいが普通であり、それより大きい場合はマニピュレータ全体を移動させるのが効率的であろう。 このことは、ハンドリングを必要とする機械装置が人間を対象として作られているのが普通であり、したがって人間の機能よりは、わずかに大きいものが使いやすいといえそうである。

同じことは腕の移動速度についていえる。 その範囲として 1 m/s 近傍が普通に用いられるようである。

しかし実際に生産 ライン に適用するときには作業がかなり限定 できるので、もっと少ない自由度でも十分な場合が多い。

(2) チャッキング 方法

物体を保持する機構としては、はさむ機構(トング)がもっとも柔軟性がある。人間が物体をつかむときには、指全体と手のひらを対象物にあて、手首をかなり強く働かせている。また、物体が小さいときは指だけでおさえ、いわゆるつまむ動作となる⁽⁴⁾。 工業用マニピュレータでは、このはさむ 機構を最小の運動の自由度で行なわせ、機構を簡素化している。

これは、そのまま工業用マニピュレータにもあてはめることができる。

多様な物体をはさむ機構としては、物体を保持するときのマニピュレータの位置の変化が少ないので、図 3.2 のように平行に開閉するトングが望ましい。 実際の生産 ラインでは、対象物がある程度限定されることもあって、図 3.3 のように簡単な機構のトングも多く使用することができる。

ハンドリングする物体が板状のものや、こわれやすいものの場合には、 真空吸着 チャック を使うことが多い。

(3) 形 状

機構の柔軟性を持たせるため、形状的には人間の手と同じく、片持はり(深)形式が普通である。しかし、人間の腕・手の場合、極座標的構成と考えられるが、マニピュレータの場合は、位置決め指令の容易さも考え、円筒座標的構成が普通であろう。 簡単な Λ ンドリングの場合には直交座標的構成で十分な場合もある。いずれにしても形状的には、片持はり形式をとる必要があり、負荷容量に見合った、軽くて剛性のある構造が要求される。したがって駆動機構も重量当たりの出力が大きいものが必要とされる。

(4) 駆動方式

電動・空圧駆動・油圧駆動などが用いられる。これらの使い分けは、運搬容量、速度、位置決め精度とも関連する。比較的運搬容量の小さい場合には、電動や空圧駆動が用いられる。この場合、位置決めが連続可変であれば、普通、電動方式のほうが容易である。油圧駆動は運搬容量が比較的大きく、位置決め精度を要求される場合に多く用いられる。

位置決めが連続可変で、 精度を要求されるときには、 電動 サーボ や油圧 サーボの駆動方式を用いることが多い。

3.3 制御方式

工業用マニピュレータの制御方式は、図3.4のように分類ができる。 ハンドリング作業は本来単純単調であるが、実際には状況の変化に対応して、作業にフィードバックし、あるいは予測を行なって作業手順や方法の修正変更を必要とすることも多い。 したがって工業用マニピュレータの特性としては、少なくとも視覚や触覚に関する感覚機能を持 運搬容量としては、対象作業に応じて一概には決められない。人間が行なう場合のように、 補助装置と協調可能であれば、 最大 20~30 kg の容量で十分であろう。 実際には、これはむずかしく、また システム 構成を単純にするため、たとえば 5, 20, 50 kg 用などのように標準系列を決めるほうがよいように思われる。

位置決め精度は、構造と検出器に関連するが、0.1 mm を期待することは可能である。

3.5 感覚器

感覚器は、まだ研究の段階である。たとえば視覚については、比較的単純な形状の立体像をビジコンで検知し、認識して判断を下すのに32k 語程度の記憶容量を持った電子計算機が必要といわれている(5)。一方、触覚については、サーボ機構の位置偏差が反力の情報を含むことを利用して、対象物から力のはね返りを感知させて、判断を下す双動サーボ機構を制御するのに4k 語の記憶容量が必要とされている(6)。

とのように感覚器についての研究は目ざましいものがあるが,実際の生産 ライン に適用するには,機能的にまだ簡単なことしか行なえないことと,経済的にも引合わないというのが現状である。しかし,マニピュレータの はん用性と柔軟性を高めるには,このような感覚器の実用化が早急に望まれる。

4. マニピュレータによるハンドリング自動化の実施例

マニピュレータによる ハンドリング 自動化の例をいくつか紹介する。 これらは、すべて シーケンス 制御マニピュレータに属するものであり、比較的 ロット 数の大きいものに適用されている。 したがって、どちらかといえば専用機の性格が強いものである。 しかし ライン 編成の変更や機種の変更に対し柔軟性があることはいうまでもない。

4.1 工程間ハンドリング

工程間 ハンドリング の自動化で問題になるのは、工程間撤送装置、たとえばコンベヤ に対する物体の取付け、取りはずし、あるいは一時保管のための ハンドリング などである。 このような準備作業的なものには、マニピュレータ の使用は効果的である。

(1) コンベヤ 間の自動積換え

図 4.1 は、けい光灯じか付け照明器具の反射 カバーの溶接 コンベヤ ライン から、 塗装 ハンギングコンベヤライン への積換えを行なわせるため開発されたものである。 溶接 ライン から平面的に搬送されてきた反射

図 4.1 コンベヤ 間の積換え 装置 Auto-loader between two conveyor lines.

カバーを同時に3枚吸着し、方向転換・移動して ハンギングコンベヤ のフック にひっかけて積換えを行なうものである。

この装置では、ハンギングコンベヤに積換えるには、移動する フックのタイミング に合わせて、チャック した反射 カバーを フック と フック の間にそう入し、停止したまま フック がひっかけるのを待ちかまえる方法をとっている。この方法は、機能的に単純で実用価値が大きいが、コンベヤ 速度が上がると適用がむずかしくなる。 このような場合、コンベヤ に同期追尾する機能が必要になる。コンベヤ 速度が 0.5 m/s 程度までであれば、簡単なオンオフ 制御で十分同期追尾させることが可能である。

(2) 一時保管

工程間 ハンドリング には、一時保管を必要とすることは多い。 たとえば、切削加工 ライン から研削加工 ライン へ物体を移動する場合、両者の加工 サイクルタイム が異なるのは普通であり、そのため工程間で一時保管が必要となる。

図 4.2 は換気扇の軸加工 51つ に適用したものである。旋盤から自動的に取りはずされた軸を 1つグで 51中ツクし、移動して 10ットに 整列格納する。

このマニピュレータでは、軸を整列格納するのに順次位置決めをしていくのではなく、パレットを別機構でピッチ送りさせて、マニピュレータの制御を簡素化している。機能の柔軟性からいえば不足する面があるが、構成が単純で安価なマニピュレータは、気軽に使用できる利点がある。

4.2 工程内ハンドリング

加工工程や組立工程では、加工機械や組立装置への物体の供給、取りはずし、あるいは物体と物体との組み合わせなどがおもな作業内容である。 このような工程内 ハンドリングでは、位置決め精度がかなり高く要求されることが多い。

(1) 加工機械での ワークハンドリング

加工機械に対する ワークの ローディング、アンローディング 作業のうち、プレス 加工の場合は単純単調作業の典型といってもよい。図 4.3 の装置は、タービン 発電機 など 大 形回転機の ステータ やロータ に用いられる セグメントコア に スロット 加工を 施す ノッチングプレス のローダ・アンローダである。

セグメントコアを1枚ずつ、 プレステーブル に位置決めして ローディング し、 ノッチング 加工が終わると プレス 機械から取りはずし、積上げていく作業を2台のマニピュレータで行なわせている。 セグメントコア のような シート 材の チャック には真空吸着はすぐれた方法であり、この装置にも適用されている。

シート 材を吸着するときの問題は、重なり合ったままのものを チャック する可能性があることで、 このため 1 枚ずつ、あらかじめはく (剝)離しておくことが必要である。この装置の場合には磁気的方法

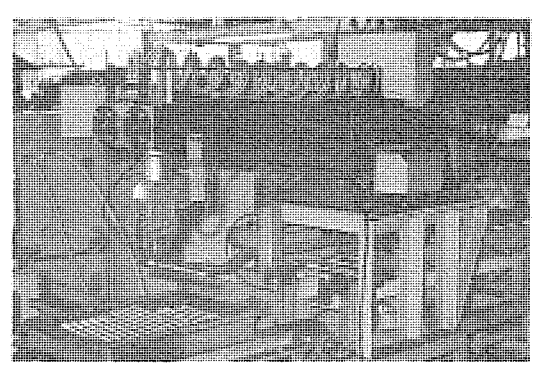


図 4.2 軸加工 ライン における マニピュレータ Manipulator in lathe line.

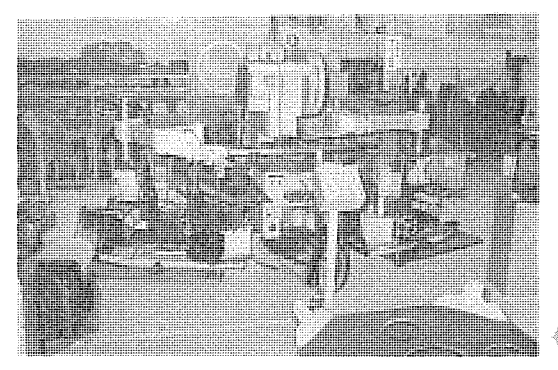


図 4.3 ノッチングプレス 用ローダ・アンローダ Loader and unloader for noching press.

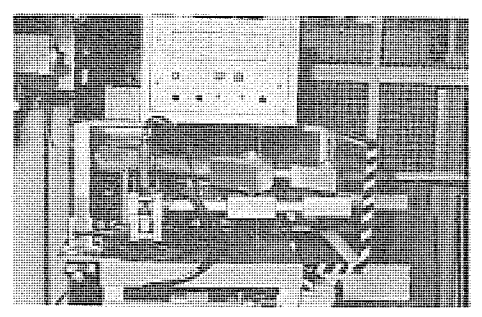


図 4.4 スポット 溶接機用 オートフィーダ Auto-feeder for spot welder.

で行なわせている。もうひとつの問題は、積重ねてある素材が次第に減少して積高さが小さくなることと、一方、加工済材の積高さが次第に高くなっていくことである。マニピュレータに、これに対処するような機能を持たせることは、技術的に可能であるが、この場合には、素材や加工済材の保管テーブルに、このような機能を持たせている。

(2) 組立て工程での ワークハンドリング

組立て工程では、とくに位置決め精度がきびしく要求される。図 4.4は、冷蔵庫のケースに ドアヒッジを スポット 溶接する際の パーツフィーダ として用いられたものである。 マガジッから ドアヒッジを 1 個ずつ取出し、溶接電極に取付ける機能を持っている。

この装置の場合,どちらかといえば専用機であるが、その作業内容からいえば、マニピュレータの機能を持つものが適している。とくに、機種変更に対する柔軟性の点ですぐれており、 簡単な ハンドリング を自動で行なわせる簡単なマニピュレータの用途は、組立て作業の場合でも多いように思われる。

5. 今後の発展

前章の実施例では、シーケンス制御で単純な機能の専用機的性格を持つものであった。ハンドリング作業は単純単調であるといっても、このような機能のものだけで自動化は、行なうことができないのは当然である。多品種少量生産ラインでは、より高度な機能を持つことが要求される。ここでは、ロボットを最終目標として、さし当たり実現を要求されている2、3の例について述べてみたい。

5.1 多数の工作機械の自動ワークハンドリング

たとえば、図 2.1 で示したような シャフトを 3~5 台の旋盤で加工する場合、しかもロットの大きさが 10~20 本のような場合に、加工そのものは、数値制御さらには群制御するのに好都合である。しかし、各旋盤に 1 台ずつのマニピュレータ、 あるいは オートローダ を設け、素材や加工材を管理するのは、得策とはいえない。シャフト の寸法・重量が大きい場合、素材・加工機の一時保管を集中するのが得策といえる。

このような場合に、1台のマニピュレータで、すべての旋盤のワークハンドリングを管理できれば効率的である。 もちろん、これは旋盤のみならず、その他の工作機械にも同じ考え方を適用できる場合が多い。このような機能を満たすマニピュレータの実現は、比較的早いのではないかと思われる。

5.2 アーク溶接施工の自動化

大形構造物の多くは溶接で建造されている。 これらの アーク 溶接 施工を自動化するには、溶接トーチをどのように自動 ハンドリングする かが問題になってくる。溶接個所が直線である場合や、溶接対象物 を回転させることのできる円周溶接などでは、専用の装置があり実用化されている。しかし溶接個所が複雑な パターン をしているものや、

対象物が巨大で動かすことができない場合には、マニピュレータのように柔軟な機能を持ったものが必要になる。

もちろん、溶接法自体も、あらゆる方向に対して、確実な溶接接手が連続して得られるものが開発されねばならない。それにも劣らず重要なことは、巨大構造物では、マニピュレータ自身を移動させる機能が必要になり、これは、まさしくロボットに溶接トーチを持たせたことになる。そこまでいかなくとも、溶接施工の自動化に工業用マニピュレータを適用することは、ひとつの課題といえそうである。

5.3 組立ての自動化

すべての製品組立てに、マニピュレータを使うことは、効率的ではないであろう。しかし、各種専用機と協調して作動するマニピュレータは、 有効と思われる。

組立てのむずかしさは、この特集号で岩佐(*)が述べているが、ハッドリングの観点からは、はめ合わせなどのように、一方の物体からハッドリングしている物体に拘束を受けることである。これに対処するには、視覚や触覚などの機能が要求される。

現在の技術では、このような機能をもつマニピュレータは、まだ実用性に乏しい。このことは、すでに述べたとおりであるが、対象とする製品の設計の改善や補助となる検出器の適用で、 工業用マニピュレータを主体とする自動組立て ラインの実現の可能性は大きいと考えられる。

6. む す び

工業用マニピュレータ、いわゆる工業用 ロボット を生産 ライン に適用することは、現在始まったばかりである。 しかしながら ハンドリング 自動化の有力な手段のひとつとして、大きく期待されている。 これは、本来、ハンドリングが人間の持っている特性・機能を十分に発揮させる作業ではないためと思われる。

現在の工業用マニピュレータが機能的に、直ちに人間と置換えて、ハンドリングをさせることができるまでには至っていないことは、すでに述べた。しかし現在、実用的に得られる機能を持つマニピュレータを前提とし、単に人間と置換えて使用するというのでなく、 生産 ライン を考えるべきであろう。

現在、生産システムの中枢として、電子計算機は大きな役割りをにないつつある。おそらく、工業用マニピュレータも、工作機械と同じく、電子計算機による群制御が実施されるであろう。このとき、工業用マニピュレータは、生産管理システムと結びついた自動 ハンドリングシステムの構成要素として使用されるであろう。また、感覚器の実用も始まるのではないかと思われる。

(昭和46-8-19受付)

参考文献

- (1) 長谷川編:多品種少量生産 システム, 62 (昭 45) 日刊工業新聞 社
- (2) 谷口, 牧野: 機学誌, 70, 1,434 (昭 42)
- (3) R. C. Goertz: Nucleonics, 10, No. 11, 36 (1952)
- (4) 坪内:人間工学, (昭36)日刊工業新聞社
- (5) 電子技術総合研究所彙報, 35, No. 3 (昭 46) ETL ロボット Mk I 特集
- (6) 井上: 機学誌, 73,946 (昭45)
- (7) 岩佐:三菱電機技報, 45, No. 10, (昭 46)

組立自動化の問題点

岩佐辰弥*

Problems for Automatic Assembly

Manufacturing Development Laboratory

Tatsuva IWASA

In connection with the automatic assembly coming into necessity of late, examples of these machines developed by the Manufacturing Development Laboratory are quoted and problems posed by them are reported herein. The automatic assembling technology involves a number of problems. In other words, this technology belongs to the new field with technical backwordness and diversity, and then the problems range from the degree of know how to the innovation of technique.

These problems solved one by one, contribution is to be made to the progress of automatic assembly to pave the way to the forthcoming unmanned operation.

1. まえがき

過去に、コンベヤ 生産 ライン は、豊富な労働力を背景に、 飛躍的な 生産性向上を達成した。 特に集約工程にあたる組立工程の コンベヤラ インは、企業の花形的存在でコンベヤラインとそ、オートメーションと錯誤 されていた。 わが国では、 昭和 40 年ごろを境に企業の高度成長に 伴い、労働事情が急変し、企業内は、深刻化する人手不足と人件費 の高騰に見舞われ、自動化・省力化の要求が増大している。なかで も電機産業界は、労働集約的産業に属し、その要求度は急速に高ま っている。各種の未来情報を探索しても、わが国の企業の将来展望 は、こと労働力に関しては悲観的であり、昭和50年代には、労働 力の相対的不足から、絶対的不足に移行、賃金水準も現行の2倍に なると見られ、自動化・省力化の次段階、無人化への進展も重要な 課題となっている。

従来、機械化が困難とされていた組立作業も、合理化の対象とし て、自動化・省力化の推進なくして、企業の高度成長をささえると とが困難な時代になりつつあり、手と簡単な道具に頼っていた組立 作業に、いきなり機械を持込み、難題を仕掛けているのが現状とい \$ 3.

組立自動化の キャリア は、世界的に先進の米国で 20年といわれ、 わが国では、せいぜい10年程度で、成功例が発表され、注目され はじめたのは、それよりおのおの4~5年後のことであり、技術的 に未確立な、比較的、歴史的にも新しい技術分野である。

2. 自動組立の問題点

2.1 対象テーマ

組立自動化の歴史的後進性の理由は、いろいろあると思われるが、 組立作業は、従来、人間の仕事という観念があり、フレキシブルに活 動する人間の重宝さが、 多様性の高い組立作業に マッチ したのも一 因といえる。自動組立の対象としては、組立の必要な工業製品全般 がその範囲にはいる。 米国での自動化実施例は、コネクチングロッド、エ ンジンブロック, クラッチ などの自動車関係の部品組立, プリント 基板・半 導体 コンポーネント など電子機器関係の部品組立のほか,時計・ボールベ アリング・ワットアワーメータ・真空管・カメラなど各産業の各製品におよん でいる。当社でも、大は重電機器から、小は半導体に至る広範囲な 自動組立の要求がある。

これらの機能, 形状, 重量, 材質, 精度と, 部品数および組立様 式の異なる種々の テーマ 品に対し、 画一的に組立自動化をはかろう としても無理があり、おのおのの製品の機能と持味を生かした自動 化を進める必要がある。 そのうえ、 デーマ の多様性に拍車をかける のが、製品のモデルチェンジで、工作機械などに比べて問題もさらに多 様化する。

2.2 自動組立機の種類

一方、組立自動化の目的、生産量・自動化規模によっても、開発 する自動機の種類と内容が大きく変化する。

(1) 目的別分類

- (a) 生産性の向上
- l(b) 品質の向上
- (a) 小種多量生産
- 対象(生産量)別分類 {(b) 中種中量生産

 - (c) 多種小量生産
 - 自動化規模別分類
- (a) 部分自動化

l(b) トータル 自動化

当社生産技術研究所でも、各場所依頼の自動機の開発を担当して いるが、持込まれる テーマ ごとの目的、様式、内容は、 多種多様で あり、一方、開発する自動機の種類も多岐にわたっている。

生産性向上を目的とした多量生産の組立自動化の一例として、小 形電磁接触器の自動組立 ライン を紹介する。図 2. 1 は,自動組立 ラ

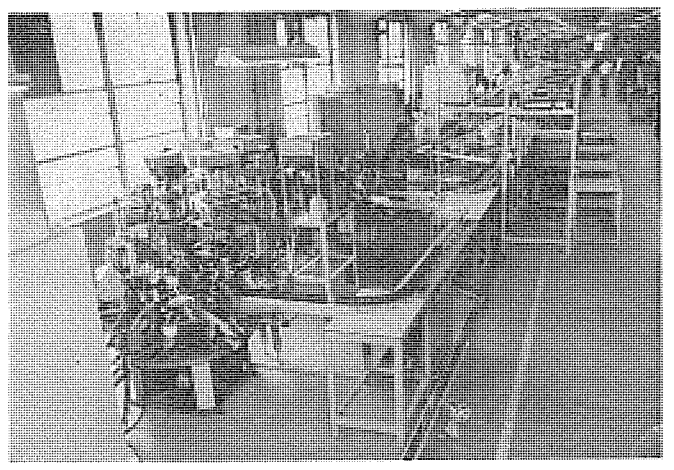


図 2.1 小形電磁接触器自動組立 ライン の全景 General view of automatic assembly line for magnetic contactor.

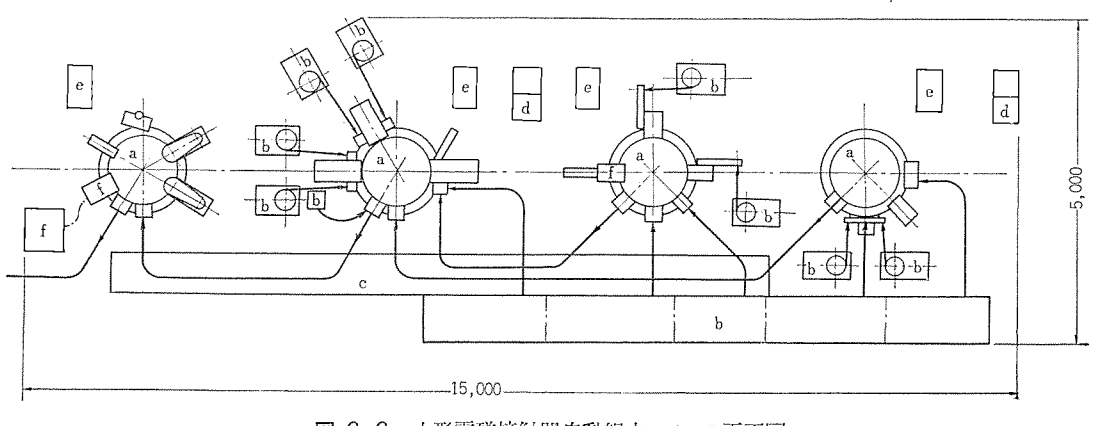


図 2.2 小形電磁接触器自動組立 ライン の平面図 Plan of automatic assembly line for magnetic contactor.

b:バーツフィーダー c:コンベヤライン d:制御装置 e:制御卓 f:チェッカ

a:組立機本体

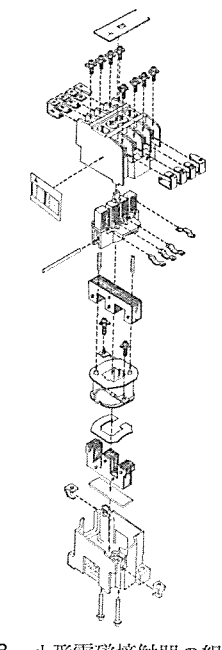


図 2.3 小形電磁接触器の組立手順 Assembling process for magnetic contactor.

インの全景, 図 2.2 はその平面図,図 2.3 は小形電磁接触器の部品と組立手順を示す。本自動組立 ラインは、部品総点数 39 点の自動組立と 3 項目の自動検査を実施でき、自動組立 ステーション 21 台、自動検査 ステーション 2台、パーツフイダ 24 台から構成され、フレキシブルなリード端子をもつ コイルのそう入のみ、手作業を採用している。

組立 5 イン は,おのおの 4 ~ 7 台の自動 25 一ション をもつ,4 台の 25 一タリテーブル 式の組立専用機で構成し, おのおのに制御装置を設け,独立運転が可能であり, さらに 各専用機間を 25 一で 連結しているが, 25 一上の品物の積載量を 5 まずり して信号を出し, 前後の専用機を制御している。したがって専用機は, 固定 サイクル の マシンであるが, 5 イン 全体は, 25 一サイクル の 5 イン 様成になっている。

本 512 は、 若干の段取り換えによって、 2 機種を取扱うことが可能で、接点構成の違った接触器も自由に自動組立ができる。また、自動検査 25-25 の採用で、接点構成と最低動作電圧および耐電圧の 55-25 と選別が可能で、最終 25-25 から最終製品が 55-25 される 15-25 組立自動化 15-25 である。

次に、多種小量生産に適用した部分自動化の自動組立機の一例として、図2.4に大形変圧器の鉄心積み機を紹介する。多種小量生産のトータル組立自動化は、現在および近い将来とも困難といえる。しかし、多種小量生産体系の工程にも、同種部品の点数が多く、単

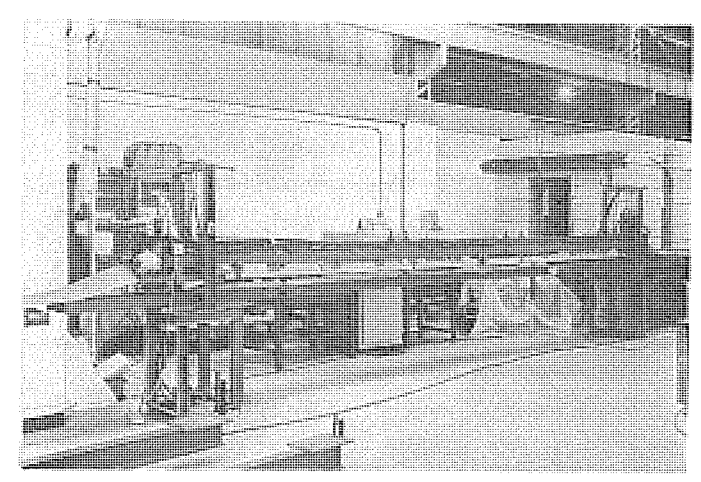


図 2.4 変圧器自動鉄心積み機 Automatic core stacker.

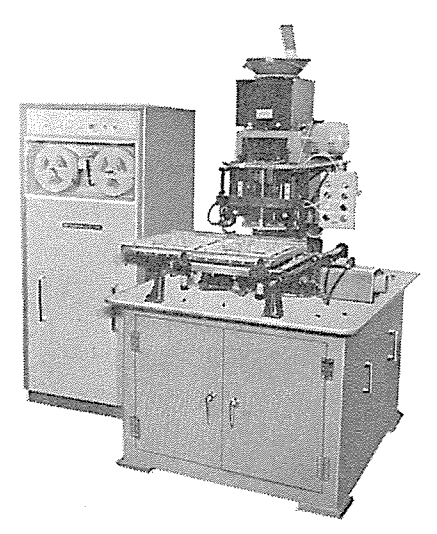


図 2.5 ピッ端子そう入機 Pin insert machine.

純繰返し作業が存在する場合が意外に多い。 とのような F--マ を抽出し、前後工程の結びつきに留意し、自動化すれば十分な省力効果が得られる。本機は J-y を変圧機 J-y 内に セットし、J-y に設けた走行 J-y に鉄心の端を J-y し、 鉄心を J-y 内へ引込む作業と押付け作業を繰返す鉄心積みの部分自動組立機である。 F--マのもつ持ち味を十分生かした専用機で、開発中の マシン である。

また中種中量生産用に開発した自動組立機の一例として、図 2.5 に NC 付きの ブリット 基板用 ピッ端子そう入機を紹介する。本機は、配線中継用のピッ端子をブリット 基板に自動そう入する単能機である

が、F-Jルを NC の指令で XY 2 軸駆動させ、各種の プリント 基板を同時 2 枚処理、平均 20 余本/枚を平均 1 sec の サイクルタイム で か動させる はん用性を持つ マシン である。 プリント 基板の ピッチ が 2.5 mm に着目し、 NC の最小位置決め単位も 2.5 mm に取り、 高価な NC 装置を避け、 ポテンショメータ を用いた簡易形の NC を開発して、 経済性を高める努力をしている。

一般に労働装備率の低い組立 ライン に、 いきなり高価な専用機を 持込んでも、機種によって異なるが、月産 1~2万台以下の量産規 模の場合は、 投資効果も期待薄である。 そこで はん用性の高い、 数機種取扱える マシン の要求になるが、Basic な部分の交換と、 ロボット に近い フレキシブル な機能をもつ マシン が必要となり、 テーマ 品 の 特色性をうまく生かした例を除き、現状の省力投資限界計算手法で は、経済的にかなりの問題がある。

2.3 自動組立の内容

自動組立の構成は、次の各要素からなりたっている。

- (1) 組立作業の自動化 (Automatic assembling)
- (2) 部品供給動作の自動化 (Automatic feeding)
- (3) 撤送動作の自動化 (Automatic transferring)

この要素がそろって、自動組立が完成する。このうち1要素が欠けると半自動組立になる⁽²⁾。その他、この要素を制御する装置や、検査選別機能も必要になる。したがって自動組立機は、機能要素別に組立作業ステーション・部品供給装置・撤送装置・制御装置・検査選別装置から構成されることになる。

組立作業の基本的動作自身は、さし込む・はめ込む・圧入する・かしめる・ねじ込む・圧着する・接着するなど、単純で、むしろ、それらの動作に至る部品・接着剤・□-材の送り込み動作や、品物やハンドリング装置の幾何学的形状の空間的制約や、供給部品の仮固定などの前後動作・周囲条件・関連構造に難易度が左右される。

たとえば、穴に軸を"さし込む"組立動作の場合、軸の チャック 位置の誤差に、ベース になる穴位置の誤差 (ズレ) が加わり、 位置修正の機能を組立 ステーション に設けないと、 軸は穴に インサート しない。 この修正機能を現物的に合わせる単純な機構で与えるか、自己修正機能をもつ高級な制御にするかは、テーマの条件次第で決まる。前者では、 設定誤差範囲外の部品が現われると、 マシンダウン を起こす。

部品の標準化が進んでいる キジ・ボルト・リベット を使うねじ込み, かしめ作業は、実績のある専用の キジ 締め機・リベッタ が市販されているからそれらの使用が望ましい。 一般の組立 ステーション として、 XYZφθ の自由度を選択組合せる ビルドブロック 式の ユニット(三協精器) の開発があり (3), 標準化に努めた好例といえる。

部品供給動作は、ストッカ にためた部品を必要の都度、送り出し、整列させ、要求する姿勢に変え、必要部品数を分割分離し、組立 ステーション に送り込む、一連の動作である。 部品供給装置には、ボールホッパ・パレルフイダ・エレベーチングフイダ・パーツマガジン など(1)があり、 取扱う部品形状・材質・重量・精度によって適切な フイダを 選択することが重要な課題となる。 選択の基準は、Know How 的な色彩が濃く、 部品のもつ形状・重心・剛性・摩擦係数・慣性・バリなどの物理的諸性質を十分は握することが特に重要で、選択の巧拙が大きくマシンの作動率に影響する。 部品供給装置の付属品として、フレキシブルシュータ・スパイラルストレージ (F. Jos Lamb 社)・エスケーパ (Dixon 社)(4)など比較的単純な部品形状(おもに円筒形状)のものに使える機器の開発がなされている。

搬送作業は、ベースになる品物または、 品物を積載した組立 パレッ

トを組立 ステーション から次の ステーション へ移動させる作業で、比較的 単純な動作であること、個々の部品形状に左右されることが少なく、 種々の形式の搬送装置が開発されている。

基本的形式は、連続搬送と間欠搬送に分けられ、一般に自動組立 の場合、特殊な用途を除き、後者の間欠搬送が採用される。

形状的に分類して、円形撤送と直線撤送があり、前者は、回転軸を中心に回転するメカニズムのため、比較的構造が簡単で、価格も一般に廉価、停止精度も高い。 間欠機構は、ゼネバ・バレルカム・ラチェットを採用し、ノックピン 位置決めが一般的である。 後者は、有限長の直線撤送運動でリターン 機構を有し、比較的構造が複雑で一般に高価だが、床面使用率が良く、中間部の連結で装置の減増設が容易なメリットがある。直線撤送装置には、固定サイクル式とフリーサイクル式がある。後者には、フリーフローチングフィクスチャシステム(Cargile 社)などがあり、若干のマシンダウンの吸収と手作業介入容易などのメリットがある。撤送装置は、マシンのベース部分に相当し、軽荷重作業とはいえ、設計にあたり、剛性が高く、停止位置精度の高いものを選択基準に置くことが特に肝要である。

このように自動組立構成機器の開発も活発になり、はん用化・標準化の努力がなされているが、組立 テーマ の多様性と、テーマ 品に マ ッチュク させる部分の残有が、これらの機器を十分活用にいたらしめず、また価格面でもまだかなりの抵抗がある。

部品が順次動き、順次組立てられる自動組立の動作プロセスは、個個に広義のハンドリングといえる。よって自動組立は、図 2.6 のような、ハンドリングのフローチャートで書き表わすことができ、自動組立機は、ハンドリング装置が有機的連鎖結合をした一連のマシンである。図 2.6 は 2.2 節で紹介した小形電磁接触器自動組立 ラインの フローチャートを示す。 結論からいえば、安定した組立自動化を実施するには、個々のハンドリング(動作)の安定性を高め、かつバランスさせることと、安定性の目どの少ないハンドリングは、実施に先だち確認したり、部品変更の要請をしたり、また、前後工程を考案して、工程の流れに支障のないように除外し、手作業を併用するなどの適切な処置を取れば、自動化の効率を下げずに安定した組立自動化が得られることになる。

2.4 実際的な問題

実際に組立自動化を実施すると種々の問題に遭遇する。具体的な 例を上げると次のような問題がある。

- (1) 柔軟な部品の取扱いかた
- (2) 部品の個有誤差と集積誤差の処理方法
- (3) 確率的に混在する加工 モレ、加工 ミス 部品の取捨の方法
- (4) バリヤキズのある部品の発見と処置
- (5) 抜き取り検査による品質管理の是非
- (6) ストッカの部品ストック量の選択基準
- (7) 自動組立作業の非定常時の チェック の方法と処理のしかた
- (8) 選択かん(嵌)合や微妙な調整方法
- (9) 自動試験検査の方法と判定基準
- (10) 外観検査の導入と方法
- (11) 複雑な ハンドリング の アイデア の抽出
- (12) 非定常状態下の マシン の剛性と複元性
- (13) 信頼性・耐久性向上への努力
- (14) モデルチェンジ に対処する構成
- (15) 段取り換え時間の短縮する構造
- (16) 事故,故障の予測技術の導入

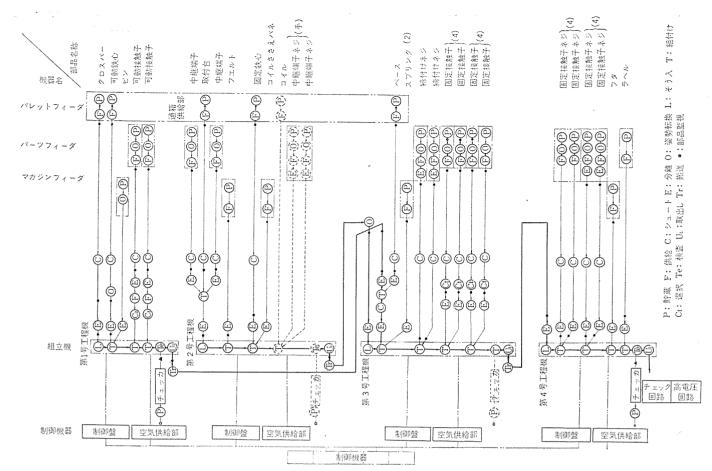


図 2.6 自動組立の ハンドリング の フローチャート Flow chart o

不良部品混入による停止時間 段取換え時間 3.7% 根核不調による停止時間 絶か動時間 63.3% (77.3%) 9.9% 8.7% ロス時間 14.4% 「12.1%」 (11.6) (14.4%) 「14.4%

図 2.7 1ヵ月間のか動状況 Operation for a month.

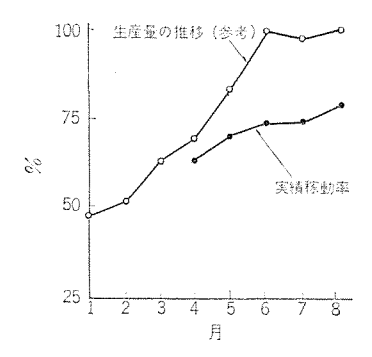


図 2.8 月 別 Rate of operation for each month.

- (17) 生産 バランス と ラインレイアウト の最適化
- (18) 省力効果と経済性の バランス

などがある。

実績・経験不足からくる問題や技術革新の要する問題、あるいは、 宿命的な問題が混在一体となり、解決をせまられている。 Flow chart of handling for automatic assembly.

しかし関係者を落胆させ、かつ組立自動化の推進のブレーキとなる 問題に、マシンの状態が悪ければ、簡単に手作業に戻ってしまう、 対マシンの態度、姿勢がある。従来の手作業をマシンに置き換えた自 動組立が悪化し、デメリットが増加すれば、考え方により、 当然の処 置ともいえるが、やはりマシンの改善に努め、 メリットを保持する態 皮・姿勢が、本筋であろう。

次に、よくトラブルを起こす問題にマシンダウンがある。マシン 自身、開発要素が高く、 やむを得ない面もあるが、マシン 以外の原因で ダウン する場合も意外に多い。

マシンダウンまたは休止の原因は、ほぼ次の事項があげられる。

- (1) マシンの メインテナンス 不良および信頼性
- (2) 部品の加工精度および加工不良
- (3) 部品の ストック 切れおよび段取り換え

これらが組立自動機の最終目標性能の か動率,特に月産の見掛け上の か動率を低下させる。図 2.7 は,2.2 節で紹介した小形電磁接触器の自動組立 570 の1 カ月間の 750 の状態を示す時間比の表である。また図 2.8 は,同 570 の月別か動率を示す。なお,か動率は,

で表わし、平均とあるのは、専用機4台の平均を意味する。

自動組立は,現状では,自動化規模が大きくなるに従って,計画 当初から十分能力に余裕のある マシン を設計することが肝要で, 特 に月産換算の場合は注意を要する。

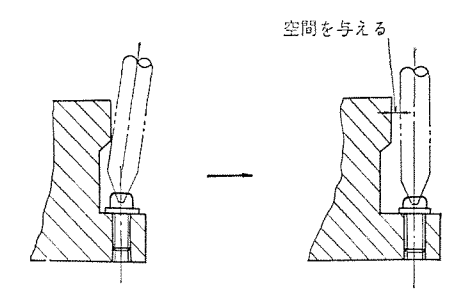


図 3.1 部品変更の改善例 Example of reformed parts for automatic assembly.

3. 今後の指向

これまで述べてきた技術的問題を含めて、問題を整理するとほぼ 次の3点に集約できる。

- (1) 組立自動化の分野,周辺,管理技術の未確立
- (2) 組立作業自身が集約工程で多様性に富む
- (3) 組立自動化を前提とした製品設計がなされていない

分野技術の後進性からくる実績不足は否定できず、今後の努力と時間経過で解決するとしても、この分野は、Know How 的な面が多く、一般的表現がかなりむずかしく、テーマごとの具体的な問題の蓄積が肝要である。

周辺技術は、計測・制御・認識・システム 技術などの適用と応用を 進める必要があるが、 特に低廉な各種 セッサ の開発が急務である。 管理技術は、 部品を含めた品質管理技術を組立自動化に マッチ させ る改革が必要で、あわせて部品の検査選別の自動化が重要になる。

組立作業の多様性は、宿命的とはいえ、 グループ テクノロジ 的な手法 を応用して、標準化に努めるなど解決策があるといえる。

最後の製品設計については、現行の製品設計の合理化の指向が、 材料節減と作業時間短縮による原価低減にあり、手作業に最適な設 計となっている結果である。組立自動化の実施に踏み切るならばこ の指向を変更して、自動組立に適する製品設計の実行で組立自動化 の効果も飛躍的に向上すると思う。その裏付けとして、実際に組立 自動化を実施した場合、最後まで問題として尾を引く直接・間接の原因の多くは製品部品にあり、若干の部品設計の変更で、問題が改善されている事例が多いことであり、設計当初から指向を変更すればさらに改善されるといえる。 図 3.1 に、比較的簡単でかつ効果の大きい部品設計変更の改善事例の一つをあげた。

組立自動化は、歴史的な後進性と宿命的な多様性をかかえた新技術分野であり、まだまだいろいろの問題が山積しており、個々に解決していかねばならないが、全般的にいえることは、共通部分は、ハードウェアの開発と標準化の促進を、一方 テーマ ごとに マッチング の必要な部分は、ソフトウェアの開発と設計技術的手法の確立にある。

4. む す び

組立自動化は、時代の要求であるのは事実である。しかし、その導火線の役割を演じたのは、ボールフイダすなわち、シントロンの発明ではなかろうか。 最近の電子機器の驚異的な発展の根源 がトランジスタの発明である例を引用するまでもなく、技術史をひもとけば似た例が多い。組立作業も従来、名工・熟練工の独壇場だったものが、作業の分業化と部品の品質管理技術に裏付けられ、作業の集約化に成功し、熟練作業は不要となり、コンベヤラインの導入を契機に単純作業の集合で飛躍的に生産性を向上させた。

現在の組立自動化への要求は、さらに歩を進めて、作業者から単純作業を追放することで、その裏付技術の開発が今日の課題である。その課題は製品設計指向の変更によるいっそうの作業の単純化とマシンの持つ特性の利用技術手法ではないだろうか。

次代の要求は、無人化といえる。その1ステップとしても今日の組立自動化技術は重要な足掛かりの一つといえよう。

参考文献

- (1) J. Benes: Machine Design, 41, No. 7, 193 (1969)
- (2) 牧野:機械の研究, 20, No. 8, 1 (昭 43)
- (3) 加藤:省力と自動化, 2, No. 2, 37 (昭 46)
- (4) 深沢:省力と自動化, 1, No. 9, 58 (昭 45)



特許と新案

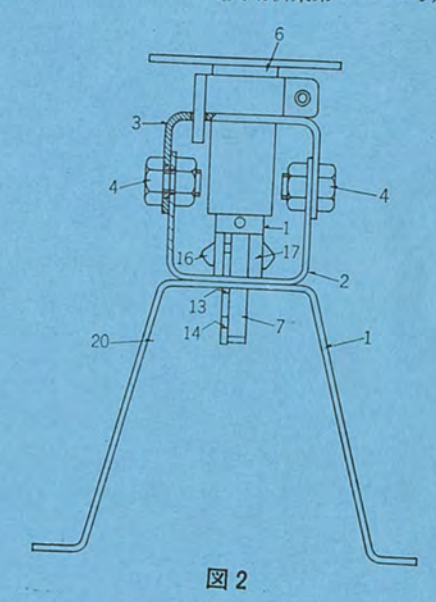
扇風機の俯仰角調節装置

考案者 林 昭 彦

この考案は、手動操作によりふ(俯)仰角を調節し所望のふ仰角度 に保持する扇風機のふ仰角調節装置に関し、特に大形の工業用等の 扇風機でも使用できるように考慮したものである。

図はこの考案の一実施例を示し、(1)は板状体を折り曲げて形成され、この両折り曲げ脚で植立するスタンド、(3)はこのスタンドの上面前部に突設した支持脚に前端部を枢着し、頭部に電動機(5)を支承するネックピース、(7)はこのネックピースの後端部に上端部を枢着し、自由下端部を上記スタンド(1)上面の透かし穴(9)にかんそう(展挿)し、かつ前側縁部に上記透かし穴(9)の口縁部(10)と選択的に係合する複数個の切り欠き部(11)(12)(13)(14)を設けたふ仰角調節板、(16)は上記スタンド(1)の透かし穴(9)後部に突設した支持片(17)に

その後方より進退自在にら(螺)合し、先端部(18)を上記調節板(7)の後側縁部(19)と衝合させ、上記切り欠き部(11)(12)(13)(14)の上記口縁部(10)に対する係合を保持するハンドルである。今、扇風機すなわち電動機(5)をふ角の状態にするには、まずハンドル(16)を後退回動し、その先端部(18)を調節板(7)の後側縁部(19)より離間する。次にスタンド(1)内にこの後方開口部(20)より手を入れ、摘まみ(15)を握り調節板(7)をピン(8)を中心に後方へ傾動し、その切り欠き部(13)と口縁部(10)との係合をはずす。それから、ネックピース(3)を枢軸(4)を中心に前方に回動し、所望のふ角になったら切り欠き部(11)(12)(13)(14)を口縁部(10)に係合させる。そしてこのとき後退ていたハンドル(16)を前進回動させ、先端部(18)を後側縁部(19)と衝合させる。



ステレオ電蓄のキャビネット

考案者 川 名 昇・川 崎 文 雄

この考案は、前面を開放させた収納部(ことに プレーヤ、増幅器等を納める)を中央に、 その左右に スピーカーボックス を配した形式の ステレオ 電蕃の キャビネット に関するものである。

従来, この種の キ+ヒネット においては, 収納部をふさぐとびらを, その開放時には, スピーカー からの放音にさしつかえないよう, スピーカーボックスの側方へ引き込んだり, あるいは折りたたんだりしてい

た。

この考案は、上記とびらの開放時にとびらをスピーカーボックスの前面に移動させても、放音にさしつかえないようくふうしたものである。

図に示す実施例について説明すると、この考案では、とびら(4)は図1に示す閉合状態から図2に示す開放状態に移動させうるよ

う、キャビネット(1)に散けた上下の案内レール(図示してない)で案内 支持されている。そしてこのとびら(4)は、複数枚の横長のとびら 素子(5)を、とびらの閉合状態ではこれらがあたかも一枚の板のように一連に整列するよう、方形わく(6)に回動可能に並設して形成され、かつ、前述のように収納部を開放するために、スピーカーボックスの前までとびらを移動させるときには、この移動に伴って各とびら素子(5)がそれぞれ回動し、図2に示すようにに各とびら素子の間に空間が生じ、スピーカーボックスの前にとびらがあっても放音にさしつかえないよう構成されている。

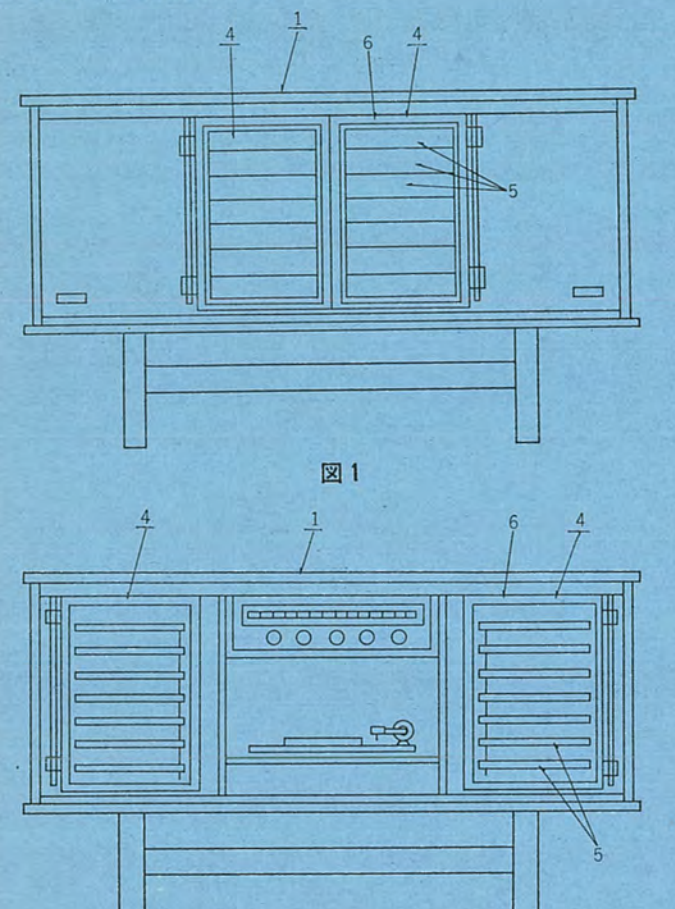
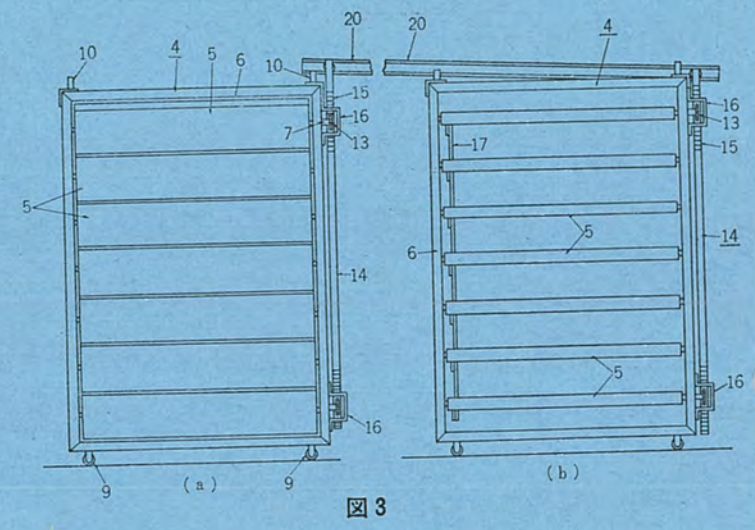


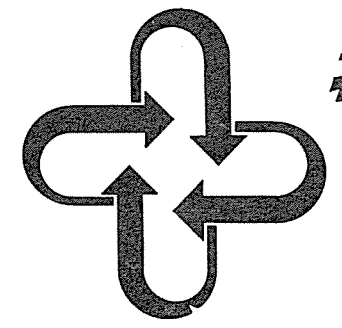
図 2

図3は上記のようにとびら(4)の移動に伴い各とびら素子(5)を回動させるための構成の概略を示しており、(14)は方形わく(6)に設けた支持片(16)、(16)に上下動可能に案内された転向かん(杆)、(15)はこの転向かんに形成したラック部、(13)は上記とびら素子(5)の回動じっ(7)の突出端に固着され上記ラック部(15)とかみ合うじニオン、(20)は上記転向かん(16)がしゅう(摺)動自在に係合する転向案内レールで、キャビネット(図3には示してない)に上下方向に傾斜させ、かつ上記とびら(4)の移動方向に沿って延在させて設けられている。

したがって、とびら(4)を移動させるときにはそれに伴い転向かん(14)が転向案内 $\nu-\nu$ (20)によって上下に動かされ、その $\neg\neg$ 0 部 (15)にかみ合った ピニオン(13)を介して、図 3 の 10 あるいは 10 イのようにとびら素子(5)が回動させられる。 なお、図 3 中(17) は各とびら素子(5)をいっせいに回動させるための連動かん、(9)、(10)は上記案内 $\nu-\nu$ (図示してない)に係合してとびらの移動を案内する 10 10 である。

以上のようにこの考案によれば、とびらをスピーカーボックスの前に 移動させても放音のさまたげになることが少なく、しかもとびらの 移動方向(横方向)と異なる方向(縦方向)にとびら素子が回動す るから、意匠的にもざん新な感じを使用者へ与えることができる。 (実用新案第911610号)(伊藤記)





UDC 621, 396, 96, 001

三次元レーダについて(その1) ──原理と実施例の全般的解説──

玉 真 哲 雄*

1. まえがき

1.1 はじめに

三次元レーダについて全般的に解説する。

三次元レーダは、日・米・英・仏・オランダ・ソビエトの6か国で種々の方式が開発されているが、決定版的唯一の方式はまだ現われず、各種方式が分立している。本文では諸方式を分類・解説し、各方式の実施例を紹介し、総合的所見を述べる。こういう見地からの報告は何回か行なわれているが [文献 1.2.1~1.2.12]、本文はそれらをすべて参照し、新しい方式の紹介をも加えて集大成的網羅性を意図したものである。

三次元 レーダ は軍用の関係から公表されない点もあるが、紹介はすべて公開の資料によった。公開でも一般に入手困難のもの(特定会社のカタログ等)は原則として引照しなかった。末尾に全文献 179 件の内 88 件を引照してある。 今後[] 内は文献番号を示す。

1.2 三次元レーダとは

従来の ν –岁 は二次元的であって, 空間内の目標物の三つの座標中, 2個(ふつう距離 R と方位角 θ)を測定するものが大多数であった。三次元 ν –岁とは,これに加えて第三の次元(ふつう仰角 ϕ

 $3 \, D_{\nu}$ の利点は、空中にある不特定多数の目標物を監視する用途を考えれば自明である。航空機・ \pm サイル・人工衛星等飛ぶものが相手ならど こにでも用途がありうるが、 現実の用途を分類すれば表 1.1 のようになろう。

しかしレーダに第三の次元を付加するのは案外の難事で、戦後の比較的新しい技術に属する。「Vビーム」

表 1.1 3 D レーダの用途別分類

	用	途		分	類		使用	者
		Lile			定	用	空	車
鉦		一地	£	用——移	勯	用	陸・空	鄆
241-	/11-	用一一艦	戱	用			海	珥
		一機	上	用			空	W
民	[8]	用——地	上		定	用	航空局力	ኔ ど

という一方式だけは前大戦中に存在したが、その後顧みられず、3Dレーダがあらためて開発に着手されたのは1957年前後からである。対空監視用として利点が大きいので、まず米・英・仏で軍用として種々の方式の開発が着手され、近年ソビエト・日本・オランダでも実用の域に達するか、あるいはそれに近づいている。しかし決定版的な方式の確立には各国とも達していないようで、実用面での活躍はいま一つの感がある。

実用面の尺度の一つは民間用航空交通管制(ATC)用への応用であって、二、三の試みはなされたが採用に至っていない。これには 測高精度上の問題もあり 11 章で触れるが、将来民間 ATC 用に実用可能の高精度高信頼性の $3\,\mathrm{D}_{\nu-g}$ が登場すれば、航空安全上・実生活上への寄与も大きいものであると考えられ、今後注目されるところである。

1.3 技術的分類

 $3D_{U-g}$ を技術的に分類するには、電波 -6 の空間的形状に着目するのが便利である。

1.3.1 通常レーダ

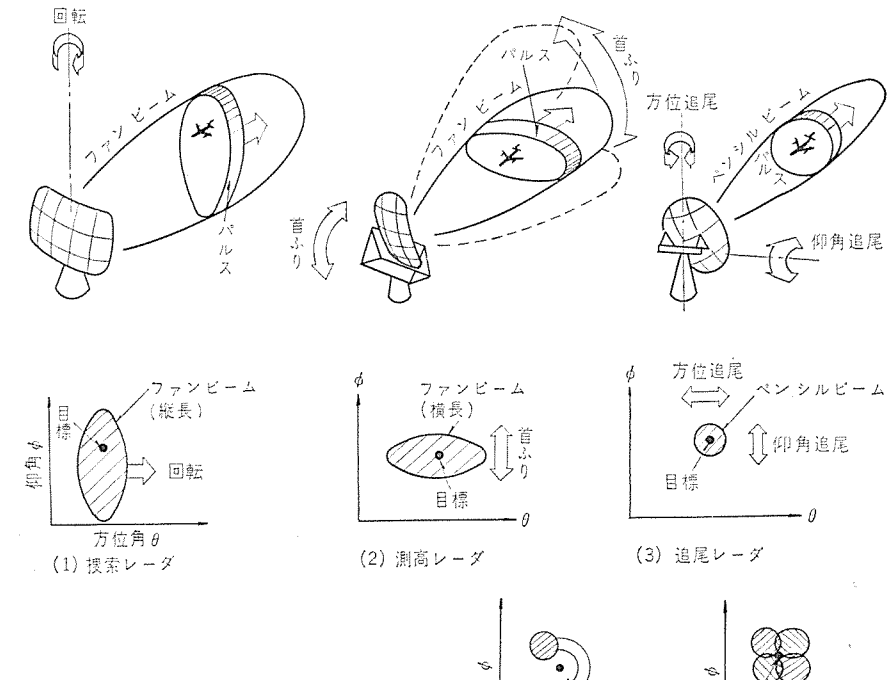
図 1.1 通常 レーダの図式的表現

一般に アンテナが、電波 ビーム をしぼる能力は開口寸法に比例する、 つまり開口の大きい アンテナ からは狭い ビーム が放射される。 この結

Sequencial

lobing または

Conical scanning



Simultaneous

lobing または

Monopulse

(3b)

技術 醒話 라라라라라라라라라라라라라라라라라라라라라라라라라

表 1.2 3 Dレーダの分類と実施例

[]内社参考文献番号

仰角方向			単ピーム 走査			多ピーム 走 蓝			(多ピーム) 無 走 査		
1	1		V E - A	No. 15 46	電子	йÿ	機械的	電電	F 119	Defocus	受信位相差
立方向				機被的	周波数	位 相	DE 175 119	周波数	位相	Dorothic	
単せて、一・・・・・・・・・・・・・・・・・・・・・・・・・・・・・・・・・・・・		收.	来、初期のもの [2,1~2,3] CPS-6B [2,5] 米 Sperry: MPS-21 [1,1,1,1,6,1,2,10] TPS-34 [1,1,1,1,6,1,2,10,2,4,2,6~2,8] ソビエト Kingsway [1,1,7,8,3,1,3,3,3,8,3,6]	米、初期のもの [3.1, 3.2] 仏 SNE 氏か: Bruxelles 空港レーダ [3.3] 仏 TH: 艦載用 [1.1.2, 3.4, 3.5] TH, D. 1940 [1.1.6] TRS 2200 [3.6] VOLEX [1.1.3, 1.1.6, 3.7]	# Hughes: [4.1.1~4.1.4, 4.1.5] SPS-39 [1.1.1, 1.1.2, 1.1.7, 1.2.10, 4.1.7, 4.1.8, 4.1.16] SPS-42 [1.1.1] SPS-52 [1.1.1, 1.1.7, 4.1.12, 4.1.13, 4.1.17] MPS-23 [1.1.1, 1.1.6, 1.2.3, 4.1.4~4.1.6] LW-3 D [1.1.1, 4.1.9 ~4.1.11] # Gilfillan: [4.2.1] TPS-32 [1.1.6, 1.2.10, 4.2.8, 6.2.10] SPS-48 [1.1.1, 1.1.2, 1.1.7, 1.2.10, 4.2.2, 4.2.3, 4.2.9, 4.2.10] # Signaal: [4.3.1~4.3.12]	[9.1] 仏 T-CSF Antares Matado 名称不明 米 AWAC ソ Knight	s [1.1.6, 9.5] or [1.1.6, 9.6] I [1.1.6] CS [9.2~9.4] esbridge 1.3.4, 8.3.5,			* GE: FPS-7 [1.1.1, 1.1.5, 1.1.6, 1.2.3] SPS-34 [1.1.1] * WH: [6.2.2] MPS-20]1.2.10] TPS-27 [1.1.1, 1.1.6, 1.2.3, 1.2.10, 6.2.1~6.2.3] FPS-27 [1.1.1] TPS-48 [1.1.6, 1.2.10, 6.2.7] TPS-43 [1.1.6, 1.2.10, 6.2.4~6.2.6, 6.2.8~6.2.17] 英RRE, AEI: [6.3.1, 6.3.2, 6.3.4~6.3.9, 82 [1.1.6] 4502 [1.1.6] 40 [1.1.3, 1.1.6, 6.3.3] 仏CSF: AC 12 [1.1.3] DRBI 23 [1.1.4, 1.1.7, 6.4.2~6.4.5] 仏TH: TH, D, 1955 [1.1.3, 1.1.4, 6.4.1, 6.4.6] ARGOS/ PALMIER [1.1.3, 1.1.4, 1.1.6] B, 東芝: [6.5.1, 6.5.2]	
	IL	波数				6.3.71					
	子	1½		1		₩H:	1				
	Á9	相				SPG-59 (Typhon) [1,1.7, 1.2,10 8,2.1~8.2.3]					
多ピーム走査	世子的	位相			# Hughes: [1.1.1, 1.1.2, 1.1.7, 1.2.10, 8.1.1~8.1.8] SPS-32 SPS-33						
多世	- A #	走查									* Maxson : AHSR-1 [1.2.2, 1.2. 1.2.10, 1.3 7.1.1~7.1.

果、おおむね縦長開口のアンテナからはおおむね横長断面のビームが放射され、横長のアンテナからは縦長のビームが出る。これらをファンビームということがある。 小さいさら(皿)状のアンテナからは太い円形断面のビームが出る。これをペンシルビームということがある。

これを考慮して,通常 ν – ϕ の ν – δ 形状を図式的に表現すると図 1.1 のようになる。 同図(1) はふつうの捜索 ν – ϕ , (2) は首ふり 式測高 ν – ϕ (nodding height-finder), (3) は追尾 ν – ϕ である。 追尾 ν – ϕ は正確には同図(3 a) または(3 b) となるが, 本題ではないので説明は省略する。

従来のレーダで不特定多数の目標の三次元座標を求めるには、 捜索レーダで距離 R、 方位角 θ を求めてのち測高レーダまたは追尾レータをその方向へ向け、第三の次元を求めるのであった。しかしてれでは処理できる目標数と処理の速さが制限され、近年ますます多数・高速となる空中の航空機等を監視するには限界があった。 $3\,D_{U}$ 一ダの必要性はことにある。

1.3.2 3Dレーダ

三次元情報を、一度に出すためのビーム形状はどのようなものか。 まず一方向にビームを分布させる方法として、つぎの3種が考えられる。

- (1) 単一 ビーム を放射し、 所要区間に時間的に走査する……単 ビーム 走査
- (2) 多ビームを発生し、分担区間を時間的に走査する……多ビ ーム 走査
- (3) 多ビームで所要区間を埋め、走査しない……多ビーム無走査 これが方位方向、仰角方向の両方に関してありうるから、理論上 9種のビーム配置がある。このほか従来のレーダの組み合わせと見ら れるが、一度で三次元情報の出せる「Vビーム方式」があるので、こ れを加えて10種となる。図1.2にこれを図式的に示す。Vビーム方 式以外はおおむね左上ほど性能は限定されるが簡単、右下ほど複雑 だが高性能 と考えてよい。Vビーム方式は中間程度であろう。

方位方向	V≤-L	単ピーム	多ピーム 走査	多ピーム 無走査
単ピーム	W.	$= \sqrt{1000}$	\$\\\ \$\\\ \$\\\	<u>=</u>
ラピーム 走査			(a) (a) (a) (a) (a) (a) (a) (a) (a)	& & & & & & & & & & & & & & & & & & &
多比一点 生走空			ර්ථය්ථ රථය්ථ රථය්ථ	388 388 388

図 1.2 3 Dレーダの図式的表現

1.4 ビーム走査法

E-L の走査法には各種 あり、 専門の文献に詳しいが 本 文で は $[1.3.1 \sim 1.3.6]$ だけをあげておく。ここでは簡単に三つに分類する。

(1) 機械的走査……少しでも機械的運動を伴うもの

1.5 分類表

図1.2 に ビーム 走査法等の分類を加え、知られている実施例を記入すると表 1.2 が得られる。表中の2 重線は図 1.2 の1 重線に対応している。表中には、存在は知られるが方式等詳細不明のもの(多くは開発途上)がわずかあり、これらを合わせて6 か国(日・米・英・仏・おっぴ・ツ連)、十余方式、約 15 社、約 40 機種を含んでいる。表中の番号は文献番号を示す。

なお、いわゆる phased $\operatorname{array} \nu$ - g で、静止 $\operatorname{r} \nu$ - $\operatorname{r} \tau$ - r から じ- d を 2 方向に電子走査可能なものを $\operatorname{3D} \nu$ - g にすべて含める か 否 かには問題があり、含めるならば、米国の衛星探知用 $\operatorname{AN/FPS-85}$ や ABM 関連で開発中の各種 $\operatorname{u-g}$ のような大規模なものも含める ことになるが、これらは別の種類と考え、本文では phased $\operatorname{array} \nu$ - g は艦載用に限ることとする。なお $\operatorname{8}$ 章 および 9. 2. 3 項参照。

さて表 1.2 の各方式・機種につき, 2章~9章で個別に解説し, 10章で三次元式指示機を簡単に設明し, 11章で総合的所見を記す。

2. Vビーム方式

2.1 原理

斜交する 2 枚の ファン ビーム を一体として空間を走査し、第一の ビームと第二のビームとで目標が捕捉される間のアンテナ回転角から目標の仰角を検出するものである。 距離と方位とは通常 レーダ と同様に検出する。斜交 ビーム の方向は理論上いろいろありうるが、 通常は鉛直面内に長手の断面をもつ鉛直 ビーム (vertical beam) と、これに傾斜角 (slant angle) αで斜交する傾斜 ビーム (slant beam) とを用いる。さらに計算上の便利および精度等の面から、傾斜角 αを 45°に選ぶのが普通で、この結果図 2.1 のような概念となる。

測高は具体的には仰角 ϕ の測定を通して行なわれる。 図 2.2 で距離 R, 仰角 ϕ に目標があり、両 \mathcal{E} 一ムで捕捉する間の \mathcal{F} フラナ 回転角 (turn angle) を θ とすると、高度 H は

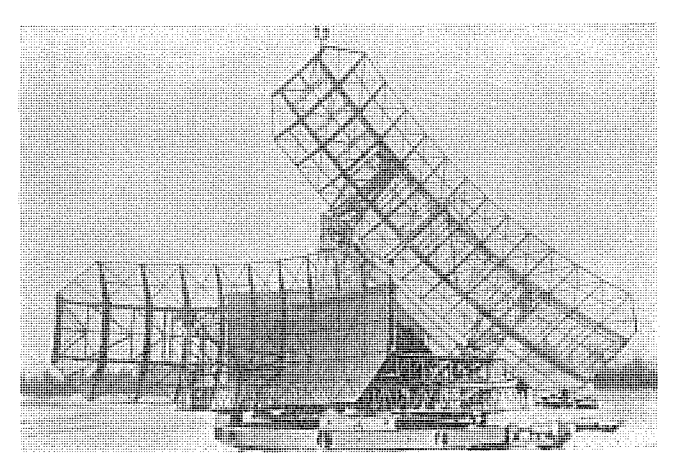
$$H = R \sin \phi = \frac{R \sin \theta}{\sqrt{\tan^2 \alpha + \sin^2 \theta}} \dots (2.1)$$

と現わされる。現実には α=45° に選ぶのが普通で,

$$H = \frac{R\sin\theta}{\sqrt{1 + \sin^2\theta}} \qquad (2.2)$$

となる。 coH は地球を平面とした場合で,実際には至近距離以外は地球曲率の補正を要し(図 c . c

技術解說 승수산산산산산산산산산산산산산산산산산산산산산산



文献 [2.1] から (Ridenour : Radar system engineering) 図 2.1 Vビーム 方式の アンテナ

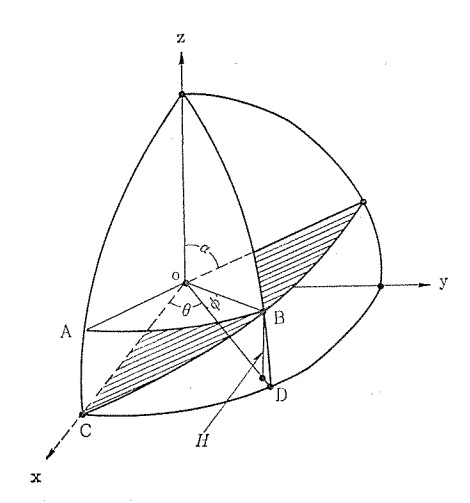


図 2.2 Vヒ-ム方式の測高原理

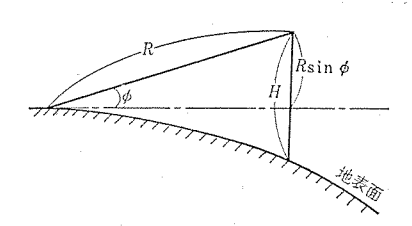
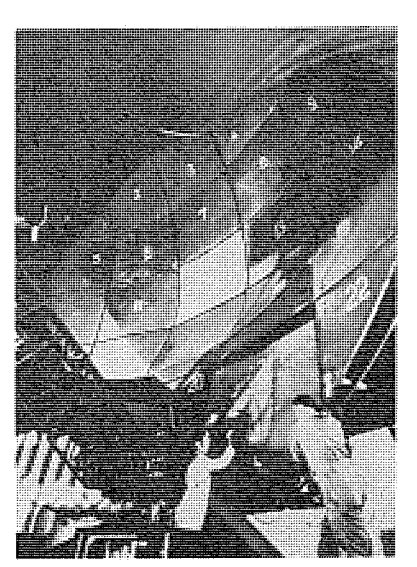


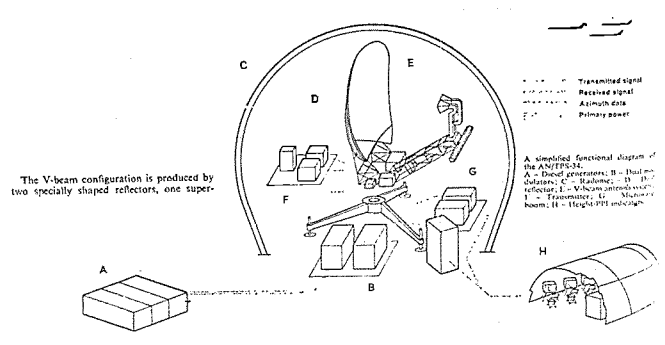
図 2.3 地球曲率の補正

題なので,詳述しない)。 Vビ-4 方式の測高方法と測高誤差の要因 等については,[2.6] に詳しい説明があり それによると AN/TPS-34 では

$$\sin \phi = \frac{\sin \theta}{\sqrt{1 + \sin^2 \theta}} \qquad (2.3)$$



文献 [2.8] から (INTERAVIA 1964年8月号) 図 2.4 AN/TPS-34の アンテナ



文献 [2.8] から (INTERAVIA 1964年8月号) 図 2.5 AN/TPS-34 の構成

ナログサーボで計数指示機をまわして目標の高度を数字表示しているようである。測高精度は、nodding(首ふり)式測高レーダと同程度であることが示されている。

2.2 実 例

三次元レーダとしては例外的に古く、戦時中にすでに開発され、戦後すぐの文献にも記載がある(図 2. 1) [2.1~2.3]。形名としてはAN/CPS-6Bというものが知られている[1.1.1, 2.5] その後しばらく願みられなかったが、近年ふたたび米国 Sperry 社で開発され、AN/MPS-21 [1.1.1, 1.2.3, 1.2.10] および AN/TPS-34 [1.1.1, 1.1.10, 2.4, 2.6~2.8] の2機種が知られている(図 2.4, 図 2.5)。どちらも米国海兵隊向けで、従来2面必要であったアンテナ反射鏡を1面に重畳し、偏波面によって鉛直ビームと斜交ビームとを分離し、1面のアンテナから2枚のビームを放射するようにした点で初期のものと異なっている。また前記のようなアナログ式測高計算機で所要目標の高度を数字表示する等の機構も、初期のものにはなかったものと思われる。

性能の定量的記述は見出されないが、MPS-21 (以下米軍呼称の AN/ は原則として省略) は 1954 年の契約で [1.2.10], 1960 年 11 月 に納入され、アンテナ回転数 6 rpm である [1.2.3]。TPS-34 は 1963 年から生産され [1.2.10], あるいは 1963 年春から海兵隊に装備され, 台数は 20 台で 3,400 万 ドル (=122 億円) [2.7], または 21 台で他に 英空軍へ4台[2.8]ともいわれる。 TPS-34 は可撤性を重視し、全 系重量 25,000 ポンド, 分解時の重量は 1 単位 400 ポンド 以内で, 8 時 間で組立・動作できる。ただし組立所要人員は不明である。アンテナ鏡 面は ハネカムサンドウィッチ 中に金属 ストリップを埋め込んだもので,22個 に分解される [2.6, 2.8]。 送信機は 2 系列あって アンテナ 回転部上に 乗っている。軟質2重壁レード-ム中に収められ、内圧0.75 psi で75 ノット (=39 m/s) の風 (瞬間最大 90 ノット=46 m/s) に支障なく動作 したとの記述がある [2.6, 2.8]。その他の性能諸元等はほとんど公 表がないが、前記の CPS-6B の測高精度が ±1,000 ft との記述があ り[2.5], 各形式ともこの程度のものと思われる。ただし測高精度は 遠距離へ行くほど仰角換算精度が高くなるので「何 NM で ± 何 ft」 と距離を指定しなければ実質的精度とは言えないが、上記の場合ど んな距離での精度かは記述がない。

2.3 その他

なお ソビェト の艦載 ν -ダ に一見 Vビーム 方式かと推測される も の があることについては、8.3 節参照。

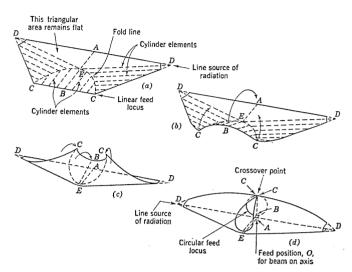
3. 単ビーム機械的走査方式

3.1 原理

単一のペンシルビームを鉛直方向に走査するに際し、ホーンの機械的運動を伴う方式である。反射鏡は通常、鉛直方向に動くことはない。静止した反射鏡に対し電波放射点を鉛直面内に直線状に移動させればビームが上下に走査される。 実際に放射器を直線状に急速に運動させるのは困難なので、放射器の回転運動につれて電波放射点が直線運動をする方式がいくつか考案されている。3Dレーダとして実用されているのは、いわゆる「ロビンソンスキャナ(Robinson Scanner)」だけと思われるので、これを説明する。

ロビンソンスキャナは円筒の一端を円孤に保ったまま他端を切りひらいて直線状に広げたような特殊な放射器を用いる。あるいは台形板の長辺を直線状に保ったまま短辺を丸めて円孤状にしたと言ってもよい(図3.1)。円孤状の部分を回転ホーンで照射すれば、電波放射点は長辺上を直線的・連続的に移動する[3.1]。図3.1のような金属曲面を外側・内側の2枚作り、その間に電波を伝ば(播)させるのである。実際の構造は[3.2] に詳しい説明がある。

フランス は との方式を $3D_{\nu-g}$ に応用するのに熱心で、軍用に早くから開発しており、 その一端を ブリュッセル 空港の航空交通管制 $\nu-g$ に応用した早い時期の報告がある。また フランス の軍艦には相当数が積載されている。 製造会社は CFTH (Compagnie Français Thomson-Houston, 現在は合併して Thomson-CSF), SNE (Société



文献 [3.1] から (Ridenour : Radar system engineering) 図 3.1 ロビンソン スキャナ の構造

Nouvelle d'Electronique), RI (Radio-Industrie) の3社で [3.3], このうち SNE, RI が主力である [1.1.2]。ただし最近は合併のためか, Thomson-CSF 社製と記されている [1.1.6]。

3.2 実 例

3.2.1 Bruxelles 空港レーダ [3.3] (図 3.2, 3.3)

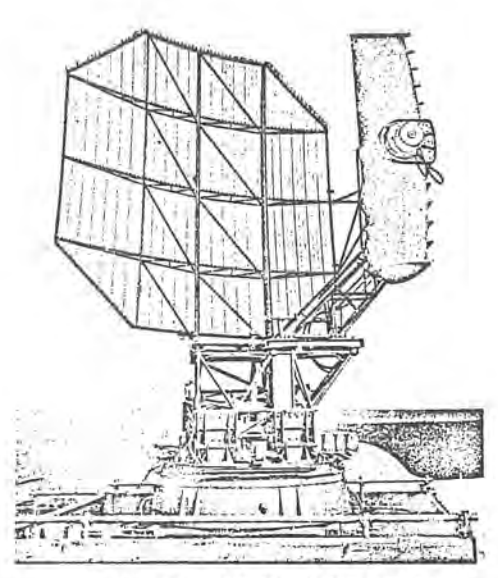
フランス 軍向け開発として始まったものをベルギー 航空局向けに製作し、ブリュッセル Denderhouten 空港に設置したものである。S バンドで、探知距離 60 および 100 NM、距離精度 0.4 NM (60 NM に対し),仰角覆域 0° — 15° ,探知高度 40,000 ft、測高精度は 50 NM で 1,000 ft である。Tンテナ 寸法、送信電力、送信 パルス 幅、パルス くり返し周波数等は記述がない。 ビーム 幅は $2^\circ \times 2^\circ$ の ペンシル ビームで、回転 ホーンの 300° の回転が仰角 15° の走査に対応し、Tンテナ はこの範囲を毎分700 回走査しつつ 3 rpm で回転する。3 D 情報は斜めの PPI 画面の上に鉛直な RHI 画面をのせた形の指示機に表示し、RHI 上の航空機のいわゆる "blip" (輝点) は縦長になるので電子計算機で中点を求めて中点だけを光らせる等の工夫がある。高度の数字表示も試みられたようである。18 マイル離れたブリュッセル 万国博会場へ画像を伝送する装置、画像を 50 デレビ スキャンに変換する装置(いわゆる 50 スキャンコンパータ)等を含んでいる。

以上の性能は特に高いものではなく、特にこの短距離で3rpmの低速回転はまだるっこいものと思われる(2°のビームの700 スキャン毎分で所定空間をおおうにはこの程度が必要となる)。しかし早い時期(1958年7月)にこれだけ完成した報告となっていた点注目に値する。これ以前に軍用の開発がなされていたとすれば、米国Hughes 社(4.2節参照)よりむしろ早かったのではあるまいか。

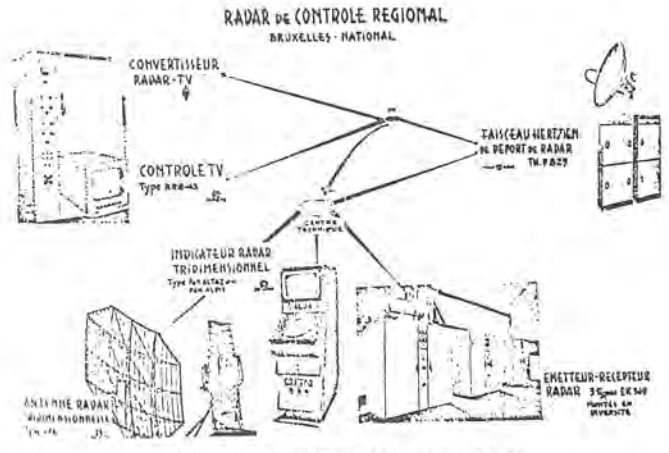
3. 2. 2 VOLEX [1. 1. 3, 1. 1. 6, 3. 7]

VOLEX という同類の $3\,D_{\,\nu-\,\!\!\!/\,\!\!\!/}$ が知られており, $[1.1.3,\,3.7]$ による諸元はつぎのとおりである(両文献に多少の差がある)。

技術解說 华华华华华华华华华华华华华华华华中华中华中华



文献 [3.3] から (INTERAVIA 1958年7月号) 図 3.2 Bruxelles 空港 レーダの アンテナ



文献 [3.3] から (INTERAVIA 1958年7月号) 図 3.3 Bruxelles 空港レーダの構成

Sパンド、探知距離 150 NM、パルス 幅 4 μs、送信せん(失)頭電力 1 MW、 平均電力 2 kW の送信機を 2 台持ち、アンテナは 2 枚あって VT 150 というもの 3.4 m×3.8 m、VT 359 というもの 6.8 m×3.4 m、仰角覆域 22°、鉛直走査回数毎分 720 回、アンテナ回転数 3 rpm、PRFは 500 Hz である。前項と同類の機材だが アンテナ・送受信機を 2 組おいたものである。 1963 年以来 10 台が納入されているという。

3. 2. 3 TH. D. 1940

[1.1.6] に簡単な記載のある CFTH 社の機種で、これも同類のものと思われる。輸送機・ヘリコブタ および トラック で運搬可能の低廉形 3 Dレーダであるという。

3. 2. 4 TRS 2200 [3. 6]

前項と同類と思われる可搬用簡易形 3 Dレーダである。性能諸元が紹介されているので後出の表 11.2 に掲載する。

3.2.5 仏海軍

仏海軍はこの方式の3Dレーダを相当数採用している。ジェーン海軍 年艦性かの写真によると、下記の艦に積載していることがわかる [1.1.2, 3.4, 3.5]。なお[3.5]の記述によると周波数はSバンドである。

Clemenceau R 98 2 台 航空母艦 Foch R 99...... 2台 航空母艦 Jeanne d'Arc R 97 ヘリコブタ 母艦 Colbert C 611 对空巡洋艦 de Grasse C 610 対空巡洋艦 Ile d'Oleron A 610 ミサイル 実験艦 航空機管制駆逐艦 (Duperre 級5隻) Duperrè A 633 Forbin D 635 Jaurèguiberry D 637 La Bourdonnais D 634* Tartu D 636*

4. 単ビーム周波数走査方式

4.1 原理

単一のペンシルビームを鉛直方向に電子走査するに際し、送受信周波数を変化させて実現する方式である。一定間隔で配列した複数個のアンテナ素子の間に位相差が存在すると、空間中でこの位相差が2nπ(nは整数または0)となる方向に指向性が発生することはよく知られている。これは位相差アレイアンテナ (phased array antenna)の基本で、上記の位相差を変えれば当然指向方向も変化するので電子走査に便利であり、周波数走査方式もその一変形である。

図 4. 1で $_{7\nu 7}$ 寸素子間隔をd, 隣り合う素子間にあたえる位相 差を ψ とすると、 $_{7\nu 1}$ 正面 (broadside) から測って ϕ なる角の方向での合成位相は、伝ば波長を λ と書くと

$$\psi = \frac{2\pi}{\lambda} d \sin \phi - \psi$$
(4.1)

である。左辺を 2ηπ とおき、η を正負の整数または 0 とすると

$$\psi = \frac{2\pi}{\lambda} d \sin \phi - 2n\pi \qquad (4.2)$$

なる方向ゆに指向性が発生する。位相差ゆを変えれば指向方向ゆも変わる。これが電子走査の根本で、そのうち移相器等を用いて直接ゆを変えるものは位相走査方式であり、送受信周波数を変えて管内波長の変化により等価的に移相量を変化させるものが周波数走査方式である。なお、式(4.2)からわかるように、d/Aの値が大きくなると式(4.2)を満たすゆの値が何とおりも存在し、多方向に指向性が存在するようになる。これは位相差アレイの ambiguity (多意性)

^{*) [3,4]}から写真で褶載が確認できるのは半印の2斐だけであるが、艦線(Destroyers, aircraft direction type) からも全艦に宿載しているものと考えられる。

と呼ばれる重要な現象で、多意性をなくすため $d/\lambda=1/2$ 程度に選ぶのが普通である。とうすれば $-90^\circ<\phi<90^\circ$ の間、多意性はない。通常の ν - ϕ ならば $d/\lambda=1$ 程度も可である。とうすると $0^\circ<\phi<90^\circ$ の間、多意性がない。

さて図 4.2で隣り合う素子間の導波管長をl, 管内波長を λ_g とすると,

$$\psi = \frac{2\pi}{\lambda_g} l, \quad \lambda_g = \frac{\lambda}{\sqrt{1 - (\lambda/\lambda_c)^2}} \cdots (4.3)$$

λ。は導波管のしゃ 断周波数

これを式 (4.2) に代入すると、つぎのような周波数走査の基本式 が得られる [1.3.5]。

$$\frac{d}{\lambda}\sin\phi = \frac{l}{\lambda_g} + n \qquad (4.4)$$

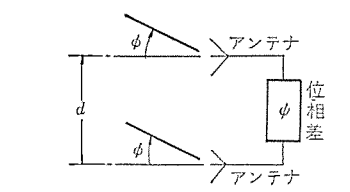


図 4.1 位相差 アレイ アンテナ の基本

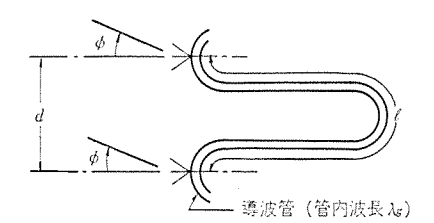
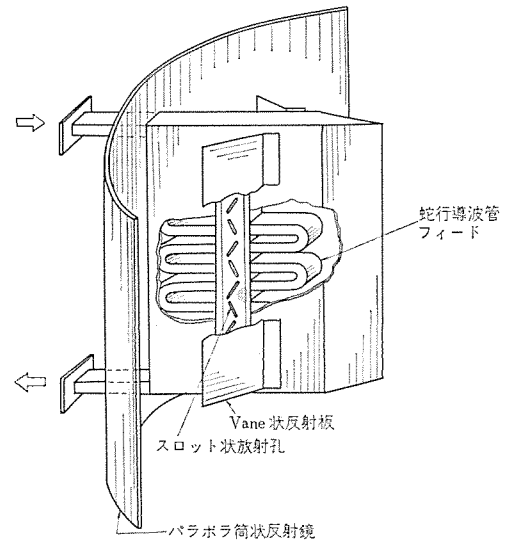


図 4.2 周波数走査の基本



文献 [4.1.1] 参照 (米園特許 3039097 号) 図 4.3 Hughes 社方式 周波数走査 アンテナ の構造

あるいは $\phi=0$ (すなわち Fレイ正面に指向性が向くとき) の周波数を λ_0 , その管内波長を λ_{00} と書けば

$$\frac{d}{\lambda}\sin\phi = l\left(\frac{1}{\lambda_g} - \frac{1}{\lambda_{g0}}\right) \qquad (4.5)$$

$$\lambda_{g0} = \frac{\lambda_0}{\sqrt{1 - (\lambda_0/\lambda_0)^2}}$$

4. 2 米国 Hughes 社方式

米国 Hughes Aircraft Co. でかなり早くからこの方式が開発され、FRESCAN または FRESCANAR の名で知られ、 実施例も多い。

4.2.1 構成

空中線の構成につき、基本特許と想像される米国特許があるので、 それにもとづいて説明する[4.1.1]。とれは図4.3のようにだ(蛇) 行導波管フィードの直線部の中央側面(長方形導波管の短辺上)にス ロット状の放射孔を設け、それを Vane 状反射板で偏向させた ホーン 状放射器を一次放射器とし、これを パラボラ 筒状反射鏡に吹きつけて アレイ軸に垂直な面内に ビーム を成形するものである。 アレイ軸面内の ビーム 成形は アレイ 指向性自体で行なう。 この結果、 1本の ペンシルビ -ム が得られ、そのアレイ 軸面内(仰角方向)の指向方向が周波数に よって変化する。方位方向にはアンテナを機械的に回転させて走査を 行なう。前掲図4.2のようなだ行フィードの端部に放射器を設ける 通常の方法に比べ、フィードの中央部を反射鏡の焦線に置くことがで きるので、フィードの突出を短くできて反射鏡への隠ぺい(遊)が軽減 される効果、あるいはフィードの折曲げ回数が少なくてすむ効果があ ると想像される。このほか スロットの アレイ 軸に対する傾きによって 放射の強度と指向性を変えること(フィードの入力端から遠ざかるに つれ導波管中の垂力が減小するのを、これで一部補償できる)、 スロ ットインピーダンスの リアクタンス 分を消すため スロット 長を ス/2 とする (導 波管短辺長より長くする) ためのくふう, スロット 前後の導波管外壁 に線状のくぼみを設けて指向性を改善するくふう, Vane の形状改 善のくふうなどが上記特許にしるされていて興味深い。くふうの多 くは理論上よりも実験的に得られたような印象で、背後にはかなり の開発努力があったものと想像される。[4.1.7]の例では、 だ行っ ィードの アレイ素子数は 4D となっている。

以上は水平方向の ビーム 成形を パラボラ 筒状反射鏡で行なう 方法であったが,近年水平方向の成形もアレイで行ない,この結果アンテナが 平板状の平面 アレイ となったものもある。これは水平方向の多数の 導波管を縦に並べてその上に多くの スロット 状放射孔を開け,一端から前記同様のだ行フィードで水平導波管に給電するものと考えられる。

アンテナ 以外の構成の記述は少ないが、 文献 [4.1.7] の例から判明 する範囲を紹介すると、 周波数の走査は 18 個の原発振周波数を組み合わせて 200 周波以上の波を発生して行なう。すなわち周波数は 連続変化ではなく段階的切換であり、 この結果 ビーム 走査も連続的 にではなく、段階状に "step-scan" するわけである。これらの波を TWT および終段 251ストロンで増幅して送信電力とするが、一般に

3 次元情報の表示は、PPI スコープ と RHI スコープ とを並用して行なっている [4.1.5~4.1.7] (図 4.5)。

4.2.2 実 例

艦載用として米海軍向けに開発されたのが起こりで、1957 年から使用されている [4.1.7]。試作機と思われる アンテナ の写真が 1958 年 当時の広告にあり [4.1.2, 4.1.3],後者では前述の Vane らしいものが よく見える。その後米陸軍でも採用し、ミサイル 組織 "Missile Monitor" 用探知 ν –ダとして 1958 年 10 月 14 日に一般に発表したことが広告から知られる [4.1.4]。艦載用としては 1960 年 12 月から装備されはじめたという [1.2.10]。

(1) 米陸軍

"Missile Monitor" 用探知 レーダは MPS-23 の名を持ち [1.1.1, 1.2.3], 目標を発見して Nike, Hawk 等の ミサイル 隊へこれを割り当てる ("assign") ことが用途である。 4 台の トレーラ から成り, 1 台に アンテナ が畳んで格納され, 展開時はこの トレーラ を開設し アンテナを直立させて軟質 レードームでおおう。 他の 1 台は レーダ 機材と指示機 2 台 (PPI+RHI) を収め,残る 2 台は電源車である。 アンテナ 重量15t の記述があるが重すぎて信じがたい [以上おもに 4.1.5, 一部4.1.6 による]。 アンテナ 重量は 1.5t の誤まりではあるまいか(後述の海軍用参照)。

(2) 米海軍(図4.6)

艦載三次元 ν - \vec{s} として最も広く用いられているようである。 形名として SPS-39, 39 A, 39 B, 42, 52 等が知られ [1.1.1, 1.1.2, 1.2.10], Terrier, Talos, Tartar 等の \vec{s} サイル 組織と関連して目標補提および追尾に用いられる [1.1.2, 4.1.7]。 \vec{r} \vec{v} \vec{s} $\vec{s$

米国海軍では SPS-39 系統,SPS-52 系統とも ミサイル 巡洋艦・ミサイル 駆逐艦を中心に相当数の艦に積載されていることが写真等 からわかる (ジェーン 海軍年鑑ほか)。 ただし近年は 4.3 節で後述の ITT-Gilfillan 社製 SPS-48 に取って換えられる方向にある [1.2.10]。

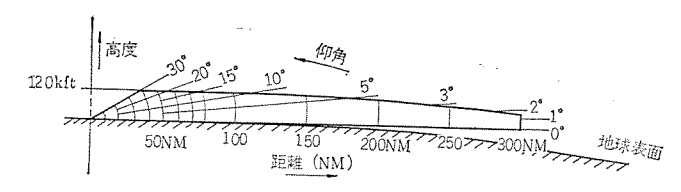
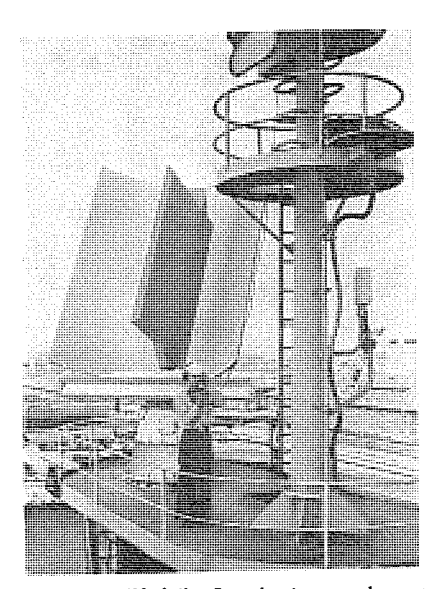


図 4.4 レーダの鉛直面内覆域の概念(比例尺)



文献 [4.1.5] から (Aviation Week, October 20, 1958) 図 4.5 PPI スコープと RHI スコープとによる三次元表示



文献 [4.1.8] から (Skolnik: Introduction to radar system) 図 4.6 Hughes 社方式 周波数走査 アンテナ

라라라라라라라라라라라라라라라라라라라라라라라라라라라라라라라라라라라라

(3) 他国の艦

米国からの供給で、SPS-39 系統、SPS-52 系統とも数か国の他国艦に積載されており、 $\ddot{\upsilon}_{z=-0}$ 海軍年鑑の艦影写真から判明するところでは、フランス・イタリア・オランダ・オーストラリヤ・日本(自衛艦あまつかぜ DD 163)がある。あまつかぜのzサイルは Tartar である($\ddot{\upsilon}_{z=-0}$ 海軍年鑑)。また SPS-52 は 1969 年約 700 万ドル(=25.2 億円)でスペイン海軍へ5台、フランス海軍へ4台、日本海上自衛隊へ1台供給されることとなった由である。ただしフランスと日本は、SPA-72と呼ばれるアンテナ部分だけの換装である [4.1.13]。

(4) その他

平板アンテナを用いて陸上移動用に構成した LW-3 D(Lightweight 3-D) と呼ばれるものがあり、6.3 節で後述するように米空軍の移動用三次元レーダ TPS-43 計画で Westinghouse 社と争って破れたものである。 可撤性を重視し、総重量 $5,800\,l$ b(= $2.63\,t$) で、ヘリコプタで輸送可能の 2台の 9ェルタから成り、 うち 1台は横 9 ft(= $2.74\,m$) ×縦 12 ft(= $3.66\,m$) の平板 アンテナが中央の水平線に向かって二つに折り畳んだ形で収められている。 6人の人員が 30分で全系を開設できる。アンテナはレードームを持たず、 $75\,m$ ph または $120\,m$ h(= $53\,m$ s) の風速時に運用でき、 $120\,m$ ph または $190\,m$ h(= $53\,m$ s) でも破損しない [以上 $1.1, 4.1.9 \sim 4.1.11$]。採用先の有無はつまびらかではない。

また、同じく平板 アンテナ による Hughes 社の $3\,D_{\,U\!-\!9}$ が 2 イス の 防空組織 "Florida" に採用されており [4.1.14, 4.1.15],前記 LW- $3\,D$ とも少しちがうようであるが同類のものと思われる。

4.3 米国 ITT-Gilfillan 社方式

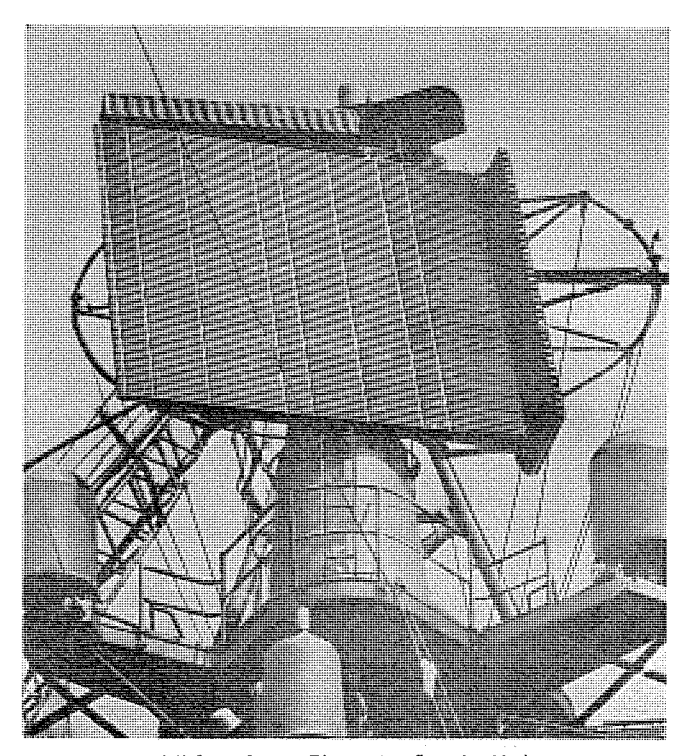
前節 Hughes 社方式のうち、アンテナが平面アレイとなったものと 基本的には同一原理と考えられるが、単ビームでなく多ビームを放射できるという。周波数の異なるパルスを矢つぎばやに発射して、 実質上同時に多ビームが存在する効果を得るものである。 その場合単ビーム方式との差はパルス変調方式の差となり、 送受信機まわりは変わってくるがアンテナの構成は特に異ならないから、 便宜上単ビーム方式の分類で記述する。 Hughes 社方式の後継として米海軍が近年力を入れており、ほかに米海兵隊向けの地上用もある。

4.3.1 実 例

地上用の TPS-32 という機種が艦載用より早く 1959 年に着手されたといわれるが [1.2.10], 実用になったのは艦載用の SPS-48 という機種が先のようである。1961 年 1 月の広告に艦載用の記載があるが [4.2.1] 写真でなく絵であって, のちの SPS-48 とも異なり, おそらく初期の想像図であろう。

(1) 米海軍

艦載用 SPS-48 は 1963 年に ミサイル フリゲート 艦 Preble DLG 15 に 積載試験したとの記事があり、1962 年 DLG 建艦計画および在来 ミサイル 艦の換装用として当時 13 台発注されていた。用途は Terrier ミサイル のための捜索と航空機の要撃管制で、NTDS (Naval Tactical



文献 [4.2.3] から (Electronics, June 27, 1966) 図 4.7 ITT-Gilfillan 社方式 AN/SPS-48 の周波数定査 アシテナ

Data System) と結合して用いられる。一次電源は 400 Hz である [4.2.2, 1.1.1]。[4.2.3] には rv の非常に鮮明な写真があり,(図 4.7),むかって右側に縦に 38 曲りの だ行 v であるり、 (背面 共でその 2 倍),それから横に 76 条の導波管が走っていることがわかる。周囲と比較して v で v を v

[1.2.10] によると SPS-48 は Terrier または Tartar の ミサイル 割当ておよび対空管制用であり、データ はミサイル 用追尾 レーダ へ送るほか データリンクを介して航空機へも伝送できる。Hughes 社の SPS-39,52 の後継者であって、多 ビーム を送出できるため データ 率が高い反面、より高価で重量も大きい。ミサイル 用追尾 レーダ へ引き渡すための捜索 レーダとしてだけでなく、航空機の要撃管制にも用いる旨しるされていることは注目される。 SPS-39,52 系統にはこの記述は見られない。

本機の積載艦は [1.2.10] に 3 隻しるされているが (Fox DLG 33, Wainwright DLG 28, Worden DLG 18), ジェーン 海軍年鑑 1969~70 年版の艦影写真からはつぎの艦に積載が認められる [4.2.4]。 同



文献 [4.2.7] から (SIGNAL, February, 1971) 図 4,8 ITT-Gifillan 社方式 AN/TPS-32

級でも必ずしも同機種を積載とは限らず、写真で確認した範囲だけをしるすので、他にもあると思われる。 これらのうち 1968~69 年版では積載が認められないものがあり、装備が最近進んでいることがわかる。

原子力 ミサイル フリゲート 艦 Truxton DLGN 35 ミサイル フリゲート 艦 (Belknap 級)

Horne DLG 30

(Fox, Wainwright と同級)

ミサイルフリーゲート艦 (Leahy 級) Leahy DLG 16

(Worden と同級)

ミサイル 駆逐艦 (Mitscher 級) Mitscher DDG 35

ミサイル 駆逐艦 (Forrest Sherman 級)

Decatur DDG 31

Parsons DDG 33

また原子力航空母艦の2・3番艦 Nimitz, Eisenhower (建造中) は Enterprise の SPS-32, 33 (8.1節で後述) でなく, 本機SPS-48を積載予定という [8.1.1, 8.1.6]。

(2) 米海兵隊 (図 4.8)

米海兵隊向け地上用 TPS-32 は、前記のように SPS-48 より早く 1959 年に着手されたが、その後の進ちょく(抄) は断続的で、1966 年 6 月の記事で試作機が約1 年後に完成とあり [以上 1. 2. 10]、1967 年 10 月の記事で ITT-Gilfillan 社西海岸の工場で領収試験中 [6. 2. 14] とあるのに符合する。[6. 2. 14, 4. 2. 8] の写真つきの解説で見ると、TPS の名のとおり(T: transportable)可動形で アンテナ の ほか ヘリコプタ 輸送可能の 3 個の シェルタ からなり、アンテナ は高さ 9.7 m×幅 3.6 m(32 ft×12 ft)とかなり大きい。片側の だ行フィードから横に走る 108 条の導波管を持つ。このアンテナが鉛直軸と写真で約 15°

傾けて取り付けてあるのは注目され、あるいは 4.4節の Signaal 社方式と似たねらいがあるものか、つまびらかでない。周波数走査方式として初の全自動システムであるとされ、レーダ情報・IFF 情報 (Identification Friend or Foe, 敵味方識別装置)の双方を自動処理して、相関済みの情報 (correlated message)が出力に得られる。MTDS (Marines' Tactical data system)の主探知機材となる予定である。送信電力、PRF等はディジタルプログラマで制御され、数千個のディジタル IC を用いている。送信パルス幅は30msでこの間に9個の異なる周波数のパルスを続けて発射し、重なり合う9本のビームを実質上同時に発生する。次のパルスでは別の周波数で別の仰角へ同様のビームを発射する。これをくりかえして覆域中から平均6セットのエコーが得られるという。探知距離は300 NM、距離分解能は500 ftと言われる[4.2.8]。

4. 4 オランダ Signaal 社方式

ペンシルビームの周波数走査を基本とし、これと通常の搜索レーダを結合し、さらにペンシルビームの走査面を鉛直から故意に傾けて、2章のVビーム方式とねらいは異なるが似かよった点もある興味ある方式が、オランダSignaal 社で艦載用として開発されている。すでに完成しているようであるが、実際に積載には至っていないものと思われる。

4.4.1 原理

本方式の基本特許と想像される米国特許があるのでこれにもとづいて紹介する [4.3.1]。図 4.9 で通常の搜索用回転 アンテナ 5 を持つ第1のレーダ装置 1と、周波数走査 アンテナ 15 を持つ第2のレーダ装置 11とがあり、両アンテナ は一体となって回転する。第1のレーダ装置は通常の搜索レーダとして目標物の距離 R、方位 A_z を検出し方位比較装置 19へ送る。この装置は目標の存在する方位に第2のアンテナ 15 が向いたとき第2のレーダ装置を起動してビームを周波数走査させ、目標の距離 R、仰角 El を検出して三次元的位置を知る。ここまでは通常の搜索レーダと測高レーダの組み合わせに多少の自動性を持たせたにすぎないが、この先にいくつかの考案がある。

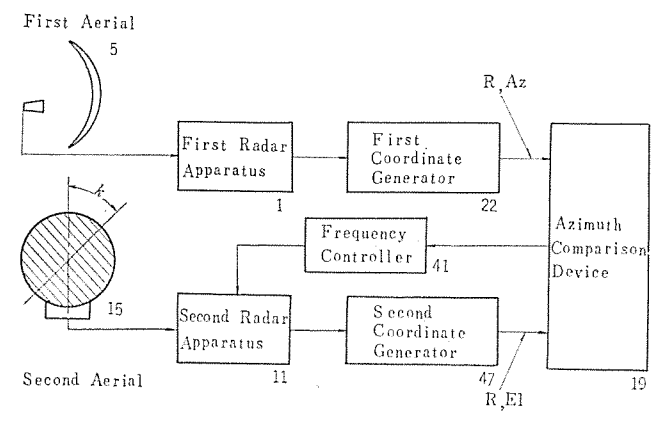
- (1) 第2の アンテナ 15 の ビーム 走査面は、回転軸から k なる 角度 だけ傾いている。
- (2) アンテナ15の回転速度とビーム走査速度とを連動させ、両者 が打ち消し合ってペンシルビームが鉛直面内を走査する。
- (3) 送信パルスを2分割し、送信周波数を変えて矢つぎばやに 2ピームを出し、ヒット数を2倍する。
- (4) 仰角既知の目標に対しては、2ビームの方向を適当に選び、 目標を「十字走査で」捕捉する。

図 4. 10 で方位角を b, 仰角を E, 前記の傾斜角を k とすると, $\tan E = \sin b/\tan k$,

k=45°とし両辺を微分すると

$$\frac{db}{dt} = \frac{1}{\cos^2 E \sqrt{1 - \tan^2 E}} \frac{dE}{dt}$$

한 우수 아무슨 아무슨 아무슨 아무슨 아무슨 아무슨 아무슨 아무슨 아무를 하는데 아무를 하는데 아무를 하는데 아무를 하는데 아무슨 아무슨 아무슨 아무슨 아무슨 아무슨 아무를 하는데 아무를 하는데



文献 [4.3.1] 参照 (米国特許3,328,797号) 図 4.9 Signaal 社方式の基本構成

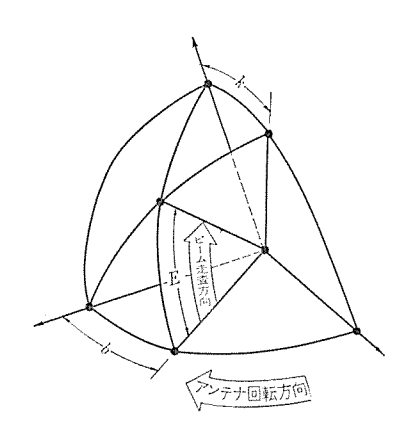


図 4.10 Signaal 社方式の測高原理

の関係が成り立つ。左辺はアンテナ回転速度である。アンテナ回転は時 計方向, ビーム 走査は下から上、 傾斜 k は図示の方向とし、 上式の 関係を保つように dE/dt (すなわち $\ell-\Delta$ の走査速度) を選べば、 ℓ - ム 走査面の傾きが アンテナ 回転を打ち消して鉛直面内で走査が行な われる。 また、図 4.11 のように送信パルスを2分割し送信周波数 のわずかに異なる二つの パルス P, Q を発射すれば、 実効的に ヒット 数は2倍となる。また仰角既知の目標に対しては図4.12のように P, Qの周波数差を パルス ごとに変じて, 結果として目標予測位置を 交点とする十字走査で目標を捕捉する。すなわちいったん仰角既知 となった目標は、 以後十字走査によって第2の レーダ 装置単独で3 次元座標を定めることができる。 なお 2 分割 パルス 動作では、本特 許に記載はないが Рパルス の エコー は受信ののちその パルス 幅だけ遅 延させて、 Qパルスの エコー と同時に生起させる必要があろう。以上 の検知・制御はディジタル電子計算機で行なっている。このほか高仰 角で実効的に ヒット 数が増大して自動検知に支障をきたすことを 防 ぐため、高仰角では 2 ビームを 1 ビームとし、あるいは十字走査の交 差を(走査面となす角は一定で)変える等のくふうがある。

これは電子計算機を用いて2系統のレーダを有機的に結合し、 目

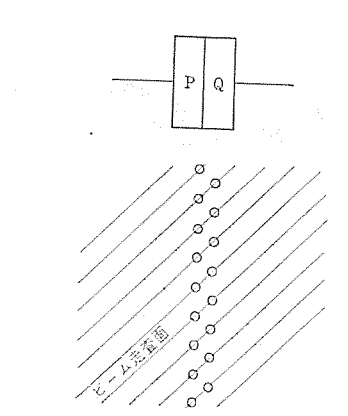


図 4.11 2分割 パルス による ヒット 数の増大

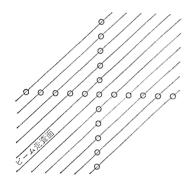


図 4.12 2分割 パルス による十字走査

標の所在に応じて走査 パターン を制御するなど、いわば判断力を持った レーダ のはしりとして非常に興味ある方式であり、 広告では「最初の ディジタル 3 D レーダ である」と言っている [4.3.5]。 しか し ビーム 走査速度か アンテナ 回転数で限定されるので、 最適な走査 パターン が可能であるが、特に多目標が密集しているような場合の動作はどうか等の点が不明である。

4.4.2 実 例

英海軍の新計画「82 形」ミサイルフリゲート 艦を紹介した 1966 年 3 月, 6 月の雑誌記事に、同艦に積載予定の イギリス・オランダ 共同開発になる 3 D レーダが簡単に言及されており、このための巨大な同簡形の レードーム を艦橋上に持つ同艦 の 予想図が掲載された [4.3.2, 4.3.3]。 ジェーン 海軍年鑑 1966~67 年版 に も模型写真とともに掲載 が ある [4.3.4]。 イギリス・オランダ 両海軍の緊密な協力下に開発されているもので、開発は オランダ で行なわれているが イギリス・フランス・イタリア 製の部分を含むという。 [4.3.2] には Signaal 社の名があがっており、その後の広告 [4.3.5] 等からこれが本方式のものであることがわかる。 1968 年ころから アンテナ の写真が見られはじめ [4.3.5, 4.3.8] (図 4.13)、それによるとほぼ円形のアンテナ 4 面を四方に向けて持ち、そのうち捜索用 パラボラ が 2 面、測高用導波管 アレイ (向かって右側で裏へ折り返して背面中央の だ行 フィード へ導いてある) 2 面から成り、おのおのを背中合わせにした形の相当大きなもので、1



文献 [4.3.8] から (INTERAVIA 1969年10月号) 図 4.13 Signaal 社方式の アンテナ

面の直径は4m程度ありそうである(図 4.13)。4面を1個のペデスタル上にのせ、スタビライザで安定化しているもようである [4.3.5, 鮮明な写真 4.3.12]。 導波管 アレイは写真では73条の導波管から成り, 寸法から見て前節の SPS-48 と同程度の5cm 前後の導波管間隔と思われ、周波数は Sパンドではないかと想像される。1969年8月になってわが国の専門新聞紙上に、何か紹介されたことからみてほぼ完成したものと思われる[4.3.6, 4.3.7]。それによると1960年(他の記事では1964年)以来イギリス・オランダ協力で開発され、英国はその後緊縮政策のため、一時放棄したが、現在再び関心を示しており、他方オランダは73年に進水するミサイルフリゲート艦に装備を考えているという。

英国側の計画放棄の報道を裏書きするのは 5° ェーン 海軍年鑑 1969 ~70 年版であって,「82 形」の記述では文章には前年版までとほぼ 同文で $3\,\mathrm{D}_{\mathrm{U}}$ ーダに言及しているが,模型・予想図とも前年版まであった大形 U ードーム がなくなり,かわって在来の駆逐艦と同様の「965 形」と見られる U ーダアンテナが見られる [4.3.11]。なお 1 番艦 Bristolは 1967 年 11 月起工された。

他方 オランダ 海軍が建造中のミサイル フリゲート 艦の想像図 (1975 年就役) には、以前の「82 形」に似た大形 レードーム が見え [4.3.10], さきの新聞記事に照らして本機を積載するものと想像される。 西独海軍で計画のミサイル フリゲート 艦(未起工か)の線画にもよく似た大形レードーム があり [4.3.9], 本機を積載するものかもしれない。

5. 多ビーム走査方式

5.1 原理

複数のペンシルビームを鉛直面内に配置し、鉛直面内の分担範囲を各ビームが走査する方式である。 方位方向は通常の機械的回転によ

る。単 ビーム 走査方式にくらべ、ビームが n 本あれば同確率で一周の 目標を検出する所要時間は、おおむね 1/n になるはずである。これ を「データ率が n 倍である」ともいう。反面、各 ビーム ごとに 1 個の 送受信 チャネル を要するので単 ビーム 方式よりも複雑となる。

実用化されているのは英国 Marconi 社方式だけと思われる。 (Marconi 社は近年後述の AEI 社と合併したが,一応別に記す。)

5.2 英国 Marconi 社方式

英国の航空母艦に積載されている機材である。

5.2.1 構成

3章の単ビーム機械的走査方式, 4.2節の単ビーム周波数走査方式(米国 Hughes 社)と並んで時期的に早く, 1958年にすでに艦上で実用化された模様なので三者中でももっとも早いのではないかと思われる。しかし原理上・性能上の公表がもっとも少ない機種に属し、詳細は不明である。

諸記事を総合すると, 形名を 984 形といい周波数は S バンド [5. 1. 7], ビーム 形成は 多数の フィードホーン と レンズ アンテナ との 組み合わせに よ るもので、レンズアンテナ は直径 14 ft(=4.25 m), 焦点距離も 14 ft で 明るさ f1 にあたる。 複数個の ヒーム を放射し, うち1 本は他と異 なる周波数で鉛直面内に不動の捜索 ヒーム,他の ヒーム (複数) は鉛直 面内に束ねられたものが各自の分担角度を同期走査して目標の仰角 を検出する。方位方向にはアンテナの回転による通常の走査を行なう。 複数個の マクネトロン を持ち,らち1個は固定の捜索 ヒーム に,他は走 査 ビーム 給電する。 ビーム 数は不明であるが 2ダース くらいとの想像 があり, 仰角覆域は 50° といわれる [5.1.2]。 事実とすればどちらも 大きな数字である。ビーム査走方法も不明であるが、ホーンの切り換え に よるものとの想像があるので [5.1.6] 表 1.2 では機械的走査方 式に分類した。 レンズ アンテナ は種々の口径と長さの アルミ 導波管を溶 接した巧妙なもので,通常のパラボラアレテナのような走査機構による 放射面の隠ぺいがないといわれる [5.1.1]。このあたりの説明 は 詳 細不明な点が多い。 送信機および受信機の前段は アンテナ 上にのせら れ,回転部分は全重 27 t で [5. 1. 1,5. 1. 2], ジャイロ で安定化されて いる [5.1.2, 5.1.3]。 写真で見る外観は前面の円板状 レンズ アンテナ の感じから一見探照灯の親玉のような大きなもので,外観からは原 理・動作を察知できない。 スリップリングが 275 点あり, うち 24 点以 外は新規な "differential slip ring" である [5.1.1, 5.1.6]。指示機 は多数あって,目標周囲に リサジュー 方式で8個の文字を表示するこ と が でき,要撃管制のための アナロク 計算機を持っている [5. 1. 1, 5.1.2]。 ディ-ジタル 計算機は最初の装備ではなかったが、 のちのもの は英海軍の ADA (Action Data Automation) システム の ディジタル 計算 機をもつ艦にも装備されている [5.1.6]。

以上の諸記事は不明確な点が多いが、記述どおりとすればかなり 進んだもので、1958年にすでに装備実用化されていた点からも注目 に値し、現実の性能が不明なのは残念である。

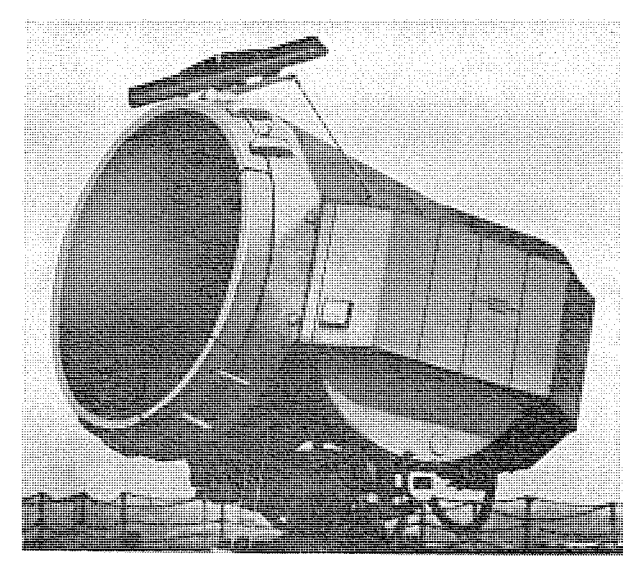


図 5.1 Marconi 社方式のアンテナ 文献 [5.1.1] から (British communications and electronics 1958年7月号)

5.2.2 実 例 (図 5.1)

英国の航空母艦 Victorious の大改装に際してはじめて積載され、1958年7月の記事では現役複帰前の試験中であった [5.1.1]。1959年7月のNATO 合同"Riptide" 演習に参加し、本機のおかげで米空母に 3 倍する要撃率をあげたという。ただし「英海軍非公式筋」によるもので、平均要撃数で 90 対 30 とも言い、要撃率で 90% 対 30% とも言い、明確でない [5.1.2, 5.1.3]。艦橋上前部に大形の探照灯状のアンテナナセルが積載され顕著な艦影である。その後航空母艦 Eagle R 05, Hermes R 12 にも積載され [1.1.2, 1.1.3, 5.1.4], 現在までこの 3 隻以外にはない。ただし Victorious は 1968年3月に廃棄され、目下は 2 隻のみである [5.1.5]。

製造元は The Marconi Co. Ltd. と英国海軍との共同開発で、計算機・指示機は Pye 社である。 着手は 1950 年ころとされ、世界最初の艦載 3 D $_{\rm U}$ $^{\rm J}$ と称しているのもゆえなしとしない [1.1.2, 5.1.2, 5.1.6]。

(以下次号)

参考文献

- 1. 三次元 レーダー般
- 1.1 総覧
- 1.1.1 US Radar Catalogue, INTERAVIA 20 (1) $59{\sim}62$ (January, 1965)
- 1.1.2 Shapes of Naval Radar, INTERAVIA 20 (12) 1,820~1,823 (December, 1965)
- 1.1.3 European Radar Catalogue, INTERAVIA 21 (8) 1,209 ∼1,212 (August, 1966)
- 1.1.4 G. Lander (Staff): The French Electronics Industry,

- INTERAVIA 22 (5) 665~669 (May, 1967)
- 1.1.5 (広告) Technical Systems Corp., Electronics Buyers' Guide 1969, 820~821
- 1.1.6 Land Based Surface Radars, Jane's Weapon Systems $1969{\sim}70~(578{\sim}582)$
- 1.1.7 Naval Radars, Jane's Weapon Systems 1970~71 (594, 595)
- 1.2 解 説
- 1. 2. 1 Günther Ulbricht : Die Technischen Grenzen des 3-D-Rundsuch-Radargerätes, E 434 Z. für Flugwissenschaften
 7 (11) 314~321
- 1. 2. 2 Karl Röhrich: Prinzipien der Dreidimensionalen Radarortung (3 D-Radar), E 349 VDE Fachberichte 21 II/15 ~II/23 (1960)
- 1.2.3 Hal Gettings (Staff): 3-D Radar Grows in Importance,
 Missiles and Rockets 6 (9) 65~66, 68~69 (February 29, 1960)
- 1.2.4 Murray Simpson (Maxson): New Techniques in Three-Dimensional Radar, IRE Trans. MIL-5 (2) 146~153 (April, 1961)
- 1.2.5 樫本,渡部,玉真(三菱電機):三次元レーダ,電子機械工業会関西文部 電子技術特別研究委員会 資料 1.5 (昭 37-11)
- 1.2.6 大賀(防衛庁):三次元レーダ(その1), 兵器と技術 (212) 74~80 (1965-1)
- 1.2.7 王真(三菱電機):三次元レーダについて,電気通信学会 航行 エレクトロニクス 研究会 資料 65.9-9 (1965-9-27)
- 1.2.8 牧野, 佐藤 (東芝):最近の三次元 レーダ, エレクトロニクス 11 (2) 139~145 (昭 41-2)
- 1.2.9 岡田(東大): 航空電子装置, 工業電子装置 シリーズ 8, 日 刊工業新聞社 (昭 41-6-25 初版), 9.3 三次元 レーダ (306 ~314)
- 1. 2. 10 W. J. Evanzia (Staff): Faster, Lighter 3-D Radars in Sight for Tactical Warfare, Electronics 39 (13) 80~88 (June 27, 1966)
- 1.2.11 大越, 久郷, 黒川, 国分, 竹内, 西岡, 吉田 (東芝): レーダ 技術 [その 2], 電子通信学会 (昭 43-4-30 初版), 12.8 三 次元レーダ (135~138)
- 1.2.12 玉真 (三菱電機): 三次元レーダについて(2), 電子通信学会 宇宙・航行 エレクトロニクス 研究会 資料 SANE 69~20 (1969-12)
- 1.3 共通技術
- 1.3.1 J. L. Spradley (Hughes) : A Volumetric Electrically Scanned Two-Dimensional Microwave Antenaa Array,

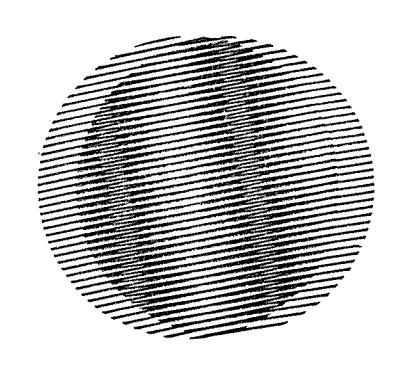
技術解説 한부수수수수수수수수수수수수수수수수수수수수수수수

- 1958 IRE Nat'l Conv. Rec. (Pt. 1) 204~212
- 1.3.2 F. E. Goodwin, H. R. Senf (Hughes): Volumetric Scanning of a Radar with Forrite Phase Shifters, Proc. IRE 47 (3) 453~454 (March, 1959)
- 1.3.3 F. E. Goodwin, T. A. Nussmeier (Hughes): New Ferrite Phase Shifter paves Way for Inertialess Scanning Radar, Space/Aeronautics 32 (6) 131~136 (December, 1959)
- F. E. Goodwin, T. A. Nussmeier (Hughes): New Forrite Phase Shifter paves Way for Inertialess Scanning Radar-II, Space/Aeronantics 33 (1) 150~155 (January, 1960)
- 1.3.5 Harold Shnitkin (Maxson): Survey of Electronically Scanned Antennas, First of Two Parts, The Microwave Journal 3 (12) 67~72 (December, 1960)
- 1.3.6 Harold Shnitkin (Maxson): Survey of Electronically Scanned Antennas, Last of Two Parts, The Microwave Journal 4 (1) 57~64 (January, 1961)
- E. C. Watters, P. R. Dax (Westinghouse): Improvements in Search Radar Systems, Westinghouse Engineer 21 (3) 77~81 (May, 1961)
- 1.3.8 P. R. Dax (Westinghouse): The Exploration of a Given Volume with a High Accuracy Radar; Considerations of Power, Data Rate, and Accuracy, 1961 IRE Int'l Conv. Rec. (Pt. 5) 250~258
- 2. VE-6
- 2.1 R. N. Ridenour (Ed.): Radar System Engineering, Mc-Graw-Hill (1947), Sections 4.1 (120~121), 6.12 (193~196), 13.19 (547~548)
- S. Silver (Ed.): Microwave Antenna Theory and Design, McGraw-Hill (1949), Section 13.3 (479, 482, 483)
- W. M. Cady et al (Ed.): Radar Scanners and Radomes, McGraw-Hill (1948), Section 3.5 (88~97)
- 2.4 (==-x) INTERAVIA 17 (4) 462 (April, 1962)
- M. I. Skolnik: Introduction to Radar Systems, McGraw-Hill (1962), Section 10.3 (459, 460)
- Joseph R. Vadus (Sperry): TPS-34, A Modern Tactical Radar, Sperry Engineering Review 16 (1) 2~9 (Spring, 1963)
- Marines to Get 3-D Radar, Electronics 36 (18) 24~25
 (May 3, 1963)
- 2.8 The Sperry AN/TPS-34, INTERAVIA 19 (8) 1,156~
 1,157 (August, 1964)
- 3. 単ビーム機械的走査
- R. N. Ridenour (Ed.) : Op. cit. Sections 9.14, 9.15 (295 ~304)

- W. M. Cady et al (Ed.) : Op. cit. Sections 2.15, 2.16 (45~61)
- V. A. Altovsky (RI): Three-Dimensional Radar for Air Traffic Control, INTERAVIA 13 (7) 744~745 (July, 1958)
- 3. 4 Jane's Fighting Ships 1968~69 (86, 88, 91, 92, 93)
- 3.5 Jane's Fighting Ships 1970~71 (109)
- Mobile 3-D Radar, Jane's Weapon Systems 1970~71
 (408, 409)
- 3.7 Volex III 3-D Radar, TH. D. 1945, Jane's Weapon Systems 1970~71 (412, 413)
- 4. 単ビーム 周波数走査
- 4.1 米 Hughes
- 4.1. I E. Strumwasser, L. C. Van Atta (Hughes): Frequency-Sensitive Rapid-Scanning Antenna, U. S. Patent 3,039,097 (June 12, 1962; 出願 August 17, 1953)
- 4.1.2 (広告) Aviation Week 68 (9) (March 3, 1958) 24~25
- 4.1.3 (広告) Aviation Week 68 (19) (May 12, 1958) 56~57
- 4.1.4 (広告) Aviation Week 70 (24) (June 15, 1959) 104
- Three-Dimensional Radar Demonstrated, Aviation Week
 (16) 34 (October 20, 1958)
- Frequency Scanning Radar, Electronic Industries 17
 68 (November, 1958)
- 4.1.7 Navy Discloses Details of Shipboard 3-D Radar, Electronic Design 9 (2) 4 (January 18, 1961)
- 4.1.8 Merrill I. Skolnik: Introduction to Radar Systems, McGraw-Hill (1962), Section 1.6 (17~18)
- 4.1.9 (広告) INTERAVIA 18 (10) 1,528 (October, 1963)
- 4. 1. 10 Lightweight 3-D Radar System, British Comm. and Elec.
 11 (1) 33 (January, 1964) 46,021
- 4.1.11 新形軽量 LW-30 レーダアンテナ、エレクトロニクス 9 (4) 425(1964 -4)
- 4.1.12 軍艦用の新形監視レーダ,電波新聞 (昭 44-7-16)
- 1.13 Naval Radar Orders for over \$7 m, Electronics Weekly
 (460) 9 (July 25, 1969)
- 4.1.14 (写真) Armed Forces Management 16 (9) 53 (June, 1970)
- 4.1.15 Florida Air Defence Command and Control System, Jane's Weapon Systems 1970~71 (173, 174)
- 4. 1. 16 SPS-39 (Frescan) Radar, Jane's Weapon Systems 1970 ~71 (440)
- 4.1.17 SPS-52 Radar, Jane's Weapon Systems 1970~71 (440)
- 4.2 米 Gilfillan
- 4.2.1 (広告) INTERAVIA 16 (1) 58 (January, 1961)

- 4. 2. 2 Air Surveillance Radar Undergoes Evaluation Tests, Aviation Week and Space Technology, 79 (9) 89 (August 26, 1963)
- 4.2.3 (表紙写真) Electronics 39 (13) (June 27, 1966)
- 4. 2. 4 Jane's Fighting Ships 1969~70 (410~411, 413, 418~419)
- 4.2.5 (広告) Announcing the world's best deal on the world's most advanced 3-D radar, Aviation Week and Space Technology 92 (18) 48 (May 4, 1970)
- 4.2.6 (表紙写真) SIGNAL 25 (6) (February, 1971)
- 4. 2. 7 Ray E. Meyers: A New Three Dimensional Surveillance Radar, SIGNAL 25 (6) 15, 16 (February, 1971)
- 4.2.8 (_____) INTERAVIA 36 (2) 160, 161 (February, 1971)
- 4.2.9 (写真) Jane's Weapon Systems 1970~71 (88)
- 4. 2. 10 SPS-48 Air Surveillance Radar, Jane's Weapon Systems $1970{\sim}71~(440)$
- 4.3 אַכלּל Signaal
- 4.3.1 Y. Jorna, C. A. van Staaden, W. Stoorvogel and E. Ferwerda (Signaal): Radar System, U. S. Patent 3,328,797 (June 27, 1967; オランダ 出額 May 21, 1964)
- 4.3.2 (写真) FLIGHT International 89 (2,973) 363 (March 3, 1966)
- 4. 3. 3 The Royal Navy's New Guided Missile Destroyer, INTERAVIA 21 (5) Int'l Defence Review Supplement 596, 601 (May. 1966)
- 4. 3. 4 Jane's Fighting Ships 1966~67 (286)
- 4.3.5 (広告) Jane's Fighting Ships 1968~69 (36 adv.)

- 4.3.6 新しい レーダ開発, 三種の測定できる, 日本工業新聞 (昭 44-8-5)
- 4.3.7 世界的な新技術, オランダが三方面に働く レーダを開発, 電波新聞 (昭 44-8-5)
- 4. 3. 8 NV Hollandse Signaalapparaten, INTERAVIA 24 (10) 1,634~1,635 (October, 1969)
- 4.3.9 Jane's Fighting Ships 1969~70 (118)
- 4. 3. 10 Jane's Fighting Ships 1969~70 (216, 219)
- 4.3.11 Jane's Fighting Ships 1969~70 (326, 327, 331)
- 4.3.12 (広告) Newsweek, October 26, 1970, PX 8, 9
- 5. 多ビーム 走査
- 5.1 英 Marconi
- 5. 1. 1 3-D Tactical Air-Position Radar in H. M. S. Victorious, British Comm. and Electronics 5 (7) 510~511 (July, 1958)
- 5. 1. 2 Victorious Shows 3-D Radar, Electronics 32 (34) 19 (August 21, 1959)
- 5. 1. 3 HMS Victorious Equipped with 3-D Aircraft Control and Warning Radar, Aviation week 71 (2) 74 (September, 21, 1959)
- 5. 1. 4 Jane's Fighting Ships 1966~67 (272, 275, 276)
- 5.1.5 Jane's Fighting Ships 1968~69 (283~286)
- 5. 1. 6 Type 984 Naval Air Surveillance Radar, Jane's Weapon Systems 1969~70 (464)
- 5. 1. 7 Jane's Fighting Ships 1970~71 (326, 328)



新製品紹介

新形航空機用アクチュエータの開発------

当社では、新形航空機の フラップ および トリム 操作用として、電動式 P0 チュェータ 6 機種を 開発中であったが、このほど MIL 規格に準拠した技術試験を順調に完了し、量産品の納入を開始した。

これらの r79 f_{2} I_{-9} の仕様は,表 1 に示すとおりであるが, いずれも航空機の操縦性能を左右するため,とくに高い信頼性と性能を要求され,当社の最新の技術を駆使して, 散計製作されている。なかでも,AA-10-1 形および AA-11-1 形は,主翼の前縁および後縁 75 g_{2} 0 / の操作用として,大きい出力 1 g_{2} 0 / を要求されたため,特殊圧力角の遊星歯車機構,高強度材料および窒化処理などを採用して,小形軽量化を図っている。

また、これらのアクチュエータは、緊急時の特殊条件のもとでも、性能を十分発揮できるよう随所に新機構を採り入れ、信頼性をいっそう向上させている。(特許 6 件出願中)

■特長

- (1) 出力 トルク に比べ、 非常に 小形軽量である。 (同一 トルク の 民需品との スペース 比約 1/10)。
- (2) アクチュエータの ストローク は、外部から簡単に調整できる。
- (3) 一方の p_0 p_1 p_2 p_3 p_4 p_5 p_6 p_6 p_7 p_6 p_7 p_6 p_7 p_7 p_7 p_8 p_8 p_8 p_8 p_8 p_9 p_9
- (4) 両方の r_0 f_{al} r_0 $f_{$
- (5) 耐水・耐油構造となっているので、あらゆる環境条件のもとでも、性能を十分発 揮できる。

■ 仕 様

形	定	AA-10-1	AA-11-1	AA-12 A	AA-13 A	AA-14	AA-16
種	類	大湖回	回転式	直線式	直線式	直線式	直線式
荷	垂	41 kg·m	128 kg·m	10 kg	20 kg	45 kg	30 kg
ストコ	ローク	118°	117°	36 mm	63 mm	72.5 mm	26 mm
作動	時間	10 s	10 s	9.0 s	4.5 s	12 s	2.0 s
電	Æ	200 V AC	200 V AC	26 V DC	26 V DC	26 V DC	26 V DC
周	波 数	400 Hz	100 Hz				
Æ	流	0.9 A	1.9 A	0.5 A	1.6 A	1.0 A	2.2 A
Æ	最	5.6 kg	8.2 kg	1.7 kg	1.9 kg	1.7 kg	1.2 kg

[名古屋製作所]

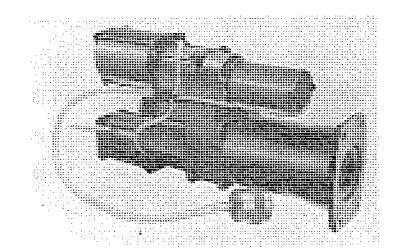


図 1 AA-11-1 形 アクチュエータ

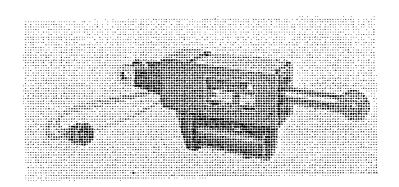


図 2 AA-14 形 アクチュエータ

いずれのポップも最新の MIL 規格に従って製作されており、航空機の遭遇するあらゆる 環環条件に耐えうることが、技術試験により確認されている。

また各機体により異なる特殊な要求条件(高度性能、プラグイン 構造、リプライミング性能など)も十分満たし、ユーザーの好評を得ている。

■ 特 長

- (1) 最新の MIL 規格 (MIL-P-5238 B) に適合している。
- (2) 電動機内部に燃料を循環させ冷却しているので、小形軽量化が促進されている。

新製品紹介

- (3) 電動機は防爆構造になっており、安全性が高い。
- (4) 軸受は特殊 グラファイタ 製の分割形を使用しており、 広範囲の温度変化に対応でき、 空運転性能も良い。
- (5) 仕様に マッチ した特殊 インペラ の採用により、高度性能が良好である。
- (6) プラグイン 構造の採用により整備性が良い (AP-27, AP-30)
- (7) リプライミングインペラ 内臓により、ポンプ 取付位置が自由に選択でき、航空機の姿勢変動により インレットマウス が一時的に液面より出ても、すぐに再自吸できる(AP-27)。
- (8) ポップの上下に吸込口を有しており、背面飛行時にも常に所要の燃料を供給することができる (AP-28)。
- (9) 非 リセット 形 サーマルプロテクタ 内臓により、過熱を防止している(AP-27、AP-29、AP-30)。



部品番号	AP-27	AP-28	AP-29	AP-30
電 圧 V AC	200	200	200	200
周波数 Ha	400	400	400	400
相数かよび結構	三相4線式	三相4線式	三相 4 線式	三相4線式
定格流量 PPH	20,000	20,000	4,000	8,000
吐出压力 psig	10 min	17 min	15 min	10 min
電流 A	. Mark	6.2 max	1.6 max	2.75 max
入 力 W	1,350 max			750 max
力 率 %	60 min			
定 格	連 続	連続	連 続	辿 続
重量kg	4.65 max	4.2 max	1.7 max	3.5 max
燃料	MIL-T-5624 Grade JP-4	MIL-T-5624 Grade JP-4	MIL-T-5624 Grade JP-4	MIL-T-5624 Grade IP-4
燃料温度 °F	-65~+135	-65~+135	−65~+135	-65~+135
周囲温度 °F	−65~+160	-65~+160	-65~+250	65~- -160
特殊構造	プラグ イン形 リプライミングインベ ラ内臓	上・下吸込形		プラグ イン形
適用規格	MIL-P-5238 B MDK-1079 ほか	MIL-P-5238 B MDK-1072 ほか	MIL-P-5238 B MDK-1073 ほか	MIL-P-5238 B MDK-1064 ほか





図 1 P/N AP-27



2 P/N AP-28

連鋳スラブ刻印装置-----

製鉄 ライレ 省力化の一環として,連続鋳造機より抽出される スララ を,一時 ストック する際の識別のため, スララ の側面に ナレハー を打刻する装置を開発し,某製鉄所に納入した。きびしい温度条件と,ひん繁でかつ衝撃を伴う作業条件を考えて,冷却には十分の考慮を払い,また構造はできるだけ単純化して,可動部はすべて空圧で駆動できるようにした。打刻機構は空気銃式 エアハレマー で,刻印の頭をたたいて打刻する方式を採用している。

■ おもな特長

(1) 印字けた数

6けた

(2) 印字体寸法

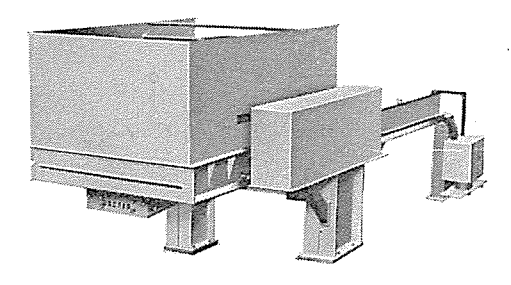
縦 20 mm×横 10 mm

(3) 印字とん(痕)深さ

1 mm 15 秒

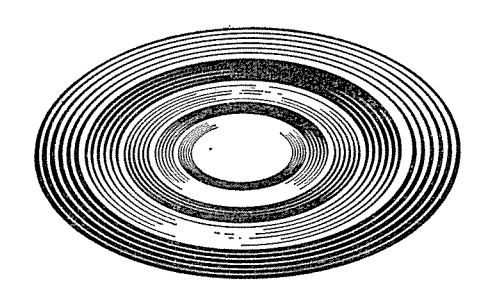
(4) 打刻作業1回に要する時間(5) 対象 スラブ 温度

800°C~1,000°C



連鋳 スラブ 刻印装置

[神戸製作所]



news flash

空気分離装置用 遠心圧縮機駆動用 14,500 kW 同期電動機完成

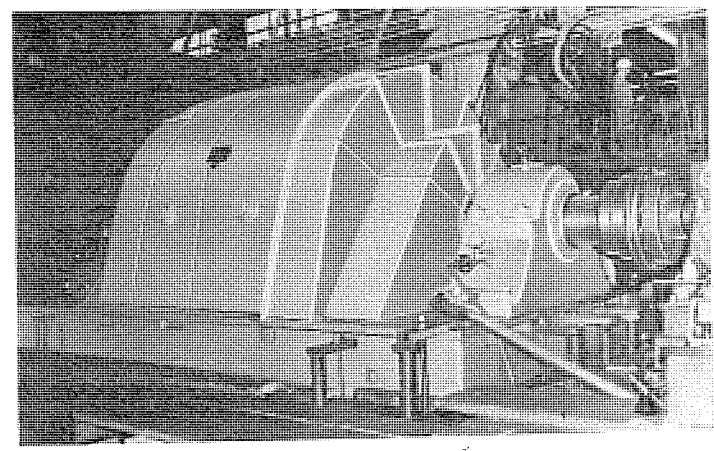
かねて神戸製鋼(株)から、新日鉄(株)君津製鉄所および堺製鉄所 向けとして、 長崎製作所にて受注製作中であった 酸素工場 空気分 離装置用 遠心圧縮機駆動用 同期電動機が完成し、 このほど現地試 運転を無事終了した。本同期電動機は最近の遠心圧縮機大形化の要 望に, こたえるもので連続定格 14,500 kW で, ソリッドポール 同期電動 機としては、画期的な高速大容量機でありわが国における記録品で ある。同期電動機の特長および仕様は下記のとおりである。

■ 特 長

- (1) 高速大容量機で負荷の GD² が大きいので、回転子には当 社独特の構造を有する ソリッドポール を採用した。
- (2) 同期電動機起動時に発生する変動 トルクを減少させるため, ポール 端面に特殊構造の エンドリング を設けた。(実用新案申請 中)
- (3) 軸系のねじり固有振動数と同期電動機加速途中の変動 トル 2が、共振するので軸系の強度計算を十分検討し、また現 地においては圧縮機と結合した状態で、共振時の軸応力の 実測を行ない、軸系の強度を再確認した。

■ 仕様

- (1) 14,500 kW 11,000 V 50 Hz 6 P 1,000 rpm 0.8 pF 全閉内冷形 空気冷却器付き (君津製鉄所)
- (2) 14,500 kW 11,000 V 60 Hz 6 P 1,200 rpm 0.8 pF 1台
- 全閉内冷形 空気冷却器付き (堺製鉄所)



新日鉄(君津製作所)納め 14,500 kW 同期電動機

[長崎製作所]

1台

線材、鋼材ラインの位置制御に好適な…… MP-133 形 熱材位置検出器

一般に線材や鋼材工場においては製品の均一化をはかるため、製造工程のある部分にル -プ(一種のたわみ)をもたせ、この ループは常に一定になるよう制御される。本装置は受 光器と増幅器からなり、被制御物体(熱材)から放射される赤外線を検知し、ループ位置に 対応した信号を出すもので ループ 制御の入力信号として利用される。 従来品にくらべ性能 が大幅にアップした。特に小リップル、ハイレスポンスになったためラインの高速制御に寄与する ものは大である。

■ 特 長

- (1) 構造が堅固で、過酷な環境条件にも耐えらるように水冷、エアパージ方式になって いる。
- (2) 出力リップルが小さい。
- (3) 応答が早い。
- (4) 直線性がよい。

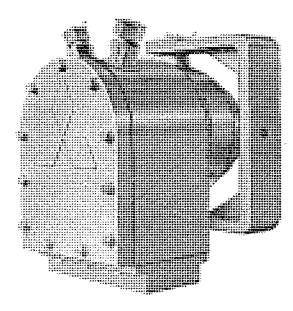


図 1 MP-133 形 受光器

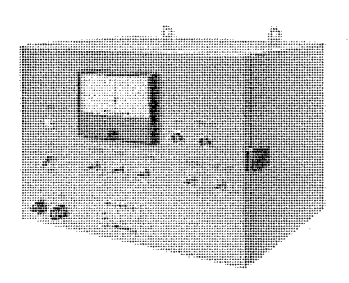


図 2 MP-133 形 増幅器

(5) 論理回路はすべて IC 化され、信頼性をあげている。

■ おもな仕様

(1) 視 野 基準位置 (0°)~±25°

(2) 出力電圧 基準位置 (0 V)~±10 V

(3) 出力 リップル フルスケール の 2 %以下

(4) レスポンス 30 ms 以下

(5) 直線性 フルスケール の ±1.5 %以下

(6) 熱材温度 400°C~1,300°C

(7) 熱材の大きさ 線材径にして 5.5 mm φ 以上

(8) 設置距離 1~2m

[神戸製作所]

ダブルデッキエレベータ は一般の エレベータ のかご室を 2 階建にして, 上下二つの階より同時に乗客が乗り降りできるようにした エレベータ である。 ダブルデッキエレベータ の特長は,1 回の乗込人数が一般 エレベータ の 2 倍,停止数は 1/2 になるので輸送能力が著しく向上することである。 この ダブルデッキエレベータ の構想は戦前からあったが, 1970 年に 5カゴ の 97ムライフビル $(30\ F)$ で成功してから超高層 ビル 向けとして注目を集めている。

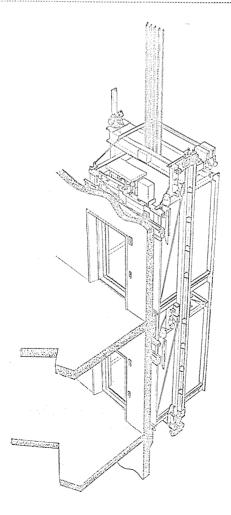
当社では大林組より発注を受け、昭和 48 年春 しゅん(竣) 工予定の 同本社 ビル (大阪 32 階建て、延床面積 $50,293 \,\mathrm{m}^2$) に 8 台の ダブルデッキェレベータ の製作を開始した。 これはわが 国最初の ダブルデッキェレベータ になる予定である。

■ 大林組本社 ビル 向け エレベータ 仕様

低層用 4台 20名×2室 150 m/min B_1 , $1\sim14$ 階 高層用 4台 20名×2室 240 m/min B_1 , 1, $17\sim30$ 階 操作方式は、いずれも オートセレクトパタンオート MARK-II 方式

[本社: 昇降機業務部]

当社では、日本住宅公団がわが国で本格的に高層住宅建設を開始した当初から、住宅用 エレベータ を納入してきたが、 最近住宅用 エレベータ の管理面に 新機軸を開く 新しい エレベータ の集中監視方式 METAS (Mitsubishi Elevator Total Attend System) を開発した。

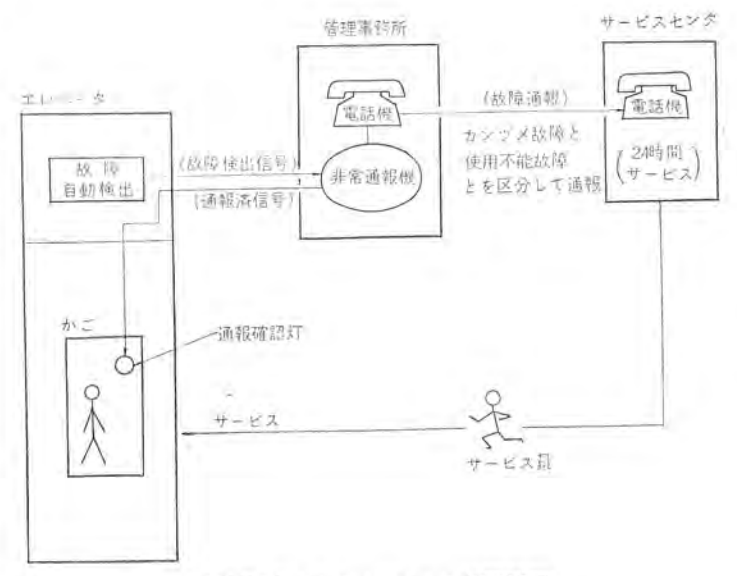


NEWS FLASH ==-KVJVZL NEWS FLASH ==-KVJVZL NEWS FLASH ==-KVJVZL

METAS は大規模高層住宅団地の数十台のエレベータを効果的に集中監規するために、従来インターホンによる利用者からの通報に頼っていたエレベータの故障通報を自動化したものである。METASではエレベータの故障を、かご内に乗客を閉じ込めた故障(カンヴメ 故障)と単なる使用不能故障とに区別して自動的に検出し、電話回線を利用して、菱電サービス(株)が全国的に組織しているエレベータの24時間サービス体制に、個々のエレベータを直結して監視するシステムである。したがって団地ごとに24時間常駐のサービス員を配置したのと同様の効果が少ない人手で期待できる。

■ METAS の特長

- (1) エレベータの故障を自動的にサービスセンタに通報 故障通報の迅速化 エレベータ管理の省力化
- (2) 菱電 サービス(株)の サービスセンタ による エレベータ の 24 時間監 祝
- (3) カンヴォ 故障と使用不能故障を区別して通報できる。 救出作業の迅速化と不急作業処理の合理化
- (4) エレベータ 管理費の節約



METAS による エレベータの故障管理

[本社 昇降機業務部]

大容量 三相 誘導同期 電動機完成

このたび 8,000 kW 4 極三相誘導同期電動機を完成した。本機は繰返し起動および過速 度運転をおこなうため、その機械的応力は 30,000 kW 4 極巻線形 誘導電動機に匹敵し、 これらの条件を十分考慮した設計をしている。

■ 仕 様

形 式 開放防滴他力通風形(サイレンサー つき)

出 カ 8,000 kW

一次電圧 6,600 V/3,300 V

一次電流 825 A/1,650 A

二次電圧 4,275 V

二次電流 1,105 A

周波数 60 Hz

極 数 4P

回転数 1,800 rpm (*1,790 rpm)

励磁電圧 42 V

励磁電流 1,120 A

* 印は誘導物として運転したときの回転数をあらわす。 [長崎製作所]



8,000 kW 三相誘導同期電動機

本社・営業所・研究所・製作所・工場所在地

本 社 東京都千代田区丸の内2丁目2番3号(三菱電機ビル) (電 100) (電) 東京(03) 218局2111番

```
大阪営業所
            大阪市北区梅田町8番地(西阪神ビル)(〒530)
                                                     (電)
                                                        大
                                                             (06)
                                                                  343局1231番
名古屋営業所
            名古屋市中村区広井町3丁目88番地 (大名古屋ビル)(電 450)
                                                     (電)
                                                        名古屋
                                                             (052)
                                                                  561局5311番
 静岡出張所
            静 岡 市 伝 馬 町 16 の 3 番 地 (明治生命静岡支社) (壺 420)
                                                     (電)
                                                        静
                                                           出
                                                             (0542)
                                                                 54局4681番
福岡営業所
            福岡市天神2丁目12番1号(天神ビル)(〒810)
                                                     (電)
                                                        褔
                                                           畄
                                                             (092)
                                                                  72局2111番
 長崎出張所
            長崎市丸尾町7番8号(長崎底曳会館)(電852)
                                                     (雷)
                                                        툰
                                                           峼
                                                             (0958) 23局6101番
札 幌 営 業
        所
            札幌市北2条西4丁目1番地(北海道ビル)(〒060-91)
                                                     (電)
                                                        札
                                                           幎
                                                             (011) 261局9111番
仙台
    営業
        所
            仙台市大町 | 丁目 | 番30号(新仙台ビル)(〒980)
                                                     (電)
                                                        仙
                                                           台
                                                             (0222) 21局1211番
富
      業
  Ш
    堂
            富山市桜木町!番29号
                                            (₹ 930)
                                                     (電)
                                                        富
                                                          山
                                                             (0764)
                                                                 31局8211番
            広島市中町 7 番 32 号(日本生命ビル)(〒730)
広島営業
        所
                                                     (電)
                                                        広
                                                           島
                                                             (0822)
                                                                 47局5111番
            岡山市駅前町 | 丁目 9 番地(明治生命館)(〒700)
 岡山出張所
                                                        出
                                                     (電)
                                                           Щ
                                                             (0862) 25局5171番
            高松市鶴屋町2番!号
高松営業所
                                            ( 760)
                                                     (電)
                                                        高
                                                          松
                                                             (0878) 51局0001番
新潟営業所
            新潟市東大通 | 丁目2番地23号(北陸ビル)(電950)
                                                     (電)
                                                        新
                                                          澙
                                                             (0252) 45局2151番
東京商品営業所
            東京都千代田区丸の内2丁目2番3号 (三菱電機ビル)(売 100)
                                                     (電)
                                                        東
                                                          京
                                                             (03)
                                                                 218局2111番
関東商品営業所
            与野市上落合後原842番地
                                            (壺 338)
                                                     (電)
                                                        与
                                                          野
                                                             (0488)
                                                                 33局3181番
大阪商品営業所
            大阪市北区堂島北町8番地の1
                                            (壶 530)
                                                     (電)
                                                        大
                                                          阪
                                                             (06)
                                                                 344局1231番
            名古屋市中村区広井町3丁目88番地(大名古屋ビル)(売 450)
名古屋商品営業所
                                                     (電)
                                                        名古屋
                                                             (052)
                                                                 561局5311番
 機器静岡営業所
            静岡市小鹿2丁目1番22号
                                            (亞 420)
                                                     (電)
                                                        静
                                                          圌
                                                             (0542)
                                                                  82局2061番
            浜松市上西町42の5
 機器浜松営業所
                                            (金 430)
                                                     (電)
                                                        浜
                                                          松
                                                             (0534)
                                                                  63局6121番
福岡商品営業所
            福岡市天神2丁目12番1号(天神ビル)(〒810)
                                                     (電)
                                                        褔
                                                          謡
                                                             (092)
                                                                  72局2111番
札幌商品営業所
            札幌市北2条西4丁目1番地(北海。道ビル)(〒060-91)
                                                     (電)
                                                        札
                                                          幌
                                                             (110)
                                                                 261局9111番
            仙台市大町 | 丁目 | 番30号(新仙台ビル)(55980)
仙台商品営業所
                                                     (電)
                                                        仙
                                                          台
                                                             (0222)
                                                                  21局1211番
北陸商品営業所
            金沢市小坂町西97番地
                                            (壶 920)
                                                     (電)
                                                        金
                                                          沢
                                                             (0762)
                                                                  52局1151番
            広島市中町 7 番 32 号(日本生命ビル)(〒730)
広島商品営業所
                                                    (電)
                                                        広
                                                          島
                                                             (0822)
                                                                  47局5111番
高松商品営業所
            高松市鶴屋町2番|号
                                            ( 5 760)
                                                    (電)
                                                        高
                                                          松
                                                             (0878)
                                                                  51局0001番
            東京都千代田区丸の内2丁目2番3号 (三菱電機ビル)(壺 100)
東京機器営業所
                                                    (電)
                                                        東
                                                          京
                                                             (03)
                                                                 218局2111番
大阪機器営業所
            大阪市北区堂島北町8番地の1
                                            ( 530)
                                                    (電)
                                                        大
                                                          阪
                                                             (06)
                                                                 344局1231番
中央研究所
            尼崎市南清水字中野80番地
                                            ( ₹ 661)
                                                    (電)
                                                        大
                                                          阪
                                                             (06)
                                                                 491局8021番
            尼崎市南清水字中野80番地
生産技術研究所
                                            (⊕ 661)
                                                    (電)
                                                        大
                                                          阪
                                                             (06)
                                                                 491局8021番
商品研究所
            鎌倉市大船2丁目14番40号
                                            (金 247)
                                                    (電)
                                                        鎌
                                                          倉
                                                             (0467)
                                                                 46局6川番
神戸
    製作所
            神戸市兵庫区和田崎町3丁目10番地の1
                                            ( ₹ 652)
                                                    (電)
                                                        神
                                                          戸
                                                             (078)
                                                                  67局5041番
伊丹製作所
            尼崎市南清水字中野80番地
                                            (金 661)
                                                    (電)
                                                        大
                                                          阪
                                                             (06)
                                                                 491局8021番
 三田工場
             田市三輪町父々部85番
                                  tth
                                            ( 5 669-I3)
                                                    (電)
                                                        =
                                                          田
                                                             (07956)
                                                                    4371番
長崎製作所
                市丸尾
                        町
                           6
                             番
                               14
                                  뮹
                                            ( 850-91)
                                                    (電)
                                                        長
                                                          崎
                                                             (0958) 23局6211番
稲沢製作所
                  市
                         ĦΤ
                      菱
                               悉
                                  地
                                            (亚 492)
                                                    (電)
                                                        稲
                                                          沢
                                                             (0587)
                                                                 32局8111番
和歌山製作所
                        ÐΤ
                 山市
                     囝
                                番
                                  地
                                            ( 640-91)
                                                        和歌山
                                                    (電)
                                                             (0734)
                                                                 23局7231番
鎌倉製作所
            鎌倉市上町屋3
                           2
                              5
                                番
                                  地
                                            ( 247)
                                                    (雷)
                                                       鎌
                                                          倉
                                                             (0467) 46局||||番
通信機製作所
            尼崎市南清水字中野80番
                                  抽
                                            ( 661)
                                                       大
                                                    (電)
                                                          阪
                                                             (06)
                                                                 491局8021番
北伊丹製作所
            伊丹市瑞原4丁目!番
                                            (亚 664)
                                                    (電)
                                                        伊
                                                          丹
                                                             (0727)
                                                                 82局5131番
 能本第一丁場
            熊本市竜田町弓削720番地
                                            (亚 862)
                                                    (電)
                                                        熊
                                                          本
                                                            (0963)
                                                                 62局7211番
  熊本第二工場
            熊本県菊池郡西合志町御代志997
                                            ( ● 861-11)
                                                    (電)
                                                        能
                                                          本
                                                            (0963) 43局0951番
名古屋製作所
            名古屋市東区矢田町18丁目1番地
                                            ( 55 461)
                                                    (電)
                                                        名古屋
                                                            (052) 721局2111番
 加
      工場
              張 加
                   市 下 #
                            不 TR
                                  井
                                            (赤 488)
                                                    (電)
                                                        屋張加
                                                            (05615) 3局5101番
福岡
            福岡市今宿青木6
    製作
        所
                            9 0 番
                                  批
                                            ( 819-01)
                                                    (電)
                                                        福岡今宿(09295) 6局0431番
福
  山製作
        所
              山市
                    緑町
                             悉
                                  무
                          1
                                Ω
                                            (壶 720)
                                                    (電)
                                                        福
                                                            (0849)
                                                         Ш
                                                                 21局3211番
相模製作
        所
            相模原市宮下!丁目!番57号
                                            (金 229)
                                                    (電)
                                                        相模原
                                                            (0427)
                                                                 72局5131番
姬
  路製作
       ĒFF
            姬路市千代田町840番地
                                            ( 3 670)
                                                    (電)
                                                        姫
                                                          路
                                                            (0792)
                                                                 23局1251番
静
    製作所
            静岡市小鹿3丁目18番
                                            ( 35 420)
                                                    (電)
                                                        韸
                                                          出
                                                            (0542)
                                                                 85局1111番
中津川製作所
            中津川市駒場町!番3
                                            ( 508)
                                                            (05736) 6局2111番
                                                    (電)
                                                        中津川
大船製作所
            鎌倉市大船5丁目1番
                                - 1
                                            ( 247)
                                                    (電)
                                                        鎌
                                                          倉
                                                            (0467) 46局6111番
綤
  山製作所
            郡山市栄町2番25
                                  문
                                            ( 5 963)
                                                    (電)
                                                        雅
                                                          Ш
                                                            (0249)
                                                                 32局1220番
群 馬 製 作 所
            群馬県新田郡尾島町大字岩松800番地
                                           (35 370-04)
                                                    (電)
                                                       尾
                                                          島
                                                            (02765) 2局1111番
 藤岡工場
           藤岡市本郷字別所 1 1 7 3 番地
                                           ( 375)
                                                    (電)
                                                       藤
                                                          峃
                                                            (02742) 2局1185番
京都製作所
           京都府乙訓郡長岡町大字馬場小字図所1番地
                                           ( 617)
                                                    (電)
                                                       京
                                                            (075) 921局4111番
 長 野 工 場
           長野市大字南長池字村前
                                           (5 380)
                                                    (電)
                                                            (0262) 27局1101番
札幌営業所
            札幌市北2条東12丁目93番地
                                           ( 5 060 )
                                                    (電) 札 幌 (011) 231局5544番
```

次号予定

三菱電機技報 Vol. 45 No. 11 ITV とその応用機器特集/サイリスタ技術特集

《ITV とその応用機器特集論文》

- OITVの展望
- ○IT-11 形 ITV カメラ
- XT-800 シリーズ X 線テレビジョン
- CV-902 形カービジョン
- 有線 ITV 伝送
- ○800 MHz 帯 狭帯域 ITV 無線伝送装置
- 準ミリ波全固体化 画像伝送装置
- 光通信による ITV 伝送
- 最近の ITV 応用

《サイリスタ技術》

- ○サイリスタ応用技術の最近の動向
- ○電力用サイリスタの最近の進歩
- 静止レオナード用 大容量サイリスタ装置
- ○普及形サイリスタレオナード装置
- 発電機用 サイリスタ励磁装置

- 電気化学用サイリスタ装置
- 三菱表面処理用変換装置
- 無停電 電源システムの計画
- 最近のオンライン計算機用 無停電電源装置
- 可変周波インバータによる交流電動機の制御
- ○サイクロコンバータによる誘導電動機の速度制

《普通論文》

- 〇 小形電子計算機 MELCOM-84 磁気元帳処理装
- 関西電力(株)宇治発電所納め 自動応水装置
- ○最近の母線保護継電器

《技術解説》

○ 三次元レーダについて(その2) 一原理と実施例の全般的解説一

三菱電機技報編集委員会

委員長	正木茂	雄	常任委員	痿	武	雄
副委員長	神崎	逦	"	武	藤	Œ
常任委員	石 川 理	-	n	福	家	聋
W.	上田重	夫	委員	待	鳥	Œ
11	宇佐見重	夫	11	北	垣 成	-
11	北川和	A	77	田	附和	夫
//	古 賀	政:	2/2	南	日 達	郎
11	小堀富次	雄	//	秦	卓	也
11/	鈴 木 正	材	"	林	昇	寿
11	牧野六	彦	11	松	元 雄	蔵
					(以上50音	順)

昭和46年10月22日印刷 昭和46年10月25日発行「禁無衡転載」定価1部 金100円(送料別)

編集兼発行人

東京都千代田区丸の内2丁目2番3号

茂 TE 木 雄

刷所 EII

> 東京都新宿区市谷加賀町1丁目12番地 (郵便番号 162)

大日本印刷株式会社

印

東京都新宿区市谷加賀町1丁目12番地

橋 武 夫

発 行 所

東京都千代田区丸の内2丁目2番3号 (郵便番号 100)

「三菱電機技報社」 三菱電機株式会社内 (電) (03) 218局2323番

売 元

東京都千代田区神田錦町3の1 (郵便番号 151) 株式会社 オーム社書店

(電) (03) 291 局 0912 番 振替東京 20018